

TECHNICKÁ UNIVERZITA V LIBERCI

Fakulta strojní



HABILITAČNÍ PRÁCE

2000

Břetislav Skrbek

TECHNICKÁ UNIVERZITA V LIBERCI

U336 - B. SKRBEC

APPLICATION PROBLEMS OF GRAPHITIC CASR IRON AT
DIESEL ENGINES AND TRUCKS

PROBLÉMY APLIKACE GRAFITICKÝCH LITIN U VZNĚTOVÝCH MOTORŮ
A NÁKLADNÍCH AUTOMOBILŮ

Soubor uveřejněných vědeckých a inženýrských prací
doplňený komentářem

Obor strojírenská technologie 23-07-8

UNIVERZITNÍ KNIHOVNA
TECHNICKÉ UNIVERZITY V LIBERCI



3146071334

Skrbek
Ing. Břetislav Skrbek, CSc.

Březen 2000

KSP
441.
obr
3. stránky komentované práce

TECHNICKÁ UNIVERZITA V LIBERCI

Fakulta strojní

HABILITAČNÍ PRÁCE

PROBLÉMY APLIKACE GRAFITICKÝCH LITIN U VZNĚTOVÝCH MOTORŮ
A NÁKLADNÍCH AUTOMOBILŮ

Soubor uveřejněných vědeckých a inženýrských prací
doplňený komentářem

Obor strojírenská technologie 23-07-8

UNIVERZITNÍ KNIHOVNA
TECHNICKÉ UNIVERZITY U LIBERCI



3146071334

Ing. Břetislav Skrbek, CSc.

Březen 2000

TECHNICKÁ UNIVERZITA V LIBERCI
Univerzitní knihovna
Voroněžská 1329, Liberec 1
PSC 461 17

U336 C

KSP
441.
obr
3 mazky komentované práce

Obsah

1.	Úvod.....	4
2.	Motory, vozy ze ŠKODA LIAZ.....	5
3.	Odlitky z litiny s lupíkovým grafitem.....	7
3.1.	Mechanizmus porušování grafitických litin.....	8
3.2.	Fraktografie a lomová houževnatost litin.....	8
3.3.	Tepelná únava.....	9
3.4.	Rozbor kvality litiny a její ovlivňování.....	10
4.	Litiny s kuličkovým grafitem.....	12
4.1.	Izotermicky kalená LKG.....	13
5.	Specifické litinové díly.....	18
6.	Závěr.....	20
6.1.	Stručný souhrn vybraných poznatků.....	20
6.2.	Perspektiva litin.....	23
	Použitá označení a zkratky.....	24
	Výčet komentovaných prací.....	25

Příloha - kopie publikovaných vědeckých prací (1. svazek [1;19]) a interních inženýrských (2. [20; 25] a 3. svazek [26; 34]) komentovaných prací.

PROBLÉMY APLIKACE GRAFITICKÝCH LITIN U VZNĚTOVÝCH MOTORŮ A NÁKLADNÍCH AUTOMOBILŮ

1.

Úvod

Odlitky z litiny s lupinkovým grafitem tvoří nezastupitelnou část nosných dílů pohybových ústrojí nákladních silničních vozidel. Litiny s kompaktním grafitem se postupně uplatňují i na dynamicky namáhané součásti pohybových ústrojí. Litiny tak v této kategorii dopravních prostředků patří stále k nejdůležitějším konstrukčním materiálům. Pro vytvoření a výrobu úspěšného výrobku se musí spojit úsili konstruktéra, kvalitáře a materiálového inženýra. Druhá kapitola patří stručnému seznámení s kategorií výrobků ŠKODA LIAZ a. s., pro které výsledky prezentované habilitační prací vlastně také slouží.

I. Úspěšný vývoj konstrukce složitých a "bezpečnostních" odlitek a efektivnější využití litiny s lupinkovým grafitem nastolily úkol přeložit konstruktérovi:

- 1) Představu o skutečných mezních stavech při namáhání litiny, hlubší znalost souvislostí mezi únavovými a statickými vlastnostmi vysvětlení mechanizmu deformace a rozvoje mikro a makro poruch.
- 2) Přehled o rozložení a ovlivňování mechanických vlastností v odlitku.
- 3) Vývoj kvality (mezních stavů) kritických míst odlitku v čase dodávek.

Tuto problematiku řeší první blok prací [1-7, 20-25].

II. Litiny s kompaktním grafitem (LKG, LČG) nalézají stále širší aplikace na dynamicky namáhané konstrukční prvky vozidel. Standardní aplikace nahrad lité oceli dominovaly do poloviny osmdesátých let. Devadesátá léta uvádí do popředí i problematiku aplikací izotermicky kalených litin [8-17, 26-30].

III. Nakonec uvádím příklad zpráv, které se týkají sice jednoduchých dílů vznětového motoru z litiny s lupinkovým grafitem, ale se specifickým provozním namáháním [18, 19, 30-34].

Náměty praci veřejně publikovaných tvoří jednak doporučení z mé disertační práce a dílčí výsledky úkolů technického rozvoje a spolupráce s VUT Brno.

Komentář obsahuje pouze odkazy publikovaných a interních prací obsažených v příloze. Až tyto práce obsahují odkazy na externí literární prameny.

2.

Motory, vozy z ŠKODA LIAZ v devadesátých letech

Všechny aplikované motory se produkuji a vyvíjí na bázi řadového přeplňovaného šestiválce chlazeného vodou o obsahu 12 litrů s dvěma ventily na válec. Do r.1993 byl nosným provedením typ M1.2A a B s omezenou možností plnění zpřísňovaných exhalacních předpisů.

Sériová výroba motorů řady C byla zahájena v roce 1993 v souvislosti s náběhem nových emisních předpisů EHK 49.02 respektive směrnice ES 88/77 obecně známých jako EURO I. Nejvýkonnější motorem této řady ve vozidlovém provedení sériově montovaným do modernizované řady vozů LIAZ 300 je motor M640 S s maximálním výkonem 242 kW při 2000 ot./min. a nejvyšším kroutícím momentem 1475 Nm při 1300 ot./min. Pro další zvýšení přepravních výkonů zejména v mezinárodní kamionové dopravě ale i z důvodu lepších užitných vlastností těžkého sklápěče 6x4 vyrábí LIAZ další výkonovou modifikaci-motor M640 T o maximálním výkonu 280 kW při 1950 ot./min. Motor je vybaven novým regulátorem vstřikovacího čerpadla BOSCH, který při zlepšené funkci tlakového korektoru podstatně zlepšuje akcelerační schopnosti vozidla a umožňuje udržovat velmi plochý průběh křivky kroutícího momentu, který je opět zvýšen na maximální hodnotu 1560 Nm prakticky v rozsahu 1100-1500 ot./min. motoru. Uvedený průběh momentové křivky zlepšuje ve spojení s převodovkou PR.AGA 14PS150 a dalšími konstrukčními detaily hnacího řetězce vozů řady 300 ekonomii provozu vozidla jak v kopcovitém terénu z důvodu menšího počtu potřebných řazení, tak při ustálené rychlosti, kdy umožňuje volbu vhodného převodu z hlediska minimalizace spotřeby paliva, hlučnosti a

životnosti pohonné jednotky při dostatečné výkonové rezervě pro akceleraci.

Další variantou je motor M636 E. Tento motor o výkonu 180 kW při 2000 ot./min. a opět velice plochým průběhem krouticího momentu max. 1060 Nm v rozsahu 1000-1500 ot./min. motoru je určen pro komunální vozy na bázi podvozku LIAZ a především v ležatém provedení pro městské a meziměstské autobusy KAROSA. Právě z důvodu tohoto specifického použití motor plní další náročné zpřísňení evropských emisních limitů této kategorie motorů známé jako EURO II, které je závazné pro výrobce těžkých nákladních automobilů a autobusů od 1.10.1996. LIAZ tímto přispívá ke zlepšení čistoty ovzduší v městských aglomeracích při zvýšení rychlosti a komfortu hromadné dopravy.

Evropské automobilky (např. VOLVO) přicházejí s motory nové koncepce tj. s centrálními vstřikovacími jednotkami paliva, které jsou umístěny přímo v hlavě motoru a odstraňují tak nevýhody klasického vstřikovacího čerpadla. Tyto motory mají potom předpoklady splnit i emisní limity roku 2000.

Základní filosofii vývoje je zkonstruovat a odzkoušet dieselův motor s el. řízenou centrální vstřikovací jednotkou včetně řídícího systému (EUI), který splní zpřísňené emisní limity ozn. E III.

Nový 12 1 šestiválec musí tedy především splňovat následující hodnoty emisí kysličníků dusíku (NOX) a částic (Pt) měřené dle předpisu EHK R 49 (13 bodový test):

NOX.....5

g/kWh

Pt.....0,1

g/kWh

Motor musí tyto hodnoty splňovat při následujících max. výkonových parametrech:

Max. krouticí moment.....1750 Nm / 1200-1500 ot.min-1

Max. výkon (nominální).....300 kW / 2000 ot.min-1
Předpokládá se, že bod minimální spotřeby na vnější rychlostní charakteristice bude mít nižší hodnotu než 200 g/kWh a spotřeba

při nominálním výkonu bude mít nižší hodnotu než 220 g/kWh. Životnost nového motoru se předpokládá vyšší než 750 000 jízd-ních kilometrů ve vozové zástavbě.

Zcela je nutno překonstruovat hlavu válců, rozvodová kola a jejich uložení, vačkový hřídel, pohony ventilů a vstřikovačů, přední a zadní víko motoru. Žádnou technologickou podobnost nebude možno sledovat zvláště u hlavy válců, kterou je nutno koncipovat jako jeden díl s vertikální polohou vstřikovače a vždy čtyřmi ventily na válec motoru. Základní koncepce uvedeného šestiválcového motoru tj. zdvih 150mm a vrtání 130 mm zůstává tedy stejná.

Dosud provedené práce a poznatky z nich plynoucí souvisící s projektem EURO III vývoje motorů ŠKODA MOTORY a. s. i v oblasti materiálového inženýrství nelze mimo vnitrofiremní potřeby rozšiřovat.

3.

Odlitky z litiny s lupínkovým grafitem

[1] Základní převrat v nazírání na šedou litinu jako konstrukční materiál tvoří skutečnost, že konstruktér nedostává pro zadání výpočtů jen pevnost R_m , ale škálu mezních stavů experimentálně jednoduše stanovitelných, které mají svoji ekvivalenci v mezi únavy, kluzu běžných kovových materiálů. Výsledky navazují na práce Drápala v sedmdesátých a Exnera v osmdesátých letech. Nový způsob získávání mezních stavů litin však není průmyslově rozšířen a zatím není ani snaha o jeho průnik do standardizace a softwarového vybavení zkušební techniky. Danou problematikou by se měla zabývat širší odborná veřejnost.

Pro rozměrovou stabilitu konstrukcí staticky namáhaných nad mez σ_R (přibližně $0,35R_m$) je důležitý poznatek o jejich stabilizačnímu předzatěžování.

Dalším prvkem, který obohacuje zkušebnictví litin s lupínkovým grafitem je možnost rekonstrukce skutečné hodnoty pevnosti R_m u přilitých tyčí s velkou hladinou vnitřních pnutí

ultrazvukovým měřením.

3.1

Mechanizmus porušování grafitických litin

Útvary grafitu mohou přenášet pouze tlaková (lépe objemová) namáhání. Proto litina s lupíkovým grafitem má prakticky čtyřikrát větší pevnost v tlaku jak v tahu. Prostorová napjatost a vrubový účinek lupíků grafitu (LLG) působí již při malých osových napěťích mikroplastické deformace (u lupíků kolmých k hl. tahovému napětí). Tvar panenské zatěžovací křivky se významně liší od křivky zatěžování tělesa již zatěžovaného. Po vyčerpání plastické deformace vznikají na koncích (zejména dlouhých) lupíků grafitu mikrotrhliny ještě při celkově nízkých hodnotách napětí ve srovnání s pevností R_m . Tahová zatěžovací funkce $\sigma=f(\epsilon)$ je od počátku proto nelineární. Její derivaci lze získat hodnoty fyzikálních mezních stavů namáhání, přičemž mez R_E odpovídá mezi únavy σ_c . Pro litiny se smíšeným a hrubým grafitem tato mez klesá na $0,2 \cdot R_m$. S kompaktností grafitu poměr R_E / R_m roste.

Fyzikální meze kluzu σ_t nejen litin s lupíkovým grafitem odpovídají podstatně menší trvalé deformace jak 0,2%. Udávat konstruktérům pro pevnostní výpočty mez kluzu litin $R_{p0,2}$ vede k snížení bezpečnosti.

Pro velmi snadné získání hodnot mezních stavů v ohybu (nejčastější způsob namáhání litinových dílů) doporučují mikroohybovou zkoušku [4].

3.2.

Fraktografie a lomová houževnatost litin

Znalost fraktografie pomáhá řešit případy provozních lomů litinových částí.

Pro omezený rozsah [1] jsem nemohl publikovat obrazovou dokumentaci ŘEM typických silových a únavových lomů. Fraktografický popis nemůže nikdy nahradit reálnou fotodokumentaci. Přikládám proto k [1] sérii 11-ti snímků

silových a únavových lomů LKG, LČG a LLG. Příslušné struktury a střední vlastnosti litin (přílitych do Y2 bloků - tab.1) náleží výfuk. potrubí (LLG), hlavám válců pro vývoj (LČG) a držákům per (LKG).

Tabulka 1

Ozn.	Litina	Rm	Mechanické vlastnosti			Struktura	
			E ₀	HB	K _{IC}	F/P	G
		MPa	GPa	MPa.m ^{1/2}	%		
LLG	ČSN 42 2420/25	240	125	221	34,3	0/100	IA4/5
LČG	GGV40	415	167	181	52	80/20	III+V(30%)
LKG	ČSN 42 2306	650	172	215	66	30/70	VI 5 (90%)

Základní chemické složení: Tabulka 2

C	Si	Mn	P	S	SE
3,48	1,87	0,88	0,14	0,06	0,96
3,7	3,14	0,23	0,09	0,02	1,12
3,6	2,27	0,5	0,06	0,01	1,02

3.3.

Tepelná únava

Životnosti mnohých motorových dílů souvisí s tepelnou únavou litiny. Výfukové potrubí vede žhavé výfukové plyny z hlavy válců do turbodmychadla. Je ohříváno pomalými cykly v celém průřezu stěn do červeného žáru a přitom nese turbodmychadlo. Třecí plocha spojky setrvačníku se při prokluzu povrchově zahřívá až nad teplotu přeměny A1. Ventilová plocha hlav válců v můstcích mezi sedly ventilů a oblast můstku mezi vývrty vložených válců na bloku trpí nejvíce napětím od tepelných cyklů ze spalovacího prostoru. Při nedostatečném odvodu tepla tyto partie mohou podlehnut tepelné únavě zejména v můstcích mezi ventily. Při nesprávné funkci chlazení a těsnění se můstky mohou porušit únavovými lomy.

Mechanismus tepelné únavy na třeci ploše lamelové spojky setrvačníků vysvětluje [2, 3]. Z něho pak plyne i doporučení na vlastnosti litiny s vysokou odolností proti tepelné únavě.

3.4.

Rozbor kvality litiny a její ovlivňování

Také občasné problémy s užitnými vlastnostmi motorů (např. ztráta těsnosti dosedací plochy hlav ventilů, nízká tuhost uložení klikové hřídele, lomy přepážek válců...) vyvolaly vývojovou činnost v oblasti simulace kvality litiny slévárenskými vlivy a široké aplikace nedestruktivní diagnostiky kvality litiny sériově vyráběných dílů zejména v blocích válců k postižení konstrukčních a výrobních faktorů zmíněných problémů.

Mechanické vlastnosti a struktura grafitických litin závisí sice na tloušťce stěn odlitku, často však ještě více na průtočnosti tekutého kovu stěnou při lití. Vztah hodnot mechanických vlastností a parametrů struktury z přilehlých zkušebních těles a různě silných stěn, nedestruktivní diagnostika (P , R_m , R_e). Výsledky experimentů v uvedených námětech velice stručně předkládají příspěvky [6] a [7].

Studium změn strukturněmechanických vlastností v silných litinových stěnách v souvislosti s fyzikálními vlastnostmi a dosažitelnou jakostí povrchu [5] předkládá důležité poznatky pro praxi. Například výška ložisek klikového hřídele se klasicky kontrolovala prostým měřením tvrdosti metodou HB10/3000. Stálost uložení klikové hřídele však nezávisí na povrchové tvrdosti, nýbrž na tuhosti poměrně silnostenného (40 mm) průřezu odlitku. Modul pružnosti E charakterizuje jako fyzikální veličina i tuhost litiny. Práce [5] s využitím ultrazvukové diagnostiky prezentuje zmapování hodnot E průřezů odliků ložisek v závislosti na jakosti litiny a dosažitelné drsnosti funkčních ploch pro uložení pánev ložiska obráběním. Nepřípustné překročení drsnosti povrchu totiž vede k tvorbě bariéry odvodu tepla z ložiska! Výkresem je tak předepsána a na vstupu výroby prováděna 100% kontrola ultrazvukem (viz. přiložený výkres a úvodní list návodky kontrolní operace v závěru) na mezní hodnotu $E_0 = 120$ GPa. Mimo jiné přínosy se také zabránilo dodavateli rozpouštění odliků z nepovedených

taveb do běžné série (dříve jen statisticky kontrolované).

Bloky válců tvoří hlavní nosnou součást motoru. Odlitek bloku válců (o hmotnosti cca 300kg) je relativně tenkostěnný (7 až 20 mm) se složitými krystalizačními poměry při tuhnutí ve formě. Pro studium rozložení strukturněmechanických vlastností v rámci složitého odlitku a pro časový vývoj jejich kvality v rozsahu běžného kalendářního roku (bloky lité bez velkoobjemového předpecí [21], s velkoobj. 25T předpecím, [22], bloky s konstrukčními úpravami [23] bylo nutno změřit soustředit značné množství experimentálního materiálu. Jeho prezentace [20, 21, 22] v plném rozsahu v rámci této práče by přiliš zvětšila její objem. Do nových poznatků důležitých pro praxi lze tak proniknout studiem pouze přiložených textových částí [21, 22, 23]. Ty obohacují mapy strukturní situace ve dvourozměrném poli matrice (M, HB, F) - grafit (E_g), neboť tento způsob vyjádření vlastnosti litin díky své názornosti umožňuje vyčist řadu důležitých poznatků o samotném odlitku či souboru odlitků. Tento způsob předkládání výsledků byl a bude vlastní zařízením SYLIT pro komplexní nedestruktivní diagnostiku litinových odlitků. Přispívám metodicky k jejich vývoji firmě ELKOSO s.r.o. BRNO.

Průřezové sledování kvality s nasazením nedestruktivní techniky bylo do poloviny 90-tých let nutno uskutečnit i u řady jiných litinových dílů. Jako příklad zmiňuji [24] rozbor souboru dodávek hlav válců s číslem modelu M1503 pro motory M1.2A a B. Dodavatel se snažil opravit odlitky nepovedených taveb kalením a popuštěním. Tyto odlitky pak rozpouštěl v rámci běžných dodávek. Kalení do vody iniciuje z konců lupínků grafitu mikrotrhliny. Jejich rozvoj podnítí provozní zatěžování. Montáž zmíněných hlav na motory mohla mít nedozírné důsledky.

Alespoň přibližný obraz o konstrukci a materiálových poměrech šestiválcové hlavy pro motory (EURO III) 21. století předkládá [25] ve fotodokumentaci a v zmapování mechanických vlastností 1. realizovaného odlitku tohoto typu.

4.

Litiny s kuličkovým grafitem

Jak již bylo uvedeno nástup náhrad ocelových odlitrků "tvárnou litinou" na odlitcích přední a zadní nápravy patřil první polovině osmdesátých let. Vnitropodnikové problémy spojené s jednotlivými aplikacemi a nové poznatky uvádí závěrečné zprávy tehdejších úkolů rozvoje. V roce 1985 jsem vypracoval komplexní zprávu pro nadřízený orgán "**Aplikace tvárné litiny v n. p. LIAZ**". Zpráva pro komisi při GŘ ČAZ z 1.7.1985, (121s.). Pro její neaktuálnost a velký rozsah ji v seznamu prací pro komentář neuvádím.

Kardinální problém tehdy byl sehnat volnou kapacitu slévárny LKG v Československu. Nebyla realizována úspěšně odzkoušená ozubená kola z LKG rozvodu motorů. Jejich čas ve formě ADI nastává až nyní u EURO III. Podstatně snazší bylo realizovat odlity z LKG v Bulharsku (slévárna "vysokopevných litin '8" v Loveči) pro zadní nápravy (skříně diferenciálu, hlava kol, čelisti brzd, držáky čelistí brzd), které se v závodě MADARA Šumen pro LIAZ vyráběly.

Poslední velkou konstrukční skupinou dílů, která přešla z oceli 42 2409 na LKG 42 2305 byly držáky, ať již per nebo budky. Práci [26] uvádím jako příklad jedné ze závěrečných zpráv úkolů aplikačního vývoje odboru materiálu LIAZ. Konstrukčně nesou tyto odlity z LKG tvary ocelových předchůdců i vzhledem k seskupení sousedních dílů konstrukčních skupin. Nebylo tedy možno docílit ani maximálních užitných efektů změny materiálu. Až nová konstrukce celku obvykle dovolí navrhnout tvar zohledňující aplikovaný materiál. V plném rozsahu se z LKG držáky uplatňují již od počátku u nové vozové řady označované 300.

Na počátku osmdesátých let jsem vypracoval i studii výroby LKG pro případný investiční záměr ve slévárně LIAZ LIBEREC pro krytí vnitropodnikové potřeby.

Aplikační vývoj odlitrků z tepelně nezpracovávané litiny s kuličkovým grafitem byl veden s tehdejším SVÚM Brno a pak v

dodavatelských slévárnách (TRANSPORTA, ČKD - obě již zrušeny, MŽ Olomouc). Základní zkoušky v oblasti lomové houževnatosti a únavy za různých teplot se konaly ve spolupráci s výzkumem n.p. TATRA, kde byly daleko příznivější podmínky pro osvojení aplikáčního vývoje [8]. V porovnání s podobnými aplikacemi LKG v jiných automobilkách byla v LIAZ dobře vyvinuta diagnostika a prognostika vlastnosti v odlitku.

Jednotlivé aplikace LKG na díly v devadesátých letech hlavně motoru prochází již rutinní cestou od návrhu po výrobu bez publikáční odezvy. O nich dává určitý obraz přehledová zpráva [28] .

Odlitky z LKG podobně jako ocelové odlitky při tuhnutí stahují. Konstruktér musí na výkres předepisovat mezní množství a polohu vnitřních vad tak, aby nebyly na újmu životnosti součásti. Nebezpečnější jsou dutiny spojené s obrobeným povrchem (v místech koncentrace napětí) jak podobné uzavřené vady. K jejich kvantifikaci jsme u referenčních odlitků hlav předních kol (bezpečnostní díl) z litiny 42 2305 použili metodu postupných řezů s fotodokumentací [29,30]. Byl získán dokonalý prostorový obraz výskytu dutin, který tvořil jednak měřítko k porovnání odlitků různých sléváren ale hlavně základ pro technologická opatření k jejich potlačení.

Nezbytným předpokladem jistoty předepsaných hodnot mechanických vlastností odlitku z LKG je vyloučení min. 85% grafitu ve tvaru kuliček (aplikace ADI 90%). Kontrolu tekuté litiny po modifikaci umožňuje ultrazvuková a elektrovodivostní rychlozkouška [17]. Uvedené metody jsem uváděl do praxe především v slévárnách odlitků pro LIAZ [16] a také v AUTO ŠKODA Mladá Boleslav.

4.1.

Izotermicky kalená LKG

Výzkum vlastností izotermicky kalené litiny s kuličkovým grafitem tvořil hlavní námět spolupráce s katedrou nauky o materiálu VUT Brno již od počátku osmdesátých let [9, 10]. Zprvu používaný název bainitická tvárná litiny mnohde přežívá

dodnes, ale ve své podstatě není vhodný. Při izotermickém kalení zaustenitizované litiny s kuličkovým grafitem do intervalu teplot solné lázně 250 až 400°C se čeká na vyloučení struktury, kterou tvoří zbytkový austenit a "laťky" uhlikem přesyceného feritu (pro 30 až 120 minut výdrže). Pravý bainit, který je typický až vyloučením jemných karbidů z uhlikem přesyceného "ausferitu" vzniká až mnohem později (při výdrži v uvedeném intervalu teplot).

Mezinárodně používané názvy litin charakterizují výraz pro materiál litin slovním vyjádřením tvaru grafitu. Ve smyslu evropské standardizace výrazů tedy i u nás je standardizován výraz litina s kuličkovým grafitem místo tvárná litina.

Obecně se v mezinárodním měřítku pro izotermický kalenou litinu s kuličkovým grafitem používá zkratky ADI (Austempered Ductile Iron) .

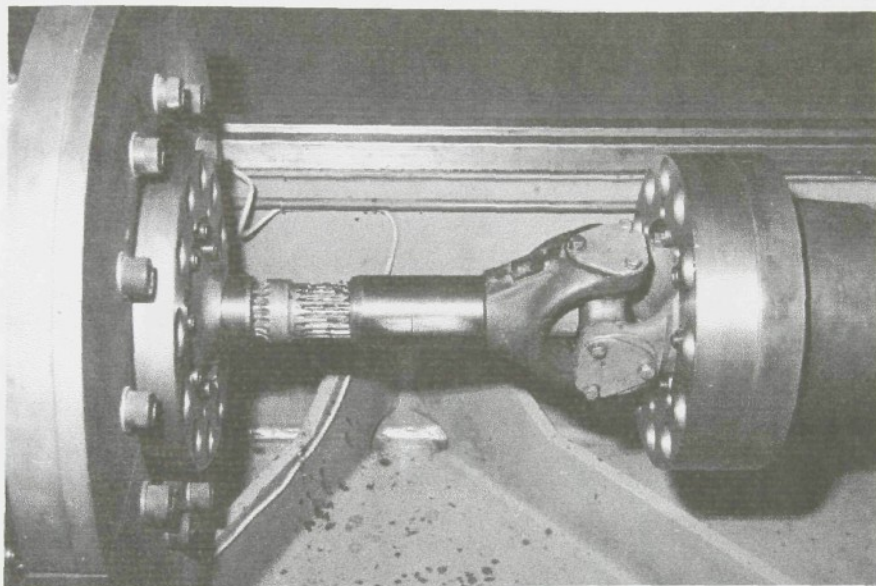
Ceny slitin železa a jejich polotvarů spolu nedostatkem kapacit odlitků z litiny s kuličkovým grafitem a zvláště kapacit zařízení kalíren pro izotermické kalení do poloviny osmdesátých let nedovolovaly uvažovat o větších dílech z ADI na motory pro běžnou sériovou výrobu. Uvědomme si, že v té době byla produkce nákladních automobilů LIAZ i TATRA více jak desetinásobná ve srovnání s polovinou let devadesátých.

Proto první zkoušky se týkaly drobnějších dílů nově řešeného rozvodu vyvýjených motorů díky výhodným kluzným vlastnostem spolu s vysokými hodnotami mechanických vlastností zvláště v ohybu [10]. Snaha vynechat bronzová pouzdra s malými zkušenostmi konstruktéra s novým materiálem však nevedly často k jednoznačným výsledkům.

Výzkumy alternativních způsobů tepelného zpracování (k izotermickému kalení do solních lázní) umožnily pouze získání struktur dolního ausferitu ("bainitu"), který je vhodný pouze na staticky nebo kontaktně namáhané díly. Pro únavové namáhání nejvýhodnější horní ADI je nezbytné tepelné zpracování v solné lázni. V osmdesátých letech volné kapacity pro potřebná množství nebyly volné.

Výzkumy mechanických vlastností široké škály variant ADI zejména při dynamickém zatěžování [9, 14] daly konstruktérům podklady pro aplikace ADI i v oblasti jinak dominantní pro tvářené oceli - výkovků (obr .1) .

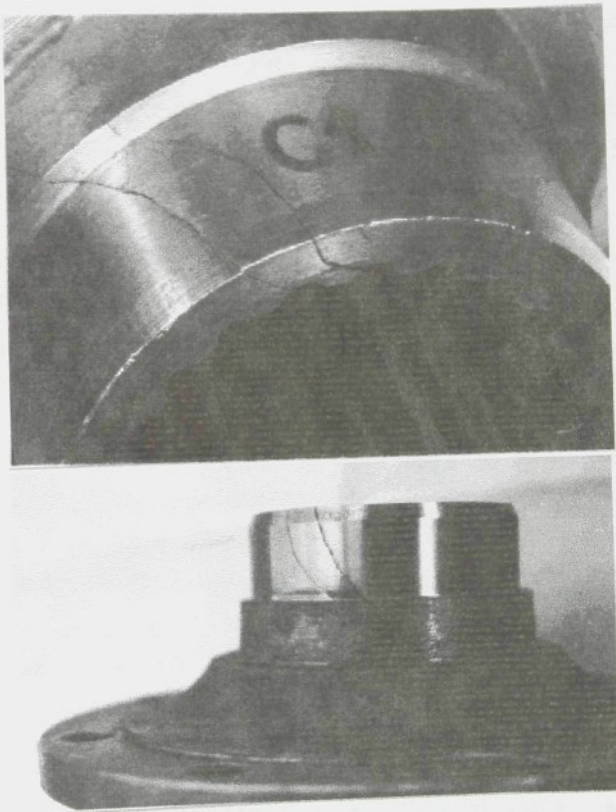
Užitečným se stal i výzkum kluzných a kontaktních vlastností ADI [11, 12]. Šanci na ekonomicky efektivní náhrady se vytvořily pouze u součástí s malým materiálovým využitím (většina materiálu polotvaru odchází do třísek při obrábění).



Obr.1.Pohled na zkoušenou sestavu tvořenou nábojem s přírubou, posuvným nábojem, které propojuje drážkovaný hřidel. Zkušební stroj pro únavové torzní zkoušky PTOS Schenck.

Vysokých úspor pracnosti, které významným dílem přispívají k výhodnosti aplikací ADI, se přitom dosahuje také obráběním měkkých téměř feritických odlitků. Vhodným průběhem austenitizace se pak strukturní matrice nasytí z globuli grafitu uhlíkem, aby se dosáhlo max. efektu izotermického kalení. U litin můžeme totiž během výrobního toku součásti z odlitku operovat s různým množstvím obsahu uhlíku v "ocelové" matrici, což u ocelí v celoobjemovém měřítku není možné.

Kalení do solné lázně působí podstatně menší deformace součástí jak při kalení na martenzit. Izotermicky lze proto i načisto obrobené součásti. Koncem osmdesátých let se kapacity sléváren odlitků z LKG téměř vyrovnávaly s poptávkou strojírenských závodů již lépe. Řízený propad zbrojní výroby na počátku devadesátých let otevřel kapacity kalíren s technologií izotermického kalení do solných lázní. Proto se realizovaly výsledky interního výzkumu [13] k nimž přispěly informace ze společného výzkumu s VUT Brno [9, 14].



Obr.2. Místa vzniku únavové trhliny - v patě radiusu evolventního drážkování na konci náboje.

Výkovky jako polotvary vynikají v porovnání s odlitky vysokou hutností (homogenitou) materiálu. Pro aplikace ADI se proto kladou obecně přísná kriteria na nízkou hladinu vnitřních

vad. K našemu překvapení však dlouhodobé provozní i staniční zkoušky spolehlivě absolvovaly náboje z odlitků s velkými staženinami ve stěně pod nálitkem (ve 4. st. homogeneity dle směrnice CDS 22/1985). Z únavových zkoušek nábojů vyplynuly oblasti první iniciace a rozvoje únavového porušení. V těchto partiích bylo nutno samozřejmě získat litinu bez oslabení nehomogenitami (obr.2). Odlitky z ADI tedy není nutné vždy kupovat s vysokými přirážkami za max. stupeň homogeneity 1-2, které velice často znehodnocují ekonomický efekt. Vady musí být ale soustředěny v „bezpečných“ místech odlitku a znalostí o rozložení namáhání se jeví jako nezbytné.

Seznámení konstruktérů a technologů s vlastnostmi ADI a s příklady aplikací v zahraničí prostřednictvím osvěty [27] přineslo řadu návrhů v oblasti motorových dílů. Jak jsem předeslal dříve, opět je výhodnější navrhnout díly nové jak provádět nahradu u stávajících sériových dílů. Spolupráce s katedrou materiálu VUT Brno probíhá i v současnosti [15].

Na širším využití ADI se pracuje v projektu EURO III.

V současnosti již není problém získat výrobní kapacitu pro zadávané odlitky z LKG, neboť slévárny odlévají s velkými rezervami produkce. Dodávají převážně pro zahraničním zákazníkům.

Množství odlitků, které potřebuje ŠKODA MOTORY na přelomu letopočtu nedosahuje ani desetiny potřeb LIAZ roku 1990!

Odlitky z ADI pro zkoušky a provozní ověření izotermicky kalily obvykle na VUT Brno. Nejbližší kalírnu s využitelnou kapacitou izotermického kalení (solná lázeň AS 140) v posledních deseti letech provozoval TESET a.s. Semily. Od r. 1997 kryje ŠKODA MOTORY a.s. potřeby izotermického kalení zařízením ve vlastní kalírně. Kromě provozních a ekonomických výhod tato skutečnost především umožnuje lépe optimalizovat proces tepelného zpracování a provádět zkoušky operativně a ve vlastní režii.

5.

Specifické litinové díly [18]

Vložený válec patří ke kmenovým odlitkům motoru. Jeho zatižení v provozu tvoří početný soubor:

- kavitační a elektrochemické z vodní strany pláště - vnitřní dynamický přetlak spalovacího prostoru
- tepelnými cykly v oblasti nákrusku
- adhezní opotřebení kmitajícími pístními kroužky.

Přesto z tohoto postu nebyla dosud vytlačena pozice litiny s lupínkovým grafitem díky výborným kluzným vlastnostem s odolností proti opotřebení.

V polovině devadesátých let se slabým mistem vloženého válce stala vodní strana, kde se často tvořily kavitační jamky různých velikostí. Ty větší těsně pod nákruscem přibližuje obr.3.

Základním opatřením k potlačení kavitačního napadání (podporované korozí) byl jednoznačný předpis chemicky neškodné



Obr.3. Typický příklad kavitačního napadení vodního pláště vloženého válce vznětového motoru.

a povrch pasivující chladící kapaliny. Materiálová opatření se na základě získaných poznatků [31] promítla do materiálového

listu a jednání s dodavatelem AGS Jičín. Varianta vývoj materiálu - izotermicky kalené LČG - by měla perspektivu v případě akutních problémů s životností.

Sedla ventilů čeli abrazivnímu opotřebení produktů spalovacího procesu a dynamickým silovým rázům ventilu, odvádí teplo z ventilů. Pro vznětové motory na naftu se ustálilo použití speciální legované (slévárna Buzuluk Komárov a. s.) šedé litiny.

Plynové motory vykazují zvýšené opotřebení v sedlech [32]. Expertizou doporučen perspektivní materiál i způsob nedestruktivního předvídaní opotřebení litinových sedel. Speciální osvědčená komplexně legovaná slitina (sedla WAUKESHA), která vykazuje vysokou odolnost vůči opotřebení při relativně nízké tvrdosti (dá se třískové obrábět při svrtávání v hlavách válců) by byla nejlepším materiálovým řešením.

Zdvihátka ventilů se zdvihají čárovým kontaktem vačky. Přenášená síla vyvolává značné dynamické kontaktní namáhání. Desítky let se odlévají ze šedé litiny funkční plochou na kovovou desku. Vytvořená ledeburičká vrstva vykazuje tvrdost kolem 55HRC a tahové vnitřní pnutí. Zejména po broušení významný výskyt trhlin si vynutil vývoj originální kontrolní metody [19]. Výkres předepisuje zákalku min. 3,5mm silnou. Vyvinutý způsob ND jejího měření prezentuje [34].

Koncem devadesátých let životnost zdvihátek ze šedé litiny nezvýšila na dostatečnou hladinu ani jejich iontonitridace. Kromě jistého ale velmi drahého řešení - ocelové zdvihátko s plátkem slinutého karbidu WC - je ve hře i další řešení [15].

Oběžné kolo vodního čerpadla z LLG v lopatkách musí přenášet kromě hydraulické síly chladící kapaliny zatížení kavitačním napadením (koroze v případě nevhodného chladícího media). Odlití tenkých lopatek bez ledeburičkých vrstev v předepsané jakosti LLG klade stálé problémy slévárnám. Rozbor problému [33] a doporučení (izotermické kalení) nyní problém vyřešilo.

6.

Závěr

Na obsahu habilitační práce se podílí příspěvky nebo práce vydané hlavně v devadesátých letech. Pouze pět jich pochází z doby dřívější.

6.1.

Stručný souhrn vybraných poznatků

Fyzikální mezní stavy při namáhání litin [1]:

R_E ...mez převážně pružných deformací (srovnatelná s mezi únavy)

σ_R ...mez tečení za normální teploty (trvá max. 15 až 20 min.)

σ_t ...mez pružně plasticických deformací (iniciace mikrotrhlin)

σ_u ...mez převážně plasticických deformací (rozvoj trhlin)

R_m ...mez pevnosti.

Uvádět v technické dokumentaci pro litiny smluvní meze není vhodné.

Měřením rychlosti zvuku v_L při zkoušce pevnosti v tahu lze identifikovat vnitřní pnutí v tyči a rekonstruovat hodnotu pevnosti bez vnitřního pnutí [1].

Velikost modulu pružnosti E_0 nepřímo závisí na velikosti grafitových lupínek D (LLG). Příklad vztahu pro E_0 v GPa [5]

$$D = 2080 - 6,23 \times E_0^{0,5} \quad \mu\text{m} \quad (6.1).$$

S velikostí lupínek D (typ A) roste dosažitelná minimální drsnost obráběného povrchu. Pro konkrétní případ soustružení platí [5]

$$R_a = \ln(D/9,29) - 0,614 \quad \mu\text{m} \quad (6.2).$$

Kombinací ultrazvukové a magnetické ND struktury litin (např. zařízením SYLIT) lze s dostatečnou přesností měřit pevnost stěn litinových odlitek [7,23]. ND umožňuje nalézt kritická místa (nejcitlivější na změny v metalurgické technologii) v složitých odlitcích [20]. Sledování těchto míst v čase v rámci statistické kontroly pomůže odhalit příčiny kolísání kvality a sjednávat operativní opatření k nápravě [20-23]. Výraz použitý pro výpočet pevnosti R_m LLG

$$R_m = 46,5 \times M^{0,58} \times (L/L_u)^{2,93} \text{ MPa} \quad (6.3)$$

Předpokládané opotřebení A sedel ventilů bylo pro konkrétní provozní podmínky motoru rovněž zjistitelné kombinovanou ND měřením rychlosti zvuku ultrazvukem a tvrdosti [32].

Ze všech druhů kovových matric litin přísluší největší hodnoty M zbytkového magnetizmu a nejnižší rychlosti zvuku v L struktuře horního „bainitu“. Tato skutečnost souvisí s vnitřním demagnetizačním činitelem struktury vrstvené z feromagnetické a paramagnetické fáze. Horní bainit bude proto možno ND spolehlivě měřit [13].

Rychlosť zvuku v_L jako fyzikální veličina měřená integrálně v prozvučovaném sloupci odlitku dokonaleji reprezentuje určitý podíl zrnitého grafitu GVI v LKG jak subjektivní metalografický odhad z plošného výbrusu [16]. Příklad výrazu stanoveného pro odlitky výfuk. potrubí

$$GIII = 1332 - 0,236 \times v_L \% \quad (6.4)$$

v AUTO ŠKODA M1. Boleslav.

$$V_L = 5920 \times L/L_u \text{ m/s} \quad (6.5).$$

Impulsní proudová magnetizace ledeburitických čel pracovních ploch zdvihátek ventilů umožnuje vysoce produktivní a energeticky úspornou kontrolu povrchových vad [19]. ND hloubky zákalky předchází ztrátám při obrábění a nízké životnosti [34].

Prokázán příznivý vliv průtočnosti tekuté litiny stěnou na mechanické vlastnosti LKG a LCG vyšších pevnostních tříd ve stěně s licí kůrou. Přitom hodnoty tvrdosti mají opačný trend. [6,7].

U součástí z LKG jakosti 42 2306 a oceli podobné pevnostní kategorie 42 2660 při zatěžovacím spektru pod mezi únavy se předpokládá stejná životnost jak za normální tak za snížené teploty až do -80°C . Pokud část zatěžovacího spektra překračuje mez únavy, bude jejich životnost v případě použití LKG kratší. S poklesem teploty přitom klesá počet cyklů do silového dolomení a roste plocha silového lomu [8].

Pro feriticko perlitické LKG mezi únavy vzrůstá s hodnotou

Rm. Naopak pro LKG zpracovanou jako ADI klesá mezi únavy s rostoucími hodnotami Rm [9]. Nejpříznivější únavové vlastnosti vykazuje perlitická LKG legovaná pouze Cu nebo ADI s „horním bainitem“. Obě struktury dosahují přibližně stejných hodnot únavové pevnosti.

Závislost Rm na mezi únavy pro LKG tak popisuje parabolická funkce [14, 27]

$$\sigma_c = 0,49 \times R_m - 0,00025 \times R_m^2 \text{ MPa} \quad (6.6)$$

Odlitky z ADI lze efektivně nahrazovat záplastkové výkovky z uhlikových ocelí pokud dochází k významným materiálovým úsporám. Bylo dosaženo přibližně stejných hodnot meze únavy v krutu [13]. Slévárenské vady a neprokalení nesmí přitom pronikat na funkční povrchy součástí po obrobení.

Z hlediska opotřebení (adhezní kluzný kontakt s kalenou ocelí) na základě výsledků [10] vyhovujících výsledků dosáhla ADI legovaná 0,13% Mo. Ke struktuře dolního bainitu LKG lze použít žíhanou ocel, ale zušlechtěnou ocel nelze doporučit [11].

Efektivní postup aplikace odlitků ADI. Výchozí materiál tvoří nelegovaná feritická LKG s GVI min.90%. Po snadném obrobení se izotermicky kali do solné lázně. Finální transformační zpevnění [27].

Izotermické kalení náhradními postupy vede pouze k získání dokonalého dolního bainitu [27].

Zušlechtění tenkostěnných odlitků z LLG nevede obvykle k zvýšení pevnosti (mikrotrhlinky z konců grafitu) [33]. Minimální deformace a vysokou pevnost zaručí v těchto případech izotermické kalení hotových obrobků do solné lázně (příklad: oběžná kola čerpadel, kapodastr klavíru).

Metodou postupných řezů lze vykreslit dokonalý tvar ředin a staženin. Tvoří nejlepší podklad pro porovnání dodavatelů a vytvoření účinných opatření k jejich potlačení [29, 30].

Mechanismus kavitačního napadení vodních ploch vložených válců iniciuje korozní napadení podél lupinků grafitu. Z materiálového hlediska se odolnost zvýší vyloučením kratších lupinků grafitu a jemného perlitu ve struktuře, legování Cu a

litím do kokil [31].

Impulzní proudová magnetizace ledeburitických čel pracovních ploch zdvihátek ventilů umožňuje vysoce produktivní a energeticky úspornou kontrolu povrchových vad ve fluorescenční indikační lázni [19].

ND hloubky ledeburitcké vrstvy čel zdvihátek byla vyřešena měřením rychlosti zvuku přes celou délku válcového zdvihátka, nebo měřením zbytkového magnetizmu na čele odlitku [34].

6.2.

Perspektiva litin

Z hlediska záruky jakosti a aplikací:

- a) Požadavky na stále materiálově reprodukovatelnější a kvalitnější odlitky pro automobilový průmysl koliduje se stále nepříznivějšími surovinovými vstupy a pestrostí sortimentu sléváren. Účinné nasazení metod ND poskytne záruku kvality zákazníkovi a informace pro udržení jakosti v dohodnutých mezích slévárně.
- b) Efektivnější využití litiny v konstrukci odlitků umožní znalost hodnot skutečných mezních stavů při namáhání litin (vstupní data pro výpočetní techniku). Jejich měření si proto osvoji běžné materiálové zkušebnictví.
- c) Zhodnocení kovové hmoty litin izotermickým kalením nemusí být doménou pouze odlitků z LKG. Má perspektivu i u LLG a LČG. V oblasti ADI nutno zvládnout pro průmyslové využití technologii strukturního zpevnění (výrazné zvýšení meze únavy).

Použitá označení a zkratky

- A.....opotřebení mm
- D.....délka lupinků grafitu μm
- E.....počáteční modul pružnosti MPa
- F.....množství feritu %
- G.....označení grafitu litiny
- HB....tvrdost podle Brinella
- K.....lomová houževnatost
- L.....skutečná síla stěny
- L_usíla stěny měřená ultrazvukem seřízeným na ocel (vLo=5920 m/s)
- M.....číselná hodnota na displeji přístroje DOMENA přímo úměrná intenzitě zbytkového magnetického pole na povrchu odlitku
- P.....množství perlitu %
- R_adrsnost povrchu μm
- R_emez kluzu MPa
- R_Emez převážně pružných deformací MPa
- $R_{p0,2}$...smluvní mez kluzu MPa
- v_Lpodélná rychlosť zvuku m/s
- σmechanické napětí obecně MPa
- ADI...Austempered Ductile Iron - izotermicky kalená LKG
- LČG...litina s červíkovým grafitem
- LKG...litina s kuličkovým grafitem
- LLK...litina s lupíkovým grafitem
- ND....nedestruktivní diagnostika.
- ŘEM...řádkovací elektronová mikroskopie

Výčet komentovaných prací

I. Vlastnosti litin v odlitcích. Veřejně publikované práce.

[1] SKRBEK, B. Mechanizmus porušování litin, jeho interpretace na tahovém diagramu a sledování změn fyzikálních vlastností. Mezinárodní konference FRAKTOGRAFIE'94, sborník, SAV Košice, 1994, s. 309 - 315.

[2] SKRBEK, B., BÁRTA, B. Tepelná únava šedé litiny. Slévárenství, 1985 č.4, s. 147 - 152.

[3] SKRBEK, B., BÁRTA, B. Thermal Fatigue of Grey Cast Iron. Materials information 11, 1986-Translation Service, The Institute of Metals 1 Carlton House Terrace London. Svazek 16 s.

[4] SKRBEK, B. Mikroohybová zkouška litin. CONMET 91, II. celostátní konference, sborník, BRNO 1991, s. C7 1 - 3.

[5] SKRBEK, B. Vztah rychlosti zvuku, tloušťky stěn a drsnosti obroběných povrchů litinových odliteků. DEFEKTOSKOPIE'93, celostátní konference se zahr. účasti, sborník, M&C České Budějovice, 1993, s. 72 - 80.

[6] SKRBEK, B. Vztah mechanických vlastností v odlitcích a přílitych vzorkovacích tělesech. CONMET'94, 5. mezinárodní sympozium o zařízení a metodách pro studium struktury a vlastnosti materiálů, sborník, BRNO, 1994, s. 96 - 99.

[7] SKRBEK, B. Vztah mechanických vlastnosti v odlitcích a přílitych vzorkovacích tělesech. METAL'95, 4. mezinárodní metalurgické sympozium, sborník, Ostrava, 5. 1995, s. 164 - 168.

II. Litiny s kuličkovým grafitem. Veřejně publikované práce.

[8] SKRBEK, B . , Konečný, V . **Využití tvárné litiny v konstrukci čs . nákladních automobilů.** Konference "Vývoj automobilů", ČS VTS ÚVMV Praha, říjen 1986, s. 110 - 116.

[9] VĚCHET, S., DORAZIL Eduard, BÁRTA, B., SKRBEK, B. **Únavové vlastnosti tvárné litiny při zatěžování pulzujícím ohybem.** Knižnice odborných a vědeckých spisů VUT Brno SF KNM, ročník 1990, svazek B - 132.

[10] SKRBEK, B., BÁRTA, Bohumil. **Využití bainitické tvárné litiny na odlitky motorů.** Hutnické listy, 1983, č. 10., s. 722 - 725.

[11] SKRBEK, B., BÁRTA, B., DOBEŠ, P. **Kluzné vlastnosti třecích dvojic bainitické tvárné litiny s podeutektoidní ocelí a bronze CuSn12.** INTERTRIBO~93, sborník, DT Bratislava, 1993, s. 98 - 104.

[12] BÁRTA, B., SKRBEK, B. **Ductile cast Iron and its some Interesting Characteristics with Consideration of Wear.** Symposium Životnost výrobních zařízení pracujících v podmínkách intenzivního opotřebení, sborník, SVÚM Praha a VŠ zemědělská, 1992, s. 84-89.

[13] SKRBEK, B. **Efektivní náhrada tvářené oceli bainitickou tvárnou litinou na součástech nákladních automobilů.** Konference Progresivní materiály v konstrukční praxi, sborník, SAV Košice, 1993, s. 104 - 113.

[14] VĚCHET S., POLÁK J., OBRTLÍK K., DORAZIL E., ŠVEJCAR J., SKRBEK B. **HIGH AND LOW CYCLE FATIGUE OF AUSTEMPERED DUCTILE**

IRON. WORKSHOP, MATERIALS SCIENCE IN MACHANICAL ENGINEERING, TU of Brno grant No. F-59-94.

[15] SKRBEC, B., VĚCHET, S., PODRÁBSKÝ, T. **Aplikace ADI na díly vznětových motorů.** 5. mezinárodné metalurgické sympozium, sborník, Slovenské zlievarenské spol. při TU Žilina, 9. 1999. s.75 - 80.

[16] SKRBEC, B., VODIČKA, Petr. **Zkušenosti s provozováním ultrazvukové rychlozkoušky účinku modifikátoru.** Konference Očkovadla a predzliatiny, sborník, INPEKO Žilina, 1991, s. 112 - 118.

[17] SKRBEC, B., WEISS Jan. **Přispěvek nedestruktivní kontroly k zvyšování kvality odlitků z tvárné litiny.** 4. medzinárodná škola defektoskopie, sborník, DT ČSVTS Bratislava, 1991, s. 20 - 23.

III. Specifické díly z LLG. Veřejně publikované práce,

[18] SKRBEC, B. **Kvalita oceli a litiny součástí ve vztahu ke spolehlivosti motoru.** Konference Súčasný stav a prognózy vývoja hutnictva na Slovensku, sborník, TU HF Košice, 1997, s. 234 - 241.

[19] SKRBEC, B., VOLEJNÍK Petr. **Kontrola zdvihátek ventilů polévací metodou s impulsní magnetizací.** DEFEKTOSKOPIE'91 celostátní konference, sborník, M&C České Budějovice, 1991, s. 169 - 179.

Autor Břetislav Skrbek

I. Vlastnosti litin v odliticích. Nepublikované inženýrské práce.

[20] **Statistická kontrola materiálu bloků motorů M1A**, zpráva LIAZ 147-3-Sk/89 (19 s. text, 20 s. obr. a tab., 100 s. příloh). Celoroční komplexní nedestruktivní sledování kvality litiny ($R_m, HB, Eo, \delta F$) v 15-ti kritických místech odlitku bloku motoru (soubor čítal přes 100 odl.). Tavírna slévárny bez velkoobjemového mísiče tekuté litiny. Kritické dynamicky namáhané místo s největší citlivostí na metalurgické vlivy - vnitřní přepážky válců.

[21] **Statist. kontrola mater. bloků motorů M1A**, zpráva LIAZ 176-4-Sk/90. (24 s. text, 25 s. obr. a tab., 130 s. příloh). Stejně celoroční sledování. Tavírna s provozem 25T mísiče tekuté litiny. Přínos-vyhodnocení.

[22] **Bloky válců M3341/II.** Zpráva LIAZ a. s., 201-06-B/92, odbor materiálu. (12 s., 3 obr., 7 tab., 13 příloh).

Celoroční sledování vývoje kvality strukturněmechanických vlastností konstrukčně upraveného bloku. Poznatky o vlivu úprav. Zpětné vazby na slévárnu k zlepšení kvality z průběhu časového vývoje.

[23] **Kontrola materiálové jakosti odlitku bloků válců naftových motorů.** Závěrečná práce specializovaného (4.semestrového) studia defektoskopie, Ústav materiálového inženýrství WT' Brno, 1/1994 (24 s .).

[24] **Hlavy válců M1503 - expertiza materiálu.** Zpráva 97021803 ŠKODA LIAZ a.s., vývoj motorů. (IZ s.).

Vysvětlení náhodného výskytu těžkoobrobitelných odlitků.

Aplikační vývoj nasazení nedestruktivní kontroly strukturněmechanických vlastností. Opatření.

[25] **Hlava válců M4282 č.3/95 - posouzení materiálu.** Zpráva 96040703 ŠKODA LIAZ vývoj motorů. (3 s.).

Na základě zmapování jakosti litiny na jednom z prvních odlitrků šestiválcové hlavy pro nový motor EIII navrženo legování litiny.

II. Litina s kuličkovým grafitem. Nepublikované inženýrské práce.

[26] **Držáky per z tvárné litiny.** Závěrečná zpráva podnikového úkolu T - 10 - 998, LIAZ a. s., odboru materiálu. (24 s., 8 příloh). Příklad jedné z více zpráv vývoje aplikace LKG na skupinu vozových dílů.

[27] **Izotermicky kalená LKG - souhrn vlastností - zkušenosti s aplikacemi na dílech nákladních vozů,** zpráva 93/25 LIAZ Jablonec, (36 s.); Rozsáhlý materiál především pro konstruktéra a technology LIAZ podporující aplikace a zpracování.

[28] **Litina s kuličkovým grafitem v dílech vozů LIAZ.** Zpr. 950703. (5s.). Přehled o stavu aplikaci k 30. 6. 1995.

[29] **Hlava předního kola TRANSPORTA-vnitřní vadu,** zprávy 960902L3 a 961I02L3 pro ŠKODA LIAZ Liberec; Přiřazení vizuálních nálezů dutin na obroběných plochách skutečnému tvaru a objemu dutin (zjištěny metodou postupných řezů) v původním stavu a po úpravě vtokové soustavy.

[30] **Hlava předního kola ROSS- dokumentace vad,** práce 960901L3 a 961I03L3; Zprávy ve stejném smyslu jako předchozí dvě. Porovnání obou dodavatelů hlav z LKG. Stanovení mezních parametrů vad.

III. Specifické díly z LLG. Nepublikované inženýrské práce.

[31] **Vložené válce motorů LIAZ-životnost-shrnutí dalších poznatků**, zpr. 96030206 LIAZ; (13 s.).

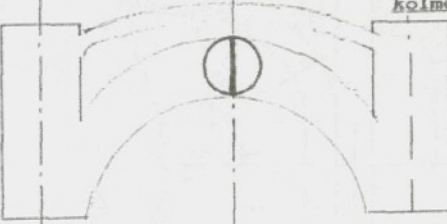
Na základě rešerše světových poznatků a souč. stavu životnosti vyprac. studie vývoje mater, a nových TPP.

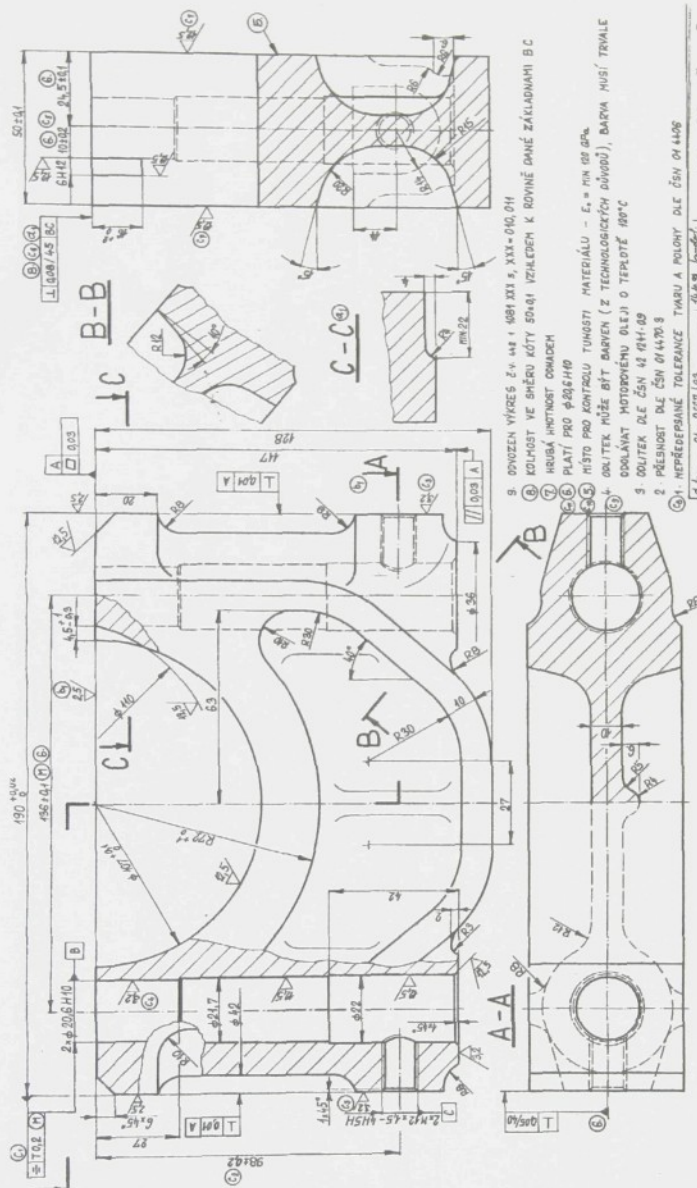
[32] **Sedla ventilů pro plynové motory**, zpr. 96040515, 96120315, 97010315 ŠKODA LIAZ; (10 S.).

Rozbor vysokého opotřebení a změn vlastnosti po obvodu sedel, doporučení.

[33] **Oběžná kola 002 a 005 - mater. zkoušky**, zpr. 931011 LIAZ; (13 s.). Rozbor kvality dodávek odl. a tep. zpr. s ohledem na minimalizaci výskytu cementitu, obrobitelnost a odolnost vůči kavitaci. Opatření.

[34] **Zdvihátka ventilů ŠKODA pro osobní vozy**, zpráva 980788SZ; (6 s.). ND hloubky ledeburitické vrstvy. Shrnutí výsledků technické pomoci slévárně zdvihátek ventilů.

Datum: 20.10.1995 Vypracoval: Ing. B. Skrbek Sc <i>B. Skrbek</i>	Návodka kontrolní metody	Pro: LIAZ03 stř. OŘJ-VstTK		
Kontrolovaný díl	Víka ložisek klikových hřídelů			
Kontrol. vlastnost	Tuhost vyjádřená modulem pružnosti (rychlosti zvuku) Eo (vL)			
Princip:	$E_o = (437,8 \times L / Lu)^2$ MPa $v_L = 5918 \times L / Lu$ m/s			
Vlastní provozní měření spočívá v kontrole kritických hodnot Lu UZ tloušťkoměrem, kterým přísluší předepsané hodnoty Eo, pro známé sírky L vik ložisek. Přístroj je seřízen na rychl. zv. 5918 m/s.				
Tabulka kritických hodnot Lu pro jednotlivé typy vík a jakosti litin: obrobena víka!				
model	ozn.v sítí VINKA	L mm	42 2425 Eo120 Lu mm	42 2420 Eo 105 Lu mm
4205	B	50	≤ 63,2	do 67,6
2721	/	49	≤ 62	66,2
2720	A	48	≤ 60,7	64,9
Kontrolované místo a orientace sondy:			dělení dvojité sondy kolmě k oblouku víka	
				
Použitá sonda: kmitočet 1MHz průměr 1/2"				



NEPLATNÍ
NEPLATNÝ VÝKAZ

10. TYDLOVÝ KALENDÁŘ BUDOU VYDÁVAT NA VŠECHNIKU PLOCHÁČKU, KTERÉ VYDÁVÁNÍ MAX. 240 MB

VÍKU I: LUZI SKÁ
K KOVÉHO HŘÍDELE

U 333.1.1

TECHNICKÁ UNIVERZITA V LIBERCI

Fakulta strojní



HABILITAČNÍ PRÁCE S KOMENTÁŘEM

2000

Břetislav Skrbek

Fakulta strojní

PROBLÉMY APLIKACE GRAFITICKÝCH LITIN U VZNĚTOVÝCH MOTORŮ
A NÁKLADNÍCH AUTOMOBILŮ

Habilitační práce s komentářem

Obor strojírenská technologie 23-07-8



Ing. Břetislav Skrbek, CSc.

Březen 2000

PŘÍLOHA

I. SVAZEK

Kopie publikovaných vědeckých prací [1 až 19].

MEDZINÁRODNÁ
FRAKTOGRAFICKÁ
KONFERENCIA

'94

Zborník prednášok

INTERNATIONAL
CONFERENCE ON
FRACTOGRAPHY

Proceedings

10.-13. October 1994
STARÁ LESNÁ, SLOVAKIA

MECHANISMUS PORUŠOVÁNÍ LITIN, JEHO PROMÍTNUTÍ DO TAHOVÉHO DIAGRAMU A ZMĚN FYZIKÁLNÍCH VLASTNOSTÍ

MECHANISM OF FAILURE OF ALLOYS, ITS INTERPRETATION IN THE TENSILE DIAGRAM AND OBSERVATION OF CHANGES OF PHYSICAL PROPERTIES

Břetislav Skrbek

LIAZ a. s. Jablonec nad Nisou

Úvod

Litinové odlitky tvoří převažující hmotnost nosných součástí pohybových ústrojí (motory, nápravy, diferenciály aj.) dopravních prostředků. Litiny jsou stále nejdůležitějším konstrukčním materiálem pro odlitky.

Výroba přeplnovaných naftových motorů zvýšila nároky na odlitky z hlediska jejich mechanického a tepelně cyklického namáhání.

Podmínkou dalšího úspěšného vývoje konstrukce a slévárenské výroby složitých litinových odlitek je také hlubší znalost souvislostí mezi únavovými a statickými vlastnostmi opřená o znalost mechanizmu deformace a rozvoje mikro a makroporuch, znalost rozložení struktury.

“Nevítaným” hostem ve stěnách odlitek je vnitřní pnutí (mezistěnové nebo příčně rozložené), které mění mezní zatíženosť stěny odlitku a dále komplikuje vyhodnocování mechanických zkoušek.

Složitá nehomogénní struktura litin působí komplikace při pokusech o kvantifikaci a matematický popis souvislostí (na rozdíl od ocelí). Touto problematikou sa proto zabývá jen malé množství odborných prací.

V tomto příspěvku je stručně shrnut dosavadní stav znalostí s ohledem na několik provedených experimentů v uvedené oblasti.

Mechanismus porušování litin

Rozhodující roli ve vztahu k dynamickým mech. vlastnostem má množství a způsob rozložení grafitu ve struktuře litin.

Litiny si můžeme představit jako kompozitní materiál ocel-grafit, který je připraven přirozenou krystallizací z taveniny. Přitom grafitové (uhlíkové) čá

tice nemají, jak je u kompozitů obvyklé, význačnou funkci, ale naopak mají prakticky nulovou pevnost. Působí jako vnitřní nestlačitelné dutiny. Grafit a matrice mají nespojitě rozhraní. Při tahovém namáhaní se tak prostory zaujmající grafit mohou zvětšovat, ale při tlakovém namáhaní mohou přenášet zatížení. Proto například lítina s lupínkovým grafitem má prakticky čtyřnásobnou pevnost v tlaku ve srovnání s pevností v tahu.

Různymi metalurgickými postupy lze připravit celou škálu tvarů částic grafitu v litině. Od kuliček až po tenké prolamované lupinky. S jejich rostoucí délkou a křivostí zakončení roste jejich vrubový účinek pro "ocelovou" matrice, která je u šedých litin obvykle eutektoidního složení s vysokým obsahem Si (1,5; 3,5%).

Při prostém jednoosém tahovém zatížení již při malých hodnotách napětí tak na koncích příčně orientovaných lupínek grafitu dochází k mikroplastické deformaci (přesuny a skluzy dislokací). Tvoří se prostorová napjatost ocelové matrice. Příčné složky napětí komplikují průběh deformace tělesa, i když nedosahuje v průměru 10% osového napětí. Proto se Poissonovo číslo liší od oceli. Tvar panenské deformační zatěžovací křivky se významně liší od křivky tělesa již zatěžovaného. Po vyčerpání plast. deformace vznikají na koncích lupínek mikrotrhliny při celkově ještě nízkých hodnotách napětí ve srovnání s pevností v tahu Rm. Jejich růst a spojování pak vede k vytvoření magistrální lomové plochy. Na výbruse litiny lze pak sledovat množství mikrotrhlin z konců lupínek grafitu. Stejného efektu vlivem strukturních a tepelných pnutí se dosáhne kašlením litiny.

Tahová část zatěžovací charakteristiky $\sigma = f(\epsilon)$ je tak od počátku nelineární a neplatí zde Hookův zákon.

Statická zkouška v tahu a mez únavy

Řada autorů se zabývala zkoumaním úlohy grafitu při vzniku a šíření únavového lomu. Obvykle se však stanovení mezních stavů a meze únavy omezilo na výpočet [4,5] procentuálního poměru k mezi pevnosti Rm, např.:

$$\sigma_{ct} = \langle 0,22; 0,33 \rangle \cdot Rm \quad [\text{MPa}] \quad (1)$$

pro míjivý tah a

$$\sigma_{coh} = \langle 0,56; 0,66 \rangle \cdot Rm \quad [\text{MPa}] \quad (2)$$

pro ohyb za rotace.

Rozborem logaritmované deformační zatěžovací křivky litin, kterou Drápal získal tenzometrickým snímaním prodloužení, [2] stanovil mez σ_1 - mikroplastických deformací a σ_{II} - mez pružně plastických deformací, viz. obr. 1.

V další práci [5] Exner provedl derivaci $d\sigma/d\varepsilon$ napětí σ podle poměrného prodloužení ε tahové deform. zatěž. křivky. Analýza grafické závislosti ($d\sigma/d\varepsilon$) = $f(\sigma)$ pak jednoznačně určila čtyři mezní stavy namáhání a tím rozdělila křivku na oblast (obr. 2)

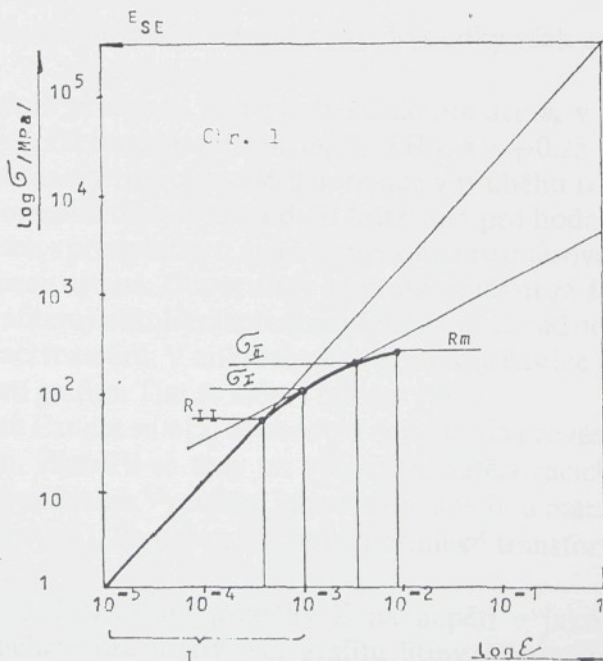
1. převážně pružných deformací $\langle O; R_E \rangle$
2. pružně – mikroplastických deformací $\langle R_E; \sigma_I \rangle$
3. pružně – plasticích deformací a iniciace mikrotrhlin $\langle \sigma_I; \sigma_{II} \rangle$
4. převážně plasticích deformací a rozvoje mikrotrhlin $\langle \dot{\gamma}_I; R_m \rangle$.

Porovnání výsledků zkoušek meze únavy v míjivém tahu σ_{ct} a zjištěných hodnot R_E ukázalo na jejich shodu.

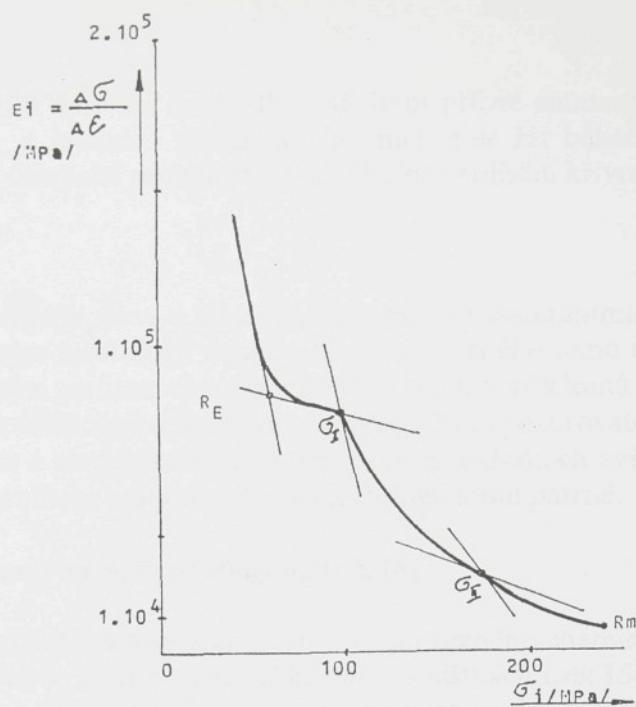
Mez σ_I odpovídá fyzikální meze kluzu litin (R_p u ocelí). Pom. deformace ε_I je přitom u litin podstatně nižší jak smluvní hodnota $\varepsilon = 0,2$ pro $R_{po,2}$ pro oceli. Pro litiny s lupínkovým grafitem platí približný výraz

$$\sigma_I = 0,51 \cdot R_m - 15 \quad [\text{MPa}], \quad \text{koef. korelace } K = 0,935 \quad (3)$$

Na souboru několika desítek zkušebních tyčí jsem provedl ověření uvedeného způsobu zpracování ruční digitalizací a digitální derivací záznamů křivek pořízených na trhacím stroji EU40 s extenzometrem INOVA PXA20. Programově bylo nutno potlačit přístrojové roztřesení a ohyby křivek. Některé křivky



Obr. 1.



Obr. 2.

nevykazovaly všechny uvedené mezní stavy. Výsledky však celkově byly prokazatelné.

Změnou modulu pružnosti E a plastické deformace ε_s v čase se zabýval Nechtelberger [6]. Při trvalém zatížení $\sigma_T > 0,35 \cdot R_m$ a $\sigma_{dT} > 0,25 \cdot R_{md}$ (namáhání v tlaku) nastává časový rozvoj trvalé deformace v průběhu $t < 15; 20 \text{ min}$. Tato mez tečení za normální teploty tvoří další kritérium pro hodnocení litinových odlitků pracujících s předpětím, u nichž se vyžaduje rozměrová stabilita. Po 20 min. tok deformace ustane. Doporučuje se proto součásti ze šedé litiny (litiny s lupínkovým grafitem) několikrát předem přetížit mírně nad dovolenou hranici napětí k stabilizaci rozměrů. V mikrostruktuře praskají částice grafitu a mění se tvar dutin uložení grafitu. Tím se mění i hodnoty E .

Ověření výsledků Exnera se v [5] Svobodovi nepodařilo provést díky přístrojovým problémům. Zaměřil se tedy na vyrovnání zatěžovacích charakteristik exponenciální hyperbolou. Vypočítal jeho mezní stav bod maximálního vyklenutí R_E (max. křivosti). Popírá možnost logaritmické transformace dle [2] do lineárních úseků.

Hughes [7] uvádí okamžité průběhy E na napětí σ jako hladké křivky s typickým průběhem pro určitý tvar grafitu litiny. Okamžitá hodnota E je

vlastně equivalentní derivaci $d\sigma/d\varepsilon$. Provedl jsem příčné snímaní podélné rychlosti zvuku v_L a intenzity remanentního mag. pole H_r během zatěžování zkuš. tyčí z litin. Grafické průběhy byly hladké bez kolísání křivosti.

$$E = k \cdot v_L^2 \quad (4)$$

Nutno ale počítat s tím, že v_L a H_r jsou vektory s jen jednou snímanou složkou.

Porovnávali jsme morfologii únavového a statického lomu různých litin. U litin s kuličkovým grafitem charakter lomů byl identický k lomů na ocelových součástech. Na šedélitině oba druhy lomů splývají. Není pozorovatelné rozhraní mezi únavovým a statickým lomem při nízkých hodnotách zvětšení. Litina s červíkovitým grafitem má již rozdíly v morfologii lomů patrné.

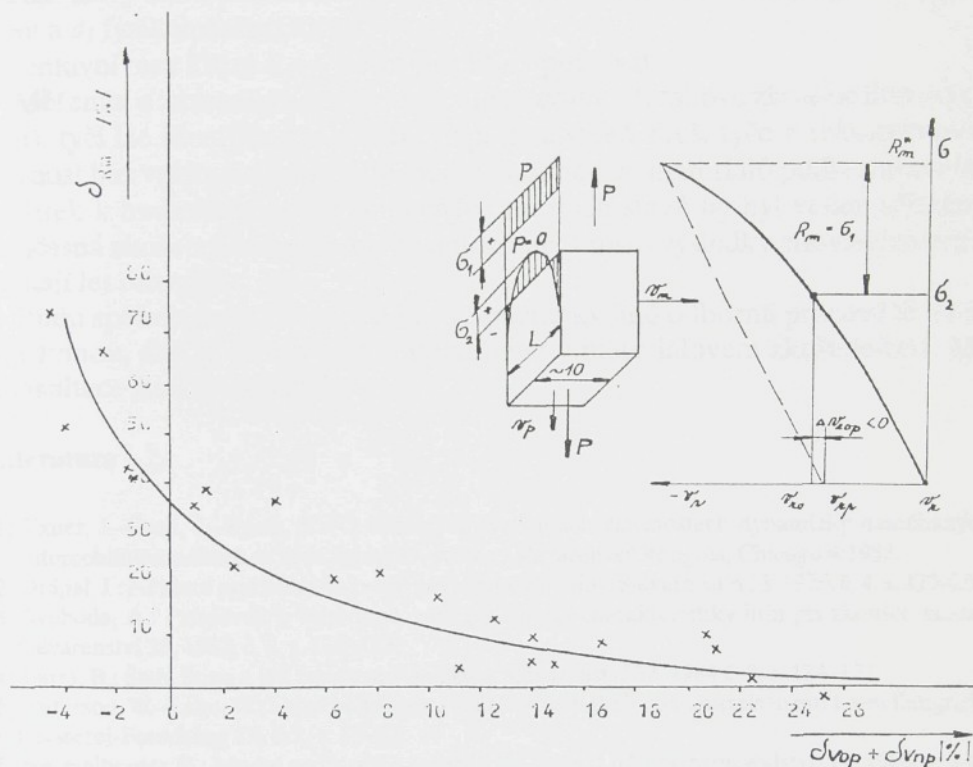
Vliv vnitřního pnutí na pevnost stěny odlitku [8]

Při experimentálních zkouškách pevnosti litin různého chemického složení na plochých tyčích se zachovanou licí kůrou o tloušťkách $L < 6$; 15×15 mm vykazovaly zvláště legované perlitické vzorky s lupínkovým grafitem někdy podstatně nižší hodnoty R_m než by se podle struktury očekávalo. Tyče byly bez vnitřních vad, vzorně obrobeny a upínány (přes čepý). Lomy při tahové zkoušce začínaly v ose průrezu. Tyto tyče po přetržení měly vyšší hodnoty rychlosti zvuku jak před přetržením. Tyče s hodnotami R_m v předpokládaných mezích zásadně přetržením hodnoty v_L snižují. Typické naměřené hodnoty v relativních veličinách uvádí tab. 1:

Tyč	Počáteční Eo GPa	R_m^* MPa	R_m MPa	δR_m	δv_p	δv_n %	L mm
10A6	132	310	298	3,9	9,4	5,5	6,4
11A6	127	360	212	41	-2,7	1,3	6,2
11B6	125,7	360	121	66	-4	1,4	6,3
11C6	128,8	360	177,4	51	-3,2	-0,8	6,4
11C8	133	340	194	43	-1,3	-0,5	8,1
11C10	129,3	330	87	74	-2,9	-1,7	10,2
11A15	130	300	275	8,3	8,7	8	15,7
11B15	134	300	310	-3,3	11,7	8,4	14,9
10B15	119	250	242	3,2	11,9	9,3	15,8

Pokles hodnoty σ_v rychlosti zvuku indikuje růst mikroobjemu dutin grafitu a mikrotrhlin v příčném směru k směru měření. Jedině vysoké příčně rozložené vnitřní pnutí σ mohlo patrně způsobit uvedené snížení hodnot R_m a současný vzrůst hodnot v_L . Vzniká při intenzivním odvodu tepla stěnou formy při tuhnutí litiny (příčně brždené smršťování). Tahové vnější napětí σ_1 superponuje s para-

bolicky rozloženým vnitřním pnutím σ_2 a pevnosti stěny R_m^+ dosáhne nejdřív v ose stěny. Hodnota v_r odpovídá stavu po odstranění vnitřního pnutí (žhaní). Stěny s příčně rozdeleným vnitřním pnutím, tedy s tlakovým předpětím P povrchu, přenáší dobře ohybová zatížení. Měřením rychlosti zvuku v_L během pevnostní zkoušky lze tedy indikovat přítomností vnitřního pnutí a z grafického průběhu dle obr. 3 můžeme rekonstruovat předpokládanou hodnotu pevnosti R_m^* bez vnitřního pnutí.



Obr. 3. Závislost odchylky δR_m od předpokládané pevnosti R_m^* na snížení rychlosti zvuku $\delta v_{vp} + \delta v_{vn}$. Závislost δR_m na snížení v_r .

Výraz (5) vyjadřuje vztah mezi relativní změnou rychlosti zvuku přetřesení tyče v podélném σ_{vp} a příčném σ_{VN} směru (k namáhání) k relat. snížení pevnosti σ_{Rm} . Graf. průběh uvádí obr. 3.

$$\delta_{Rm} = 62323 \cdot (\delta_{VN} + \delta_{VP})^{-1,13} \quad K = -0,93 \quad (5)$$

$$\delta_{VP} = (v_{OP} - v_P) \cdot 100 / v_{OP} \quad \delta_{Rm} = (Rm^* - Rm) \cdot 100 / Rm^* \quad (6), (7)$$

Rychlosť zvuku se měří běžným ultrazvukovým tloušťkoměrem. Zde byl použit typ UTM200, který dodává firma MALINA SPEED-GLAS Jablonec nad Nisou s dvojitou sondou 2,25 MHz.

Závěr

Derivací záznamu zkoušky pevnosti v tahu bude možno stanovit fyzikální mezní stavy litin, přičemž hodnota R_E odpovídá medzi únavy σ_{ct} v míjivém tahu a σ_I fyzikální mezi kluzu.

Smluvní mez kluzu $R_{P0,2}$ nelze pro litiny používat.

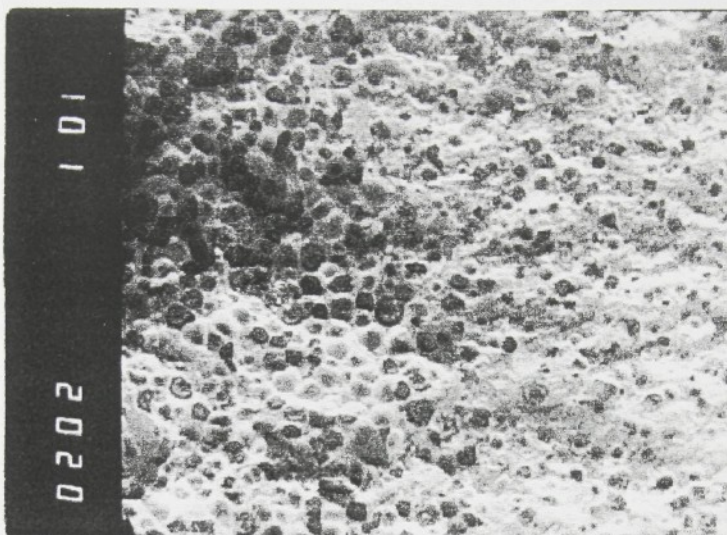
Měřením a záznamem podélné rychlosti zvuku při tahové zkoušce litinových zkuš. tyčí lze identifikovat vnitřní napětí ve stěně zkuš. tyče a rekonstruovat pevnost bez vnitřního pnutí. Přechod od hodnocení materiálů podle smluvních měřítek k hodnocení podle skutečných mezních stavů by byl velice užitečný. Současná zkušební technika ho již umožňuje. Přesto výsledky citovaných prací nemají let odezvu.

Budu spokojen, když uvedené nové poznatky jiná odborná pracoviště ověří a rozvinou, aby se mohly běžně uplatňovat v materiálovém zkušebnictví. Mě konzultace jsou k dispozici.

Literatura

- [1] Exner, J.-Čech, J.-Rusín, K.: O některých fyzikálních vlastnostech dynamicky namáhaných automobilních odlitků ze šedé litiny, 49. světový slévárenský kongres, Chicago 4/1982.
- [2] Drápal, J.: Některé problémy únavové pevnosti šedé litiny, Slévárenství 28, 1976, č. 4, s. 223–232.
- [3] Svoboda, A.: Príspěvek k vyhodnocování zatěžovací charakteristiky litin při zkoušce tahem, Slévárenství 35, 1987, č. 3, s. 119–123.
- [4] Bárta, B.: Šedá litina a její únavové vlastnosti, Slévárenství 32, 1984 č. 3, s. 124–127.
- [5] Patterson, W.–Lahn, W.: Unternehungen zur Dauerfestigkeit von Gusseisen mit Lamellengrafit. Giesserei-Forschung 22, č. 1, s. 15–22.
- [6] Nechtelberger, E.: Modul pružnosti a tečení šedé litiny, Litějnoe proizvodstvo 11, 1986, s. 3–4.
- [7] Hughes–Powell: Compacted Graphite Irons - High Quality Engineering Material in the Cast Iron Family, BCIRA 840722.
- [8] Skrbek, B.: Nedestruktivní materiálová diagnostika litinových odlitků, kand. disertační práce VŠST Liberec, Jablonec 1988.

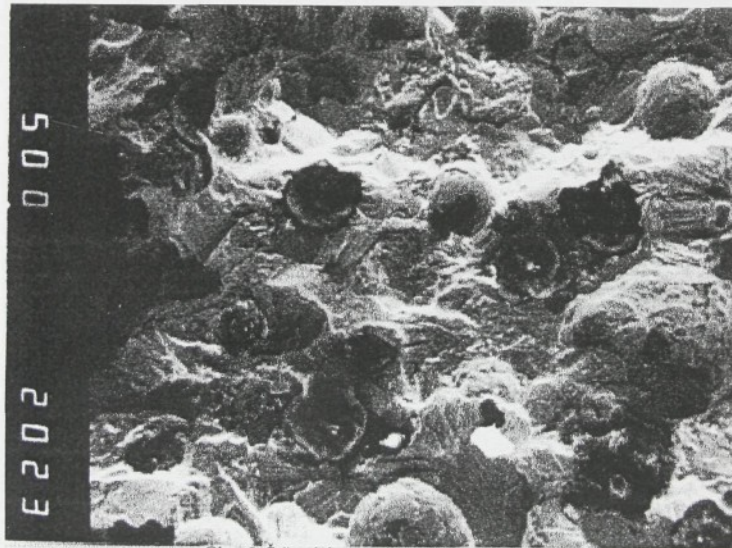
Lomy litin



Obr. 4. Přechodová oblast mezi houževnatým a únavovým štěpným porušením LKG.



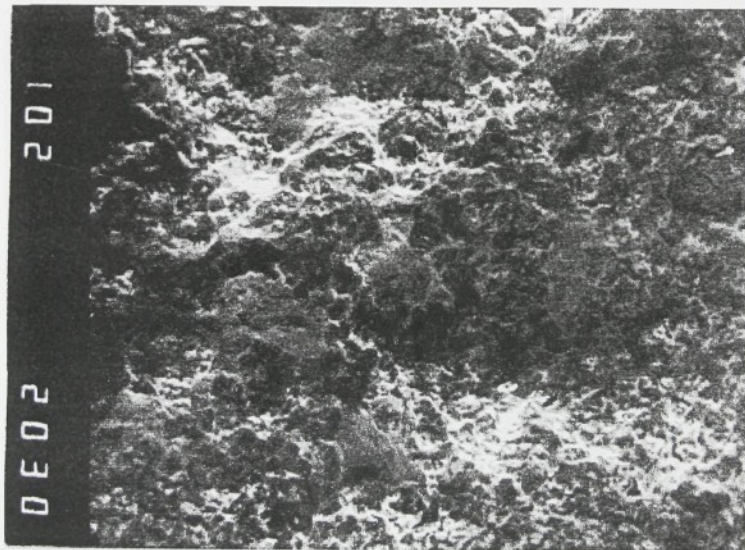
Obr. 5. Houževnatý statický lom LKG (HSL).



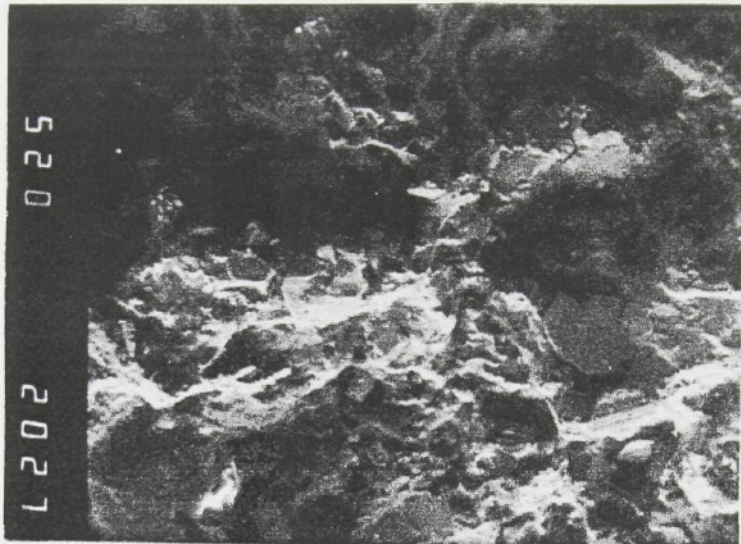
Obr. 6. Štěpný únavový lom (SUL) LKG.



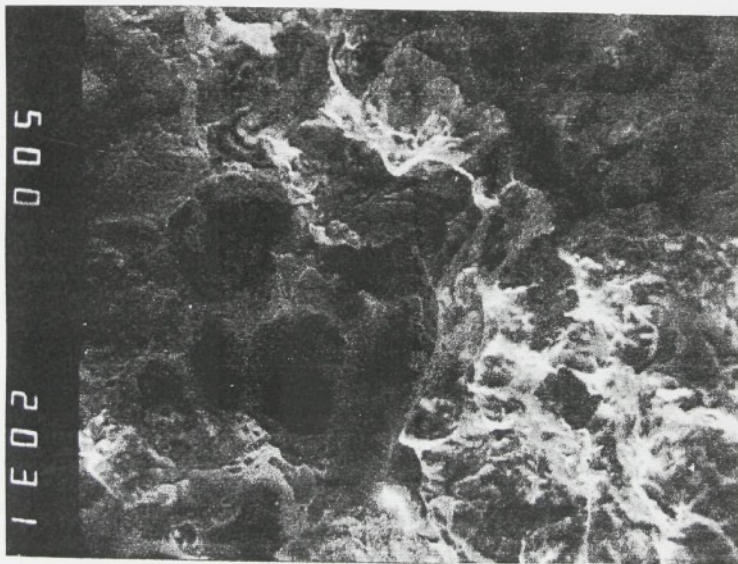
Obr. 7. Stěpny unavový lom LČG.



Obr. 8. Houževnatý statický lom LČG.



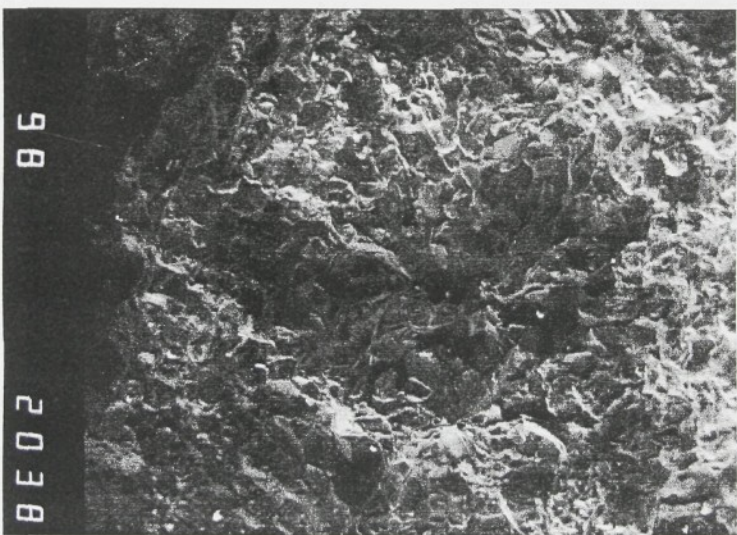
Obr. 9. ŠÚL LČG 500x.



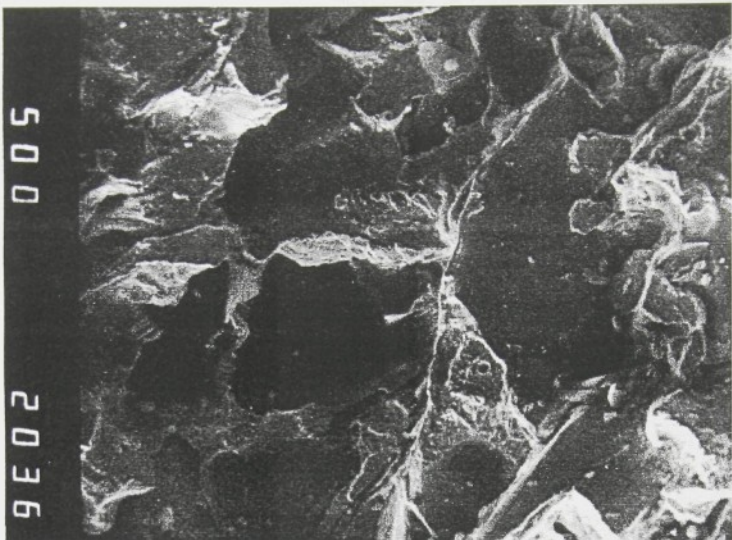
Obr. 10. HSL LČG



Obr. 11. Statický smíšený lom (SSL) perlitické litiny s lupinkovým grafitem.



Obr. 12. Únavový štěpný lom litiny s lupinkovým grafitem (LLG). 100x zv.



Obr. 13. SSL LLG. 500x zv.



Obr. 14. ÚŠL LLG. 500x zv.

4
1985

slévárenství

Tepelná únava šedé litiny

BOHUMIL BARTA · BRETISLAV SKRBEC

669.131.6:539.43:624.042

Značné množství součástí vyráběných ze šedé litiny je v provozu vystaveno tepelnému zatěžování. V důsledku změny teploty a zatížení součásti dochází k iniciaci trhlin a prasklin, které mají v konečném stadiu za následek porušení součástí a ztrátu její funkčnosti. Typickými příklady takového použití šedé litiny jsou potrubí, hlavy válce naftových motorů, sklářské formy atd. Navrhování vhodného materiálu pro podmínky tepelného zatěžování je stále ještě předmětem pokusů. Odolnost proti tepelné únavě, nebo odolnost proti tepelnému růzrůmu není shodná s pevností v tahu a základní vlastností, která může být použita, v konstrukčních výpočtech je závislá na provozních podmínkách. Mnohdy se ukáže, že šedá litina, která plně vyhovuje při jedné aplikaci, může zcela zklamat při jiné aplikaci, která se zdá být podobná. Proto je nutný detailní rozbor provozních podmínek, vzniklých poruch a jejich příčin a je také možno provést nápravnou opatření k odstranění znízkých provozních problémů.

Mechanismus tepelné únavy

Před vlastním pojednáním o chování šedé litiny v průběhu tepelné únavy je vhodné vysvětlit různé typy porušení a průběh tepelných únáv. Za podmínek tepelného rázu je může šedá litina unavit několika působy:

) Trhliny nejdříve vznikají na tepelném povrchu odliktu a tvoří sít trhinek, které se případně mohou šířit řes celý průřez odliktu. Tento typ orušení se v šedých litinách vyskytuje nejčastěji.

) Porušení po deformaci. Tento typ orušení byl často nalezen u tvářené litiny.

) Hrubé praskání přes celý nosný růžec součásti při malém počtu zášovacích cyklů. Toto katastrofální orušení ukazuje na to, že druh litiny byl nevhodně zvolen pro daný typ tepelného cyklování a namáhání.

Porušení v důsledku strukturálních změn, které mají za následek objemové změny.

g. Bohumil Barta, CSc., VUT, fakulta strojní, no. Ing. Bretilslav Skrbek, LIAZ, n. p., Jablonec n. N.

Tepelná pružnost

Všechny čtyři typy porušení byly vyvolány tepelným pružením, které způsobilo objemové změny (roztahování a stlačování) při teplotních rozdílech při lití nebo při provozu součástí. Tato pružení v makroskopickém a mikroskopickém měřítku pravděpodobně způsobují urychlení oxidace a strukturní změny pozorované při tepelném cyklování. Parametry, které ovlivňují tepelná pružná uvádí rovnice (1) [1, 4]

$$\sigma_t = \left[\frac{(\alpha \cdot E \cdot \Delta T)}{(1 - \nu)} \right] \cdot F \quad (1)$$

kde značí

σ_t tepelná pružnost,
 α koeficient tepelné roztažnosti,
 E modul pružnosti v tahu,
 ΔT teplotní rozdíl,
 F tvarový faktor,
 ν Poissonova Konstanta.

Snaha použít rovnici (1) ke kvantitativnímu výpočtu je spojena s obtížemi a to s ohledem na závislost parametrů na měniči se teplotě, někdy také provozní době a počtu tepelných cyklů.

Při prvnímu zbytkovém tepelném pružení v odliktu jsou nestejně tloušťky stěn nebo jiných částí odliktu, tedy konstrukce odliktu. Teprve jsou-li v konstrukci odliktu tyto podmínky pro vznik zbytkových tepelných pružin, potom působí ostatní činitelé (např. smrštění, grafitizace, modul pružnosti) příznivě nebo nepříznivě na hodnotu napětí [4]. Při provozu (např. u setrvačníku spojky) dochází při zapínání spojky k rychlému ohřevu elementárních objemů materiálu v místech skutečného dotyku. Sousedící oblasti se nastačí ohřát a odolávat tepelnému roztažování oblasti ohřátého kovu. V ohřátém objemu kovu vznikají tlakové pružiny, které kov plasticky deformují. V důsledku odvodu tepla se povrchová teplota zmenší a teplota celého setrvačníku se zvýší. Po zapnutí spojky se dále setrvačník ohřizuje. Deformované oblasti se v důsledku zbytkových deformací nemohou vrátit do výchozí polohy a vznikají v nich vysoká tahová pružnost. Toto mnohonásobné opakování tahových a tlakových pružin v povrchových vrstvách má

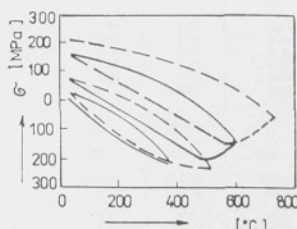
za následek vznik trhlin v povrchové vrstvě setrvačníku.

Rada autorů [1, 2, 5, 6] proto sledovala vliv tepelného cyklování na napětí, vznik trhlin, velikost trhlin atd. Obr. 1 [1, 5] uvádí napětí vzniklá v důsledku opakování ohřevu. Upnutá zkoušební tyč byla ohřívána a ochlazována řadou cyklů s rostoucí maximální teplotou. V prvním cyklu při ohřevu bylo vyvoláno tlakové pružení, které bylo převážně v pružném intervalu (nebo pro šedou litinu kvazi pružný interval). Chladnutím se tyč zkracuje a byla téměř obnovena původní hladina napětí.

Při druhém cyklu ohřevu tyč sledovala podobnou křivku. Ponevadž maximální teplota ohřevu a s tím spojené tlakové pružnité bylo vyšší, nastala plastická deformace. Chladnutím se tyč zkracila a byla vyvolána tahová pružnost. Při dalších dvou cyklech byl vzorek vystaven větší plastické deformaci způsobené ohřevem vysoké teploty a byla vyvolána větší zbytková tahová pružnost při ochlazování.

Z uvedeného obrázku je zřejmé, že zbytková tahová pružnost roste s rostoucí maximální teplotou až k transformační teplotě.

Tab. I [2] obsahuje 5 taveb různého chemického složení, kde největší odolnost proti vzniku tepelných trhlin měla litina s nejvyšším obsahem uhlíku legovaná chromem a mědi, kde byla matrice tvořena perlitem s nepatrným množstvím karbidů (do 5%). Ziskání takové struktury bylo zajištěno změnou obsahu křemíku. Vzorek byl indukč-



OBR. 1. Napětí vyvoláno ve zkoušební tyči, která byla ohřívána a ochlazována čtyřmi za sebou následujícími tepelnými cykly (šedá litina 3.5 % C; 1.7 % Si) [5].

ně ohřát na 760 °C a ochlazen ve vodě o teplotě 15 až 17 °C. Tento cyklus se opakoval až do vzniku první trhliny, která byla zjištována vizuálně na spodním zbrnu vzorku. Litina s obsahem 4 % C vydržela do vzniku první trhliny 5 až 7× více tepelných cyklů (ohřev, ochlazení), než litina obsahující 3,3 až 3,5 % C s rovnoměrným rozloženým drobným grafitem. Zvýšení obsahu uhlíku zvyšuje tepelnou vodivost litiny. Dále grafit slouží jako tepelný kompenzátor při růstu objemu ohříványch oblastí matrice, což znamená, že umožňuje neomezenou zvětšování objemu bez plastické deformace, která způsobuje vznik napětí při ochlazování těchto ohříványch oblastí.

Parametry, které ovlivňují tepelnou únavu jsou:

- modul pružnosti v tahu,
- odolnost proti relaxaci napětí při plastické deformaci,
- tepelná vodivost,
- tepelná rotažnost (u legovaných a nelegovaných litin je prakticky stejná).

Tab. II [6] uvádí vlastnosti 8 druhů

litin nízkouhlíkových (3,2 až 3,3 % C) a vysokouhlíkových (3,7 % C). Příslušady Cr, Ni a Mo byly použity ke zvýšení pevnosti při teplotě okolo a zvýšené teplotě. Porovnání údajů ukazuje, že příslušada Mo a Cr způsobila podstatný vzrůst pevnosti. Zlepšení je zvláště patrné ve skupině vysokého obsahu uhlíku. Modul pružnosti vzroste při legování, ale ne ve stejném rozsahu jako pevnost. Koefficient tepelné rotažnosti byl ovlivněn legováním méně. Tepelná vodivost při teplotě okolo se legováním snížila, ale nepatrně v porovnání se vztřustum pevnosti.

Vliv změny struktury a oxidace

Oxidace podél grafitických lamel je velmi škodlivá, snižuje se značně tepelná vodivost. Z hlediska oxidace je výhodnější tvárná litina v porovnání se šedou litinou. Vnitřní oxidace je u tvárné litiny zanedbatelná, oxidace povrchu je ušeď litiny a tvárné litiny přibližně stejná. Rozpad perlitu vede k poklesu pevnosti perlítických litin. Strukturní stabilitu až do 450 °C může zajistit

příslušada chromu, cínu a mědi a pro kratší dobu expozice až do 550 °C. Nad 550 °C u nelegované litiny nastává rozklad perlitu po několika stovkách hodin a u litiny s obsahem Cr v obvyklém rozsahu (až do 0,7 %) nastává rozklad perlitu až po 1000 hodinách.

U tepelného cyklu můžeme přiblížitelně stanovit tři oblasti:

Oblast 1 — nízkoteplotní interval, poškození nastane při mechanickém zatížení.

Oblast 2 — středně teplotní interval, vedle mechanického zatížení je součást vystavena ještě oxidaci a perlítickému rozkladu. Spodní hranice této oblasti (je horní hranici oblasti 1) je závislá na složení a době expozice a pohybuje se mezi 450 až 550 °C.

Oblast 3 — vysokoteplotní interval; maximum teploty cyklu překrajuje transformační teplotu, která je do značné míry funkci obsahu Si a po vyhýbavé se mezi 740 a 900 °C. V této teplotní oblasti jsou součásti dodatečně vystaveny částečné nebo úplné austenitizaci a transformaci na martenzit, bainit, perlit nebo ferit

Tab. I. Odolnost 5 taveb šedých litin proti vzniku tepelných trhlin [2]

Číslo tavby	Chemické složení [% hm.]							Množství cyklů do vzniku trhliny
	C	Si	Mn	Cr	Mo	Cu	Ni	
1	4,0	1,6	0,7	0,6	—	1,2	—	86
2	3,8	2,0	0,7	0,6	0,5	1,2	—	40
3	3,5	2,3	0,7	0,6	0,5	1,2	—	13
4	3,3	2,3	0,7	0,3	—	—	0,2	17
5	3,6	1,8	0,7	0,6	—	1,2	—	29

Tab. II. Chemické složení a vlastnosti šedých litin [6]

Vlastnosti	Teplota [°C]	Nízkouhlíkové litiny (3,2 až 3,3 % C)				Vysokouhlíkové litiny (3,7 % C)			
		neleg.	Cr, Ni	Cr, Mo	Cr, Ni, Mo	neleg.	Cr, Ni	Cr, Mo	Cr, Ni, Mo
Chemické složení [% hm.]									
C	—	3,24	3,28	3,33	3,21	3,74	3,72	3,70	3,72
Si	—	2,00	2,10	2,06	2,03	1,92	1,86	1,89	1,89
Mn	—	0,70	0,74	0,71	0,68	0,70	0,64	0,69	0,74
Cr	—	—	0,32	0,33	0,32	—	0,28	0,29	0,37
Ni	—	—	0,31	—	0,30	—	0,32	—	0,39
Mo	—	—	—	0,32	0,33	—	—	0,33	0,33
Pevnost v tahu Rm [MPa]	20	306	325	242	364	181	206	263	245
	400	254	266	282	310	144	164	209	197
Tvrďost HB	—	220	239	247	252	185	195	225	219
Modul pružnosti v tahu 10 ³ MPa	20	131,4	131,83	136,22	139,62	105,6	104,73	118,05	108,40
	400	118,56	118,12	121,41	125,32	92,78	92,18	103,52	95,74
Tepelná rotažnost 10 ⁻⁴ /C	20 ± 100	9,8	9,8	9,8	10,7	9,8	10,4	9,8	10,7
	20 ± 400	12,3	12,3	12,4	12,5	12,0	12,3	12,5	12,2
Tepelná vodivost [W/Km]	100	44,0	41,5	41,5	41,5	52,0	49,0	47,0	45,7
	400	40,3	40,3	39,4	40,3	44,9	39,0	42,8	41,9
Délka trhlin po 600 cyklech [mm]	200	1,5	1,5	1,2	1,15	0,6	1,25	0,35	0,9
	400	2,3	2,4	2,5	1,7	2,7	2,8	1,15	3,25
	600	2,7	2,75	2,8	1,9	3,25	3,5	2,5	3,25

a grafit podle rychlosti ochlazování. Tím vznikají vysoká napětí, rozměrové změny a urychlená oxidace.

Příklad tepelné únavy setrvačníku spojky a použitá laboratorní technika

Setrvačník spojky vznětového motoru o výkonu 220 kW na nákladní automobil byl vyroben ze šedé litiny CSN 42 2425 o chemickém složení: C = 3,10 %; Mn = 0,76 %; S = 1,9 %; S = 0,071 %; P = 0,285. Dosažené mechanické vlastnosti: tvrdost 160 až 170 HB; pevnost v tahu R_m = 245 MPa (předlitá tyč o průměru 30 mm); stupeň eutektičnosti S_e = 0,85. Automobil najel v podmínkách provozu asi 50 000 km.

Pro metalografické šetření byl použit metalografický světelný mikroskop Zeiss-Neophot 2 s mikrotvrdošem Hanemann. Mikrotvrdoš

byla měřena při zatížení 0,2 N (20 pondů). K získání struktur při větších zvětšeních byl použit elektrosvitný mikroskop TESLA BS 540. Mikrostruktura na elektronovém mikroskopu byla vyšetřována pomocí dvoustupňových kolodium-uhlikových replik při zvětšení 3000× a 7500×.

Dosažené výsledky výzkumu

Trhliny, které v průběhu provozu setrvačníku spojky vznikaly jsou patrné na obr. 2 v neleptaném stavu při zvětšení 100×. Trhliny se šířily od povrchu a probíhaly převážně podél lamel grafitu, které byly orientovány příznivě ke směru šíření trhliny. Šíření trhliny usnadňuje řediny a vmeštka (viz obr. 2 — spodní část trhliny). Charakter trhlín naznačuje, že jejich šíření bylo výsledkem fády faktorů, což vyplý-

vá již z předchozí části článku (mechanické namáhání, oxidace již vzniklého povrchu trhliny, objemové změny působící v důsledku strukturních změn).

V další části práce bylo provedeno naleptání studovaného vzorku s trhlinami Nitalem a měření mikrotvrdoši na třech různých místech od povrchu třecí plochy setrvačníku spojky směrem dovnitř (obr. 3 až 6). Naměřená mikrotvrdoši v provedených třech měřeních je uvedena v tab. III. (všechny č. 1 vždy u povrchu třecí plochy setrvačníku). Mikrotvrdoši byla měřena při zatížení 0,2 N (20 pondů). Z naměřených hodnot mikrotvrdoši vyplývá, že v povrchových vrstvách třecí plochy setrvačníku spojky je mikrostruktura vzorku tvořena martenzitem, zbytkovým austenitem a lupinkovým grafitem, což bylo potvrzeno i šetřením na elektronovém mikro-



OBR. 2. Trhlina v setrvačníku v neleptaném stavu, zvětšeno 100×.



OBR. 3. Trhlina v setrvačníku k obr. 2, leptáno Nitalem; zvětšeno 100×; měření mikrotvrdoši 1 tab. III.



OBR. 4. Povrch vzorku, leptáno Nitalem; zvětšeno 200×; měření mikrotvrdoši 2 tab. III.

skupu pomocí dvoustupňových kolo-
dium uhlíkových replik viz obr. 7,
při zvětšení 7500×. Ve větší vzdále-
nosti od povrchu vzorku je struktu-
ra matrice tvořena martenzem, zbytkovým austenitem, rozpadlým
perlitem a feritem patrná na obr. 8
při zvětšení 3000×.

Ve vzdálenosti 1,9 mm od povrchu
těcící plochy setrvačníku spojky je

struktura setrvačníku tvořena lu-
pinkovým grafitem a lamelárním
perlitem, který je v některých mís-
tech matrice rozpadlý (přítomno-
také malé množství fosfidického eu-
tektika steaditu a feritu) viz obr. 9.
Ve vzdálenosti 3 mm od povrchu
těcící plochy setrvačníku (detail kon-
ce trhliny z obr. 2) je struktura
matrice setrvačníku tvořena lupin-

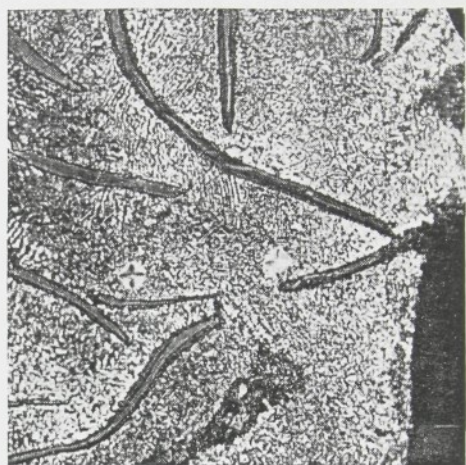
kovým grafitem, lamelárním perl-
item a malým množstvím feritu jak
je patrné z obr. 10.

Strukturu uprostřed vzorku tvoří
lupinkový grafit, lamelární perlit,
fosfidické eutektikum (velmi malé
množství) a ferit (malé stopy) —
viz obr. 11.

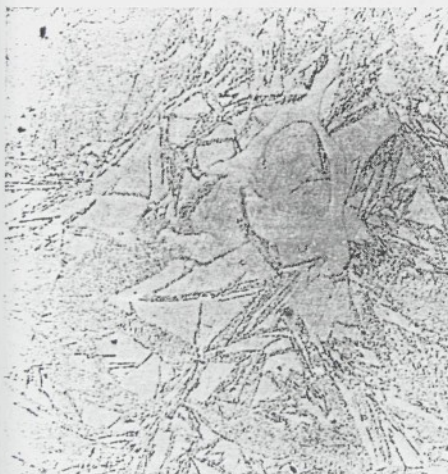
Z obr. 12 a 13 je patrné šíření mik-
rotrhlin matricí v těsné blízkosti



OBR. 5. Povrch vzorku; leptáno Nitalem; zvětšeno 200×; měření mik-
rotvrdosti 3 tab. III.



OBR. 6. Povrch vzorku; leptáno Nitalem; zvětšeno 500×; měření mik-
rotvrdosti 3 (část) tab. III.



OBR. 7. Kolodium-uhlíková replika; zvětšeno 7500×.



OBR. 8. Kolodium-uhlíková replika; zvětšeno 3000×.

povrchu vzorku. Uvedené obrázky a provedená měření mikrotvrdosti prokazují, že na tepelné únavě šedé litiny se podílí řada činitelů, z nichž nejdůležitější jsou: mechanické namáhání při zapínání spojky a po zapnutí spojky (závisí na přenášeném výkonu od motoru na hnaná kola přes převody); oxidace podél

grafitických lamel a podél již vzniklých trhlin; rozpad perlitu; částečná nebo úplná austenitizace a transformace na martenzit a bainit.

Závěr

Z uvedeného šetření vyplývá, že v povrchových vrstvách třecí plochy

setrvačníku vznětového motoru pro nákladní automobily dochází k velmi značnému ohřátí mikroobjemu materiálu až do austenitického stavu. Po následujícím rychlému ochlazení v důsledku odvodu tepla okolním materiálem vzniklý austenit transformuje na martenzit a bainit. Objemové změny v důsledku struk-



OBR. 9. Mikrostruktura ve vzdálenosti 1,9 mm od povrchu třecí plochy setrvačníku, leptáno Nitalem; zvětšeno 500×.



OBR. 10. Mikrostruktura ve vzdálenosti 3,0 mm od povrchu třecí plochy setrvačníku trhliny na obr. 2; leptáno Nitalem; zvětšeno 500×.



OBR. 11. Mikrostruktura uprostřed vzorku; leptáno Nitalem; zvětšeno 500×.



OBR. 12. Mikrotrhliny v matrice u povrchu vzorku; leptáno Nitalem; zvětšeno 500×.

Tab. III. Mikrotvrdost měřená při zatížení 0,2 N (20 pondů) na setrvačníku spojky ze žluté litiny

Císelo vpichu	Měření 1 obr. 3 HVm	Měření 2 obr. 4 HVm	Měření 3 obr. 5, 6 HVm	Poznámka
1	984	813	361	—
2	744	813	437	—
3	813	683	540	—
4	1090	744	520	—
5	—	744	272	—
6	—	744	304	—
7	—	—	280	vlevo od vpichu č. 6 vlevo od vpichu č. 7
8	—	—	246	—



IBR. 13. Mikrotrhliny v matrice u povrchu vzorku; leptáno Nitalem; výškem 500X.

turních změn způsobují vznik trhlin, které se přednostně šíří od povrchu třecí plochy podél lamel grafitu. Největší a rozhodující vliv na vznik trhlin má zapínání spojky motoru.

Odolnost materiálu proti teplné únavě závisí na modulu pružnosti v tahu, na odolnosti proti plastické deformaci při zvýšených teplotách a na teplelné vodivosti. Ke snížení teplelných namáhání je nezbytná vysoká pevnost v tahu a vysoká únavová pevnost zvláště s ohledem k opakování deformací.

Při provozních podmínkách nad 500 °C musí mít litina také odolnost proti oxidaci a změně struktury.

Literatura

- [1] Roehrig, K.: AFS Transactions 1978, s. 75-88.
- [2] Talianov, P. I. - Kantorovič, V. J. - Čerman, A. D. - Morozov, Ju. A.: Metalovedenie i termičeskaja obrabotka metalallov 1970, č. 12, s. 50-52.
- [3] Holzmann, M. - Klesnil, M.: Krehký a únavový lom materiálů a konstrukcí. SNTL, Praha, 1972.
- [4] Vetiška, A. a kol.: Teoretické základy slévárenské technologie. SNTL/ALFA, 1972.
- [5] Erker, A. - Roesch, F.: MAN Forschungsheft, č. 14, 1960/69.
- [6] Nechtlberger, E.: „Systematische Untersuchungen zur Qualitätssteigerung von Zylinderkopfgusseisen mit besonderer Bedrucksichtigung der Rissbildungsnachricht.“ = Vers.- Bericht A. No. 20733 des Österreich. Giess. Inst. Leoben, květen 1975.

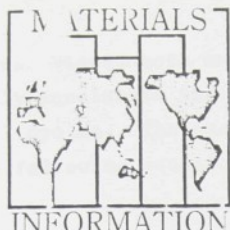
lévárenská výroba zahraničí

M. Šestopal a kolektiv: Litějno ořezodstvo za rubežem (Slévárenská výroba v zahraničí). Vydalo nádátečství Naukova dumka, Kyjev 83, 1. vyd., 280 stran, v prodejnách p. Zahraniční literatura, vaz. č. 32 —. Původní monografii předních sovětských odborníků jsou uvedeny sledky výzkumné současného stavu směru dlouhodobého rozvoje slé-

várenské výroby v průmyslově vyspělých zemích. Zahrnuta jsou fakta o dynamice a struktuře výroby odlitků a jejich hlavních spotřebitelích, kapacitě, strukturálním složení a specializaci slévárenských provozů a investic pro jejich další rozvoj, o produktivitě práce, surovinných a energetických zdrojích slévárenské výroby. Autoři analyzují základní technickoekonomické a ekologické aspekty rozvoje technologie lití v písčkových formách a speciálními způsoby. Jsou zde také systematicky dostupná fakta o zahraniční

problematici výroby odlitků s vysokými exploračními charakteristikami a zaručenou jakostí, včetně v zahraničí doporučovaných komplexních programů řízení a zvyšování kvality a efektivnosti veškeré slévárenské činnosti.

Publikace je určena vědeckým a technickoekonomickým pracovníkům, zabývajícím se otázkami rozvoje slévárenství, učitelům, aspirantům a studujícím vysokých škol hutního a strojírenského zaměření.



TRANSLATION SERVICE

SERIES B: IISIT'S Ferro's Metallurgy

Date: November, 1986

Price: UK £22.00, Overseas \$38.50

BISI 25344

TYPES OF CAST IRON

B. Barta and B. Skrbek (from Czech.)

669.131

THERMAL FATIGUE OF GREY CAST IRON

L3

(Slevarenstvi 1985 (4) 147-152)

Paper analyses service conditions, defects and their causes, in the service of grey cast iron. Factors which affect resistance to thermal fatigue are discussed.

This translation is made available for purposes of research and study only. It may not be sold or reproduced without permission. The publishers do not accept responsibility for inaccuracies, but would like to be informed of any that may be found.

service. Viewed both macroscopically and microscopically, these stresses probably accelerate the oxidation and structural changes observed during thermal cycles. The parameters which affect the heat stress are shown in the following equation^{1,2,3)}:

$$\sigma_t = \left[\frac{(\alpha \cdot E \cdot \Delta T)}{(1 - \nu)} \right] \cdot F \quad (1)$$

where

- σ_t is the heat stress,
- α is the coefficient of thermal expansion,
- E is the modulus of elasticity (in tension).
- ΔT is the temperature difference,
- F is the shape factor and
- ν is the Poisson's ratio.

It is clear that quantification using Equation (1) is difficult because the parameters depend on the changing temperature, sometimes on the service period and on the number of heat cycles.

The primary causes of residual heat stress in a casting are varying wall thickness or varying thickness of other parts of the casting i.e. the casting design. It is only the presence of these factors in a casting which makes it possible for the other factors - e.g. contraction, graphitization, modulus of elasticity - to come into play and to affect, benignly or adversely, the value of the stress⁴⁾. During the service of, say, a flywheel in a clutch, elementary volumes of the material are heated rapidly on engagement at the points of actual contact; the adjacent material is not heated and must resist the thermal expansion of the heated metal. Thus, compressive stresses occur in the heated metal, causing plastic deformation. As the heat is reduced, the surface temperature decreases and the temperature of the whole flywheel rises. When the clutch is engaged, the flywheel temperature decreases; the deformed zones cannot assume their original shape due to residual deformation, and considerable tensile stresses occur in these zones. This repeated action of tensile and compressive stresses in the surface layers of the material causes cracks in the surface layers of the flywheel.

Several authors^{1,2,5,6)} have investigated the effect of heat cycles on stress, crack formation, crack size, etc. Fig. 1^{1,5)} shows the stress due to repeated heating. A specimen (clamped) was subjected to heating and cooling in a number of cycles in which the peak temperature increased with each cycle. In the first heating cycle, compressive

stress developed in the specimen; this stress was kept within the elasticity limit (or the quasi-elasticity limit in grey cast iron). The cooling specimen contracts and the original level of stress is almost achieved.

In the second heating cycle, the specimen followed a similar trajectory; since the temperature and thus the compressive stresses were higher in this cycle, plastic deformation took place. On cooling, the specimen contracted and tensile stresses developed. The specimen was exposed to greater plastic deformation in the following two cycles because the heating temperature was higher and greater residual tensile stresses were induced during cooling.

We can see from the Figure that the residual tensile stresses increase with an increasing peak temperature up to the transformation temperature.

Table 1²⁾ presents data on 5 heats of different chemical composition; the cast iron with the highest carbon content, alloyed with chromium and copper, with a pearlite matrix and a low content of carbides (up to 5 %) was most resistant to the formation of heat cracks. Such a structure is produced by variations in the silicon content. The specimen was induction heated to 760°C and cooled in water at a temperature between 15°C and 17°C. This cycle was repeated until the first crack appeared and was visually detected on the lower rib of the specimen. Cast iron containing 4 % carbon could accommodate 5-7 times more cycles than cast iron containing 3.3-3.5 % carbon and uniformly distributed fine graphite particles. An increase in the carbon content makes the cast iron more heat conductive. Graphite also serves as a heat compensator while the volume of the heated zone of the matrix increases; this means that the volume can expand unlimited without the plastic deformation which would lead to the formation of stresses when the heated zones are cooling.

The parameters affecting thermal fatigue include:

- The modulus of elasticity in tension,
- resistance to stress relaxation during plastic deformation,
- heat conductivity,
- heat expansivity (practically identical in both alloyed and plain cast irons).

Table 2 presents data on the properties of eight grades of low-carbon cast irons with 3.2-3.3 % C, and high-carbon cast irons with 3.7 % C. Cr, Ni and Mo additions were used to improve the strength at

environmental and elevated temperatures. A comparison of the data shows that Mo and Cr additions improved strength. This improvement is particularly pronounced when the carbon content is high. The modulus of elasticity increases due to alloying, though not as prominently as the strength. The heat expansivity coefficient is less affected by alloying. The heat conductivity drops, at environmental temperature, due to alloying, but the drop is very slight compared with the increase in strength.

THE EFFECT OF A CHANGE IN STRUCTURE AND OXIDATION

Oxidation along the graphite lamellae is extremely detrimental because it causes the heat conductivity to drop considerably. Modular cast iron is superior to grey cast iron as regards the effect of oxidation. Internal oxidation is negligible in the former; surface oxidation is approximately identical in both.

Pearlite decomposition weakens pearlitic cast irons. Structural stability up to 450°C can be ensured by Cr, Sn and Cu additions; shorter exposure to temperatures up to 550°C is tolerable. Pearlite decomposes at temperatures above 550°C in unalloyed cast iron after a few hundred hours; the pearlite decomposes after about 1000 hours in a cast iron containing normal (up to 0.7%) levels of chromium.

Three zones can be roughly drawn for the heat cycle:

- 1) the low-temperature interval, at which failure occurs under mechanical loads;
- 2) the medium-temperature interval: in addition to mechanical loading, oxidation and pearlite decomposition occur. The lower limit for this zone (which is the upper limit for zone 1) depends on the composition and time of exposure, and lies between 450°C and 550°C;
- 3) the high-temperature interval, with the peak temperature exceeding the transformation temperature limit; this limit is largely a function of the silicon content and lies in the 740-900°C range. In this zone, the parts are subjected to austenitizing (partial or complete) and transformation into martensite, bainite, pearlite or ferrite and graphite, depending on the cooling rate. In this way high tensions, volume changes and rapid oxidation occur.

AN EXAMPLE OF THERMAL FATIGUE IN A CLUTCH; LABORATORY PROCEDURE

The clutch flywheel in a diesel engine of 220 kW capacity, used on trucks, was fabricated from ČSN 42 2425 cast iron with the following

THERMAL FATIGUE OF GREY CAST IRON

by B. Parta and J. Skrbek

(Slevarensatvi 1985 (4) 147-152)

Many parts made from grey cast iron are subjected to heat stress during service; temperature fluctuations and stress are responsible for the initiation of cracks and fissures, which cause failure of the part. Typical examples of such uses of grey cast iron are cast tubes, cylinder heads in diesel engines, glassmaking moulds, etc. The design and selection of materials suitable for heat stress applications are still in the experimental stage. Resistance to thermal fatigue or to heat shocks is not the same as tensile strength and the main property which can be used in engineering calculations is governed by the service conditions. It often happens that the grey cast iron, fully satisfactory in one application, fails completely in another similar application. This paper gives a detailed analysis of the service conditions, the defects and their causes, an essential part of the designer's work.

MECHANISM OF THERMAL FATIGUE

Before tackling the problem of the behaviour of grey cast iron exhibiting thermal fatigue, it is reasonable to elucidate the various types of defects and the mechanism of heat stress; various modes of thermal fatigue exist in a grey cast iron exposed to heat shocks, namely:

- 1) Cracks first appear on the heated surface of the casting, forming a network; these cracks may propagate deeper through the whole cross-section of the casting. This type of defect is most common in grey cast irons.

- 2) Post-deformation defects often occur in nodular cast iron.
- 3) Coarse cracks extend through the whole carrying section of a casting after exposure to a small number of load cycles. This serious defect occurs in parts made from an improperly selected type of the cast iron which is unsuitable for the intended use, the heat stress and the loads.
- 4) Defect caused by structural changes which are responsible for volume changes.

HEAT STRESS

All the types of defects discussed in the above are caused by the heat stress responsible for expansion and compression after exposure to temperature fluctuations, or differences, both during casting and during

composition (%): 3.10 C; 0.76 Mn; 1.9 Si; 0.071 S; 0.285 P. The hardness was 160-170 HB, the tensile strength, $R_m = 245$ MPa in a pre-cast specimen of 30 mm in dia., eutecticity $S_c = 0.85$. The test vehicle covered about 50,000 km.

Metallographic investigations were made in a Zeiss-Neophot 2 light microscope with a Hanemann microhardness meter. The microhardness was measured at 0.2 N. The structures were observed in a Tesla BS 540 electron microscope, and two-stage coldodium-carbon replicas were used under $\times 3000$ and $\times 7500$ magnification.

RESULT

The cracks formed during service of the clutch flywheel are shown in Fig. 2, unetched, at about $\times 100$ magnification. They developed and propagated away from the surface and ran mainly along the graphite lamellae, which were orientated favourably with respect to the direction of crack propagation. Propagation was fostered by porosity and inclusions (see Fig. 2, the bottom part of the crack). The cracks have a character indicating that they propagate due to an array of factors - mechanical stress, oxidation of the crack surface, volume changes resulting from structural changes.

Further research consisted in etching the specimen with Ni:Al and measuring the microhardness at three points away from the friction surface of the clutch flywheel (see Figs. 3-6). The microhardness values are given in Table 3, indentation No. 1 being near the friction surface in all instances. Microhardness was measured at 0.2 N and the measurement data show that the surface layers of the friction surface contain martensite, retained austenite and flaky graphite, as documented by electron microscope observation (see Fig. 7) $\times 7500$. The structure of the matrix further away from the surface of the specimen contained martensite, decomposed pearlite and ferrite; this structure is depicted in Fig. 8.

At a distance of 1.9 mm from the surface of the friction area of the clutch flywheel, the structure contained flaky graphite and lamellar pearlite, decomposed in some areas of the matrix; a small quantity of phosphidic eutectic of steatite and ferrite was found (see Fig. 9). At a distance of 3 mm from the surface of the friction area (see the detail of the crack in Fig. 2) the structure of the flywheel matrix contained flaky graphite, lamellar pearlite and a small quantity of ferrite (see Fig. 10).

The structure of the centre of the specimen contained flaky graphite, lamellar pearlite, phosphidic eutectic in a very small quantity, and ferrite (slight traces), as can be seen in Fig. 1.

Figs. 12 and 13 show the propagation of microcracks in the matrix very close to the specimen surface. The Figures and the microhardness measurements document that several factors participate in the formation of thermal fatigue in grey cast iron, of which the most significant are: the mechanical stress on engagement of the clutch and after engagement, which is governed by the magnitude of work transferred from the engine to the driven wheels via the gears; oxidation along the graphite lamellae and along the cracks already formed; decomposition of pearlite; partial or complete austenitization or transformation into martensite and bainite.

CONCLUSIONS

It follows from the above findings that considerable heating of micro-volumes of the material occurs until an austenitic state is reached in the surface layers of the friction surface of the flywheel of a clutch in the diesel engine of a truck; if the material is quickly cooled via heat deduction into the adjacent material, the austenite which forms is transformed into martensite and bainite. The volume changes caused by the structural changes lead to the formation of cracks which propagate preferentially away from the friction surface along the graphite lamellae. Engagement of the clutch is the major factor which causes cracks to form.

The resistance of the material to thermal fatigue depends upon the modulus of elasticity, plastic deformation at high temperatures and heat conductivity. A high level of tensile strength and high fatigue strength on exposure to repeated deformative loads are necessary to reduce the heat loads. Resistance to oxidation and structural changes is essential for service at temperatures above 500°C.

REFERENCES

1. K. Roehrig: AFS Transactions 1978 75-88
2. P.I. Talanov et al: Metalloved. Term. Obrab. Met. 1970 (12) 50-52
3. M. Holzmann and M. Klesnil: Brittle and fatigue fracture in materials and structures. SNTL Publishers, Prague 1972
4. A. Vetiška et al: Theoretical principles of foundry technology. SNTL/ALFA Publishers, 1972

5. A. Erker and F. Roesch: MAN Forschungsheft 1968/69 (14)
6. E. Nechtelberger: Systematic research of the quality improvement of cast cylinder heads with special reference to crack formation susceptibility. Vers.-Bericht A No. 20733 des Österreich. Giess. Inst. Leoben, May 1975

TABLE 1. Resistance of grey cast iron (5 heats) to the formation of hot cracks²⁾

Heat number	Chemical composition (% by weight)						Number of cycles to crack formation	
	C	Si	Mn	Cr	Mo	Cu		
1	4.0	1.6	0.7	0.6	-	1.2	-	86
2	3.8	2.0	0.7	0.6	0.5	1.2	-	40
3	3.5	2.3	0.7	0.6	0.5	1.2	-	17
4	3.3	2.3	0.7	0.3	-	0.2	17	17
5	3.6	1.8	0.7	0.6	-	1.2	-	29

TABLE 3. Microhardness measured at 0.2 N on a clutch flywheel made from grey cast iron

No. of indentation	Measure- ment 1 Fig. 3 HVm	Measure- ment 2 Fig. 4 HVm	Measure- ment 3 Figs. 5,6 HVm	Note
1	984	813	361	-
2	744	813	437	-
3	813	683	540	-
4	1090	744	520	-
5	-	744	272	-
6	-	744	304	-
7	-	-	280	left of in- dentation No. 6
8	-	-	246	left of in- dentation No. 7

Properties	Temper-ature (°C)	Low-carbon cast-irons (3.2 to 3.3% C)			High-carbon cast-irons (3.7% C)		
		unalloyed	Cr, Ni	Cr, Mo	unalloyed	Cr, Ni	Cr, Mo
C	-	3.24	3.28	3.33	3.21	3.74	3.72
Si	-	2.00	2.10	2.06	1.92	1.86	1.89
Mn	-	0.70	0.74	0.71	0.68	0.64	0.69
Cr	-	-	0.32	0.33	0.32	0.28	0.29
Ni	-	-	0.31	-	0.30	-	0.30
Mo	-	-	-	0.32	0.33	-	0.33
Tensile strength, R _m (Kra)	20	305	325	242	364	181	206
	400	254	266	282	310	144	164
Brinell hardness	-	220	239	247	252	185	195
Modulus of elasticity in tension, 10 ³ MPa	~	121.4	131.83	136.22	139.62	105.6	104.73
	400	118.56	118.12	121.41	125.32	92.78	92.18
Heat expansivity 10 ⁻⁶ /C	20-100	9.8	9.8	9.8	10.7	9.8	10.4
	20-400	12.3	12.3	12.4	12.5	12.0	12.3
Heat conductivity (W/Km)	100	44.0	41.5	41.5	52.0	49.0	47.0
	400	40.3	40.3	39.4	40.3	44.9	39.0
Length of cracks after 600 cycles (mm)	200	1.5	1.5	1.2	1.15	0.6	1.25
	400	2.3	2.4	2.5	1.7	2.7	2.8
	600	2.7	2.75	2.8	1.9	3.25	3.5

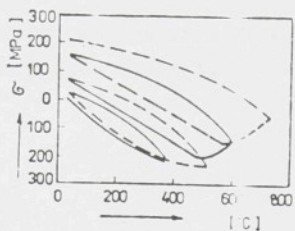
CAPTION

Fig. 1. Stresses caused in a specimen heated and cooled in our subsequent heat cycles (grey cast iron, 3.5 % C; 1.7 % Si)⁵⁾

Fig. 2. Crack in a flywheel, unetched (100 x)

Fig. 3. Crack in a flywheel, as in Fig. 2; etched with Nital (500 x); measurement of microhardness 1 (see Table 3)

Fig. 4. Specimen surface, etched with Nital (200 x); measurement of microhardness 2 (see Table 3)



OBR. 1. Napětí vyvolané ve zkoušecí tyči, která byla ohřívána a ochlazována čtyřmi za sebou následujícími tepelnými cykly (voda/litina 3,5 % C; 1,7 % Si) [5].

FIG. 1.



OBR. 2. Trhliny v setrvačníku v neleptaném stavu, zvětšeno 100X.

FIG. 2.



OBR. 3. Trhliny v setrvačníku k obr. 2, leptáno Nitalem; zvětšeno 500X; měření mikrotvrdosti 1 tab. III.

FIG. 3.



OBR. 4. Povrch vzorku, leptáno Nitalem; zvětšeno 200X; měření mikrotvrdosti 2 tab. III.

FIG. 4.

APPTIONS

Fig. 5. Specimen surface, etched with Nital (200 x); measurement of microhardness 3 (see Table 3)

Fig. 6. Specimen surface, etched with Nital (500 x); measurement of microhardness 3 (part) (see Table 3)

Fig. 7. Collodion-carbon replica (7500 x)

Fig. 8. Collodion-carbon replica (3000 x)



OBR. 5. Povrch vzorku; leptáno H_{NO}₃lem; zvětšeno 200×; měření mikrotvrdosti 3 tab. III.

FIG. 5.



OBR. 6. Povrch vzorku; leptáno H_{NO}₃lem; zvětšeno 500×; měření mikrotvrdosti 3 (čási) tab. III.

FIG. 6.



OBR. 7. Kolodium-uhlíková replika; zvětšeno 7500×.

FIG. 7.



OBR. 8. Kolodium-uhlíková replika; zvětšeno 3000×.

FIG. 8.

CAPTIONS

Fig. 9. Microstructure at a distance of 1.9 mm from the surface of the friction part of the flywheel; etched with Nital (500 x)

Fig.10. Microstructure at a distance of 3.0 mm from the surface of the friction part of the flywheel; cracks as in Fig. 2, etched with Nital (500 x)

Fig.11. Microstructure at the centre of the specimen; etched with Nital (500 x)

Fig.12. Microcracks in the matrix of the specimen surface; etched with Nital (500 x)

Fig.13. Microcracks in the specimen matrix near the surface; etched with Nital (500 x)



FIG. 13.



OBR. 9. Mikrostruktura ve vzdálenosti 1,9 mm od povrchu řeči plachy setrvačníku, leptáno Nitalem; zvětšeno 500x.

FIG. 9.



OBR. 10. Mikrostruktura ve vzdálenosti 3,0 mm od povrchu řeči plachy setrvačníku trhliny na obr. 2; leptáno Nitalem; zvětšeno 500x.

FIG. 10.



FIG. 11.

OBR. 11. Mikrostruktura uprostřed vzorku; leptáno Nitalem; zvětšeno 500x.

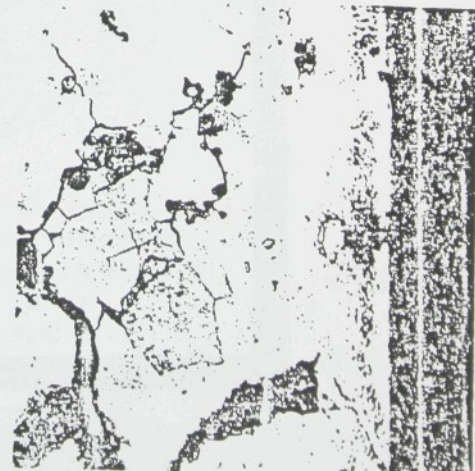
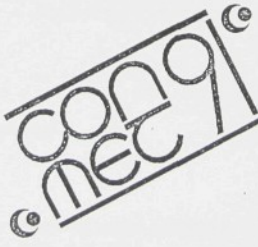


FIG. 12.

OBR. 12. Mikrotrhliny v matici u povrchu vzor u; leptáno Nitalem; zvětšeno 500x.



II. celostátní seminář o metodách studia
struktury a vlastností materiálů,
transferu progresívních technologií

9.-11. 9. 1991

BRNO

MIKROOHYBOVÁ ZKOUŠKA LITIN MICROBENDING TEST OF CAST IRON

Břetislav SKRBEC
LIAZ s. p. Jablonec n/N

ABSTRACT Real stress in the structure of castings - an application of the stress - deformation process to a microbending test - a graphical record of the test and its evaluation - real limit states. An explanation of the microbending test development - a description of the developing apparatus. The microstructure effect of cast iron in graphical record shape. Contributions to the testing process - production possibilities for the apparatus.

ABSTRACT Reálné namáhání ve stěnách odličků - aplikace napěťové deformačního procesu na mikroohybovou zkoušku - grafický záznam zkoušky a její výhodnocení - skutečné mezní stavů. Důvod vývoje mikroohybové zkoušky - popis využitného přístroje. Působení mikrostruktury litin na tvar grafického záznamu. Přínos pro zkušebnictví - možnost opakování výroby přístroje.

Výroba vysokovýkonných přepětovaných motorů s mezichlazením plnícího vzduchu značně zvyšuje nároky na odličky bloků a hlav válců z hlediska mechanického a tepelného namáhání. Důsledkem je pak citlivost k výkyvy v materiálové kvalitě odliček v sériové výrobě. Minimalizace ztrát z nekalitní výroby vyžaduje rychlou a spolehlivou kontrolu. K témuž účelům se běžně mechanické zkoušky nehodí. Nevztahují se k odličce, ale ke zkoušenému tělesu. Časově a cenově jsou náročné.

Pro rychlou kontrolu jsou vhodné nedestruktivní zkoušky. U nich je výsledkem měření fyzikální veličina, z které se usuzuje na hodnotu mechanické veličiny [1]. Při zavádění nedestruktivních metod kontroly je nutné přesně určit mezní hodnoty napětí pro daný materiál v kontrolovaném místě a získání převodového vztahu k fyzikální měřené veličině.

To do značné míry umožňuje mikroohybová zkouška. Ve srovnání se standardní tahovou nebo ohybovou zkouškou vyžaduje podstatně menší a rozměrově variabilní vzorek materiálu. Získané informace jsou přitom podstatně bohatší ve srovnání se zkouškou mezi klíny nebo mikrostříhům.

1. ZKOUŠKA OHYBEM ČSN 42 0361 [2]

Při zkoušce se tyč kruhového průřezu uložená na dvou podporách zatěžuje plynule uprostřed silou P až do porušení. Zkouška je určena pro litiny. Přednostní rozměry jsou $\phi_d = 20 \text{ mm}$ a rozpětí podpor $\ell = 20 \text{ d}$.

Zkouškou se stanoví pevnost v ohýbu jako max. napětí vzniklé v krajním vlákni tyče.

$$R_{m\circ} = \frac{M_{o\max.}}{W_o} = \frac{8 \cdot P \cdot l}{\pi \cdot d^3} \quad (1)$$

$M_{o\max.}$ - max. ohyb. moment

W_o - modul průřezu pro ohýb

Z průhybu tyče se usuzuje na houževnatost litiny.

2. MIKROOHYBOVÁ ZKOUŠKA [3]

Vzorek obvykle obdélníkového průřezu je umístěn na tvrdých podložkách, které rozkládají tlak a brání boření vzorku do podpor pod podložkami.

Zatěžovací trn - ohybnič působí na vzorek uprostřed silou P vyvolovanou buď univerzálním trhacím strojem nebo jiným zdrojem rovnomeně rostoucí sily (lis, svěrák).

Tenzometry přilepené na ohybničku snímají zatěžovací sílu a tenzometry na ocelové planžetě pod průhybovým čipkem průhybu. Elektronické výstupy přípravku pro mikroohybovou zkoušku jsou napojeny na součadnicový zapisovač x-y (např. XY4106).

Vzdálenost podpor l je 25 - 40 mm a max. průřez $b \times h$ vzorku je omezen napěťovými poměry ($\sigma_{red.} \leq \sigma_{oh}$) a max. zatižitelnosti ohybničku (cca 50 kN).

Rozměry přípravku jsou malé - konkrétní provedení ukazuje obr. 1.

2.1 Vyhodnocení zkoušky - grafického záznamu

Parametry, které lze jednoduše ze zkoušky určit (obr. 2):

a) mezi pevnosti v ohýbu R_{mo}

$$R_{mo} = \frac{M_{o,max.}}{W_o} = \frac{3}{2} \cdot \frac{P_{mo} \cdot l}{b \cdot h^2} \quad (2)$$

b) mezi kluzu v ohýbu R_{po} , případně i mezi úměrností R_{Eo} u tvárných litin

c) podíl nelineálního a lineárního průbyhu

$$\gamma_p = \frac{P}{y-p} \quad (3)$$

Hodnoty R_{po} a γ_p nejsou zatím obecně definovány.

Pro tento případ hodnocení definuje R_{po} [5] jako napětí odpovídající bodu záznamu s maximální křivostí (min. poloměrem r) - představuje mezní stav přechodu z převážně pružných deformací materiálu vzorku při namáhání.

Šedé litiny běžných jakostí nemají tento stav běžně vyhodnocitelný. Hodnota γ_p je do jisté míry obdobou tažnosti A u zkoušky pevnosti v tahu. Nezávisí na absolutních rozdílech vzorku (v rozsahu provedených zkoušek).

3. NAMÁHÁNÍ VE STĚNÁCH ODLÍTKŮ

Struktura litiny je tvořena "ocelovou" matricí a v ní uloženými útvary grafitu, které namáhání tahem nepřenáší. Při namáhání tlakem se chová jako uzavřená kapalina a namáhání částečně přenáší. Důsledkem této vlastnosti je výrazná odlišnost diagramu zkoušky v tahu a v tlaku. Litiny s lupínkovým grafitem se nefidi Hookovým zákonem. Modul pružnosti E je pro tahovou a tlakovou oblast odlišný. Při ohýbovém namáhání se neutrální osa pohybuje do tlakové oblasti. Na větší části průřezu je tahové napětí.

Odhěnost stěny odlitku vůči ohýbovému namáhání závisí proto hlavně na strukturní stavbě povrchových partií - lici kůry. Mikrohybové zkoušky opracovaných vzorků nejsou tak důležité. Struktura povrchových partií stěny se "podepisuje" do tvaru záznamu. Lupínkový grafit v lici kůře tvárné litiny ruší lineárnu záznamu, volný cementit podstatně napřímuje a strmý záznam atd.

Svoji roli má i vnitřní prutí rozložené napříč - rychle zchladlých tenkých stěn odlitků ze šedé litiny (tahové napětí uvnitř průřezu).

Mikrohybová zkouška má proto též význam při vývoji slávarenské technologie konkrétního odlitku, při volbě formovacích hmot a různé tepelné jinavosti (akumulaci).

Z konkrétního odlitku se pro mikrohybovou zkoušku použijí např. trámecky s lici kůrou o průřezu 10 x 28 resp. 45 mm. Tento rozdíl dává tloušťku stěny.

4. ZÁVĚR

Mikrohybová zkouška může být nezanedbatelným přínosem do zkoušebnictví litin.

Způsob určování mezních stavů bere v úvahu skutečné a ne smluvní vlastnosti (jako např. $R_{0,2}$ u zkoušky tahem). Předpokládáme, že další informace o mezních vlastnostech materiálu přinese matematické zpracování grafického záznamu zkoušky [4].

Stěny odlitků jsou často namáhaný ohýbem. Vzorky pro mikrohybovou zkoušku se ze stěn odlitků podstatně snadněji získávají než při jiné mech. zkoušky. Touto zkouškou se nejsnadněji získá kompletní informace o mechanických vlastnostech odlitků z neznámého materiálu (litiny). Je důležitá při zavádění nedestruktivní kontroly mech. vlastností litinových odlitků i při slávarenském vývoji.

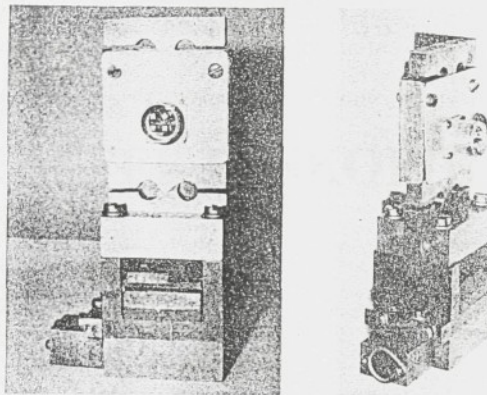
Zkouška mikrohybem není vázána na laboratoř, trhací stroj. "Kapesní" přípravek k provádění této zkoušky byl realizován ve vývojové základně LIAZ. Jeho výroba může být podle zájmu opakována.

POUŽITÁ LITERATURA

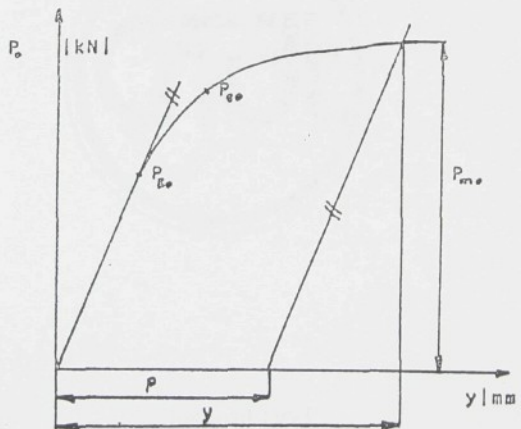
- [1] SKRBEC,B.: Nedestruktivní materiálová diagnostika litin, disertační práce VŠST Liberec, Jablonec n/N 1988.
- [2] ČSN 42 0361
- [3] SKREK,B.-LAJTEK: Přípravek na pevnostní zkoušku litiny, řešení TÚ 10-33/86 o. p. LIAZ.
- [4] HYŠKO,A.: Mikrohybová zkouška litin, diplomová práce KMM-347 VŠST Liberec 1989.
- [5] SVOBODA,A.: Výzkum vztahů mezi mechanickými vlastnostmi, zatěžovacím diagramem při statické zkoušce litin a jejich mikrostrukturou, výzkumná zpráva SVUM Brno Z-83-4830.

$R_m = 0,51 R_{mo}$	R_{mo} [MPa]	S	\bar{y}_p [1]	S
Tvárná litina feritoperlitická	1140	100	6,6	1,5
Litina s červikovitým grafitem - ferit	820	41	1,46	0,21
Šedá litina střední jakosti	438	54	0,51	0,16
Temperovaná litina, ferit - perlit	627	50	0,9	0,06

Tab.1: Vztah R_m a y_p základních litin - střední hodnoty, směrodatné odchyly získány z desítek měření



Obr.1 Přípravek pro mikrohybovou zkoušku



Obr.2 Vyhodnocení grafického záznamu

Česká společnost pro nedestruktivní testování
Certifikační středisko nedestruktivního zkoušení při SVÚM Praha
Celostátní defektoskopické středisko SVÚM Praha
Firma Meetings and Courses České Budějovice

DEFEKTOSKOPIE 93



listopad 1993
Tábor

VZTAH RYCHLOSTI ZVUKU, TLOUŠŤKY STĚN A DRSNOSTI OBROBENÝCH POVRCHŮ LITINOVÝCH ODLITKŮ

Ing. Štětislav Škrbek, CSc., LIAZ a. s. Jablonec n. N.

Litiny na rozdíl od ostatních konstrukčních kovů jsou výrazně heterogenními materiály. Svoji strukturu by se daly též nazvat přirozenými uhlíkovými kompozity s ocelovou matricí. Prototé však chluk v litinách má formu měkkého nepevného grafitu, nezpevňuje, mýbří výrazně oslabuje pevnost ocelové matrice zejména při tahovém namáhání.

Míra oslabení matrice roste s velikostí D a štíhlosti grafitových útvarů, tj. lupinků u sedé litiny. Velikost a štíhlost závisí na rychlosti chladnutí, tedy i tloušťce stěny L a na metalurgické přípravě tekuté litiny. Velice těsně koreluje s rychlosí zvuku v , koef. útlumu α a moduluem pružnosti E_0 .

Tento příspěvek je věnován kvantifikaci vztahu mezi L , E_0 , v , D u běžných odlitků ze šedých litin ČSN 42 2410 až 30. Uvádí souvislosti mezi D a dosažitelnou drsností obrobene plochy R_a odlitků. Tím chce rozšířit záběr výsledků práce kontrolorů a defektoskopů při diagnostice litinových odlitků ultrazvukovými metodami.

1. Stanovení E_0

Modul pružnosti E vyjadřuje tuhost materiálu. Pro řadu technických aplikací, např. tělesa ložisek a současti stejradě tepelné namáhané, je jeho hodnota pro konstruktéra důležitější jak pevnost R_m . Hodnoty E_0 uvádí ČSÚ pro jednotlivé jakosti litiny. Pro technika je hodnota do dalseno konkrétnější veličina jak absolutní podélná v , nebo relativní v_A rychlosti zvuku.

Vztah mezi v a E_0 nutno pro každou slévárnu a její tavicí agregát, tj. obloukovou nebo indukční elektrickou pec či kuplovnu, stanovit experimentálně z měření na půlkruhových výřezech uhlíkovou a přímou sondou nebo na štíhlých tyčích $1/d = 7$, kde využíváme odrazu a transformace UZ vln na konci tyče. Na obrazovce se v tomto případě zobrazí zpožděná echo za hlavním koncovým echem s roztečí τ_{tau} . Nutno změřit měrnou

hmotnost ρ zkoušených těles /1,2/:

$$E_0 = /K \cdot v_R^2 \quad \text{MPa} \quad (1)$$

$$v_L = v_R \cdot 5930 = L/L_0 \cdot 5930 \quad \text{m/s} \quad (2)$$

$$T = C \cdot v_R \quad \text{m} \quad (3)$$

$$K = 5930 \cdot \sqrt{2 \cdot \rho \cdot \frac{1,5 - (d^2/8r^2)}{1 + (2T/d)^2}} \quad \text{N/m}^{0,5} \quad (4)$$

Pro litinu z liberecké slévárny s kuplovnami jsem z měření na cca 120 tyčích sianovil výpočetní vztah

$$E_0 = /437,8 \cdot v_R^2 \quad \text{MPa} \quad (5)$$

2. Změny hodnot E_0 v odlitku

Vztah mezi hodnotami E_0 a R_m šedé litiny platí pouze při nelegovanou litinu s přirozeně schladlými stěnami, tedy tam, kde není úmyslně ovlivněna krystalizace ocelové matrice. Za tohoto předpokladu byla vypracována tabulka č.1 a sestrojen graf na obr.1. Tab.1 uvádí nárust mechanických vlastností s klesající tloušťkou stěny odlitku pro jednotlivé jakosti litin dle ČSN. Funkce $E_0 = f(L)$ předklaď graficky obr.2.

Vlastnosti litiny se však výrazně mění i v průřezu jedné stěny odlitku. Čím je silnější stěna a méně jakostní litina, tím jsou poměry povrchových a jádrových mech. vlastnosti výraznější, viz obr.3. Odlitek ozn. 02 odpovídá ČSN 422425 a odl. 79 ČSN 422415. E_{0s} je hodnota E změřená integrálně přes celý řez stěnu.

3. Měření tloušťek stěn L

V slévárenské praxi se ultrazvukových tloušťkoměru užívá často výrazeně jen k měření tloušťek nepřístupných stěn odlitků a nikoliv tež k hodnocení jakosti důležitých pártí v odlitku, tedy měření v_R .

Codevatel přístroje určí podle dodaného vzorku litiny slévárny osajchovní údaj nebo hochnutí v_L , např. $L=3,7$ pro ocelový etalon 6mm nebo $v=4450\text{m/s}$, které kontrolní pracovník bere za neměnné, konstantní.

Z obr.2 plyne, že při běžném rozsahu měření L o až 30mm čini pak chyba výsledků měření tloušťek až 8% na jednom odlitku. Při změně jakosti litiny o té samé tloušťce o jednu třídu se zváší do měření chyba 5%. Při rozdílu jakosti i

tloušťky stěny od etalonu tak chyba může přerušt 10%. Vlastní chyba měření L tak může překročit toleranci rozměru L dle ČSN 01 4470.

V praxi musí kontrolor nastavit tloušťkomér ovládacím prvkem a s posuvným měřítkem na přístupném místě stěny měřeného odlitku, nebo alespoň využít pro přibližné nastavení obr.2 (po vyznačení hodnot v na osu Eo).

Jakost litiny podle Eo určuje poměr skutečné L a ultrazvukem měřené Lu tloušťky vzhledem k cíjchovnímu etalonu. Za tím účelem vyrábí některé firmy uz. tloušťkomery spojené s elektronickými posuvnými měřítky.

Nejvyšší kadenci kontroly odlitek se dosahne při zanedbání změn L, tj. na silných průřezech přes 50mm. Zde se uplatní universální defektoskopy se sondami do 1MHz nebo by se využily uz. tloušťkomery se zobrazením echo a sondami větších Def při kmitočtu do 2MHz.

4. Drsnost obráběných ploch

Výkresy předepisují na odlitcích z šedých litin i jemné povrchy Ra=1,6µm. Někdy bývá problém požadovanou drsnost dodržet. Pokud nástroj při řezu vyvolává v povrchu litiny i tahové složky sil, projeví se výrazněji na drsnosti Ra hrubost D útvaru grafitu. Místy totiž dochází k vytrhávání kusů ocelové matrice a rozevírání štěrbin po lupincích grafitu, neboť grafit některé mikroobjemy oceli zcela obklapuje. Příklad vztahu Ra=f(D) pro konkrétní případ scusuření uvádí obr.4.

Délka grafitů D samozřejmě souvisí s hodnotami v a Eo pro určitý rozsah chemického složení litiny

$$D = 2080 - 6,23 \cdot Eo^{0,5} \quad \mu\text{m} \quad (6)$$

Drsnost povrchu tedy roste s hloubkou průniku nástroje do stěny, např. u drážek řemenic. Proto je důležité předepisovat konkrétní místo kontroly drsnosti u litinových odlitek po obrobení. I na litině lze dosáhnout velmi malé Ra vhodným způsobem, např. broušením, a řeznými podmínkami obrábění.

5. Závěr

Každý litinový složitější odlitek je z hlediska

akustických vlastností svých cílům partii velice variabilní. Kontrola rozměrů, a struktury ultrazvukem a činnosti musí brát tuto skutečnost, v příspěvku uvedenou, v úvahu a podívat se, jinak by výsledky kontroly byly zatíženy významnými chybami.

Literatura

- /1/ Tomáš J.: Ultrazvuk v měřicí technice, SNTL 1976.
/2/ Skrbek B.: Nedestruktivní materiálová diagnostika litinových odlitek, kand. disertační práce, Jablonec 1986.

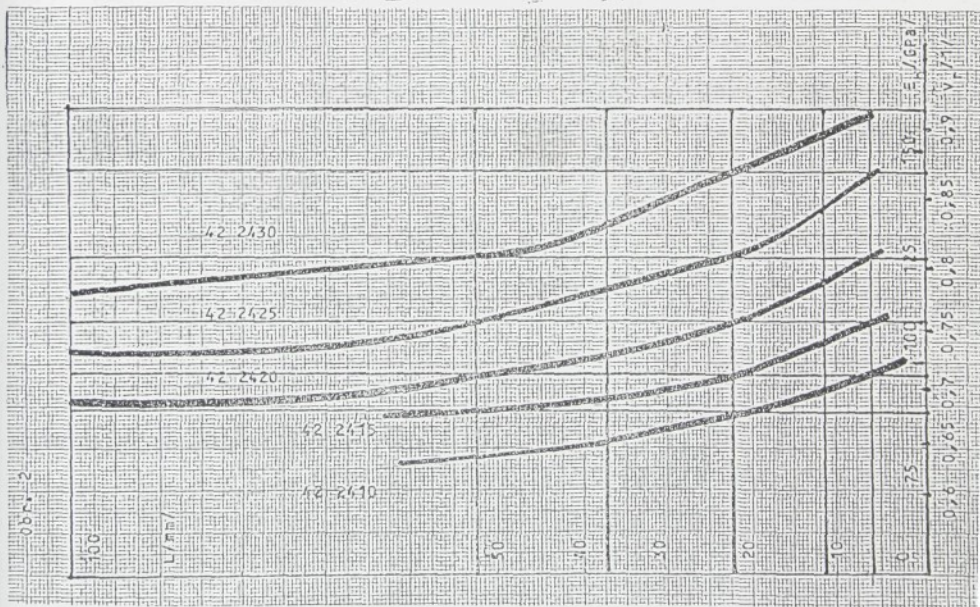
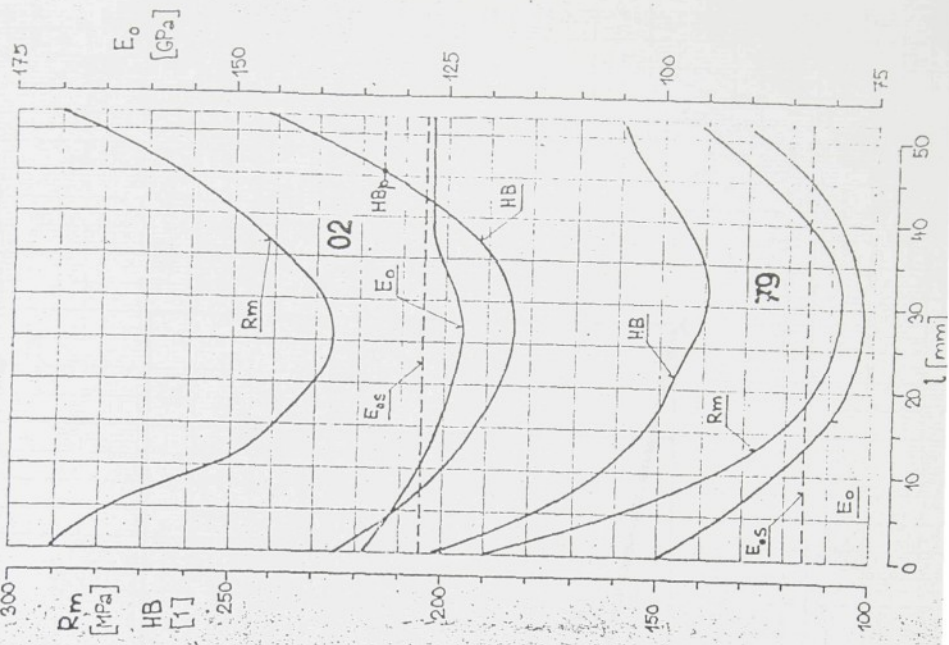
S. Říš

Závislost mechanických vlastností na tlaku (výrobek českého litku)

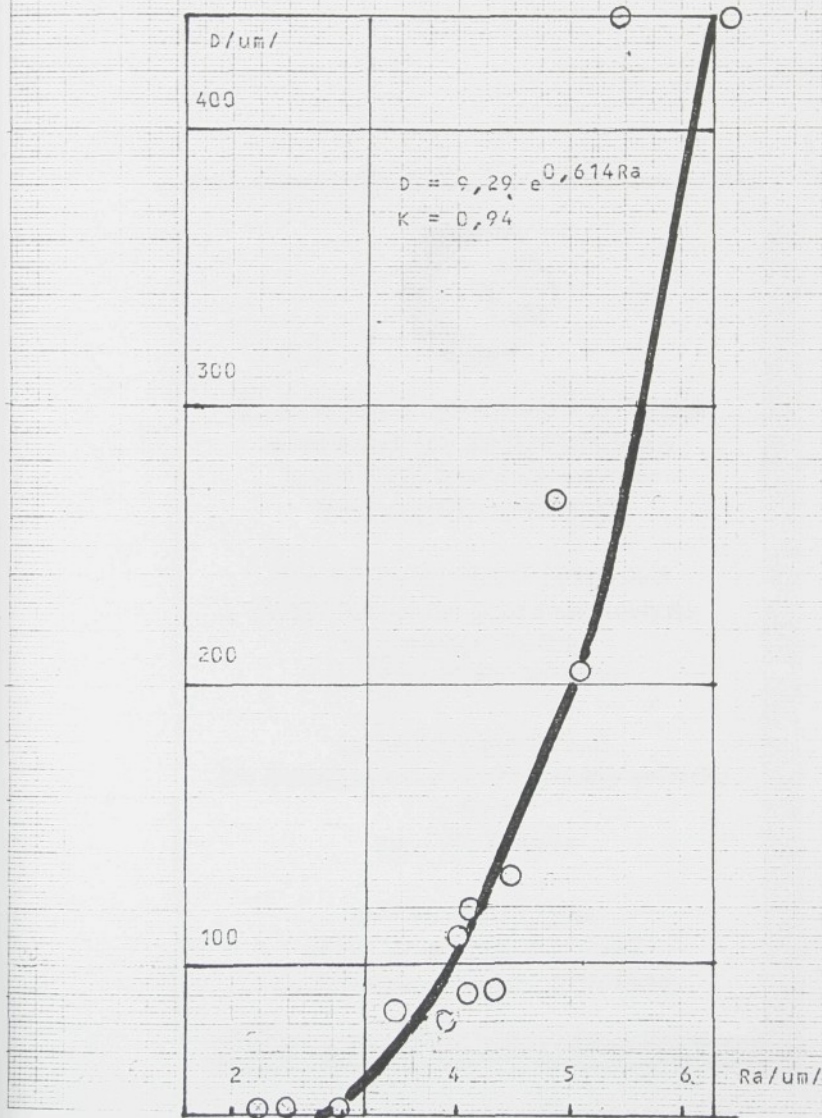
1.2. Elongace stanovená výrobkem (český typ) v měřítku

ČSN	Vloučení střední		4+7,0		6+7,0		15+20,0		30+44,0		45+50		60+60		
	μ [GPa]	15	40	50	50	45	60	50	50	40	50	45	50	40	50
42 2440	$\min .R_o$ [MPa]	150	130	100	100	70	50	-	-	-	-	-	-	-	-
	$\max .R_o$ [MPa]	150	130	100	100	110	100	-	-	-	-	-	-	-	-
42 2445	$\min .R_o$ [MPa]	200	160	130	130	120	100	-	-	-	-	-	-	-	-
	$\max .R_o$ [MPa]	210	190	160	160	170	150	-	-	-	-	-	-	-	-
42 2450	$\min .R_o$ [MPa]	250	230	210	210	180	160	-	-	-	-	-	-	-	-
	$\max .R_o$ [MPa]	260	240	220	220	200	180	-	-	-	-	-	-	-	-
42 2455	$\min .R_o$ [MPa]	300	280	260	260	230	210	-	-	-	-	-	-	-	-
	$\max .R_o$ [MPa]	320	290	270	270	240	220	-	-	-	-	-	-	-	-
42 2460	$\min .R_o$ [MPa]	350	330	310	310	280	260	-	-	-	-	-	-	-	-
	$\max .R_o$ [MPa]	360	340	320	320	290	270	-	-	-	-	-	-	-	-
42 2465	$\min .R_o$ [MPa]	400	380	360	360	330	310	-	-	-	-	-	-	-	-
	$\max .R_o$ [MPa]	420	400	380	380	350	330	-	-	-	-	-	-	-	-
42 2470	$\min .R_o$ [MPa]	450	430	410	410	380	360	-	-	-	-	-	-	-	-
	$\max .R_o$ [MPa]	470	450	430	430	400	380	-	-	-	-	-	-	-	-
42 2475	$\min .R_o$ [MPa]	500	480	460	460	430	410	-	-	-	-	-	-	-	-
	$\max .R_o$ [MPa]	520	500	480	480	450	430	-	-	-	-	-	-	-	-
42 2480	$\min .R_o$ [MPa]	550	530	510	510	480	460	-	-	-	-	-	-	-	-
	$\max .R_o$ [MPa]	570	550	530	530	500	480	-	-	-	-	-	-	-	-
42 2485	$\min .R_o$ [MPa]	600	580	560	560	530	510	-	-	-	-	-	-	-	-
	$\max .R_o$ [MPa]	620	600	580	580	550	530	-	-	-	-	-	-	-	-
42 2490	$\min .R_o$ [MPa]	650	630	610	610	580	560	-	-	-	-	-	-	-	-
	$\max .R_o$ [MPa]	670	650	630	630	600	580	-	-	-	-	-	-	-	-
42 2495	$\min .R_o$ [MPa]	700	680	660	660	630	610	-	-	-	-	-	-	-	-
	$\max .R_o$ [MPa]	720	700	680	680	650	630	-	-	-	-	-	-	-	-
42 2500	$\min .R_o$ [MPa]	750	730	710	710	680	660	-	-	-	-	-	-	-	-
	$\max .R_o$ [MPa]	770	750	730	730	700	680	-	-	-	-	-	-	-	-
42 2505	$\min .R_o$ [MPa]	800	780	760	760	730	710	-	-	-	-	-	-	-	-
	$\max .R_o$ [MPa]	820	800	780	780	750	730	-	-	-	-	-	-	-	-
42 2510	$\min .R_o$ [MPa]	850	830	810	810	780	760	-	-	-	-	-	-	-	-
	$\max .R_o$ [MPa]	870	850	830	830	800	780	-	-	-	-	-	-	-	-
42 2515	$\min .R_o$ [MPa]	900	880	860	860	830	810	-	-	-	-	-	-	-	-
	$\max .R_o$ [MPa]	920	900	880	880	850	830	-	-	-	-	-	-	-	-
42 2520	$\min .R_o$ [MPa]	950	930	910	910	880	860	-	-	-	-	-	-	-	-
	$\max .R_o$ [MPa]	970	950	930	930	900	880	-	-	-	-	-	-	-	-
42 2525	$\min .R_o$ [MPa]	1000	980	960	960	930	910	-	-	-	-	-	-	-	-
	$\max .R_o$ [MPa]	1020	1000	980	980	950	930	-	-	-	-	-	-	-	-
42 2530	$\min .R_o$ [MPa]	1050	1030	1010	1010	980	960	-	-	-	-	-	-	-	-
	$\max .R_o$ [MPa]	1070	1050	1030	1030	1000	980	-	-	-	-	-	-	-	-
42 2535	$\min .R_o$ [MPa]	1100	1080	1060	1060	1030	1010	-	-	-	-	-	-	-	-
	$\max .R_o$ [MPa]	1120	1100	1080	1080	1050	1030	-	-	-	-	-	-	-	-

Poznámka : Platí pro stáry užívání výrobcem výročné pravidlosti
tekuté litky při odložení, topelné nezpracování



Obr. 4





**V. mezinárodní symposium o zařízeních
a metodách pro studium struktury
a vlastností materiálů, transfer
progresivních technologií**

**The 5th International Symposium
on Equipment for Structural Analysis,
Mechanical Testing
and Technology Transfer**

**pořádané u příležitosti
36. Mezinárodního strojírenského veletrhu
v Brně
12. - 15. 9. 1994**

**held on the occasion
of the Brno Trade Fair 1994
on September the 12 - 15th 1994.**

Vztah mechanických vlastností v odlitcích a přilitých vzorkovacích tělesech

BŘETISLAV SKRBEC, Ing., CSc., LIAZ, a.s. Jablonec nad Nisou

Materiálová jakost litinových odliteků v přejímácích podmínkách se všeobecně podmiňuje hodnotami mechanických vlastností, které jsou získány destrukcí zkoušebního tělesa (zkoušební tyče). Tyto tyče jsou „vypreparovány“ ze vzorkovacích těles přílitych (obvykle uprostřed nebo na konci lití) s odlitky.

Mechanické vlastnosti v konkrétním místě odlitku závisí dle zvyklosti mimo technologických parametrů také na tloušťce stěny a průtočnosti tekutého kovu místem. Litý kov vyhřátým stěnám slévárenské formy (nebo jader) po ztuhnutí se vlastně žíhá akumulovaným teplem a „měkne“. Pevnostní vlastnosti významně ovlivňují stav povrchu (licí kúra) odlitku. Superpozice vnitřních pnutí.

Na základě uvedených všeobecně známých předpokladů jsme připravili experiment, jehož cílem je kvantifikace poměru mezi mechanickými vlastnostmi v tělesech Y1, Y2 a stěnami odlitků 5 až 15 mm silných a jednotkovými a pětinásobnými průtoky kovu stěnami.

Zkoumána byla oblast litin s kuličkovým a červíkovým grafitem.

Technika experimentu

Byly odity tavby litin s kuličkovým a červíkovým grafitem a feritickou až perlitickou základní kovovou hmotou. Z každé tavby byly odity zkoušební bloky Y1 a Y2, desky 200 x 100 x Lmm s L<5; 10; 15).

Z bloků Y1 byly vyrobeny tyče o průměru 6 mm a z Y2 10 mm. Desky po proměření tvrdosti a nedestruktivním měřením ultrazvukem a metodou bodového magnetu, půlo se zpracovaly na ploché tyče s licí čírou pro zkoušku tahem. Aby byl potlačen negativní vliv nepřesnosti při upínání plochých tyčí do čelisí trhacího stroje, byly tyče trhány přes čepy 12 mm. Na odřezcích z bloků a desek byla provedena metalografická analýza. Šířka plochých tyčí je 10 mm.

Tab. 1 Chemické složení tavek v %

Tavba	C	Si	Mn	P	S	Litiná
1	3,83	2,63	0,09	0,032	0,008	LKG F+P
2	3,78	2,63	0,08	0,036	0,006	LKG P
3	3,42	2,70	0,10	0,016	0,007	LKG F
4	4,06	3,36	0,25	0,076	0,007	LČG P
5	3,88	2,66	0,19	0,057	0,009	LČG F
6	3,84	2,58	0,20	0,059	0,007	LČG F+

.... litina s červíkovým a lupíkovým grafitem po částečném odeznení modifikátoru

Základní surovinou pro výrobu litin bylo surové železo OREL a LITVAR 6 jako modifikátor. Lici teplota 1280 - 300°C.

Bloky a desky byly formovány do bentonitové směsi píska ostřívky RTKO a RTK1 v poměru 1:1, 6 % bentonitu a 3 % amonouhelné moučky. Doba stání forem před litím je 24 hodin.

Tab. 2 Průtočnost tekuté litiny plochými vzorkovacími tělesy

Průtok [kg]	tloušťka stěny	5 mm	10 mm	15 mm
jednotkový		0,75	1,33	3,00
pětinásobný		3,78	6,65	15,00

Výsledky

Výsledek jednotlivých měření je nepřehledný. Předkládám proto jen výsledky regresní analýzy a vzorek hodnot pro porovnání.

Tab. 3 Souvislost mechanických vlastností v blocích Y1 a Y2

Rozsah Rm	Lineární regrese	Korelační koeficient
Y1 (867; 400)	$R_{my2} = R_{my1} \cdot 0,9 + 7$	0,995
Y2 (784; 350)	$R_{p0,2y2} = R_{py1} \cdot 0,938 + 7$	0,995
	$A_{y2} = A_{y1} \cdot 1,68 - 8,7$	0,969
Ferit <2;100%	$F_{y1} = F_{y2} \cdot 1,04 - 3$	0,99

Tab. 4 Vliv průtočnosti

Stěna	Příklad	Lineární regrese	Korelace
[mm]	Rm Rmp		
5,5	400 370 800 797	$Rm_{5p} = Rm_5 \cdot 1,065 - 55$	0,982
9,6	400 406 700 854	$Rm_{10p} = Rm_{10} \cdot 1,49 - 192$	0,985
15	400 385 700 890	$Rm_{15p} = Rm_{15} \cdot 1,684 - 288$	0,985

V tabulce č.5 jsou uvedeny vlastnosti čistě feritické a perlitické litiny s kuličkovým grafitem - tabva 2 a 3

Tab. 5 Porovnání vlastností stěn a kýlových bloků

	Y1	Y2	5	5P	10	10P	15	15P
Rm	867	784	748	733	600	690	540	640
P %F	7	2	0,5	1	0,5	1	0,5	0,5
HB	269	263	302	287	287	260	273	258

Rm	440	420	512	537	444	461	402	413
F %F	98	99	65	65	65	65	70	75
HB	166	161	226	206	214	186	193	182

P....index vlastností vzorku s pětinásobným průtokem

Nedestruktivním měřením rychlosti zvuku ultrazvukovým tloušťkoměrem a remanentního magnetismu přístrojem STRUKTUROSKOP B1 byly na stěnách 10 a 15 mm získány použitelné přeponičky ($K>0,9$) pro nedestruktivní měření HB a Rm, případně modulu pružnosti Eo.

vér

kýlových blocích Y1 získáme prakticky o 10 % ší hodnoty pevnosti jak v blocích Y2.

vnost Rm s průtočností kovu stěnou u feritických i se příliš nemění. Zato u perlítických stěn, zvlášť tlučky od 9,5 mm, vede k výraznému zvyšenodnot Rm až o 30 %. Přitom hodnoty tvrdosti i opačný trend. Vysvětlení přinese další práce kůra, pnutí ...).

vnost v perlítických stěnách s licí kůrou je podně nižší než odpovídají hodnoty Rm Y-bloků,

zejména u silnějších stěn, přičemž vnitřní struktura je téměř shodná. U feritických litin s kompaktním grafitem zase naopak hodnoty Rm se významně nelijí, zato však množství feritu ve stěnách je výrazně nižší než v Y-blocích týchž taveb.

Získané výsledky upozorňují na podstatné rozdíly vlastností litiny ve zkušebních blocích a odlitcích při uvažování průtočnosti stěn odlitků. Obecnější platnost uvedených poznatků však musí potvrdit nebo zamítat další experimenty, zvláště v jiných slevárách.

Dotázky húževnatosti zvarových spojov nových typov vysokopevných nízkolegovaných ocelí

Doc.Ing. PETER BERNASOVSKÝ, CSc., Výskumný ústav závračský Bratislava

Jvod

sie používanie moderných vysokopevných nízkolegovaných ocelí pevnostnej triedy 800 - 1000 MPa je o limitované ťažkosťami so zabezpečovaním ich trnosť pri zváraní. Tento problém je vypuklý ná vtedy, ak chceme používať vysokoproduktívny typ zvárania s vyšším merným tepelným príjomom (napr. zváranie pod tavivom), kedy dochádza rehnuťte tepлом ovplyvnenej oblasti (TOO).

izite vyššieho tepelného príkonu zvárania, t.j. zvárania s pomerne dlhšími časmi ochladzovania zvárania

- 500°C, prináša so sebou výskyt nepriaznivej kútrnej zložky M-A, nazývanej tiež ako M-ponent.

nponenty M-A sú vlastne ostrovčeky tvorené tenzitom a zvyškovým austenitom, ktoré sa ytújú väčšinou ako súčasť horného bainitu. Hoci trnosťny vplyv komponentu M-A na vlastnosti zvárania je všeobecne známy, chýbajú detailnejšie údaje o jeho vplyvu.

Ietodika skúšok a skúšobný materiál

yv zvárania sa nahrádzal imitovalným teplotným zváraním na simulátore Gleeble 1500. lotné cykly s maximálnou teplotou 1623 350°C) a časom ochladzovania $\Delta t_{8/5} = 3,5$ až 1 s (obr. 1) sa imitovali priamo na štandardné ové telieska rozmery 10x10x55 mm ubom ISO 2 mm (kolmým na povrch plechu).

skúšky boli dodané štyri typy vysokopevných nízkolegovaných ocelí, a to dve pevnostnej triedy 794 (ozn. HT 80 A a HT 80 B) a dve triedy 980 MPa (HT 100 a HT 100 B). Chemické zloženie skúšených ocelí je obsahom tab. 1.

Ýsledky skúšok

islosť veľkosti austenitického zrna, tvrdosti, percentuálneho podielu M-A komponentu a rôznej pevnosti imitovalnej teplom ovplyvnenej zvárania, medzi 800-500°C (3-773 K) je graficky vyjadrené na obr. 2. Vidime,

že veľkosť austenitického zrna s predĺžujúcim časom ochladzovania mierne rastie, ale tento priebeh je monotónny. Avšak pokles nárazovej práce je náhly, a to pri skúšobných oceliach HT 80 A a HT 100 B pri čase ochladzovania $\Delta t_{8/5} = 100$ s a pri oceli HT 80 B pri $\Delta t_{8/5} = 50$ s, čo je oblasť, kedy sa v štruktúre týchto troch ocelí začína objavovať komponent M-A, a to najmä masívneho (polygonálneho) typu. Komponent M-A ako súčasť horného bainitu sa najprv vylučuje v tvare pretiahnutom (elongated) a neskôr s predĺžujúcim časom ochladzovania v tvare plnšom označovanom ako masívny (massive). Za komponenty pretiahnutého tvaru sme považovali tie, v ktorých pomer dĺžky k šírke bol väčší ako 5. Okrem morfológickej zmeny sa s predĺžujúcim časom $\Delta t_{8/5}$ zväčšovať aj veľkosť (plocha) samotných časť komponentu M-A (tab. 2).

Do času ochladzovania $\Delta t_{8/5} = 100$ s, resp. 50 s bola húževnatosť uvedených troch ocelí dobrá vďaka štruktúre tvorennej prevažne dolným bainitom a nízkouhlíkovým martenzitom. Pri dlhých časoch ochladzovania sa v štruktúrach imitovalnej TOO pozoroval aj čiastočný rozpad komponentu M-A na feriticko-karbidickú zmes, pozri vyšrafovovanú časť na krívkach podielu M-A na obr. 2a,b a d.

Iný priebeh mala závislosť ocele HT 100 A (obr. 2c), v ktorej sa vylúčenie M-A komponentu nezistilo ani pri najdlhších časoch ochladzovania. Jej štruktúra bola tvorená nízkouhlíkovým martenzitom a dolným bainitom.

Tomu odpovedá aj priebeh nárazovej práce, ktorý je prakticky nemenný.

Dva morfológicky odlišné typy M-A komponentu dokumentuje obr. 3a a 3b. Na obr. 3b pozorovať už aj čiastočný rozpad komponentu na ferito-karbidickú zmes.

V M-A komponentoch sa nameral vysoký obsah uhlíka. Takmer lineárny vzťah medzi obsahom uhlíka a tvrdosťou M-A komponentu vyjadruje obr. 4. Na obrázku tiež vidieť, že komponenty masívneho tvaru majú vysší obsah uhlíka a aj vysšiu tvrdosť ako komponenty pretiahnuté.

METAL '95

4. mezinárodní metalurgické sympozium
4th International metallurgical symposium

16.-18. 5. 1995
OSTRAVA, CZECH REPUBLIC
HOTEL ATOM

Padatel

Organized by

TANGER, s. r. o., OSTRAVA

spolu s

In cooperation with

Ceskou společností pro nové materiály a technologie

Czech Society for New Materials and Technologies

Svazem středních České republiky, Brno

Foundry Association, Brno

II.

Tavby připraveny z velice čistých surovin.
SE - stupeň eutektičnosti.

Vztah mechanických vlastností v odlitcích a přílítých vzorkova- cích tělesech

Břetislav Skrbek, Ing., csc.,

LIAZ a. s., Jablonec nad Nisou.

Úvod

Materiálová jakost litinových odliků v přejímacích podmín-
kách se veobecně podmáhuje hodnotami mechanických vlastností,
které jsou ziskány destrukcí zkušebního tělesa (zkušební tyče).
Tyto tyče jsou "vypreparovány" ze vzorovacích těles litých
(obvykle uprostřed rukojeť na konci, lití) s odliky.

Mechanické vlastnosti v konkrétním mísce odliku závisí
mimo technologických parametrů také na tloušťce stěny
formy (nebo jádra) a po ztuhnutí se vlastnost žilá akumulovaným
tensionem a "márné". Pernostní vlastnosti významné ovlivňuje stav
povrchu (licí kůra) odliku a superpozice vnitřních prutí.

Na základě uvedených vlastností v tělesech Y a stanami odliku 5 až
15 mm silných s jednotkovými a jednotkovými pětinásobními průtoky kovu
zkušená byla oblast grafických linie.

Technika experimentu

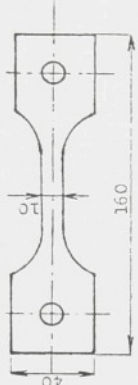
Byly odity tavby litin s kuličkovým a červíkovým grafitem
a feritickou a perlitickou základní kovovou hmotou. Litina
s lupinkovým grafitem získána odýněním modifikativního účinku.
Z každé tavby byly odity zkušební bloky Y1 a Y2, desky 200
x 100 x 1 mm s L₁=9,15s.

Z bloku Y1 byly vyrobeny tyče o průměru 6mm a z Y2 10mm.
Desky po proměně tvrdosti a nedestruktivním měření
ultrazvukem a metodou budovalo magnetickou pětinásobnou
plochou byly s licí kůrou pro zkoušku bráhem. Aby byl posačen
tribachický stroj po provedeném měření, vliv nepřesnosti upínání plochých tyčí do celiství
byly tyče trhané přes čepy 12mm. Na odřeckých ohýbových napátkách
ploch tyče je 10mm.

Chemické složení tavby v %: Tab. 1
LKG - litina s kuličkovým grafitem
F - ferit, P - perlit

Tavba	C	Si	Mn	P	S	SE	Litina
1	3,93	2,63	0,09	0,032	0,008	1,12	LKG F+p
2	3,78	2,63	0,08	0,036	0,006	1,10	LKG P
3	3,42	2,7	0,1	0,016	0,007	1	LKG F
4	4,06	3,36	0,25	0,076	0,007	1,27	LKG F*
5	3,88	2,66	0,19	0,057	0,009	1,14	LKG G
6	3,84	2,58	0,12	0,059	0,007	1,12	LKG P+

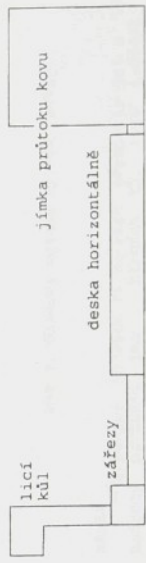
* - legování Sb
+ - litina s červíkovým a lupinkovým grafitem po části.
oděnaní modifikativního účinku.
Návrh typu pro zkoušku pevnosti v tahu je na obr. 1. Měření
délka l₀=40mm.



Obr. 1. Plochá tyč pro zkoušku pevnosti v tahu.
Základní surovinou pro výrobu litin bylo surové železo
SORL a LITVAR 6 jako modifikátor. Licí teplora 1280-1300 st. C.
Bloky a desky byly formovány do bentonitové směsi
na osnově RTK 1:1, 6% bentonitu a 3% kamennouhlé
moučky.

Doba stání forem byla 24h před litinou.
Průtočnost tekutiny plochými modely odliků: Tab. 2

Průtok Tl. / kg —	stěn	5	9	15 mm
jednotkový	0,75	1,33	3	
pětinásobný	3,78	6,65	15	



Obr. 2. Schéma vtokové soustavy.

Odlitky nebyly tepelně zpracovány a ve formách chladly do teplot okolí.

Výsledky

Výčet jednotlivých měření je náspěchledný. Předkládám proto jen výsledky regresní analýzy a vzorek počování.

Použité symboly:

A... tažnost pro $l_0=40\text{mm}$ (%)

HB... tvrdost podle Brinella (1)

Lu... tloušťka steny (mm)

M... intenzita rentgenového magnetického pole (A/m)

Rm... pevnost v tahu (mm)

Rp... pevnost v kluzu (mm)

Rp... pevnost v kluzu mezi bloky (mm)

Rp... pevnost v kluzu mezi krytem a bloky (mm)

Rp... pevnost v kluzu mezi krytem a tahu (mm)

Rp... pevnost v kluzu mezi krytem a tahu (mm)

Rp... pevnost v kluzu mezi krytem a tahu (mm)

Rp... pevnost v kluzu mezi krytem a tahu (mm)

Rp... pevnost v kluzu mezi krytem a tahu (mm)

Rp... pevnost v kluzu mezi krytem a tahu (mm)

Rp... pevnost v kluzu mezi krytem a tahu (mm)

Rp... pevnost v kluzu mezi krytem a tahu (mm)

Rp... pevnost v kluzu mezi krytem a tahu (mm)

Rp... pevnost v kluzu mezi krytem a tahu (mm)

Rp... pevnost v kluzu mezi krytem a tahu (mm)

Rp... pevnost v kluzu mezi krytem a tahu (mm)

Rp... pevnost v kluzu mezi krytem a tahu (mm)

Rp... pevnost v kluzu mezi krytem a tahu (mm)

Rp... pevnost v kluzu mezi krytem a tahu (mm)

Rp... pevnost v kluzu mezi krytem a tahu (mm)

Rp... pevnost v kluzu mezi krytem a tahu (mm)

Rp... pevnost v kluzu mezi krytem a tahu (mm)

Rp... pevnost v kluzu mezi krytem a tahu (mm)

Rp... pevnost v kluzu mezi krytem a tahu (mm)

Rp... pevnost v kluzu mezi krytem a tahu (mm)

Rp... pevnost v kluzu mezi krytem a tahu (mm)

Rp... pevnost v kluzu mezi krytem a tahu (mm)

Rp... pevnost v kluzu mezi krytem a tahu (mm)

Rp... pevnost v kluzu mezi krytem a tahu (mm)

Rp... pevnost v kluzu mezi krytem a tahu (mm)

Rp... pevnost v kluzu mezi krytem a tahu (mm)

Rp... pevnost v kluzu mezi krytem a tahu (mm)

Rp... pevnost v kluzu mezi krytem a tahu (mm)

Rp... pevnost v kluzu mezi krytem a tahu (mm)

Rp... pevnost v kluzu mezi krytem a tahu (mm)

Rp... pevnost v kluzu mezi krytem a tahu (mm)

Rp... pevnost v kluzu mezi krytem a tahu (mm)

Rp... pevnost v kluzu mezi krytem a tahu (mm)

Rp... pevnost v kluzu mezi krytem a tahu (mm)

Rp... pevnost v kluzu mezi krytem a tahu (mm)

Rp... pevnost v kluzu mezi krytem a tahu (mm)

Rp... pevnost v kluzu mezi krytem a tahu (mm)

Rp... pevnost v kluzu mezi krytem a tahu (mm)

Rp... pevnost v kluzu mezi krytem a tahu (mm)

Rp... pevnost v kluzu mezi krytem a tahu (mm)

Rp... pevnost v kluzu mezi krytem a tahu (mm)

	Y1	Y2	5	5P	9	9 P	15	15P
Rm	867	784	748	733	600	690	540	640
P %F	7	0,5	1	0,5	1	0,5	0,5	0,5
HB	269	263	302	287	287	260	273	258
Rm	440	420	512	537	444	461	402	413
P %F	98	99	65	65	65	70	75	182
HB	166	161	226	206	214	186	193	182

Nedestruktivním měřením rychlosti zvuku ultrazvukem, tloušťkoměrem a remanentním magnetizmem přístrojem Strukturosk Bl byly na stěnách 9 až 15 mm získány použitelné vlastnosti, připočty $K>0,9$, pro nedestruktivní měření mech.vlastnosti, přísl. modulu pružnosti Eo v komplexním zářízení SYLIT.

Příklad využitového vztahu pro mez kluzu ve stěnách l.c.9;20 > RPQ = 2,91 M.L/Lu + 2094 K.0 95 zařízení pro komplexní nedestruktivní diagnostiku struktury litin SYLIT pracuje řadu let na bázi nyní již zastaralého počítače SAPI 12833. Nyní spolupracujeme s brněnskou firmou ELKO na obnově tohoto zařízení na bázi PC - obr.3 představuje jeho blokové provedení.

Rozlah Rm
Linearní regrese
Korel. koeficient

Y1 <867;400>	$R_{M,Y2}=R_{M,Y1} \cdot 0,9+7$	0,995
Y2 <784;350>	$R_{P,Y2}=R_{P,Y1} \cdot 2,92 \cdot Y_1 + 0,938 + 7$	0,995
	$A_{Y2}=Y_1 \cdot 1,18 \cdot 8,7$	0,969

Ferit <2;100>%
V množství feritu ve struktuře se bloky Y1 a Y2 liší málo.

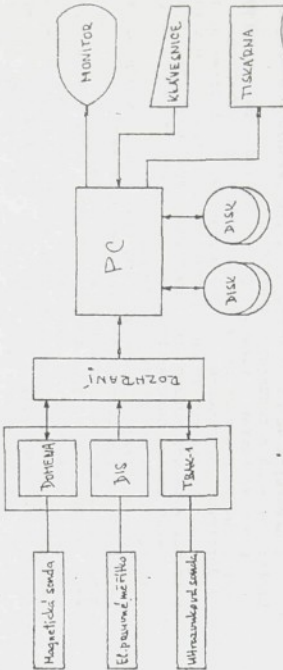
Vliv pružnosti na mechanické vlastnosti je v tab.4

Střena mm	Příklad Rm	Linear. regrese	Korelace
5,5	400 370	$R_{M,SP}=R_{M5} \cdot 1,065-55$	0,982
	800 797		
9,6	400 406	$R_{M,SP}=R_{M9} \cdot 1,49-192$	0,985
	700 854		
15	400 385	$R_{M,SP}=R_{M15} \cdot 1,684-288$	0,985
	700 890		

Pružnost P jako veličina do výpočtových vztahů by bylo možno zakorti, pokud by byl experiment proveden s více stupni pružnosti.

Porovnání vlastností stěn a kylových bloků:
V tab.5 uvedeny vlastnosti čitér feritické a perlitické litiny s kuličkovým grafitem - tabu.2 a 3.

P... index vlastnosti zkoušených vzorků s pětinásobným průtokem tekutého kovu dílnou formy plachých odlitků.
P... perlitická litina
P... feritická litina



Obr.3. Blokové schéma systému SYLIT.

Závěr v kylových blocích Y1 získáme prakticky jen o 10% vyšší hodnoty vlastnosti jak v blocích Y2, zato těžnost vzrostne podstatně.

Pružnost Rm s průtočností kovu stěnou u feritických litin

9,5 mm vede k výraznému zvýšení hodnoty Rm až o 30% Přitom
hodnota tvrdosti může opačný trend.

Vysvětlení přináší další
práce na kvantifikaci vlivu líticí kury, mikrofedin a pruží...
Pevnost v paralelních stenách s licí kroužkou je podstatně
nižší než odp. hodnota Rm Y-bloku, zejména u silnějších stěn,
přičemž vnitřní struktura je téměř shodná. U feritických litin
s kompaktním grafititem zase naopak hodnota Rm a významně nelijší,
zato výkaz možná i v stěnách je výrazně nižší jak
v Y-blochůch typických tavění.

Komplexní nedestruktivní diagnostika stěn odlítku dává
neplánované výsledky. Při předpovídání meze kruhu Rp.
kontrola je používána vstupu odlítku do LIAZ a.s.

Získané výsledky upozorňují na podstatné rozdíly
vlastnosti litiny v zkoušebních bločcích a odlítcích při uvažování
průtočnosti stěn odlítku. Dovolují předvidat skutečné
mechanické vlastnosti kritických míst automobilních odlítků jíz-
dícího vozidla a dle umožnění usozvat na vlastnosti v
odlítcích z hodnot získaných v rámci prejimek na Y-bločích.

Obecnější plánost uvedených poznatků však musí potvrzení
nebo zamítnutí další experimenty, zvláště v jiných slévárnách.

Abstrakt

Mechanical properties of cast irons in castings and additionally pour test pieces with regard to wall thickness and metal flowability

Břetislav Skrbek

LIAZ a. s., Jablonec n. N.

The quality of the material of castings is being warranted by the supplier by the values of mechanical properties of the additionally poured test pieces. The actual values in the particular spots (exhibited to stress in operation) may, however, differ to a certain degree under the influence of
- the wall thickness
- the foundry mould heated by the metal flow when casting
- the casting crust
- the internal stress.

In the discourse these problems are resolved for cast irons with spheroidal, vermicular and foliated graphite with ferritic till perlitic matrix. Test Y-blocks of various sizes, flat test castings 5 to 15 mm thick were cast experimentally with a unit and a five fold metal flow. With the test bars destructive and non-destructive tests to determine the type of structure and the mechanical properties were made.

The statistical regression of the results achieved was carried out for practical application.

Terms for properties found in the particular spots of the castings were determined. the individual stages of the Y-blocks differ by 10 percent in the mechanical properties. The actual differences in the mechanical properties of the cast irons in the test blocks and castings were determined.

Non-destructive methods for checking the mechanical properties were successfully applied.

A generally accepted validity of the learnings stated must still be confirmed by experiments to be carried out in other foundries.



ÚSTAV PRO VÝZKUM MOTOROVÝCH VOZIDEL

LIHOVARSKÁ 12 - 180 68 PRAHA 9 - TELEFON 83 26 40 - 9

Pracoviště PRAHA 3 - VINOHRADY,
Vinohradská 174
PRAHA 4 - PODOLÍ
Na dolinách 6
PRAHA 8 - KOBYLISY
Hlavníčeká 18a

Soudruh
Ing. Skrbek
Liberecké automobilové závody
Tř. V. Kopeckého 400
466 03 Jablonec n. Nisou

Váše zpráva zn. Ze dne
Ing. Hanke, CSc 1. října 312

Kaše značka
Hke/Še

V Praze dne
21.12.1985

• 55 •

Vážený soudruhu,

v říjnu 1986 se bude konat XVI. konference automobilové sekce ČÚV Strojnické společnosti čCSVTS. Konference je připravována ve spolupráci s pobočkou čCSVTS ÚVMV-Praha a bude též součástí oslav 30. výročí založení ÚVMV.

Konference bude dvoudenní a je připravována v 3 panelech.

1. panel - Vývoj automobilů a vývoj předpisů.

Ved. panelu Ing. Zd. Koutný, CSc - ÚVMV.

2.panel - Vývoj automobilů a moderní výpočtové metody.

Ved. panelu Ing. B. Kurz, CSc - ÚVMV.

3.panel - Vývoj automobilů a nové konstrukční, materiálové a technologické prvky.

Ved. panelu Ing. M. Hanke, CSc - ÚVMV.

Byl jste přípravným výborem této konference vybrán, abyste přednesl přednášku v panelu č. 3..... na téma:

autoři: Ing. Konečný, Ing. Skrbek

Využití tvárné litiny v konstrukci čs. nákladních automobilů

Kramy: AUTOVÝZKUM PRAHA

Bankovní spojení:

Nadřízené ministerstvo: MIP

ISBN: Praha Vydavatelství 12 22 97

SBČS pod. Praha 9, Na příkopě 28, Praha 1

Obozrové ředitelství: ČAZ

Praha Vinohrady 12 10 49

provoz, učet číslo 2208-091

Praha Žižkov 122811

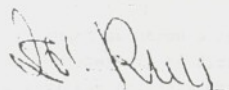
Pro invest. dodávky: číslo účtu 43-2208-091

Žádám Vás o laskavé zaslání zkrácených tézí přednášky v rozsahu asi 1 stránky do 15. února 1986 na adresu vedoucího Vašeho panelu.

Po schválení tézí Vašeho příspěvku Vám bude zaslán tiskopis smlouvy s Domem techniky Praha o finanční úhradě přednášky.

Věříme v úspěšnou spolupráci a vzájemné pochopení.

S pozdravem



Ing. Zdeněk Kurn

odborný garant konference

VYUŽITÍ TVÁRNÉ LITINY V KONSTRUKCI ČS. NĚKUDNICH AUTOMOBILŮ

Ing. Luděk Končený, TATRA, o. p., Kopřivnice

Ing. Břetislav Skrbek, ŠKODA, o. p., Jablonec nad Nisou

1. Úvod

Použití tvárné litiny místo oceli má v automobilovém průmyslu rostoucí tendenci danou známými technicko-ekonomickými faktory. Lze konstatovat, že se tvárná litina osvědčuje, je-li se zpetelem na charakter namáhání vhodně zvolena značka a současně dokonale zvládnuta technologie výroby. V této přednášce jsou stručně shrnutý práce vykonané v o. p. TATRA Kopřivnice pro klubší poznání vlastností tvárné litiny vyráběné ve vlastní slévárně podniku. Dále je popsána technologie výroby tvárné litiny, rozsah použití na vozidlech TATRA a LIAZ, provozní zkoušenosti a ekonomie použití v těchto dvou závodech. Vývojové práce vedoucí k poznání vlastností tvárné litiny pro výrobky o. p. LIAZ nebyly následovány takovým stupněm realizace jako v o. p. TATRA, protože LIAZ nemá vlastní metalurgickou základnu na výrobu tvárné litiny. Nedostatek výrobních kapacit tvárné litiny je vlekým problémem slévárenství ČSSR.

2. Lomové mechanické a únavové vlastnosti tvárné litiny 42 2306 ve srovnání s litou ocelí 42 2660

Dosavadní klasické metody hodnocení kvality trhací zkouškou a zkouškou vrubovou, resp. rázové houževnatosti již nelze považovat za dostačující. Ve fyzikálně metalurgické a materiálové oblasti byly lomovou mechanikou zavedeny veličiny charakterizující odolnost materiálu proti řízení trhlin. K nim patří především lomová houževnatost vyjadřující kvantitativně odolnost materiálu proti vzniku nestabilního lomu při statickém (K_Q , K_{IC} , K_{IJ}) nebo dynamickém (K_{Qd} , K_{Id} , K_{Jd}) namáhání a dále pak prahová hodnota faktoru amplitudy intenzity napětí (K_{apr}) určující podmínu neřízení trhlin při cyklickém namáhání a hodnota cyklické lomové houževnatosti (K_{fc}) charakterizující závěrečný lom. Uvedené veličiny jsou materiálovými charakteristikami závislými na strukturních parametrech daných chemickým složením a zpracováním materiálu.

Lomové mechanické a únavové vlastnosti byly porovnány na provozních tavbách. Zkušební vzorky byly vytvořeny z větlitkých kylcových bloků Y2 - ČSN 42 1241 po jejich tepelném zpracování v průběžné žhaci peći postupem 920 °C / 7 h / vzduch + 650 °C / 5 h / vzduch, společným pro oba arrovánované materiály. Mez pevnosti zkoušené tavby oceli 42 2660 dosahuje při teplotě +20 °C hodnota $R_m = 623,5$ MPa a se snižující se teplotou mírně roste až na $R_m = 746$ MPa při -100 °C. V rozmezí teplot -100 °C až -120 °C pevnost klesá až na $R_m = 667$ MPa, načež s dalším poklesem teploty opět roste až na $R_m = 895$ MPa při -196 °C. Hodnota meze kluzu s poklesem teploty výrazně roste z $R_e = 317,5$ MPa při +20 °C až na $R_e = 874$ MPa při -196 °C, kdy dochází k lomu při napětí rovném R_e , a dosahuje se tedy tranzitní teploty křemekosti T_b .

Plastické vlastnosti reprezentované kontrakcí Z se v rozmezí teplot +20 °C až -80 °C prakticky nemění a průměrná hodnota činí $Z = 19$ %. S dalším poklesem teploty kontrakce prudce klesá na $Z = 5,6$ % při -100 °C.

Mez pevnosti tvárné litiny 42 2306 dosahuje při teplotě +20 °C hodnota $R_m = 695$ MPa a s poklesem teploty mírně roste. V oblasti teplot -50 °C až -80 °C klesá z hodnoty $R_m = 740$ MPa na $R_m = 584$ MPa a při dalším snižování teploty opět mírně roste až na $R_m = 552$ MPa při -196 °C. Mez kluzu s hodnotou $R_p 0,2 = 437$ MPa při +20 °C s poklesem teploty roste až na $R_p 0,2 = 666$ MPa při -103 °C. Kontrakce Z opakem plynule klesá z hodnoty $Z = 5,1$ % při +20 °C na $Z = 0$ % při -144 °C.

Výsledky statických zkoušek vykonaných tlíkadelovým chybem na vzorcích s "v"-vrubem naznačují, že u oceli 42 2660 v závislosti na poklesu teploty vzrůstá v intervalu $+20^{\circ}\text{C}$ až -80°C hodnota meze makroplasticích deformací z $F_{0,1} = 7,8 \text{ kN}$ při $+20^{\circ}\text{C}$ na $F_{0,1} = 8,8 \text{ kN}$ při -80°C , kdežto lomová síla F_{FR} a plastický průhyb do lomu f_p jsou teplotně závislé a nabývají průměrných hodnot $F_{\text{FR}} = 11,1 \text{ kN}$ a $f_p = 0,55 \text{ mm}$. V uvedeném teplotním intervalu dochází k lomu stabilním šířením tvárné trhliny. Za teplotu nižších než -80°C vzniká nestabilní lom bez předchozí makroplastickej deformace. Ve srovnání s hladkými vruby vede přítomnost vrubu k iniciaci nestabilního lomu již při teplotě -100°C , kdežto u hladkých vzorků k tomuto jevu dochází až při -196°C .

U tvárné litiny 42 2306 nebylo možné určit mez makroplasticích deformací $F_{0,1}$, protože plastický průhyb $0,1 \text{ mm}$ žádny ze vzorků v celém rozmezí zkoušebních teplot ne-zašel. Lomová síla dosahující při $+20^{\circ}\text{C}$ hodnoty $F_{\text{FR}} = 9,7 \text{ kN}$ klesá se snižující se teplotou rovnoměrně až na $F_{\text{FR}} = 4,81 \text{ kN}$ při -196°C . Plasticický průhyb do lomu klesá z hodnoty $f_p = 0,065 \text{ mm}$ při $+20^{\circ}\text{C}$ na $f_p = 0,0 \text{ mm}$ při -40°C .

Z hlediska pevnostních hodnot, tj. R_m a $R_e/R_p = 0,2^2$, jsou tedy oba materiály srovnatelné. Při náhradě oceli 42 2660 tvárnou litinou 42 2306 je však nutné vzít v úvahu požadavky pevnosti tvárné litiny v oblasti teplot -50°C až -80°C . Z hlediska plasticických pevností dosahuje tvárná litina stěží polovičních hodnot proti oceli 42 2660.

Přechodová oblast, tj. teplotní interval, ve kterém dochází u oceli 42 2660 k přechodu z tvárného do křehkého lomu, je 0°C až $+100^{\circ}\text{C}$. Při teplotě $+100^{\circ}\text{C}$ je dosaženo horní prahové úroveň houzevnatosti s průměrnou hodnotou $KCV_{\text{max.}} = 49 \text{ J/cm}^2$. Při teplotách nižších než $+20^{\circ}\text{C}$ pak dochází k přímé iniciaci nestabilního křehkého lomu. Trenzitní teplota $T_{50\%} = +65^{\circ}\text{C}$.

Lom tvárné litiny 42 2306 byl při teplotě $+20^{\circ}\text{C}$ zcela křehký a ani zkoušky konané v nižších teplotách do $+200^{\circ}\text{C}$ nevykázaly stopy tvárného lomu. Vrubová houzevnatost roste až na hodnotu $KCV = 5,6 \text{ J/cm}^2$ při $+20^{\circ}\text{C}$ na hodnotu $KCV = 15,0 \text{ J/cm}^2$ při $+200^{\circ}\text{C}$.

Z těchto výsledků vyplývá, že ocel 42 2660 je v podmínkách dynamického zatížování a přítomnosti vrubů při teplotách nižších než $+20^{\circ}\text{C}$ velmi křehká. Tvárná litina 42 2306 vyzázuje křehké chování v celém zkoušeném rozsahu teplot ($+20^{\circ}\text{C}$ až $+200^{\circ}\text{C}$) a hodnoty rubové houzevnatosti dosahují pouze 30 až 50 % z hodnot dosažených u lité oceli. Hlavní dolností materiálu proti iniciaci křehkého nestabilního lomu vyjadruje kvantitativně dynamická lomová houzevnatost. U oceli 42 2660 jsou nad teplotou $+30^{\circ}\text{C}$ nestabilní štěpné lomy inicirovány po větší plastické deformaci, dynamická lomová houzevnatost v závislosti na teplotě prudce roste a hodnoty K_{jd} jsou poměrně vysoké. V intervalu teplot -20°C až -60°C vznikají nestabilní štěpné lomy v malé plastické zóně u čela trhliny, a hodnoty K_{jd} jsou proto dosti nízké. Z výsledků vykonaných zkoušek je zřejmé, že dynamická lomová houzevnatost tvárné litiny 42 2306 je srovnatelná s litou ocelí pouze při teplotě -20°C . Při teplotě -60°C je nižší zhruba o 33 %. Také při teplotách nad $+20^{\circ}\text{C}$ je dynamická lomová houzevnatost tvárné litiny menší, neboť na rozdíl od prudkého růstu u oceli 42 2660 roste její hodnota s teplotou jen nepodstatně.

Zkoušky vysokocyklové únavové životnosti byly vykonány na hladkých vzorech $\delta = 7 \text{ mm}$ a použitím rezonančního pulsátoru Amsler při symetrickém namáhání teh - tlak a frekvence $f = 180 \text{ Hz}$. Wohlerovy křivky pro oba srovnávané materiály ukazují, že hodnota meze únavového cyklu činí u oceli 42 2660 $\sigma_c = 190 \text{ MPa}$ a u tvárné litiny 42 2306 $\sigma_c = 180 \text{ MPa}$.

Křivky rychlosti šíření únavových trhlin byly stanoveny v intervalu teplot $+20^{\circ}\text{C}$ až -80°C . Rychlosť tifení je v uvedeném intervalu teplotně nezávislá a křivky kompatují ke společné prahové hodnotě $K_{apz} = 5,0 \text{ MPam}^{1/2}$. Při teplotách -40°C a -80°C dochází k závěrečnému lomu náhle v průběhu jediného cyklu bez větší plastické deformace vzniku.

Závěrečný lom při +20 °C nenastal náhlý, ale měl po desítkách či stovek cyklů. K lomu tvárného charakteru došlo při stoupání rychlosti šíření trhliny a při rostoucí plastické deformaci zkušebního tělesa. Z průběhu rychlosti šíření dnavových trhlin v tvárné litině 42 2306 pro teploty +20 °C a -80 °C vyplývá, že se prahové hodnoty $K_{apz} = 5,0 \text{ MPam}^{1/2}$ u poklesem teploty nemění. Finální porušení zkušebních těles proběhlo při obou teplotách prakticky v jediném cyklu s lomem křehkého charakteru. Ve srovnání s ocelí 42 2660 je tedy závěrečný lom v tvárné litině 42 2306 křehký již při normální teplotě (+20 °C).

Z výsledků zkoušek rychlosti šíření a z podmínek zařazení dnavových trhlin vyplývá, že prahové hodnoty K_{apz} je u obou srovnávacích materiálů shodná a v teplotním intervalu +20 °C až -80 °C se nemění. Přitom hodnota $K_{apz} = 5,0 \text{ MPam}^{1/2}$ je poněkud vysoká, a tedy z konstrukčního hlediska výhodná, protože tím je hodnota K_{apz} vyšší a křivka rychlosti šíření trhlin více použitelná k vyšším hodnotám K_a , tím je materiál odolnější proti poškození dnavovou trhlinou. V pracích [3, 4] byly však publikovány výsledky měření, při nichž byly pro míjivý cyklus zatížování zjištěny hodnoty výrazně nižší, a to $K_{apz} = 2,6 \text{ MPam}^{1/2}$ u oceli 42 2660 a $K_{apz} = 2,0 \text{ MPam}^{1/2}$ u tvárné litiny 42 2306.

Je známo [5], že s poklesem teploty lze u hladkých vrubovaných těles bez trhlin očekávat růst hodnot dnavové pevnosti, protože mezi dnavy je určena nukleace mikrotrhlin kritické velikosti a nukleační proces je křížen procesy cyklické plastické deformace, které probíhají za nižších teplot obtížněji. U těles s trhlinami nebo s ostrými defektami typu trhlin, se kterými se musí u lítých součástí vždy počítat, je situace složitější. Mezi dnavy G_{ac} těles s trhlinou, jejichž velikost je ve srovnání s rozdílem tělesa malá, lze podle [5] stanovit ze vzorce

$$G_{ac} = \frac{K_{apz}}{\sqrt{l_0}}$$

kde l_0 je skutečná velikost trhliny. Mezi dnavy je tedy přímo úměrná hodnota K_{apz} a každá změna této veličiny vede ke změně meze dnavy ve stejném poměru. Lze proto očekávat, že hodnota dnavové pevnosti lítých součástí s trhlinami nebo s defektami typu trhlin bude v oblasti neomezené životnosti v obou materiálech stejná a s poklesem teploty do -80 °C se nezmění. Z uvedeného vyplývá, že vlastnosti tvárné litiny 42 2306 budou v oblasti dnavové pevnosti v celém zkoušeném intervalu teplot horší než vlastnosti oceli 42 2660. Z těchto pohledů lze ve vztahu k provoznímu chování lítých součástí vyrobených z obou srovnávacích materiálů formuloval závěry:

- u cyklicky namáhaných součástí dimenzovaných tak, že se celé spektrum zatížení realizuje pod mezí dnavy, bude jejich dnavová životnost stejná jak za normální teploty, tak i za teplot snížených do -80 °C. Pokud tedy takové součásti vyrobené z oceli 42 2660 nebo z tvárné litiny 42 2306 spolehlivě pracují v běžných klimatických podmínkách, mohou se použít i v podmírkách arktických bez nebezpečí, že se zkrátí životnosti a zhorší provozní spolehlivost
- u součástí namáhaných za provozu tak, že část zatíženého spektra překračuje mez dnavy, bude jejich dnavová životnost při použití tvárné litiny 42 2306 za normálních a za nízkých teplot horší. Přitom u obou materiálů s poklesem teploty poroste degradace dnavových vlastností projevující se snížením počtu cyklů do lomu a růstem plochy statického dolomení

Některé dynamické vlastnosti bainitické a nitridované tvárné litiny

Další zlepšení mechanických vlastností umožňuje izotermické kelení a nitridace tvárné litiny. Izotermickým zakalením nelagované nebo legované tvárné litiny v rozsahu teplot kalicí lázně 300 - 400 °C se vytvoří základní struktura charakteristická dolním

až horním bainitem. Ve srovnání s martenzitickou prokslitelností je bainitická menší. U nelegovanych litin to bývá kolem 10 mm. Výrazně se dá zvýšit legováním, zejména Mo. Toto legování ovšem vyvolá zvýšenou segregaci po hranicích eutektických buněk, čímž se zhoršují plastické a dynamické vlastnosti. Pevnosti v tahu a meze kluzu Re dosahují vysokých hodnot při ještě výhodných plastických vlastnostech. Úměrně těmto hodnotám ale také neroste mezi únavy, zejména u legovanych litin (Mo, Ni, Cr). Současný výzkum se zamýšľá lomovými vlastnostmi bainitických litin (VUT, Brno). Výborných vlastností dosahuje tvárná litina při namáhání ohybem. Potvrzily to zkoušky celých vahadel ventilů míjivým ohybem.

V normalizovaném stavu se vysokých statických i dynamických vlastností dosáhne legováním Cu. Nejvýhodnější bylo legování Mo nebo Cu. Zkoušky nitridovaných ozubených kol z tvárné perlitické až perliticko-feritické litiny potvrdily dobré únavové vlastnosti ve střídavém i míjivém ohybu. Problémem zůstává získání dostatečné dynamické kontaktní únosnosti. Snímky z rastrovacího mikroskopu ukázaly, že zdrojem iniciace povrchových porušení jsou otvory po globulích grafitu sahajících k povrchu. Uvedené hodnoty kontaktního namáhání jsou výpočtové. Ve skutečnosti vlivem nepřesnosti při výrobě kol a montáži vzniká nerovnoměrné zatěžování boků šikmého ozubení kol, a tím zvyšování lokálních hodnot napětí kontaktního namáhání nad uvedené hodnoty.

Charakteristika výroby a použití tvárné litiny na vozidlech TATRA a LIAZ

U nákladních automobilů řady T 815 byla uplatněna řada progresivních změn jak v konstrukční, tak i v materiálové oblasti. Přitom v materiálové oblasti bylo jedním z hlavních cílů snížit hmotnost podvozku, kde jsou četné nosné součásti se zřetelem na pátéčkovou konstrukci rámu řešeny jako odlitky. Jde o zakotvení výkyvných polonáprav, otočné čepy, náboje kol, skříně přídavného převodu a čelných diferenciálů, které se u typu T 148 vyráběly z uhlíkové oceli 42 2660. U typu T 815 se náboje zadních kol, skříň čelných diferenciálů a skříně přídavného převodu vyrábějí z tvárné litiny 42 2305. Hmotnost polotovarů z tvárné litiny je u provedení T 815 S3 428 kg na jeden vůz. U osobního vozu T 613 se z tvárné litiny 42 2306 vyrábí klikový hřídel motoru. Hlavní ani ojniční čepy nejsou povrchově kaleny. U typu T 603 se klikový hřídel vyrábí jako výkovek z oceli 15 260 s čepy vysokofrekvenčně kalenými.

Uplatňování dílů z tvárné litiny na výrobky LIAZ je v podstatě omezeno nedostatkem tvárné litiny na slévárenském trhu v ČSSR. Proto první vývojový úkol, zabývající se uplatněním tvárné litiny na dílech zadních náprav již před více než deseti lety, byl realizován v BLR, kam v rámci integrace RVHP pfešla veškerá výroba zadních náprav. Několik načich dospělých se vyvíjejících kontaktů a výrobců tvárné litiny v ČSSR bylo proto direktivně pferušeno. Proto rozsáhlejší přechod odlitků z oceli (převážně materiál ČSN 42 2709.1) na tvárnou litinu očekáváme až na přelomu let 1986/1987. Z toho plyne, že se dosud nemohly uplatnit ani progresivnější konstrukční změny na dílech LIAZ v souvislosti s přechodem na tvárnou litinu.

Charakteristika výroby TL 42 2305 a 42 2306 v závodě sléváren O.P. TATRA

Zahájení výroby nákladního vozu T 815 bylo spojeno se zahájením výroby odlitků z tvárné litiny 42 2305 ve vlnstní slévárně. Výchozí litina se tavi v zásadité EOP o obsahu 6 t, přesazované na 8 t. Složení vzdázy: peketovalý odpad z hlubokotažních plechů (10 - 20 %), surové železo Pl 2 (30 - 70 %), vrstný odpad tvárné litiny (20 - 40 %), smolný kokš SK (1,5 - 3 %). Složení litiny je předepsáno v tomto rozmezí:
Si = 2,30 - 2,70 % Mn = 0,50 - 0,80 % Cr = max. 0,10 % P = max. 0,035 %
Mg_{zb.} = 0,035 - 0,080 % C = 3,35 - 3,85 % S = max. 0,010 %

Jednostupeňový metaleorfický proces výroby tvárné litiny, tj. modifikace a grafitizační očkování, probíha ve zvýšené temperatuře kovu polářacím způsobem. Používá se čtyřtunová ocelářská pec s možností využití na pevnou či měkkou. Modifikátorem je litvar 8Ce nebo FeSiMg TiB 0,5 Ceb (na oceli) v množství 1,0 až 1,3 % z hmotnosti tekutého kovu, grafitizační drcenošedlo FeSi 75 v množství 1,2 % a litinové třísky z tvárné litiny v množství 0,8 %. Hmotností těsnícího kovu. Po odlití 20 forem se odlije dva Y2 bloky s předložitými částečkami třísky, dva vzdory, pro kvantometrický rozbor a jeden vložek pro metalografický rozbor (stavovnice vlny grafitu). Celková doba lití nesmí přesahovat 25 minut od konci modifikaci a reakce. Při výrobě tvárné litiny 42 2306 pro klimatické hřídele T 613 se používá v měrné sloužební technologii tvarník s tím, že vlastka je tvořena paketami hlučnosťních vložek a vlastním odpadem tvárné litiny a po roztavení a nauhličení vložky se připojují k vložce v množství 0,5 % z hmotnosti těsnícího kovu.

Technologie tepelného zpracování

Tepelně se odlišky zpracovávají na svých průběžných výrobcích pacích normalizačním žíháním a popouštěním. Austenitizační sekce určená k ohřevu vložky na žíhací teplotu je opatřena automatickou regulační soustavou a regulační přístavkou v pracovním prostoru peci. V této sekci jsou umístěny tři žíhací vozy, každý s ložnou plošinou 2850 x 1800 mm s pracovní výškou 1000 mm. Chladicí sekce, ve které probíhá ochlazování vložky, je konstruována jako otevřený chladicí lesek s ventilátorem a s otevřeným. V popouštěcí sekci jsou dva žíhací vozy. Sekce má vlastní regulační teploty pracovního prostoru. Doba setrvání odlišek v austenitizační sekci lze vložky činit 7,5 až 9 hodin a v sekci popouštěcí 5 až 6 hodin. Aby se dosáhlo co nejvýhodnějšího ochlazování celé vložky odlišek v chladicí sekci, ochlazují se prvních deset minut vložky vložky, pak následuje chlazení ventilátorem po dobu 35 až 50 minut. Vzhledem k technologickému toku výroby se odlišky z tvárné litiny 42 2305 tepelně zpracovávají společně s odliškami z oceli 42 2660 stejným způsobem.

Technicko-ekonomická analýza výroby odlišek z tvárné litiny 42 2305

Srovnání nákladů na výrobu oceli 42 2660 a tvárné litiny 42 2305 v podmínkách zemědělské výroby uvedené n. p. ČATRA je výrazně ovlivněno časovým průběhem tavení, který je podřízen potřebám formovny a je charakterizován těkáním z naštaveným kovem na odběr. Kalkulačce ceny tvárné litiny pro rok 1984 vychází 5167,905 Kčs/t a cena tekuté oceli celkem 5033,194 Kčs/t. Rozdíl je dán výššími náklady na materiál pro tavení tvárné litiny. Ekonomický přínos náhrady oceli tvárnou litinou je pro hlavní sortimentní představitele, tj. náboj zádního koia s skříní příslušného převodu, tento:

1. náboj zádního kola č.v. 442 O 2301 037 4

hrubá hmotnost odlišku z oceli 42 2660 - 65 kg; hrubá hmotnost odlišku z tvárné litiny 42 2305 - 50 kg. Úspora v nákladech na materiál - 58,50 Kčs/kz

2. skříní přídavného převodu č. v. 442 O 1635 020 4

hrubá hmotnost odlišku z oceli 42 2660 - 94 kg; hrubá hmotnost odlišku z tvárné litiny 42 2305 - 77 kg. Úspora v nákladech na materiál - 61 Kčs/kz

Rozdíl hrubé hmotnosti odlišku z oceli a z tvárné litiny je dáni:

- zmenšením tloušťky stěny vzhledem k lepší zdravotnosti tvárné litiny
- zmenšením technologických přídavků, které vyplývají z větších požadavků na dosažení usměrněního tuhnutí u lité oceli
- zmenšením přídavků na obrábění
- menší specifickou hmotností tvárné litiny

Úspora na pružnosti při tříštiacím chrániči je podle zahraničních údajů pohybuje mezi 20 - 30 % proti polotovarům z lité oceli. Vedle menších přídavků na obrábění se zde projevuje i lepší obratnost tvárné litiny. Platný celostátní normativ pro obrábění však tuto výhodu nebere v úvahu. JIIL jakost ČSN 42 2305 je zářezena na úroveň polotovarů

oceli a u vyšších jakostních tříd je obrobitevnost tvárné litiny hodnocena jako horší či obrobitevnost srovnatelných jakostí oceli. Přesto je mezi obrobitelností tvárné litiny a oceli podstatný rozdíl projevující se v možnosti obrábět odlitky z tvárné litiny a transferlinkách. Například odlitek náboje zadního kola je opracováván na lince fy Diedesheim; linka je opatřena elektronickou kompenzací otupení nožů u přesné tolerovaných rozměrů. Praktické zkušenosti a provozem této linky ukázaly, že limitní tvrdost odliku pro dosažení dostatečné životnosti obráběcích nástrojů je asi 230 HB. Pro přesnost rozměrů je přitom důležité dosáhnout co nejménšího rozptylu tvrdosti. Hodnoty tvrdosti slitků nábojů kol, charakterizované střední hodnotou $\bar{x} = 205$ HB s směrodatnou odchylkou $= 10,6$ HB, pro obrábění na lince Diedesheim plně vyhovují.

Možnosti dalších úspor při výrobě odlik z tvárné litiny záleží:
- ve zhospodárnění výroby v tavírně, založené na sladění požadavků formoven na tekutý kov s čanovým průběhem taveb
- v použití výpočetní techniky pro řízení energetických režimů na EOP
- ve zlepšení metalurgické technologie tavení tvárné litiny, tj. přechodu z EOP na SFP se vsazkou tvořenou vrátem tvárné litiny a paketovaným odpadem hlubokotažných plechů. Kromě úspor za nízkofosfornaté surové železo z dovozu vzniknou i úspory ze zkrácení doby tavy. Tato technologie se v současné době zkouší
- zrušení tepelného zpracování u těch odlik, které splňují požadavky ČSN na mechanické vlastnosti již v litém stavu. V některých slévárnach (ČKD Praha) bylo v tomto směru dosaženo dobrých výsledků

životnost a provozní spolehlivost součástí vozidel TATRA vyrobených z tvárné litiny

Dosažená provozní zkušenosť se součástmi vyrobenými z tvárné litiny 42 2305 a 42 2306 jsou dobré. Při nahraďce oceli 42 2660 tvárnou litinou 42 2305 u dílců, uvedených v úvodu kapitoly 3, nedošlo ke zhroucení jejich životnosti a provozní spolehlivosti, nevyskytly se žádné systematické závady. Velmi dobré výsledky přineslo použití tvárné litiny 42 2306 na klikovém hřídele osobního vozu T 613. Opatření čepu kliky je tak malé, že se po 350 000 km při generální opravě motoru montuje hřídele zpět bez přebroušení čepů a u ojnicích pánví není vůbec zavedena jejich výroba a rozsáry pro přebroušenou číku. U vozu T 603 s klikovým hřídelem kovaným z materiálu 15 230 zušlechtěným na 800 až 900 VPa a s čepy povrchově kalenými na tvrdost 50 - 55 HRC se jejich průměrná životnost do přebroušení pohybovala v rozmezí 150 000 až 250 000 km. Průvodním nepříznivým jevem výroby klikových dílů z tvárné litiny je však velký počet zmetků daný značnými požadavky na kvalitu při elektromagnetické kontrole opracovaných čepů.

Použití tvárné litiny na vozidlech LIAZ

Pro výrobce v BLR (Madero Sumen) odličová zadní náprava způsobem INMOLD slévárna JOVEČ. Mnoho dalších dílů se zkouší z tvárné litiny. Uvedeme si poznatky z dlouhodobých zkoušek čelistí brzd, držáků a skříní diferenciálu (200 tis. km) z tvárné litiny 42 2305, vyrobených ještě v n. p. LIAZ:

- bez opotřebených, plasticky deformovaných míst a necelistvostí (pouze ryaky). Pevnostně vyhověly
- ve srovnání s ocelovými díly opěrné plochy ložisek nejvíce známky otlačení (plastické deformace)
- čepy v držácích a čelistech pevné, neuvolněné

Přínosem pro uživatele a LIAZ je snížení pohotovostní hmotnosti vozů asi o 50 až 60 kg/ks, provozní závady nebyly hlášeny. V sedmé pětiletce se pro LIAZ z tvárné litiny dodávala pouze jedna polofóka z ZTS, Olomouc, pro přední nápravu (přední víko ložiska, 12,5 kg).

V současnosti jsou připraveny k okamžitému převodu na tvárnou litinu díly přední nápravy. Byla uzavřena hospodářská smlouva s k. p. TRANSPORTA, Chrudim, kde se rozbíhá výroba v nové slévárně. Po postupném zahajení výroby by se mělo ušetřit asi 250 t kovu a 4,5 mil. Kčs. Nápravy vozů představují stážejší zdroj uplatnění tvárné litiny z hlediska hmotnosti odlitků. Další konstrukční skupiny - rámy - obsahují rozmanitou škálu drobnějších odlitků (do 9 kg) z oceli. O jejich zkoušení s náhradách rovněž uvažujeme. Realizace ovšem musí být v souladu s možnostmi vyrábět je z tvárné litiny sériově.

4. Perspektivní uplatnění tvárné litiny v automobilovém průmyslu

Každá změna materiálu (ocel - tvárná litina) by měla být doprovázena konstrukční optimalizací tvaru odlitku respektující a využívající vlastnosti nového materiálu. Proto je nezbytné seznámit se s vlastnostmi a s vývojem tvárné litiny.

Z literatury plyne řada uplatnit tvárnou litinu místo tvárné oceli (výkovky, svářence). Převážně se využívá bainitické tvárné litiny. Výhodné ekonomické opracování se dotáhne výrobou odlitků z feriticko-perlitické tvárné litiny, která se až před dokončovací operací tepelně zpracuje na Bainit. Vyrábějí se tak ozubená soukolí, ojnice, klikové hřídele aj. Protože výkovky mívají menší cenu za kilogram a dobré mechanické vlastnosti, můžeme reálně uvažovat o zkoušení tvárné litiny pro výkovky jen z oceli řady 12 (ojediněle 13) se špatným koeficientem využití materiálu.

Dobré vlastnosti tvárné litiny pokud jde o únavu v ohybu umožňují uplatnit ji na ozubená kola (do jisté meze kontaktního namáhání) a na tvářené díly přenášející ohybový moment, např. na valech ventilů. Přesné lití tvárné litiny na ztracený model je ale v ČSSR etážkovou budoucností. Dobré kluzné vlastnosti by často umožnily zjednodušit kluzné uložení.

Odolnost vůči tepelnému namáhání v budoucnu umožní uplatnit tvárnou litinu na výfuková potrubí a na velmi namávané pisty místo šedé litiny a hliníkových slitin. Dobrá obrobiteľnost a velká tuhost (model pružnosti) ve srovnání se šedou litinou předpokládá uplatnění na výšce ložisek (feritická tvárná litina).

Literatura

- /1/ Holzmann, M. - Lukáš, P.: Současné možnosti aplikace mechaniky lomu. In: Vyšetřování nenormovaných mechanických vlastností ocelí. Doprava, VÚHŽ 1980.
- /2/ Vlach, B. - Holzmann, M. - Kohout, J.: Lomové chování lité oceli ČSN 42 2660 a tvárné litiny 42 2306 při snížených teplotách. Nepublikované zpráva, Brno, VUT 1983.
- /3/ Lukáš, P. - Kunz, L.: Síření únavových trhlin v lité oceli 42 2660 a tvárné litině 42 2306. Nepublikované zpráva, Brno, VUT 1983.
- /4/ Lukáš, P.: Odolnost lité oceli 42 2709.5 proti šíření únavových trhlin. Výzkumná zpráva ÚFM, Brno, ČSAV 1982.
- /5/ Lukáš, P. - Mazal, P.: Strojírenství 1983, č. 3, str. 173.
- /6/ Skrbek: Aplikace tvárné litiny v n. p. LIAZ. Zpráva pro komisi pro materiálové dípory při GŘ ČAZ. 1. 7. 1985.
- /7/ Bárta: Dílčí zprávy o spolupráci s LIAZ a VUT, Brno 1981 - 1985.
- /8/ Bárta - Skrbek: Využití bainitické tvárné litiny na díly motoru. Hutnické listy 1983 č. 10, str. 722 - 725.

KNIŽNICE ODBORNÝCH A VĚDECKÝCH SPISÓ
VYSOKÉHO UČENÍ TECHNICKÉHO V BRNĚ
Ročník 1990, Svazek 8 - 132
Fakulta strojní, Katedra nauky o materiálu
Vedoucí katedry: Prof. Ing. Bohumil MÍŠEK, DrSc.

Stanislav VĚCHET ¹⁾, Eduard DORAZIL ²⁾, Bohumil BÁRTA ³⁾
Břetislav SKRBEC ⁴⁾

ÚNAVOVÉ VLASTNOSTI TVÁRNÉ LITINY PŘI ZATEŽOVÁNÍ
PULZUJÍCÍM OHYBEM

Předložené práce uvádí únavové charakteristiky nelegované i legované tvárné litiny s maticí feritickou, feriticko-perlitickou a bainitickou.

Cílem práce bylo posoudit vliv chemického složení, tepelného zpracování a struktury matrice na únavové vlastnosti těchto materiálů. Únavové zkoušky byly doplněny metalografickou analýzou a mechanickými zkouškami statickými.

-
- 1) Ing. Stanislav VĚCHET, CSc., katedra nauky o materiálu
FS VUT Brno
 - 2) Prof. Ing. Eduard DORAZIL, DrSc., katedra nauky o materiálu
FS VUT Brno
 - 3) Doc. Ing. Bohumil BÁRTA, CSc., katedra nauky o materiálu
FS VUT Brno
 - 4) Ing. Břetislav SKRBEC, CSc., LIAZ Jablonec

1. Úvod

Zvyšující se nároky na technické materiály, součásti a zařízení a jejich rostoucí produkce přináší s sebou i zvýšené požadavky na širší znalosti fyzikálních a mechanických vlastností.

Vzhledem k tomu, že převážná většina součástí je v provozu vystavena cyklickému zatěžování, je pro řešení konkrétních strojních dílů a konstrukcí nutno znát zjemněna únavové vlastnosti použitého materiálu.

V předkládané práci jsou shrnutý výsledky únavových zkoušek na čtrnácti variantách tvárných litin se strukturou feritickou, feritiko-perlitickou, perlitickou i bainitickou. Zkoušky provedeny v letech 1985 až 1989, viz práce [1, 2, 3], jsou rozšířeny o další experimenty z posledního období. Únavové zkoušky, jež zahrnují klasické Wöhlerovy křivky s určením meze únavy, jsou doplněny zkouškami statickými a metalografickou analýzou.

2. Materiál, zkoušební technika a matematické zpracování

Pro únavové zkoušky bylo použito pět různých tvárných litin legované tvárné litinou, jejichž chemické složení je uvedeno v tab. 1.

Tab. 1 - Chemické složení použitých tvárných litin

Tavba ozn.	C	Si	Mn	P	S	Mg	Cu	Ni	Chemické složení [hmot. %]
0	3,63	2,06	0,11	0,020	0,008				
7	3,47	2,76	0,34	0,031	0,017	0,043	0,74		
8	3,53	2,60	0,27	0,044			0,45	0,49	
13	3,43	2,55	0,56	0,055	0,016	0,093	0,61		
15	3,46	2,10	0,25	0,047	0,002	0,058			

Tab. 2 - Metalografické struktury a tepelné zpracování feriticko-perlitických tvárných litin

Mat. ozn.	Gravitní tvar dle ČSN	Velikost $[\mu\text{m}]$	Matrice ferit/perlit [%]	Tepelné zpracování
F0	VI	30 - 60	100/0	feritizačné žíhané 870 °C/11h/pec
F7	VI,V	30 - 60	94/6	feritizačné žíhané 900 °C/4h/pec
P7	VI,V	30 - 60	4/96	normalizačné žíhané 900 °C/1h/vzduch
P8L	VI,V	60 - 120	4/96	litý stav
P8	VI,V	60 - 120	0/100	normalizačné žíhané 900 °C/1h/vzduch
P13	VI,V	30 - 60	4/96	litý stav
FP15	VI,V	30 - 120	55/45	litý stav
P15	VI,V	30 - 120	0/100	normalizačné žíhané 900 °C/1h/vzduch

Jednotlivé materiály jsou označeny několikamístným symbolem, který zahrnuje označení struktury a pořadové číslo tavby, viz např. tab. 4.

Tepelné zpracování na feritickou a perlitickou strukturu (feritizační a normalizační žíhaní) bylo provedeno v elektrické muflové peci. Použité austenitizační teploty a časové programy jsou uvedeny v tab. 2.

Izotermické bainitické zušlechtění bylo provedeno v solných lázních, teplota austenitizace byla 900 °C. Doba výdrže na této teplotě byla 30 min., u tavby 7 a 1 hod. u tavby 13 a 15. Teploty a dobu izotermického rozeprádu jsou uvedeny v tab. 3.

Výbrusy pro metalografickou analýzu byly vyhatoveny na bocích zkusebních vzorků standardní metriou. Pro vhodnocení tvaru a velikosti grafických částic byly vzorky použity

Materiály každé tavby byly různě tepelně zpracovány, čímž vzniklo celkem 14 variant s rozdílným chemickým složením a strukturou.

Tab. 3 - Metalografické struktury a transformační podmínky izotermické zušlechtění tvárných litin

Mat. ozn.	Grafit		Matrice A _z [%]	Transformační podmínky		Materiál ozn.	$\sigma_{\text{p},0.2}$ [MPa]	σ_m [MPa]	A_s [%]	σ_{ehc} $\frac{\sigma_{\text{ehc}}}{R_m}$
	tvor dle ČSN [μm]	velikost [μm]		teplota [°C]	čas [s]					
BH7	VII,V	30 - 60	40,0	400	4000	FD	223	361	23,7	0,97
BD7	VII,V	30 - 60	21,0	300	5000	F7	441	569	19,0	0,60
BH13	VII,V	30 - 60	41,9	400	3000	P7	606	909	3,3	0,58
BH15	VII,V	30 - 120	34,4	400	2400	BH7	590	1000	11,5	0,54
BP15	VII,V	30 - 120	19,9	350	6000	B07	1132	1400	4,0	0,38
BD15	VII,V	30 - 120	9,5	300	3600	PBL	430	720	7,1	0,49
						P8	705	1030	6,9	0,40
						P13	417	654	3,2	0,68

v rena leptaném stavu. Po jejich nalezení (2% Nitral) byla struktura pozorována na mikroskopu ZEISS - NEOPHOT 21 a vyhodnocena dle naší normy [4], viz tab. 2 a 3.

Podíl zbytkového austenitu u bainitických litin byl stanoven rentgenografickou fázovou kvantitativní analýzou, tab. 3.

Pro určení základních mechanických vlastností byly použity válcové zkusební tyče se závitovými hlavami o počátečním průměru $D_0 = 6$ mm a měrné délce $L_0 = 30$ mm.

Zkousky byly provedeny na tribacím stroji fy ZWICK o maximálném rozsahu 100 kN s grafickým záznamem síly a předloženou písmenkovou hodnotou teploty. Rychlosť zatěžování byla $v_0 = 1$ mm/min.

Střední hodnoty nepětových a deformačních charakteristik jsou uvedeny v tab. 4.

Únavové zkoušky byly provedeny na vysokofrekvenčním rezonančním pulzátoru fy Amsler při teplotě okolí. Zkusební vzorky o rozměrech $10 \times 10 \times 55$ mm byly jemně vroubeny s drsností povrchu $R_a < 0,4$. Vzdálenost portáře pro výpočet ohýbového momentu byla 50 mm. Zkusební frekvence, jež je u rezonančních pulzátorů funkcí tuhosti vzorku, byla $f = 170$ Hz.

Zkousky byly provedeny při zatěžování pulzujícím ohybem s parametry asymetrického cyklu $\Phi = 2,2$, přičemž tento parametr je definován takto:

$$(\bar{\sigma}_h - K) = a + b \cdot \log N,$$

Tab. 4 - Základní mechanické vlastnosti, mezi únavový poměr

Materiál ozn.	Transf. teplota [°C]	Transf. čas [s]	Materiál ozn.	$\sigma_{\text{p},0.2}$ [MPa]	σ_m [MPa]	A_s [%]	σ_{ehc} [MPa]	$\frac{\sigma_{\text{ehc}}}{R_m}$
FD	223	361	23,7	351	0,97			
F7	441	569	19,0	339	0,60			
P7	606	909	3,3	526	0,58			
BH7	590	1000	11,5	537	0,54			
B07	1132	1400	4,0	510	0,38			
PBL	430	720	7,1	356	0,49			
P8	705	1030	6,9	416	0,40			
P13	417	654	3,2	446	0,68			

$$\bar{\sigma}_h = \frac{\sigma_h}{\sigma_a},$$

kde $\bar{\sigma}_h$ - horní napětí zátežného cyklu; $\bar{\sigma}_a$ - střední napětí zátežného cyklu,

σ_h - amplituda cyklu.

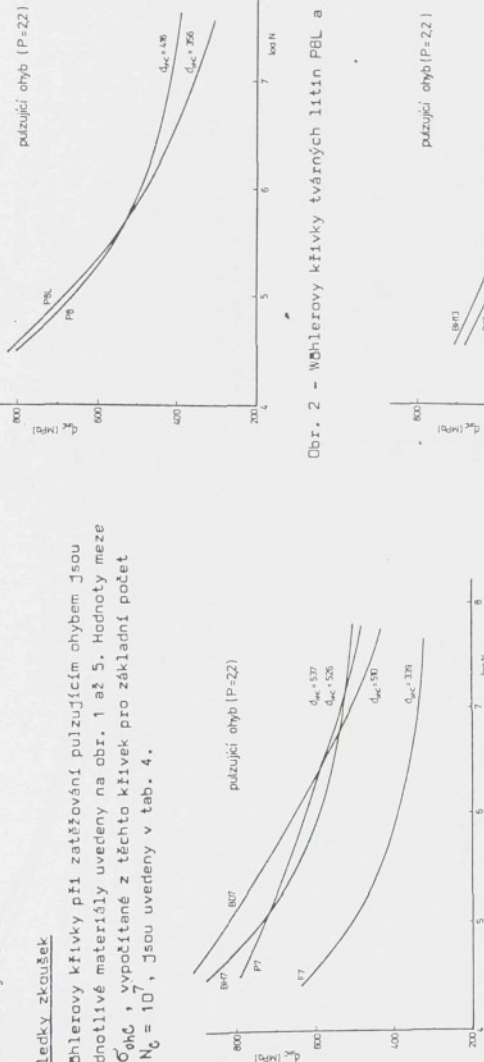
Pro určení průběhu Wöhlerových křivek byla použita regresní a korelační analýza. Experimentální body byla pomocí metody nejménších čtverců prolomena nelineární závislost určená weibulliem [5], který velmi dobře popisuje únavové chováníkových materiálů ve vysokocyklové oblasti:

$$(\bar{\sigma}_h - K) = a + b \cdot \log N,$$

η – konstanta, jež odpovídá napětí, při kterém vzorek vydří někonečný počet dýklů,
 a_1, b_1 – konstanty regresní křivky,
 N – počet cyklů do lomu nebo do přerušení zkoušky.
 Výpočty Wöhlerových křivek byly realizovány na osobním počítači M2B fy DUVETTI.

3. Výsledky zkoušek

Wöhlerovy křivky při zattézování pulzujícím ohybem jsou pro jednotlivé materiály uvedeny na obr. 1 až 5. Hodnoty meze únavy G_{dhc} , vypočítané z těchto křivek pro základní počet cyklů $N_c = 10^7$, jsou uvedeny v tab. 4.

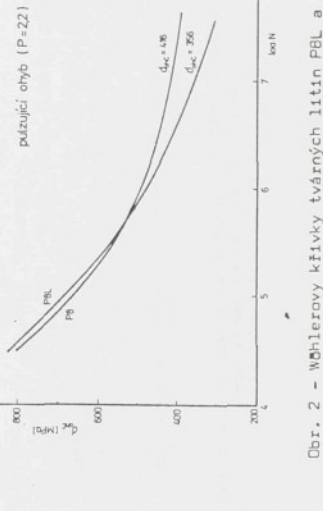


Obr. 1 - Wöhlerový křivky tvárných litin F7, P7, BH7 a BD7

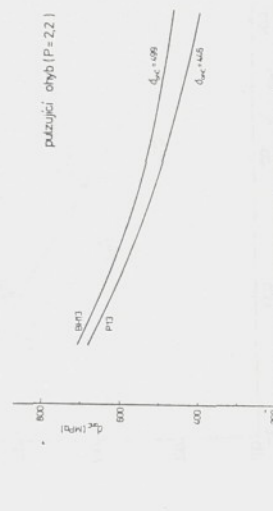
Vzájemné využitocenosti únavových vlastností různých materiálů. Je též možné na základě stanovené závislosti meze únavy na mezi pevnosti, viz obr. 6 a 7.

Tyto závislosti mohou být lineární, mocninnové atd. Vzhledem k tomu, že mocninová závislost, viz obr. 6, nedává výrazně lepší koeficient korelace r , jsou dále používány pouze

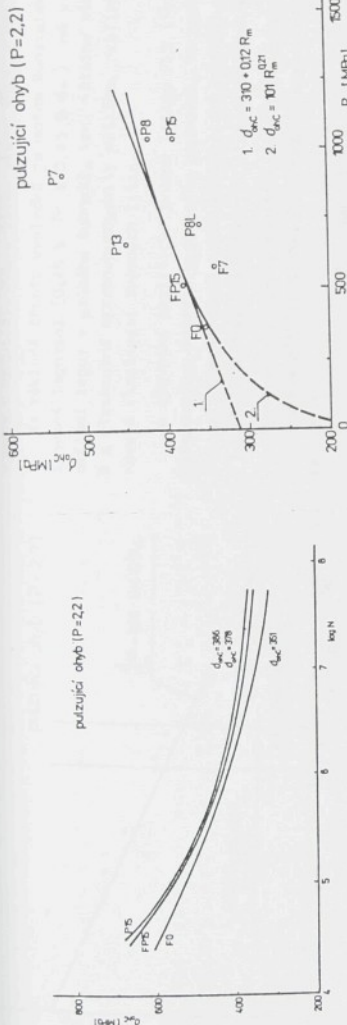
Dalším kritériem hodnocení únavových vlastností materiálu je tzv. unavový poměr, neboli poměr G_{dhc}/R_m . Hodnoty tohoto poměru jsou uvedeny v tab. 4. Závislost poměru G_{dhc}/R_m na mezi pevnosti je uvedena na obr. 8.



Obr. 2 - Wöhlerový křivky tvárných litin PBL a PB

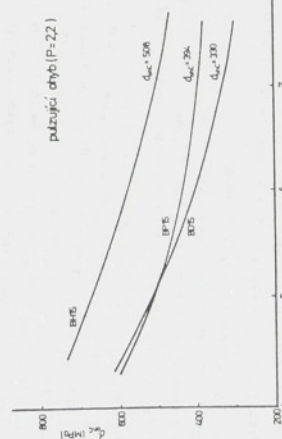


Obr. 3 - Wöhlerový křivky tvárných litin P13 a BH13

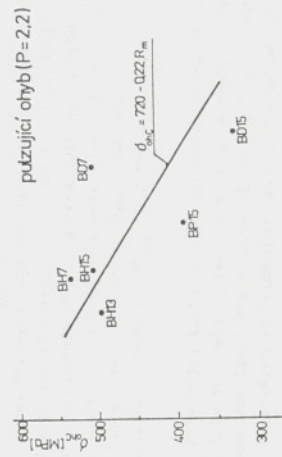


Obr. 4 - Wöhlerovy křivky tvarů lithinu F0, FP15 a BP15

Obr. 6 - Závislost meze únavy při zatěžování pulzujícím ohýbem na mezi pevnosti pro ferriticko-perlitické tvarné litiny



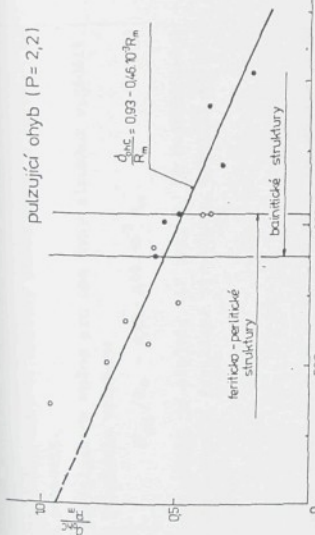
Obr. 5 - Wöhlerovy křivky tvarů lithinu BH15, BP15 a BD15



Obr. 7 - Závislost meze únavy při zatěžování pulzujícím ohýbem na mezi pevnosti pro bainitické tvarné litiny

zjemňena u materiálu PEL v litém stavu $G_{\text{oh}} = 356 \text{ MPa}$.

Na základě těchto výsledků je možno konstatovat, že kompozitování legování (0,45 % Ni a 0,45 % Cu) má v důsledku zvýšení leguru v průběhu tuhnutí, tzn. většího stupně chemického a strukturní mikronhomogenity matrice, nepříznivý vliv na vlastnosti tvárných litin.



Dr. B - Závislost poměru σ_{thc}/R_m na mezi pevností pro tvárné litiny

Diskuse

Z analýzy výsledků vyplývá, že nelegovaná feritická živárná litina F0 má při nízké hodnotě meze pevnosti $R_m = 361$ MPa, ve výšce vysokou hodnotu meze únavy $G_{0H} = 351$ MPa a tím i nejvyšší hodnotu poměru G_{0H}/R_m ze všech sledovaných materiálů.

DISCUSSIONS ON THE PRACTICE OF LAW

výšší hodnotu meze pevnosti $R_m = 569 \text{ MPa}$

průměrny $\varphi_c = 325$ mra. Legování médií se tedy nejvíce pro případné feritické struktury matrice výhodné.

Naproti tomu u perlitických struktur byly nejvyšší hodnoty únavy $\bar{\sigma}_{400} = 526$ MPa, resp. $\bar{\sigma}_{400} = 446$ MPa.

u materiálu P7 a P13, legovářích mědi. U těchto struktur musí být vedeny ovladače.

U perlitických materiálu kombinované legované tvary byly nápadně poměrně nízké hodnoty meze únavy, a to i u tepelně zpracovaného materiálu PB, $\bar{\sigma}_{hk} = 416$ MPa, takže výsledky jsou výrazně výšší než u jiných materiálů. Z tohoto vztahu je patrné, že nejvíce výnosný je únavový lesající závislost meze únavy na meze pevnosti, uvažujeme vlastnosti.

$$\sigma_{\text{eff}} = 720 - 0.22 R_m \quad (2)$$

四

horního bainitu s nižšími hodnotami meze pevnosti.

Jak vyplývá z tab. 4, únavový poměr klesá s rostoucí hodnotou meze pevnosti.

Tuto závislost je možno pro oba typy struktur vyjádřit klesajícím lineárním vztahem:

$$\sigma_{\text{ehc}} / R_m = 0,93 - 0,46 \cdot 10^{-3} R_m. \quad (3)$$

Z tohoto vztahu je zřejmé, viz obr. 6, že nejpřísnější únavový poměr vykazuje feritické struktury, nejnižší strukturu dolního bainitu.

5. Závěry

- 1) Kombinované legování 0,49 % Ni a 0,45 % Cu má značný negativní vliv na únavové vlastnosti tvárných litin.
- 2) U feriticko-perlitických struktur mez únavy vzrůstá s hodnotou meze pevnosti. Nejvyšší hodnoty vykazuje perlitická struktura.
- 3) U bainitických struktur mez únavy klesá s rostoucí hodnotou meze pevnosti. Nejlepší únavové vlastnosti byly stanoveny u struktur horního bainitu.
- 4) Únavový poměr ($\sigma_{\text{ehc}} / R_m$) lze pro oba typy struktur vyjádřit jako klesající lineární funkci meze pevnosti.
- 5) Nejpřísnější únavové vlastnosti vykazuje nelegovaná tvárná litina, případně legovaná pouze mědi, se strukturou perlítickou nebo se strukturou horního bainitu. Únavové vlastnosti těchto struktur jsou přibližně srovnatelné.

ITERATURA

- [1] VĚCHET, S. - BARTA, B.: Únavové vlastnosti tvárné litiny v období výkumu, výzkumná zpráva HS 302/75, VUT FS KNM, Brno 1985
- [2] VĚCHET, S. - BARTA, B.: Únavové vlastnosti perlitické a antitické tvárné litiny při zážehovém ohýběm, výzkumná zpráva HS 306/479, VUT FS KNM, Brno 1987
- [3] VĚCHET, S. - BARTA, B.: Únavové vlastnosti nelegované bainitické tvárné litiny při zážehovém ohýběm, výzkumná zpráva HS 303/097, VUT FS KNM, Brno 1989
- [4] ČSN 420 461 Hoenocenit metalografické struktury litin, ŠNM, Praha 1979
- [5] ČSN 420 368 Zkušky únavy kovů - statistické vyhodnocování výsledků zkoušek únavy kovů, ŠNM, Praha 1974
- [6] CASTAGNA, M. - FERREIRO, P. - MEDANA, R. - NATALE, E.: AFS International Cast Metals Journal, 1979, s. 63

Summary

Stanislav Véchet, Eduard Dorezil, Bohumil Bárta,
Břetislav Skrbek

FATIGUE PROPERTIES OF NODULAR CAST IRONS DURING PULSE BENDING LOAD

The paper covers the problems of behaviour of nodular cast iron under conditions of severe-cycle fatigue.

In total, five heats of unalloyed and alloyed nodular cast irons were used for the fatigue tests, while the heats selected were heat treated in order to obtain various matrix structures (ferritic, pearlitic, bainitic). The fatigue properties of the materials in question were evaluated on the basis of comparison of Wöhler curves obtained during the pulse bending load. These tests were supplemented by a metallographic analysis and by mechanical static tests.

The following most important conclusions can be drawn from analysis of the results obtained:

- combined alloying 0.49 % Ni and 0.45 % Cu exhibits a substantial negative influence on the fatigue properties of the nodular cast iron
- for the ferritic - pearlitic structure, the fatigue limit increases with the increasing ultimate bending strength; the pearlitic structure exhibits the highest value
- for bainitic structure, the fatigue limit decreases with the increasing ultimate bending strength; the best fatigue properties were obtained for the upper bainite
- the fatigue ratio ($\sigma_{0.2}/R_m$) for both types of structures can be expressed in terms of the decreasing linear function of the ultimate bending strength
- the most suitable fatigue properties are exhibited by an unalloyed nodular cast iron or alloyed with copper only, having either the pearlitic or upper bainitic structures

Fig. 1 - Wöhler curves of nodular cast irons FT, P7, BH7 and BD7

Fig. 2 - Wöhler curves of nodular cast irons PBL and PB

Fig. 3 - Wöhler curves of nodular cast irons P13 and BH13

Fig. 4 - Wöhler curves of nodular cast irons FO, FP15 and P15

Fig. 5 - Wöhler curves of nodular cast irons BH15, BP15 and BD15

Fig. 6 - Dependence of fatigue limit during pulse bending load at the ultimate bending strength for ferritic - pearlitic nodular cast irons

Fig. 7 - Dependence of fatigue limit during pulse bending load at the ultimate bending strength for bainitic nodular cast irons

Fig. 8 - Dependence of $\sigma_{0.2}/R_m$ at ultimate bending strength for nodular cast irons



Hutnické listy

10

ROČNIK XXXVIII

1983

STRANA 681 AŽ 760

CENA 6,50 Kčs

ODBORNÝ

ČASOPIS

HUTNÍHO

PRŮMYSLU

měřením v časech $t = 1, t = 2, \dots, t = p$, veličinu a_t lze chápout jako chybu.

Prakticky se postupuje takto:

- určí se typ modelu,
- stanoví se řád vybraného modelu, což znamená, že rozhodneme, na základě kolika předchozích pozorovaní budeme provádět predikci,
- vypočítají se hodnoty koeficientů v navrženém modelu (f_i).

Nejčastěji se používá model AR(1) a AR(2). Následující ilustrační příklad je rovněž AR(1), proto jsou uvedeny stručné teoretické závěry pouze k tomuto modelu (f_1).

Model AR(1) přísluší stavová rovnice

$$x_t = f_1 \cdot x_{t-1} + a_t$$

Znamená to, že neznámá hodnota x_t , očekávaná v čase t , se počítá ze známé hodnoty x_{t-1} . Rozdíl skutečné hodnoty x_t a její predikce $f_1 \cdot x_{t-1}$ je označen a_t :

$$a_t = x_t - f_1 \cdot x_{t-1}$$

Koeficient f_1 je v modelu AR(1) roven autokorelací s časovým posuvem $k = 1$, takže $f_1 = r_1$.

Příklad použití

Pro ilustraci je uveden příklad časové řady, jež představuje chvění pláště vysoké pece.

Počet pozorovaných hodnot $N = 140$. Charakteristiky sledované časové řady jsou:

$$\text{průměr časové řady } \bar{x} = 1/140 \sum_{t=1}^{140} x_t = 55,84$$

rozptyl časové řady

$$s_x^2 = 1/140 \sum_{t=1}^{140} (x_t - 55,84)^2 = 103,18$$

autokorelace s posuvem k

$$r_k = \frac{c_k}{s_x^2},$$

$$\text{kde } c_k = 1/140 \sum_{t=1}^{140} (x_t - 55,84) \cdot (x_{t+k} - 55,84)$$

Pro $k = 1$ je $r_1 = 0,89$

Použijeme-li jako model této časové řady model AR(1), bude predikční rovnice

$$x_t = f_1 \cdot x_{t-1} + 0,89 \cdot x_{t-1}$$

Na obr. 1 je autokorelační funkce této časové řady pro $k = 1, 2, \dots, 20$.

- Na obr. 2 je záznam predikce, prováděné na počítači:
- sloupec — pořadové číslo údaje (čas),
 - sloupec — skutečná (naměřená) hodnota parametru (v grafu je označena hvězdičkou),
 - sloupec — predikovaná hodnota (v grafu křížek),
 - sloupec — rozdíl skutečné hodnoty a její predikce.

Závěr

Využití predikce při řízení technologických procesů může usnadnit řízení výroby a předcházet kritickým situacím tím, že přináší dostatečně včasné informace. Uvedená teorie náhodných funkcí může být použita nejen pro korelační analýzu a predikci časových řad, ale také např. při spektrální analýze časových řad, při filtrace signálu a nežádoucích šumů, při řešení otázek překročení určité kritické hranice apod.

Literatura

- Anderson, T. W.: The statistical analysis of time series. Wiley, New York 1971.
- Anděl, J.: Statistická analýza časových řad. SNTL, Praha 1976.
- Box, G. P., Jenkins, G. M.: Time series analysis. Holden Day, San Francisco 1970.
- Hannan, G. P.: Time series analysis. Wiley, New York 1964.

Ing. BOHUMIL BARTA, CSc., Vysoké učení technické, fakulta strojní, Brno
Ing. BŘETISLAV SRBEK, Liberecké automobilové závody, n. p., Jablonec nad Nisou

Využití bainitické tvárné litiny na díly motoru

Dynamický rozvoj současné průmyslové výroby klade stále větší požadavky na výrobky strojirenského průmyslu pokud se týká parametrů výkonu, životnosti a spolehlivosti příslušných zařízení. Z téhoto požadavku vyplývají také nutné výšky nároky na konstrukční a nástrojové materiály s vysokou pevností a současně dostatečně houzevnaté, materiály se stále vysí odolností vůči rozmanitým druhům namáhání a opotřebení.

Naší snahou bylo uplatnění vysokopevné tvárné litiny na vahadla naftových motorů. Se získanými zkušenostmi chceme čtenáře seznámit v tomto příspěvku.

Materiál a pokusná technika

Tavby tvárné litiny byly vyrobeny v elektrické sfedrekvenční indukční peci vydanou suracitem na hmotnost vsázký 100 kg v SVÚM VSL Brno. Vsázkovým materiálem bylo australské surové železo v množství 98 %, ocelový odpad, grafitové elektrody a FeSi (75 %). Nikl byl přidáván jako čistý kov (granulovaný), molybden ve slitině FeMo (59,7 %) a měď jako čistý kov.

Po přehřátí na teplotu 1430 °C do počtu 5 minut byla tavenina očkována metodou „Sandwich“ hořčíkovou přeslitinou LITVAR 8 Ce (8 % Mg), v množství 2,2 %. Přeslitina byla příkryta drobným ocelovým odpadem v množství 2 % a grafitační očkování bylo provedeno u forem FeSi (75 %) v množství 0,6 %. Lici teplota se pohybovala v rozmezí 1260 až 1300 °C. Složení a označování jednotlivých druhů tvárné litiny uvádí tab. I.

Z tvárné litiny byly odtrženy od plastické formovací směsi s „Verasolem“ vahadla a kálové bloky Y1 (15 × 25 × 150 mm). Ze spodní části kálových bloků byly vyrobeny hranolky o průměru 11 × 11 mm, které byly použity k výrobě zkusebních tyčí pro zkoušku tahem (ČSN 420 316) s přídavkem na broušení (0,3 mm na polomér) a ve střední válcové části byly zbrošeny na konečný Ø 6 mm a k výrobě zkusebních tyčí pro zkoušku rázové houzevnatosti (10 × 10 × 55 mm bez vrubu) s přídavkem na broušení (0,3 mm na polochu).

Pro zkoušku tahem byl použit univerzální trhací stroj fy Zwicky (rozsah 100 000 N) a konstantní rychlosť pohybu přířízení (1,0 mm/min). Tvrdost se měřila na

Tab. I. Chemické složení použitych taveb tvárné litiny

Tvárná litina	Množství prvků [%]							
	C	Si	Mn	P	S	Ni	Mo	Cu
2	3,73	2,16	0,48	0,03	0,018	—	0,13	—
2X	—	—	—	—	—	—	—	—
3	3,7	3,04	0,59	0,04	0,013	—	—	—
4	3,66	2,97	0,48	0,08	0,011	—	—	0,56
5	3,63	2,53	0,53	0,062	0,012	0,4	0,18	—
5X	—	—	—	—	—	—	—	—

zbrošené válcové ploše na hlavách zkušebních tyčí. Rázové zkoušky byly provedeny na rázovém kladivu PSW 3 000.

Již obroběna vahadla ventilů, a zkušební vzorky byly izotermicky kaleny v solních lázních: austenitizace se uskutečnila v lázni soli GS 560 + C3, izotermický rozpad v lázni soli AS 140. Teplota austenitizace byla regulována s přesností $\pm 5^{\circ}\text{C}$, teplota izotermického rozpadu s přesností $\pm 3^{\circ}\text{C}$.

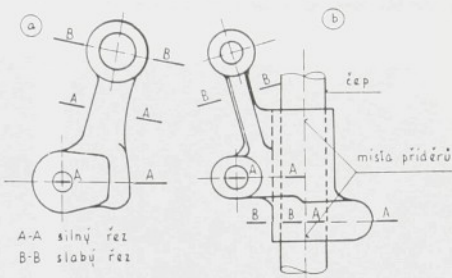
K sledování morfologie byla použita světelná mikroskopie. K metalografické analýze složil světelný mikroskop Zeiss-Neophot II.

Vahadla ventilů a kladíček byly podrobeny dlouhodobé provozní zkoušce a následně vyhodnoceno opotřebení (stereomikroskopem).

Podmínky izotermického kalení

Před vlastním izotermickým kalením v solních lázních bylo provedeno u vahadel a spodních částí kýlových bloků normalizační žihání 900 — $920^{\circ}\text{C}/2\text{ h} \rightarrow$ vzduch.

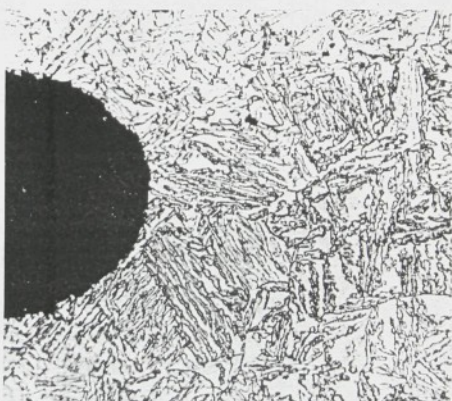
Podmínky izotermického kalení byly voleny u jednotlivých taveb tvárné litiny na podkladě dosažených experimentálních výsledků v dřívější výzkumné práci^{1,2,3)} (u taveb tvárné litiny podobného chemického složení a metalografickým ověřeny na neobroběných součástech) s ohledem na prokálení ve všech průřezech. Přehled podmínek izotermického kalení vzorků a součásti uvádí tab. II a III a metalografický rozbor sláv-



Obr. 1. Schéma uložení vahadla a čepu: a) vahadlo kladíčky; b) vahadlo ventilů.

Tab. II. Tepelné zpracování vzorků pro zkoušku tahem a zkoušku rázové houzevnatosti tvárné litiny

Tvárná litina	Austenitizační podmínky		Transformační podmínky		Do-chlazení
	Tep-lo-ta [°C]	Cas [s]	Tep-lo-ta [°C]	Cas [s]	
2	880	1800	400	3000	voda
2X	880	1800	350	4000	voda
3	900	1800	400	2000	voda
4	900	1800	400	3000	voda
5	900	1800	400	5000	voda
5X	900	1800	340	5000	voda



Obr. 2. Mikrostruktura, vahadlo, tavba $2400^{\circ}\text{C}/3000\text{ s}$, silný průřez, leptadio Vilella Bain-Nital, zvětšení $1000\times$.

bého a silného průřezu kalených součástí dle obr. 1 znázorňují metalografické snímky na obr. 2, 3, 4, 5 pro dvě různé transformační teploty (400 a 340°C) při zvětšení $1000\times$.

Výchozí strukturu před izotermickým kalením tvořil grafit, perlit a ferit u všech použitych taveb viz obr. 6. Grafit byl pravidelně zrnitý a teměř pravidelně rozložený o velikosti 30 až $60\text{ }\mu\text{m}$ viz obr. 7.

Tab. III. Tepelné zpracování vahadel z tvárné litiny

Tvárná litina	Austenitizační podmínky		Transformační podmínky		Do-chlazení
	Tep-lo-ta [°C]	Cas [s]	Tep-lo-ta [°C]	Cas [s]	
2	880	2700	400	3000	voda
2X	880	2700	350	4000	voda
3	900	2700	400	2000	voda
4	900	2700	400	3000	voda
5	900	2700	400	5000	voda
5X	900	2700	340	5000	voda

Dosažené výsledky

Z uvedených metalografických mikrosnímků obr. 2 až 5 je zřejmé, že u všech taveb tvárné litiny (2, 3, 4, 5) bylo dosaženo úplného proklení ve všech průřezech a mohlo být provedeno izotermické kalení vzorků i součásti (tab. II, III). Naměřené mechanické vlastnosti izotermicky kaledených vzorků tvárné litiny uvádí tab. IV. (R_m , A_5 , KC, HV). Nejvyšší pevnost v tahu bylo dosaženo u taveb 5X (transformační teplota 340 °C, $R_m = 1245$ MPa) a 2X (transf. teplota 350 °C, $R_m = 1224$ MPa) při zachování vysokých i tvárných vlastností $A_5 = 12,2 - 13,8\%$ a dostatečné tvrdosti HV 353 – 372. Z tab. IV je zřejmá velmi příznivá relace mezi pevnostními a plastickými charakteristikami.

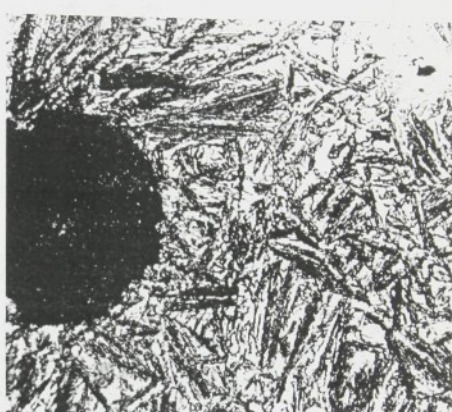
Při pevnostech 1000 MPa (u všech taveb) a 1 200 MPa (u taveb 2, 5) neklesla dosažená tažnost A_5 pod 9%, a rázová houzevnatost (KC) pod 95 J/cm². Tyto velmi dobré mechanické vlastnosti (R_m , A_5 , KC) byly dosaženy i s ohledem na velmi dobrý globulární tvar a temně pravidelně rozložený grafit v základní kovové hmote viz. obr. 7.

U taveb tvárné litiny nebyla zjištěna přítomnost eutektických karbidů, které mají nepříznivý vliv na plastic-ké vlastnosti (při vyšším legování Mo, Mn)⁴.

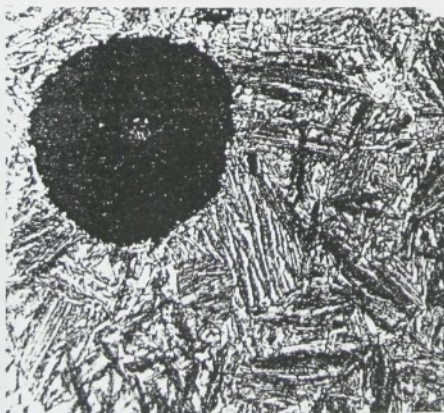
Naměřené hodnoty tvrdosti odpovídají strukturní směsi dosažené při teplotách izotermického rozpadu austenitu u jednotlivých druhů taveb tvárné litiny^{1, 2, 3, 4}. Hodnocení se zaměřila na kluzné uložení. Čep vahadel je povrchově kaledený z oceli 12 050 s naměřenou průměrnou tvrdostí povrchu 700 HV ± 20.



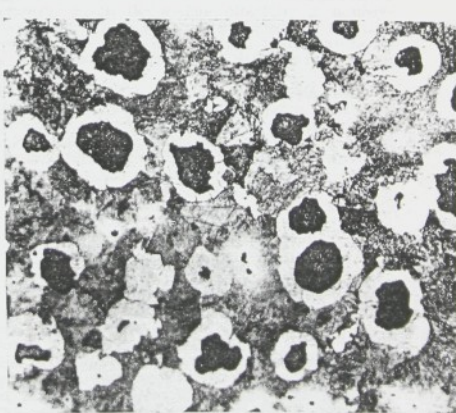
Obr. 3. Mikrostruktura, vahadlo, tavba 3, 400 °C/2000 s, slabý průřez, leptadlo Vilella Bain-Nital, zvětšení 1000×.



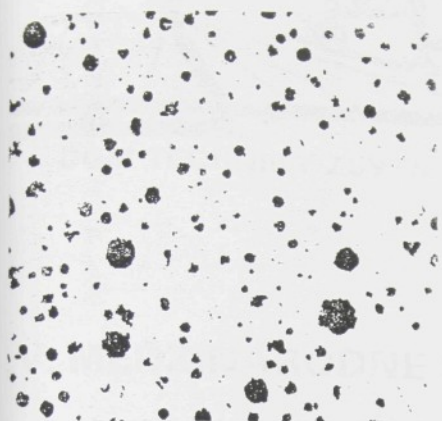
Obr. 5. Mikrostruktura, vahadlo, tavba 5, 340 °C/5000 s, slabý průřez, leptadlo Vilella Bain-Nital, zvětšení 1000×.



Obr. 4. Mikrostruktura, vahadlo, tavba 5, 340 °C/5000 s, silný průřez, leptadlo Vilella Bain-Nital, zvětšení 1000×.



Obr. 6. Mikrostruktura, tavba 2, litý stav, leptadlo Nitral, zvětšení 250×.



Obr. 7. Velikost a rozložení grafitu, tavba 3, neleptáno, zvětšení 100×.

Výsledky provozních zkoušek izotermicky kalených součástí po 5. 10⁷ cyklech uvádí tab. V.

Adhezivní opotřebení znamená vlastné porušování nikrospojů povrchových nerovností funkčních ploch sloužící dvojice materiálů (bainitická tvárná litina – nartensit kaleného čepu) v místech přerušení olejového filmu. Kluzný pohyb dvojice čep – vahadlo je pouze kyvavý. Z toho plyně jednostranné namáhání tyčiných ploch a horší podmínky pro udržení filmu

uložení s max. namáháním na tlak v průsečích průniku povrchové přímky válců uložení kolmě na směr působících sil s koncovými površkami válcových ploch uložení.

Tab. V. Výsledky provozních zkoušek po 5. 10⁷ cyklech

Tvárná litina	Vyhodnocení po zkoušce			
	3	2	1	0
3	drobný přiděr, čep přidělen			
2	bez přidělení, čep bez přidělení			
5	místné přidělení			
3	bez přidělení, hrubší povrch			
4	perfektní stav			
4	přidělen			
2X	perfektní stav			
5	bodové přidělení			
4	hrubší povrch			
2X	perfektní stav			
5	hrubé přidělení			
4	perfektní stav			

Tavba	legování	přidělení	nepřidělení	pořadí
2	Mo	0	3	1
3	—	1	1	3
4	Cu	1	3	2
5	Ni + Mo	3	0	4

tab. IV. Mechanické vlastnosti izotermicky kalené tvárné litiny

Tvárná litina	R _m [MPa]	A ₅ [%]	KC [J/cm ²]	HV ¹⁾	HV ²⁾
2	1003	10,1	102,9	281	278
2	1013	10,9	159,3	279	277
2X	1241	13,8	142,5	354	363
2X	1224	12,2	137,9	355	353
3	1044	9,6	103,9	296	303
3	1078	12,5	116,4	298	295
3	1037	11,2	143,4	302	293
4	1061	14,0	139,7	302	297
4	1095	11,5	130,3	304	294
4	1033	10,0	112,3	295	288
5	1093	13,4	95,4	302	286
5	1040	10,9	101,4	283	283
5X	1248	13,1	151,0	369	363
5X	1245	12,9	141,2	372	357

Tvrdost měřena na hladinách trhacích tyčí
Tvrdost měřena na vzorech pro zkoušku rázové houzevnosti

izazacího média. Důležitou roli hraje geometrické polohy uložení. Kromě rovnomeně rozloženého tlaku vyskytla uložení se soustředěním namáhání kluzných ploch na koncích. Mazací drážka nesáhla po celé délce uložení a je oslepu ohrazená. I tento vliv přináší ke kritickým kluzovým podmínkám a ke zvýšenému výskytu příděru. Došlo v nich obvykle přenosu materiálu díry na čep, to znamená k přenosu namáhání s mimořádnou silou.

Přídery mají čistě lokální rozsah (několik mm²) vyskytuji se na dvou exponovaných místech (konce

Z výsledků provozních zkoušek vyplývá, že bez jakýchkoli závodů se osvědčila tavba 2, která je legovaná molybdenem a při použití nižší transformační teploty (2X) (tab. V). Nejméně příznivé výsledky vykazuje tavba 5. Ovšem je nutno brát v úvahu, že počet měření je malý a celkové závěry je možno provést po dalším doplnění provozních zkoušek, případně po srovnání s výsledky dosaženými u zkoušek po normalizačním žihadlu, které probíhají.

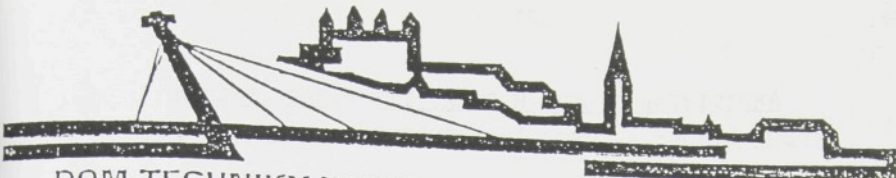
Závěr

Z dosažených hodnot mechanických vlastností vyplývá, že bainitickou tvárnou litinu lze použít k výrobě vysokopevných odlišek s pevností v tahu nad 1000 MPa při zachování jejich dostatečné plasticity a houzevnosti (A₅ nad 9%) a KC nad 95 J/cm²). Z hlediska opotřebení se jeví jako nejvhodnější tvárná litina legovaná molybdenem a při použití nižší transformační teploty.

Ve srovnání s ocelí se ukazuje, že tvárná litina je jakostním konstruktérským materiálem, jehož vlastnosti lze ovlivňovat výrazně tepelným zpracováním a legováním. Předpokládám je dosažení příznivého tvaru globuli grafitu, který má přímý vliv na plasticke vlastnosti tvárné litiny tím, že dovoluje lépe využít příznivých vlastností matrice.

Literatura

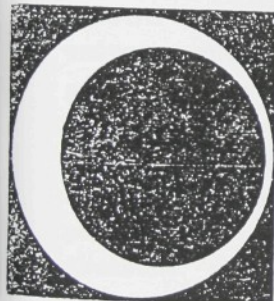
- Dorazil, E. - Crhák, J. - Bárta, B.: Mechanické vlastnosti bainitické tvárné litiny s přisadou niklu a molybdenu, Slévárenství XXVI (1978), č. 4, s. 142.
- Dorazil, E. a další: Vysokopevná bainitická tvárná litina legovaná manganem a mědi. Slévárenství XXVII (1979), č. 2, s. 49.
- Dorazil, E. a další: Nizkolegovaná bainitická tvárná litina. Strojírenství XXIX. 1979, č. 8, s. 475.
- Dorazil, E. - Bárta, B. - Stránský, L.: Nizkolegovaná bainitická tvárná litina. Slévárenství XXIX (1981) č. 1, s. 34.
- Vocel, M. - Dufek, V.: Trení a opotřebení strojních součástí SNTL, 1976.



DOM TECHNIKY ZSVTS BRATISLAVA, spol. s r.o.

V. MEDZINÁRODNÉ SYMPÓZIUM

INTERTRIBO '93



TRIBOLOGICKÉ PROBLÉMY
V EXPOVANÝCH TRECÍCH
SÚSTAVÁCH

1

BRATISLAVA

26.-28. augusta 1993

KLUZNÉ VLASTNOSTI TŘECÍCH DVOJIC BAINITICKÉ
TVÁRNÉ LITINY S PODEUTEKTOIDNÍ OCELÍ A BRONZÍ CuSn12

Doc.Ing. Bohumil BÁRTA, CSc. VUT-FS-UMI, Technická 2, Brno
 Ing. Petr DOBEŠ, CSc. VUT-FS-UK, Technická 2, Brno
 Ing. Břetislav SKRBEK, CSc. LIAZ, a.s., Jablonec nad Nisou

1. ÚVOD

Na strojní fakultě VUT Brno probíhala řadu let spolupráce v aplikaci izotermicky kalené tvárné litiny na některé součásti nákladních vozidel LIAZ. Předkládaná práce vychází ze snahy nahradit valivé tření kluzným třením a tím přispět k podstatnému snížení hlučnosti provozu nákladních vozidel.

2. MATERIÁL A ZKUŠEBNÍ ZAŘÍZENÍ

Pro vlastní zkoušky kluzných dvojic byla použita tvárná litina, ocel 12060 a bronz CuSn 12. Jejich chemické složení uvádí tabulka 1.

Vlastní zkoušky byly provedeny na zkušebním stroji TRIBOTESTOR, který používá jako vzorků dvojici rotující čep - pevné pouzdro. Zkušební uzel se skládá z rotujícího čpku, který je upevněn ve vreteniku a z pouzdra, které je uloženo v rameni a radiálně zatěžováno.

Mazivo je dodáváno do kluzného kontaktu ze zásobníku potrubím a radiálním otvorem v nezatižené oblasti pouzdra. Zkušební stroj je poloautomatický - režim zatěžování a rychlosti otáčení se řídí programem. Dovoluje volit otáčky v rozpětí $50\div3000 \text{ min}^{-1}$ a zatížení v rozpětí $0\div10\text{kN}$.

3. TEPELNÉ ZPRACOVÁNÍ VZORKŮ

Vzorky byly připraveny ve formě pouzder, která jsou nalisována na nářadí zkušebního stroje.

Vnější vzorek (pouzdra $\phi 30 \times 5\text{mm}$) - mat. 12060.2 zpracován v LIAZ žíháním na tvrdost 233 HB; mat. 12060.6 zušlechtěn na FS-VUT na tvrdost 27 HRC ($810^\circ\text{C}/30 \text{ minut} \rightarrow \text{voda} \rightarrow 550^\circ\text{C}/2$

hodiny -> vzduch); mat. CuSn 12 v dodaném stavu, tvrdost 107 ÷ 116 HB 2,5/62,5/15.

Vnitřní vzorek (pouzdra $\phi 20 \times 1,5$ mm) - materiál tvárná litina izotermicky kalená, dolní bainit ($900^{\circ}\text{C}/30$ minut -> $300^{\circ}\text{C}/2$ hodiny -> vzduch, tvrdost 42 HRC)

4. ZKOUŠKY OPOTŘEBENÍ

Při rozběhu a doběhu automobilového motoru, kdy jsou otáčky nízké a také tlak dodávaného maziva je nižší, nejsou podmínky takové, aby mazivo zcela oddělilo funkční povrchy. Dochází ke smíšenému mazání, kdy se dotýkají vrcholky nerovností kovových povrchů a dochází k opotřebení. Při tomto režimu se proto uplatní jak vliv maziva, tak i materiálové vlastnosti třecích povrchů. Proto byly zvoleny následující parametry zkušebního třecího uzlu (modelu):

rozměry $\phi 20H7/j3$ - 20
 zatížení 140 ÷ 8150 N
 otáčky $200 \div 3000 \text{ min}^{-1}$
 mazivo Olej automobilový motorový M6 ADS III
 tlak maziva (hydrostatický) 0,05 MPa
 střední ložisková vůle $10,5 \mu\text{m}$
 relativní ložisková vůle 0,0143%

Za těchto zkušebních parametrů byly zkoušeny čtyři dvojice třecích materiálů:

- a) čep ($\phi 20 \times 1,5$ mm) - tvárná litina (izotermicky kalená, tvrdost 42 HRC)
Pouzdro ($\phi 30 \times 5$ mm) - ocel 12060.2 (žíhaná, tvrdost 233 HB)
- b) čep ($\phi 20 \times 1,5$ mm) - tvárná litina (izotermicky kalená, tvrdost 42 HRC)
Pouzdro ($\phi 30 \times 5$ mm) - ocel 12060.6 (zušlechtěná)
- c) čep ($\phi 20 \times 1,5$ mm) - tvárná litina (izotermicky kalená, tvrdost 42 HRC)
Pouzdro ($\phi 30 \times 5$ mm) - CuSn12 tvrdost 107÷116 HB 2,5/62,5/15
- d) Srovnávací kluzná dvojice (mazáno olejem J2):
 Čep ($\phi 20 \times 1,5$ mm) - ocel 11 600

Pouzdro ($\phi 30 \times 5\text{mm}$) - litina 422456

Většina zkoušek byla prováděna jako zadírací zkouška, tedy při konstantních otáčkách je postupně zvyšován zatížení. Doba prodlevy na zatěžovacím stupni byla nastavena na 10 minut, což představovalo kompromis mezi celkovou dobou zkoušky a časem potřebným pro stabilizaci teploty v třetím uzlu.

Jako doplnkové zkoušky byly prováděny rychlostní zadírací zkoušky, kdy při konstantním zatížení byly po krocích (opět s prodlevou 10 minut) zvyšovány otáčky čepu.

Mazání motorovým olejem M6 ADS III je prováděno z nádržky a dodávka je seřízena tak, aby dodávací potrubí bylo zahlceno. Průtok oleje je pak řízen pouze samotným kluzným kontaktem. Výsledkem zkoušky je závislost součinitele tření a teploty pouzdra na zatížení (zadírací zkouška) nebo na rychlosti otáčení (rychlostní zadírací zkouška), graficky vyjádřená pro jednu zkušební dvojici na obr.1.

5. VÝSLEDKY

Z naměřených výsledků zadíracích zkoušek třech dvojic vyplývají následující poznatky:

- Nejnižších hodnot součinitele tření dosáhla zkušební dvojice obsahující bronz CuSn12, která také v celém rozsahu zatížení i rychlostí běžela bez zadírání;
- Na druhé místo lze zařadit zkoušenou dvojici s žíhanou ocelí 12 060.2, která sice dosahovala vyšších hodnot součinitele tření, avšak ten je v rozsahu požadovaných zatížení ve skutečném stroji dostatečně nízký a zatížení, při kterém dochází k zadíráni, je zcela mimo provozní rozsah - je více než dvojnásobné;
- Na třetím (tedy na posledním) místě se umístila zkušební dvojice se zušlechtěnou ocelí 12 060.6, která vykázala nejvyšší hodnoty součinitele tření a k zadíráni dochází už v oblasti maximálních očekávaných zatížení ve skutečném stroji.

- d) Srovnávací dvojice (litina 422456 - ocel 11 600) dosáhla podobných výsledků jako nejhorší zkušební dvojice, ovšem je nutno vzít v úvahu, že tato dvojice byla mazána neaditivovaným olejem J2 (standardní srovnávací mazivo).
- e) Poměrně vysoké hodnoty součinitele tření zaregistrované vždy na začátku zkoušky vyplývají z chyby měření třecího momentu při nízkých zatíženích (hranice citlivosti systému) a je tedy třeba je brát s rezervou. Podobně i velmi nízké hodnoty součinitele tření při nejvyšších zatíženích u dvojice s bronzem CuSn12 jsou zatíženy chybou vyplývající z hraniční citlivosti systému v oblasti nízkých hodnot třecí síly a vysokého zatížení.

6. ZÁVĚR

Provedené zkoušky třecích dvojic ukazují perspektivu použití izotermicky kalené tvárné litiny na součásti pro kluzné uložení ve strojírenství.

7. LITERATURA

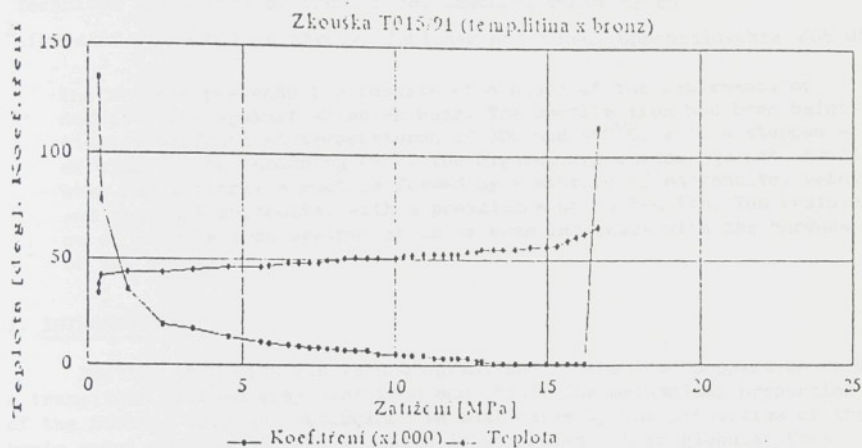
- [1] DOBEŠ,P.-NAVRÁTIL,F.-SVOBODA,Z.: Zkoušky kluzných vlastností dvojic materiálů tvárná litina - dolní bainit v. ocel 12060.2 (ocel 12060.6, bronz CuSn12); Výzkumná zpráva VUT-FS-6-VT 15/91
- [2] BÁRTA,B.: Protokol metalografie materiálů kluzných dvojic tvárná litina - 12060.2 a 12060.6; HS 303518, VUT-FS 1991
- [3] PRIESTER,J. a kol.: Klzné ložiská; Alfa Bratislava, 1981

SUMMARY

The paper deals with friction properties of sliding bearing using three different couples of new bearing materials, namely austempered ductile cast iron against carbon steel or bronze. Also the parameters of tests run on TRIBOTESTOR apparatus are described and results of these tests compared with standard test configuration.

Tabulka 1

Material	Chemické složení (hmol. %)								Rozmery vzorku
	C	Si	Mn	S	Cr	Cu	Sn	Pb	
TL I	3.1	2.45	0.39	0.009	--	--	--	--	pouzdra $\phi 20 \times 1.5$ mm
TL II	3.29	2.62	0.35	0.009	--	--	--	--	pouzdra $\phi 20 \times 1.5$ mm
TL III	3.05	2.07	0.73	0.006	--	--	--	--	pouzdra $\phi 20 \times 1.5$ mm
Ocel 12000	0.59	--	0.74	--	0.21	--	--	--	pouzdra $\phi 30 \times 5$ mm
Bronz CuSn12	--	--	--	--	--	8.7	11.5	stopové pouzdro $\phi 30 \times 5$ mm	



Obr. 1 Výsledek zkoušky pro dvojici tvárná litina - bronz

DUCTILE CAST IRON AND ITS SOME INTERESTING CHARACTERISTICS WITH
CONSIDERATION OF WEAR

B.BÁRTA¹ - B.SKRBEK²

¹Technical University of Brno, Brno, Czechoslovakia 61669

²Liberecké automobilové závody, Jablonec nad Nisou, Czechoslovakia 466 05

The article presents the results of a study of the resistance of ductile iron against abrasive wear. The ductile iron had been bainitically hardened at temperatures of 300 and 400°C, with a stepped - of time in the hardening bath. The highest resistance against abrasive wear has a matrix structure formed by a mixture of martensite, bainite, and residual austenite, with a prevalence of martensite. The resistance of ductile iron against abrasive wear increases with the hardness of the matrix.

1. INTRODUCTION

Ductile iron with its technological and mechanical properties forms a transition between grey cast iron and steel. The mechanical properties of the ductile iron are determined in most cases by the properties of the basic metal material if the graphite is separated out in globular form. Our earlier papers dealt with the mechanical properties of ductile iron,^{1,2} while the present paper focuses on the abrasive wear of four melts of austempered ductile irons.

2. MATERIAL AND TESTING TECHNIQUES USED [2,3,4,5]

For testing abrasive wear four melts of ductile iron were used, the chemical composition of the melts is indicated in Table 1.

3. ABRASIVE WEAR

Wear is a durable and undesirable change of the surface or dimensions of components caused by the mutual effect of functional surfaces, or of the functional surface and of the medium causing the wear.

The determination of the resistance of the material to abrasive wear is described by ČSN 015484. Relative resistance to abrasive wear is one of the basic criteria of the evaluation of materials under laboratory conditions and it can be applied in operation for the measuring of abrasive wear without the effects of shocks.

4. TEST RESULTS

The course of mechanical properties of melts of austempered ductile iron are indicated in works [1]. The present paper deals with abrasive wear in four ductile iron melts, 1,2,3,4, in cast state, standard annealed state and following isothermal hardening at transformation temperatures of 300 and 400°C of varying duration and at different temperatures. At least three measurements were realized with each sample and the arithmetic mean value of the individual measurements of the abrasive wear served as the final result. The results achieved in melt 1 are indicated in Fig.1,2. It follows from Fig.1,2 that with the increase of the share of bainitic transformation the time of resistance to abrasion is extended and the abrasive wear increases, i.e. the resistance to abrasive wear drops at transformation temperatures of 300 and 400°C. Thus the character of the course of the abrasive wear almost corresponds to the character of the course of hardness. Certain discontinuity in the course of γ_{abr} appears on dwelling at the non-transformation temperature for 1000 seconds to 10,000 seconds, which corresponds to the period, when the speed of the bainitic transformation is substantially dropping [4], when the achieved hardness is the lowest, the elongation is the highest, and when the share of the retained austenite is maximum, (with 80-90% austenite being transformed to bainite). By extending the resistance at transformation temperature drops the share of residual austenite and elongation, and drops also the resistance to abrasive wear. Increased resistance to abrasive wear in the initial period of the transformation at both transformation temperatures is explained by high degree of hardness and by the presence of martensite in the resulting structure that had arisen following after-cooling in water, following the austempered dwell at the transformation temperature [3,4].

Abrasive wear in the state of standard annealing (pearlite), is comparable with the abrasive wear of the upper bainite at 95% and higher transformation of austenite.

The lower resistance to abrasive wear was measured in cast state, when the basic metal material is formed by ferrite and pearlite (60% of ferrite), and when the measured maximum weight losses were measured at the individual measurements of resistance to abrasive wear.

The abrasive wear in ductile iron alloyed with nickel (melt 2) is indicated in Fig.1,2. The course of γ_{abr} is identical as in case of the non-alloyed ductile iron, γ_{abr} is dropping with the increasing holding time at both transformation temperatures, i.e. at 300, and 400°C. Discontinuity of the course occurs again in case of a drop in the speed of transformation of the austenite to bainite (above 80%), [2,4]. This discontinuity in the course of γ_{abr} . nickel is shifted towards longer times of the transformation of austenite to bainite..

Content 0.97% nickel had practically no impact on the values of resistance to abrasive wear in austempered samples. In standard annealed state slightly higher γ_{abr} was measured ($\gamma_{abr} = 1.20$) compared with the non-alloyed ductile iron ($\gamma_{abr} = 1.17$) (finer pearlite) and in cast state too the γ_{abr} value went up from 0.86 to 0.97 (higher share of pearlite). From the viewpoint of abrasive wear thus 1% of nickel content in ductile iron is of no little significance.

The measured γ_{abr} values of ductile iron alloyed with nickel and molybdenum (melt 3) are indicated in Fig.1,2. Character of the course of resistance to abrasive wear γ_{abr} and austempered samples is the same as in the

two previous measured melts.

Following the standard annealing compared with abrasive wear has increased to $\gamma_{abir} = 2.1$ as the structure of the matrix is formed by martensite and by lower bainite (measured hardness 457 HV), in contrast to melts 1, and 2, whose structure following standard annealing was formed by pearlite. In cast state $\gamma_{abir} = 1$, i.e. again higher value than in melts 1 and 2, when the difference can be explained by the fact that the structure of the matrix of the cast state of melt 3 is almost pearlitic ($\sim 5\%$ of ferrite) compared with higher ferrite content in the matrix structure in the two previous melts 1 and 2.

In ductile irons alloyed with manganese (melt 4) results of resistance to abrasive wear are indicated in Fig.1,2. The course of γ_{abir} has similar character as in the previous three melts. A substantial increase of resistance to abrasive wear is perceptible in Figs.1 and 2, but this ductile iron has very poor plastic properties. This fact can be explained by the liquation of Mn in the matrix [1]. Increased concentration of manganese at the boundaries of the eutectic cells is the cause of the rise of martensitic-austenitic regions in these places, their share in the structure with growing manganese content is growing. This fact clearly manifested itself also in the improvement of the resistance to abrasive wear in ductile iron of melt 4, together with substitutional hardening of the ferrite. The highest resistance to abrasive wear is reached in ductile iron with matrix in which together with bainite and retained austenite occurs also martensite ($\gamma_{abir} = 2.2$) the lowest value of γ_{abir} was measured in the sample in cast state (20% of ferrite, HV = 214) $\gamma_{abir} = 1.04$. Values γ_{abir} following austempering were in both transformation temperatures and in all measured holding times at transformation temperatures higher $\gamma_{abir} > 1.41 - 2.2$.

If we compare the individual melts at transformation temperature 300°C (Fig.1) we can conclude that 1% of Ni has practically no influence on the abrasive wear, the impact of combined nickel of substantial influence is the manganese addition, but of course to the detriment of the mechanical properties. At transformation temperature of 400°C (Fig.2) the influence of Ni on γ_{abir} is not perceptible, but quite perceptible is the impact of combined Ni and Mo alloying, but it remains small, while the increasing manganese content [2,3,4] has substantial impact on γ_{abir} .

5. CONCLUSION

On the basis of our experimental results we can draw the following conclusions. [2,3,4,5,6].

- the resistance to abrasive wear at lower bainite (300°C) is higher than at upper bainite (400°C) in all tested ductile iron melts
- resistance to abrasive wear compared with mechanical properties corresponds to the course of the measured hardness in the individual melts of the ductile iron
- nickel (1%) has almost no impact on the growth of resistance to wear
- molybdenum slightly increases resistance against wear
- the martensitic matrix of ductile iron shows the highest resistance to wear on reaching maximum hardness, and there is a danger of untimely breaks
- resistance to abrasive wear decreases with the growing holding time at all transformation temperatures
- of substantial influence on γ_{abir} is the manganese addition (influence of segregation).

References

- /1/ DORAZIL, E.: High Strength Austempered Ductile Cast Iron. Academia Prague 1991
- /2/ BÁRTA, B.: Abrasive Wear of Ductile Iron. Strojírenství 33, No 9, 1983, p.500
- /3/ BÁRTA,B., SKREBK, B.: Wear of Ductile Iron. Strojírenská výroba. Vol.36, No.2, 1988, p.144
- /4/ BÁRTA,B.: Abrasive Wear of Ductile Iron. Slévárenství XXXIII, No.5, 1985, p.197
- /5/ BÁRTA, B.: Abrasive Wear of Ductile Iron. Knižnice VUT Brno, Vol.B-116, 1986, p.241
- /6/ BÁRTA,B.: Abrasive Wear of Nodular Iron. Conference Ústí nad Labem, House of Technology, 1991, p.27

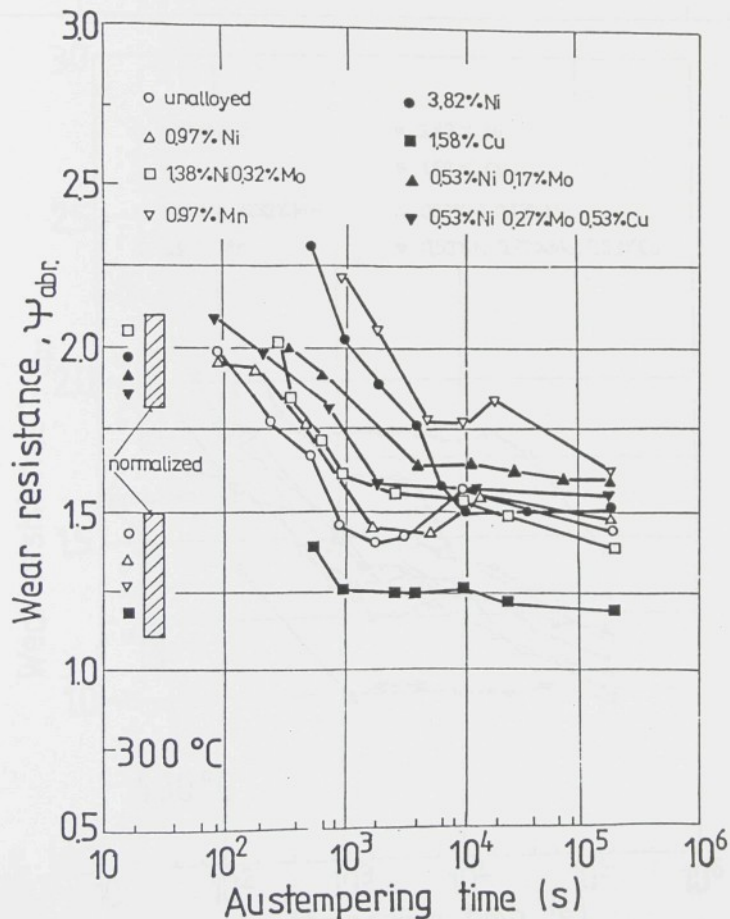


Fig.1

TAB. 1 Chemical Composition and Austenitizing Temperatures
of the Used Nodular Cast Iron Melts

Ductile Iron	Chemical composition (weight %)								Austenitizing Temperature [°C]
	C	Si	Mn	P	S	Mg	Ni	Mo	
1	3.29	2.67	0.24	0.062	0.010	0.047	-	-	900
2	3.49	2.43	0.28	0.061	0.010	0.058	0.97	-	880
3	3.41	2.12	0.34	0.017	0.015	0.057	1.38	0.32	850
4	3.43	2.46	0.97	0.060	0.009	0.055	-	-	900

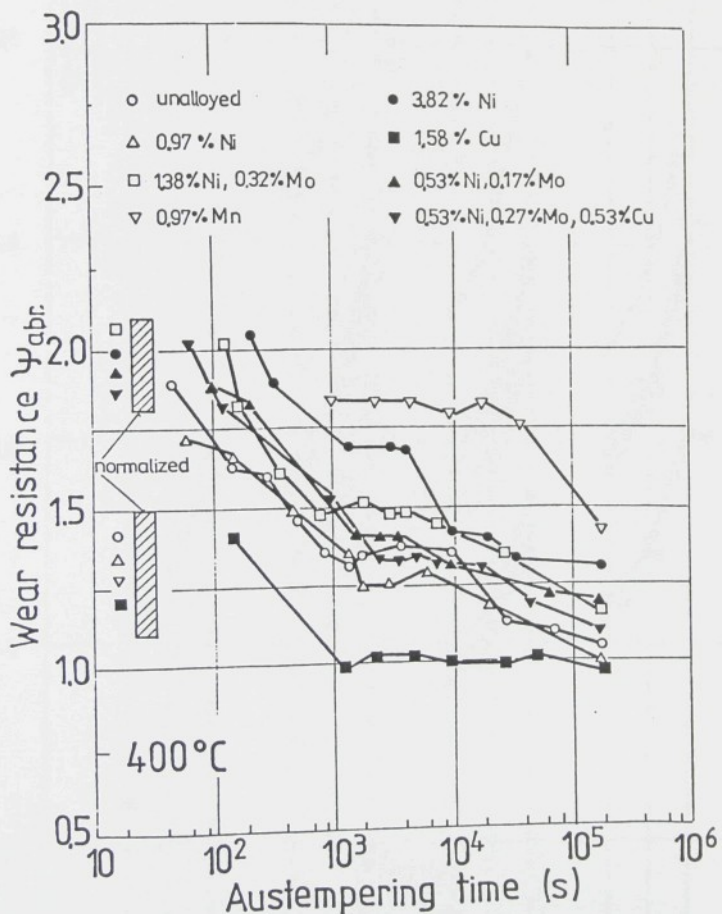


Fig. 2

TAB.2 Resistance to Abrasive Wear of Ductile Iron

Ductile Iron	γ_{abr}	C.S. Ferit,%	N.S. γ_{abr}	Structure	400°C γ_{abr}	400°C ISI	300°C γ_{abr}	300°C ISI
1	0.86	65	1.17	P	1.33	2000	1.43	1000
2	0.97	50	1.2	P	1.25	2000	1.5	17000
3	1.03	5	2.10	B + M	1.46	4000	1.5	20000
4	1.04	20	1.38	P+B+LK	1.83	5000	1.74	10000

Etalon 0.1378 g, P...Perlite, B...Bainite, M.Martenzite, L.K...Led.Karbide

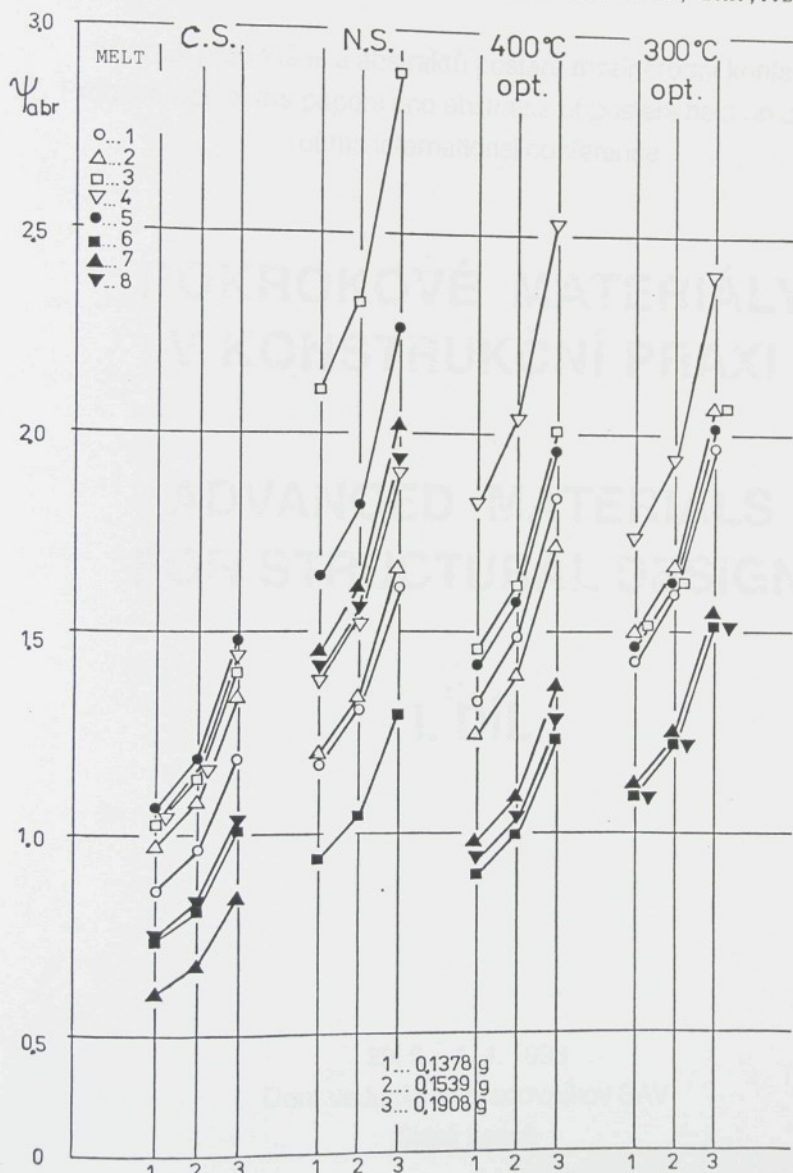


Fig.3

Společnost pro nové materiály a technologie, Praha
Ústav materiálového výskumu SAV, Košice
Tanger, spol. s r. o., Ostrava

Sborník přednášek a abstraktů posterů mezinárodní konference
Proceedings of the papers and abstracts of posters held on occasion
of the international conference

POKROKOVÉ MATERIÁLY V KONSTRUKČNÍ PRAXI

ADVANCED MATERIALS FOR STRUCTURAL DESIGN

I. DÍL

29. 3. - 1. 4. 1993
Dom vedeckých pracovníkov SAV
Stará Lesná

EFEKТИVNI' NAHRADA TVARENÉ' OCELI BAINITICKOU
LITINOU S KULIČKOVITÝM GRAFITEM NA SOUČÁSTECH
NÁKLADNÍCH AUTOMOBILÙ

Břetislav Skrbek, LIAZ a. s. Jablonec

Litina s kuličkovitým grafitem je sice více jak 40 let vyráběna, ale do 70. let nebylo její rozšíření na strojírenský náročné výrobky úspěšné. Výroba nebyla schopna zajistit rovnoměrnou vysokou kvalitu odlitkù jak po slévárenské tak po materiálové stránce. Teprv zvládnutí technologie výroby s důslednou kontrolou celého procesu výroby se začala litina s kuličkovitým grafitem prosazovat také v odlitcích pro náročné automobilní součásti.

V zemích bývalého východního bloku však tento obrat nastává asi až nyní, což může dokumentovat dále uvedená tabulka poměrù výroby litiny s kuličkovitým grafitem k výrobì lité oceli.

Země	Poměr
Japonsko.....	3,7
Německo.....	3,5
USA.....	2,8
býv. ČSFR.....	0,15
býv. SSSR.....	0,1

Výroba litiny s kuličkovitým grafitem mnohem méně zatěžuje ve srovnání s výrobou osiatiňich slitin železa transportní systém. Má nižší spotřebu energie, surovin a materiálù a nižší zatížení životního prostředí jak výroba oceli.

Pokud je zvládnuta rovnoměrnost kvality odlitkù je možno uvažovat a posléze přistoupit k průmyslovým aplikacím isotermicky zušlechtované litiny s kuličkovitým grafitem označované ADI.

Nespornou výhodou litiny proti oceli je totiž možnost volby vhodného obsahu uhlíku v kovové matrici během výrobního cyklu jednoho a téhož

výrobku. Ta umožnuje podstatné zvýšení produktivity obrábění ve srovnání s výkovky či odlitky ze zušlechtěné oceli.

Kuličkovitý grafit má v kovové matrici nepatrný vrubový účinek. Lze proto využít k dosažení nejen vysokých hodnot pevnosti, ale i meze únavy, bainitických až bainitmartenitických struktur. Výchozí odlitek musí obsahovat jemný kuličkovitý grafit a Mn do 0,4 procent kváli potlačení mikrosegregačních jevů.

Literatura uvádí řadu náhrad odlitků a tvařených ocelových autodílů ADI litinou. Tyto výrobní aplikace však vyžadují kromě perfektního výchozího odlitku i přesné dodržování postupu tepelného zpracování s ohledem na chem. složení a důslednou kontrolu.

Vevýrobní praxi však rozhoduje ekonomie. Ceny výkovků v našich podmínkách jsou výhodnější jak podobné odlitky z ADI i přes úspory z obrábění. Cena materiálu totiž stále dominuje nad cenou vložené práce.

Ve formě náhrad lze proto ekonomicky obhájit pouze odlitky z ADI, které přináší výrazné hmotnostní úspory vůči výkovkám ze zušlechtěné oceli obvykle uhlíkové. Vhodnější je proto zakotvit výrobky z ADI do dokumentace nových výrobků, zejména tam, kde se využívá nenahraditelných vlastností ADI. Zde jde tedy ne o náhrady, ale o specifické cílené využití.

Aplikace ADI v automobilovém průmyslu.

Ozubená kola z ADI se v zahraničí používají nejen pro kola rozvodů, ale i pro kola rychlostních skříní. U některých kol se uplatňuje speciální postup povrchového indukčního kalení na dolní bainit do 240°C. Nízká hodnota modulu pružnosti $E = 160 \text{ GPa}$, ocel 200GPa, působí rozložení kontaktního

namáhání na větší plochu boků zubů. Maxima Hertzových tlaků jsou tak u konstrukčně stejných kol nižší u litinových kol. Soukolí z ADI proto lépe snáší i přesazení a vyosení při špatné montáži.

Na dolní bainit se zpracovávají rovněž synchronní kroužky, řetězová kola, vačkové a klikové hřídele.

Vynikající vlastnosti horního bainitu z hlediska dynamického namáhání se uplatňují u drážků per, skříní diferenciálu, klik. hřídel, přírub kloubových převodů apod.

Vlastní příklady aplikace ADI.
Průběžná spolupráce v minulých letech s VUT Brno nashromáždila informace o vlastnostech a použití ADI. Týmem hodnotové analýzy v LIAZ byly pro ekon. využití vytipovány pouze nábojovité součásti, u kterých se do plného výkovku vrtá otvor pro drážkovaný hřídel. Předlitím otvoru se dosáhlo významné úspory materiálu pro efektivní nahradu odlitkem z litiny s kuličkovitým grafitem.

Výkovek posuvného náboje G 11,5kg jako odlitek G 8,2kg. Rozhodujícím momentem pro změnu materiálu posuvného náboje a náboje s přírubou, viz. obr.1, byly výsledky torzních únavových zkoušek spojovacích tyčí vozů LIAZ na torzátoru FTO S SCHENCK v SVÚM Běchovice a úspěšné provozní zkoušky na vozech, které následovaly. Míjivá zatížení probíhala na hladinách zatížení 3 až 8kNm za předpokladu provozních maxim 3,5kNm při jízdě. Mechanické vlastnosti po tepelném zpracování jsou v následující tabulce.

ozn.vých.mater.	Tepelné zpracování	Rm MPa	HBr
1 12 050.1	830° 0,75h 20°, 520° 1h	808+848	257+267
2 12 060.1	820° 0,75h 20°, 560° 1h	740+880	203+253
3 42 2305	950° 2,5h 380° 50min	820	270

4N	42 2307	650° 4h vzduch	650	252
4B	42 2307	950° 1,5h 380° 50min	850	330

Při namáhání 8kNm docházelo nejčastěji k lomům na křížových čepech a drážkovaných nástavcích hřídelů. Byly porovnány časové životnosti na jednotlivých hladinách zatížení.

U nábojů s přírubou nejvyšší životnost dosáhly odlitky varianty 4B pak výkovky 2 a nejnižší 4N. Varianta z nelegované LKG ADI nezkoušena. U posuvn. nábojů stejně životnosti měly varianty 1 a 3. Odlitky z nízkolegované ADI dosáhly nižší životnosti, tj. 4B.

Při únavových zkouškách byly získány poznatky o místech porušení a jeho iniciaci. V náboji s přírubou vznikaly první praskliny na okraji náboje v patě vnitřního drážkování. U posuvného náboje jednak v místě kde končilo zasunutí drážkového hřídele v patě vnitřní drážky a nejčastěji z paty zuba na okraji náboje.

Většina odlítků obsahovala výrazné staženiny v ramenech pos. náboje. V žádném případě však nepříspaly iniciaci lomů. Vnitřní drážky měly větší iniciacní účinek. Slévárenské vady totiž nevystupovaly na obroběný povrch. Nedokonalé rokálení, bainitické, nejsilnějších stěn nábojů z legované ADI nebylo na závadu.

Výrobní technologie nábojů z ADI je vedena k ex. efektivnosti. Odlitky po odliště jsou v řežebně feritickém měkkém stavu 150 až 200HB, tedy umožňuje vysokou výkonnost obráběcích operací. Podstatně menší změny rozměrů vůči celovým nábojům během tepelného zpracování daly nedepsat většinu obráběcích operací před tepelné zpracování tj. izotermické kalení. Pouze změna kvality ok ramen pos. náboje o průměru 52H7 140 μm je přípiš velká. Tento rozdíl se musí dokončit na stup. zprac. Ocelové náboje se zušlechtují již

po hrubém vyvrtání otvoru drážek.. Isotermické kalení do 380° C horké solné lázně zanáší náboj podstatně menšími deformacemi jak kalení do vody a popouštění u oceli.

Pro dané chemické složení LKG bylo nutno optimalizovat zkouškami teplotu a výdrž austenitizace 900° 0,75h s ohledem na dostatečné nasycení austenitu uhlíkem z grafitu a na minimalizaci deformací a spotřeby energie přímo u potenciálního zpracovatele ZTS Dubnica n. V. Rovněž byla optimalizována doba výdrže v solné lázni 380° 0,75h. Tvarové změny z osmi sledovaných míst náboje vadly k vhodné poloze a přípravku na TZ.

Dosažení optimální struktury horního bainitu a kuličkovitého grafiru je výsledkem pečlivě dodržované výrobní technologie. Zejména nadokonalá austenitizace a bainitická přeměna podstatně snižují plastické vlastnosti mez únavy a houževnatost. Prostá kontrola tvrdoměrem je naprostě nedostatečná. Pro sledování fyzikálních vlastností byly vzorky kaleny izotermicky od 300° do 450° C. Horní bainit byl ve variantách s nedokonalou austenitizací a bainit. přeměnou. Kromě monotonních závislostí se při sledování rychlosti zvuku jeví výrazné minimum u horního bainitu s max. obsahem zbatkového austenitu. Rovněž intenzita remanentního magnetického pole má extrém tentokrát maximum v horním bainitu, který patrně souvisí s vnitřním demagnetizačním činitelem struktury horního bainitu. Remanence citlivě reaguje poklesem hodnot na nevyhovující austenitizaci, podobně jako rychlosť zvuku. Malá množství zbytkového martenzitu při krátké isotermické výdrži se nejlépe odhalí měřením tvrdosti. Vhodnou nedestruktivní diagnostiku bainitických struktur lze tedy postavit jen na měření více veličin současně.

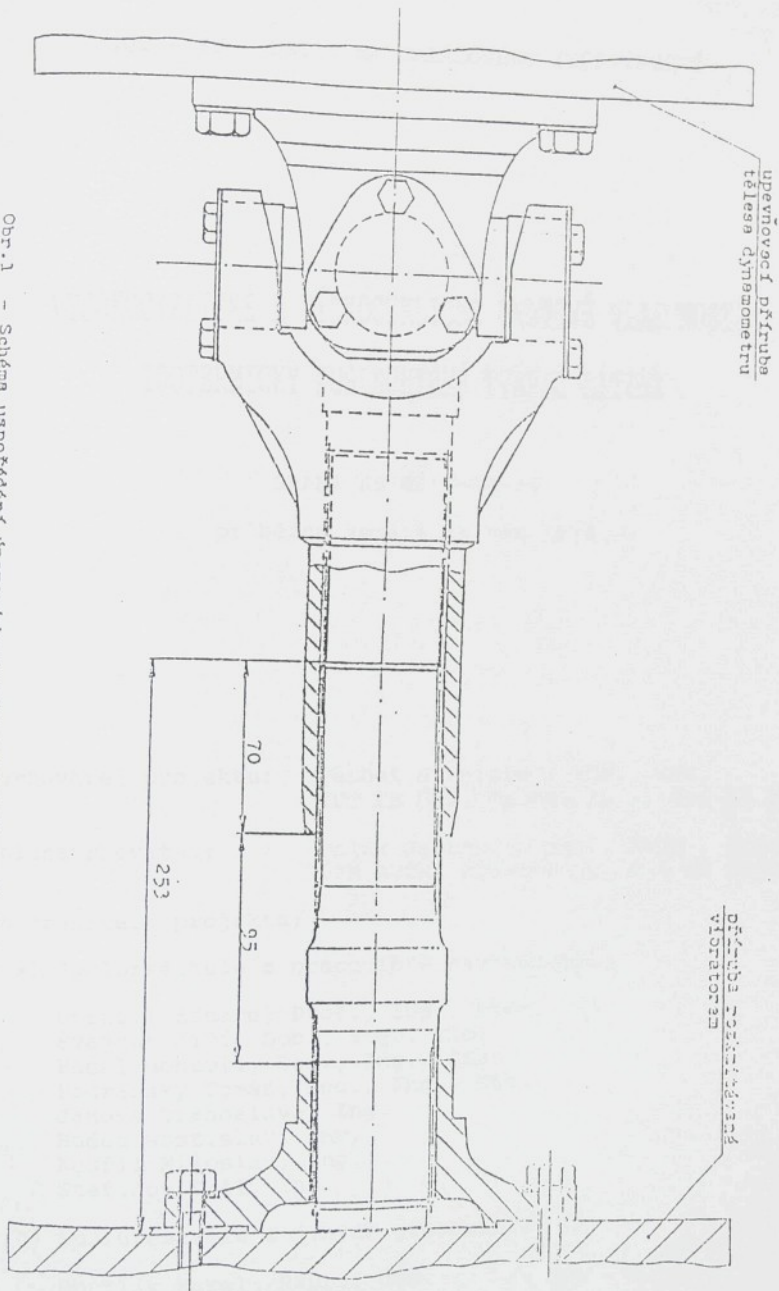
Velký kritiš. K převzetí a osvojení technologie výroby nábojů spoj. hřídelů z ADI ve spolupráci se podniky ZTS, které mají vhodné zařízení pro izotermické kalení, se však staví dosud velice váhavě.

Myslím, že velkosériová výroba řádově v tis. tun v roce téhoto důležitých autodílů z bainitické litiny s kuličkovitým grafitem by byla skvělou vizitkou slovenského strojírenství.

Literatura

[1] Skrbek B. Uplatnění tvárné litiny místo ocelových výkovků, závěr. zpráva úkolu RVT LIAZ Jablonec 1989.

[2] Dobeš, P. a kol. Zkoušky kluzných vlastností dvojic mater..., zpráva VUT Brno FS6VT15.91.



Obr.1 – Schéma uspořádání únavových zkoušek posuvného náboje klobou

VYSOKOCYKLICKÉ A NÍZKOCYKLICKÉ ÚNAVOVÉ VLASTNOSTI
IZOTERMICKY ZUŠLECHTĚNÉ TVÁRNÉ LITINY

GRANT FS č. F-59-94

průběžná zpráva za rok 1994

Navrhovatel projektu: Věchet Stanislav, Ing., CSc.
VUT FS ÚMI, Technická 2, 616 69 Brno

Spolunavrhovatel: Polák Jaroslav, Doc., RNDr., DrSc.
ÚFM AVČR, Žižkova 22, 616 62 Brno

Spoluřešitelé projektu:

a) Spoluřešitelé z pracoviště navrhovatele:

Dorazil Eduard, Prof., Ing., DrSc.
Švejcar Jiří, Doc., Ing., CSc.
Pacal Bohumil, Doc., Ing., CSc.
Podrábský Tomáš, Doc., Ing., CSc.
Janová Drahoslava, Ing.
Hudec Rostislav, Ing.
Kouril Miloslav, Ing.
Stefanov Emil, Ing.

b) Spoluřešitelé z jiných pracovišť:

Obrtlik Karel, RNDr., CSc.
Novotný Luděk, Ing.
ÚFM AVČR, Žižkova 22 Brno

Skrbek Břetislav, Ing., CSc.
LIAZ Jablonec

HIGH AND LOW CYCLE FATIGUE OF AUSTEMPERED DUCTILE IRON

S. Věchet, J. Polák*, K. Obrtlik*,
E. Dorazil, J. Švejcar, B. Skrbek**

TU of Brno, Fac. of Mechanical Eng., Písek Inst. of Materials Eng.
Technická 2 616 69 Brno

*Academy of Sciences of Czech Republic, Institute of Physics of Materials
Žižkova 22 602 00 Brno

**LIAZ Jablonec,
Belgická 400, 466 05 Jablonec nad Nisou

Key words: austempered ductile cast iron - ADI, upper and lower bainite structure, mechanical fatigue properties, Woehler and Manson-Coffin curves, fatigue limit

Because of its good physical, technological and mechanical properties, ductile iron finds an ever wider range of application in a number of industries. Its main advantage is the very wide spectrum of possible heat treatment alternatives, which is conditional upon favourable graphite shape. One such possibility, which in technical practice is today often made use of, is austempering. The present paper deals with the effect of this type of heat treatment on the fatigue properties of ductile iron.

Used in the experiments were 2 heats of unalloyed and alloyed ductile cast irons. Isothermal heat treatment in order to obtain a bainitic structure was carried out in electric crucible furnaces with salt baths. In all the cases austenitization temperature was 900 °C and the holding time at this temperature was 1 h. The time of isothermal transformation was for individual heats determined experimentally on the basis of optimum mechanical properties, characterized by maximum elongation, in intervals from 2 s to 25 h.

Haigh cycle fatigue properties were assessed on the basis of determining the Woehler curves and the fatigue limit values. Fatigue tests were carried out under symmetric loading cycle or under repeated tension on an Amsler high-frequency resonance pulsator at room temperature. The Woehler curves were determined on a set of 12 to 15 cylindrical test specimens with threaded heads, the working part of the specimen was of dia 7 mm.

The Woehler curves were evaluated mathematically by the least square method with the aid of three-parameter non-linear function. The fatigue limit values were determined for the basic number of cycles $N = 10^7$.

Low cycle fatigue tests were performed using cylindrical specimens with 8 mm in diameter. Specimens were cycled in a computer controlled electrohydraulic testing machine MTS. Constant total strain amplitude cycling with the strain rate $3 \cdot 10^{-3} \text{ s}^{-1}$ was adopted. Hysteresis loops were digitally recorded for selected number of cycles and stress amplitude, strain amplitude, plastic strain amplitude and the area of the hysteresis loop were evaluated.

The fatigue life curves were plotted as Manson-Coffin curves and derived Woehler curves using values of the plastic strain amplitude and stress amplitude at half-life.

The surface of the gauge length after cycling and fracture surfaces were examined in a scanning electron microscope Philips 505.

The study of fatigue properties of austempered ductile cast irons has brought following results:

- In ADI the most favourable fatigue properties can be found with upper-bainite structures as opposed to transition bainite and, especially, lower-bainite structures. This behaviour is affected neither by the type of loading (tension-compression, tension, bending) nor by the loading cycle asymmetry.
- With bainitic structures the increase in ultimate strength due to changes in heat treatment conditions (lower transformation temperature) is not accompanied by an increase in fatigue limit; on the contrary, the fatigue limit decreases with increasing ultimate strength.
- With ADI the dependence of the loading cycle amplitude on the mean cycle stress during tension-compression loading is hyperbolic.
- Upper and lower bainite showed rapid initial hardening and saturated behaviour during the whole fatigue life.
- The fatigue resistance of the materials depends on the structure of the matrix but also on the criteria used for life evaluation and is different when stress amplitude or plastic strain amplitude is applied.
- When the crack is initiated from a large initial defect, the stage of short crack growth is diminished and the fatigue life is reduced.

References:

- [1] DORAZIL, E.: *High Strength Austempered Ductile Cast Iron*. Academia, Praha (1991), pp. 73–129.
- [2] VÉCHET, S.: *Behavior of Ductile Cast Iron in Conditions of Fatigue Loading (in Czech)*. PhD dissertation, TU of Brno, 1989.
- [3] JOHANSSON, M. – VESANEN, A. – RETTING, H.: *Antriebstechnik*. Antriebstechnik, 15, 1976, pp. 593–600.
- [4] JOHANSSON, M.: *Properties and Applications of Austempered Austenitic-Bainitic Ductile Iron*. Proc. of International Foundry Congress 45, Budapest, 1978.
- [5] HORUNG, K.: *Heat Treatment of Metals*. PP AMsterdam, 1986, pp. 87.
- [6] KUHN, G. – REUTER, H.: *Konstruieren und Giessen* VDI, Dusseldorf, 1976.

This research has been conducted at the Department of materials Engineering as part of the research project "High And Low Cycle Fatigue Of Austempered Ductile Iron" and has been supported by TU of Brno grant No. F-59-94.

Kediet

Žilinská univerzita v Žiline
Strojnícka fakulta
Katedra materiálového inžinierstva
Katedra technologického inžinierstva
Slovenská zlievarenská spoločnosť
Slovenská vedecká spoločnosť pre náuku o kovoch

V. medzinárodné metalurgické sympózium

V. Internationalen Metallurgischen Symposium

Rajecké Teplice – penzión SEVAK
9. – 10. 9. 1999



V. medzinárodné metalurgické sympózium
Rajecké Teplice 9. – 10. 9. 1999
Slovenská republika



APLIKACE ADI NA DÍLY VZNĚTOVÝCH MOTORU SKODA LIAZ

Břetislav Skrbek - Stanislav Věchet - Tomáš Podrábský

Abstrakt.

Uplatnění LKG v automobilovém průmyslu závisí na reprodukovatelnosti výroby odlitků z LKG. Spolupráce s KM VUT Brno a její výsledky v aplikacích ADI. Výčet zkoušených a aplikovaných dílů. Dílčí výsledky aplikace ADI na zdvihátka ventilů.

1. Úvod

Litina s kuličkovitým grafitem je známa již 50 let. Její rozšíření do strojírenství, zejména automobilového průmyslu, umožnilo teprve spolehlivé zvládnutí technologie výroby s důslednou kontrolou všech výrobních fází odlitků. Teprve pak se uplatnily výhody LKG z ekonomického a uživatelského hlediska.

Na bázi rovnoměrné výroby kvalitních odlitků se rozšiřují aplikace z hlediska mechanických vlastností nejkvalitnější třídy LKG izotermicky kalené, označované ADI. Mechanické vlastnosti ADI

Ing. Skrbek Břetislav, CSc. ŠKODA MOTORY a.s.

Belgická 400, Jablonec nad Nisou 466 01, tel. 0042 428 363917.

Ing. Věchet Stanislav, CSc. 4114 3144

Doc. Ing. Podrábský Tomáš, CSc. 4114 3150

VUT SF katedra materiálu, Technická 2 Brno 616 00, tel. 0042 5

umožňují aplikace i v oblasti namáhaných soušástí z tvářených zušlechtěných ocelí [4], [5].

Litiny s kompaktním grafitem (LKG, LČG a LTG) nalézají atále širší aplikace na dynamicky namáhané konstrukční prvky vozidel. Standartní aplikace nahrad lité oceli na dílech náprav, rámu a točny dominovaly do poloviny osmdesátých let. Nová řešení

autodílů a nové kategorie litin uvádí i nestandardní problematiku aplikací.

Tento příspěvek kromě přehledu aplikací ADI se zaměřuje na zdvihátka ventilů.

2.1. Díly motoru

Trvalá spolupráce s katedrou materiálového inženýrství VUT Brno v oblasti zkoumání vlastností ADI v osmdesátých letech [1], [2], [3], [4] přinesla ovoce ve formě několika aplikací i na motoru. Po motorových zkouškách provedených často s velkým časovým předstihem na dílech tepelně zpracovaných na VUT následovalo čekání na ekonomické a aplikační "dozrání".

Ozubená kola rozvodu byla zkoušena jako nitridovaná LKG a ADI (vložená kola) [4] již na počátku 80. let. Výhody proti spolehlivým kolům z cementovaných výkovků nebyly tak přesvědčivé, aby došlo k aplikaci ani v poslední době, kdy se možnosti izotermického kalení přemístily nejprve z Brna do TESET a. s. Semily a pak v r. 1997 do vlastní kalírny ŠKODA MOTORY a. s. Současně totiž rostlo s novými typy motorů jejich namáhání.

Zcela jiná situace byla u nenápadného plochého axiálního kroužku (0,3kg) hřídele náhonu vstříkovacího čerpadla. Zde se s vývojem zvyšovalo kontaktní plošné adhezní namáhání a míjivé ohybové namáhání. Z jedné strany klouže po cementovaném kolu a z druhé po nitridovaném ocelovém kroužku. Po mnoha materiálových zkouškách s různými materiály bylo nutno zvolit jedině ADI (nehledě na ekonomii). Výchozí jakost 42 2305. Izotermicky kaleno na dolní bainit (ADI) - 240°.

Podobným způsobem - díky vysoké únavové pevnosti a vynikajícím kluzným vlastnostem - se aplikuje tenkostěnné pouzdro náhonu vstříkovacího čerpadla v kluzné dvojici s cementovaným

hřídelem. Z prostorových důvodů nebylo ani možno aplikovat

bronzové pouzdro. Hmotnost 1kg, izotermicky kaleno na střední bainit (ADI) 350⁰.

2.2. Zdvihátka

Zdvihátka ventilů se klasicky vyráběla ze šedé litiny lité funkční plochou na Cu desku. Ledeburitická vrstva (55 HRC) s tahovým předpětím již nestačí zaručovat požadovanou životnost (obr.1). Zaručeným řešením, které aplikují evropští výrobci vznětových motorů, je ocelové zdvihátko s pájenou destičkou ze slinutého karbidu WC na funkční ploše (velmi drahé).

Zkouška zkušební stolici po dobu 1000h se zdvihátky z ADI zatím dala nejednoznačné výsledky. Složení litiny (LKG) odlité na TU Liberec:

Tab.1.						
C	Si	Mn	P	S	CE	
3,77	2,89	0,2	0,03	0,014	4,74	

Výchozí struktura: 100% GVI, vel. 5-6, matrice P10 P1.

Tvrdost 180 HB. rychlosť zvuku v_L 5681 m/s.

Izotermické kalení na VUT Brno.

Tab.2.					
ADI	rozsah HV	v_L m/s	remanent.	zbytk.	
D ADI-180 ⁰	520 - 630	5392 - 5488	229 - 248	13,5 %	magn. Hr austenit
H ADI-380 ⁰	300 - 320	5460 - 5540	525 - 533	34,5 %	

K rozlišení druhu ADI se kromě hodnot tvrdosti dá aplikovat měření remanentního magnetizmu. Rychlosti zvuku se překrývají.

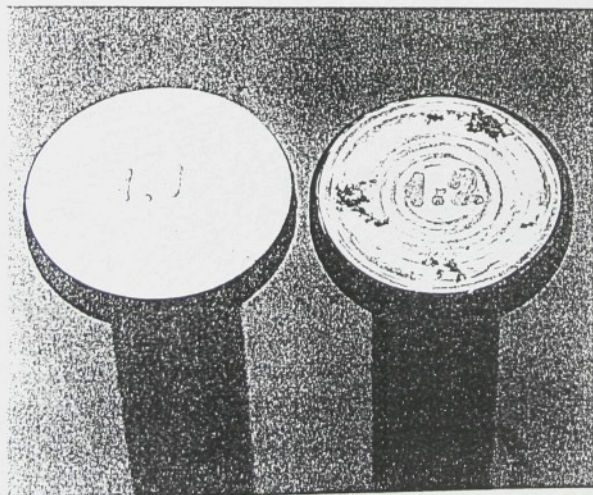
Hodnocení struktury bylo provedeno kolodium-uhlík replikami na transmisním elektronovém mikroskopu JEOL 100C při 100kV. Snímky horního ADI zdvihátek, která byla po zkoušce ve všech případech opotřebená, vykazují látky & s vyprecipitovanými částicemi karbidů (obr.2) a zbytkový austenit A. Dolní ADI tvoří směs martenzitu a desek dolního ADI s karbidy a zbytk. austenit. Markantní rozdíly struktury mezi opotřebeným (obr.3) a vyhovujícím (obr.4) zdvi-

hátkem nejsou zřejmé.

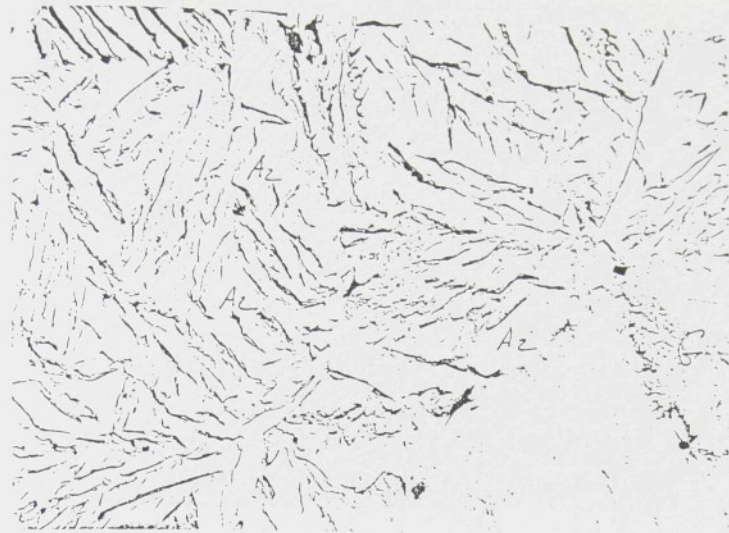
Zkoušku bude nutno opakovat s pečlivým sledováním podmínek geometrie a zatěžování.

Literatura:

- [1] Bárta, Skrbek. Využití bainitické tvárné litiny na díly motorů. Hutnické listy, 1983, č.10, s.722=725.
- [2] Věchet, Dorazil, Bárta, Skrbek. Únavové vlastnosti tvárné litiny při zatěžování pulzujícím ohybem. Knižnice odborných a vědeckých spisů V UT Brno 1990, svazek B-132, s. 45 - 59.
- [3] Bárta, Dobeš, Skrbek. Kluzné vlastnosti třecích dvojic ADI s podeutektoidní ocelí a bronzí CuSn12. Mezinář. symposium INTERTRIBO`93. DT Bratislava, s. 108 - 112.
- [4] Skrbek. Kola rozvodu z tvárné litiny - výhodnocení běhových zkoušek. Interní zpráva 274-7-83 LIAZ.
- [5] Skrbek, Habětínek, Linhart, Bárta. Náboje kardanů z ADI. Mezinárodní konference CONMET`92, Brno, s. 19 - 21.
- [6] Skrbek. Litina s kuličkovým grafitem v dílech vozů LIAZ. Přehledová interní zpráva, č.



Obr.1. Zdvihátko nové a kontaktně unavené z LLG.



Obr.2. Horní ADI - zvětšeno 5000x.



Obr.3. Dolní ADI - zv. 5000x.



Obr.4. Dolní ADI - zv. 5000x.

VYSOKÁ ŠKOLA DOPRAVY A SPOJOV ŽILINA,
KATEDRA MATERIÁLOV A TECHNOLOGIE

P - ZSVTS pri OFZ ISTEBNÉ
INPEKO, ŽILINA

OČKOVADLÁ A PREDZLIATINY

»» ZBORNÍK ««

Ing. Břetislav Skrbek, CSc.

LIAZ Jablonec

Ing. Petr Vodička

LIAZ Liberec

ZKUŠENOSTI S PROVOZOVÁNÍM ULTRAZVUKOVÉ RYCHLOZKOUŠKY ÚČINKU MODIFIKÁTORU

O vyhovujícím tvaru grafitu právě namodifikované litiny nás informuje řada měřicích metod, které využívají různých fyzikálních vlastností litin [4] [5]. I když přístroje pro tyto nejrychlejší metody jsou nyní dostupné, většina sléváren uvolňuje jednotlivé tavby až po výsledku metalografického rozboru nebo pevnostní mechanické zkoušce.

S minimálnimi náklady lze zavést rychlou ultrazvukovou zkoušku účinku modifikátoru. Oprincipu této zkoušky se zmínuje [2]. Kvantifikaci vztahů mezi rychlosťí zvuku v litině, chemickým složením a tvarem grafitu se zabývá práce [1]. Tento příspěvek seznamuje s výsledky využití metody zejména ve slévárně LIAZ Liberec při výrobě tvárné litiny.

Technologie.

K přípravě tekutého kovu se používá dvojice indukčních pecí. Technické parametry :

0,5 tun; 1kHz; 300kW.

Vsázka :

80kg ocel šrot, 100kg vrat, 300kg surové žel.

Modifikace a očkování :

5kg FeSi45; 7,5kg LITVAR; 6kgFeSi75; 6kg třísky

Základní chemické složení :

%	C	Si	Mn	P	S
	3,6-3,9	1,4-1,5	<0,4	max.0,07	max.0,015

Konečné slož.: 3,5-3,8 2,7-3 <0,5 max.0,07 max.0,015

Po přeliti kovu z peci do modifikační pánve se tato jeřábem zdvihne a přitlačí k viku /modifikovaný "tundish"/. Po ukončení reakce se z pánve odebere tekutý kov pro odlití prvního vzorkovacího tělesa /obr. 1/.

Po jeho odliti, zakalení a změření rychlosti zvuku litiny ve vzorkovacím tělese ultrazvukovým tloušťkoměrem /tj. asi za 2,5 min./ se pánev uvolní pro liti odlitků nebo se provede úprava taveniny, pokud rychlosť zvuku má přiliš nízkou hodnotu. Pro danou technologii výroby tvárné litiny je např. krit. hodnota $v_1 = 5400$ m/s resp. $v_r = 0,911$ /relativní rychlosť zvuku/.

Druhé vzorkovací těleso se odlije a tvar grafitu vyhodnotí po odliti posledního odlitku. Zkontrolujeme tím trvání modifikačního účinku.

Pro celou kontrolní metodu je vypracována detailní technologická návodka. Současně s prvním vzorkovacím tělesem se odlévá vzorek pro analýzu C, S na přístroji LECO. Odesílá se potrubní poštou. Výsledek ukáže terminál na tavirně.

Mechanické zkoušky a chemická analýza se provádí doda-tečně. Příklad formuláře pro sběr údajů o tavně je v příloze Zkušenosti.

Technické přejimací podmínky odlitků obvykle uvádí možní obsah kuličkovitého grafitu /např. GVI \geq 80%/. Zbytek tvoří červikovitý GIII nebo nedokonale zrnitý GV grafit. Přitom metalografické vizuální určování množství určitého tvaru grafitu je zatíženo mnohdy značnou subjektivní chybou až desítky procent. Tuto skutečnost ukázala praktická zkouška hodnocení stejných výbrusů několika metalografy.

Rychlosť zvuku jako fyzikální veličina je objektivně ovlivňována morfologií grafitu jako mírou zeslabení nosného průřezu kovové matrice.

K zaformování modelu vzorkovacího tělesa se osvědčily např. přířezy z trubek $\varnothing 100 \times 80\text{mm}$.

Rozdíl hodnot v_1 změřených na hrubém /neotryskaném/ tělese a ručně zbrošeném /na měřených plochách - viz. obr. 1/ činí 60 až 200 m/s. Vzorkovací tělesa by se měla před jejich měřením alespoň z jednoho čela zabrousit.

Byly vypracovány nomogramy pro orientační určení

$$\left. \begin{aligned} \% \text{GIII} &= f/v, \text{Se} / \\ \% \text{GI} &= f/v, \text{Se} / \\ \text{LGIA} &= f/v, \text{Se} / \end{aligned} \right\}$$

Se...stupeň eutektičnosti

LGIA... délka lupinků grafitu.

Poznátky získané při odlévání středních dílů výfukových potrubí [3].

Správné určení struktury ve vzorkovacím tělese s převážně zrnitým grafitem je jednoznačné, ale při vysokém podílu GIII $\geq 70\%$ se změří ultrazvukem hodnota zatižená chybou více jak 12%. Tato skutečnost platí pro litinu se standardní ferrickoperlitickou základní kovovou hmotou v litém stavu, tedy i pro přímé měření na přirubách výfukových potrubí s měřenou tloušťkou $L \geq 15\text{mm}$.

Pro daný provozní rozsah chemického složení byl stanoven přibližný vztah

$$\underline{\%GIII = 1332 - 0,236 \cdot v_L} \quad /1/$$

Pro strukturu vzorkovacího tělesa s martenzitickou základní kovovou hmotou plní výraz

$$\underline{\%GIII = 775,5 - 0,142 \cdot v_L} \quad /2/,$$

ale s nižším koeficientem korelace $K = 0,83$. Pro litiny s převážně zrnitým grafitem se výsledky liší v průměru o 6,5%, kdežto vysoké podíly GIII jsou spojeny s podstatně vyššíchybou měření /plyne z velké variability pojmu GIII/.

Rozdíl obsahu červikovitého grafitu GIII ozn. $\Delta GIII$ mezi odlitkem výfukového potrubí /v přirubě/ a identicky litým vzorkovacím tělesem je vždy kladný. Rozdíl obsahu perlitu /pro vz. těleso zchládlé ve formě/ ΔP je také kladný. Tento rozdíl je větší s dobou od modifikace litiny. Proto také na jedné sadě odlitků se neprojevilo ve vzorkovacím tělesu odeznění modifikačního účinku, které v odlitku bylo prokázáno.

Podobným výsledkem ovšem může reagovat kterákoli z rychlých přímých zkoušek [4] [5] účinku modifikátoru založené na měření malého zkušebního tělesa /závit na krátko u zkoušky měření elektrické vodivosti, komolý kužel - teplotní analýza, dvojitý kelimek - měření tepelné vodivosti/.

Shodnou citlivost na odeznění modifikačního účinku budou mit partie se stejnou termodynamikou eutektické přeměny

/a shodných fyz.chem podmínek/.

Z předchozího vyplývá, že pro kritické pomaleji tuhnoucí partie odlitků je třeba zkouškami přiřadit kritický obsah nezrnitého grafitu /lépe řečeno krit. hodnotu rychlosti zvuku/vzorkovacího tělesa, který ještě zaručí dovolenou skladbu GIII až GVI v kritické partii odlitku. ~~konečného~~

Příklad nevyhovující struktury vzorkovacího tělesa z jedné komerční tavby předkládá obr.2. Těleso bylo odlito po odlití posledního odlitku. Mechanické vlastnosti z přilitého bloku Y1 /na začátku lití/ jsou přitom vyhovující.

Odliti zkušebního tělesa předtím brzo po modifikaci může mít za následek ještě nehomogenní strukturu grafitu. Rychlosť zvuku je snížena jen nepatrně, zato hodnoty rázové houzevnatosti jsou v takových případech velmi nízké.

Závěr

Ultrazvuková rychlozkouška informuje o účinku modifikace za 2,5 až 3 minuty po odlití.

Při dodržení základních podmínek měření získáme objektivní informaci o morfologii grafitu odlévané litiny, zejména tvárné, vyjádřenou hodnotou rychlosťi zvuku.

Při výrobě odlitků pro zahraniční zákazníky dle ISO st. se slévárny nevyhnou i několikanásobné kontrole /nedestruktivní/ jakosti materiálu.

Slévárnou prezentovaná kontrolní opatření budi důvěru zákazníků.

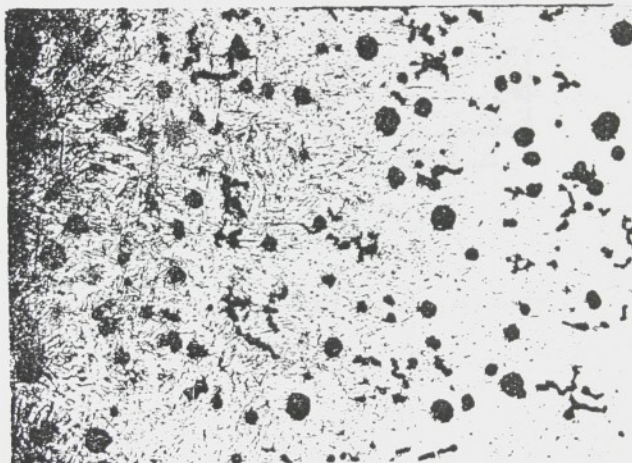
K praktickému provozování uvedené metody je zapotřebí ultrazvukový tloušťkoměr /vlastní jej prakticky každé defektoskopické nebo revizní pracoviště/, posuvné měřítko, nádoba s vodou, kalkulačka a stolní bruska. Model vzorkovacího tělesa a zaučení /předvedení metody/ poskytneme.]

Literatura :

- [1] Skrbek, Bechný, Meško : Ultrazvuková diagnostika účinku modifikátoru, Očkovadla a předslitiny, X.konference 1988.
- [2] Skrbek : Nedestruktivní materiálová diagnostika litinových odlitků, kandid. disert. práce, Jablonec 1988.
- [3] Skrbek : Výfuková potrubí - UZ identif. grafitu, výzk.

zpr. LIAZ 537-7-Sk/89.

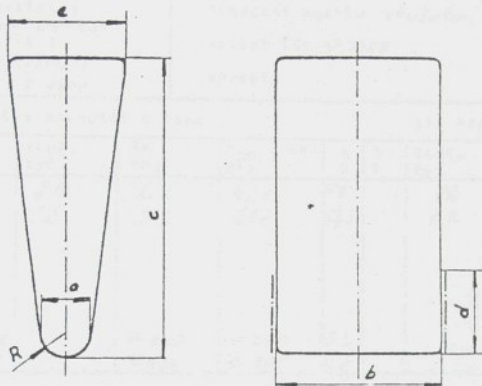
- [4] Picálek, Kropš, Frčka : Kontrola nodularity tvárné litiny před odléváním na základě měření tepelné vodivosti, konference METES 89, ČSVTS ŠKODA Plzeň 12/1989.
- [5] Svoboda, Polenková : Operativní kontrola modifikace litiny s červik. grafitem transformátorovou metodou, Slévárenství 3/1990 str. 103-105.



Obr. 2 : Příklad struktury vzorkovacího tělesa s martenzitickou základní kovovou hmotou /AO 256 324/NITAL zv. 100x.

$$v_L = 5341 \text{ m/s}$$

Obr. 1. V - BLOČEK PRO ULTRAZVUKOVOU TAVEBNÍ
ZKOUŠKU LITIN



— — — VZÁJEMNĚ ROVNOBĚŽNÉ PLOCHY /BEZ ÚKOSU/

LIAZ 10-250**ZKUŠEBNÍ PROTOKOL č. 198-5
SLE/91**

Objednávatec :
metallurgie Oy-131
Objednávka :
Oy-131/08/91/Ve/51
Datum : 2.5.1991

Označení vzorku zkoušební blok V1 z. 8, říješa VI, II
Jakość ČSN 42 2305 Tavba č.: 3.5. 1991
Výrobky 119
datum : 22.5. 1991

I. Zkouška pevnosti v tahu**II. Vrubová houževnatost**

Vzorek	Zkuš. tyč	Rm MPa	R _{p0,2} MPa	Re MPa	A %	Z %	Zkuš. tyč	KC J/cm ²	KCU J/cm ²	Tvrd. HB
Y1	8A	602	426	15			8A	88		207
	8B	566	396	13			8B	699		209
422305		≥ 600	≥ 370	≥ 3				≥ 35		100-270
ČSN 42 2305		≥ 500	≥ 320	≥ 7				≥ 50		170-240

III. Chemický rozbor %

Vzorek	C	Mn	Si	P	S					Pozn.
/	3,63	0,38	3,1	0,065	0,002					

III. Ostatní zkoušky-nedestruktivní-homogenita-vady

Vzorek	Rychlosť v _r /1	zvuku v ₁ /m/s/	Modul E ₀ /GPa/	Zbytk.mag. M	
Y1	0,952	5688	166	19,2	v ₁ ≥ 5550
VI	0,9259	5490		-	
VII	0,919	5449	≥ 160		v ₁ ≥ 5400
422305					

IV. Metalografický rozbor

Vzorek	Perlit	Cementit	Grafit			
8B	LP10	0	Číž 6-8 80%			
/						

V. Závěr

vyhovuje 42 2305

nevyhovuje

Výpracoval : *[podpis]* B. Škrabek, ř.s.

podpis - razítka



DOM TECHNIKY ZSVTS BRATISLAVA

4. MEDZINÁRODNÁ
ŠKOLA DEFEKTOSKOPIE

BRATISLAVA 213101/91

s přesností $\pm 5\%$. Nastavitelné zesílení činí 20 až 70 dB s krokem 1 dB. Měřené parametry lze zobrazovat jednak v číselném tvaru, ale také v grafickém tvaru (způsoby: - bod přípojnico, sinusově, - pámočkově a bodově), což následně přispívá ke snadné klasifikaci měřitelnosti získaných závodů.

Postup měření (porovnávací metoda)

Do středu jednoho ze snímačů (referenční) se zavede referenční nezávadný díl. Do středu druhého snímače (měřicí) se zavede druhý díl, přítom polohy umístění součástí ve snímačích musí být identické. Následně se vykoná vyrovnání na slabé zesílení, tzn. na způsob bod-přípojnice. Je potřebné dovést bod do středu ohniskové destičky, nebo do libovolného bodu, který byl zvolen jako referenční. Dále je potřeba do měřicího snímače zavádět další součásti. Přítom poloha bodu v poworu k referenčnímu nezávadnému dílu. Pokud rozlišovací schopnost není dostatečná, je potřebné zvýšit rozsah měření.

2. Závěr

Z praktického provozního nasazení uvedeného měřicího přístroje se ukazuje, že také tento druh měřicího přístroje vedlo stavajících měřicích přístrojů, např. zn. Vitometer 5022 fy. Karl Deutsch aj., může úspěšně přispět ke zvýšení také potřebné kvality strojírenské výroby, a to především v plně automatizovaných provozech.

Literatura

- /1/ MANDÁK, J. a kol.: Využití elektroinduktivní metody ke zkvalitnění jakosti součástí speciální výroby. Sborník VVTŽ Lipt. Mikuláš, č. 2, 1985
- /2/ Firamní prospekt měřicího přístroje EC 5000 HES Alcatel, Francie 1969

D. SKRDEK, J. WEISS
ČSFR

PŘÍSPĚVEK NEDESTRUKTIVNÍ KONTROLY K ZVÝŠOVÁNÍ JAKOSTI ODLITKŮ Z TVÁRNÉ

LITINY

Tvárná litina úspěšně nahrazuje litou ocel, v některých případech lze odlitky z tvárné litiny nahradit i ocelové výkovky. Tvárná litina obsahuje grafit vyloučený ve tvaru kuliček, které oslabují okolní "ocelovou" kovovou hmotu podstatně méně jak lupinky grafitu šedé litiny.

Ekonomické přínosy, které plynou z nižší energetické náročnosti výroby a nižší hmotnosti odlitků, z lepší obrobitelnosti, jsou však podmíněny přesnoužším chemickým složením a dávkováním surovin, přesným dodržováním metalurgického postupu výroby tvárné litiny, zejména ve fázi modifikace (legování horčíkem). Proto snad také podíl tvárné litiny ze slovárenských slitin železa je v hospodářsky vyspělých zemích (např. SSSR, Japonsko) mnohonásobně vyšší než v zemích střední a východní Evropy.

K spolehlivé a efektivní výrobě tvárné litiny tak vedo jen dokonalý systém kontroly, v kterém významnou roli mají nedestruktivní postupy a to od fáze přípravy tekutého kovu až po ověřování jakosti odlitků z reklamací.

Kontrola tekuté litiny

Téma metod ke kontrole tekuté litiny, zejména operace modifikace, je na samostatnou přednášku. V kratosti se zmíníme o dvou u nás běžně aplikovatelných, ale dosud nedostatečně využívaných metodách.

Rychlo a bez speciálního vybavení se o výsledku modifikace dozvídáme ultrazvukovou rychlozkouškou /1/. Tavíčko odlije ihned po modifikaci vzorkovací těleso - viz obr. 1, které po 2 min. tuhnutí zakalí do vody. Pak se mezi čely tělesa změří posuvným měřítkem vzdálenost L a ultrazvukovým tloušťkoměrem L_u . Rychlosť zvuku v_L v m/s:

$$v_L = 5930 \cdot \frac{L}{L_u}$$

Při martenzitické kovové hmotě tvárné litiny je kritická hodnota $v_L = 5400$ m/s pro určitý rozsah chemického složení litiny.

Celá kontrolní operačce potrvá dleto jak 3 min. Tím předejdeme ekonomickým ztrátám. Lze ještě upravit složení litiny.

Okamžité výsledky dává metoda, při které se sleduje průběh střídavé elektrické vodivosti během tuhnutí odlitku - vzorkovacího tělesa - ve tvaru sekundárního závitu transformátoru /3/. Princip metody a typické průběhy vodivosti předkládá obr. 2. Zářízení vyvinulo a vyrábí přístrojové oddělení SVÚN.

V slévárenské praxi se však obvykle kdy odlije bez zkoušení do form a čeká se až na výsledek metalografického rozboru. Pokud se nemodifikuje v pávni, ale modifikátor se vkládá před litím přímo do formy, je třeba kontrolovat každý odlitek; nelze uvedené metody uplatnit.

Kontrola odlitků

Expedované odlitky musí odpovídat TPP (technickým projevujícím podmínkám) mezi slévárnou a odběrateli. Mají být značeny podle taveb, ke každé tavbě se přilevají zkušební Y-blok, z kterých se obrobí zkoušní tyče pro stanovení pevnosti v tuhu R_u , tvrdosti HB aj. mech. vlastnosti a pro určení struktury. Nedestruktivní metodami můžeme strukturálnomechanické vlastnosti přímo na Y-blocích neprůmět s dostatečnou přesností /14/. Podstatně se tak zprodukční práce provozních laboratorií. Tímto měřením samozřejmě nelze zcela nahradit klasické mechanické zkoušky, které jsou stále pro TPP určující, ale umožní podstatně snížit jejich množství při velkém množství daných taveb.

Impulzní edrazovou ultrazvukovou metodu lze znázřit způsobem změřit na Y-bloku rychlosť zvuku. Konkrétní hodnotou této rychlosťi v l. je přiřazen určitý tvar či podíl dvou tvarů grafitu v litině (kuličkovitý, červlkovitý, lupinkový) /6/.

Pokud tvar grafitu využívá, tak měříme zbytkového magnetizmu příložnou sondou se stanoví přístroji řady Romag podíl perlitu ve struktuře a tím i HB a R_u tvárné litiny /7/. Měření lze provádět přes kruh kruhu na otryskaném povrchu.

Na sériové vyráběných odliticích je nahořejší zavedeno měření tvrdosti u důležitých položek.

V hromadné a velkosériové výrobě se ko kontrole tvaru grafitu uplatňuje ve vyspělých zemích výhradně akustické metody.

Odlitek se při zkoušce rozezná úderem nebo akustickým generátorem o proměnlivé frekvenci. Zvukový analyzátor pak změří rezonanční čímotočet a útlum odlitku. Tyto veličiny jednoznačně charakterizují tvar a podíl urč. tvaru grafitu ve struktuře litiny odlitku, pokud se neliší tvarom a hmotností (více jak ± 3 %). Touto metodou se např. zavádí kontrola výlukových potrubí vozů Favorit /13/.

Měření rychlosťi zvuku k hodnocení grafitu v litině se používá při proměrování volných odlitků nebo při kusové, malosériové výrobě odlitků.

Nedestruktivní testování struktury se v podmínkách čs. výroby prakticky na rozdíl od hospodářsky vyspělých zemí nerozšířilo. Pronikání zahraničního kapitalu a licencí však tento stav mění.

V současnosti se rozvíjí způsoby víceparametrové magnetické analýzy /8/ při měření litinových vzorků. Isto měření jsou schopna současně vyhodnotit char. grafitu i základní kovové hmoty (např. množství perlitu).

Vizuální stoprocentní kontrola odlitků na slévárenské tvarové vnějšej vady se provádí v každé slévárně. Tyto vady jsou standardizovány a jejich výskyt je vyvozen TPP. Rovněž vnitřní vady (homogenita) jsou standardizovány a jejich vymezení v TPP. úzce souvisí s velikostí ceny odlitků. Kognoznáváme čtyři stupně kvantity a velikosti vad. Jejich hodnocení podle radiogramů /10/ nebo ultrazvukových ech /12/ u silnostenných odlitků vyžaduje zkušenosť. Pokud vady nevystupují po obrobení na povrch, není jejich vliv na dynamickou pevnost odlitku podstatný. Proto se odběratelé snaží vystačit s 3. nebo 4. st. homogenity. Je problematické kontrolovat 100 % odlitků na vnitřní vady při větších sériích. 100 % odlitků umožní zkontrolovat hodnocení podle normy /11/. Má praktický výnam, neboť kritériem homogenity je množství vad vystupujících na obroběných plochách (jsou nebezpečnější jak vnitřní vady).

Závěr

Nedestruktivní kontrola odlitků je v ČSFR zaměřena především na kontrolu vnitřní homogenity radioskopicky nebo ultrazvukem; je předmětem standardizace.

Nedestruktivní diagnostika strukturálně mechanických vlastností odlitků z tvárné-

litiny ve výrobních podmírkách není dostatečně rozšířena. Přitom se pro tuto diagnostiku přístroje dají koupit i v tuzemsku. Přístroje nemag 3 řízený mikroprocesorem vyrábí SVÚM Brno. Ultrazvukové tloušťkoměry lze objednat na katedru fyziky EF ČVUT Praha, SVÚS Praha aj.

Pro více zájemců lze vyrobit mikroprocesorem řízený UZ tloušťkoměr /4/ spojený s elektronickým posuvným měřítkem /5/ k přímému určení rychlosti zvuku nebo grafitu litiny.

Mikropočítáčem řízený přístroj SYLIT /9/ umožňuje navíc hodnocení kovové hmoty metodou zbytkového magnetitu (při současném měření grafitu ultrazvukem). Opakovánou výrobou zajistí SVÚM Brno.

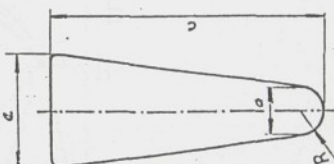
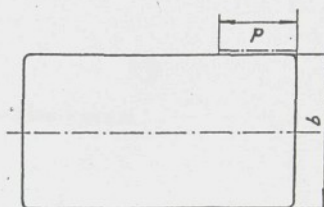
Literatura

- /1/ SKRDEK, B.: Vzorkovací těleso, A.O. č. 250324 z 30. 12. 1987
- /2/ PICÁLEK, J., TRČKA, J.: Zjištování tváru grafitu na základě měření relativní tepelné vodivosti litiny, II. metalurgické symposium, DT ZSVTS, Žilina 1990
- /3/ SVOBODA, A., ŠÍSTÍKOVÁ, E.: Operativní kontrola modifikace litiny transformátorovou metodou. Slévárenství 1990, č. 3, s. 103-105
- /4/ DÁLEK, R., VALENTA, J.: Zařízení pro přímé stanovení rychlosti zvuku v odlitech z grafitických litin, řešení TÚ10-2/87 LIAZ
- /5/ DĚDEK, B.: Posuvné měřítko s digitálním výstupem, řešení TÚ10-13/88 LIAZ
- /6/ SKRDEK, B., DECHNÝ, L., MEŠKO, J.: Ultrazvuková diagnostika účinku modifikátoru, konference Očkovadla a předslitiny, DT ČSVTS Žilina 1988
- /7/ Výzkum a vývoj metody příložných snímačů pro kontrolu strukturálních vlastností rozměrných odlitrků, záv. zpráva úkolu P14-123-304/04-E04, SVÚM Brno
- /8/ HENRYON, VIARD, DURUPT: Caractéristique des paramètres structuraux de la fonte à graphite sphéroïdal par méthode du traitement microprocессeur des mesures magnétiques, Fonderie, Nr. 51, 1986, s. 15-19
- /9/ RYŠAVÝ, R.: Přidavné zařízení pro komplotaci systému SYLIT, technická dokumentace, SVÚM, Brno 1990
- /10/ PN 03 6301: Hodnocení jakosti odlitrků z oceli a tvárné litiny podle radiogramů, Brno "Slatina"
- /11/ PN 42 0016: Hodnocení odlitrků z tvárné litiny vizuální kontrolou na obroběném

ploše, MŽ Olomouc

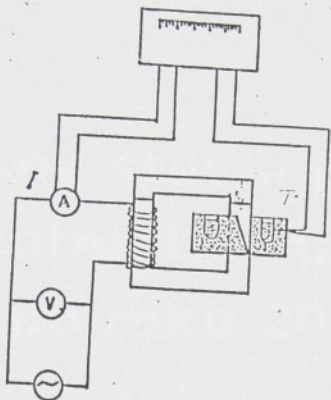
- /12/ HDS 8/68: Směrnice "Ultrazvuková kontrola odlitrků z nelegované tvárné litiny", ČKD Praha
- /13/ HOLMGREN, M.: Resonanční testování při kontrole struktury litiny. 53 světový slévárenský kongres, Praha 1986
- /14/ SKRDEK, B.: Nedestrukтивní materiálová diagnostika litinových odlitrků. Kandidátská disertační práce, Jablonec 1988

VZÁJEMNÉ ROVNODĚLNÉ PLOCHY /BEZ ÚKOSU/



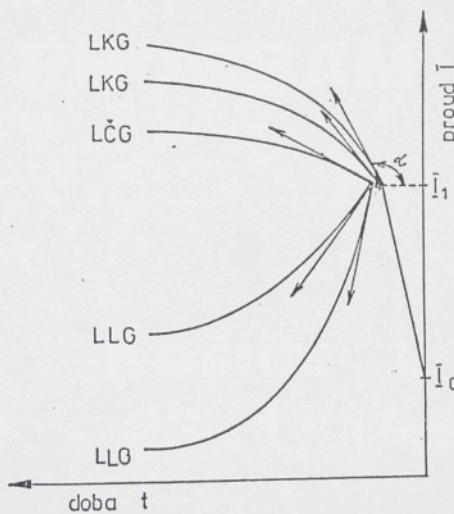
obr. 1

Vzorkovací těleso pro ultrazvukovou rychloskoušku litin



Obr. 2A

Princip měření el. odporu v průběhu tuhnutí transformátorovou metodou



Obr. 2B

Typické průběhy závislostí $I = f(t)$ protuhnoucí vzorky z tvárné litiny - LKG, litiny s červíkovitým grafitem LCG a šedé litiny - LLG

Hutnicka fakulta Technickej univerzity v Košiciach
Pobočka Slovenskej hutníckej spoločnosti pri HF
organizujú

konferenciu a zjazd absolventov

Súčasný stav a prognózy rozvoja hutníctva na Slovensku po roku 2000

pri príležitosti 45. výročia založenia Hutnickej fakulty
Technickej univerzity v Košiciach

PROGRAM

Košice

21. - 23. 1. 1997



 **VSZ**
a.s., Košice



Miesto konania poslucháreň ZP – 2

Predsedníctvo Prof. Ing. Viktor Zábašník, CSc.
Doc. Ing. Jozef Billy, CSc.

8:50 Longauerová M., Fujida M.: Vplyv prímesí na vlastnosti plynule odlievaných bram

9:00 Mišičko R.: Primárná štruktúra plynule odlievaných bram

9:10 Výrošťková A., Janovec J., Škultetý, Šmejkal V.: Deformácie indukované precipitácia AlN v hliníkmi ukludnených oceľiach vyrobanych v EOP

9:20 Valas J., Zela L.: Metodický prístup k riešeniu kvality výroby hliníkotážnych oceľí v pominuskách valcovencov za studena

9:30 Billy J., Šimčák F., Štefan B.: Parametre ovplyvňujúce jisovatenosť karbénových plechov

9:40 Horňák P., Zrník J., Kováč F., Nižný Š.: Textúra a subštruktúra Si oceľí s orientovaným zrnom

9:50 László T., Šimon A., Vesel I.: Súčasný stav vývoja nízkolegovanych oceľí so zvýšenou odolnosťou voči atmosférickej korózii vo VSŽ a. s. Košice

10:00 Skrbek B.: Kvalita železných materiálov ve vzťahu k spolehlivosti motoru

10:10 Zábašník V., Horňák P.: Niektoré poznatky o vlastnostiach nitridovaných vrstiev návarov nástrojov pre prácu za tepla

10:20 Jankura D.: Štruktúra a odolnosť návarov proti opotrebeniu

10:30 Tuleja S., Kocich J., Ševčíková J.: Atmosférická korózia oceľí Ševčíková J., Kocich J., Tirková K.: Potenciometrické sledovanie atmosférickej korózie oceľí

10:40 Kocich J.: Významná úloha zínku pri ochrane proti korózii

11:00 – 11:30 Prestávka – občerstvenie

Predsedníctvo

Prof. Ing. Jozef Zrník, CSc.
Doc. Ing. Pavel Hiroch, CSc.

8:50 Lukáč I., Hiroch P.: Nové zlätiny na báze Cu s vysokou elektroštokou vodivostou a mechanickou odolnosťou

Jakubeczyová D., Faberová M., Miškovičová M.: Progresívne technológie PM pri výrobe vysokovzdušných rezných materiálov

Pokusová M., Podhoršký Š., Poláček L.: Elektromagnetické ovplyvnenie procesu tuhnutia technickej čistého hliníka

Zrník J., Horňák P., Vrchovinský V.: Stabilita štruktúry Ni–prezrátatiny v podmienkach lepejnej únavy

Šupík V., Palček P.: Amplitúdová závislosť vnútorného tlmenia v kompozitnom materiáli Al-Al2O3

Kursa M., Drapala J., Hyspecká L.: Štruktúra a vlastnosti intermetalického sloučeniny Ni3Al

Sölyom A.: Rýchlochlodené mikrokrystallické zlätiny na báze Fe 6,5% Si

Miškuf J.: Porušovanie FeNiB, NiP amorfnej dvojvrstvovej pásky

Mieres M.: Safargam NG2 – Slitina pro dentální amalgam bez fáze

Mašlejová A., Jusko P., Kmec G.: Modelovanie korózneho opotrebenia žiarobetónov

Pešek L.: Katedra náuky o materiáloch na Hlavníckej fakulte TU v Košiciach

Ukončenie zasadania

KVALITA MATERIÁLU SOUČÁSTÍ VE VZTAHU KE SPOLEHLIVOSTI MOTORU

Skrbek Bretislav

Vývoj motorů, ŠKODA LIAZ a. s., Jablonec nad Nisou

Abstrakt

Na základě praktických zkušeností jsou stručně uvedeny kritické materiálové parametry polotvarů součástí které souvisejí s dostatečnou spolehlivostí vznětového motoru spičkových užitných parametrů. Probrány jsou některé odlišky.

Upozornění na dodavatele.

1. Úvod

Vznětový motor se skládá ze stovek součástí, mezi kterými podstatnou roli mají kovové díly vyrobené z polotvarů od hutí a sleváren.

Spolehlivost motoru vyjádřena životnosti v statisících ujetých km (pokud slouží ve vozidle) nebo tisice hodin provozu (pokud pracuje ve stacionárním stroji) nezávisí jen na perfektním provedení opracování a montáže, nybrž také na optimálních strukturně mechanických vlastnostech a vadách polotvaru jednotlivých dílů. Jejich specifikaci a připustnou toleranci musí obsahovat výkres nebo TPP (technické přejímací podmínky).

Nové typy motorů splňují přísnější ekologické a výkonové požadavky. Velká část dílů se rozměrově dělí (minimalizace nákladů na zavedení do výroby). Na základě výpočtu a praktických zkušeností se však optimálně změní požadavky na materiál, zintenzivní se kontrolní činnost a TPP.

V tomto příspěvku právě uvádím stručně některé související příklady změn požadavků na materiál konkrétních litých dílů. Výpis všech dílů (tyče, výkovky ap.) by nepřípustně překročil mezní rozsah příspěvku.

2. Blok válců

Bloky válců tvoří hlavní nosnou součást motoru. Oditek bloku (o hmotnosti cca 350kg) řadového přeplňovaného šestivalce chlazeného vodou ŠKODA LIAZ o obsahu válců 12 litrů a výkonu až

300kW je relativně tenkostenný (7 až 20mm) se slozitými kryystalizačními poměry při tuhnutí ve formě [1]. Proto na mechanické vlastnosti jednotlivých partií nelze usuzovat z materialového listu příslušné normy (42 2425 / šedá perlitická litina) nebo přílité zkusební tyče. Běžné kontrolní místo kvality litiny bloku na desce sezení hlav válců se ukázalo jako nedostatečné. Provozní deformace tvaru bloku mesouvisela s kvalitou této partie [2]. Bylo nutno vyvinout a nasadit nedestruktivní zmapování struktury části produkce bloků. Jako strukturně nejcitlivější na odchylky v metalurgii litiny se projevily vnitřní namahané mezivalcové přepážky. Jejich vlastnosti souvisely s deformacemi, ale i se surovinovými vstupy a nekázní ve slévárně.

Aplikovali jsme kombinovanou kontrolní metodu ultrazvukovým tloušťkoměrem (k stanovení charakteristik grafitu / modulu pružnosti E) a bodového magnetického pólu přístrojem DOMENA 2 (ELKOSO s. r. o. Brno / k stanovení vlastností matrice, tzn. obsahu feritu a tvrdosti). Veličiny stanovené oběma metodami pak sloužily k výpočtu pevnosti Rm litiny v přepážkách.

Na výkrese bloku válců bylo nutno předepsat mezní vlastnosti litiny pro vnitřní přepážky (ferit max. 20%, Rm>250MPa). Nakonec jsme byli nuceni předejít kolísání mechanických vlastností v přepážkách zavedením nízkého legování CuCrNi.

3. Ostatní odlitky

Hlavy válců se odlévají rovněž z šedé litiny 42 2425. Odlitek je však kompaktnější. U dvouvalcové hlavy nebylo nutno přistoupit k legování. To však bylo nutno zavést u podstatně složitější sestiválcové hlavy motoru E III.

Vika ložisek klikového hřídele jsou poměrně silnostenné (40 mm) odlitky ze šedé litiny. Dosud se vystačilo s prostým měřením tvrdosti [3]. Stálost uložení klikového hřídele však nezávisí na povrchové tvrdosti, nybrž na tuhosti průřezu vika. Měřitkem tuhosti je modul pružnosti E. Kritickým parametrem na výkrese viky tedy stala hodnota E>120GPa. Kontrola E se jednoduše provádí ultrazvukovým tloušťkoměrem s grafickým displejem T-SCOPE DL (TSI SYSTEM s. r. o., Brno) [4].

Vložené válce z nízkolegované sedé litiny se odlévají odstředivě do skořepin. Namáhaný jsou pulzy ze spalovacího prostoru a korozné iniciovanou kavitaci z "vodní" strany chlazení. Kritickým parametrem pro tato namáhání se stal vrubový ucinek grafitu a únavová pevnost matrice. Zlepšení podminilo předepsání o stupeň jemnějšího grafitu GIA přechodem na lití do kokil a změnou očkování. Perspektivně by se uplatnila LCG s bainitickou matricí. LKG nelze na vložené válce uplatnit pro spátné kluzné vlastnosti v dvojici s pistem.

Oběžné kolo vodního čerpadla je tenkostěnný odlitek (2.5mm - 5mm) ze sedé litiny namáhaný na ohyb (lopatky) a kavitaci. Běžně se odlevalo z nízkojakostní litiny nebo ze zábelelé litiny s zíháním na rozpad cementitu (feritická matrice). Dosahnut dnešního požadavku - $R_m > 250 \text{ MPa}$ bez zakalek v lopatkách se dří slévárnám obtížně. V tomto směru nejlépe obstala slévárna TAZ Trnava.

Vyšší teploty výfukových plynů (az 700°C) nutí aplikovat místo sedé litiny na výfuková potrubí feritickou litinu s kuličkovým grafitem (LKG).

Zdvihátka ventilů ve tvaru hříbku se odlévají ze sedé litiny funkční plochou na kovovou desku k získání bílé zákalky. Vačky více zakřivené působí vyšší kontaktní pulzy na zdvihátka. Požadavek na homogenní zákalku 3.5 až 6 mm není pro slévárnu snadný. Protože zavedení 100% kontroly hloubky zákalek není s [polehlivě] resitelné, provádime nahradu jistým ale dražším řešením. Ocelová zdvihátka s pájenou destičkou SK plátku. Ultrazvuková kontrola pájení je snadno proveditelná [6]. Mezní nespojení má průměr 2mm.

Pist je lity a vytvrzený ze slitiny ALSiMgCu. Zvýšené mechanické a tepelné namáhání se neprojevilo zvýšením potreby kvalitnějšího materiálu, ale potřebou odstranění vrubového a tepelněizolačního vlivu vnitřních vad (nečistot), které souvisely s nedokonalým záleváním nosiče pistního kroužku z litiny typu NIRESIST. Pleny oxidů se vyskytovaly několik desetin mm za rozhraním litina/Al slitina. Slévárna musí aplikovat ultrazvukovou kontrolu oblasti nosiče pistního kroužku. Byla specifikována mezní velikost vady

Literatura

- [1] Exner, Čech, Rusin: O některých fyzikálních vlastnostech dynamicky namáhaných automobilních odliteků ze železitiny, 40. světový slevárenský kongres, Chicago 4/1982.
- [2] Skrbek B.: Statistická provozní kontrola materiálu blok; válci; kombinovsnou nedestruktivní metodou, IV. mezinárodní metalurgické szmpoium, Rajecké Teplice 6/96.
- [3] Skrbek B.: Vztah rychlosti zvuku, tloušťky stěn a drsnosti obroběných ploch litinových odliteků, DEFECTOSKOPIE'93, Tábor 11/93.
- [4] Skrbek, Keller L.: Zkoušení odliteků z litiny ultrazvukovým tloušťkoměrem s grafickým displejem, Bulletin NDT ČR 3/94.
- [5] Skrbek B.: Vložené válce motorů LIAZ - životnost, interní zpráva ŠKODA LIAZ, č. 96030206.
- [6] Regazzo R., Regazzová M.: Ultrazvuková kontrola kvality pájení talírových zdvihátek ventiliů, Zváranie 2/91.

Československá společnost pro nedestruktivní testování
Firma Meetings and Courses České Budějovice

DEFEKTOSKOPIE 91



říjen 1991

ZLÍN

Přístroje MELVIS jsou určeny zejména pro průmyslovou kontrolu strukturálně mechanického stavu materiálu v libovolné formě. Přístroj je určen k využití výrobků, které umožňuje připojit několik jednotek MELVIS k jednomu nastavenímu počítací. Tak lze zajistit současné zkoušení tvarového souboru součástí v několika oblastech nebo řízení několika zkusebních úloh z jednoho ovládacího místa.

Přístroj typu MELVIS je orientovaný zejména pro využití při laboratorním výzkumu a hodnocení vlastnosti kovových materiálů. Jeho výhodou je zejména velká citlivost na mikroskopické změny v pohybu a zakotvení dislokací v materiálu. Další vývoj tohoto přístroje bude zejména v oblasti rozpoznávacích metod, aby bylo možné zajistit automatické stanovení změn ve strukturném mechanickém stavu materiálu.

LITERATURA

- [1] Chytry, I., Keller, L.: Nedestrukтивní kontrola polotovaru elektromagnetickým strukturóskopem MELVIS. In: *Sborník Defektoskopie '90*. DT ČSVTS, Ostrava 1990, str. 208 - 215.
- [2] Keller, L., Stanák, P., Bogr, J.: Nondestructive multiparameter determination of metallic materials structural mechanic state. In: Proc. 12th WCNDT, ed. J. Boogaard and G. H. van Dijk. Elsevier, Amsterdam 1989, str. 1462 - 1467.
- [3] Keller, L., Stanák, P.: Způsob nedestrukтивního víceparametrového zkoušení strukturálně mechanického stavu kovových materiálů a zařízení k provádění tohoto způsobu. CS pat. přihl. PV 2477-89. DE Pat. Appl. 40 11 588 7. GB Pat. Appl. 900783. 4.
- [4] Lutz, H., Sy, D.: Integration of mathematical-statistical evaluation methods in automotive quality control leads to new application areas of magneto-inductive tests. In: Proc. 12th WCNDT, ed. J. Boogaard and G. H. van Dijk. Elsevier, Amsterdam 1989, str. 1324 - 1327.

KONTROLA ZDVIHÁTEK VENTILŮ POLÉVACÍ METODOU
S IMPULSÍ MAGNETIZACÍ

Ing. Břetislav Skrbek, CSc

Ing. Petr Volejník
LIAZ s.p. Jablonec n/N

Hospodářské přeměny současné doby v našem státě provází těžkou obdobou krize automobilového průmyslu. Ve výrobě nákladních automobilů proto nyní v daleko větší míře je třeba dbat mimo jiné i na spolehlivost a kvalitu jednotlivých komponent.

Z průzkumu provedeného v opravnách motorů LIAZ vyplývá např. potřeba radikálně zvýšit spolehlivost zdvihátek ventilů. Kromě jiných opatření /napi. úpravy chem. složení opatření ONA 302205, zavedení iontové nitridace/ byla od počátku roku 1991 zavedena stoprocentní kontrola funkčních plachyt zdvihátek ventilů na povrchové vady. Způsob kontroly, popis zařízení a rozbor jeho půlročního provozního nasazení jsou náplní tohoto příspěvku.

Zdvihátko ventilů /obr. 1./

Zdvihátká ventilů jsou důležitými součástmi rozvodu vzduchu v motoru LIAZ. Převádí rotaciální pohyb vačkového hřídele na posuvný pohyb ventilů. Každý motor obsahuje dvanact zdvihátek. Čárová kontaktní plocha a adhezní tření je mezi vačkou a čelní plochou talířku zdvihátku. Pravidle tyto kontaktní plochy jsou kritickými místy obou součástí.

Materiál zdvihátek je speciální šedá litina dle ONA 3022005. Chemické složení:

C	Si	Mn	P	S	Cr	Cu
3,60-3,73	1,70	0,80	0,15	max.	0,25	0,40
2,00	1,00	0,20	0,05	0,45	0,60	

čelní plocha talířku zdvihátku

tvoří bílá litina,

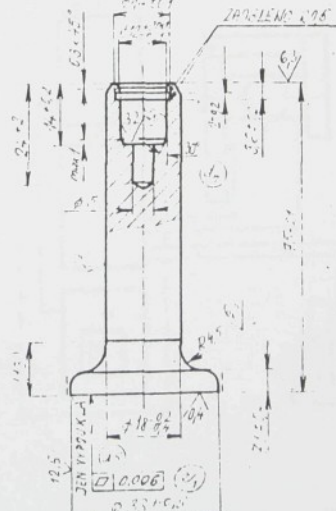
která vzniká litím zdvíhátek na kovovou desku, o předepsané
tvrdosti 50 - 57 HRC. Nesmí obsahovat struktur-
ní a povrchové vady.

Vařkový hřídel dle ČSN 302220 se vyrábí z zhlikové
oceli 12051-3 o chem. složení :

C	Si	Mn	P	S
0,48-0,55	0,2-0,35	0,6-0,85		max. 0,035

Vatry / sací a výfukové / a čepy ložisek vařkového hřídele
se indukčně povrchově kali do tloušťky 1-3 mm na tvrdost
60 +2 HRC a kontrolují na povrchové vady klasickou magne-
tickou polévací metodou s černou indikační tekutinou.

Kromě materiálových nemogennit plynucích ze stěváren-
ské výroby mohou se vyskytovat na čelní ploše zdvíhátek
praskliny. Potenciálním nebezpečím jsou tialové prnutí,
která vznikají během krytalizaci litiny / Ledeburit / a
technologická nekázená při brusení čelních ploch. Tyto
praskliny nejsou obvykle prostým okem pozorovatelné.



Obr. 1 : Zdvíhátko ventilu

Zkušební metoda

Ke kontrole čelních ploch "taffíků" zdvíhátek na po-
vrchové vady bylo přistupeno až po ověření několika metod.
Hlavně byla dostatečná citlivost a produktivita / při plné
výrobě 1500 až 2000 zdvíhátek denně /.

Použití např. elektroinduktivní metody by umožňovalo
plnou automatizaci kontrolní operace. Dostatečná citlivost
této jinak osvědčené metody /na ocelích/ byla rušena hrubou
slepoucovitou strukturou bílé litiny. Nebylo dosaženo spoleh-
livých indikací vad.

Kapilární metoda při využití tuzenských prostředků
/INDIKAL/ nevykazovala dostatečnou citlivost. Metoda
znečištěuje prostředí.

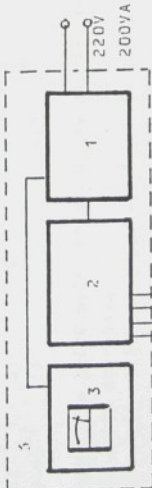
Dostatečnou citlivost ukázala magnetická polévací me-
toda s fluorescenční indikační tekutinou. Střídavá magneti-
zace využívala pozorování každého zdvíhátku zvlášť. Zbyteč-
né zahrívání zdvíhátká působila stejnosměrná magnetizace.

Konečně vydělán zařízení jsou drahá.
Na konec byl uplatněn vlastní způsob magnetické poléva-
cí metody, který využívá poměrně vysoké hladiny intenzity
remanentního magnetického pole bílé litiny / cementitu Fe₃C /.
Základní úkony kontroly :

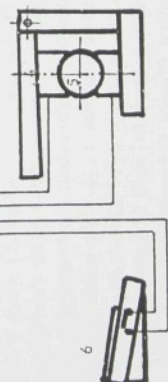
- impulzní magnetizace jednotlivých čistých zdvíhátek
- palety s 35 ks zdvíhátek se ponori do lžazné s fluor.
- indikační tekutinou
- člusek u výhodnocuje pod osvětlovací lampou současně celou
paletu zdvíhátek
- deagagnetizace se děje tepelným zpracováním, neboť při
iontontridaci, která je finální operací, se překrajuje
Curieho bod.

Zařízení

Blokové schéma přístroje pro impulsní magnetizaci zdvihátek je na obr. 2. Sestavá z kondenzátorového zdroje 1, prouduvých impulzů o bezpečnostním napětí, spinací jednotky /tristupůvky spinání/2, kterou obsluha ovládá něžním kontaktem 6, indikace správné magnetizace 3, magnetizačního upinacího přípravku 4. Intenzita impulzů je nastavitelná. Tvar upinacích čelistí směřuje proudové toky zdvihátkem tak, aby byly indikovány praskliny všech snáru. V současné době je připravován upínací přípravek s automatickým spináním proudového impulzu po vyuvolení nezbytné upinací síly /vyvzorně na magnetovanou součást/. Je tím eliminováno především nebezpečí předčasného sepnutí impulzu obsluhou, které působí opaky. Obsluha při práci sedí u pracovního stolku.



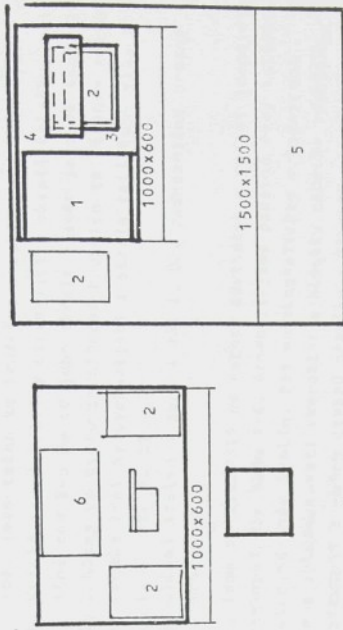
Obr. 3.
Provoz



Obr. 2.

Celkový přehled o pracoviště je na obr. 3. Hamáček vana 1 obsahuje 50 l. indikativní tekutiny. Paletu se zdvihátky 2 na podstavci a odkaďovací vaně 3 pozoruje obsluha ve stoje.

Osvětlovací téleso /s dvěma výbojkami UVK 125-2/ je stejně jako zatemňovací box 5 je vlastní konstrukce. Box má zabudovanou nucené odvětrání. Skládá se z kostry a speciální textilie /pohodlná manipulace, otvírání/. Celková plocha pracoviště je cca 4,5 m². Magnetizační pracoviště je označeno 6.



Kontrola zdvihátek popsanou metodou je zařazena jako výrobní operace mezi dokončovací brusením a iontofritrací. Podrobné operacní návody obsahují čtyři listy popisu přípravy, kontroly práce a popis jednotlivých úkonů s časovým harmonogramem. Při provedení metody zkонтrolovala jedna osoba za 4 hod. 1500 ks zdvihátek ventilů i s přestávkou.

Během provozu od ledna 1991 se podíl zdiřátek s kladem indikativní polohou v několika částečných procentech na tétoho zdvihátkách se vyskytovaly buď jednotlivé krátké /do 5 mm délky/ nebo dlouhé poměrně rovné praskliny nebo

síť typických brusných trhlín.

Přehled o tomto stavu předkládá tabulka 1.

Oblastu dleňho zapísaje výsledky do kontrolní knihy. Může se operativně zasahovat do výrobky pro zvýšení kvality.

Celkem bylo za položinu roku 1991 zkontrolováno asi 120 tis. ks zdvihátek ventilů.

Tabulka 1.

měsíc	výřazeno celkem	Podíl prasklin v %	délouhé krátké	brusné
1	0,52	44	41	15
2	0,56	25	73	2
3	0,69	41	55	4
4	0,67	0	74	16
5	0,62	32	57	5
6	0,64	32	65	3
\bar{x}	$0,62 \cdot 10^{-2}$	31	61	8
S		6,5-10 ⁻²	13	12,5

Dlouhé praskliny je ještě možno trifdit na tečné, zakřivené, procházející celým povrchem.

Metoda je tak citlivá, že zviditelnuje při dobrém namagnetovalní zdvihátku rastrování /mručobě obráběně kovové desky/, na které jsou zdvihátká litý, se odraží ve struktuře a mogn. vlastnostech bílé litiny/ čelní plachy zdvihátek. Odhalena je každá povrchová vada. Nezodpovídajou otáčkou je, do jakékoli praskliny ovlivňují spolehlivost zdvihátek ventilů. Výrazená zdvihátnka byla proto po třech od každého druhu praskliny spojována s dobrými kusy nasazena do motoru, vět zkušky na brzdovém stanovišti vývoje motorů.

Při asi 600 hod. provozu /t.j. cca 30 tis. km/ jsme provedli průběžné hodnocení jakosti plachy zdvihátků. Celková došlo k zviditelnění /rozšíření/ prasklin /obr. 4/. V některých případech k jejich rozvrtání. Kritické rozvrtání bylo shledáno zejména u dlouhých prasklin /D1/ a u

brusných násstalo počáteční vylamování povrchu /B2/.

K havarijnemu stavu /kontrolní destrukci zdvihátku/ motoru zátiž nedošlo. Ve zkoušce se pokračuje.

Souvislost struktury a vad

Jak je uvedeno v předchozích kapitolách, jsou jakou vadnou vyrazená zdvihátnka s vadami, které lze rozdělit do několika skupin.

1. Dlouhé rovné trhliny nezasahující až k okraji taliřku – směr jako tečna ke kružnici soustředené s taliřkem.
2. Krátké rovné trhliny nesahající k okraji taliřku, umístěně cca 2-5 mm od jeho okraje – směr jako ve skup. 1.
3. Trhliny ve tvaru soustředné kružnice se středem zdvihátká.
4. Dlouhé trhliny vycházející z okraje taliřku – viz. obr. č. 4, vz. č. 01.
5. Sitová trhlina – obr. 4 vz. č. B2. Jednoznačně brusné trhliny.

My jsme se zaměřili na rozbor zdvihátek s vadami identifikovanými dle bodu 1-4. Provedli jsme podélné řezy taliřkem kolmo na směr trhlin. Při metalografickém vyhodnocení jsme vyhodnocovali charakter a hloubku zákalky zdvihátká, vytvořené při výrobním útvaru grafitu v zákalce, hloubku a charakter trhlin.

Nejprve jsme u všech vzorků kontrolovali tvrdost funkčního povrchu metodou Hrc se zaměřením na okolo trhlin. Předpis je 50-57 HRC. Tvrdostí všech vzorků se pohybuje v rozsahu 52-57 HRC, přičemž na jednotlivých zdvihátkách jsou maximálně zjištěné rozdíly 3 HRC bez vlivu umístění trhliny. Tento rozptyl je dán přítomností grafitu v zákalce.

Skupina 1

Sledována je zdvihátnka. U dvou je výskyt prvních útvářů grafitu v hloubce 0,6 resp. 0,9 mm. První větší množství grafitu je od hloubky 1,4 mm. Hloubka zákalky u této vzorku je 3,5 mm. U třetího vzorku je výskyt zákalky grafitu již od funkčního povrchu, hloubka zákalky je 2,4 mm.

U prvních dvou vzorků je hl. trhliny 0,7 resp. 0,9 mm, u třetího vzorku 9,5 mm, tj. prakticky do dříku. Ve všech případech trhliny sledují hrannice zrn. U dvou zdvihátek byly zjištěny ještě další trhlinky hloubkou kolem 0,5 mm, které nebyly identifikovány při kontrole. Pravděpodobně vznikly až při dálém zdvihatkování vlivem penutí mezi vrstvou bílé litiny a jádrem.

Skupina 2.

Sledovaná tří zdvihátko. U jednoho vzorku je bodový grafit vyloučen již od funkčního povrchu, u dalších dvou od hloubky 1,2-1,4 mm. Záalka u prvního vzorku je 2,8 mm, u druhých dvou cca 3,7 mm. U vzorku s grafitem na funkčním povrchu je trhлина hlubká 0,4 mm a je velmi tenká – prakticky nezjistitelná. U zbylých dvou vzorků je hrubá trhliny dlouhá 1,6 resp. 2,8 mm. V jediném zkoli je výrazně odlišná struktura – větší 1 mm. Grafitu a perlitu – b chybě prakticky cementit. V těchto případech se jedná o trhliny vzniklé při lití.

Skupina 3.

Vybraná pouze jedno zdvihátko. Grafit zde má 0,3 mm, hloubka záalky 2,7 mm. Trhлина je po hranicích zrn do něousky 2,0 mm.

Skupina 4.

Vybraná rovnouž jedno zdvihátko. Grafit již od funkčního povrchu, hl. záalky 2,5 mm, trhliny je značně rozvetvené, jde po hranicích zrn do hloubky 3,8 mm. Vliv jednotlivých trhlin na provoz výhodotina až po ukončení jízdní zkoušky – viz. předchozí kapitola.

Závěr

Přispěvek přibližuje problematiku jekostí zdvihátek ventilů vznětových motorů LIAZ a možnosti kontroly povrchových vad.

Uplatnění magnetické polévací metody s fluorescenční indikační tekutinou a impulzovou magnetizací umožňuje vysokou produktivitu 100% kontroly při hromadné výrobě zdvihátek.

Míru nebezpečí násizených vad prokazuje provázení zkouška zdvihátek s typickými nálezy prasklin.

Kontrolní zařízení s velmi malou spotřebou elektrické energie bylo navrženo a zhotoveno v LIAZ za minimální náklady /ve srovnání s možným dvozorem/.

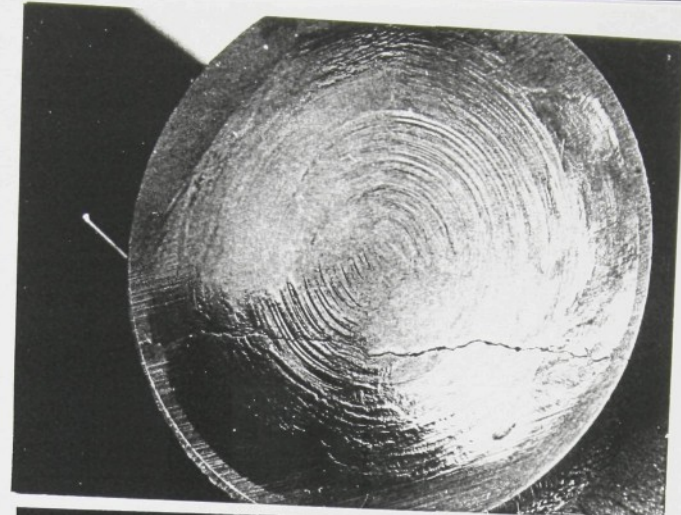
Opakovanou výrobu zařízení pro celé kontrolní puccovisko té by bylo přizpůsobeno podle kontrolovaných součástí /menší součást z magneticky "tvrdého" materiálu/ jsme schopní dodat i se zavedením technologie do tří měsíců.

Skupina 3.

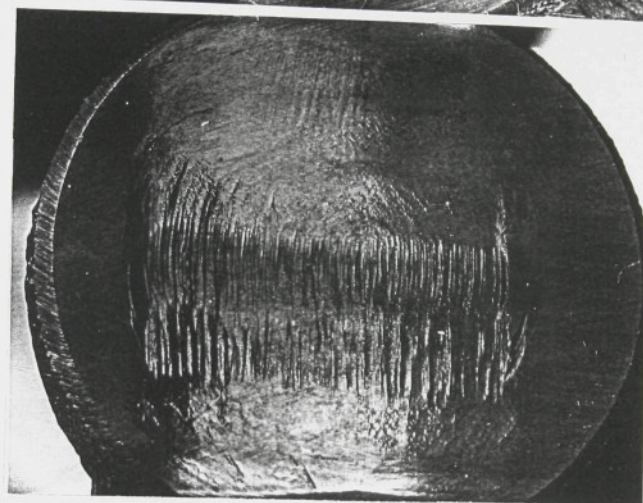
Vybraná pouze jedno zdvihátko. Grafit zde má 0,3 mm, hloubka záalky 2,7 mm. Trhliny jsou po hranicích zrn do něousky 2,0 mm.

Skupina 4.

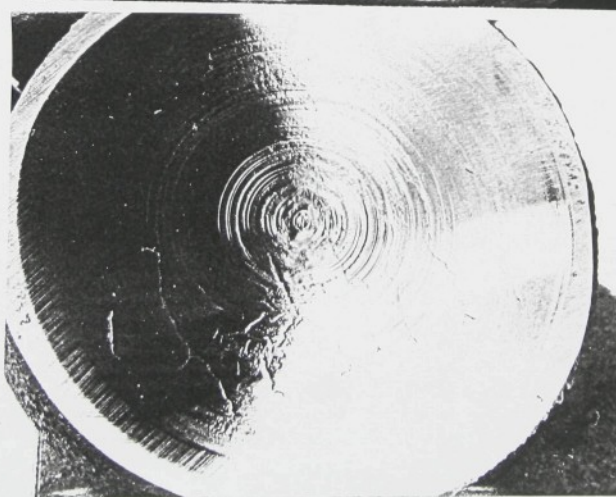
Vybraná rovnouž jedno zdvihátko. Grafit již od funkčního povrchu, hl. záalky 2,5 mm, trhliny je značně rozvetvené, jde po hranicích zrn do hloubky 3,8 mm.



D1



K2



B2

Obr. 4. Typické tvary prasklin zviditelněné provozem zdvihátek v motoru.

TECHNICKÁ UNIVERZITA V LIBERCI

Fakulta strojní



HABILITAČNÍ PRÁCE S KOMENTÁŘEM

2000

Břetislav Skrbek

Fakulta strojní

**PROBLÉMY APLIKACE GRAFITICKÝCH LITIN U VZNĚTOVÝCH MOTORŮ
A NÁKLADNÍCH AUTOMOBILŮ**

Habilitační práce s komentářem

Obor strojírenská technologie 23-07-8


Ing. Břetislav Skrbek, CSc.

Březen 2000

PŘÍLOHA

II. SVAZEK

Kopie interních inženýrských prací [20 až 25].

LIAZ, státní podnik
odbor vývoje materiálu a metalurgie

Výzkumná zpráva:

Statistická kontrola materiálu
bloků motorů M 1A

č. 147 - 3 - Sk / 89

Úkol RVT : H-05-124-886

Vývoj a osvojení komplexní
nedestruktivní materiálové
diagnostiky litinových
odlitrků v podmírkách LIAZ

Hlavní řešitel: Ing. Břetislav Skrbek, CSc.

Vedoucí odboru: Vladimír Ptáček

V Jablonci n.N. - červen 1989



1. Úvod

Blok válců tvoří základní nosnou součást motorů vyráběných v s. p. LIAZ. Je to typický složitý, relativně tenkoštěnný odlitek, se složitými krystalačními poměry při tuhnutí ve formě [1]. Proto na mechanické vlastnosti jednotlivých partií odlitku bloku nelze usuzovat na základě tloušťky stěny a z tabulek příslušných materiálových listů ČSN 42 2420.

Surovinové vstupy, ale i metalurgické úkony při výrobě litiny a zpracování odlitků mají přirozený rozptyl svých parametrů. Současný výskyt více nepříznivých odchylek může působit extrémní vybočení materiálové jakosti odlitku.

Užitné vlastnosti motorů LIAZ a zejména jejich životnost mají výkyvy. Závisí na mnoha faktorech, mezi kterými určitou roli hraje i kvalita materiálu litinových odlitků [7]. V tomto směru byl postaven i požadavek OŘJ podniku LIAZ na kontrolu 100 ks odlitků bloků motorů z listopadu 1988.

Cílem této zprávy je proto rozbor materiálové kvality /zejména jejich extrémních poloh/ výroby odlitků bloků motorů na bázi nepřímého nedestruktivního měření.



1. 1. Použité symboly

- A směrnice přímky
- C_{eq} uhlikový ekvivalent měřený termometricky
- E_0 [GPa] počáteční modul pružnosti měřený ultrazvukovou impulzní metodou [3]
- HB [N/mm²] tvrdost měřená podle Brinella
- H_o [A/m] intenzita magnetického pole okoli
- H_r [A/m] intenzita magnetického pole na povrchu součásti
- I [A/m] magnetická polarizace
- K [1] koeficient korelace
- L [mm] rozměr změřený posuvným měřitkem
- L_u [mm] rozměr změřený ultrazvukem
- M [1] intenzita zbytkového magnetického pole na povrchu odlitku, vyjádřená délky přístroje Remag
- M_1 [1] intenzita zbyt. mag. pole, změřená na povrchu přepážky, který je blíž 1. válci
- M_2 [1] intenzita na protilehlém povrchu přepážky/stěny/
- M_s [1] intenzita remanentního magnetizmu korigovaná na tloušťku stěny L odlitku
- N [1] demagnetizační činitel
- Rm [MPa] pevnost v tahu vypočtená
- S_x směrodatná odchylka veličiny x
- v_L [m/s] podélná rychlosť šíření zvuku
- v_r [1] relativní rychlosť
- X střední hodnota veličiny X
- Z [mm] výška zákalky klínkové zkoušky
- α úhel mezi osou souboru a izopevnostní čárou
- ρ [g/cm³] měrná hmotnost
- μ Poassonovo číslo, permeabilita



2. Současný stav poznatků :

Funkčnost bloku válců dává svým tvarovým řešením konstrukčér při respektování technologických specifik šedé litiny. Materiálové požadavky a místo kontroly předepíše na výkrese. Tyto požadavky /TP, ČSN/ jsou idealizované z pohledu platnosti v celém objemu odlitku.

Znalosti o rozložení strukturně-mechanických vlastností v současnosti vyráběných blocích válců jsou nedostatečné.

Hodnoty Rm a HB dle ČSN platí pro volně zchladlé litinové odlitky s minimální průtočností kovu. NP

2.1. Výkres a ČSN :

Blok válců sériově vyráběných motorů LIAZ má číslo výkresu 442 1 1002 013 5 a modelu M 3341. Síla stěny přepážek válců 8^{+1} mm, výměníku 8 mm a přepážek ložisek 8^{-1} mm.

Směrné chemické složení :

C	Mn	Si	Pmax.	S max	
3,2-3,5	0,5-0,9	1,7-2,3	0,3	0,12	[%]

Tvrďost 170 - 230 HB měřena dle příslušné ČSN v místě dosedací plochy hlav mezi 3. a 4. válcem u 5% odlitků. Předepsaná jakost šedé litiny ČSN 422420. Podle této normy hodnota Rm souvisí s tloušťkou stěny L odlitku :

[mm] L	4-8	8-15	15-30	30-45	45-60	80-120	tyč Ø 30
[MPa] Rm >	250	230	200	165	145	120	200
HB	200-	180-	160-	150-	140-	130-	160-
	260	240	220	210	200	190	220

2.2. Strukturně-mechanické vlastnosti ve stěnách bloků válců :

Skutečné vlastnosti materiálu v odlitku byly naposledy zjištěny v rámci oborového úkolu OC 551M před deseti a více lety [8]. Jsou ovlivňovány jednak celkovou konstrukční koncepcí odlitku, která dává hydraulické poměry při plnění dutin v různých částech odlitku a charakter teplotního pole při tuhnutí a chladnutí a pak metalurgickými poměry při výrobě /suroviny, chem. složení, úprava taveniny, odlévání, žihání, vlastnosti forem a jader, tavící agregát/. Konkrétní souvislosti lze odvodit z [8] [2].

Blok válců je odléván na ležato s vtoky, které ústí v partií hlavové dosedací plochy. Vnitřními přepážkami proudí kov 24-30 s. Naposledy se zaplní tekutým kovem stěna výměníku oleje



a příslušná část dosedací plochy vany.[1].

Zákonitou rozdílností hodnot Rm podle své polohy ve formě, vůči vtokové soustavě a průtočnosti průřezů stěn odlitku potvrdily výsledky z [8]. Vnější tenké stěny L = 7 dosahovaly až Rm 240 MPa, zatímco Rm motorových přepážek byly zpravidla nižší jak standartní hodnota Rm= 200 MPa /tvrdost i jen 140 HB/. Metalografický rozbor ukázal na výskyt většího množství grafitu E a D s větším množstvím feritu v okolí grafitových růžic.

Za posledních deset let však došlo ve výrobě k řadě pokrokových změn - formovací linka Gustav Zimmermann - očkování s gramodem, aj., které by měly zvýšit Rm kritických míst a zrovnoměrnit celkové rozložení hodnot Rm v bloku.

Současně ale vzrostly výkonové parametry motorů a tím i namáhání odlitků.

Destruktivní ověření rozložení Rm nebylo provedeno, ačkoliv to řešení řady problémů /např. propadání můstků/ vyžadovalo. Nebyly vytvořeny podmínky pro zřízení pracoviště /nebo výpomoc/s vhodným obráběcím strojem na dělení velkých odlitků.

V dosud publikovaných pracech o kontrole odlitků bloků LIAZ nebyly uvažovány kombinované a subjektivní vlivy na materiálovou jakost /extrémy v dlouhodobé sériové výrobě a jejich souvislost/

2.3. Nedestruktivní diagnostika lokálních partií:

Destruktivní stanovení mechanických vlastností by bylo sice jednoznačné, ale velmi nákladné a pro kontrolu 100 bloků kapacitně nezvládnutelné. Donedávna nebylo možno určovat strukturněmechanické vlastnosti jinými způsoby, zvláště ve vnitřních partiích odlitků. Úkoly RVT odboru VMM LIAZ [5,4,6] zejména disertační práce ing. B. Skrbka [3] obhájená 21. 11. 1988 přivedly do fáze praktického využití nedestruktivní způsob stanovení strukturněmechanických vlastností lokálních partií litinových odlitků.

2.3.1. Princip měření [3]

Vnitřní stavba litin je charakteristická kovovou matricí /ferit, perlit/ a v ní vyloučeným grafitem. Podle tvaru grafitu se dělí litiny na jednotlivé druhy /šedá, s červíkovitým grafitem, temperovaná, tvárná/. K hodnocení grafitické části struktury se používají ultrazvukové nedestruktivní metody. Kovová matrice se nejlépe charakterizuje měřením magnetických vlastností. Při měření rychlosti zvuku je nutno znát skutečný rozměr L a zdánlivou tloušťi



/rozměr/ Lu změřenou ultrazvukovým tloušťkoměrem seřízeným na rychlosť zvuku v_{Lu} /5930 m/s/.

$$v_L = \frac{L}{Lu} \cdot v_{Lu} \quad [m/s] \quad /1/$$

S rychlosťí zvuku úzce souvisí počáteční modul pružnosti

$$E_0 = v_L^2 \cdot \sqrt{\frac{1+u}{1-u}} = \frac{k \cdot v_L^2}{1-u} \quad [GPa] \quad /2/$$

Pro Litinu vyráběnou v LIAZ 04 byl experimentálně určen výraz :

$$E_0 = 1437,79 \cdot \frac{L}{Lu}^2 \quad [GPa] \quad /3/$$

E_0 měřený ostatními metodami je u šedé litiny vždy menší. Do zkoumaného materiálu vysílá sonda ultrazvukového přístroje impulzy nosné frekvence /řádově jednotky MHz/. Tyto se odráží od protilehlého povrchu stěny odlitku. Z časového intervalu mezi vysílaným a odraženým /přijímaným/ impulsem se určí Lu. Čím více grafit narušuje kompaktnost základní matrice /lupinkový více jak červíkovitý grafit/, tím více se prodlužuje dráha ultrazvukových vln, snižuje se hodnota v_L a zvětšuje se zdánlivá tloušťka Lu.

Základní kovová hmota běžných litin je feromagnetická. Magnetické tvrdé strukturní fáze /cementit Fe_3C , martenzit/ mají vysokou μ remanentní polarizaci /drží magnetizmus po zmagнетování/. Intenzita magnetického pole Hr na povrchu odlitku po zmagнетování a ukončení magnetizačního impulzu :

$$Hr = H_0 - \left(\frac{N \cdot I}{\Delta t} \right) \quad [A/m] \quad /4/$$

Demagnetizační činitel N závisí na morfologii strukturní fáze /perlitu/ i na geometrii nejbližšího okolí měřeného místa /tloušťka odlitku/. Charakter základní kovové hmoty v lokálním místě odlitku i přes licí kúru nejlépe určí stejmoměrná metoda magnetického bodového pólu /přístroje řady Remag - SVÚM Brno/. Hodnota M výchylky indikačního měřidla /displeje/ přístroje Remag 1 č.v. 1177 souvisejí s Hr lineárním vztahem :

$$Hr = 6,5 \cdot M - 32 \quad [A/m] \quad /5/$$

/při nastavení citlivosti 1 a magnetizace 10 a seřízení dle etalonů/. Při praktickém měření se provde úkon demagnetizace a získá se hodnota M_{i1} . Po zavedení magnetizačního stejnosměrného impulzu do materiálu se odečte hodnota M_{i2} . Pro materiálovou diagnostiku se používají : rozdíl :

$$M_i = M_{i2} - M_{i1} \quad /1/ \quad /6/$$

Tímto úkonem se totiž eliminuje vliv intenzity magnetického pole okolí Ho /viz. vztah /4/.



Mezi tvrdostí HB a hodnotou M_i byl potvrzen u litin lineární vztah :

$$HB = A \cdot M_i + B \quad /7/$$

Měření rychlosti zvuku v_L v kombinaci s měřením zbytkového magnetizmu M , případně tvrdosti HB vykazuje u šedých litin vždy těsnější magnetický vztah k pevnosti v tahu $R_m = f / v_L$, M než vztahy s jednou proměnou $R_m = f / M$, $R_m = f / HB$.

Při měření na tenkých stěnách odlitků $L \leq 12$ nutno hodnotu M_i korigovat podle tloušťky stěny L na hodnotu M_S :

$$M_S = \frac{M_i}{C \cdot L^{-B} + 1} \quad /8/$$

A.....D = konstanty

3. Vlastní měření a výsledky:

Bloky byly měřeny v prostoru vstupního dopravníku mechaniky IV /před 1. obráběcí operací/.

3.1. Místa měření:

Místa měření na odlitku bloku válců byla volena s ohledem na : 1. konstrukční a provozní důležitost /krit. namáhání, deformace/, výkres

2. konstrukční koncepcí odlitku /slévárenská technologie/

3. dostupnost sond kontrolních přístrojů /přístrojová dispozice/. Polohu míst měření znázorňuje obr. 1. Dosedací plocha hlav válců měřena Remagem a Poldi kladívkem v místě předepsaném výkresem po ohrubování lící kůry. Toto místo představuje poměrně silnostěnnou partii s větším průtokem kovu. Měření ultrazvukem lze provádět mezi rovnoběžnými částmi stěn. Takové místo v celé této partií není. Bylo by vhodné vytvořit na odlitku technologickou kontrolní plošku /alespoň $\Theta 20$ /.

Ultrazvukem byl proto nouzově proměřován můstek mezi válci $L = 14$ mm. Protože jde o dvě vydaté plochy, usazovala se mezi sondou a povrchem vývrtu silná konstantní $\sim 0,4$ mm vrstva vazebného media /indulony/, které má $v_L = 1600$ m/s. Přes provedenou korekci na vydatost bylo měření této partie ultrazvukem méně spolehlivé /značný optický rozptyl energie ultrazvukového svazku/.

Přepážky válců byly proměřovány asi 25 mm pod horním nákrúžkem vložených válců těsně vedle švu dělicího jádra. Tyto přepážky mají důležitou nosnou funkci a vyznačují se značnou průtočností kovu. Může docházet k sekundárnímu vyžihání již ztuhlých přepážek teplem akumulovaným jádrem.



Protože se přepážky plní ve svíslé poloze, dají se předpokládat rozdíly v mech. vlastnostech i v samotné přepážce [2].

Přepážky ložisek představují značně namáhanou partii odlišku s určitou průtočnosti kovu. Proměřována je partie s rovnoběžnými plochami těsně pod těsnicemi kroužky vložených válců.

Dosedací stěna vany bloku v měřeném místě pod 4. válcem představuje vnější stěnu bloku poměrně brzy zaplněnou kovem s nižší průtočností kovu. Měřené místo pod 2. válcem na vanové ploše je zaplněno kovem prakticky naposledy z celého odlišku.

Stěna výměníku tepla oleje je oddělena od tělesa odlišku velkoplošným jádrem, které může působit větší rozptyl tloušťky stěny výměníku. Kovem se zaplňuje naposledy a s malou průtočností, představuje vnější stěnu s krystalizačními poměry, které se nejvíce blíží samostatně lité desce.

Denně bylo změřeno 4-6 odlišků s pokud možno rovnoměrným odstupem výrobních čísel. Zvolené množství 100 bloků válců umožňuje jednoduché vyhodnocení sloupcových diagramů /rozložení četnosti/. Představuje asi 2-3% celkové produkce bloků za dané údobí.

Pořada bloků válců na válečkovém dopravníku dovolovala měřit pouze stěny přepážek válců a stěnu výměníku. Několik vybraných bloků bylo jeřábem vytaženo z dopravníku a obráceno, aby jsme mohli proměřit i přepážky ložisek a vanovou plochu.

3.2. Použité metody a přístroje:

Rychlosť zvuku, respektivě zdánlivá tloušťka Lu měřena ultrazvukovým tloušťkoměrem polské výroby LC 545 s třiapůlmístným displejem na výstup. Pracuje impulzní odrazovou metodou s dvojitou sondou 4 LDF 10 při kmítotu 4 MHz /viz. obr. 2/.

Seřizovací ocelový etalon má $v_L = 5930 \text{ m/s}$.

Měření se provádělo přes lici kúru v místech bez zjevných ostrých nerovností na jemně otryskaném povrchu odlišku.

Intenzita zbytkového magnetického pole Hr vyjádřena hodnotou M měřena přístrojem Remag 1 v.č. 1177 - výroba SVÚM Brno. Remag 1 byl dodatečně vybaven paměťovým operačním zesilovačem a číslicovým výstupem dle ZN 10 - 022/85 LIAZ pro přímé odečítání hodnoty Mi dle /6/ - obr. 3. Měřeno přes lici kúru na roviných plochách s konstantním režimem : citlivost C = 1, magnetizace M = 10.

Tvrdoš na výkresem předepsaném místě měřena soupravou Poldikladívka na ohrubovaném povrchu /výsledek se může odchylovat



hodnotou od výsledku měření na lici kůže - kontrola v LIAZ 04/.

Rozměry tloušťky stěn jsme měřili běžnými posuvními měřítky s upravenými čelistmi nebo nástavci na čelistech /obr. 4/.

Každá přepážka byla Remagem proměřena z obou stran. Nejdříve se provádí měření ultrazvukem, pak posuvným měřítkem a nakonec Remagem. Stopa ultrazvukové sondy /indulona/ totiž jednoznačně určuje místo měření.

Předběžně zaznamenané hodnoty M_s , L , Lu byly zpracovány mikropočítačem s využitím výrazů /3/ a

$$Ms = \frac{M}{81 \cdot L - 2,91 + 1} \quad |1| \quad /9/$$

$$HB = 2,57 \cdot Ms + 98,1 \quad |1| \quad /10/$$

$$Rm = 10^{1,6673} \cdot Ms^{0,5808} \cdot /L/Lu/^{2,932} \quad [MPa] \quad /11/$$

které byly záskány experimentálně v práci [3]. Výsledky měření jednotlivých odliteků obsahují protokoly vytištěné tiskárnnou mikropočítače. Jejich identifikace je podle výrobních čísel bloků. Výrazy /10/, /11/ platí s 80% pravděpodobnosti. Byly získány ze zkoušek na zvlášt litých plochých tyčích a jen naněkolika výřezech z přepážek a výměníku bloku /dobrá shoda Rm skut. s Rm vypočt./. Proto v závěrech nutno uvažovat více se vzájemnými úrovněmi mechan. vlastností než s jejich absolutními hodnotami.

Hodnota Ms charakterizuje v základní k Kovové hmotě litiny množství a morfologii perlitu. Pro feritickou šedou litinu $Ms = 15 \pm 20$ a prlitickou $Ms \sim 50$.

Modul pružnosti E_0 měřený ultrazvukem popisuje tvar a rozložení grafitu. Max. hodnoty pro šedé litiny $E_0 = 140\text{--}150$ GPa. Vyšší hodnoty svědčí o větším výskytu volného cementitu ve struktuře nebo o výskytu kompaktních forem grafitu /červikovitý až kuličkovitý/.

4. Vlastnosti odlitků bloků válců /předpecí PIKS odstaveno/:

Předmětem měření strukturně mechanických vlastností je soubor 100 odlitků válců v intervalu výrobních čísel 30845/88 až 1400/89. Tyto bloky byly odlévány z litiny, která nemohla být homogenizována ve velkoobjemovém předpecí PIKS. Předpecí závodu LIAZ 04 v této době přezdivali. Časový interval měření je 25.11.88 – 13.1.89 a výrobních čísel 33902/88 až 738/89.



4.1. Přehled výsledků:

Tato kapitola obsahuje statisticky zpracovaná data /zapsaná v jednotlivých protokolech bloků/.

4.1.1. Tloušťky stěn:

V tabulce č. 1 je obsaženo statistické shrnutí výsledků měření tloušťek stěn všech přepážek a výměníků /v místě měření Rm a v místě minimální tloušťky stěny na celé ploše výměníku/.

Tab. č. 1.

Přepážky válců	1 - 2	2 - 3	3 - 4	4 - 5	5 - 6	Pozn.
\bar{L} /mm/	8,3	8,6	8,8	8,6	8,5	
S_L /mm/	0,29	0,25	0,23	0,24	0,25	
L min.	7,5	7,4	7,7	7,5	7,4	č.33423
L max.	9	9,05	9,2	9,1	9,15	H-88

Výměník tepla	místo měření Rm	min. L výměníku
\bar{L} /mm/	7,8	6,9
S_L /mm/	0,3/blok	0,64 blok
L min.	7 31808 H/88	5,4 33921/88
L max.	8,4 33841/88	8,35 31609/88

Názornou představu o rozložení tloušťek stěn přepážek předkládá obr. 4-1A + E a stěn výměníku oleje obr. 4-2A,B.

Křivky rozložení mají vesměs pozvolný růst četnosti v oblasti nižších tloušťek $L < \bar{L}$ a strmý pokles rozložení vyšších hodnot tloušťek $L > \bar{L}$. Do většiny sloupcovitých diagramů jsou zakresleny křivky normálního rozdělení.

4.1.2. Tvrdost měřená ve výkresem předepsaném místě:

Výsledky těchto měření neobsahují protokoly tištěné mikropočítacem, ale zvláštní tabulka č. 2. Hodnoty HB jsou kombinovány měřením Poldi kladivkem a výpočtem z hodnot M. Můstky mezi válcí 3-4 nebylo možno v některých případech ultrazvukem prozářit /nižší jakost litiny/. Hodnoty Eo i vypočtené hodnoty Rm ze vztahu $Rm = 10^{1,525} \cdot /L/Lu/^{2,606} \cdot M^{0,636}$ [MPa] /4.1./ převzatého z /3/ jsou z důvodů popsaných v kap. 3.1. málo přesné a jen orientační. Sloupcový diagram hodnot tvrdosti měřených v místě předepsaném výkresem předkládá obr. 4-3. Požadované min. tvrdosti 170 HB nedosahuje asi 10% bloků.



Křivka rozložení je asymetrická s pozvolným nárůstem od nízkých hodnot HB.

tab. 3.

	HB	M	Rm / MPa /
\bar{x}	180	43,8	182
Sx	12,5	2,7	19,3
x max.	205	50,3	221
	32139/88	33921/88	33197
x min.	133	33	122
	31288H/88	31288H/88	33423H/88
n	100	100	81

Tabulka 3: statisticky zpracované výsledky měření na dosedaci ploše hláv válců. Vztah mezi tvrdostí HB měřenou podkladívkem a údajem Remagu M na obroběné ploše v místě předepsaném výkresem :
 $HB = 3,92 M + 8,7$ $K = 0,804$ /4.2./

4.1.3. Vypočtená pevnost Rm a tvrdost :

Číselné hodnoty Rm jednotlivých přepážek a stěn výměníků i průměrné hodnoty za jednotlivé bloky obsahují tištěné protokoly /1 - 100/. Výpočty se prováděly dle výrazů /9/, /11/. Sloupcové diagramy rozložení Rm jednotlivých přepážek - obr. 4 - 4A-E. Celková Rm přepážek - obr. 4-4 F. Rozložení Rm stěn výměníků - obr. 4-5. Vypočtená tvrdost HB z hodnot Ms dle /10/ odpovídá reálněji strukturnímu podílu feritu a perlitu v základní kovové hmotě nežli skutečné velikosti tvrdosti HB - obr. 4-6.

A vypočtená tvrdost všech přepážek válců

B vypočtená tvrdost stěny výměníku

tab. 4 Mechanické vlastnosti přepážek a výměníků :



přepážky	1/2	2/3	3/4	4/5	5/6	průměr	výměník
Rm	172	175	178	175	180	176	209
S _R	32	32	32	33	34	32	24
1%/ Rm ≥ 200	26	27	35	30	37	30	80
Rm min.				/33423H/88/	114	131	
Rm max.				/33198/88/	238	316	/31499H/88/
HB /Ms/					194 /37,3/	214	
S _{HB}					16,4	11,2	
HB min. /Ms min./				/33423H/88/	163 /25,3/	164	/31961H/88/
HB máx. /Ms max./				/33703H/88/	229 /50,9/	236	/32901/88/

4.2. Diskuse výsledků:

Uvádí a rozebírá všechny nové poznatky z kterých vyplynou nové skutečnosti a souvislosti pro výrobu /slévárnu/ i pro vývojovou konstrukci,

4.2.1. Charakteristika souboru z hlediska požadavků výkresu:

Síla přepážek válců prakticky ve všech případech vyhovovala. Krajní přepážky /1/2 a 5/6/ jsou o 0,3 - 0,5 mm v průměru tenší než přepážka /3/4/ L ≈ 8,8 mm. Směrodatná odchylka 0,25 mm není velká. Výskyt "tenkých" přepážek /7,4-7,7 mm/ byl ojedinělý a to u bloku 33423H/88, který vynikal rovněž minimálními hodnotami mechanických vlastností. Křivka rozložení četnosti tlouštěk přepážek je nesymetrická /neodpovídá zcela normálnímu rozložení/. Tloušťka stěny výměníku oleje v místě měření Rm vyhovovala ve všech měřených případech. Zato minimální tloušťka stěny celé velké plochy vnější stěny výměníku ve svém průměru /L = 6,9 mm/ nedosahuje tolerančního pásu 8 ± 1 mm /obr. 4-2A/. Směrodatná odchylka 0,64 mm je více než dvojnásobná jak v místě měření Rm. Tloušťky 7 mm nedosahují 45% měřených bloků. Přičinou velkého rozptylu tloušťky je velká plocha vodorovně uloženého /při lití/ jádra výměníku.

Hodnota tvrdosti změřená na dosedací ploše hlav mezi 3. a 4. válcem je dosud jediným předepsaným kritériem pro hodnocení materiálové jakosti odlitrků bloků válců. Její střední hodnota 180 HB leží při dolní hranici tolerance 170-230 HB. Přesto vlivem nízké hodnoty směrodatné odchylky lze považovat za nevyhovující



LIAZ, oborový podnik, Jablonec n.N.
Odbor výv. materiálu a metalurgie

147-3-sk/89

Zpráva
číslo

12.

List
číslo

jen asi 10% odlitrků /obr. 4-3/. Extrém tvoří blok 31288H/88 s tvrdostí pouhých 133 HB!

Nízký rozptyl struktury základní kovové hmoty litiny v hlavové ploše dokresluje hodnota $M = 43,8$ s rozptylem jen 2,7. Pro nedestruktivní měření a tím i hodnocení pevnosti R_m této partie odlitku bude nuto vytvořit rovnoběžné technologické plošky. Pak bude možno provádět objektivní nedestruktivní pozorování výskytu strukturněmechanických vlastností v desce hlavové plochy s tenkými stěnami bloku válců.

Množství feritu ve struktuře přepážek válců vyjádřené vypočtenými hodnotami tvrdosti HB má větší rozsah jak v desce hlav /porovnej tabl. 3 a 4/. Zodpovědně lze odhadnout rozsah mezi extrémy /bloky 33423H/88 a 33703H/88/ asi 70-70% feritu v základní kovové hmotě litiny přepážek válců. Převážně feritická struktura je nevyhovující.

Vypočtené hodnoty HB spadají většinou do tolerance 180 - 240 HB /až na 14% případů/, ale vypočtené hodnoty Rm svým rozsahem překrývají více jak dvě jakostní třídy šedých litin! Proto je třeba materiál odlitků hodnotit veličinou, která zahrnuje vliv základní kovové hmoty i grafitu, jednoduše měřitelnou a co nejvíce se blížící skutečné pevnosti.Rm.

Hladina pevnosti v přepážkách je o 33 MPa nižší jak ve stěně výměníku. Tato skutečnost vyplývá z podmínek krystalizace a chladnutí daných partií - viz. kap. 2.2. Rozložení Rm přepážek je ploché s velkými rozptyly, kdežto rozložení Rm výměníku má ostré maximum s celkově malým rozptylem, ačkoliv je u přepážek podstatně menší vliv subjektivních chyb měření /průměr z 5ti měření/ jak u stěny výměníku /jedno měření z jedné strany stěny/. Relativní rozptyl $\frac{S_R}{R_m} = 0,115$ je podstatně nižší jak u přepážek $\frac{S_R}{R_m} = 0,182$

Pevnosti a směrodatné odchylky R_m jednotlivých přepážek jsou si velmi blízké /tab. 4/. Mezi nejnižší R_m 1/2 přepážky a nejvyšší 5/6 přepážky je rozdíl 8 MPa. Výsledky tohoto výzkumu potvrzují i po deseti letech /obor.úk. OC 551M/ na možnost výskytu dostatečně pevných vnějších stěn odlitku bloku válců a současně motorových přepážek s podstatně nižší pevností jak standartní hodnota $R_m = 200$ MPa /viz. kap. 2.2./.



4.2.2. Dvourozměrné vyjádření struktury

Na obr. 4. - 7. jsou vyneseny v souřadnicích /Ms, Eo/ výsledky průměrných hodnot přepážek válců a hodnoty změřené na stěnách výměníků /100 ks bloků/ - označeny zeleně. V rovině jsou zakresleny izopevnostní čáry rovnice /11/.

Množiny koncových bodů strukturálních "vektorů" /Ms, Eo/ výměníků a přepážek válců mají odlišný tvar, který specifikují statistické veličiny v tabulce na obr. 4.-7. Extrémním polohám bodů jsou přiřazeny výrobní čísla bloků.

Osa štíhlé množiny /vysoká hodnota K/ bodů přepážek válců je téměř kolmá na tečnu k izopevnostní čáře / $\alpha = 92^\circ$ /. V takovém případě se výrobní rozptyl /nerovnoměrnost/ v množství feritu a množství morfologii grafitu projeví maximálními rozdíly v Rm stěn odlitků.

Množina zelených bodů /stěny výměníků/ nemá výrazný směr uspořádání /hodnota K → 0/. Rozptyl množství feritu v základní kovové hmotě je menší než u přepážek / $S_{MV} < S_{MP}$ /, ale rozptyl grafitické části struktury je stejný / $S_{EV} \approx S_{EP} = 7$ / . Rozptyl zde ale výrazně zvětšuje extrémní polohy struktury výměníků s vysokou hodnotou Eo /blok 31499H/ a nebo extrémní hodnotou Ms /blok 31961H/. Vysoká hodnota Eo /160 GPa/ souvisí pravděpodobně s vysokým obsahem volného cementitu ve struktuře. Nízké hodnoty M výměníku, nižší než v přepážkách téhož bloku, by mohly souviset s vyžiháním /přehřátím/ bloku, při jeho předehřevu před opravami navařováním. Ze vzájemné polohy středních množin vyplývá, že rozdíl v Rm výměníku a přepážek je dán především rozdílem množství feritu ve struktuře a méně různou morfologii grafitu. U přepážek válců jsou extrémně nízké hodnoty Ms /malé množství perlitu/ vždy spojeny s extrémně nízkými hodnotami Eo /nepříznivá morfologie grafitu/. Na nízké úrovni se tak podílí většinou metalurgické a zpracování a chem. složení kovu před odlitím.

Další upřesnění souvislosti nedestruktivně měřených veličin a strukturňomechanických vlastností /upřesnění plochy izopevnostních čar ap./ umožní destruktivní zkoušky přepážek a výměníků bloků s extrémními vlastnostmi, které byly /č. 33423H, 31288H, 30947H/ vyzmetkovány a uskladněny.

Na obr. 4.-8. je porovnána jejich struktura s dalšími odlity bloků po provozu /č. 13/88/ z nízkolegované litiny M 2.4 - 3/87/ a se zhoršenou obrobitevností /16487/88/.



Uvedené bloky válců byly změřeny ve všech kontrolních místech dle kap. 3.1 a obr. 1. Číselné výsledky obsahují protokoly z počítače.

Vnější stěny odlitrků bloků válců mají vždy vyšší pevnost Rm. U odlitrků s nejnižší hladinou Rm v přepážkách tento rozdíl činí jednu jakostní třídu šedé litiny /50 MPa/. Vyjimku tvoří blok 16487/88 vyřazený na obrábění lince pro zhoršenou obrobitevnost. Nejvyšší hodnot Rm zde dosahují přepážky ložisek. Extrémní poloha struktury výměníku souvisí asi s vysokým obsahem volného $\text{Ca}_2\text{Si}_2\text{O}_5$ cementitu. Výskyt volného cementitu ve stěně výměníku lze očekávat i u bloku 30947H/88 /lze potlačit vhodným očkováním a chem. složením/.

Směrnice os množin strukturních vektorů má jen malý rozdílový úhel / α / od směrnice tečny izopevnostní čáry bloku

Blok :	3/87	16487	13/83	33423	31288	30947
$10^2 \cdot S_R / R_m$	3,4	15,7	11	19,4	14,9	18,6
α	18	90	76	68	112	60

jen u bloku z nízkolegované šedé litiny. Ostatní bloky mají tento úhel značně větší - nevýhodnější /viz. tab. č. 5/. Rozptyl S_M , S_E strukturních vlastností jsou u nízkolegovaného bloku podstatně nižší. Celkově pak vychází poměrný rozptyl pevnosti Rm bloku 3/87 více jak pětkrát menší jak u bloku sériově vyráběných. Jednoznačně kvantitativní závěry o účinnosti legování na příznivé strukturní vlastnosti bloku bude možno ale učinit až po proměření většího množství bloků M 2.4.

Z obr. 4.-8. rovněž plyne, že na velkém rozptylu Rm se podílí rozptyl především obsahu feritu ve struktuře bloků 31288H a 30937H/mimo výměník/ /A > 1 viz. obr. 8.-4./. Blok 33423H s nejnižší hladinou Rm má vysoký rozptyl obsahu feritu i morfologie grafitu /Eo/ - přepážky ložisek.

4.2.3. Časová posloupnost materiálové kvality odlitrků bloků válců:

Odlitky bloků válců se označují výrobním číslem a letopočtem výroby. Doplňujícím údajem je písmeno H, které označuje určitou směnu ve výrobě /LIAZ 04/.

Odlitky směny H se vyznačují v průměru o 12 MPa nižší hodnotou pevnosti při prakticky stejném rozptylu. Z obr. 4.-7. plyne že většina odlitrků s nejnižší hladinou Rm v přepážkách přísluší směně H. Rovněž extrémní polohy struktury výměníku přísluší odlitrkům s označením H.



Dle kontrolních záznamů ve slévárně LIAZ se na výrobě odlitků bloků /tavirna/ podílely ale tři směny :

směna	ks	Rm /MPa/	S _R	S/R
H	57	169,5	30,8	0,18
T	29	181,6	32,7	0,18
W	14	186,5	31,9	0,17

Při téměř stejném ž rozptylu pevnosti dosahuje nejvyšších průměrných hodnot pevnosti v přepážkách válců směna označení W.

Představa o časové posloupnosti /vývoji/ materiálové kvality odlitků bloků dává obr. 4.-9. Počáteční fáze výroby s odstaveným předpečím se vyznačuje podprůměrnou úrovni Rm. Ve výrobě bylo nutno zvládnout základní metalurgický postup přípravy litiny, což se patrně projevilo nízkou kvalitou materiálu. Při celkem nízké hladině obsahu perlitu ve struktuře přepážek kolisala morfologie grafitu. Výrobní čísla > 32000 bloků dosahují nadprůměrných hodnot ovšem se značným rozptylem - široký pás výskytu Rm. Interval výrobních čísel 33500 až 34050 je spojen se stabilně nadprůměrnou úrovni Rm přepážek. Poslední období r. 1988 je char. poklesem úrovně Rm k průměru a zvětšením rozptylu. Po novém roce 1989 má úroveň Rm nadprůměrnou hodnotu, až na dva odlitky 663 a 669 z 9.1.

Pro výrobní praxi zpětnou vazbu k výrobě důležité je promítat uvedenou posloupnost do denního rozpisu výroby bloků /obr. 4.-9./. Přes náhodný výběr odlitků se podařilo několikrát změřit 3 až 5 bloků z jedné směny. V těchto případech byly na obr. 4-9 naměřené hodnoty propojeny čarou. Rovněž se podařilo změřit několik bloků odlitých jako první, nebo poslední ve směně /dny/. Blok zakreslený v poloze 30000 může ležet v toleranci 30000 - 30099 /označen otazníkem/, neboť jeho poslední dvě místa nebyla čitelná.

Z osmi směn označení H mají čtyři monotónně klesající hladinu Rm /viz. obr. 4-9, dny 21.11, 1.12, 2.12, 9.1./ s rozdílem až 75 MPa. Ve zbývajících dnech je průběh Rm střídavý /např. 8.12./. Kolisání kvality může být rychlé. Např. bloky 653H a 663H byly odlitky během půlhodiny /9.1. - 11.40, 12.10 - tab. 2/. Pokles Rm v přepážkách o 61 MPa zde souvisí i s růstem Ceq z 3,82 na 4,08 a obsahu Si z 1,85 na 2,24. Na Rm výměníku se tato změna projevila nepodstatně /viz. tab. 7/. 17.12. byly zachyceny 3 bloky s vysokou pevností přepážek a jeden s nižší, přitom Ceq měly všechny velmi blízké hodnoty. Interval odlití mezi bloky 33670 a 33618 byl 15 min. při rozdílu Rm 48 MPa /viz. tab. 7/.



Bloky 34166, 34313, 119 byly vždy odlity jako první v ranní směně W. Pevnosti 122, 126 a 114 MPa však také znamenaly minimální hodnoty bloků směn s označením W. Vysoký Ceq a nejvyšší obsah Si charakteristický bloku č. 34166. Blok 119/89 měl Rm = 189.

Blok odlity jako poslední ve směně - odpolední byl změřen pouze jeden - č. 32497H, Rm = 164. Blok odlity jako předposlední v dopolednej směně 32852 měl podprůměrnou hodnotu pevnosti v přepážkách /147 MPa/.

Výskyt většího množství bloků s nízkou hladinou Rm přep. můžeme předpokládat v intervalech mezi výrobními čísly kontrolovaných odlitek z 21.11, 1.12, 9.1. /663 - 669/.

4.2.4. Chemické složení a materiálová jakost:

Vybraný soubor odlitek bloků s nízkou hladinou Rm v přepážkách a odlitky jinak zajímavé jsou charakterizovány v tab. 7 chemickým složením a výškou zákalky klinkové zkoušky. Údaje převzaty z kontrolních záznamů závodu 04.

Již první pohled na hodnoty Ceq a Rm přepážek ukazuje, že přepážkám s nízkou hladinou Rm přísluší Ceq > 4. Tzn. vysoký obsah C a Si /zde je překročena horní mez Si u bloku 32821 a 34166/. Nejvyšší hladině Rm přepážek přísluší nižší Ceq a maximální obsahy Mn. Extrémně nízký Ceq /obsah Si = 1,40%/ vysvětluje výskyt volného cementitu ve stěně výměníku bloku 16477. Chemické složení ale nevysvětluje extrémně vysokou pevnost výměníku 31499H a naopak její nejnižší hodnotu bloku 31961H /zde je dominující feritická základová hmota - viz. obr. 4-7/. Ceq totiž reprezentuje hlavně množství grafitu ve struktuře. Pro bloky motorů je doporučeno tolerance Ceq = 3,98 - 3,82. Bloky 32761 a 33599, 30902 a 33020, 31499H a 33921 mají rozdílný jakostní poměr C/Si 1,7 a 1,94, mají střední hodnoty Ceq = 3,94 a nepříliš rozdílné obsahy prvků, avšak podstatně rozdílné hodnoty Rm /viz. obr. 4-10/. Ačkoliv ze statistického rozboru - tab. č. 7 - vyplýne závislost /bez č. 16487/. Rmp = 2203 - 515,3 Ceq K = -0,817 /4.3/

je z jejího grafického vyjádření a předešlého porovnání bloků se stejným Ceq zřejmý vliv dalších faktorů na velikost Rm v přepážkách bloků /Rmp/, např. teplota lití a očkování, suroviny aj..



Regresní analýza dalších vztahů /započten i blok 16487/

R _{MV} = f /CE/	K = -0,67
R _{Mp} = f /CE/	K = -0,8
R _{Mp} = f /Z/	K = 0,64
R _{MV} = f /Z/	K = 0,43
HB = f /CE/	K = -0,712
HB = f /Z/	K = 0,24
E _O = f /CE/	K = -0,82

ukazuje na menší vliv Ceq na pevnost ve výměníku R_{MV} a tvrdost ve výkresem předepsaném mistě. Souvislost mezi mech. vlast. v odlitku a výškou zákalky daného souboru je slabá /zvláště k HB/. Logicky nejtěsnější závislost je mezi CE a E_O, protože obě veličiny nejvíce souvisí s množstvím grafitu v litině.

4.3. Shrnutí:

Nedestruktivní kontrola materiálové jakosti 100 ks odlitků bloků motorů prováděná během metalurgické výroby bez indukčního velkoobjemového předpecí PIKS umožnilo formulovat tyto základní poznatky:

Výskyt odlitků s nízkou hladinou R_m v přepážkách válců souvisí nejen s vysokými hodnotami uhlikového equivalentu /Ceq>4/, ale i s ostatními podmínkami metalurgické výroby /príprava kovu/ zejména při Ceq≤4.

V rámci sledovaného souboru odlitků kolisaly hodnoty R_m přepážek válců v rozsahu více jak dvou jakostních tříd šedé litiny /100 MPa/.

Pevnost vnější stěny odlitku /výměník/ může být zejména u odlitků s nízkou hladinou R_m přepážek vyšší i o více než o jakostní třídu šedé litiny jak v přepážce válců. Z hodnot tvrdosti HB změřené na výkresem předepsaném mistě nelze spolehlivě usuzovat na kolisání strukturálněmechanických vlastností ve stěnách odlitků /zejména vnitřních/.

Výskyt odlitků s extrémně nízkou hladinou R_m v přepážkách může mimo jiné také souviset s počátečním údobím výroby bez předpecí a s prvními a posledními bloky odlitými v pracovních dnech.

Rozdíly mezi pevnostmi jednotlivých přepážek válců jsou minimální.

Rozptyl strukturálněmechanických vlastností vnitřních stěn /přepážek/ odlitků je vyšší /zejména v základní kovové hmotě/ jako rozptyl vlastnosti stěn výměníku /souboru 100 bloků/.



Měření tloušťky stěn přepážek byly vždy v toleranci předepsané výkresem. Minimální tloušťka stěn výměníků většinou nedosahovala 7 mm/ vždy ale > 5,5 mm/.

Na základě dříve uvedených poznatků doporučujeme :

Na výkrese bloku motoru předepsat v přepážkách válců místo pro nedestruktivní hodnocení jakosti materiálu ultrazvukovým tloušťkoměrem, Remagem.

Praktické používání nedestruktivní kontroly materiálu bloků v kontrole kvality litiny /bloků/ v provozu LIAZ 040. Za tím účelem bude doplněna návodka operace 04 - 9 - 23 "Zkouška vlastnosti materiálu v odlitku metodou měření remanentní magnetizace" a nové poznatky a vypracována návodka na "Zkoušení vlastnosti materiálu v odlitku měřením rychlosti zvuku ultrazvukovým tloušťkoměrem".

Nedestruktivní kontrolu zaměřit na odlitky odlité z litiny, která překročila hodnotu Ceq dovolenou horní hranici /> 4/, na odlitky lité v počátečním období odstávky předpecí. Statistická kontrola se může v počátečním období provádět jen ultrazvukem nebo Remagem. Hodnoty Eo a Ms až na vyjimky poměrně dobře korelují s Rm stěn odlitků v litém stavu.

Umožnit rozřezání bloků vyřazených pro nízké mechan. vlastnosti, blok M 2.4, aby bylo možno ze získaných trhacích tyčí upřesnit výrazy /10/, /11/ pro nedestruktivní stanovení Rm, HB /práce v dílně vývoje motorů, nebo pracoviště v záv. 04/.

Provést rovnocenné měření na stejně četném souboru odlitků bloků během provozu předpecí PIKS.

Uskutečnit brzdovou zkoušku motoru s blokem s extrémně nízkou hladinou Rm v přepážkách válců. Bude možno kvantifikovat vliv na užitné vlastnosti motoru a posoudit oprávněnost zvyšování jakosti materiálu a jeho nedestruktivní kontroly.

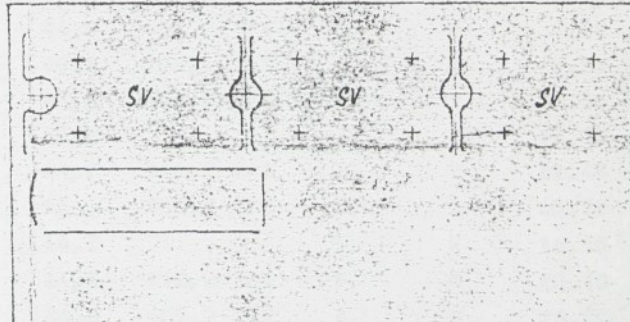
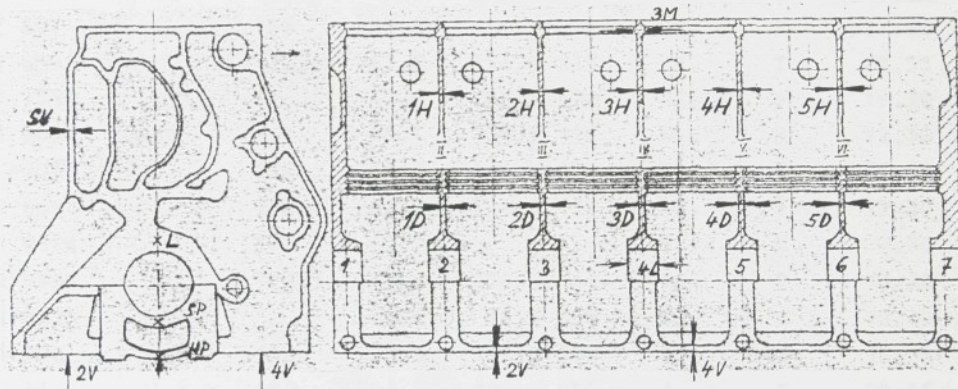


Literatura

- [1] LIAZ 04: Zpráva o průběhu řešení technologie velkosériové výroby bloků válců o váze do 400 kg za rok 1977, oborový úkol OC 406, Liberec 1978
- [2] Šlajš Jan: Stúdie utvárení mech. vlastností nelegované šedé litiny v tenkostenných odlitcích při různých podmínkách plnění dutiny formy, záv. práce postgraduálního studia na VUT Brno
- [3] Skrbek Břetislav: Nedestruktivní materiálová diagnostika litinových odlitek, kandidátská disertační práce, Jablonec 88
- [4] Skrbek: Kontrola odlitek motorů LIAZ ze šedé litiny při strojem Remag 1, zpráva 144-3-Sk/84 LIAZ
- [5] Skrbek: Nedestruktivní určování pevnostních vlastností složitých odlitek, záv. zpráva úkolu M1-1-85/C LIAZ
- [6] Nedestruktivní stanovení dynamických vlastností litin, záv. zpráva úkolu M1-1-87/a
- [7] Jindra Pavel: Práce na řešení úkolu „Propadání můstku motoru M1“ č. 43/87, dílčí zpráva za r. 1987
- [8] Exner, Linka, Čech: Výzkum a vývoj vlastností šedých litin pro dynamicky namáhané automobilní odlitky, oborový úkol ČAZ č. OC 551M, závěrečná zpráva prosinec 1980
- [9] Skrbek, Lajtkep: Přípravek na pevnostní zkoušku litiny, řešení TÚ 10-33/86 s. p. LIAZ

MÍSTA NEDESTRUKTIVNÍ KONTROLY MATERIÁLU BLOKŮ MOTORŮ LIAZ

- 1 - 5H Horní přepážky
- 1 - 5D Dolní ložiskové přepážky
- 1 - 5M Můstky mezi válci
- 1 - 7L Ložiska klikového hřídele
- SV Stěna výměníku tepla oleje, hledání nejslabší stěny
- 2, 4 V Vanová plocha
- 1 - 7SP Spodní pásnice víka ložiska
- 1 - 7HP Horní pásnice víka ložiska



Tab. 2 Měření na dosedací ploše hlav válců po hrubování v záv. 04

č. bloku	HB Poldi	HB výpočet	M Remag	E _o [GPa]	Rm [MPa]	Den	Směna	Čas
30 902/88		175,7	42,6			21.11.	H	16.30
30 933	154,6		36,8			21.	H	20.10
30 947H	152,6		39,4			21.	H	21.30
31 020		164,7	39,8	104,4	158	22.	H	17.50
31 066	175		43,6	103	165	23.	T	8.35
31 101		187	45,6	97,7	158	23.	T	12.25
31 153H		172	41,6	103	160	23.	H	19.30
31 235		163	39,3			24.	T	12.40
31 288H	133		33			24.	H	18.40
31 356	153		41,8	121,4	199	25.	T	10.00
31 463H	166,7		40,6	105,2	162	25.	H	20.00
31 409H		181,5	44,1	115,1	192	28.	H	9.40
31 577		188	45,8			28.	T	17.20
31 609		172,6	41,8	114,8	185	28.	T	20.55
31 753		196,5	47,9	103,5	176	29.	T	19.30
31 808H	186		46,5	115,7	199	30.	H	12.30
31N837		180	43,8	116,3	193	30.	T	15.35
31 864		180	43,8	106,6	173	30.	T	19.30
31 931H		177	43			1.12	H	9.20
31 946H		172,5	41,8	106,4	167	1.	H	10.20
31 961H	165,7		42,2	98,3	152	1.	H	12.20
31 992		180	43,8	119,3	200	1.	T	15.15
32 049		182	44,3	115,7	193	1.	T	20.55
32 068		181,2	44,0	107	174	2.	H	8.00
32 076	190,2		40,8	104,4	161	2.	H	8.55
32 139	205,3		47,8	102,7	174	2.	T	15.50
32 157		188,2	45,8			2.	T	17.05
32 207	201,5		44,7	114,2	191	2.	T	20.45
32 239		177	43	108,1	174	5.	T	10.25
32 279		182	46,2			5.	H	16.10
32 320H	197,9		44,3	112,2	186	5.	H	20.10
34 448		184,3	44,8	105,2	172	6.	H	16.50
32 497H	176,1		42,3			6.	H	21.20
32 534	179,2		45,5	118,7	203	7.	W	10.40
32 508H		172	43,7	103,8	166	7.	H	18.40
32 583H	190,7		46,8	114,5	198	7.	H	15.30
32 623H		183	44,5	103,5	168	7.	H	20.20
32 633H	165		36,2	96,6	134	7.	H	21.00

Pokračování tab. 2.

32 707H		179	43,5	101,9	162	8.	H	15.15
32 735H		189	46			8.	H	17.30
32 745H		181	44	120	203	8.	H	19.00
32 761H		174	42,2	104,4	164	8.	H	20.05
32 778H		178	43,2	105,5	169	8.	H	20.10
32 821	159,4		40,3			9.	T	11.00
32 852		184	44,8			9.	T	14.00
32 895H	192,8		47,5			9.	H	19.35
32 901	199		48,5			9.	H	20.05
32 942H	179,2		43,5	103,3	165	12.	H	9.50
32 952H	184,4		43,3	119,6	199	13.	H	9.20
32 985H		185	45	114,5	193	13.	H	9.50
33 00xx	188,6		44,5	103,8	168		W	
33 018H		192,5	46,9	114,3	197	13.	H	13.10
33 020H		185	44,9	125,4	217	13.	H	13.55
33 071		185	45			13.	T	20.30
33 112H		184	44,8	125,6	214,3	14.		9.10
33 197		184	44,8	127,6	221	14.	T	17.20
33 224	193,3		49,3			14.	T	20.00
33 272H	153,2		43,4			15.	H	9.05
33 328H		187	45,5	105,8	175	15.	H	14.15
33 389		189	46	112,5	190,9	15.	T	19.35
33 423H	146,9		38,3	86,3	122	16.	H	8.40
33 509	188,6		43,8	125,8	214	16.	T	15.50
33 599	187,6		45,4	110,9	186	17.	W	1.35
33 670		185	45	125,7	218	17.	T	7.25
33 678		171,8	41,6	129	195	17.	T	7.40
33 703	200		57,6	110,7	191	17.	T	10.10
33 723		187	45,5	111,9	188	17.	T	12.05
33 786		182	44	116	193	19.	W	14.00
33 809		198,5	48,4	110,7	193	19.	H	16.15
33 841	192		46,8	121,4	213	19.	H	19.40
33 882		186	45,2	112,8	189	20.	T	9.10
33 921	200		50,3	108,1	192	20.	T	13.20
33 935H		188	45,8	112,2	190	20.	H	15.00
33 942H		186	45,2	120,5	207	20.	H	15.20
33 961		185	45	105,2	173	20.	H	17.10
34 045		187	45,4	125,7	219	21.	W	9.50
34 109		178,4	43,3	99,1	156	21.	H	16.20
34 166	158,4		41,5	106,4	166	22.	W	7.20

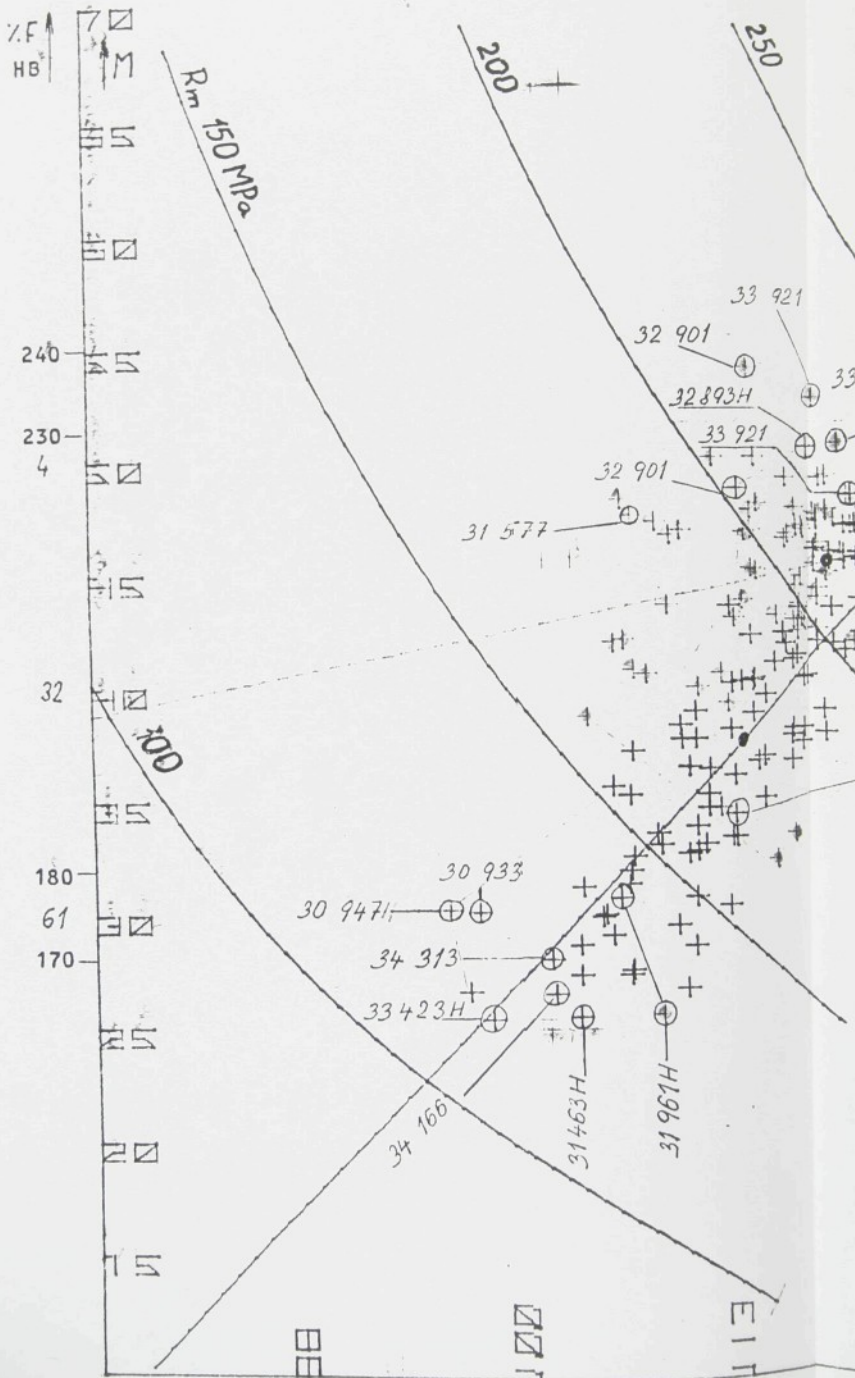
Pokračování tabulky 2

34 203	188,6	45,2	113	190	22.12.	W	11.50
34 267H	182	44,2	109,8	180	22.	H	17.05
34 313	176,1	41,7	103,3	160	23.	W	7.10
34 413H	169,8	43,6	113,9	188	23.	H	17.20
34 581H	183	44,4	112,2	186	28.	H	7.30
34 629H	175,3	42,4	122,4	203	28.	H	11.00
34 843	186	45,2	106,6	176	29.	T	20.15
34 934	187,5	45,6	102,7	169	30.	T	16.45
15 1989	190	46,2	113	193	2.1.89	W	10.35
119	174	43,5	110,4	180	3.	W	7.30
181H	174	42,2	113	182	3.	H	16.40
249	194,8	44,2	112,2	184	4.	W	11.45
341H	172	41,6	99,1	152	4.	H	20.20
419	200	49	108,4	189	5.	W	14.00
447H	174	42,2	120	196	5.	H	19.30
484	178	43,1	110,4	179	6.	W	8.50
585H	178	43,3	116	191	6.	H	19.00
592	175	42,5	110	177	6.	H	19.50
653H	188,6	40,3	114,5	180	9.	H	11.40
663H	176	40,7	110,4	172	9.	H	12.10
669H	164	39,2	97,7	144	9.	H	12.50
738	180,3	42,9	113,3	184	9.	W	20.10

Jílka č. 7

loku	z	klinek	C _{eq}	C	Mn	Si	P	S	Přepážky Rm	Výměník Rm
702	5		3,93	3,47	0,71	1,68	0,128	0,086	137	197
733	4		4,08	<u>3,51</u>	0,76	1,86	0,151	0,078	124	168
747H	2		4,08	3,5	0,9	2,01	0,157	0,082	121	186
288H	6		4,03	3,46	0,66	1,9	0,138	0,07	131	168
463H	4		4,01	3,5	0,64	1,79	0,125	0,074	123	180
321	3		3,98	3,34	0,89	<u>2,35</u>	0,137	0,079	133	170
423H	2		4,13	3,48	0,77	2,28	0,164	0,087	114	157
166	2		4,06	3,36	0,88	<u>2,4</u>	0,15	0,074	122	201
513	2		3,97	3,39	<u>0,91</u>	2,05	0,133	0,076	126	211
563H	3		4,07	3,42	0,75	2,24	0,125	0,075	128	191
569H	3		4,07	3,42	0,75	2,24	0,175	0,075	114	212
534	3		3,9	3,32	<u>0,95</u>	1,97	0,139	0,082	220	213
118H	5		3,94	3,36	0,8	1,7	0,162	0,071	231	243
120	3		3,93	3,39	0,8	<u>1,66</u>	0,180	0,074	225	242
197	12		3,78	3,28	0,9	1,72	0,146	0,083	238	214
570	6		3,77	3,28	<u>0,93</u>	1,89	0,146	0,083	231	247
703	7		3,76	3,22	<u>0,95</u>	1,76	0,144	0,086	235	226
721	7		3,93	3,35	<u>0,96</u>	1,99	0,147	0,074	222	227
15	5		3,89	3,36	0,79	1,98	0,134	0,074	216	242
592H	6		3,83	3,32	0,63	1,79	0,113	0,075	219	209
487	10		3,65	3,21	0,68	<u>1,4</u>	0,117	0,058	222	354
499H	4		3,94	3,42	0,68	1,76	0,123	0,081	165	316
761H	4		4,03	3,4	0,74	1,93	0,113	0,073	141	131
553H	5		3,82	3,26	0,74	1,85	0,125	0,084	189	221
578	5		3,80	3,24	<u>0,95</u>	1,96	0,142	0,083	183	237
761	4		3,93	3,34	0,8	1,96	0,127	0,094	144	188
599	5		3,92	3,41	0,87	1,76	0,144	0,077	211	230
149	6		3,78	3,25	0,8	1,81	0,125	0,08	210	221
745H	5		3,82	3,32	0,81	1,71	0,133	0,101	217	210
497	5		4,03	3,49	0,79	1,73	0,127	0,076	164	213

Obr. 4 - 7



NEDESTRUKTIVNI MERENI BLOKU MOTOKRUZ

WE O MOTORU

33423H/88

:um: 28.12.1988 (Probeh km: 4km=0hod

181ok - e,odlitku;334234/88

beh had: thad=50km

i.e., motor vehicle

vvozovatel: 1

Hyp/proved.: I

HODNOTY PREPAZEK									
Preparazek	M1	M2	T	Iu	Ns	E0*10 ³	Rm	HB	GB
c.				mm	mm		MPa		
1/2	30	30,7	8,45	11,8	26,1	98,3	116	165	
2/3	29,1	29	8,4	11,6	25,3	100,5	118	165	
3/4	28,9	28,2	8,7	12,4	24,8	94,3	106	162	
4/5	28,9	28,9	8,4	11,7	24,8	98,8	114	162	
5/6	31,6	27,6	8,45	11,8	25,5	98,3	114	164	
Preparazek vana2	43,4	11,8	15,8	40,9	106,9	170,5			
lozisek	4	44,8	10	14	40,7	97,9	148		
c.	výměna	47,4	7,5	10,2	38,5	103,5	157		
Prumerne hodnoty preparazek valcu:				25,3	98		114	163	
Prumerne hodnoty preparazek lozisek:				26,1	96		106	170	

s: M...merení remagem z jedné strany

M2...mereni remagem z druhé strany

1...tloušťka steny merena posuv. meritkem

lw., tloušťka naměřena ultrazvukem

Ms., *tertiary remanent magnetism*

$$M=1/(81\pi^{1/2} \cdot 9^{1/2}) = M=(1+12)/2$$

Eg. - pocatek výroby pruznosti Eg=(1/1)*457,79 = 2

Если предположить, что в 1990 г. в мире было 1000 единиц производимой продукции, то в 1991 г. ее производство выросло на 10%, а в 1992 г. — на 12%.

BB - tyčedost v Brně letech 1982-57 klist93-1

LIAZ, státní podnik
odbor vývoje materiálu a metalurgie
Jablonec nad Nisou

V ý z k u m n á z p r á v a

Statistická kontrola materiálu bloků motorů M 1 A

č. 176 - 4 - Sk/90

Úkol RVT : H 05 - 124 - 886 : Vývoj a osvojení komplexní nedestruk-
tivní materiálové diagnostiky litinových odlitků v podmírkách LIAZ.

Hlavní řešitel : Ing. Břetislav Skrbek, CSc

Vedoucí odboru : Ing. Jaroslav Exner, CSc

V Jablonci n/N duben 1990



O b s a h zprávy :

1.4 Úvod	1
1.1. Použité symboly	1A
1.2. Strukturně mechanické vlastnosti předepsané výkresem	2
2. Současný stav poznatků	2
2.1. Metalografický rozbor	3
2.2. Mechanické vlastnosti	4
2.3. Výsledky materiálového rozboru	4
3. Technika experimentu	5
3.1. Místa měření	5
3.2. Metody a přístroje	7
4. Vlastnosti odlitků bloků válců /předpecí PIKS v provozu/	
4.1. Přehled výsledků	9
4.1.1. Tloušťky stěn	9
4.1.2. Tvrdost měřená na výkrese předepsaném místě	9
4.1.3. Vypočtené hodnoty pevnosti v tahu Rm přepážek válců a stěny výměníku	11
4.2. Diskuse výsledků	12
4.2.1. Char. souborů 1 a 2 z hlediska předpisů na výkrese	12
4.2.2. Char. odlitků z nízkoleg. litiny z hlediska předpisu na výkrese	14
4.2.3. Dvourozměrné vyjádření struktury	16
4.2.4. Časová posloupnost materiálové kvality bloků válců	17
4.2.5. Chemické složení a materiálová jakost	18
5. Porovnání výsledků kontroly z období odstávky předpecí PIKS a z období běžné výroby	19
6. Závěry a návrhy na opatření	21
Příloha tabulek a obrázků	
Literatura	
Protokoly bloků	



1. Úvod :

Blok válců tvoří základní nosnou součást motorů vyráběných v s.p. LIAZ. Je to typický, složitý, relativně tenkostěnný odlitek se složitými krystalizačními poměry při tuhnutí ve formě. Proto na mechanické vlastnosti jednotlivých partií odlitku bloku nelze usuzovat na základě tloušťky stěny a z informativních hodnot tabulek příslušných materiálových listů ČSN 422420.

Tato zpráva obsahově navazuje na zprávu 147-3-Sk/89, která se zabývala rozbořem materiálové kvality odlitků bloků motorů /na bázi nepřímého nedestruktivního měření/ odlitých během odstávky /opravy/ velkoobjemového předpecí PIKS ve slévárně LIAZ 04.

Nová zpráva předkládá rozbor materiálové kvality bloků motorů odlitých převážně ve třetím čtvrtletí roku 1989 za provozu předpecí PIKS.

Statě o současném stavu poznatků a o místech a principech měření jsou podstatně zkráceny, neboť by se se zprávou 147-3-Sk/90 opakovaly.

V rámci diskuse výsledků jsou uvedeny výsledky měření na souboru 5 odlitků bloků válců motoru M 3 a bloku M 1 A odlitého z nízkolegované šedé litiny.

Výsledky všech provedených měření neodpovídají vždy výkresovým požadavkům, protože bylo snahou podchytit případné odchylinky vlastnosti i v jiných partiích než jsou výkresem stanoveny. Provedená měření tedy mají charakter statistického zhodnocení kvality bloků ve vazbě na běžně kontrolovatelné vlastnosti /tvrdost na výkresem stanoveném místě/ a hodnoty kvality litiny dle materiálového listu. Závěry této práce rozšiřují dosavadní znalosti o skutečné reprodukovatelnosti vlastností bloků při hromadné výrobě a doplňuje výsledky nedestruktivního hodnocení obdobných odlitků v rámci vývoje a ověřování obdobných odlitků pro vývoj motorů.

1.2. Výkresem předepsané strukturně mechanické vlastnosti

Číslo výkresu odlitku bloku válců : 442 1 1002 013 5

Materiál : ČSN 422420

Jednotlivé body podmínek stanovených výkresem, které se týkají materiálu :



1. Chemické složení : C Mn Si P S
% : 3,2-3,5 0,5-0,9 1,7-2,3 ≤ 0,3 ≤ 0,12
3. Tvrnost 170 - 230 HB měřená dle ČSN 420371
Tvrnost měřena na 5% odlitků, zkouška pevnosti v tahu z každé tavby, chemické složení 2x z tavby.
6. Odlitek řízeně chlazen ve formě po dobu 160 min. Při kratší době chlazení žihání na ostranění pnutí.
9. Struktura : min. 80% perlitu, max. 15% feritu u stěn 6-15 mm, v ostatních stěnách uvnitř odlitků je min. 65% P a max. 30% feritu. Termární fosfid. eutektikum vyloučeno v jednotlivých útvarech ve stěnách 6 - 16 mm. Tepelné uzly obsahují max. nesouvislé síťoví. Opravy zavařováním za tepla povoleny ve vyznačených místech.

Blok motorů M 3 : č.v. 61 - 2 - 6130, mat. 422425, šedá

Litina legovaná Cr 0,25 - 0,35 Cu 0,15 - 0,25 Ni 0,15 - 0,25.

Z podmínek na výkrese :

7. Zkoušky pevnosti, tvrdosti, struktury a remanentní magnetizace provést na vnitřních přepážkách válců, ložiskových přepážkách a vnějších stěnách kontrolního odlitku. Po destrukci, t.j. na 1 a každém 10 u prvních 100 kusů a dále na každém 50 kuse. Přepážky válců $R_m > 200 \text{ MPa}$, 180 - 230 HB, obsah feritu ≤ 20% Přepážky ložisek $R_m > 220 \text{ MPa}$, 180 - 230 HB, obsah feritu ≤ 20% Tvrnost ve výkresem předepsaném místě /hlavová plocha/ : 180 - 240 HB

2. Současný stav poznatků :

Dosavadní stav poznatků /výtah ze zprávy 147-3-Sk/90/ o struktuře a mechanických vlastnostech čerpá ze zprávy [1], [2] a [8] : Blok válců je odléván naležato s vtoky, které ústi v partií hlavové posedací plochy. Vnitřními přepážkami proudí kov 24 - 30 s. Naposledy se naplní kovem stěna výměníku tepla oleje a příslušná část dosedací plochy vany. Vnější tenké stěny dosahovaly při $L = 7 \text{ mm}$ hodnot R_m až 240 MPa, zatímco R_m motorových přepážek byly zpravidla nižší jak standartní hodnota R_m 200 MPa /tvrdešť i jen 140 HB/. Vzorky pro zkoušky pevnosti v tahu byly získány destruktivně z několika odlitků bloků válců.

Dosud nebyla provedena statistická kontrola mechan. vlastnosti rozsáhlého souboru odlitků bloků vyrobených za normálních výrobních podmínek, ačkoliv by to řešení některých problémů

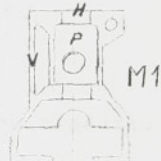
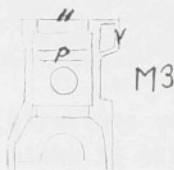


kvality motoru vyžadovalo.

Z provedeného nepřímého nedestruktivního měření mech. vlastnosti /soubor 100 odlitků/ bloků válců během odstávky předpeci PIKS ve slévárně LIAZ plynou střední hodnoty $\overline{R_m}$ v přepážkách válců 176 MPa s extrémy $R_m < 114, 238 >$ a hodnoty tvrdosti v místě měření, které předepisuje výkres $\overline{HB} = 180 \pm 33$,

209) Podle získaných hodnot nedestruktivního měření reprezentuje odlitek bloku 33423 H/88 dolní extrém strukturně mechanických vlastností a odlitek bloku M 3 /č.v. 61-2-6130, model M 3828, 1/89/ reprezentuje odlitek z nízkolegované šedé litiny - perspektivního materiálu pro bloky a hlavy nových typů motorů.

Vzorky bylo možno odebrat z odlitků pouze odvrácením ruční vrtačkou. Proto byla velikost odebraných vzorků omezená:



2.1. Metalografický rozbor předkládá tabulka č. 1 :

Blok	M 1A	M 33423 H/88	M 3	1/89
Místo	Grafit	Zákl.kov.hmota	Grafit	Zákl.kov.hmota
hlavová plocha H	GIA, vel. 250 μm um náznaky růž. perlit lam. rozložení	30-40% feritu um hrubý	GIA, vel. 125 μm meridendr. a růžic. rozložení	do 5% feritu perlit lam. stř. jemný
přepážky válců P	GI, max. 150 μm um, růžic. rozložení	ferit 85-95%	GI, vel. 186 μm , meziden. obl, meziden. přechlaz. grafit	perlit, v um, meziden. obl, meziden. přechlaz. drit. G ferit do 10%
vnější stěna bloku V	GI, max. 87 μm meziden.a růžic.vylou- čení	perlit 100% lamelár., stř. jemný	GI, max. 186 μm růžice, mezidendr. vyloučení	perlit 100% lamelár., jemný



LIAZ, oborový podnik, Jablonec nad Nisou
Odbor výv. materiálu a metalurgie

176-4-SK/90

Zpráva
číslo

List
číslo

3D



zvětšeno 100x

NITAL

Obr. 5 Struktura ve středu stěny prostoru výměníku oleje
bloku 33 423H/88

zvětšeno 100x



NITAL

Obr. 6 Struktura vnější stěny bloku motoru M3



LIAZ, oborový podnik, Jablonec nad Nisou
Odbor výv. materiálu a metalurgie

176-4-SK/90

Zpráva
číslo

List
číslo 3C



Obr.3 Struktura v přepážce 2/3 válce bloku 33 423H/88



Obr. 4 Struktura v přepážce 2/3 válce bloku M3



LIAZ, oborový podnik, Jablonec nad Nisou
Odbor výv. materiálu a metalurgie

176-4-Sk/90

Zpráva
číslo

List
číslo

3B



Obr. 1 Struktura v hlavové stěně bloku 33 423H/88



Obr. 2 Struktura v hlavové stěně bloku M3



Líci kúra stěny výměníku motoru 33423 H je převážně feritická /do hl. 0,8 mm/ s drobným mezidendrit. usměrněným grafitem. Vnější stěna motoru M 3 má při povrchu jemnější a přechlazené formy grafitu, ale 100% obsah perlitu.

2.2. Mechanické vlastnosti:

Změřené a vypočítané hodnoty obsahuje tab. č. 2.

Mikroohybová zkouška provedena na speciálním přípravku [9].

Tvrnost HB 2,5/187,5 měřena ve středu stěny. Tabulka č. 2

místo	č.	průřez bxh /mm/	fp /1/	Roh /MPa/	Ms /1/	Eo /GPa/	Rm /MPa/	HB 2,5/187,
výměník M/3 M/29 Y/A 33423H	1	10,2x7,7	0,77	367	38,5	108,4	157	193
	2	10,2x7,2	0,32	323		109,5		193
přepážka válců	1	10,1x7,5	0,44	343	25,3	98,9	114	127
	2	10,2x7,5	0,48	333		100,6		119
vnější stěna	1	10,2x6,5	0,17	509	56,1	120,4	254	257
	2	10,2x6,7	0,14	497		122,7		257
přepážka	1	10,7x6,8			43,-	113,8	190	200

HB, Eo měřeno na vzorcích; Ms, Rm údaje z protokolu
nedestr. měření Roh pevnost v ohybu /MPa/

fp podíl pružné plastického nelineárního průhybu k
lineárnímu průhybu zkušební tyče.

Grafy ohybových zkoušek obsahuje příloha zprávy. Hodnoty Ms
/intenzita zbytkového magnetizmu/ převzaty z protokolu o měření
na příslušných blocích.

2.3. Výsledky materiálového rozboru: reprezentují extrémy struktury/

Metalografický rozbor stanovil 85 - 90% podíl feritu ve struktuře litiny přepážek válců bloku válců 33423 H/88 a tak i těsnou souvislost mezi hodnotami Ms /hodnota intenzity zbytkového magnetizmu redukovaná na tloušťku stěny L/ a podílem feritu ve struktuře šedé litiny z produkce LIAZ 04 ve stěnách reálných odlitrků : % F = 145 - 2,8 . Ms /1/

Dle výrazu /1/ pro přibližné stanovení %F, který byl experimentálně získán z měření v rámci [3], by byl vypočítaný obsah feritu ještě o 10% nižší.

Rodil v tvrdosti ve středu stěny ve struktuře přepážek válců



a stěny výměníků dosahuje opravdu u odlitku 33423 H/88 téměř dvou jakostních tříd šedé litiny. Pevnost v ohybu je však v těchto stěnách téměř stejná a odpovídá přibližně jakosti 422415. Na pevnosti v ohybu stěny výměníku má totiž nepříznivý vliv feritická lící kúra.

Statická pevnost v tahu Rm se feritickou lící kúrou tak nepříznivě neovlivní. Struktura i pevnost Rmo vnější stěny odlitku bloku M 3 odpovídá přibližně jakosti 422425.

5. Technika experimentu i

Odlitky bloků byly měřeny ve prostoru vstupního dopravníku provozu 4 před 1. obráběcí operací v závodě LIAZ 01.

Odlitky jsou ve stavu po ohrubování ve slévárně LIAZ 04.

5.1. Místa měření byla volena s ohledem na : konstrukční a provozní důležitost, slévárenskou koncepcí odlitku, dostupnost měřicích čidel /obr. 7/

- a/ dosedací plocha hlav válců mezi 3 a 4 válcem odpovídá místu předepsanému výkresem pro měření tvrdosti HB. Tvrdost je zde obvykle měřena dynamickou porovnávací metodou Poldi kladívkem. Další měření : intenzita zbytkového magnetismu M, informativní hodnota rychlosti zvuku v_L /měřeno mezi nerovnoběžnými plochami stěny/.
- b/ přepážky válců proměřovány asi 25 mm pod horním nákrúžkem vložených válců těsně vedle dělicí roviny jádra. Na pěti přepážkách postupně změřeny hodnoty M, L, Lu. Přepážky válců se vyznačují značnou průtočností tekutého kovu při odlewání /může dojít i ke sekundárnímu vyžihání již ztuhlych přepážek teplem akumulovanými jádry/ a mají důležitou nosnou funkci.
- c/ stěna výměníku tepla oleje je oddělena od tělesa odlitku velkoplošným jádrem, které může působit větší rozptyl tloušťky stěny /min. tloušťka měřena ultrazvukem/. Kovem se plní při odlewání naposledy. Změřeny hodnoty M, L, Lu.
- d/ přepážky ložisek proměřovány jen u vybraných odlitků. Proměřovaná partie se nachází těsně pod nálitky těsnících kroužků vložených válců. Představují značně namáhanou partii odlitku. Měřeny hodnoty M, L, Lu.

Mista nedestruktivní kontroly bloků válců motorů LIAZ:

1-5H přepážky válců /horní/

1-5D přepážky ložisek /dolní/

1-5M můstky mezi válci /dosedací plocha hlav válců/

1-7L ložisko klikového hřidele

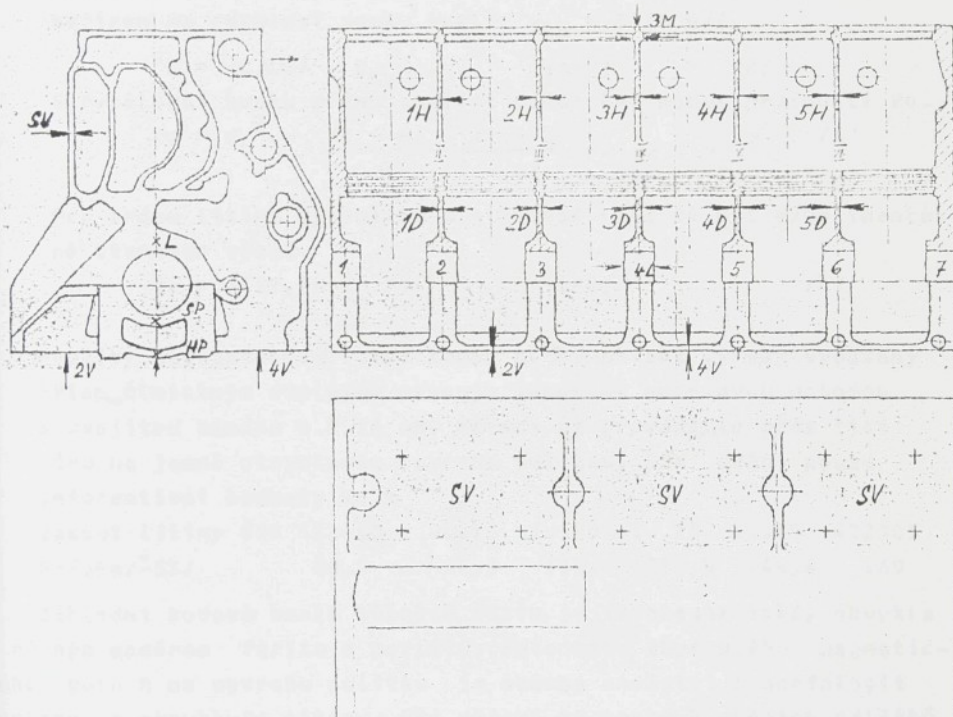
SV stěna výměníku tepla oleje

V vanová plocha

Mista kontroly vik ložisek

SP spodní pásnice

HP horní pásnice





e/ dosedací stěna vany na vačkové straně /měřeno pod 4 válcem/ a na výměníkové straně /měřeno pod 2 válcem, místa naposledy zaplněna kovem při lití/. Proměřovány jen vybrané odlitky.

3.2. Metody a přístroje :

Podle tvaru, rozložení a množství grafitu ve struktuře litin se mění i rychlosť šíření zvuku v_L [m/S]. Pro měření rychlosti zvuku je nutno znát skutečný rozměr /tloušťky stěny/ L a zdánlivý Lu změřený ultrazvukovým tloušťkoměrem, který je seřízen na rychlosť zvuku oceli $v_{Lo} = 5930$ m/S.

$$v_L = /L/Lu/ \cdot v_{Lo} \quad [\text{m/S}] \quad /2/$$

S rychlosťí zvuku přímo souvisí počáteční modul pružnosti E₀.

$$E_0 = v_L^2 \cdot \frac{1 + \mu}{1 - 2\mu} = /k \cdot v_L^2/ \quad /3/$$

Pro šedou litinu vyráběnou v slévárně LIAZ 04 byl experimentálně stanoven výraz

$$E_0 = /437,79 \frac{L}{Lu} /^2 \quad [\text{GPa}] \quad /4/$$

Použitý ultrazvukový tloušťkoměr LC 545 polské výroby vybavený tříapůlmístným displejem pracuje impulzní odrazovou metodou s dvojitou sondou o Ø 16 mm. Měření se provádělo přes lici kúru na jemně otryskaném povrchu odlitku. ČSN uvádí pouze informativní hodnoty E₀ :

Jakost litiny ČSN 422410 ...15 ...20 ...25 ...30 422305
E₀/GPa/^{±5%} 88,9 97,3 109,9 125,9 144,4 169

Základní kovová hmota běžných litin je feromagnetická, obvykle s různým poměrem feritu a perlitu. Intenzita zbytkového magnetického pole M na povrchu odlitku je úměrná množství a morfologii perlitu ve struktuře litiny. Při měření na tenkých stěnách odlitků nutno hodnoty M změřené na povrchu korigovat podle tloušťky stěny L. Pro přístroj Remag 1 v.č. 1177 byl stanoven korekční výraz

$$Ms = \frac{M}{81 \cdot L^{-2,91+1}} \quad /5/$$

Sondou o Ø 28 mm se měří přes lici kúru s pevně vestavěným pracovním režimem : citlivost C = 1, magnetizační proud Mi = 10A.

Souvislost mezi M a standartními fyzikálními veličinami plyně z výrazů /6/ a /7/ : $H_r = 6,5 \cdot M - 32$ [A/m] /6/
 $H_r = H_0 - \frac{N \cdot I}{\mu}$ [A/m] /7/

Stěny proměřeny z obou stran.

Rozměry L měřeny posuvným měřítkem s nástavci pro obkročná měření.

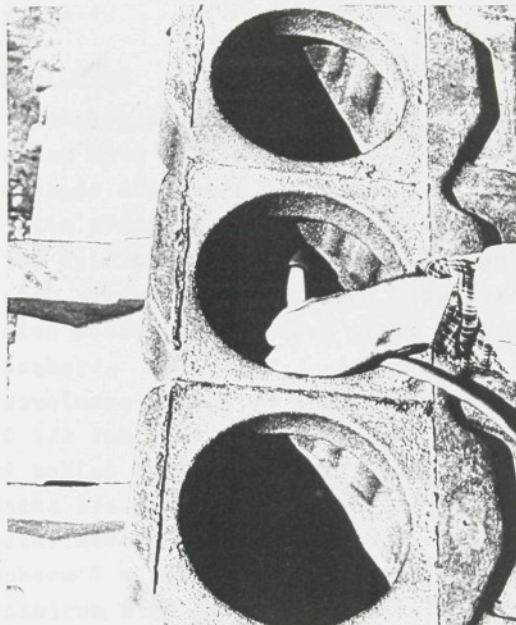
Výsledky měření v přepážkách a výměnících byly zpracovány mikropočítáčem ve formě protokolů.

Výrazy pro výpočet HB a Rm :

$$HB = 2,57 \cdot Ms + 98 \quad /8/$$

$$Rm = 46,5 \cdot Ms^{0,5808} \cdot /L/Lu/^{2,932} \quad [MPa] \quad /9/$$

získány experimentálně v práci [3].



Obr. č. 8. Měření zbytkového magnetismu v přepážce válců
/blok M 2/.



4. Vlastnosti odlitků bloků válců /předpecí PIKS v provozu/

Předmětem měření je 1. soubor 101 odlitků bloků válců v intervalu výrobních čísel 15935/89 až 22349/89. Kontrolované množství tak představuje cca 1,5% produkce výroby z daného intervalu. 2. soubor 21 odlitků v.č. 23102H/88 až 30709/88 změřen před odstavením předpecí PIKS.

4.1. Přehled výsledků

Statisticky zpracovaná data změřená a vypočítaná obsahují tabulky 3 a 4.

4.1.1. Tloušťky stěn

Z příslušných sloupců tabulek 3 a 4 vyplývá, že nejsilnější přepážkou bývá střední - mezi 3 a 4. válcem. První, nejtěsnější přepážka je v průměru o 0,5 mm slabší.

Síla stěn přepážek je předepsána 8 mm a ve většině měřených blocích byla dodržena tolerance 8-9 mm.

Názornou představu o rozložení tlouštěk stěn jednotlivých přepážek podávají sloupcové grafy obr. 9A - E v příloze /1. soubor/.

Pod dovolenou mezi 8 mm se nachází pouze 9% hodnot v přepážce válců 1/2 /obr. 9A/. Grafy vesměs tvoří normální rozdělení. Strmý pokles vyšších hodnot tlouštěk v obr. 9E rozdělení má přepážka 5/6.

Tlouštěky stěn výměníku oleje v místě měření M,Lu jsou u souboru 1 v průměru o 0,7 mm svými hodnotami pod jmenovitým rozměrem 8 mm /obr. 10A/. Extrémně tenká minimální tlouštěka celého výměníku 3,6 mm byla změřena na bloku 17645H/89. Rozložení min. tlouštěk stěn výměníku /obr. 10B/ má logicky největší rozptyl ze všech měřených tlouštěk stěn.

4.1.2. Tvrdost HB měřená ve výkresem předepsaném místě

Všechny odlitky byly v tomto místě proměřeny Remagem 1, u 41 odlitků souboru 1 změřena tvrdost též Poldi kladivkem.

Informativně byla změřena v_L a vypočten Eo. Ze vztahů |4.1| ze zprávy 147-3-Sk/89 vypočtena Rm. Hodnoty uvedených veličin obsahuje tabulka 5. Důvody, proč jsou hodnoty v_L, Rm jen orientační uvádí kap. 3.1. zprávy 147-3-Sk/89.



Tabulka č. 3

statistický rozbor měřených veličin souboru odlitků bloků litých
před odstavením předpecí PIKS v r. 1988, měřeno n = 21 odlitků

řepážky	Rm / MPa / S _R	L / mm / S _L	Ms / 1 / S _M	Eo / GPa / S _E	HB / MPa / S _{HB}
1/2	201	29	8,26	0,25	40,9 6,8 118,7 6,1
2/3	199	32	8,53	0,23	40,6 6,4 118,6 7,1
3/4	200	28	8,72	0,18	41,2 6,3 118,8 6,3
4/5	199	30	8,62	0,22	40,8 6,7 118,5 5,9
5/6	207	32	8,56	0,26	41,9 7 120,8 6,5
\bar{x}	201	30	8,54	0,23	41,1 6,4 119,1 5,6
min.v.č. bloku	137	24594 /88	7,63 H	29626 28	24954 107,2 24954 170
max.v.č. bloku	242	29626 H	9	23385 52,1	30709 128,1 29626 232
výměník	223	19,8	7,9	0,47 47,3	2,9 121,7 6,5 219,9 7,5
c min.	191	30411H	7,15	5,9 41,5	30639111,4 24954 205
c max.	270	29626H	8,74	7,7 52,5	30709132,8 29626 233
c min. *			7,04	0,52	

c min. tloušťka celé stěny výměníku oleje.

Tab. č. 4

statistický přehled měřených a vypočítaných veličin souboru
odlitků bloků z v.č. 15935-22349/89/za provozu předpecí PIKS/

i=101 odlitků	Rm	S _R	L	S _L	Ms	S _M	Eo	S _E	HB	S _{HB}
1/2	187	37	8,19	0,32	40	7,2	113,2	13,7	201	18,7
2/3	194	34	8,56	0,22	40,9	6,6	116	8	203	16,9
3/4	194	33	8,69	0,2	42	6,7	115,6	7,9	206	17,1
4/5	192	33	8,58	0,22	42	7	115,2	7,1	205	17,1
5/6	194	35	8,43	0,27	42,4	7,6	115,7	12,5	207	19,6
\bar{x}	192	34,8	8,49	0,25	41,5	7	115,1	9,8	204	17,9
c min.v.č.bl.	113	19954	7,0	22116H	25,4	17625	95,2	22772	164	17625H
max.v.č.bl.	247	18109	9,1	18253	53,6	18471	127,3	18273H	236	18471
výměník x	204	25	7,31	0,4	48,1	3	113,1	8,2	221,5	7,8
c min.v.č.	151	21772H	6,2	17781	41,6	19869H	93,3	17645H	205	
max.v.č.	299	18714H	8,2		55,1	16893	140,6	21928H	241	

in. tl. celé stěny výměníku : L = 6,08 S_L 0,65 · min.L = 3,6 /odl.

· 17645 H/.

lavová plocha HB = 178 S_{HB} = 16,7 /Poldi kladívka/, vypočtená

· = 183 S_{HB} = 9,1

Střední hodnota tvrdosti změřená POLDI kladivkem 178 HB je při dolní hranici předepsané výkresové tolerance 170-230 HB. Názornou představu o rozložení měřených hodnot dává obr. 11 B v příloze.

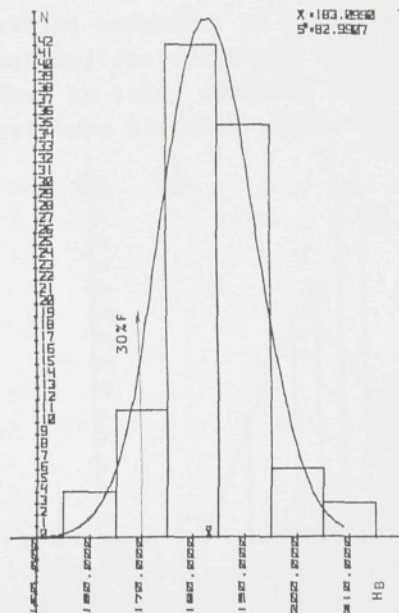
	Rm	S _R	HB	S _{HB}
Vypočítaná stř. hodnota : soubor 1 :	194	27	183	9,1
soubor 2 :	202	20	175	10

Použitím výrazu pro výpočet HB ve výkresem předepsaném místě ze zprávy 147-3-Sk/89 :

$$HB = 3,92 M + 8,7 \quad /10/$$

a výrazu /1/ lze vypočítat hodnotu 30% obsahu feritu odpovídající 170 HB vypočteným z M /viz. obr. 11A/.

Tato hodnota je ve shodě s výsledky materiálového šetření v LIAZ 04, na základě kterého byla hodnotě tvrdosti šedé litiny 170 HB přiřazen 30% obsah feritu ve struktuře.



Obr. 11A: Tvrdost HB mezi 3 a 4 válcem z hodnot M.

Hodnoty Rm hlavové partie byly vypočteny dle výrazu převzatého z /3/

$$R_m = 33,5 \cdot /L/Lu/^{2,606} \cdot M^{0,636}$$

/11/

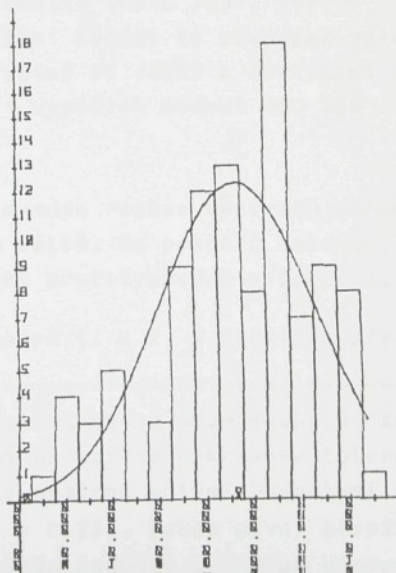
Vypočtená tvrdost HB souboru 2:

$$\overline{HB} = 175, S_{HB} = 10$$

4.1.3. Vypočtené hodnoty pevnosti v tahu Rm přepážek válců a stěny výměníku

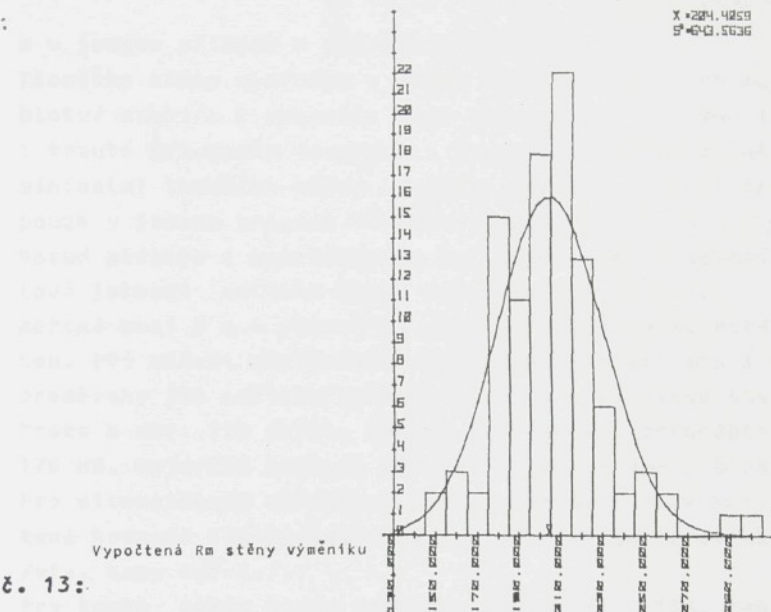
Číselné hodnoty Rm jednotlivých přepážek a stěny výměníku každého bloku stejně jako výchozích veličin souborů 1 a 2 obsahují protokoly v příloze. Souhrnné výsledky jsou v tabulkách 3 a 4. Střední hodnoty Rm jsou v jednotlivých přepážkách vyrovnané. Pouze 1 přep. 1 souboru má Rm o 5 MPa nižší. Sloupové diagramy v příloze /obr. 12A - E/ znázorňují rozložení hodnot Rm v jednotlivých přepážkách. Málo četný výskyt hodnot Rm přepážek 160 ± 10 MPa dělí soubor 1 na skupinu odlišků s velmi nízkými hodnotami Rm $< 110 \pm 150$ a skupinu s vyššími hodnotami Rm $< 170, 240$ MPa. Tuto skutečnost nejlépe vystihuje výsledný diagram - obr. 12. Rozptyl hodnot Rm stěny výměníku /obr. 13/ je podstatně menší jak týž rozptyl u přepážek válců.

$X=192,6628$
 $S=1277,4424$



Vypočtená Rm přepážek válců

Obr. č. 12 :

X=284,4859
S=643,5636

Obr. č. 13:

Vypočítané hodnoty HB z hodnot Ms dle s jejich hodnotovým rozložením ukazují obr. 14A - E. Střední přepážka je průměrně o 5 HB tvrdší jak 1. přepážka. Tvar rozložení se blíží normálnímu jen s pozvolnějším poklesem k nižším hodnotám /viz. rozložení výsledných hodnot HB - obr. 15/. Velmi úzké rozptylové pole hodnot HB charakterizuje stěnu výměníku tepla /obr. 16/. Normální charakter rozložení hodnot Eo přepážek válců - obr. 17 ruší výskyt 4 hodnot ve skupině 95 /GPa/ a rozložení Eo výměníku naopak výskyt /obr. 18/ tří vysokých hodnot Eo > 130 /GPa/.

4.2. Diskuse výsledků

V této kapitole je proveden rozbor výsledků měření na 1. a 2. souboru odliatků bloků válců. Do rozboru zahrnuty i výsledky měření na skupině bloků prototypových motorů M3.

4.2.1. Charakteristika souborů 1. a 2. z hlediska předpisu na výkresu

Tloušťky stěn L přepážek válců obou souborů se nachází svými stř. hodnotami uprostřed výkresové tolerance /8,49 ; 8,54 mm/ s poměrně malými hodnotami směrodatných odchylek / $S = 0,25 ; 0,23$ / . Pouze první přepážka v devíti procentech nedosahovala hodnoty L = 8 mm u prvního souboru



a v jednom případě u druhého souboru.

Tloušťka stěny výměníku v místě měření Rm /asi 40 mm od čela bloku/ souboru 2 vyhověla vždy toleranci 8 ± 1 mm. Ze souboru 1 tomuto požadavku nevyhovělo 14 odlitků. Nebezpečně tenká minimální tloušťka stěny výměníku $L = 3,6$ mm byla změřena pouze v jednom případě /hrubá chyba výstupní kontroly LIAZ 04/. Dosud platným a uplatňovaným kritériem pro hodnocení materiálové jakosti odlitků bloků válců je tvrdost 170 - 230 HB měřená mezi 3 a 4 válcem na dosedací ploše hlav Poldi kladivkem. Při měření zbytkového magnetizmu v tomto místě byly proměřeny jen odlitky vykazující malé nebo velké hodnoty M. Proto z obr. 11B plyne, že jen 10% odlitků nedosáhlo hranice 170 HB. Nejnižší hodnota 138 HB byla změřena u bloku 21987HB89. Pro silnostěnnou obrobenu partii tak bylo potvrzeno, že vypočtené hodnotě 170 HB odpovídá cca 30% feritu ve struktuře /viz. kap. 4.1.2./.

Pro tenké stěny bloku dovoluje výkres max. 15%, resp. 30% feritu.

Těmto obsahům feritu lze pomocí výrazů /1/ a /6/ přiřadit odpovídající hodnoty tvrdosti 217 a 203 HB a odvodit výraz :
 $HB = 231 - 0,918 \cdot F$

/12/

Podle tohoto strukturního kriteria téměř polovina všech konstrovaných odlitků obsahuje více jak 30% feritu ve struktuře přepážek válců /obr. 14,15/. Vnější stěna výměníku /max. 15% F/ strukturní podmínce vyhovuje z 83% /obr. 16/. Byly ale také vyrobeny odlitky s plně perlitickými přepážkami válců /10%/ a stěnou výměníku /40%/.

Pro pravděpodobnost vyjádřenou číslem Z střední hodnoty u veličiny celého výrobního intervalu /15935-22349/ platí

$$\text{pravděpodobnost} \quad u = \bar{x} \pm \frac{Sx}{\sqrt{n}} \cdot Z \quad /13/$$

Odvozeno pak při 90% pavděpod. pro soubor 1 :

$$\text{přepážky válců \% F} = 28,8 \pm 5,7$$

$$\text{a stěnu výměníku \% F} = 10,9 \pm 1,28$$

Meze pevnosti v tahu Rm nejsou výkresem u bloků M1 speciálně předepsány. Pokud se ale budeme řídit materiálovým listem



ČSN 422420, tak slabším stěnám je přiřazena vyšší hodnota pevnosti Rm :

L 4 - 8 8 - 15 15 - 30 /mm/

Rm 250 230 200 /MPa/

Toto ale platí pro volně lité desky a nikoliv pro značně průtočné stěny bloku motoru. Větší rozptyl hodnot Rm = $192 \pm 34,4$ /201 ± 30 - soubor 2/ přepážek válců vůči $Rm = 204 \pm 25$ /223 ± 19,8/ výměníku je dán především větším rozptylem %F zákla. Kovové hmoty /obr. 15 a 16/ při podobných parametrech grafitické části struktury vyjádřené hodnotami Eo /obr. 17 a 18/.

Strukturní a hodnotové souvislosti zjištěné pro soubor 1 platí pro soubor 2 také, ačkoliv svojí četností není reprezentativní. Celkově je hladina zjištěných mech. vlastností bloků souboru 2 vyšší vůči souboru 1. Odlitek s velmi mizkou hodnotou v přepážkách byl v souboru 2 pouze jeden /24594/88/, kdežto v souboru 1 tvoří celou skupinku 13ti odlitků : 17625H, 17645H, 17907, 18495, 18730H, 19954, 21380, 21614H, 21966H, 21772H, 21928H, 22116H, 22114H. Provedeme korelací /lineární/ mezi hodnotami Rm přepážek a hodnotami HB /Poldi kladívko/, M, Eo, Rm změřenými a vypočítanými v místě předepsaném pro kontrolu tvrdosti /mezi 3. a 4. válcem dosedací plochy hlav/:

		četnost	M	Eo	Rm	HBp
koef.	K	N = 101		0,51	0,65	0,68
korelace		N = 41		0,56	0,71	0,8 0,72

Nízké hodnoty koeficientu K naznačují, že nelze usuzovat na strukturně mechanické vlastnosti přepážek válců z měření na výkresem předepsaném místě.

1.2.2. Charakteristika odlitků bloků válců z nízkolegované litiny z hlediska předpisů na výkrese

V rámci pravidelné diagnostiky odlitků bloků válců pro výrobové motory byl proměřen soubor pěti odlitků M3 /ozn. 1-5/ a odlitek 12617H/86 M 1A litý běžnou výrobní technologií, ale z nízkolegované litiny. Protokoly s výsledky měření ve všech smluvních místech a/ ~ d/ /viz. kap. 3.1./ jsou v příloze.



Vypočtené hodnoty obsahuje tabulka č. 6:

č.bloku	přepážky			vnější			přepážky		
	válců			stěny			ložisek		
	HB	Eo	Rm	HB	Eo	Rm	HB	Eo	Rm
12617H/86	219	120,8	221	256	126,6	277	243	122,9	252
1/89	215	114,6	201	242	123,8	254	233	120,8	235
2/89	219	116	209	259	116,8	249	241	115,8	230
3/89	212	118,4	208	258	139,7	322	232	120,8	235
4/89	214	122,2	219	261	118,8	257	243	122,1	250
5/89	221	125,3	236	259	120,8	262	235	112,6	214
vana									
	HB	Eo	Rm	HB	Eo	Rm	HB	Eo	Rm
	240	121	244						
	239	120,7	242						
	252	121,7	257						
	269	114,4	250						
	256	123	266						
	260	122,7	268						

Z bloku 1/89 byly odebrány vzorky pro materiálový rozbor /kap. 2/. Rovnoběžné plochy v hlavové partii /otvory válců/ bloků M3 umožnily objektivně změřit i tuto silnostěnnou partii odlitků - tabulka č. 7 :

blok M 3 :	1	2	3	4	5
Rm	213	216	215	214	212
Eo	119,4	117,2	117,6	113,6	115,7
HB*	222	207	203	221	217

* - měřeno Poldi kladivkem

Pro objektivní nedestruktivní měření rychlosti zvuku /Eo/ a tím i Rm hlavové partie odlitu bloku M 1A by bylo nutno vytvořit rovnoběžné technologické plošky.

Odlitky z nízkolegované šedé litiny ve všech podmínkách ve struktuře a mech. vl./viz. tab. 6, 7/výkresu /viz. kapitola 1/ využij.Rozdíl hodnot Rm mezi přepážkami válců a vnější stěnou bloku /výměník/ tvoří prakticky 50 MPa /jedna jakostní třída/.

Pro objektivní posouzení příslušného vlivu legování na velikost a hlavně snížení rozptylu mech. vlastností v přepážkách válců by bylo nutno sledovat dostatečně četný soubor odlitků vyráběných



již výrobní technologií. O jakou hodnotu by se zvýšila Rm přepážek válců odlitků 17625H, 17645H 22116H, kdyby byly legovány?

Z rozsáhlého souboru 1 lze vybrat mnoho odlitků z nelegované šedé litiny se vzorovými mech. vlastnostmi. Za určitých výrobních podmínek lze tedy i z nelegované šedé litiny vyrábět velmi kvalitní odlitky, vyhovující materiálovým podminkám výkresu odlitku i bloku motorů M 2, M3.

2.3. Dvourozměrné vyjádření struktury odlitků

Vektorové vyjádření struktury jednotlivých odlitků /hodnotami Ms a Eo/ v přepážkách válců a výměníku umožňuje další hodnocení výsledků měření. V rovině $\langle Ms, Eo \rangle$ jsou zakresleny isopevnostní čáry /Rm = konst./.

Na obr. 19 jsou zakresleny koncové body strukturních "vektorů" řepážek válců /modře/ a výměníku /zeleně/ odlitků /předpecí PIKS provozu, 3. čtvrtletí 1989/souboru 1. Body s extrémní polohou jsou značeny výrobními čísly bloků válců.

Množina bodů přepážek válců je velmi "štihlá" s osou kolmou a isopevnostní čáry. V tomto případě rozptyl parametrů struktury litiny odlitků působí nejnepřiznivěji na rozptyl hodnot Rm.

Rozložení bodů množiny struktury výměníků je z tohoto ohledu řiznivější.

Skupina odlitků s velmi nízkými hodnotami Rm < 150 v přepážkách má oddělenou polohu strukturních "vektorů". Každý z těchto odlitků má v přepážkách a výměníku blízké hodnoty Eo /tzn. blízkou morfologii grafitu ve struktuře/, ale výrazně odlišné hodnoty Ms /podstatný rozdíl v množství feritu ve struktuře/. Výjimku tvoří odlitky 21928 H a 8 714 H/89 svým extrémním rozdílem hodnot Eo mezi přepážkami a výměníkem. Vysoké hodnoty Eo u šedé litiny může působit výskyt volného cementitu ve struktuře /očkování/.

Četný soubor odlitků s vysokými hodnotami Rm > 200 MPa ve stěnách vyniká malými rozdíly ve struktuře a výměníku, přičemž obvyklé hodnoty Eo v přepážkách jsou nepatrne vyšší.

Na obr. 21 je pozorována struktura odlitků z nelegované litiny s extrémními parametry základní kovové hmoty ve struktuře perlit - ferit/ a odlitků z nízkolegované šedé litiny. Při prakticky stejných i nízkých hodnotách Eo /char. morfologii grafitu ve struktuře/ je možno i bez legování dosáhnout vysokých hodnot Ms. Průměr odlitky z nízkolegované litiny dosahují vyšších hodnot Ms. jak odl. z nelegované litiny /porovnej obr. 19 a 21/.



4.2.4. Časová posloupnost materiálové kvality odlitků bloků válců

Ve slévárnách se zapisuje: čas odlišti, výsledek chemického rozboru z pravidelně odebíraného vzorku litiny /nereprezentuje, přímo složení litiny bloku/, změřený "Ceq". Časový rozpis odlévání obsahuje tab. 5. Ve sloupci "směna" označuje první písmeno směnu ranní - R nebo odpolední - O. Další písmeno /B, Ž, M, V, K/ značí mistra formovny. Písmeno H na odlitku je obvykle přiřazováno /urč. pracovní směně/. Ve slévárně se pravidelně provádí rozměrová /mechanicky a ultrazvukem/ kontrola odlitků válců. Blok 21966H/89 /vypočt. Rm v přep. 144MPa/ byl rozměrově kontrolován ve slévárně i ultrazvukem tloušťkoměrem.

Pokud by se ultrazvukové kontroly

rozměrů /sily stěn/ využilo ve slévárně i k materiálové diagnostice, nemohl by zmíněný odlitek být považován za vyhovující. Mimoto značné rozdíly v rychlosti zvuku ve stěnách těchto odlitků působí i významnou chybu při ultrazvukovém měření vlastních tloušťek stěn /při tomto měření se ve slévárně uvažuje rychlosť zvuku $v_L = 4400 \text{ m/S}$ za konstantní v litině/.

Porovnání stř. hodnot Rm přepážek odlitků pro jednotlivé směny a skupiny pracovníků přináší tabulka č. 8:

směna	0	R	B	V	M	K/H/	Ž/H/
Rm	197	188	200	197	172	188	181
S _R	29	35,8	27,3	23,5	4,2	29,8	39
N	59	42	49	5	2	13	32

Z výsledků v tab. 8 plyne, že ranní směna vyrábí především s větším rozptylem mech. vlast. při nižší absol. hodnotě Rm bloků v přepážkách o 10 MPa. Četnost kontrolovaných odlitků je významná jen od označení B a Ž. Výsledky přiřazené ozn. jsou nadprůměrné. Při podrobnějším pohledu do tab. 5 a protokolů je patrné, že většina odlitků s velmi nízkými hodnotami Rm v přepážkách přísluší ozn. Z /H/ stejně tak, jako několik odlitků s $Rm \geq 230 \text{ MPa}$. Názorný pohled na



časovou posloupnost hodnot Rm přepážek bloků dává obr. 22 a 23. Hodnoty, které přísluší jedné směně jsou spojeny plnou čarou. Ze šesti směn B, z kterých bylo změřeno tři a více bloků, má pět průběh hladiny Rm s max. uprostřed. Z množiny kontrolovaných odlitků jen č. 17221 byl odlit 26.6.89 jako poslední /Rm = 191 MPa/. Kolísání hladiny hodnot Rm může být během jedné směny náhle - viz. změření z 4.7. /B/, 15.8. /B/, až 90 MPa, 31.8. /Z/ až 95 MPa zde ale rozdíl 7 čísel je spojen s odstupem 2,5 h. Proto nelze ani spolehlivě uvažovat obalovou křivku časového průběhu Rm, z které by např. plynula výroba odlitků s nadprůměrnou hodnotou Rm v obdobích 5-10.7.89, 8-11.8.89 a podprůměrnou 31.8.-5.9.

4.2.5. Chemické složení a materiálová jakost

Pro vybraný soubor odlitků s extrémními hodnotami Rm /příp. Eo, HB/ v přepážkách bylo z dokladů slévárny v tabulce č. 9 vypsáno chem. složení, Ceq stanově termickou analýzou a z hloubka zákalky z klinkové zkoušky.

Pro odlitky bloků motorů je ve slévárně předepsáno rozmezí uhlík. equivalentu Ceq = 3,82 - 3,98. Z 15ti odlitků, pro které Ceq > 3,98 je 10 s velmi mízkou hladinou hodnot Rm 150 MPa přepážek válců. Odlitky č. 17021, 17178 a 17206 však i při překročivé, nepříznivé hodnotě Ceq mají hodnoty Rm 210 MPa v přepážkách válců. Naopak odlitek 21320 ažkoliv Ceq = 3,82, tak Rm = 124 MPa Min. hodnota 3,8 ≤ Ceq ≤ 3,82 přísluší odlitkům 16893 /Rm = 222/ a 22210 /Rm = 242/.

Proto předpokládaná poměrně těsná závislost Rm přep. = f /Ceq/ je spojena s nízkým koef. korelace K = -0,577. Pro stupeň eutektičnosti vypočítaný z chemického složení /obr. 24, 225/

$$Se = \frac{C \%}{4,28 - 0,33 /Si + P/}$$

/14/

$$Rm = f /Se/ \quad K = -0,628$$

Poměr C/Si nehráje ve vztahu k Rm přepážek významnou roli. Obsah Mn je v poměrně nízkém tolerančním pásu a extrémny obsahu Mn nesouvisí s extrémny strukturně mechan. vlastností. Z uvedeného souboru vyplývá, že kromě základního chemického složení je významný vliv dalších faktorů /teplota lití, očkování, legury, suroviny, vysoká teplota předehřevu pro zavař./



a strukturně mechan. vlastnosti vnitřních partií odlitků bloků válců. Tyto vlivy však nelze zpětně kvantifikovat.

5. Porovnání výsledků kontroly z období odstávky předpecí PIKS
a z období běžné výroby

V tabulkách označme soubor odlitků, který byl předmětem hodnocení zprávy 147-3-Sk/89 číslem 0/odtlévány během odstávky předpecí. Tloušťky stěn L přepážek válců mají u všech souborů prakticky stejné vlastnosti a plně vyhovují výkresové dokumentaci :

přepážka	L (mm)		L (mm)		N
	1/2	S _L	3/4	S _L	
0	8,3	0,29	8,8	0,23	100
1	8,2	0,32	8,7	0,2	101
2	8,26	0,25	0,72	0,18	21

Zato u stěny výměníku došlo k průměrnému zeslabení stěny o 0,5 mm

výměník	L	S _L	Lmin		Lmin
			S _L	Rm	
0	7,8	0,3	6,9	0,64	5,4
1	7,3	0,4	6,1	0,65	3,6
2	7,9	0,47	7,04	0,52	5,9

které se promítalo i do hodnot min. tlouštěk L min. v celé ploše výměníku.

tab. 9 změřená tvrdost vypočtené hodnoty

soubor	HB	S _{HB}	N	HB		Rm	S _R	N
				Poldi klad.	Remag 1			
0	178,5	17,7	39	180	12,5	182	19,3	100
1	178	16,7	41	183	9,1	194	27	101
2	-	-	-	175	10	202	20	20

Tvrdost měřená Poldi kladivkem na výkresem předepsaném místě zůstala prakticky na stejně stř. hodnotě při dolní hranici předepsané výkresem. 10% odlitků nedosahovalo předepsané hodnoty 170 HB. Toto platí pro soubor 0 i 1. Nedestruktivní kontrola ale odhalila některé strukturní změny /v tab. 9/. Během odstávky předpecí se mírně zvětšil rozptyl obsahu feritu /S_{HB}/, snížila pevnost této partie odlitku /10-20 MPa/vlivem zhoršených strukturálních vlastností grafitu / Eo /.



Strukturní poměry ve stěnách odlitků vystihuje tab. 10:
přepážky válců

	Rm	S _R	Eo	S _E	HB	S _{HB}	
0	176	32	113	6,8	194	16,4	
1	192	34,4	115,1	9,8	204	17,9	
2	201	30	119,1	5,6	204	16,5	
výměník							
	Rm	S _R	Eo	S _L	HB	S _{HB}	N
0	209	24	118,1	6,9	214	11,2	100
1	204	25	113,1	8,2	221	7,8	101
2	223	19,8	121	6,5	220	7,5	21

Během výroby v předpecí se zvýšila průměrně hodnota Rm v přepážkách o 16 - 25 MPa a to především zvýšením průměrného obsahu perlitu ve struktuře o 10% /výraz [10]/. V průměru se zmenšil rozdíl vlastností vnitřních a vnějších stěn /soubor 1/, ale zvětšil rozptyl Eo, tj. parametrů grafitu /S_E/ ve struktuře stěn. Z dvouznaměrného vyjádření struktury souborů odlitků /obr. 4-7 zprávy 147/ je zřejmé, že množství odlitků s velmi nízkou hladinou Rm < 150 MPa v přepážkách klesla na polovinu. Množství odlitků s "vyrovnanou" a kvalitní strukturou vnějších a vnitřních partií odlitku stouplo o 30% až 50%!

Zatímco u souboru 0 bylo možno stanovit přičinu nízké pevnosti přepážek ve většině případů překročením hodnoty Ceq /> 3,98/, což potvrdila i hodnota koef. korelace Rm = f /Ceq/ K = -0,817 je korelace mezi Ceq a Rm pro soubor 1 podstatně slabší /K = -0,577/. Do materiálové kvality odlitků začaly patrně více působit teplota očkování, přehřátí při liti, předehřev při zavařování.

Z třech pracovních skupin /ozn. H,T,W/ tavírny /soubor 0/ měla jen směna H při stejných rozptylech Rm nižší průměrnou hodnotu Rm o 13 MPa. Na výrobě odlitků souboru 1 se výrazně podílely směny označené B a Ž, přičemž ž /H/ dosáhla téměř 20 MPa nižších hodnot Rm v přepážkách válců při podstatně větším rozptylu /S_R/ . Nižší materiálové jakosti odlitků /tab. 8/ se dosahuje při ranní směně /ve srovnání s odpolední směnou/, to se týká především rozptylu parametrů struktury litiny. Během výroby odlitků souboru 0 i 1 jsou možná náhlá kolísání jakosti litiny /obr. 4-9, obr. 22/.

Velkoobjemové předpecí PIKS se ve slévárně LIAZ přispívá již několik let k zvýšení kapacity a jakosti litiny, která požadavkům kladeným na současné motory vyhovuje. I při výskytu zjištěných extrémů ve struktuře zejména vnitřních partií odlitků bloků válců,



byla prokázána destrukce bloku za normálního provozu v motoru za posledních deset let. Musíme si uvědomit, že jakákoliv změna TP vedoucí k zvýšení jakosti materiálu je spojena s drahými výrobními opatřenimi.

6. Závěry a návrhy opatření

Srovnání strukt. mech. vl. souboru odl. blokuů litých na běžného provozu k souboru odl. bl. litých při odstávce předpecí :

- a/ výkresem předepsaných hodnot 170~230 HB tvrdosti /v místě předepsaném ke kontrole/ dosahovalo vždy 90% odlitků
- b/ výkresem předepsaného max. obsahu feritu /15%/ ve struktuře vnějších stěn dosahovalo během odstávky předpecí necelých 50% odlitků, kdežto za obvyklého provozu plných 83%. Výkresem předepsaného mx. obsahu 30% feritu ve struktuře vnitřních přepážek dosahovalo během odstávky předpecí přibližně jen 30% odlitků, kdežto za obvyklého provozu přes 50%.
- c/ nižší je rozdíl strukturně mechan. vlastnosti mezi vnějšími a vnitřními partiemi při zvýšení hladiny Rm přepážek válců odlitků bloků cca o 10-25% MPa.
- d/ o 20% se zvýšila četnost odlitků s velmi dobrými strukt.mech. vlastnostmi /Rm \geq 200/ v přepážkách válců /50%/ a na polovinu se snížila četnost odlitků s velmi nízkou hladinou Rm \leq 150 v přepážkách válců. Přesto jejich množství /13%/ je velké.
- e/ zeslabila se přímá souvislost chem. složení na mech.vlastnosti odlitku /zesilil se účinek ostatních souvislostí - např. licí a očkovací teploty/
- f/ odlitky, kterým přísluší Čeq \geq 4, s vysokým obsahem feritu ve struktuře mají obvykle nízkou hladinu hodnot mechan. vlast. Bloky s tímto chem. složením již vlastně neodpovídají internímu předpisu TP LIAZ 04 na max. přípustnou hodnotu Čeq 3,98 při dodržení předepsaných licích a očkovacích teplot
- g/ z hodnot mech.vl. naměřených na místě předepsaném výkresem pro měření tvrdosti nelze spolehlivě usuzovat na mech.vl. vnitřních přepážek
- h/ odlitky s velmi nízkou hladinou hodnot Rm v přepážkách jsou char. největším rozdílem mech. vl. mezi vnitřními a vnějšími stěnami bloku
- i/ odlitky s úrovní Rm \geq 200 MPa v přepážkách mají obvykle blízké hodnoty Rm ve vnější stěně i hlavové desce
- j/ rozptyl vl. vnitřních stěn je podstatně větší jak vnějších. Tento velký rozptyl je dán především rozptylem obsahu feritu.



Opatření

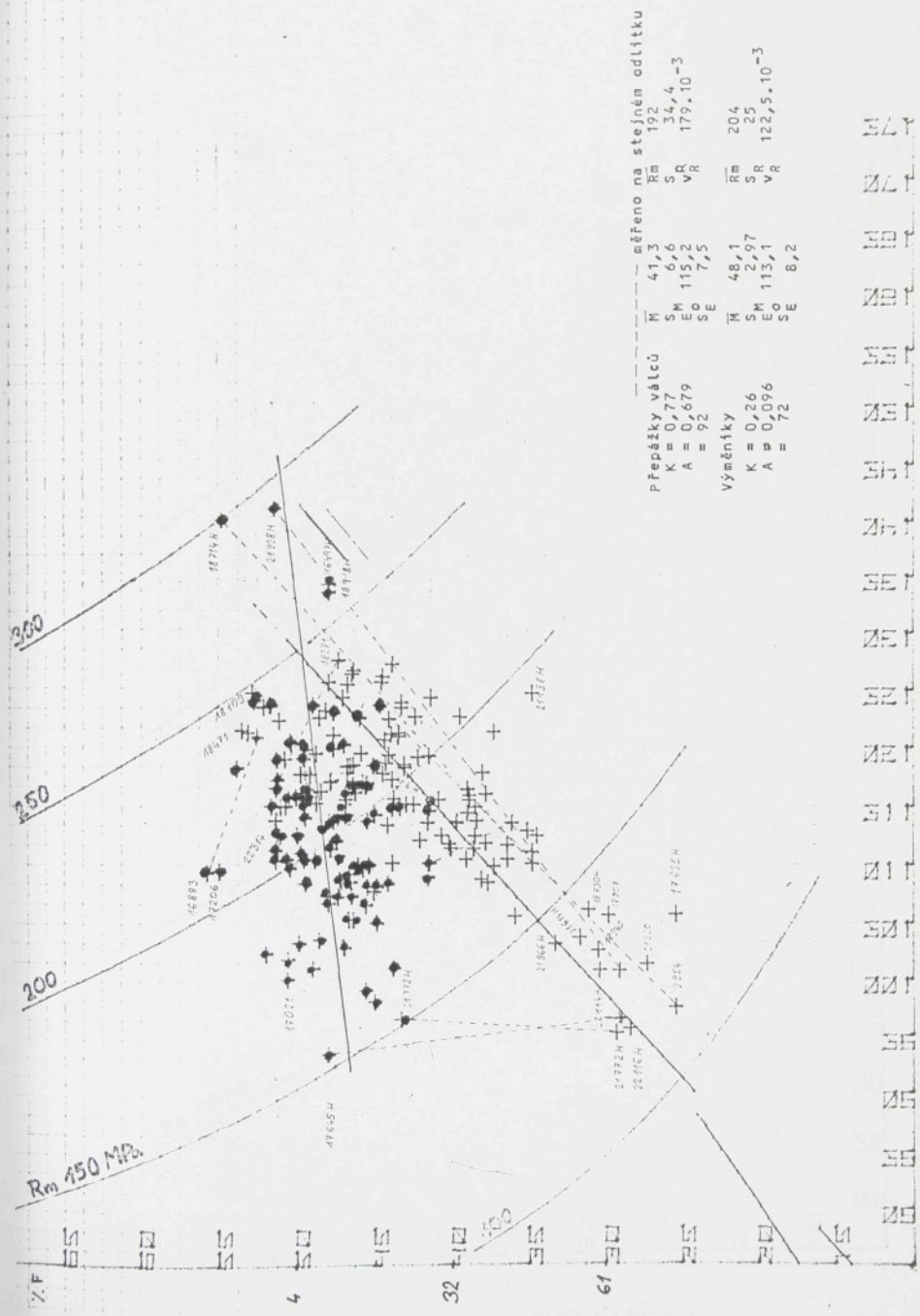
-
- 1/ Přesně dodržovat předpis TP na chemické složení lítiny pro odlévání bloků válců s Ceq max. 3,98 včetně dodržování licich a očkovacích teplot.
 - 2/ Předepsat v přepážkách válců místo pro nedestr.kontrolu jakosti materiálu přístrojem Remag nebo ultrazvukovým tloušťkeměrem. Provádět výběr jakostních odlitků pro vysoce namáhané přeplňované motory pokud k tomuto opatření povedou výsledky zkoušky dle bodu 6. Vypracovat návodku pro provádění opatření příp. statistické nedestr. kontroly a zaučit příslušné pracovníky TK LIAZ 04, 01.
 - 3/ Zlepšit a vyrovnat kvalitu materiálu bloků vyrábených v jednotlivých pracov. kolektivech zvýšenou kontrolou.
 - 4/ Vyvolat jednání pracovníků slévárny, konstrukce a OVMM o možnostech úpravy znění bodu 1 na výkresu bloku válců M 3 a uplatnit seriové zavedení nedestruktivních zkoušek.
 - 5/ Umožnit rozrezání odlitků bloků s extrém. mech. vlast., aby bylo možno se získaných zkuš. vzorků určit skutečnou strukturu a mechan. vlast. a tím dále upřesňovat výrázy pro nedestr.stanovení Rm, HB, %F.
 - 6/ Uskutečnit brzdovou zkoušku motoru s blokem válců s extrémně nízkou hladinou Rm. Bude možné kvantifikovat vliv materiálů na užitné vlastn. motoru, posoudit oprávněnost zvyšování mat. a jeho kontroly /bloky jsou pro tento účel uschovány/
 - 7/ V období odstávky předpečí je třeba věnovat výšší pozornost příslušným metalurg. předpisům a na tuto přechodnou dobu zavést i za připadné techn. a personál. pomocí OVMM zvýšení podílu kontrol. bloků válců /připadně i dalších důležitých odlitků/.
 - 8/ Na blocích válců motoru M 3 provést řadu ověřovacích destruktivních zkoušek a změřit špičková namáhání.

LIAZ
státní podnik
vývoj materiálu a metalurgie
JAROMÍR HECNÁR

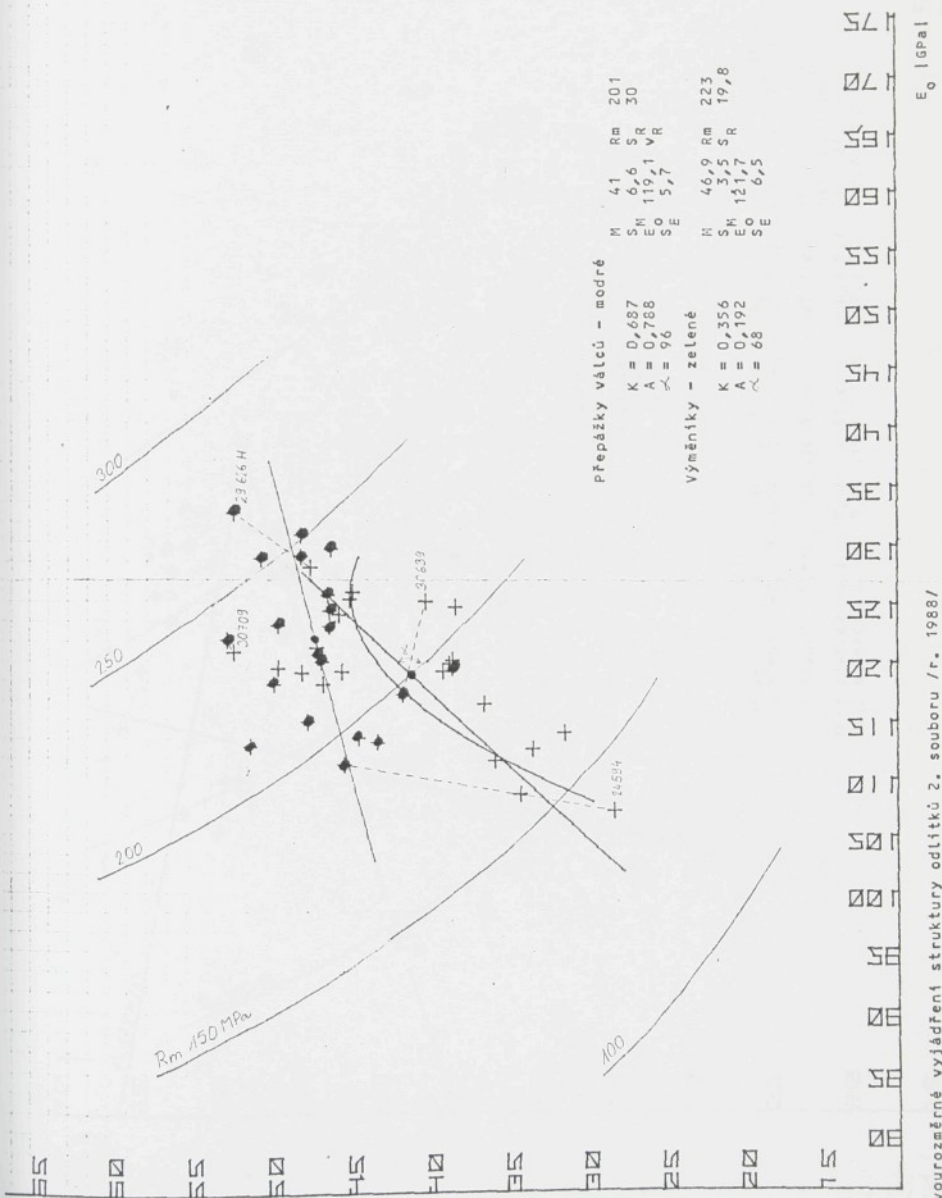


Literatura

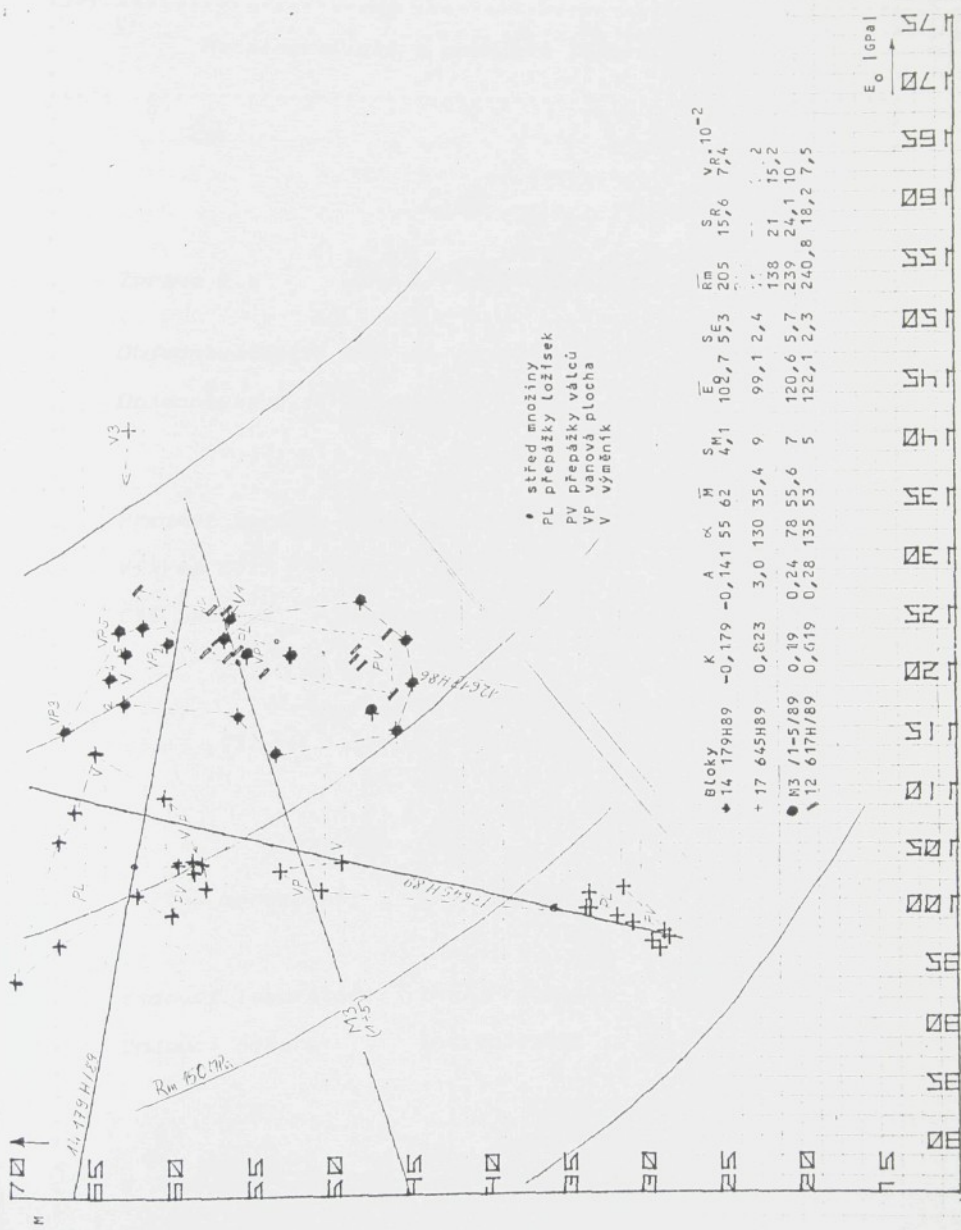
- |1| LIAZ 04: Zpráva o průběhu řešení technologie velkosériové výroby bloků válců o váze do 400 kg za rok 1977, oborový úkol OC 406, Liberec 1978
- |2| Šlajš Jan: Studie utváření mech. vlastností nelegované šedé litiny v tenkostenných odlitcích při různých podmínkách plnění dutiny formy, záv. práce postgraduálního studia na VUT Brno
- |3| Skrbek Břetislav: Nedestruktivní materiálová diagnostika litinových odlitek, kandidátská disertační práce, Jablonec 88
- |4| Skrbek: Kontrola odlitek motorů LIAZ ze šedé litiny přistrojem Remag 1, zpráva 144-3-Sk/84 LIAZ
- |5| Skrbek: Nedestruktivní určování pevnostních vlastností složitých odlitek, záv. zpráva úkolu M1-1-85/C LIAZ
- |6| Nedestruktivní stanovení dynamických vlastností litin, záv. zpráva úkolu M1-1-87/a
- |7| Jindra Pavel: Práce na řešení úkolu „Propadání můstku motoru M1“ č. 43/87, dílčí zpráva za r. 1987
- |8| Exner, Linka, Čech: Výzkum a vývoj vlastností šedých litin pro dynamicky namáhané automobilní odlitky, oborový úkol ČAZ č. OC 551M, závěrečná zpráva prosinec 1980
- |9| Skrbek, Lajtkep: Přípravek na pevnostní zkoušku litiny, řešení TÚ 10-33/86 s. p. LIAZ



Dvourozměrné vyjádření struktury 1. souboru oddílků 19



Obr. 20 Dvoourozměrné vyjádření struktury odlišk 2. souboru / r. 1988/



Metalografická a chemická laboratoř

Zpráva č.: 201-06-B/92

Objednávatele: DŘJ

Objednávka č.: 683/88

Předmět zprávy: Bloky válců M 3341/II.

Výkres č.: 442 1 1002 013 5

Cíl zprávy: Kontrolní nález

Zprávu zpracoval: Ing. Skrbek, CSc. 

Vedoucí laboratoře: Ing. Procházka

Vedoucí odboru: Ing. Volejník

V Jablonci nad Nisou dne: 24. 7. 1992

stran: 12 obrázků: 3 tabulek: 7

Úvod

Úkolem této zprávy je určit přehled kvality materiálu přepážek bloků válců M 3341/II. odлитých v roce 1992 ve slévárně Liberec pro LIAZ závod 01 Jablonec s ohledem na nutnost zavedení provozní kontroly a s ohledem na konstrukční úpravu partie přepážek válců (nákrusky).

Zpráva obsahově navazuje na výsledky měření na blocích M 3341 zpráv 147-3-Sk/B9 a 176-4-Sk/90, /1/, /2/.

Úkol vyplynul z porady ke kvalitě materiálu bloků válců z 20.12. 90 a z NZ 01-535/91.

Bylo prováděno pouze nedestruktivní měření rychlosti zvuku v nebo zbytkového magnetismu M příložnými sondami přístroje SYLIT v přepážkách válců.

Z dřívějších měření vyplývá, že tyto přepážky jsou kritické na výskyt nepříznivé struktury litiny. Vztah obsahu feritu F, modulu pružnosti E₀, pevnosti v tahu R_m k nedestruktivně měřeným veličinám v, M byl stanoven a ověřen v předchozích zprávách.

1. Materiál bloků válců M 3341/II.

ČSN 42 2420 - nelegovaná šedá litina

Tvrdoost 170-230 HB - měřena na dosedací ploše hlav válců dle

ČSN 42 0371

Obsah feritu F vnitřních stěn 6-15mm max. 30%

Chemické složení [%]

tab. č. 1.

	C	Mn	Si	P	S
výkres	3,2-3,5	0,5-0,9	1,7-2,3	<0,3	<0,12
slévárna	3,25-3,45	0,65-0,9	1,7-2,2	<0,2	<0,12

Uhlikový ekvivalent CE=3,82-3,98

$$CE = C + Si/4 + P/2$$

Současné požadavky slévárny na chem. složení jsou přísnější jak hodnoty na výkrese.

2. Technika experimentu**2.1. Nedestruktivní měření**

Místo měření na přepážce válce bloku motoru je vyznačeno na výkresu. Nachází se mezi meziválcovým otvorem a nákrusky.

Zde má přepážka přibližně rovnoběžné povrchy vhodné pro nedestruktivní kontrolu.

Přístroj SYLIT řízený počítačem ZPS 3 - SAPI 1 umožnuje měřit rychlosť zvuku, tloušťku stěny a zbytkový magnetismus příložnými sondami. Vypočítá pevnost měřené stěny odlitzky.

Pro podchycení kvality materiálu bloku válců stačí měřit jen jednu veličinu. Proto u většiny odlitzků byla měřena jen velikost zbytkového magnetismu M, nebo rychlosť zvuku v.

■ Použité výpočtové vztahy:

Obsah feritu F ve stěně [%]

$$F = 145 - 2,42 M \quad /2/$$

Počáteční modul pružnosti [GPa]

$$E_0 = (L/L_u - 437,8)^2 \quad /3/$$

Relativní rychlosť zvuku vr [1]

$$v_r = L/L_u \quad /4/$$

L...tloušťka stěny měřená posuvným měřítkem

L_u... " ultrazvukovým tloušťkoměrem seřízeným na standart v_L = 5930 m/s (ocel)

Pevnost v tahu [MPa]

$$R_m = 2,122 M^{0,463} v_r^{5,731} \quad /5/$$

Vztahy převzaty z (3).

2.2. Soubor měřených odlitzků

Odlitzky v.č. 1718/91 - 4161/91 byly proměřeny přímo ve slévárně /4/ v dílně apretace odlitzků

Základní statistické údaje zprávy 201-6-B/92 čerpají hlavně z výsledků kontroly produkce za rok 1992. Měření bylo prováděno v závodě LIAZ 01 na vstupním válečkovém dopravníku, z kterého se odebírají bloky k prvním obráběcím operacím.

Množství měřených odlitzků bloků válců za r.1991: 17
za r.1992: 87

Každý byl proměřen pokud možno ve všech pěti přepážkách válců. Uvádím i výsledky měření na dvou blocích M 3341 a M 4103 M1.2C určených pro vývoj.

Každému odlitku je přiřazeno výrobní číslo, rok a písmeno, které přísluší urč. pracovnímu kolektivu ve slévárně (formovna, tavírna). Vzhledem k nepravidelné výrobě bloků válců, nebylo zajištěno rovnoměrné vzorkování kvality (v průběhu prvního pololetí r.1992).

3. Vlastnosti odlitků bloků válců

Záznamy měření ve formě výpisu tiskárny SYLIT a tabulky obsahuje příloha P1, P2, P3 a P4.

Vypočtené hodnoty obsahu feritu v přepážkách válců (stř. hodnoty), modulu pružnosti E_0 i pevnosti v tahu R_m (obsahuje tab.č.6.).

3.1. Tloušťky L přepážek v měřeném místě

Použity výsledky z přílohy P4.

tab.č.2.

Přepážka	1.	3.	5.	Průměr
L [mm]	9,37	9,45	9,5	9,42
S _L n-1	0,49	0,44	0,48	0,47
L min.	8,7	8,7	8,7	N=70
L max.	10,3	10,2	10,1	-

S n-1...rozptyl

L.....střední hodnota L

3.2. Obsah feritu v přepážkách válců

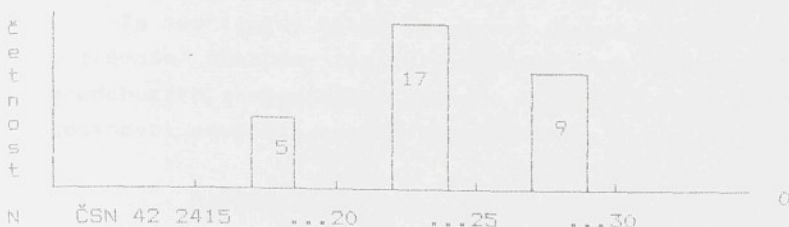
tab.č.3.

Blok válců	Soubor četnost	Stř.obsah F [%]	Rozptyl S _F n-1	F max.	F min.
1991	13	41	18,4	75	15
1992	67	39,6	22,3	82	0

O rozložení hodnot M a F dává přehled sloupcový graf na obr.1. Nejde o typické normální rozložení. Velký podíl odlitků má zcela perlitickou (F>0) strukturu

3.3. Modul pružnosti E_0

ČSN udává informativní hodnoty E_0 jednotlivých jakostních tříd šedé litiny. Podle těchto hodnot byl roztríďen soubor měřených odlitrků (obr.2.).



Obr.2. Rozložení jakosti materiálu bloku válců podle hodnot E_0

Satistika E_0 : $\bar{x}=119,8$ [GPa]

S n-1=7,5 N=31

x max.=132

x min.=106

Hladina hodnot E_0 je poměrně vysoká – dobré očkování a nízké hodnoty CE litiny.

3.4. Bloky válců pro vývoj

– uvádím stř. hodnoty všech přepážek

tab.č.4.

Bloky válců M1.2C	Ferit [%]	E_0 [GPa]	Rm [MPa]
M 3341/90 č.4.	80	110,9	141
M 3341/90 č.1.	63	112,1	164
M 4103/92 č.8	38	122,7	232
M 4103/92 č.11	-	133,9	-

4. Rozbor změřených vlastností

4.1. Posouzení z hlediska předepsaných hodnot

Uvnitřní stěny bloků válců by mely obsahovat max. 30% feritu. Přesně vzato 62,5% bloků válců má obsah feritů vyšší (r.1991 a 1992). Naopak asi 18% bloků válců (s minimálním obsahem feritu) lze strukturou přirovnat k nízkolegované šedé litině ČSN 42 2425. Obsahy feritu i do 60% se nemusí

projevit na podstatném snížení hodnot pevnosti Rm stěny, pokud je struktura litiny kompenzována vhodně vyloučeným grafitem (vysoké hodnoty E₀) - viz tab.č.6B. Z tohoto pohledu na strukturu vyhovuje 87% odlitků (vysoké hodnoty E₀) - obr.2.

Za nepříznivý nutno považovat výskyt bloků (10%) válců s extrémním obsahem feritu ve vnitřních stěnách F≥70%. Po předchozích zkušenostech z prací /1/ a /2/ mohou takové stěny dosahovat pevnosti jen Rm 100-120 MPa - viz přibližný výraz

Rm=234-1,66F /6/

Zvláště bloky válců do motorů pro soutěžní vozy a vývojové zkoušky. Při větším zvýšení výkonu motoru se mohou porušit - viz zpráva /5/.

Z odstavce 3.4. plyne, že dva bloky válců M1.2C (určené údajně pro motory do soutěžních vozů) zcela nevyhovují!

4.2. Časová posloupnost materiálové kvality bloků válců

Časová posloupnost je na obr.3. vyjádřena řadou výrobních čísel bloků válců. Množství odlitků je za sledované období odlite velmi málo - série odlitků lity v krátkých časových intervalech a velkým vzájemným časovým odstupem.

Vývoj kvality popisuje pás o šířce cca 30% feritu mezi dvěma křivkami, které mají dvě výrazná minima v období 1.-10.2. 92 a 14.-25.5. 92. 30% feritu je asi pravděpodobný rozsah změny kvality materiálu během jedné směny ve slévárně.

Vývoj kvality interpretovaný výpočetním softwarem ORJ neposkytl dostatečnou názornost (přílohy PS)

Z období 15.1.-30.3. 92 bylo vzorkováno málo odlitků, proto pás kvality není zřetelný.

Pracovníci slévárny musí uvedený průběh (zvláště minima) kvality dát do souvislosti s materiálovými vstupy a metalurgickou výrobou. Bude tak možno předcházet extrémním poklesům kvality materiálu (bloků).

Výrazně příznivý "nespojitý" extrém kvality byl zachycen 28.2. 1992.

4.3. Vliv chemického složení

Ze slévárny byly pro většinu kontrolovaných odlitrků získány informace o chem. složení (tab.č.7.). Pouze minimum kvality 19,5. lze přiřadit max. hodnotu uhlíkového equivalentu. Hodnota 3,96 je ale ještě ve výrobní toleranci. Vzhledem k tomu, že se ve slévárně téměř výhradně odlévá sortiment odlitrků z šedé litiny ČSN 42 2425 (CE(3,76;3,92)), lze vysvětlit častý výskyt nižších hodnot CE<3,82. Chemické složení je vyhovující.

4.4. Rozložení kvality podle písmenného značení

V tabulce č.5. jsem přiřadil jednotlivým znakům za výrobním číslem stř. hodnoty kontrolovaných vlastností. Soubory nejsou zcela reprezentativní četnosti a časovým rozptylem. Tab.č.5. naznačuje na nejnižší kvalitu materiálu při značení I, H a nejvyšší při ozn. J, bez označení.

Posloupnost kvality z daného souboru měření.

ZF...C → J(L) → (-) → T → O → F → U → V → H → I

Eo...F → Y → H

Nejvyšší rozptyl vlastností lze přiřadit značkám F a U.

tab.č.5.

Označení	bez	C	F	H	I	J	L	O	T	U	V
% feritu X S n-1	30 13,7	2 -	37,1 27	49 20,3	67,2 16,2	28,2 12,7	20 -	34 19,8	32,5 21,6	38,8 24,5	45,3 14
četnost	15	2	5	17	7	6	1	6	8	5	8

Označení	-	F	H	J	L	Y
Eo X Sn-1	132 -	121,3 9,2	117,3 10,4	119,4 -	120 2	120,7 6,9
četnost	1	5	10	1	3	7

5. Závěr

V rámci této zprávy byla nedestruktivně zkontolována jakost materiálu 104 odlitrků bloků válců motorů sériové Produkce (M 3341/II.) a čtyři bloky válců M1.2.C. Hodnoty Eo

měřených odlitrků jsou poměrně vysoké. Podobně jako v předchozích letech (zprávy /1/ a /2/) byl zjištěn asi 10% podíl odlitrků bloků válců s velmi vysokým obsahem feritu (F₂₇₀) v přepážkách válců, ale i 18% s jeho minimálním obsahem (F<15), který odpovídá blokům válců z nízkolegované šedé litiny ČSN 42 2425.

Zesílení přepážek válců nákrusákem se tedy výrazně neprojevila na zvýšení kvality jejich materiálu.

Proto i u současného bloků válců považuji za nezbytné zavést 100% nedestruktivní kontrolu přepážek válců, která je technicky reálná.

Bezodkladně je třeba kontrolovat přepážky vývojových odlitrků - příslušná změna na postupové a kontrolní kartě č.v. 61-0-0237 v příloze, kterou by měli pracovníci slévárny ve všech kolonkách vyplňovat, byla učiněna.

Byl zjištěn konkrétní průběh a šířka pásu kvality materiálu (30% feritu).

Závislost kvality nesouvisí také s chem. složením. Lze předpokládat těsnější závislost na písmenném označení, případně dalších, v této zprávě neurčitelných výrobních vlivech. Výběrovou kontrolou vzhledem k těmto vlivům by se získaly konkrétnější závislosti a možnosti k zvýšení kvality materiálu.

Literatura:

- /1/ Skrbek, B.: Statistická kontrola materiálů bloků motorů M1A, zpráva LIAZ č. 147-3-Sk/89 str. 10-250
- /2/ Skrbek, B.: Stat. kontrola mater. bloků motorů M1A, zpráva LIAZ č. 176-4-Sk/90 str. 10-250
- /3/ Skrbek, B.: Nedestruktivní materiálová diagnostika litinových odlitrků, disertační práce Jablonec 1988
- /4/ Skrbek, Vodička: Měření strukturněmech. vlastností odlitrků bloků válců, zpráva 78B-2-Sk/91
- /5/ Skrbek, B.: Blok válců M 3341/C, č. 1/88, zpráva 244-6-Sk/90 str. 10-250

Příloha P4 - měření na blocích válců ultrazvukem LC 545 C
[mm]

Přepážka válců	1	2	3			
výr.č. bloku	L	Lu	L	Lu	L	Lu
1992						
140 H	9,2	11,7	9,6	12,5	9,8	13,4
136 H	9	11,5	9,25	12,4	9,6	11,9
332 L	9	11,6	9,55	12	-	-
435 J	9,2	11,65	9,5	12,1	-	-
543 Y	9	12	9,2	12,1	9,6	12,6
499 H	9	11	9,4	12,4	8,95	12,2
504 H	8,9	11,7	9,4	12,5	9	12
523 H	8,8	11,4	8,8	11,8	8,8	11,7
524 H	8,7	11,5	8,7	11,9	8,7	11,7
229	10,05	12,9	9,8	12,9	10	12,05
244	9,2	11,8	9,3	11,65	9,2	11,73
404 Y	9	11,45	9	11,25	9,2	11,45
450 L	8,75	11,15	8,8	11,05	8,8	11,2
195 H	10	12	9,6	11,5	9,5	11,6
604 F	9,5	12,65	9,3	12,35	9,4	12,55
695 L	10,3	12,75	10	12,45	10	12,65
613 F	9,7	12,15	9,1	11,55	10	12,8
574	10	12,8	9,8	12,8	10	12,7
558	9,8	11,8	10,2	12,4	10	12,4
556	9,75	12,45	9,9	12,65	9,9	12,45
605	10,1	12,9	10,2	12,9	9,9	12,65
1991						
8260 Y	10	12,45	10,2	12,25	-	-
8492 Y	9,3	11,35	9,4	11,15	-	-
8737	8,8	10,6	8,9	10,6	-	-
9840 H	9,15	11,05	9,35	11,45	-	-
1992						
M 4103	9,5	11,6	8,5	10	8,9	10,6
M 1.2.C						

Tabulka č.6.

Číslo bloku 1992	Obsah feritu F [%]	Číslo bloku 1992	Obsah feritu F [%]
2005	18	2474 U	26
2067 J	8	2493 V	65
2103 J	31	2494 V	52
2163 T	4	2499 V	50
2168 T	7	2503 V	47
2175 V	30	2507 V	47
2204 O	1	2525 O	59
2218 O	33	2548 I	75
2257 U	3	2555 I	82
2302 T	14	2565 I	76
2333 -	23	2576 I	60
2343 J	28	2578 I	62
2367 J	47	2631 V	50
2383	21	2632 V	53
2375 F	14	2653 H	56
?	16	2684 H	78
2394	48	2695 O	25
2402 H	46	2730 O	43
2427 H	40	2772 J	23
2429 H	53	2778 J	32
2467 U	69	2850 U	42

Tabulka č.6A. Vypočtené vlastnosti bloků válců

Výrobní číslo	Obsah feritu F [%]	Modul pružnosti E ₀ [GPa]
1991		
1778	35	
3723	35	
3897	15	
3926 H	55	
3937 H	70	
3975 -	45	
4118 H	45	
4125 H	40	
4135 H	75	
4161 -	15	
4769 T	30	
6199	25	
6281 T	48	
8260 Y		132,6
8492 Y		128,6
8737		132
9840 H		131,4
1992		
136 H		116,6
140 H		111,5
195 H		131,5
212H	0	
229		126
244		118,7
332 L		118,4
404 Y		121,4
435 J		119,4
450 L		119,3
499 H		108,9
504 H		109
523 H		109,7
524 H		106
543 Y		110

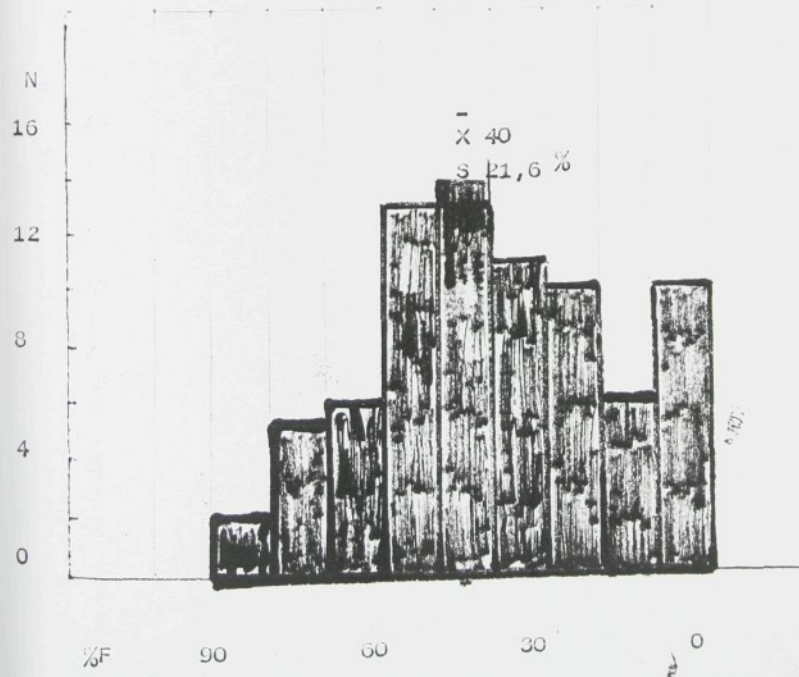
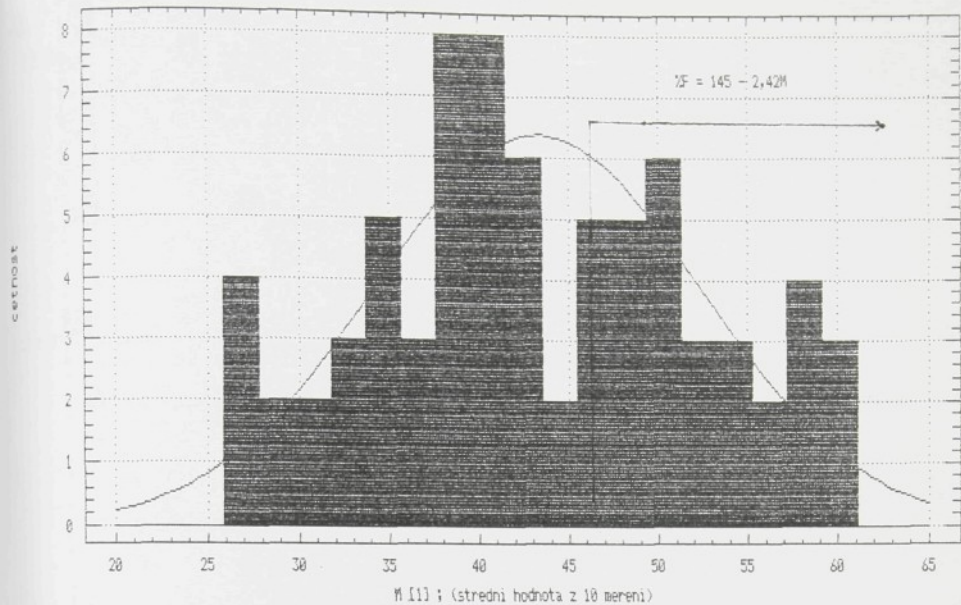
Pokr. tab. č. 6A.

545 I	80	
556 Y		116,6
558 Y		128,9
574 Y		116
595 L		122,4
604 F		108,1
605 F		118,4
613 F		119,3
624 F	67	
644 H	76	
689 H	67	
704 H	51	
752	40	
759	62	
793 C	4	
797 C	0	
810 F	6	
824 T	57	
841 T	52	
1005	34	
1157 H	24	
1198	18	
1301 I	36	
1589 L	20	
1598 H	23	

Tabulka 6B.

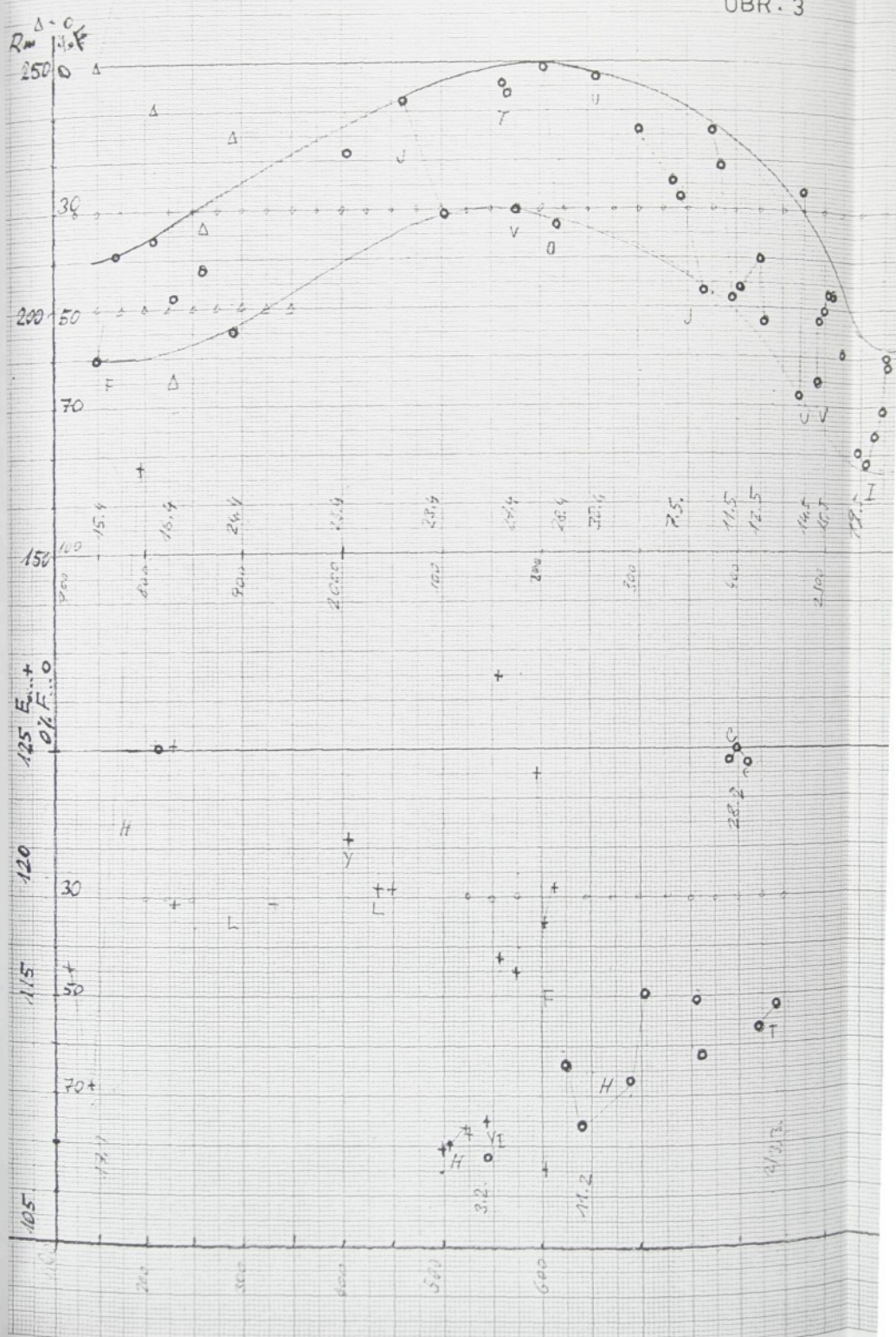
Číslo bloku 1992	Obsah feritu F [%]	Modul pružnosti E ₀ [GPa]	Pevnost v tahu R _m [MPa]
1749 F	60	131,1	249
1769 F	40	128,9	267
1810 H	36	121,4	241
1830 T	48	113,9	185
1857 D	43	120,2	217
1891 U	55	126,1	235

OBR.1 Bloky valcu M1.2B
pristroj SYLIT



Obr.1 Rozložení hodnot M a obsahu feritu F v přepážkách válců.

OBR. 3



VYSOKÉ UČEBNÍ TECHNICKÉ V BRNĚ

Fakulta strojní

Ústav materiálového inženýrství, odbor nekry o materiélu

1. ŘÍJEN 1993 - 1. ŘÍJEN 1994
ZÁVĚREČNÁ PRÁCE
SPECIALIZAČNÍHO STUDIA
DEBEKTOSKOPIE

Obor: Materiálové inženýrství - specializace Nedestrukтивní
zkoušení materiálů a výrobků

Název zadání : Kontrola materiálové jakosti odlitrků bloků
válců naftových motorů

Posluchač : Ing. Břetislav Skrbek, CSc.

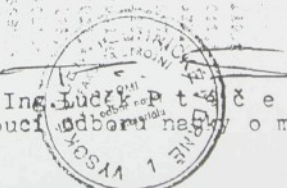
Vedoucí závěrečné práce : Prof. Ing. Bohumil Mišek, DrSc.

Zadáno dne : 14. ledna 1994

Odevzdějte dne: 31. března 1994

V Brně dne : 14.1.1994

Doc. Ing. Jiří Ptaček, CSc.
vedoucí odboru nekry o materiélu



1. Úvod-přehled

Bloky válců tvoří základní nosnou součást naftových motorů. Jsou to typické složité relativně tenkostěnné odlitky se složitými krystalizačními poměry při tuhnutí ve formě [1]. Proto na mechanické vlastnosti jednotlivých partií nelze usuzovat na základě tloušťky stěny a z tabulek materiálových listů ČSN a ke kontrole materiálu nelze použít klasické laboratorní postupy (Měření tvrdosti na přístupné stěně ap.).

Nepravidelný výskyt případů snížené životnosti motorů a problémy při technologii zpracování odlitků bloků válců měly materiálový původ. Proto oddělení řízení jakosti uzneslo požadavek na sledování vývoje jakosti materiálu bloků válců jeho v kritických partiích.

Ke kontrole byla aplikována ultrazvuková metoda a metoda remanentní indukce. Kombinovaná nedestruktivní kontrola byla ověřována na souborech odlitků posléze i na "prani" reálnou komboinovaným zařízením SYLIT. Vypracovaná kontrolní metoda byla promítnuta do technické dokumentace výroby bloků válců.

Výsledky kontroly ověřovacích souborů umožnily odhalit nové souvislosti a příčiny kolísání kvality materiálu. Tím slevárenská výroba poznala, která opatření jsou pro zvýšení kvality nezbytná.

2. Charakteristika problému

Předepsané materialové vlastnosti odlitků bloků válců vychází z předpokládaného namáhání a rozměru. Vyčet nevyhovujících bloků souvisí s kvalitou materiálu. Nutno určit kritická místa odlitků též s ohledem na výrobní technologii a specifikovat kritéria kontrolní metody.

2.1. Namáhání bloků válců

Blok válců řadového čtyřivalcového naftového motoru LIAZ je skříňovitý odlitek se silnou deskou s dosedací plochou hlav valců (A), vnějšími tenkými stěnami (B) a vnitřními tenkými přepázkami (C) - viz. náčrt na obr.1.

Základní mechanické namáhání pochází od spalovacích tlaků a setrvačních sil klikového mechanismu. Síla na pist a hlavu Fz od spalovacích tlaků se přenáší na blok přes šrouby vika ložiska (G) klikového hřídele a z hlavy (E) šrouby hlav valců utaženými na vysoké předpětí - obr.2.

Dosedací partie hlav valců bloku je tedy namáhána ohybem a přepázkami s vnějšími stěnami na místy tah. Podíl přenesené síly závisí na průřezu stén a jejich tuhosti - hodnotě E modulu pružnosti.

Na tahové namáhání je litina nejcitlivější, má nejnižší hodnotu pevnosti Rm ve srovnání s namáháním v ohybu

$$R_m = 0,5 R_{mo}$$

nebo tlaku.

2.2. Konkrétní problémy s bloky

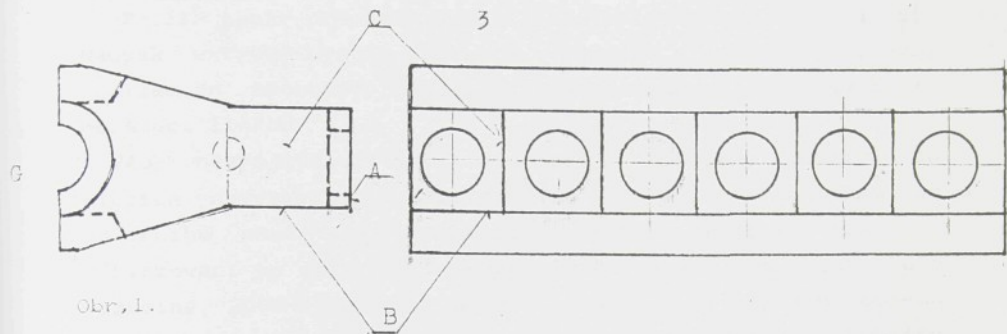
Základním podnětem ke zimtenzivní kontraktuální činnosti je nevyrovnaná výrobní jakost a tím ekonomické ztraty.

Nepravidelně se vyskytující netěsnost mezi hlavami a blokem motoru LIAZ po podrobnějším prosetrování příčin měla i materialové souvislosti - viz. zpráva [2].

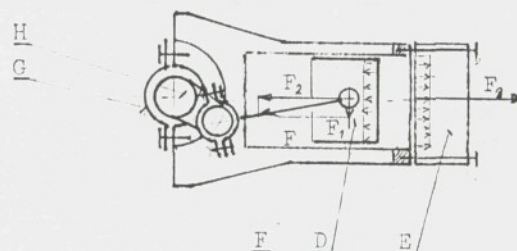
Jednotlivé případy havarií motorů z titulu, které se projevily destrukcí bloku valců, souvisí s nízkou hladinou mechanických vlastností litiny zejména ve vnitřních partiích tj. v přepázkách odkud obvykle se sřítil i lom [3,4].

Typickou prasklinu vycházející z otvoru ve vnitřní

přepážce bloku valců dokumentuje obr.3. Zviditelnění praskliny bylo provedeno kapilární defektoskopii - penetrační soupravou INDIKAL.



Obr.1.



Obr.2.



Obr.3. Prasklina v přepážce mezi válci .

Obr.3 Prasklina v přepazce mezi valci motoru.

Prilis tenke přepazky uvádi jako příčinu lomu zprava [5]. Naopak extrémě vysoká hodnota tvrdosti a struktura s vys. podílem Mn způsobily několikrát nepříčehodnost odlitku bloku obráběcí linkou.

Vady nespojitosti materiálu se v provozně používaných blocích nevyskytuji. Trhlinam za tepla a prasklinam od vnitřního pnutí se předchazi vyvinutym režimem rizeného ochlazovani po odliti. Povrchove slevárenské vady kontroluje vizuelné 100% slévárna. Šedá litina vlivem narůstu objemu při tuhnutí (grafit) běžně netvoří staženiny, rediny. Bublinky pokud se vyskytnou jsou těsné pod povrchem vršku odlitku odhaleny obráběním.

2.3. Předepsané vlastnosti materiálu (vychozi podm.)

Blok valců pro běžné seriove motory M1.A,B LIAZ:	
vykres	442 1 1002 013 5
model	M3341/II
hmotnost	340kg
sila L stěn přepážek a vn.stěn	8 mm
sila L desky dosed.plochy hlav v.	25-35 mm (odlitek)
materiál - nelegovana šedá litina ČSN 42 2420	
tvrdost	170-230HB
místo měření tvrdosti	deska hlav mezi 3.a 4.valc
struktura vnejší stěny L=6-15mm	max.15% feritu
vnitřní " "	max.30% feritu

Chemicke slozeni	C	Mn	Si	P	S	CE
min.%	3,2	0,5	1,7	-	-	3,82
max.%	3,5	0,9	2,3	0,3	0,12	3,98

Uhlíkovy equivalent

$$CE = C + Si/4 + P/2 \quad (1)$$

Modul pružnosti počáteční $E_0 = 109,9$ GPa uvádi ČSN 42 2420 jako informativní hodnotu pro steny $L = 15-30$ mm.

2.4. Technologie výroby odlitků bloků

Funkčnost bloku valců dáva svým tvarovým řešením konstrukter tež s přihlédnutím k zvláštnostem technologie výroby odlitků ze želež litiny. Hodnoty vlastnosti dle ČSN 42 2420 platí pro volně zchladlé odlitky s minimalní průčelností tekuté litiny a jsou tedy idealizované z pohledu vlastnosti v celém objemu odlitku.

2.4.1. Slévárenská technologie

Na vyslednou strukturu má tež vliv interakce s kovem a tepelná jemnost formovacích materiálů, dale technika odlévání.

Blok valců je odlewán naležato s vtoky ušticími do hlavové desky. Vnitřními přepážkami proudí litina 24-30 s. Následně se zaplní tenka vnější stěna vyměníku tepla oleje a příslušná část vanové dosedací plochy (spodního víka bloku).

Vnější tenké stěny L = 7mm tak dosahovaly pevnosti Rm až 240MPa, zatímco hodnoty Rm vnitřních přepážek na témže odlitku byly zpravidla nižší jak 200MPa (pomale ochlazování přepážky díky formou naakumulovanému teplu) s větším množstvím vyloučeného feritu [1,7].

Odlitky řízeně chladnou ve formě po dobu 160min +-15 v ochlazovacím tunelu. Jinak se musí žíhat na odstranění vnitřního pnuti [8].

Kontrola mater. odlitku se provádí jen na 5% odlitků měřením tvrdosti dosedací plochy hlav Poldi kladivkem.

2.4.2. Metalurgická příprava tekuté litiny

Litina se v liberecké slévárně tavi v horkovětrné kuplovničce s malým plynovým předpecím (asi 5T). Plynulost dodávek na lici linky a rovnomořnost složení zajistuje velkoobjemové indukční udržovací kanalkové předpecí PIKS na 25T tekutého kovu. Vychází litina je kontrolovaná stanovením CE termickou analýzou a klínkovou zakalkovou zkouškou (zakalka 4-6mm).

Oškování, které zajistuje jemnou a rovnomořnou krystalizaci, se provádí do proudu kovu do lici panve při min. 1370°C směsi Fe75 a gramodu.

2.4.3. Vnější podmínky

Současná krize slévárenství jako oboru je doprovázena mnohonásobným snížením sériovosti a extrémním rozšířováním

sortimentu při svízelné surovinové zabezpečitelnosti výroby. Velký rozptyl výchozích parametrů surovin pro vsazkování plyně z jejich snížené kvality a platební neschopnosti sleváren. Potřebná reprodukovatelnost kvality vyzaduje mimorádné úsilí zaměstnanců sleváren [9]. Proto lze očekávat větší podíl nevyhovujících odlitek. Nutno zintenzivnit kontrolní činnost.

3. Vývoj kontrolní metody

Z uvedených skutečností vyplývá, že kontrolní metoda musí určovat strukturně mechanické vlastnosti lokálních oblastí odlitek bloků valců. Dosavadní kontrola Poldi kladívkem není účinná.

3.1. Kontrolní místo

Tepelné nejvíce ovlivňovaná krystalizace probíhá ve vnitřních přepážkách valců. Přepážky jsou navíc velmi namáhané tahovými silami. Zde je třeba uplatnit nedestruktivní diagnostiku. Na obr. 5 je označeno A. Nepřístupnost přepážek nedovoluje uplatnit klasické kontrolní metody.

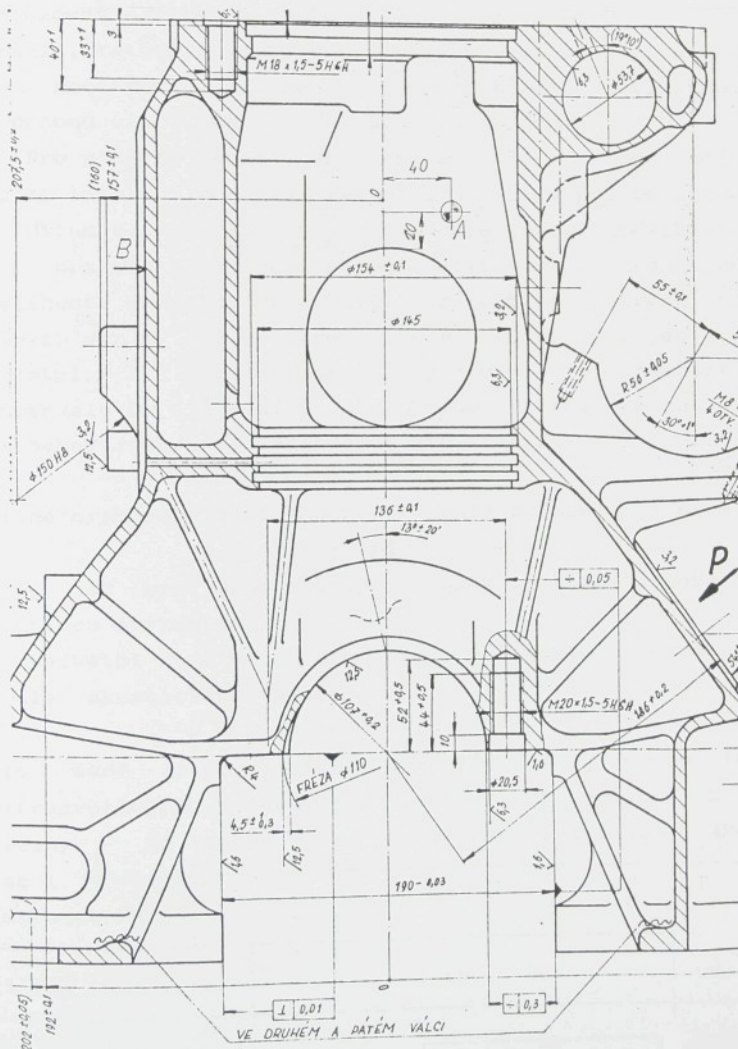
Opačný extrém tvorí "nejtvrdší místa", která lze očekávat v tenke stěně výměníku a s malým zatízením. Dutina výměníku je tvorena velkoplošným jádrem. Pokud jádro "vyplave" vznikne velmi tenká stěna (i jen 3mm). Tato plocha je proto kontrolována ultrazvukovým tloušťkoměrem na tloušťku stěny ve slevárně - na obr. 5 ozn. B.

Rozdíl mechanických vlastností mezi místy A a B může sloužit ke kontrole rozptylu mechanických vlastností v jednom odlitku. Tim můžeme sledovat účinnost očkování nebo legování.

3.2. Výběr metody

Šedá litina ve své struktuře obsahuje diamagnetický grafit ve formě lupinků a kovovou hmotu slitin železa - obvykle feromagnetickou. Na výsledných mechanických vlastnostech se tedy podílí dvě zcela fyzikálně odlišné látky. Příklad struktury šedé litiny v odlitku bloku valců uvádí obr. 4.

3.2.1. Akustické metody



Obr. 5. Řez blokem valců - místa kontroly A,B.

posuzovat odlity i podle útlumu (dozívání).

Lokální metody pracují s ultrazvukovými sondami a hodnoti se jen prozářován sloupec litiny. Základní veličinou je doba průchodu ultrazvukové vlny měřenou stěnou.

Pro poměrně tenké stěny přepážek je prakticky nejpoužívanější impulzní odrazová metoda s dvojitou primou sondou.

Útlum ultrazvukových vln (reprezentovaný koeficientem α) a tím praktická prozřitelnost litinových stěn závisí na velikosti grafitových útvarů D a použité frekvenci ultrazvukových vln f . Pro velikost vlny $l \gg D$ nastáva jen Rayleighův rozptyl. K stochastickému rozptylu vln dochází již v intervalu $D < l < 2ID$. Do tohoto intervalu běžně litiny a zkusební frekvence zasahují - viz. tab.1:

Silně ořamovaná část hodnot l spadá do oboru rovnice |12|

$$\alpha = \alpha_0 l^2 + \alpha_f \quad (2)$$

tedy již pro stochastický rozptyl, který roste s druhou mocninou frekvence.

Největší ztráty nastanou pro $l = D$ (difuzní rozptyl).

Pokles akustického tlaku

$$P = P_0 e^{-\alpha L} \quad (3)$$

Pro sedé litiny nižší jakosti jsou vhodné frekvence ultrazvukových vln pouze do l max. 2MHz. Odlity z jakostní litiny - 42 2425- lze prozářovat i frekvencí 4MHz - viz.

tab.1.

Kmitočet MHz	1	2	3	4	6	D	2ID
litina ČSN	vl m/s	l um				um	um

42 2410	3500	3500	1750	1170	870	580	250	1570
42 2425	4500	4500	2250	1500	1120	750	120	750
LÖG	5300	5300	2650	3100	1330	880	100	630

LÖG....litina s cervikovitým grafitem.

Podmínky měření rychlosti zvuku v prepazkách valců s ohledem na možnost výskytu litiny 42 2410 a normy pro měření tloušťek stěn ultrazvukem [13]:

Frekvence sondy f=2MHz
 Typ dvojita prima
 Max. drsnost povrchu R=12,5um
 Kalibrace (ocel v_L 5920m/s) etalonem L=10mm
 Vazební medium vaselina
 Přístroj: UZ tloušťkoměr s číslicovým nebo grafickým displejem, vhodné RS rozhraní pro dokonalejší využití.

Obsluh: Absolvent skolení obsluh UZ tloušťkoměrů dle směrnice CNZ 92/93.

Místo měření: Oznámené A na obr.5. Dolní část prepazky mimo její osu kde probíhá ^{pozad} řez od jádra.

Měření: Dvakrát. Jednou z každé strany prepazky. Zaznamena se největší z odečtených hodnot Lu.

Pro stanovení rychlosti zvuku

$$v_L = v_r \cdot v_{oL} = (L/L_u) \cdot v_{oL} \quad (4)$$

je treba znát skutečnou tloušťku stěny L prepazky. Při měření L v prepazece prostým posuvným měřítkem se dlouhé čelisti svoji plochou opírají o neprozařované části stěny, které mohou mít větší rozměr. Tento nepříznivý vliv eliminuje použití posuvného měřítka s vyměnnými nastavci na čelistech dle obr.6.

Prosté odečítání délky ze stupnice a následná posuvného měřítka uvnitř bloku při měření tloušťky L prepazek je namahavé. Vyhodnější je použití digitálního posuvného měřítka s RS rozhraním.

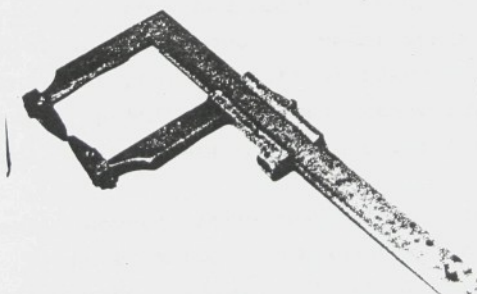
3.2.2. Metoda k stanovení vlastnosti kovové hmoty litiny

Kritéria pro nedestruktivní kontrolu litinových prepazek:

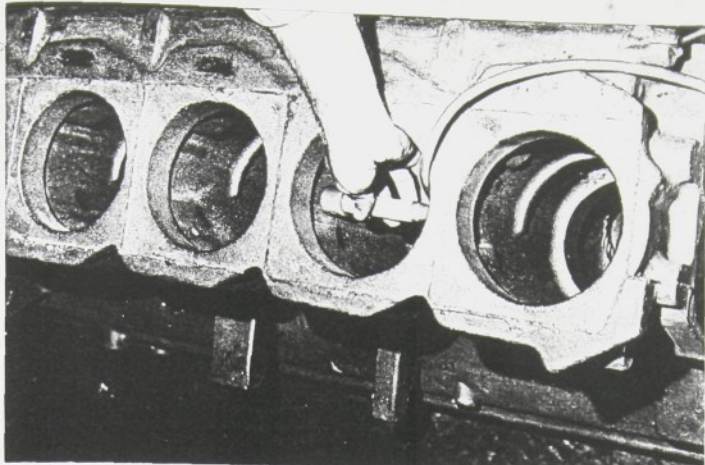
- a) Lokalni kontrola objemu litiny.
- b) Postatečne rozlišení feritické od perlitické struktury v desítkách % .
- c) Vliv lici kůry, drsnosti a oxidů na povrchu nesmí významě ovlivňovat výsledky měření.
- d) Snímač přístroje je prostorově omezen pro manipulaci uvnitř válcového prostoru. Geometrie (okolní stěny) v okoli měřených míst nesmí významě ovlivňovat výsledek měření.
- e).metoda musí umožňovat produktivní kontrolu.
- f) přístroj musí být cenově a obchodně přistupný.



Obr.4. Struktura v přepážce bloku valců. Zvětšeno 100x.
Leptano NITAL 2%.



Obr.5. Pos. merítko s nastavci na čelistech



Obr.7. Měření přepažek válců vývojového motoru M2 magn.met.

Ze skaly metod, které nabízí elektromagnetická defektoskopie lze uvažovat o následujících metodách:

- 1) Měření koercitivní sily
- 2) Virivé proudy
- 3) Remanentní indukce

Koercitivní síla H_c dobře koreluje se strukturou litiny, oceli, ale vyžaduje těsný kontakt s měřeným povrchem, jinak se podstatně snižuje citlivost a reprodukovatelnost metody. Potřebnou rovinost nelze na povrchu odlitku dodržet.

Metodou virivých proudů pracuje většina přístrojů světoznámých firem pro hodnocení struktury materiálů. Zarizení s priložnou sondou pro regresní strukturní analýzu však nejsou běžně dostupná. Použití střídavých proudů nemusí zaručit dostatečný průnik do jádra stěny odlitku. Metoda spolehlivě pracuje při třídění stihlých odlitků vkládaných do měřicích cívek.

Pro hodnocení kovové struktury litin je vhodná ve specifikovaném případě metoda remanentní indukce neboli bodového magnetického pólu. Podmínky pro dosažení spolehlivých výsledků měření tuzemskými přístroji řady Remag a aplikacní vztahy k strukturněmechanickým vlastnostem stanovila kandidátská práce [14].

Přístroje Remag stejnosměrnými trojuhelníkovými pulzy vytvori magnetický pól v měreném místě stěny odlitku. Feromagnetická nebo Hallova sonda v ose priložného snímače Pak po odeznamení pulzu změří intenzitu H_r remanentního magnetického pole na povrchu. V současnosti vyráběný přístroj

STRUKTUROSKOP Bi používá několik střídavých trojúhelníkových pulzů o velmi nízké frekvenci $f < 1\text{Hz}$. V měřeném místě se odečítá hodnota H_r po odezvě posledního pulzu. Tento způsob magnetizace nevyžaduje předchozí demagnetizaci měřeného místa jako to bylo u přístrojů Remag.

Hodnota H_r závisí kromě remanentní polarizace Ir na tzv. demagnetizačním činiteli N , který charakterizuje geometrii tělesa a činiteli Ni, který zahrnuje vliv vnitřních magnetických nespojitostí - např. gralitu. N fakticky vyjadruje zeslabení magnetického pole v tělese vůči okolnímu prostředí. $N=0$ platí pro nekonečné stejnorodé prostředí a $N=1$ pro primou desku. Zde působí demagnetizační účinek nejsilněji. Po vložení do vnějšího pole H_0 vytvoří takové těleso vlastní pole, které pole okolo zeslabí. K premagnetování např. do nasycení je potřeba vyšší intenzity vnějšího pole než v uzavřeném feromagnetiku. Průběh hysterezní smyčky se tak linearizuje. Magnetická indukce B_r

$$B_r = \chi B_r \quad (6)$$

je pak průměrná koercitivní síla H_c .

Zásadní podmínky pro spolehlivé měření metodou magnetického bodového pólu experimentálně určené:

- a) Intenzita pole H_r magn. bodového pólu klesá s časem jen velmi pomalu - okamžik odečítání hodnoty H_r není tedy kriticky.
- b) Hodnota H_r závisí na času magnetování polem H_0 do 4-5s. Při krátkém magnetování nutno dodržet jeho konstantní délku.
- c) Magnetizace po prvotní magnetizační křivce působi podstatně vyšší polarizaci Ir materiálu ve srovnání s magnetizací po demagnetizaci. Před měřením přístroji Remag je nutno materiál demagnetizovat.
- d) Intenzita růsivého magnetického pole v okoli by neměla překročit $H=+163\text{A/m}$, aby se významné nelisily výsledky dosazené při $H=0\text{A/m}$.
- e) Idealní místo pro měření je na ploše rovinné nebo mírně vyklenuté při síle stěny $L > 15\text{mm}$ vzdálené okrajem příložné sondy (28mm průměr jejího celého min. 8mm od koutu v odlitku nebo nepresahující okrajem sondy hrany odlitku).

f) Relativní změna dle pole H_r s klesající tloušťkou stěny L závisí jen na tloušťce L a nikoliv na struktuře materiálu stěny (souvisí s N a nikoliv s Ir). Matematicky lze proto při výpočtu strukturálněmechanických vlastností vliv L podchytit.

g) K potlačení nepříznivého vlivu magn. pole okolo H je vhodné pro záznam uvažovat rozdíl hodnot intenzity pole na měřeném povrchu po demagnetizaci a magnetizaci

$$D\text{H}_r = \text{H}_{rm} - \text{H}_rd \quad (7)$$

h) Čím větší je intenzita H_o magn. impulzu, tím přesněji se určí struktura měřené stěny odlišku. Přístroj nastavit na max.intenzitu magnetizace - pokud to dovolí zahřívání sondy.

i) Přístroje nutno kalibrovat podle vzorku litiny s vysokou hodnotou H_r.

Obsluha provádějící měření má být absolventem alespoň kurzu 1. stupně v oboru výroby proudů dle směrnice ČN 92/93.

Na základě uvedených podmínek mohu volit i pro kontrolu metodou magn. bodového polu stejně místo ozn.A v přepážce.

Spolehlivost měření se zvýší zaznamem hodnoty M jako průměru měření M₁, M₂ z obou stran přístrojem.

3.3. Vztah mezi fyzikálními a mechanickými vlastnostmi

Nedestruktivní metoda pro regresní analýzu mech. vlastnosti je použitelná až po stanovení matematického modelu s dostatečně vysokým koeficientem korelace R (obvykle R>0,9) a malým rozptylem S.

Pro experiment je nutno připravit dostatečné množství vzorků N<10,30>, které rozsahem sledované vlastnosti (v rámci souboru odlišek, ne na jednom odlišku) převyšuje předepsanou toleranci.

3.3.1. Výpočet modulu pružnosti E₀

Rychlosť zvuku litin není u litin v materiálových listech uváděna. ČSN však uvádí hodnoty počátečních E₀, které vyžadují konstrukteri při tuhostních výpočtech, při řešení napěťových úloh metodou konečných prvků a při měření vnitřních prutů (tenzometricky). Obecný výraz pro výpočet

$$E_0 = K \cdot v^2 \quad (8)$$

Konstantu K nutno stanovit experimentalne pro konkretni zpôsob výroby litiny. Matematicke modely jsou dány [15].

Na půlkruhovitých vzorcích se měřením v_T a v_L uhlovou a primou sondou a změřením měrné hmotnosti G/V dostaneme k vypočtu K i E_0

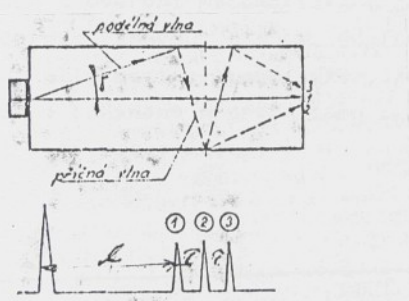
$$u = (2 \cdot (v_T/v_L)^2 - 1) / (2 \cdot ((v_T/v_L)^2 - 1)) \quad (9)$$

$$E_0 = K \cdot v_T^2 = 2 \cdot (G/V) \cdot (1+u) \cdot v_T^2 \quad (10)$$

Výsledky měření na polovinách valce:

material ČSN 41 220.1	42 2420	42 2305
v_L m/s	5930	4722
v_T m/s	3296	2587
u	0,275	0,286
E_0 GPa	216	123,7
		164,3

Půlkruhovité vzorky se snadno proměrují, ale hůře opatruji. Proto jsem k stanovení K a E_0 využil zásoby valcových tyčí pro tahové zkoušky o přibližných rozměrech $d=30$ L=250mm reprezentující roční produkci slevárny Liberec Ostasov. Tyče splňují podmínu $L/d > 7$.



Obr. 8. Transformace vín v štíhlé tyče.

Transformace podešvových vín na příčné při konci tyče umožnuje stanovit K a E_0 nasledujicimi výrazy.

$$\text{Poissonovo číslo } u = 0,5[1 - (d/(2T))^2] \quad T = \sqrt{\nu_T} \quad (11)$$

$$\text{Vypočtova konstanta } K \text{ pro } E_0 = K \cdot v_L^2 / v_L = K \cdot v_L^2 \quad [\text{MPa}]$$

$$K = v_L \cdot [2 \cdot (G/V) \cdot (1,5 - (d^2/(8T^2))) / (1 + (2T/d)^2)] \quad [\text{N}^{1/2} \cdot \text{m}^{-1}] \quad (12)$$

Celkem bylo proměřeno 138 tyčí. Tabulky dilčich měření jsou v přiloze. Objem V tyčí stanoven jednak výpočtem a pak ponorem do odměrného valce. Statisticky zpracované výsledky:

K	E ₀ GPa	u i	ρ kg/m ³	R _m MPa	platnost pro
191 660	120,5	0,287	7184	273,5	42 2420-25
199 630	116,1	0,259	7057	213,7	42 2420-15

Tyče byly byly proměřovány defektoskopem DI-4T s primou sondou 1MHz o pr. měniče 30mm.

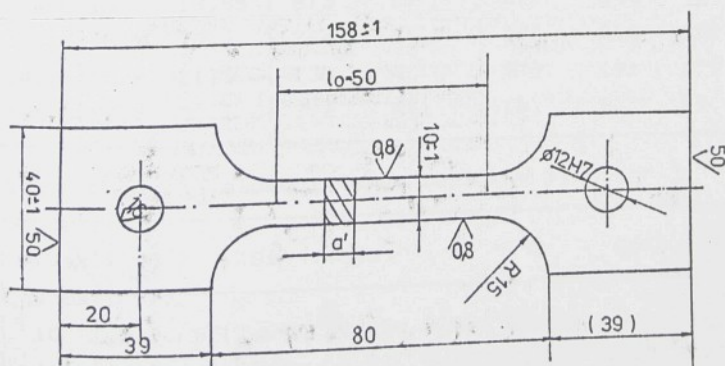
3.3.2. Výpočet mechanických vlastností

Množství feritu F nebo tvrdost HB obecně závisí jen na hodnotě zbytkového magnetizmu.

Pevnost v tahu R_m závisí na morfologii grafitu i na kovové hmotě proto R_m=f(v,M) (13)

Cískat vzorky pro pevnostní zkousky přímo z prepážek bloků valců by bylo velmi pracné. Ve slevárně byly proto odliány deskovitě vzorky imitující prepážky. Lísily se tloušťkou a jakostí litiny (L<6,15>, 42 2415/25) s konkrétním rozsahem R_m <161,293> MPa. Tento soubor byl pouze doplněn dvěma plochými vyřezy prepážek k ověření matematického modelu.

Ploché tyče pro tahovou zkousku 40x160mm jsou trhaný přes cépy d12mm (nikoliv mezi celistvými zkusebními stroje)-obr9. Při konstantní sířce trhaného průřezu 10mm získané obráběním byla lici kůra cel tyči zachována.



Obr.9.Plocha tyč pro zkousku R_m.

Před obráběním byly vzorky nedestruktivně proměřeny:

Ultrazvukovým tloušťkoměrem UTM2000 (SONIMEX) s dvojitou sondou D2030 2,25MHz měnič 16mm, etalon 10mm $v_L=5929\text{m/s}$.

Přístrojem Remag 1,magnetizace 10A, citlivost C1,demagnetizace 10A. Tvrdost byla změřena metodou HB10/3000 a HB5/750.

Metalografický rozbor byl proveden k stanovení obsahu feritu F dle [11].

Naměřené údaje obsahuje tabulka:

Tyč ozn.	L mm	Lu	v_r $\times 10^{-3}$	M	Rm MPa	HB	F %	Pozn.
10A6	6,25	7,25	833	69,3	297	232	0	
12A6	6,1	7,7	792	79,7	232	237	0	
10A8	8,1	9,95	814	57,1	226	219	2	
11A8	8,1	9,95	814	67	251	257	-	
12A8	8	10,1	792	70	235	234	-	
14C8	7,9	10,35	763	61,1	208	226	5	
15C8	7,7	9,6	802	57,8	223	238	10	
3	8,7	10,65	761	40,5	161	150	50	preprázka
4	8,7	10,8	804	53,1	212	172	10	"
10A10	10,0	12,5	804	56,3	260	215	-	
11C10	10,1	12,4	816	64	287	234	0	
12A10	9,9	12,9	770	64	182	224	-	
14C10	9,8	13,2	744	55	205	218	-	
10A15	15,8	19	798	51	251	203	2	
11A15	15,3	18,85	812	57	275	244	0	
12C15	15,7	20,6	764	56,7	206	215	2	
14C15	15,5	21,3	730	46	173	191	5	
15A15	15,6	20,2	772	49	181	219	10	

Tab.2 Chemicke složení taveb 10-15 v %:

prvek	C	Si	Mn	P	S	Cu	Cr	Ni
tavba								
10	3,3	1,94	0,85	0,12	0,12	-	-	-
11	3,28	1,98	0,84	0,12	0,12	0,22	0,3	0,2
12	3,62	1,82	1,1	0,23	0,07	-	-	-
14	3,57	2,03	0,64	0,25	0,09	-	-	-

15	3,48	1,92	0,81	0,24	0,09
----	------	------	------	------	------

Po matematickém zpracování byl zvolen tento matematický model:

$$R_m = 46,03 \cdot M_s \cdot 5809 \cdot (L/L_u)^{2,932} \quad \text{MPa} \quad (14)$$

Korekce hodnot M na tloušťku stěny L

$$M_s = M / (81 \cdot L^{(-2,91)} + 1) \quad (15)$$

Množství feritu

$$F = 137 - 2,58 M_s \quad \% \quad (16)$$

Přibližné stanovení Rm jen ultrazvukem

$$R_m = 533 \cdot (L/L_u)^{3,894} \quad \text{MPa} \quad (17)$$

soubor z tab.1 byl pro výpočet F obohacen výrezy z realních odlitrků o vyšších obsazích %F. Koef. korelace výrazů (16) a (14) K=0,9.

Porovnání skutečných a vypočtených hodnot přepazek:

Tab. 3

vzorek	vypočteno		skutečné		rozdíl	
	Rm	F	Rm	F	Rm	F
3	163	42	161	50	2	-8
4	224	8,9	212	10	12	1,1

4. Provozní účinnost vyvinuté metody

Význam kontroly byl ověřen na několika souborech bloků valců měřených na vstupu do obráběcích operací motorárny LIAE Jablonec. Četnost souborů N=100. Z některých odlitrků s extrémními vlastnostmi byly odebrány kontrolní materiálové vzorky.

Každý blok má výrobní číslo, ke kterému lze ve slévarně vypatrat čas lití, obsazení směny, kontrolní záznamy tavirny a laboratoře. Díky této pramenům se mohou zavést zpětné vazby nedestruktivní kontroly k naprávě kvality materiálu [16]. Nový způsob interpretace výsledků měření přinesl nové poznatky o vývoji jakosti [17]. Mohl být zjištěn vliv předpecí PIKS a konstrukčních úprav na výrobní stabilitu kvality materiálu.

4.1. Vliv předpecí

- a) Odstavka předpecí PIKS ve slevárně způsobila podstatné zhoršení struktury litiny. O 20% se zvýšil podíl odlitků s obsahem F>30% v přepážkách valců.
 - b) Rozdíl mezi vlastnostmi vnějších a vnitřních stěn se snížil zvýšením hladiny Rm přepázek o 20MPa.
 - c) O 20% se zvětšila četnost odlitků s velmi dobrými mechanickými vlastnostmi Rm>200MPa v přepážkách a na polovinu se snížilo množství odl. s velmi nízkou hladinou Rm<150MPa.
 - d) Zeslabila se přímá souvislost chemického složení na mechanické vlastnosti. Zesílil subjektivní vliv

4.2. Obecné poznatky

- a) Z hodnot mech. vlast. naměřených na místě proměření tvrdosti dle výkresu nelze spolehlivě usuzovat na vlast. v prepazkách.
 - b) Odlitky s velmi nízkou hladinou hodnot R_m v prepazkach $R_m < 100,150$ MPa jsou char. největším absolutním rozdílem hodnot R_m mezi vnitřními a vnějšími stěnami.
 - c) Rozptyl mech. vlast. vnitř. prepážek je podstatně větší jak vnějších stěn a je dán hlavně rozptylem obsahu feritu.
 - d) Rozdíly mezi pevnosti jednotlivých vnitřních prepážek jsou zanedbatelné.
 - e) Měření tloušťky stěn L prepážek bylo vždy v toleranci 7-8mm a stěn vyměřenku 5,5-7mm.
 - f) Statistická kontrola se může provádět jak ultrazvukovým tloušťkoměrem, tak Remagem nezávisle, neboť hodnoty E_0 i M_s až na vyjimky poměrně dobře korelují s hodnotami R_m .
 - g) Konstrukční zesílení partie prepážek (předlite nakruzky) nezvýšily hladinu hodnot R_m Prepážek.
 - h) Nekvalitu surovinových vstupů příznivě eliminuje legování litiny Cr, Cu, Ni [18].

4.3 Grafické vyjádření struktury v rovině $\langle E_0, F \rangle$

V uvedené rovině vynesene izopevnostní křivky $M_s=f(E_0)R_m$ umožňují nazorně se orientovat v poloze strukturních vektorů $R_m(F, E_0)$. Z tvaru mnozin koncových bodů vektorů ucelených scuborů odlitrků nebo i různých míst jednoho slocizého odlitrku lze vycist mnoho zajímavých skutečností o výrobě. Např.

rozptyl s parametry M_s a E_0 i když je velký nepříznivě nepříznivé, pokud body leží při izopevnostní křivce. Lze odhadnout, ve kterých stěnách je vyloučen volný cementit (blok c.31 499H na obr. v příloze), i další metalurgické informace. Graf obr.10 v příloze obsahuje strukturní vektory prepážek a vyměníků asi 100 bloků motoru.

4.4. Časový vývoj kvality

Přes náhodný vyber odlitků bloků valců při jejich kontrole (asi 5% výroby) se podařilo nekolikrát zmerit 3-5 bloků z jedné směny nebo trefit první či poslední odlitek směny, který obvykle vybočoval svojí kvalitou dolů. Vyložené podprůměrné hodnoty R_m v prepážkách měly bloky lité jako prve v ranních směnách.

Byla možno upozornit na pracovní kolektiv který dodává průměrně systematicky odlitky s nejnižší kvalitou materiálu (teplota tekutého kovu, očkování). Na kolisání kvality surovin upozorňují extrém modulační křivky časového vývoje kvality z obr.11 v příloze, šířku pásma (nosnou křivku) tvorí "směnovy" rozptyl kvality s podílem subjektivních příčin.

4.5. Zařízení SYLIT, STRUKTUROSKOP B1

Na základě získaných zkušeností s nedestruktivním měřením kvality litiny složitých odlitků jsme ve spolupráci s firmou ELKOSO Brno navrhl kocepti kombinovaného zařízení na kompletní materiovou diagnostiku litin. Současně zpracovává počítačem výsledky měření ultrazvukem, digitálního pos.měřit-ka a zbytkového magnetizmu. Blokové schema uvádí obr.12 v příloze. Jeho prototyp byl ještě rozpracován na bazi počítace SAPI 1 ZPS 3 s UZ tloušťkomerem T02 FEL z ČVUT Praha k tomuto účelu upraveném (RS rozhraní, softwar, 2MHz sonda) a s "svěpomocí" realizovaným posuvným digitálním měřitkem. Výpis tiskárny zařízení SYLIT je v příloze.

Přes neocenitelné služby, které zařízení vykonalo, je z hlediska možností současné techniky velmi velké a poruchové (viz obr. 13A, B v příloze). Koncepcí nového zařízení přenosného a nezávislého na sítovém napětí máme připravenu. Chybí zatím sponzor nebo zakázka na jeho výrobu.

Podarilo se realizovat jen jeho elektromagnetickou část pod nazvem STRUKTUROSKOP Bi pro SONP Strojirny Kladno na kontrolu výrobků pro export do Finska (informační listy přiloženy).

5. Závěr-opatření

1.Na výkrese bloku válců je předepsáno kontrolní místo v přepážkách válců pro nedestruktivní kontrolu materiálu.

2.Pro slévárnu byl vypracován směrný technologický postup kontrolní operace (kopie v příloze).

3.Metalurgická postupová karta slévárny vývojových odlitků doplněna o hodnoty Rm nedestruktivně změřené. Provádí se 100% kontrola v přepážkách. Bloky pro důležité zkoušky se "mapují" podrobně dle obr.14.

4.V období odstávky předpecí PIKS nebo v případě zásadního zhorení metalurgických výrobních podmínek bude nasazena 100% nedestruktivní kontrola materiálu odlitků bloků válců po dobu nezbytně nutnou.

5. Motory pro EURO 2 nové řady budou s bloky válců (model M4209) z nízkolegované litiny ČSN 42 2425. Cr 0,2-0,4% Cu a Ni 0,15-0,3%.

6. Konstruktéři a zkušební technici uplatňují stanovené hodnoty elastických konstant a výrazy pro výpočet Eo litiny.

7. Objednáno modernizované kontrolní zařízení STRUKTUROSKOP Bi (výhled SYLIT s PC počítačem).

Vypracoval Ing.Břetislav Skrbek,CSc.

29.3.1994 Jablonec nad Nisou

Použitá literatura:

- |1| Koll.resitelů LIAZ04: Zprava o průběhu řešení technologie velkoseriové výroby bloku válců o vaze do 400kg, obozorový úkol OC 406, Liberec 1978.
- |2| Jindra Pavel: Propadání můstku motoru M1, zprava 43/87 zkusebny motoru LIAZ Jablonec.

- |3| Skrbek,B.: Blok válců M3341/C, zpráva 244-6-Sk/90 laborator LIAZ.
- |4| Skrbek,B.: Bloky valců M1.2B,T, zpráva 231-5-Sk/89.
- |5| Skrbek,B.: Blok valců M3828 motoru č. 90x370013
- |6| Skrbek,B.: Blok č. 14179H/89 těžko obrobitelný, zpráva 286-6-Sk/89.
- |7| Šlajš Jan: Studie utváření mechanických vlastností nelegované sedé litiny v tenkostenných odlitcích při různých podmínkách plnění dutiny formy, závěr. zpráva PGS na VUT Brno.
- |8| Čech Jaroslav: Výzkum vhodného režimu uvolňování odlitků bloků a hlav válců a jejich případné tepelné zpracování, závěr. zpráva obor. úkolu OC 551M, Brno 1980.
- |9| Kral Zdeněk: Prognóza vlivu změn organ. faktorů a ekonom. prostředí na budoucí vývoj sléváren, Svaz sléváren Brno 12/90.
- |10| Holmgren,M.: Rezonanční zkoušení pro kontrolu struktury litiny, 53.mezinárodní slévárenský kongres, Praha 1986.
- |11| ČSN 42 0461: Hodnocení metalografické struktury litin.
- |12| Obraz Jaroslav: Zkoušení materiálu ultrazvukem, SNTL, Praha 1989.
- |13| ON 40 2518: Měření tloušťky kovu ultrazvukem.
- |14| Skrbek, B.: Nedestruktivní materialova diagnostika litinových odlitků, kand. disert. prace VŠST Liberec 1988.
- |15| Obraz Jaroslav: Ultrazvuk v měřicí technice, SNTL Praha 1976.
- |16| Skrbek,B.: Bloky valců, zpráva 201-06-B/92, LIAZ Jablonec
- |17| Skrbek,B.: Nedestr. kontrola struktury a geometrie odlitků v ČR- možnosti a skutečnost, 2.meziná. metalurgické symposium METAL 93, Ostrava.
- |18| Skrbek,B.: Kvalita bloků valců M4209, M3341/II, zpráva 940305 LIAZ str.10-290.

Použité symboly:

σ_{E}	elektrický proud	A
σ_{F}	elektrický proud feritu	A
E_0	modul pružnosti počáteční v tahu	N/m
f	frekvence	GPa
F	obsah feritu	MHz
G	hmotnost tělesa	%
H	intenzita magnetického pole	kg
H_B	tvrdost podle Brinela	A/m
I	magn. polarizace	
K	koef. korelace, konstanta pro výpočet E_0	
L	rozměr, tloušťka	mm
L_0	udaj o rozmeru změřený ultrazvukem	mm
M	hodnota intenzity zbytk. magn. pole indikovaná prístrojem Remag	
M_L	hodnota M korigovana na tl. steny L	
N	demagn. činitel	
P	akust. tlaky	Pa
P_m	pevnost v tahu	MPa
S	rozptyl, směrodat. odchylika	
T	roztec transform. ech	nm
v_L	podejna rychlosť zvuku	m/s
ν_T	prichádzajúca frekvencia	m/s
η	relativní tl. tlakov	1
V	objem	m ³
α		
β	koef. utlumu	
ρ	hmerná hmotnost	kg/m ³
t	vincová délka	cm
μ	Poissonova konstanta, permeabilita	
τ	roztec transfi. ech na obrazovce	nm

Obsah:

1. Úvod-přehled	1
2. Char. problému	2
2.1. Namáhání bloků válců	2
2.2. Konkrétní problémy s bloky	2
2.3. Předepsané vlastnosti materiálu	4
2.4. Technologie výroby odlitků bloků válců	4
2.4.1. Slévárenská technologie	5
2.4.2. Metalurgická příprava tekuté litiny	5
2.4.3. Vnější podmínky	5
3. Vývoj kontrolní metody	6
3.1. Kontrolní místo	6
3.2. Výběr metody	6
3.2.1. Akustické metody	7
3.2.2. Metoda k stanovení vlastností kovové hmoty	9
3.3. Vztah mezi fyzikálními a mechanickými vlastn.	13
3.3.1. Výpočet modulu pružnosti E ₀	13
3.3.2. Výpočet mech. vlastnosti	14
4. Provozní účinnost vyvinuté metody	17
4.1. Vliv předpecí	17
4.2. Obecné poznatky	17
4.3. Grafické vyjádření struktury v rovině ..	18
4.4. Časový vývoj kvality	18
4.5. Zařízení SYLIT, Strukturoskop BI	19
5. Závěr-opatření	19
Literatura	20
Použité symboly	22
Obsah	23
Přílohy	16 listů
Obrázků	14

25. 2. 1997
Ing. B. Skrbek
zpr. 97021803

Hlavy válců M1503
expertiza materiálu

ŠKODA LIAZ
12 - 230
Jablonec n.N.

1. Úvod

V roce 1996 a počátkem března 1997 odlitky hlav válců některých taveb způsobily odstavení obráběcí linky pro totální otupení nástrojů, přesto, že jejich tvrdost byla obvykle vyhovující. Materiálové vysvětlení a podklady pro reklamací proto může poskytnout 97010603 prezentovanou zkouškou pevnosti hlav. Hlavy válců M1503 na motory M1.2A odlévá a hrubuje slévárna ČKD Hradec Králové. Každý odlitek je označen třímístným číslem dne odliti a odděleným pořadovým číslem tavby. Jedna tavba zahrnuje cca 14 ks hlav. Protože palety obsahují 24ks hlav z různých taveb, všechny hlavy jsou přistupné jen z boku s povrchem s lící kúrou a opatřeny základovým náterem, není schůdné i z tohoto důvodu pro vstupní kontrolu aplikovat klasické měření tvrdosti. Byl jsem proto požádán o vyloučení nevhovujících hlav nedestruktivní diagnostikou. Hrubé měření struktury přístrojem DOMÉNA 2 (nebyla ještě stanovena souvislost mezi hodnotami M a tvrdostí či jinou mater. vlastností litiny hlav válců) jsem provedl na litém povrchu boků všech hlav M1503, které byly na skladě v 10. a 11. měsíci v ŠKODA LIAZ. Tato kontrola odhalila jak hlavy měkké, pevnostně z naprostu nevhovující (např. tavba 102 3) litiny, tak velký podíl hlav v intervalu hodnot "tvrdosti" 160-170HB. "Neobrobiteelné" hlavy hodnotami tvrdosti obvykle vyhovovaly, ale vykazovaly neobvyklé složení struktury, prvků a vysoké hodnoty magnetizmu M. Odlitky s nedestruktivním odhadem tvrdosti <170HB byly vráceny slévárně k 100% roztríďení měřením klasickou metodou HB10/3000 na výkresem předepsaném místě.

Opatření navrhovaná ve zprávě 97010603 předané p. Blobu (není již v prac. poměru v ŠKODA LIAZ a.s.) z TK, se ptně nebrala v úvahu, neboť začátkem března 1997 došlo opět k zablokování obráběcí linky těžko obrobitebnými hlavami. Stejná situace se řeší po třech měsících znova.

V této zprávě chci též zužitkovat provedená rozsáhlá měření k upřesnění metodiky nedestruktivního měření a pro specifikaci rozložení struktury a mech. vlastností v dodávkách hlav (pro konstrukci). Kvantifikaci a rozložení jakosti litiny hlav M1503 v daném období (pro OŘJ a slévárnu) podává další zpráva 97032003.

1.1. Předpis

Materiál - šedá litina ČSN 42 2425

Tvrdost 180-240HB kontrolována na výkresem stanovených místech desky ventilů (ozn.A) a vahadel (ozn.B). Informační hodnota modulu pružnosti $E_0=124,9 \text{ GPa} \pm 5\%$ a stupně eutektičnosti $SE<0,87; 0,93>$. Pevnost v tahu $R_m \geq 250 \text{ MPa}$.

2. Měření

V rámci této expertizy byla provedena komplexní specifikace struktury litiny výběrového souboru hlav válců. Změřené hodnoty M popisují magnetickou tvrdost železné matrice litiny. Nutno rozlišovat tvrdost kovové matrice a tvrdost litiny. Při porovnání různých fází matrice (perlit, bainit, martenzit, volný cementit) a jejich tvrdosti, nemusí být mechanická a magnetická tvrdost vždy) přímo úměrná. Tvrdost matrice je vždy vyšší o degradační

účinek grafitu jak tvrdost litiny! Obrobitekniost klesá s rostoucí tvrdostí, ale i mezi kluzu (houževnatostí) kovové matrice litiny.
 ad.2) Velké odchylky v korelaci mezi hodnotami M a tvrdostí HB některých hlav vytvály podezření v nepřípustném rozptylu množství a velikosti grafitu a chemického složení v rámci dodávek hlav. Proto jsem provedl komplexní nedestruktivní diagnostiku struktury výběrového souboru 12ks hlav a destruktivní stanovení pevnosti u 2ks hlav (zpráva 97010603). Místa měření A,B,C,D - viz. příloha. Výběrový soubor 12ks hlav - odlitky vybírány tak aby reprezentovaly toleranci mech. vlastností všech dodávaných odlitků.

2.1. Základní kovová hmota litiny

Tabulka 1. obsahuje výsledky měření tvrdosti na výkresem předepsaných místech po hrubování povrchu a příslušných hodnot remanentního magnetizmu M přístrojem DOMÉNA 2. Nastaven 4. stupeň magnetizace při krátkém L a dlouhém LL magnetování povrchu přiloženou sondou přes základní nátěr a hrubovaný povrch v místech A a C; na bocích hlav B přes licí kůru a základový nátěr.

Tab.1.		A na d. ventilů			na boku B		na desce vahadel C		
Hl.	HB10/ ozn	M _{4L}	M _{4LL}	M _{4L}	M _{4LL}	HB10/ 3000	M _{4L}	M _{4LL}	
102 3*	133 134	115 114	107 103	112 114	98 99	141 140	127 123	112 109	
127 2	149	133		119		157	146		
142 1	240 231	306 304	245 245	258 258	216 216	249 241	305 277	242 220	
142 2*	184 185	307 294	284 262	250 240	220 218	183 183	320 317	280 275	
142 2a	216 211	300 285	241 241	235 235	203 200	211 219	284 302	233 252	
144 2	146 143	121 124	108 112	117 106	105 102	160 157	149 150	129 128	
144 2a	142 140	113 111	108 107	110 108	92 89	153 157	132 146	125 129	
147 6	166 162	180 184	166 162	182 176	170 160	174 179	189 189	170 162	
123 3	269 274	290 295	246 235	270 264	230 210	277 277	262 267	227 223	
123 3A	242 235	269 265	225 220	264 262	217 214	221 226	269 260	227 221	
143 2	220 217	269 254	229 217	295 243	275 201	231 226	269 260	222 221	
170 2	209 208	175 175	152 151	175 176	157 158	210 208	175 175	160 161	

*...viz. podrobná analýza materiálu zpr. 97010603.

**...měřeno přes již hrubovaný povrch.

2.2. Grafit - tuhost litiny

Množství a velikost grafitových útvarů v litině se projevuje na tuhosti (na hodnotě modulu pružnosti E₀), kterou lze snadno měřit ultrazvukem.

Jednoduchou ultrazvukovou sodou o frekvenci 1MHz defektoskopu DI-4T byl prozářen sloupec nálitku šroubu ø33mm pod místem měření

ŠKODA LIAZ 12-230 Ing. B. Skrbek, CSc. 97021803 mat. hlav M1503 v r. 1996.

C a dvojitou sondou 2MHz vnější stěna D na boku silná cca20mm.

Tab.2 nálitek šroubu C			vnější stěna D						
hlava	L	Lu	Eo	L	Lu	Eo	M _L	M _{LL}	Pozn.
	mm	mm	GPa	mm	mm	GPa	1	1	měření 30.10 až 20.11.96 nejměkké hlava
102 3	122,5 122,5	176,5 176,5	92,3 92,3	19,56 21	26,6 27	103,6 115,9	135 120	126 105	
127 2	122,4	161	110,8	-					
142 1	122	197	73,5	18,9	28,5	84,3	243	214	
	122	207	66,8	18,7	26,8	93,3	260	230	
142 2a	122	220	60	15,6	24	81	258	213	neobrobiteľné hl.
	122	225	56,5	14,5	22,3	81	296	250	"
142 2	56,8*	99	63	19,2	30	78,5	240	203	
	58	* 100	64,5	19,5	31,2	74,9	260	206	
144 2	122,5	173	96,1	-					
	122,5	173	96,1						
144 2a	122,5	172,5	96,7	-					
	122,2	172,5	96,2						
147 6	122,2	170	99	-					
	122,9	173,5	96,2						
123 3	120,1	190	76,6	14,3	20,8	90,6	255	212	
		189	77,4	15,2	22,4	88,3	260	212	
123 3A	120	197	71,1	14,9	22,1	87,1	256	193	
		199	69,7	15,5	23,5	83,4	251	196	
143 2	122,2	215	61,8	19,2	29,6	80,6	240	210	
		217	60,8	19,4	30,5	78,4	236	210	
170 2	122,4	153	122,7	18,7	23,5	121,4	184	170	
	122,1	152,5	122,9	19,1	24	121,4	178	168	nejkvalitnější odlitek

L...skutečný rozměr, Lu...ultrazvukem změřený zpozděný rozměr L.
 $Eo = (437,8 \times L/Lu)^2 \text{ MPa}$ (1)

Pro lepší zařazení změřených hodnot uvádím výtah z ČSN litin pro stěny 15-30mm silné nebo tyče ø30mm, stěny 45 - 60mm a tyče ø60mm. Hodnoty Eo klesají u litin po tepelném zpracování, zejména po kalení. Pokles tuhosti je důsledek růstu plochy mezifázové hranice matrice/grafit a vzniku mikrotrhlin na koncích grafitových lamel.

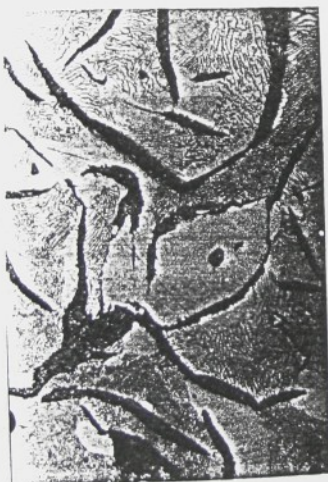
Tab.3 jakost	42 2410	42 2415	422420	422425	42 2430
Eo GPa	ø30	88,9	97,3	110	125
	ø60	77,1	88,9	97,3	110
					125

2.3. Struktura a mikrotvrdost

Pro metalografický rozbor jsem odebral vzorky materiálu z míst A nebo D 5-ti typických hlav válců. Snímky na obr.1 až 5 dokumentují struktury matrice, na kterých bylo provedeno měření mikrotvrdosti metodou HV0,05. Při zatížení 50g lze hodnotit skutečnou tvrdost matrice - bez degradujícího vlivu grafitu.

Tab.4

hlava místo	grafit	popis matrice	tvrdost HV 0,05
102 3 A	IA, 4,3	ferit 50%, perlit lamel. hrubý obr.1.	ferit 125; 155; 186 perlit 221; 284; 315
142 2 A	IA, 3(2)	jemný perlit a sorbit, velmi drobná zrna, ferit <10%, obr.2	P+S; 390; 396; 396; 412
142 1 D	IA, 3,4	popuštěný martenzit/sorbit jemný, obr.3.	M; 468; 460; 511; 496
123 3 D	IA, 4(3)	martenzit hrubý, lehce popuštěný, obr.4.	M; 536; 620; 575; 590
170 2 D	IA, 5(4)	jemný perlit P1, 100%, obr.5.	P; 311; 327; 400; 420



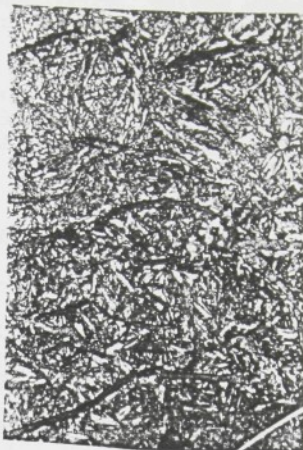
Obr.1. Tavba 102 3, 500xZV.
Litý stav

Obr.2. Tavba 142 2, 500xZV
Přechodová matrice, extrémě hrubý grafit.

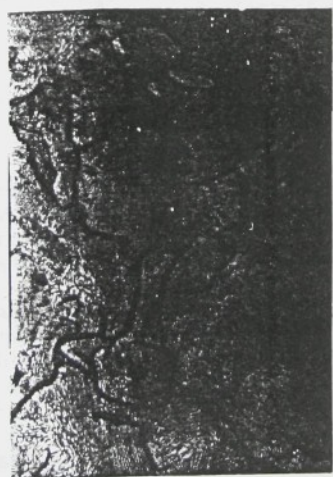
Odlitky taveb 102 3 a 170 2 jsou v litém stavu. Ostatní byly tepelné zpracovány kalením (odlitky 142 2 s mírně podkritickou rychlosťí chlazení) a popuštěním.



Obr.3. Tavba 142 1, 500xZV
Zušlechtěno.



Obr.4. Tavba 123 3, 500xZV.
Zušlechtěno.



Obr.5. Tavba 170 2, 500xZV.
Litý stav - vzorová struktura.

ŠKODA LIAZ 12-230 Ing. B. Skrbek, CSc. 97021803 mat. hlav M1503 v r. 1996.

2.4. Pevnost litiny hlav válců M1503

Pevnost v tahu R_m je rozhodující mechanická užitná vlastnost. Hodnota R_m litiny se skládá z pevnosti kovové matrice zeslabené plošným a vrubovým účinkem grafitu a případných mikrotrhlin. Vlastní grafit má nulovou pevnost v tahu, ale přenáší zatížení v tlaku.

Skutečná pevnost na zkušební tyče vypreparované z odlitku byla stanovena jen u hlav z taveb 102 3 a 142 2. Pro výpočtové porovnání hladin R_m všech hlav jsem použil jednak funkci

$$R_m^{HB} = f(HB, E_0) \quad (2)$$

a pak funkci

$$R_m^M = f(M_L, E_0). \quad (3)$$

Obě experimentálně vypočtené a ověřené pro feritickou až perlitickou matrici šedých litin litých z kuploven (Liberec-Ostašov).

Tab. 4

místo hlava	R _m _{HB}			R _m _M				stav	R _m MPa A/C
	A	B	C	A	C	D			
102 3	129	133		131	131	171 192	1		132,3
127 2	171	178		192	203		1		
142 1	148	148,5		170	145	218 181	tz		
142 2	105	108		143	133	163 158	tz		153,5
142 2a	110	108		120	120	175 189	tz		
144 2	143	153		150	168	/	1		
144 2a	140	151		142	161	/	1		
147 6	162	166		195	191	/	1		
123 3	179	180		176	170	204 200	tz		
123 3a	148	139		151	145	194 180	tz		
143 2	117	121		117	115	168 157	tz		
170 2	250	249		261	262	263 258	1		

1...litý stav tz...tepelně zpracováno
Ani tepelné zpracování nezlepšilo hlavy do jakosti litiny 42 2425.
Hodnotou pevnosti R_m vyhovuje jen hlava tavby 170 2.

3. Regresní analýza

Cílem matemat. zpracování výsledků z tab.1 je vyhledat optimální vztah pro provozní kontrolu hlav válců M1503 přístrojem DOMENA 2 podle tvrdosti HB.

Tab. 5

Soubor	koef. K regrese	Lineární rovnice pro výpočet HB	M měřeno na
l+tz	0,8	(4) vvýraz	obrobene povrchy
l	0,81	(5) HB _{A,C} = 95 + 0,46xM _{4LA,C}	"
l+tz	0,87	(6) HB _{A,C} = 53 + 0,74xM _{4LA,C}	boku
l	0,91	(7) HB _C = 92 + 0,54xM _{4LD}	boku
		HB _C = 25 + 1,02xM _{4LD}	

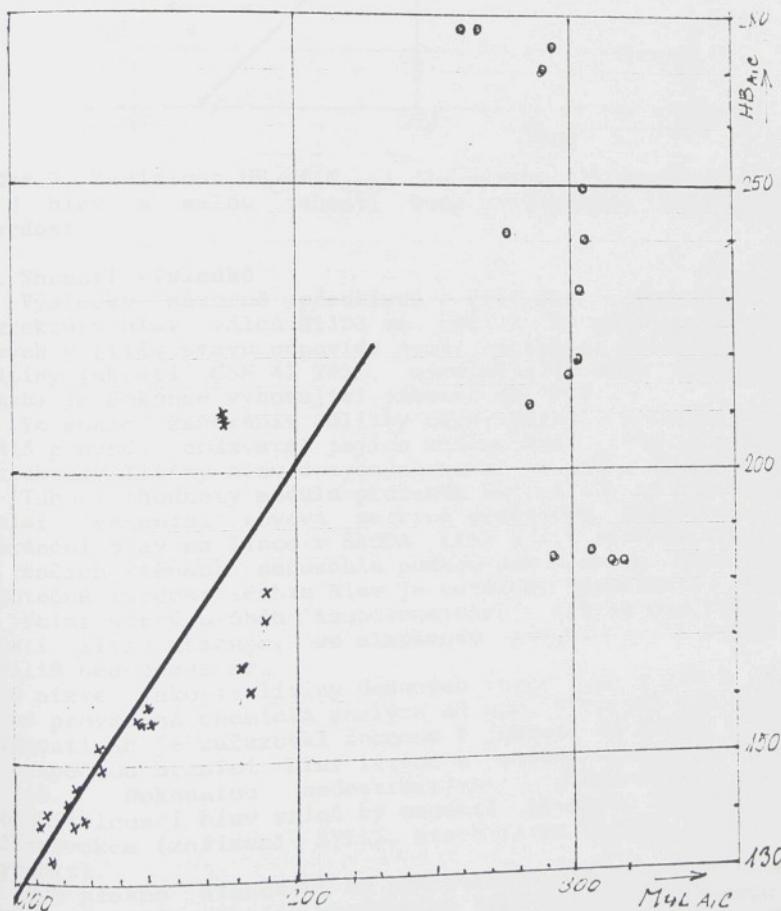
ŠKODA LIAZ 12-230 Ing. B. Skrbek, CSc. 97021803 mat. hlav M1503 v r. 1996.

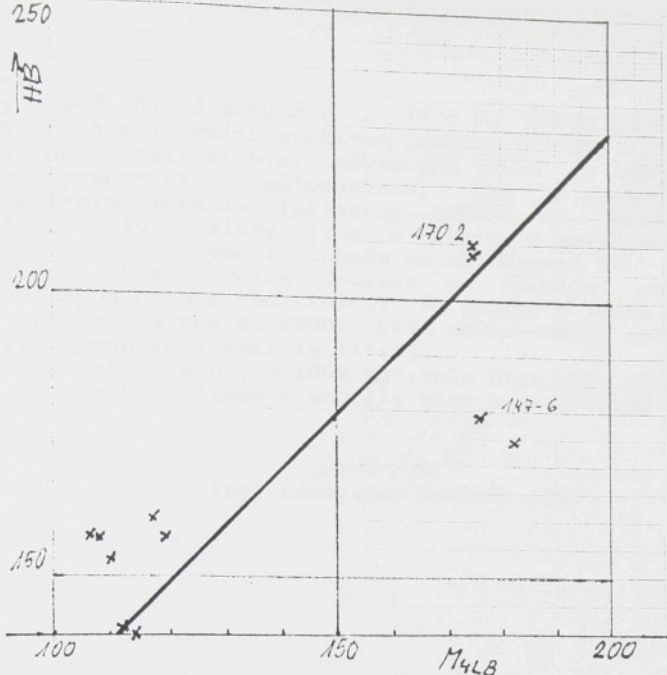
Hodnota K při měření krátkou a dlouhou magnetizaci se neměnila.
Tvrdoost HB zušlechtěných odlitrků je na hodnotách M prakticky nezávislá (výraz (8)), nedestruktivně nelze měřit tvrdoost - obr.6.

Pro praxi jsou použitelné výrazy pro měření odlitrků v litém stavu a to (7) pro měření z boku přes licí povrch (obr.7) a nouzově i výraz (5) (hodnota $K < 0,9$) pro měření na hrubovaných površích hlav.

Při měření na hlavách v paletách tak bude zaručeno vyřazení zušlechtovaných hlav, neboť DOMENA 2 je bude registrovat jako odlitrky s příliš vysokou tvrdoostí $HB > 240$, i když ve skutečnosti jejich tvrdoost může být podstatně nižší. Všechny jsou ale neobrobiteLNé.

Obr. 6. Funkční závislost $HB_{A,C} = f(M_{4LA,C})$ pro měření na hrubovaných plochách. Přímka výrazu (5).
 x....hlavy v litém stavu
 o....hlavy zušlechtěné





Obr. 7. Závislost $HB_C = f(M_{4LD})$ dle výrazu (7) použitelná pro praxi.
U hlav s malou tuhostí bude indikována vyšší než skutečná tvrdost.

4. Shrnutí výsledků

Výsledky názorně předkládá grafické "vektorové" vyjádření struktury hlav válců M1503 na obr. 8. Z něho plyne, že řada taveb v litém stavu odpovídá svoji optimální přirozenou strukturou litiny jakosti ČSN 42 2415, ojediněle 42 2420 a poslední dodaná tavba je dokonce vyhovující jakosti 42 2425.

Ve snaze zachránit odlitky odpovídající v litém stavu ČSN 42 2415 provedl dodavatel jejich zušlechtění. Tím se posunul obraz struktury litiny hlav dotyčných taveb ve směru šipky na obr. 8.

Tuhost (hodnoty modulu pružnosti E_0) litiny se o jakost snížila. Velmi "rasantní" kovová matrice prakticky znemožnila racionální obrábění hlav na lince v ŠKODA LIAZ a.s., přičemž ale pevnost ani v tenčích stěnách nedosáhla požadované hodnoty $R_m=250\text{ MPa}$. Přitom skutečná tvrdost těchto hlav je většinou vyhovující, rozptýlená

Velmi strmý průběh "izopevnostních" křivek pro velmi nízké jakosti litin ukazuje, že zlepšením matrice si k vyšší pevnosti příliš nedopomůžeme.

O nízké jakosti litiny dodaných taveb 1023 a 142 2 svědčí mimo jiné provedená chemická analýza ze zpr. 97010603 kde stupeň eutektičnosti SE je zařazoval dokonce k jakosti 42 2410!

Bezpečnou hranicí hlav litých a zušlechtěných je hodnota $M_{4AC} = 215$. Dokonalou nedestruktivní diagnostiku pevnosti a obrobitevnosti hlav válců by umožnil přístroj DOMENA 2 spřažený s ultrazvukem (zařízení SYLIT, které firma ELKOSO s.r.o. Brno může vyrobit).

Pro přesné stanovení R_m nedestruktivním měřením by bylo nutno ještě vyrobit několik zkušebních tyčí z hlav ČKD Hradec Králové. Zíháním zušlechtěných hlav válců pro lepší obrobitevnost by litina měla stále nedostatečnou pevnost.

5. Závěr

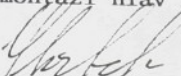
Hlavy válců M1503 dodané v r. 1996 do ŠKODA LIAZ a.s. z ČKD Hradec Králové mají velké spektrum jakosti litiny.

Těžká obrobiteľnosť hlav nškterých taveb je zpôsobená jejich tepelným zpracováním (zušlechténím). Lze je spolehlivě odhalit nedestruktivním měřením (přístroj DOMENA 2), nikoliv měřením tvrdosti HB. Tyto hlavy jsou z litiny o nevyhovující hodnotě pevnosti R_m a asi nevyhoví stupněm eutektičnosti SE.

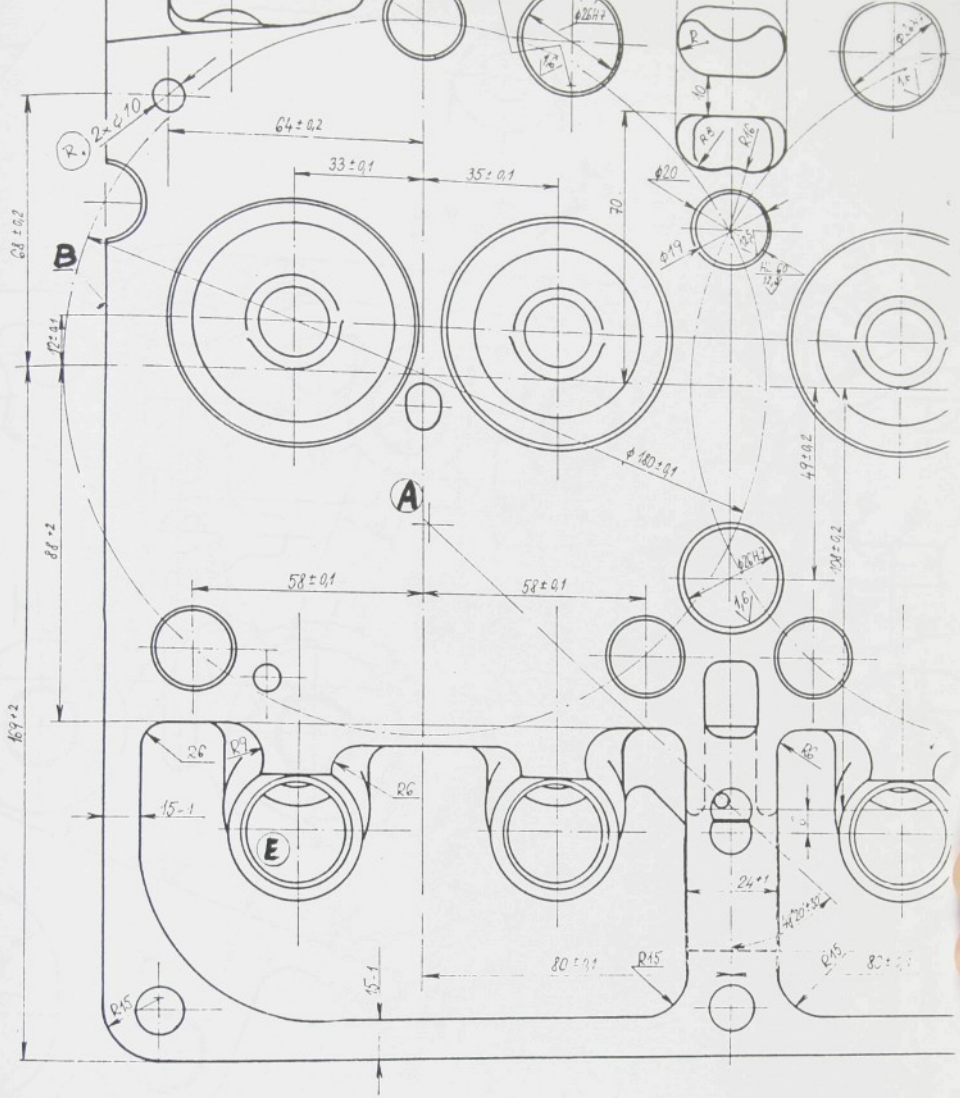
Doporučuji hlavy válců dodávat po tavbách, pokud možno s atestem alespoň chemického složení. Na paletě o jedné či max. dvou tavbách bude na vstupu do ŠKODA LIAZ možno změřit max. jednu nebo dvě hlavy k posouzení kvality litiny.

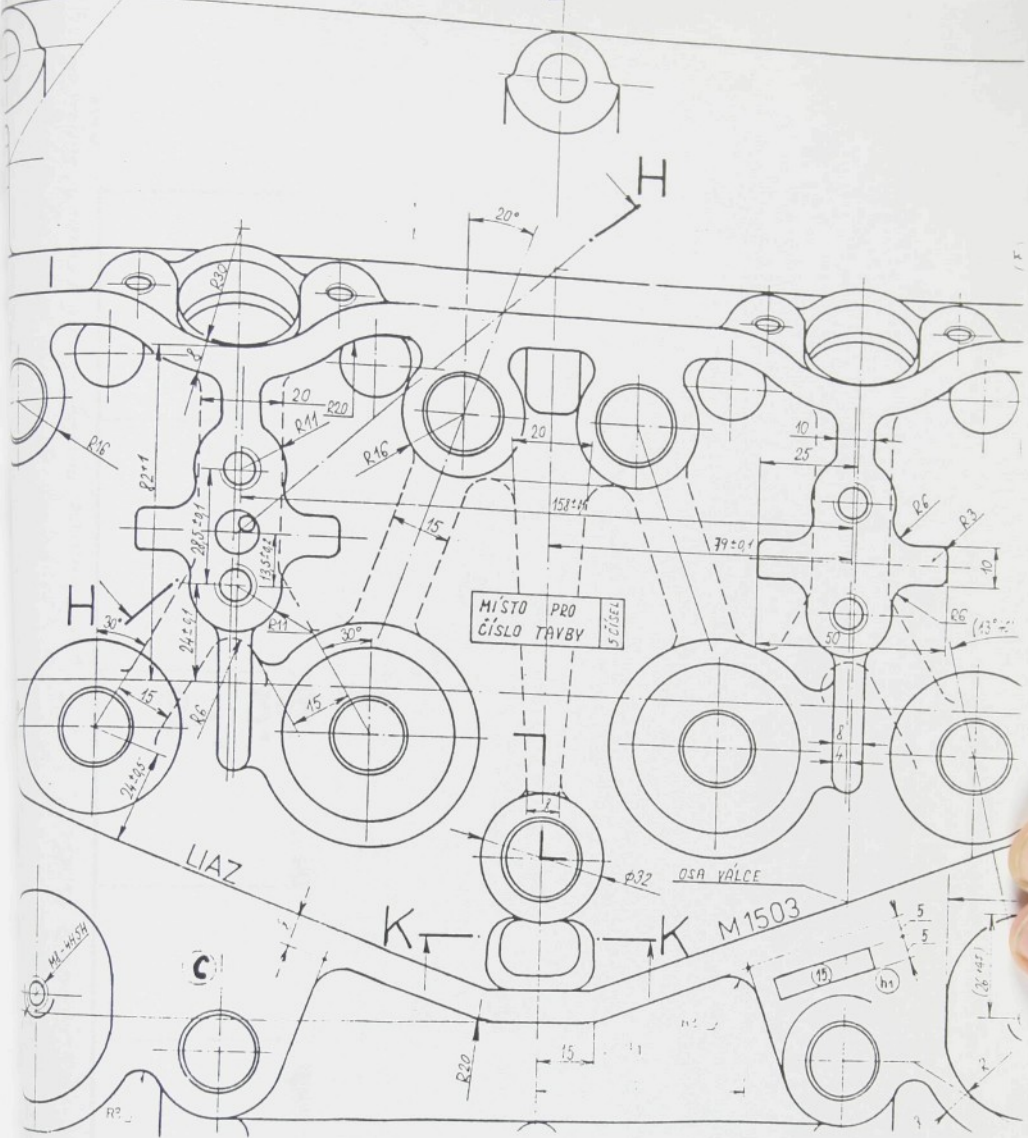
Za současného stavu jen 100% kontrola hlav může předejít dalším ztrátám na obráběcí lince a montáži hlav z nejakostní litiny.

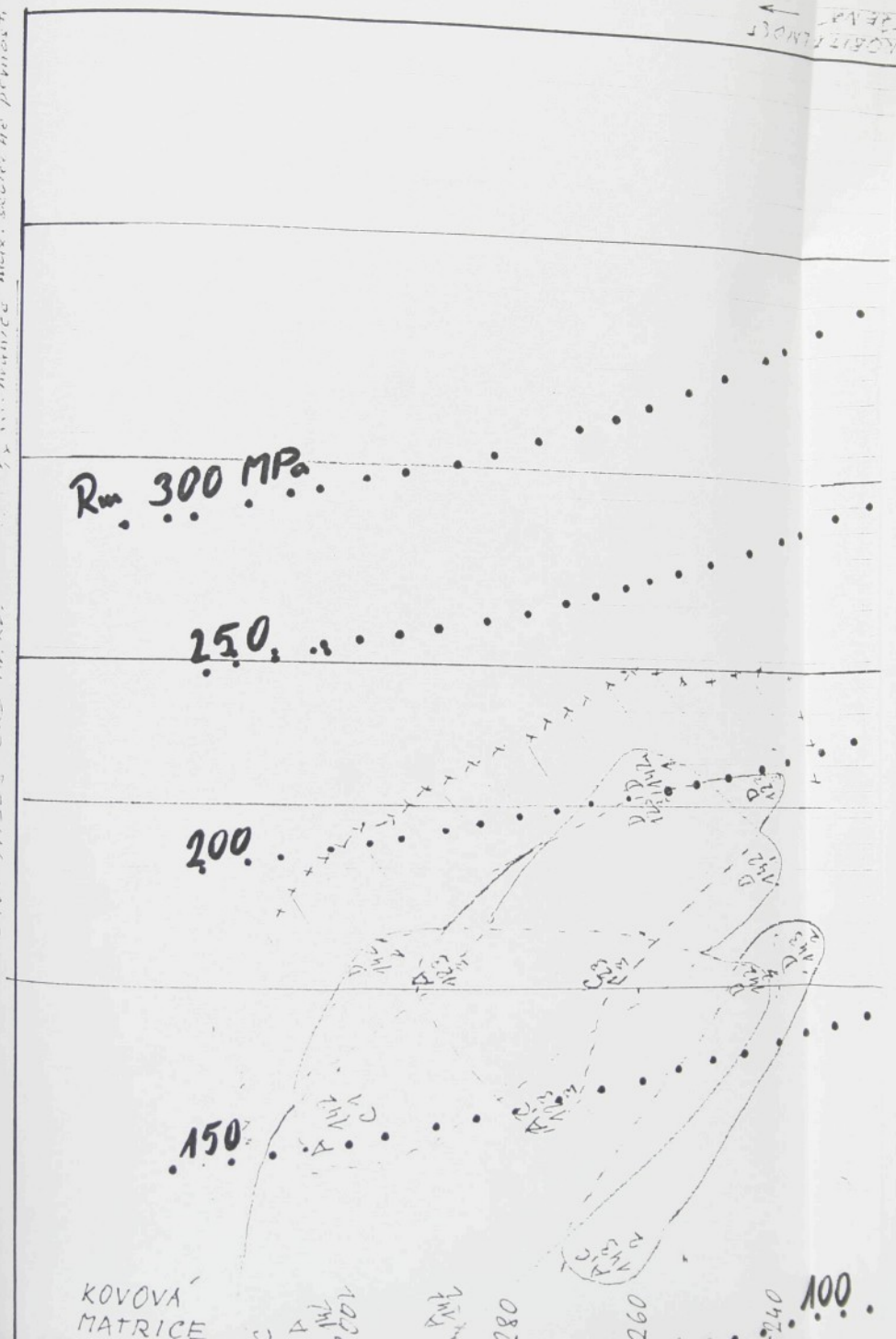
Vypracoval



Ing. Břetislav Skrbek, CSc.







3.4.1995 Ing.B.Skrbek zpráva 950305	Hlava M4282 (EURO3) rozložení mechanick. vlastnosti na řezu A	LIAZ 18 - 790 Jablonec
---	---	------------------------------

Úvod

Cílem této zprávy je získat představu o rozložení mechanických vlastností na šestiválcové hlavě M4282 pro vývojový motor EURO 3. Bude možno určit kritická a kontrolní místa tohoto složitého odlitku.

K uvedenému účelu byl rozříznut zkušební "rozměrový" odkazek hlavy M4282 č.0. Zde nejsou rozhodující získané absolutní hodnoty mechanických vlastností, nýbrž poměry hodnot též veličiny získaných z různých míst téhož odlitku. Hodnocen byl příčný řez. V podélném směru (porovnání jednotlivých válců) se předpokládá podstatně rovnoměrnější rozložení vlastností.

Nejprve byla provedena nedestruktivní diagnostika 15-ti míst. Z míst s předpokládanými extrémy vlastností pak byly odebrány vzorky pro změření tvrdosti a pevnosti v ohybu s kontrolou strukturky.

2. Předpis

Materiál: Šedá litina ČSN 42 2425 nelegovaná
tvrdost stěn 15-30mm 180 - 240HB
pevnost $R_m \geq 250 \text{ MPa}$ v tahu ($E_0 = 125 \text{ GPa}$)
 $R_{m0} \geq 430 \text{ MPa}$ v ohybu.
Stěny 8-15mm 200-260HB
 $R_m \geq 280 \text{ MPa}$.

3. Místa měření

Nutno brát zřetel na techniku odlévání, tloušťky stěn a přístup měřidel k místu. Do formy odlitku M4282 je přiváděn tektýkový kov širokými zářezy Z z boku 7mm tenkých stěn sacích potrubí. Spodní část potrubí (místo 2 na obr. 1) a příslušná část desky válců (5) tak bude nejvíce "vyhřívána" průtokem litiny vytemperovaným formovacím materiélem jádra a formy (při odlévání), tuhnutí a chladnutí ve formě.

Nejstrmější ochlazovací gradient lze naopak předpokládat v místě posledního dosazení kovu na protilehlém vršku formy v místě 15.

Na tvorbě struktury litiny se podílí také reaktivnost a tepelná kapacita materiálu jader a základní formy. Proto ohybová zkouška byla proveden (při dvou vzorcích z téhož místa) s licí krouhou od jádra a pak od formy v tahové části ohybové zkoušky. Mechanické vlastnosti také ovlivňuje v odlitku "uzavřené" vnitřní pnutí, které se destrukcí odlitku uvolňuje. Odlitek nebyl žíhan na odstranění vnitřních pnutí. Řízené chladnutí k odstranění vn. pnutí aplikované na dvouzálcových hlavách nelze přenést na šestihlavu bez termické analýzy chladnutí a tenzometrie vnitřních pnutí. Než bude tento výzkum proveden, nutno hlavy válců M4282 pečlivě žíhat na odstranění vnitřních pnutí. Předejdeme tak neočekávaným změnám rozměrů během obrábění a provozu a snížené nosnosti stěn předepojatých tahovými složkami vnitřních pnutí. Citlivější na vznik vnitřních pnutí je legovaná litina jak nelegovaná.

Měření bylo provedeno v patnácti místech na řezu dle obr. 1 mezi 2. a 3. válcem - obr. 2.

Odlitek M4282/0, který je předmětem měření byl vyřazen pro

nevyjítí stěny (vyplutí jádra) v mistě ozn.X obr.2.

4. Výsledky měření

4.1. Nedestruktivní diagnostika

Rychlosť zvuku v l a modul pružnosti Eo měřen UZ tloušťko-hlavou - místo 11 - proměřen defektoskopem DI-4T sondou 1MHz D30 mm. Zbytkový magnetizmus M, který je úměrný tvrdosti HB a množství perlitu P měřen s obtížemi přístrojem REMAGI měřítkem a obkročnými nástavci na čelistech. Pevnost Rm vypočtena, stejně jako P a Eo dle dříve uváděných vztahů.

tab.1 místo	L mm	VL m/s	Eo GPa	P %	Rm MPa
1	5,9	4520	111,5	100	209
2	6,5	4504	110,8	77	186
3	6,3	4669	118,8	96	223
4	5,8	4650	117,5	100	230
5	13,6	4406	100	62	150
6	17,3	4601	106,7	64	164
7	17,7	4603	106,9	66	158
8	6,6	4674	119,9	62	182
9	13,7	4642	117,5	64	179
10	7,4	4720	121,7	77	213
11	348	4437	107,2	100	200
12	5,6	4673	115,9	60	180
13	7	4914	131,8	100	280
14a	6,2	4892	131	68	227
14b	19,5	4533	112,7	100	220
15	6,3	4875	129,6	84	241

14b...příruba.

Rozsah hodnot Rm představuje více jak dvě jakostní třídy ŠL.

4.2. Mechanické zkoušky

K řezu A byl paralelně veden ve vzdálenosti 50mm řez B. Z odříznuté části byly vyříznuty proužky pro stanovení pevnosti v ohybu na mokroohybovém přípravku LIAZ.

tab.2 místo	L mm	b mm	Eo GPa	Rmo MPa	Reo	Re/Rm	yp	HB	tah v	
1a	6	17,8	110,3	489	310	0,63	0,68	200	202	F
1b	5,9	15,4	109,4	499	338	0,68	0,37	195	198	j
2a	6,5	17,8	109,5	387	235	0,61	0,44	161	158	f
2b	6,5	18,5	113,4	459	293	0,64	0,57	170	177	f
3	6,3	16,7	109,5	384	246	0,64	0,43	163	180	f
4	5,9	19,3	115,9	477	317	0,66	0,49	207	208	j
5	6,9	23,8	116,4	378	282	0,75	0,3	167	167	f
12	5,7	18,6	125,3	515	325	0,63	0,29	188	184	j
13	6,7	19,7	114	517	387	0,75	0,26	212	197	j
15a	6,4	18	129,8	542	385	0,71	0,26	190	200	f
15b	6,5	18,1	120,8	562	374	0,67	0,33	196	207	j

j...tah.napětí v licí kůře při jádru (dutině odlitku)
 y... poměrný plastický průhyb ("tažnost")
 Re...mez počátku nelineárního průběhu zatěžovací charak-
 teristiky síla $P=f(y)$ průhyb y.

4.3. Metalografie

Rozbor struktury byl proveden na výřezech stěn z míst 2a, 5 a 15b.

tab.3

místo	licí kůra střed	grafit	železo	
2A	LKF LKJ STR	G1A5/B6-7 G1A5/D6 G1A4/B6	P40-20% P1/2 Pd1/1,4 P50-40 " " Pmax.60 "	
5	LKF STR	G1A4 G1A4	P0 do 0,6mm! P80 P1/2 Pd1,4	
15B	LKF LKJ STR	G1A5/D6-7 G1A6-7 0,15mm G1A/B4-5	P70-80,oxidy P60-70 P1/2 Pd1 P70 "	

5. Shrnutí

Provedené nedestruktivní zkoušení zhodnotilo materiál stěn integrálně v celých průřezech, kdežto ohybová zkouška zvýrazňuje vliv povrchových partií (licí kůry).

Poměr předpokládané pevnosti v tahu $R_{m\max}$ a $R_{m\min}$ je 1,86 a skutečných pevností v ohybu $R_{m\max}$: $R_{m\min} = 1,5$ na řezu A ve stěnách silných cca 6-18mm. Vliv rozdílné tloušťky stěn se přitom projevuje max.20% změnou (poměr 1,2) u R_m a 13% (1,13) změnou pro R_{mo} .

Do velkých rozdílů mechanických vlastností u tohoto typu odliků se podst. měrou již promítá slév. technologie a metallurgie přípravy litiny. Z obr. 3 názorně plyne, že na rozptylu pevnosti se podílí jak grafit (rozptyl E_0) tak železo (obsahy perlitu P) ve struktuře litiny stejně.

Nejhorší mechanické vlastnosti lze očekávat v desce válců při sacím potrubí (5. místo).

Podle absolutních hodnot R_{mo} lze zkoumaný odlitek zařadit do jakostní materiálové třídy 42 2420 i přes poměrně vysoký obsah feritu ve stěnách s vyšší průtočností kovu. Pro pevnost neobráběných ploch má nepříznivý vliv zjištěná 0,6mm silná feritická licí kůra (při desce válců). V tepelně velmi exponované (při lití) dutině formy sacího potrubí (místo 2) licí kůra při formě způsobila o 70MPa vyšší hodnotu R_{mo} jak ze strany vnitřního jádra! Tento rozdíl v pevnosti též stěny způsobily rozdíly ve skladbě jádrové a formové směsi, ale i možné tahové vnitřní předpětí licí kůry při jádrovém povrchu.

Nárůst hodnoty E_0 v místě 5 a 12 po vyříznutí vzorku může svědčit o uvolnění tahových vnitřních pnutí a naopak pokles E_0 v 13 o uvolnění tlakových pnutí.

6. Závěr

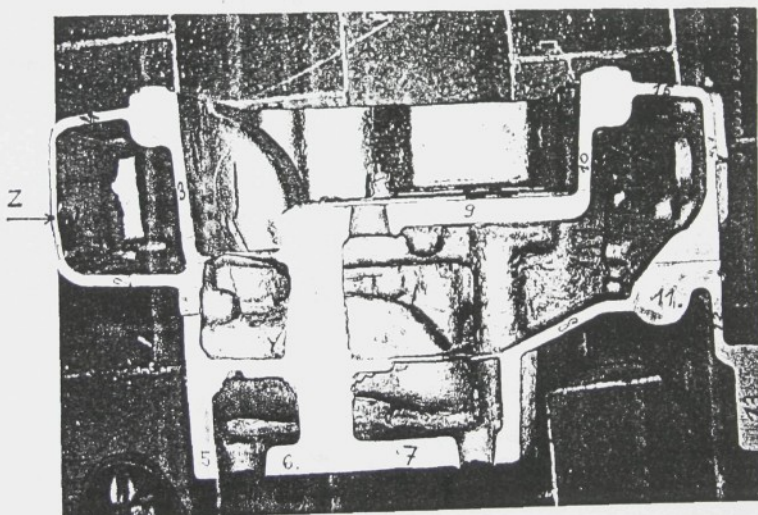
Pokud i při pečlivé metalurgii a očkování ve slévárně bude u dalšího odliatu nedestruktivně zjištěn podobný poměr R_m , doporučuji předepsat pro odlitek M4282 nízké legování Cr,Cu, Ni (podobně jako bloky M4209), které podstatně potlačí rozdíly v mechan. vlastnostech na jednom odliatu.

Kontrolní místo na měření tvrdosti, případně Eo a struktury je vhodné volit na spodní desce válce na straně sacího potrubí.

Dokud nebude vyvinuta metoda řízeného chladnutí pro odlitek M4282, je třeba každý odlitek pečlivě žíhat na odstranění vnitřních pnutí (cca $550^{\circ}\text{C}/3\text{h}$ s pozvolným ohřevem a ochl. v peci).

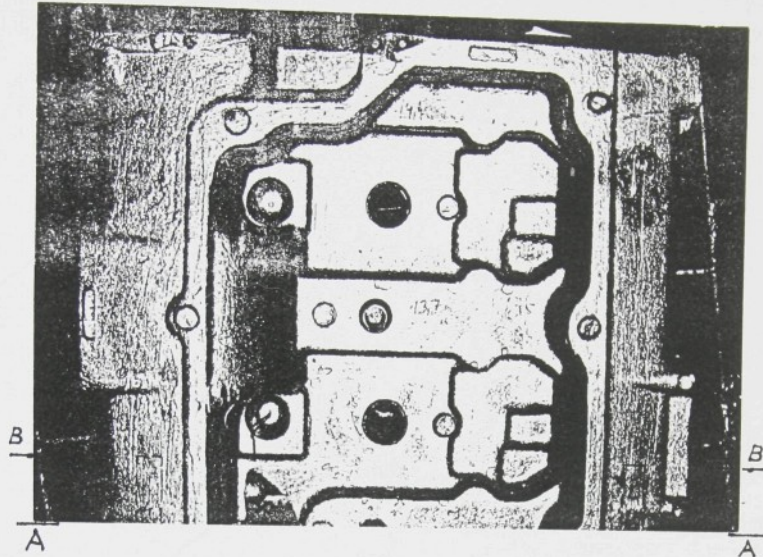
Vypracoval


Ing. Břetislav Skrbek, CSc.

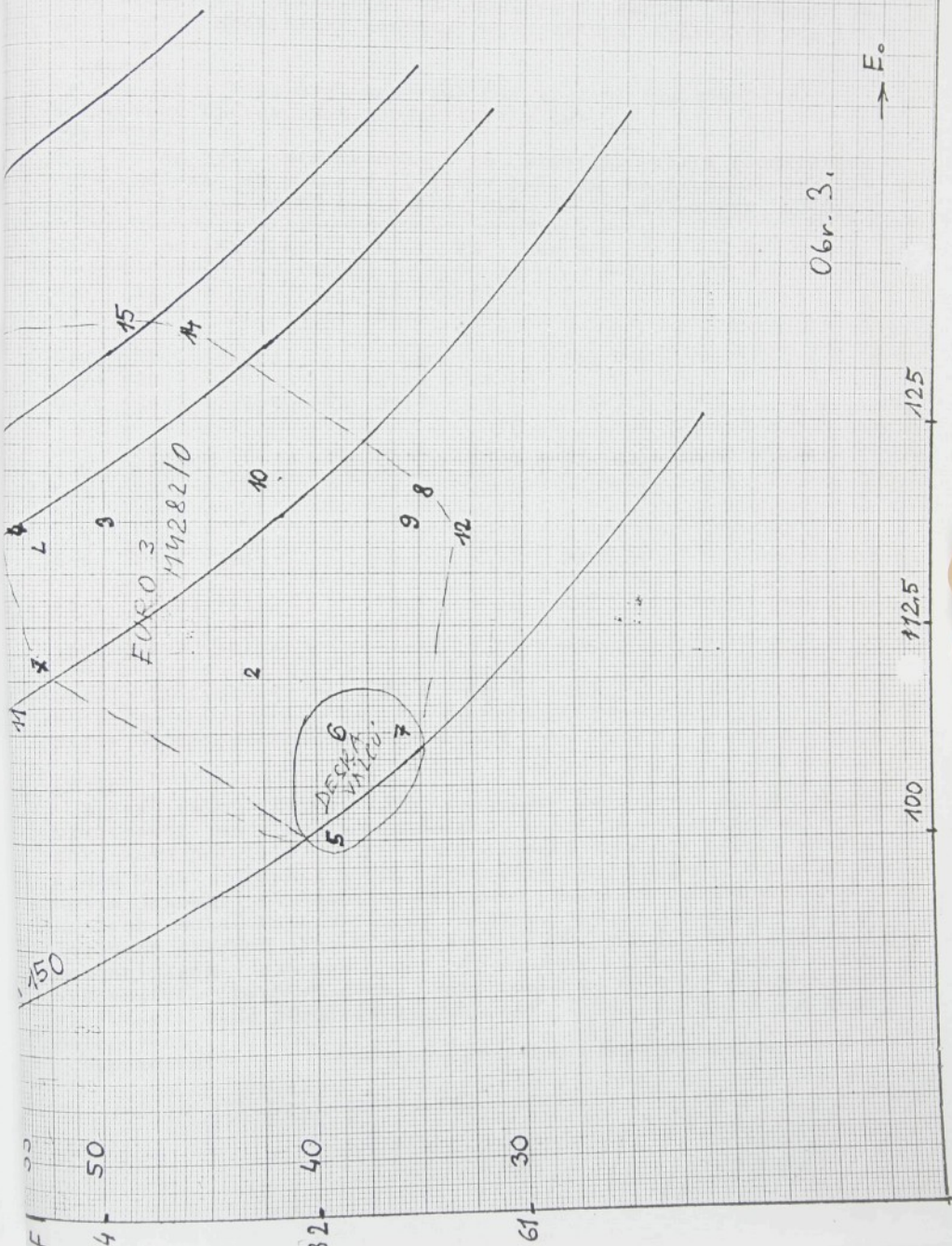


Obr.1. Řez A odliatkem hlavy M4282

LIAZ 18-790 950305 Ing.B.Skrbek,CSc. zadal ing.K.Havlín 18-790



Obr.2. Pohled na vršek odříznutého odl. hlavy M4282



1
22. 4. 1996
Ing.B.Skrbek
zpr.96040703

Hlava válců M4282
č. 3/95 - posouzení
materiálu

ŠKODA LIAZ
10 - 223
Jablonec n/N.

Ve zprávě jsem se zaměřil na ultrazvukové stanovení tloušťek stěn a nedestruktivní stanovení mechanických vlastností v kritických místech 5 a 15 (viz. zpráva 950305) odpovídajících nejnižší a nejvyšší hladině hodnot Rm na jednom odlitku hlavy M4282 a v dolní D a horní H desce.

Metalurgická postupová a kontrolní karta slévárny je přiložena. Mechanické hodnoty a struktura nebyly na odlitku hlavy měřeny.

Předpis

Výkres 442 1 1003 012, materiál ČSN 42 2425 (Rm>250MPa).
Nelegovaná litina. Max. obsah feritu 20%.

Výsledky

Síla stěn byla měřena cca v 30 místech. Příliš tenká stěna byla změřena jen v místě 2-1, kde L=5,3mm. Množství feritu měřil Strukturoskop B2 a tloušťky stěn UZ tloušťkoměrem LC545.

Místo	L mm	Eo GPa	M	F%	Rm MPa
H1	11,7	/	36,7	47	/
H3	11,4	/	39,6	40	/
D1/2	29,5	114,3	39,8	33	185
D3/4	30,7	/	39,4	34	/
D5/6	29,3	113,8	39,6	34	183
5-1	13,5	/	41,2	33	
5-2	13,7	/	39,4	38	/
5-3	15,2	/	38,3	40	/
5-4	13,7	/	37,2	44	/
5-5	13,8	/	37,9	42	/
5-6	13,8	124	39	39	201
15-1	8,03	121,2	62,5	0	237
153/4	7,91	122	67,7	0	250
15-6	7,8	121,4	71,8	0	256
bok	21,2	118,6	46,4	16	212

Místa měření znázorňuje obr. 1 A,B.

Závěr.

Hlava válců M4282 3/95 vyhovuje hodnotami mechanických vlastností jen v tenkých stěnách, které jsou bez většího průtoku kovu při lití. Dolní i horní deska obsahují příliš feritu (jeho mezní obsah 20% byl překročen dvojnásobně), odpovídají množstvu jakosti 42 2420. Hlavu válců M4282 při současných možnostech metalurgie slévárny Liberec nutno objednat z litiny legované alespoň jako bloky válců M4280, neboť i když výsledky mechanických zkoušek na přilitých tyčích ø30mm jsou vyhovující, rozptyl mech. vlastností v odlitku vlivem jeho složitosti bude překračovat jakostní třídu litiny, pokud bude nelegovaná.

Vypracoval

Ing. Břetislav Skrbek, CSc.

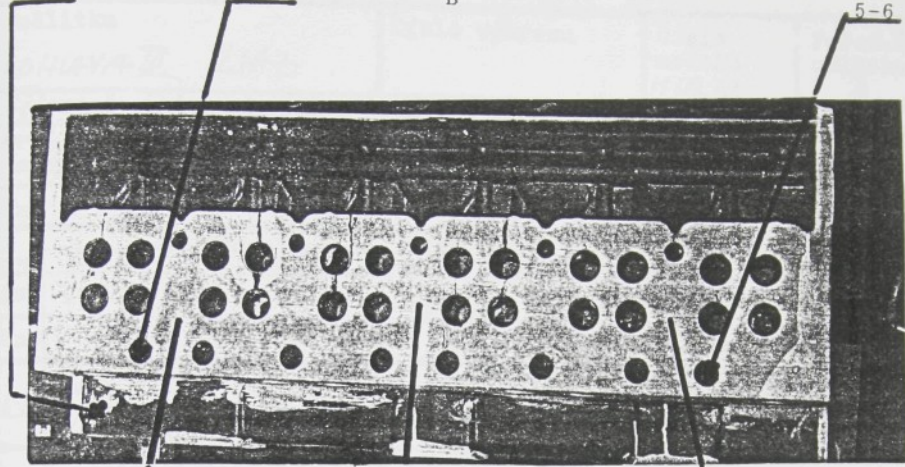
1

2-1

5-1

B

5-6



H1

H3

bok

15-1

15-6

A

Obr.1 Pohledy na hlavu válců M4282 s místy měření.

úzová, prototypová nebo malosériová výroba)

nev odlitku

EUROHLEVA II LIAZ

Číslo výkresu

Číslo
modelu
H42 82

Pořad.čís.
odlitku
3

PERIÁD doba	označ vzor.	C	Mn	Si	P	S	CE	klín	legury		
									Cr	Ni	Cu
číslo		3,20 3,40	0,65 0,90	1,6 2,00	0,12 max	0,12 max	3,46 ÷ 3,90	4-6	0,2 max	0,15 max	0,15 max
štěnec	3	3,34	0,73	1,78	0,103	0,085	měř. 3,86 vypoč. 5	907	0,04	0,06	
AVAFENINY	druh	způsob očkování - očko vadlo				měřidlo	teplota	pevní	pracov.		
dpis	Fer+N+Grumid	1 : 1		dopravidlu kou		pohor.	teploty při od	1360	PEC+PLKS		
štěno	—/—	—/—		—/—		—/—	1365	PEC	kou		
EVÁNÍ	místo	den	hodina	pracov.	doba odlév	měřidlo	tenota při odle				
	KÚSOV.	25.4.95	10 ³²	ITAKD	předp. zjištění	teploty	předpis	zjištěno			
LOUK:	predeps.	skutečná hodina	den	pracovn.	REZIM TEPELNEHO ZPRACOV.						
	doba vytí doba vytí vytí	l. 8 h.	22 h.	8 ³⁰ h. 26.4.							Rizené ochlazování v t. povrchu

SKÁNÍ	předpis:	PRŮBĚŽNÝ - T12	zjištěno:	✓
STNOSTI MATERI	ZKUS.	pevnost [MPa]	tvrdost [HV]	pracov.
íč. rku	předpis	min 250,-	180-240	■■■■■ max dle % frektu

ODOST	předpis:		hmotnost
LITKU	měřené místo:		odlitku
			kontrola: nedestruk.
	2.	3.	Vr
			Rmag
			Rm vyp.
CHARAKTER		CHARAKT	
UMY		JADER	

TESTENÉ VADY :

VOLEN	tmelení :	zavařování-elektroda	zavařování-plamen	ELSVARTA
VSZAH				
PRAV				
DUŽITELNOST				metallurg
OLITKU				
EDICE	dne :		expedoval	OKJ; VÝSTUP
ITU	dne :	pracovník:	převzal:	
PRACOVÁL				

č.v. 61-0-0237

TECHNICKÁ UNIVERZITA V LIBERCI

Fakulta strojní

**HABILITAČNÍ PRÁCE S KOMENTÁŘEM**

2000

Břetislav Skrbek

Fakulta strojní

PROBLÉMY APLIKACE GRAFITICKÝCH LITIN U VZNĚTOVÝCH MOTORŮ
A NÁKLADNÍCH AUTOMOBILŮ

Habilitační práce s komentářem

Obor strojírenská technologie 23-07-8



Ing. Břetislav Skrbek, CSc.

Březen 2000

PŘÍLOHA

III. SVAZEK

Kopie interních inženýrských prací [26 až 34].

Metalografická a chemická laboratoř

Zpráva č.:

027-01-B/91

Objednávatec: Úkol RTV T-10-998

Obřednávka č.: 2-10-6504

Předmět zprávy: Držáky per z tvárné litiny

Výkres č.:

Cíl zprávy: Zavěrečná zpráva podnikového
úkolu RTV T-10-998

Zprávu zpracoval: Ing. Skrbek, OSc.

Vedoucí laboratoře: Ing. Procházka

Vedoucí odboru: Ing. Volejník

V Jablonci nad Nisou dne: 23. 6. 1992

stran: 19

obrazků:

tabulek: 23

Obsah:

1. Úvod	3
2. Šplnění technické stránky úkolu	3
2.1. Základní informace	3
2.2. Vývoj technologie výroby držáků per z TL	4
2.3. Mechanické a fyzikální vlastnosti držáků per z oceli a tvárné litiny	5
2.4. Metody kontroly vlastností materiálu držáku per	9
2.5. Odlišky pro provozní zkoušky	12
3. Náklady na úkol	14
4. Ekonomické zhodnocení	15
5. Předmět výstupu - NZ a TPP	16
6. Závěr	18

Boužitá literatura

Seznam výloh

1. Úvod

Držáky per tvoří důležité součásti rámu podvozku nákladních automobilů. Na dvounápravovém voze je jich minimálně 8ks. Podle nosnosti vozu se jejich hmotnost pohybuje v toleranci G(3;25)kg. V zahraničí se vesměs tyto držáky vyrábí z tvárné litiny v litém stavu nebo z bainitickej tvárné litiny /1/.

V ČSFR se však většina namáhaných odliatků stále vyrábí z lité oceli. V r.1990 činila celková celková produkce tvárné litiny 40 tis. a odliatků z oceli 280 tis.tun. V sousedním Německu se při výrobě 800 tis. odliatků z tvárné litiny vyrábilo jen 200 tis.t ocelových odliatků. Vyrábíme tedy více lité oceli, ale 20x méně tvárné litiny /2/ než v Německu.

Výše uvedené skutečnosti jsou podloženy užitnými vlastnostmi tvárné litiny a technickoekonomickými podmínkami výroby tvárné litiny a lité oceli.

Odlišná technologie výroby a vyšší disciplína kontroly odliatků z tvárné litiny nedovoluje provádět materiálovou nahradu oceli složitějších odliatků, jakými držáky per jsou, bez předchozích vývojově aplikáčních prací. Proto byl řešen podnikový úkol rozvoje výdy a techniky č.T-10-998 s obsahem: Vývoj technologie výroby a tvaru držáku per z tvárné litiny vozů LIAZ se zaměřením na řadu 200.

Základní údaje o struktuře a nákladech na řešení obsahuje požadavkový a kalkulační list úkolu - viz.příloha.

Výstupem úkolu je uvedení technické dokumentace a dostatečných informací pro úspěšné seriové uplatnění držáků per vozů LIAZ z tvárné litiny.

2. Splnění technické stránky úkolu

2.1. Základní informace

Předmětem úkolu jsou tyto držáky per

tab.1.

Název	Číslo výkresu	ks/vůz	model
Přední držák předního péra	442 2 3061 040	2	M1427
Zadní ...	" 041	2	M1722

Přední držák zadního pera	"	042	2	M1428
Zadní ...	"	043	2	M1429
Přední držák předního pera	"	070	2	M3622

Sestava držáků per pro vozy řady 100:

$$2x(070+041)+2x(042+043)$$

Sestava pro vozy řady 200:

$$2x(040+041)+2x(042+043)$$

Pokud bude konstruována řada vozů 300, budou držáky per navrhovány již z tvárné litiny (viz. zápis z 9.2. 1990 v LIAZ 02).

Vykresy držáků per se zakreslenými plochami pro obrábění obsahuje příloha zprávy.

Dodavatelem odlitrků je převážně Transporta Chrudim, kde se odlevají z lité oceli ČSN 42 2709.1. Označení modelu v Transportě a hmotnosti dané výkresem:

tab.č.2.

Model LIAZ	Transporta	Hmotnost [kg]
M1427	310 212	4,35/4,5
1722	310 213	3,5/3,6
1428	310 209	6,8/-
1429	310 215	-/7
3622	310 216	-/5,5

Smrštění odlitrků z oceli je 2,0% a z tvárné litiny 1,0%.

2.2. Vývoj technologie výroby držáků per z tvárné litiny

Dále uvedené skutečnosti nutno uvažovat při změnovém řízení (konstrukční úpravy v LIAZ) a při návrhu modelového zařízení pro odlity držáků per z TL (ve slévárně Transporty) /3/:

- a) přídavky na obrábění se v souladu s ČSN 01 4980 volí menší než u ocelových odlitrků.
- b) při výpočtu a návrhu přídavku se musí vycházet z upínacích ploch - nutné jsou výkresy odlitrků s vyznačením opěrnych a upínacích míst (součást TPP).

c) Tvar odlitků držáků per je vhodný pro přechod na TL. U držáku 041 je doporučeno skosení vodorovné stěny v rozích stejně jako u držáku 040. U tohoto držáku bude možné vynechat jeden nálitek prodloužením žebra, které vyznačuje svislou stěnu přiléhající k podélníku rámu vozu - viz. obr.1.

d) z četných měření rozměrů odlitků (litých na modelovém zařízení pro ocel) ocelových a z TL vyplývá, že rozměry odlitků vytvořené při odlévání formou jsou u odlitků z TL větší i o více než imm a naopak rozměry tvořené jádrem jsou prakticky shodné.

Náklady na zhotovení nového jaderníku mohou činit až 300 tis. Kčs, ale na zhotovení dvojice modelových desek 35 tis. Kčs.

Pro výrobu odlitků z TL je tedy možno použít původní jaderníky; sníží se náklady a čas pro přípravu výroby. Nové modely se smrštěním pro TL zpásobí optimální rozměry litinových odlitků.

e) rozměry po obrábění umožnily ještě použití odlitků z TL pro montáž, ačkoli byly po odlití větší než ocelové. Při obrábění pouze u držáku 043 (největší z držáků) velká tloušťka (14-15 mm) vodorovné stěny přiléhající k podélníku rámu vozu braniла zasunutí odlitku do přípravku pro obrábění.

Přechod na TL by tedy byl možný i beze změny modelového zařízení. Odlitky by však byly zbytečně velké, hmotné. Ekonomický efekt by byl malý.

f) vnitřní homogenita. Vzorové odlitky z oceli a litiny byly prozářeny rentgenem RT6 na pracovišti SVÚM. Z RT6 filmu vyplynulo, že odlitky jsou "zdravé", a tudíž i dobře nalitkovány (při technologii nalitkování pro ocel).

2.3. Mechanické a fyzikální vlastnosti držáků per z oceli a tvárné litiny

Při výpočtech tvaru a bezpečnosti držáků per je třeba uvažovat především vlastnosti materiálu v odlišku. Údaje sennané z materialových listů ČSN jsou pouze informativní. Proto byly provedeny materialové zkoušky na vzorcích získaných přímo z odlišku držáku. Grafické záznamy zkoušek obsahuje příloha (jen orig. zprávy).

2.3.1. Vlastnosti oceli 42 2709.1./4/,/5/:

Získané hodnoty jsou porovnány s údaji ČSN.

a) Chemické složení

tab.č.3.

%	C	Mn	Si	P	S	HB
odlitek	0,25	1,24	0,27	0,015	0,01	150-167
ČSN	0,28/0,2	1,2/1,6	0,2/0,5	<0,05	<0,05	149/184

b) Základní mechanické vlastnosti

- zk. tyče $D_0=6$, $l_0=30\text{mm}$

tab.č.4.

	R _{p0,2} [MPa]	R _m [MPa]	A _s [%]	Z	HB
odlitek	288	514	16,2	28,5	177
ČSN	>300	520/670	18	25	

c) Metalografický rozbor

Feritickoperlitická struktura (40%). Velmi jemná zrna perlitu (vel.7-8) mezi dendridicky usporádaná (kopíruje primární strukturu) nebo tvoří dvorce kolem hrubých feritických zrn.

d) Mez únavy v ohybu

- vzorky $10 \times 10 \times 55$; $\Gamma=50$ - asymetrie cyklu $P=2,2$ ($P=6h/6a$); $f=170$ Hz

tab.č.5.

42 2709.1	$\delta_{0.2\%}$ [MPa]	$\delta_{0.2\%}/R_m$ [MPa]
bez vad s ředinami	520 320	1 0,62

Přítomnost vad o velikosti $>0,5\text{mm}$ na povrchu velmi progresivně snižuje mez únavy (o ~40%). Řediny totiž odstraňují první dvě stadia únavového procesu (1.změny mech. vlast., 2.iniciace mikrotrhlin).

e) Rázová houževnatost KCU2

tab.č.6.

Vzorek ozn.	KA	KB	DA	DB	DA	DB	ČSN
KCU2 [J/cm ²]	124	98	77	111	56	56	>25
HB	167	164	164	164	178	178	149/184

f) Vlastnosti získané statistickou kontrolou většího množství odlitrků

tab.č.7.

Odlitek	M 1428	M 1429	M 1722
Tvrnost HB	175±9	-	-
Hmotnost G [kg]	7,78±0,09	11,3±0,2	3,93±0,46
Rm [MPa]	548		
R _{P0,2}	324		
As [%]	25		
M [1]	31,8±3,2		

Záznam tahové zkoušky vykazuje výraznou mez kluzu.

Použité tyče...D₀=10l₀=40

2.3.2. Vlastnosti držáků per z TL

V první fázi byly odlitky zkušební odlitky držáků per z TL 42 2305 (3/89) a později z TL legované Cu jakosti 42 2306 v Transportě Chrudim (4/90).

Atest a zkoušky mech. vlastností se vážou na druhou skupinu odlitrků.

a) Chemické složení

tab.č.8.

Datum tavby	C	Si	Mn	P	S	Ču	Mg
22.3.90 5.4	3,93 3,57	2,3 2,53	0,44 0,46	0,05 0,046	0,011 0,011	0,48 0,48	0,056 0,09

b) Zákl. mech. vlastnosti na přiletíých Y1 klínech

tab.č.9.

Tavba	R _{P0,2} [MPa]	Rm [MPa]	A [%]	HB
22.3 5.4	467 460	711 612	4 4,3	229 237

c) Metalografický rozbor

tab.č.10.

Tavba	Grafit	Perlit
22.3	G VI. 6-80% + G V.	P 75
5.4	G VI. 7-80% + G V.	P 85

d) Mez únavy v ohýbu měřeno za stejných podmínek jako pro ocel 42 2709.1 /6/ v MPa

tab.č.11.

Tavba	stav	δ _{0,2c}	R _m	δ _{0,2c} /R _m
s Cu	lity	446	654	0,68
s Cu	norm. žíhaný	526	909	0,58
neleg.	feritiz.	316	505	0,75

Ve vzorcích se nevyskytovaly vnitřní vadý.

Vztah mezi δ_{0,2c} a R_m pro tvárnou litinu:

$$\delta_{0,2c} = 100 + 0,1731 R_m \quad (1)$$

Poměr δ_{0,2c}/R_m se příznivě zlepšuje tepelným zpracováním odliatků a snižováním hodnoty R_m, HB.

e) Statická pevnost v ohýbu R_{mo} – vzorky s licí károu.

V tabulce jsou uvedeny průměry ze 4-7 zkoušek:

tab.č.12.

Stav	R _{mo} [MPa]	R _{po}	yp [1]	HB
lity	1254±93	866±78	0,9	268-302
žíhaný	1104±131	670±40	5,7	180-229

Vysoká tvrdost a pevnost litiny je spojena s nízkou hladinou plasticických vlastností (yp...equivalentní veličina k tažnosti). Pevnost R_{mo} na použitém přípravku nelze stanovit pro ocelové vzorky (neomezený plasticický průhýb).

f) Rázová houževnatost KC získaná z těles 10x10x55 bez vrubu

tab.č.13.

vzorek	1L4A	1L4B	1L3B	2L4A	2L3B	2L4B
KC [J/cm ²]	21,5	23	32	50,5	52,5	34,5
HB	249	234	187	185	180	195

$$KC = 114 - 0,383 HB \quad (2)$$

g) Vlastnosti dle ČSN 77:

tab.č.13.

vlastnost	Rm	Rpo,2	As	HB	Rmo	Rpo	KC	strukt.
42 2305	>500	>320	>7	170/240	900	500	>50	P45-70
42 2306	>600	>370	>3	190/270	1000	570	>35	P70-85
42 2307	>700	>420	>2	230/300	1100	630	>200	P85-100

2.4. Metody kontroly vlastností držáků per /8/

V rámci této části řešení byly zkoumány souvislosti mezi mech. vlastnostmi ve stěnách (různě silných) odlitků bez průtočnosti a s definovaným průtokem tekutého kovu a jejich vztah k vlastnostem získaným z předlítých kylvových zkušebních bloků Y1 a Y2. Současně byl prováděn výzkum nedestruktivní diagnostiky mech. vlastnosti metodou magnetického bodového pólu a měřením rychlosti zvuku. Platí pro TL; litinu s červíkovitým a lupínkovým grafitem (nezdařená modifikace).

2.4.1. Vztahy mezi hodnotami mechanických vlastností z bloků Y1, Y2 a stěn odlitků

Y1...tyče $\varnothing D=6\text{mm}$,Y2...tyče $\varnothing D=10\text{mm}$, stěny 5;10;15mm silné

a) Y1 a Y2

tloušťka bloku Y1=12,5 a Y2=25mm

tab.č.15.

vztah	K	Přepočet	Y1	Y2
3	0,99	$R_{my2}=7+0,902 R_{my1}$	500	700
4	1	$R_{py2}=6+0,94 R_{py1}$	320	420
5	1	$HB_{y2}=(-3)+0,985 HB_{y1}$	170	300
6	0,94	$A_{y2}=0,05 A_{y1}^2 \cdot 51 *$	17	5,2
			22,7	2

* výraz (6) je pro A(5%) nevhodný

b) Vliv průtčnosti tekutého kovu stěnou 100x200 zaformovanou vodorovně do bentonitové směsi (6%) na Rm, Rp, HB:

tab.č.16.

Stěna [mm]	Průtok [kg/s]	Rm [MPa]			Rp,2 [MPa]		
		přepočet	Rm	Rmp	přepočet	Rp	Rpp
5,5	0,4	$R_{mp}=1,01 R_m - 25$	500	481	$R_{pp}=1,01 R_p + 6$	320	329
5,5	4	$K=0,99$ (7)	700	683	$0,97$ (8)	420	430

9,8	0,7	Y=1,23 X-63	500	553	Y=1,06 X-7	320	331
9,8	7	K=0,98 (10)	700	799	0,98 (11)	420	437
15,2	1,1	Y=1,2 X-72	500	529	Y=0,975 X-6	320	306
15,2	10,6	0,976 (13)	700	770	0,96 (14)	420	403

pokr.tabulky č.16.

Stěna	Průtok	HB				
		[mm]	[kg]	přepočet	HB	HBp
5,5	0,4			HBp=0,989 HB-20	170	148
5,5	4			0,97 (9)	300	277
9,8	0,7			Y=0,95 X-19	170	143
9,8	7			0,99 (12)	300	267
15,2	1,1			Y=0,988 X-15	170	153
15,2	10,6			0,99 (15)	300	281

c) Souvislost mech. vlastností v přílitych zkušebních blocích Y1,Y2 a stěnách odlitků. Výsledky nazorně předkládá tabulka č.17. Výčet matematických přepočtů by byl na úkor přehlednosti.

tabč.17.

Blok	Rm		Rp _{0,2}		HB	
Y1	547	768	339	440	170	300
Y2	500	700	320	420	164	292
Stěny						
5,5	562	594	381	458	237	322
5,5p	547	679	383	427	206	314
9,8	484	627	339	412	214	308
9,8p	503	599	349	446	182	278
15,2	438	513	335	414	192	298
15,2p	457	544	330	427	174	280

Atesty taveb bývají udávány v hodnotách mech. vlastností naměřených na kýlových blocích Y1,Y2. Z tabulky č.17. lze tedy předvídat hodnoty mech. vlastností ve stěnách odlitků z atestovaných hodnot podle průtočnosti kovu hodnoceným místem ve stěně. Pevnost stěn reálných odlitků je poměrně nízká, ale mezi kluzu Rp_{0,2} se blíží hodnotám zkušebních bloců Rp_{0,2}.

2.4.2. Nedestruktivní kontrola mech. vlastností /B/

Z měření přístroje REMAG s příložnou magnetickou sondou ($\varnothing 28\text{mm}$) a ultrazvukovými měřiči rychlosti zvuku na simulovaných stěnách odlitků z pestré škály litin plynou následující nové poznatky:

v...rychlosť zvuku

M...remanentní magnetismus

R...obecně pevnost

H0...tvrdost

L...tloušťka stěny

a) s dostatečně vysokým koef. korelace $K20,9$ nelze stanovit jeden funkční vztah,

$$R=f(M, v)$$

který by platil současně pro všechny druhy litin

b) velikost M závisí sice totiž na množství perlitu P (narůstá s množstvím P), ale zvýší se významně i u litiny po vyuhasnutí modifikačního účinku Mg při výrobě TL demagnetizačním (tvarovým) účinkem lupínkového tvaru grafitu.

c) stěny odlitků z TL L ≤ 10 jen s otryskaným povrchem nelze bez úpravy povrchu již kontrolovat y ultrazvukem na kvalitu grafitu (nepřiznivý vliv drsnosti povrchu). Vliv drsnosti se ani u tenkých stěn naopak neprojevuje nepřiznivě při měření M. Hodnoty M rostou s klesající tl.stěny L. Tuto závislost lze matematicky popsat a ve výpočtech $R=f(M, v)$ kompenzovat.

d) pro kontrolu litin s kuličkovým a červíkovitým grafitem ultrazvukem a metodou mag.bod.pólu vychází koeficient korelace K vyšší ve výrazu pro stanovení meze kluzu $R_{p0,2}$ jak ve výrazu pro R_m stěny odlitku silnější jak 10mm:

$$R_{p0,2}=2,23 \cdot M+0,108 \quad v_L=376 \quad K=0,968 \quad (16)$$

$$R_m=2,38 \cdot M+0,24 \quad v_L=1035 \quad K=0,951 \quad (17)$$

Kontrolní zařízení by měla vlastnit výstupní TK slévárny a vstup. TK odběratele. Nedestruktivní kontrola je zatížena menší chybou měření jak např. měření Foldi kladívkem, proto ji doporučuji aplikovat více v praxi.

2.5. Odlistky držáků per z TL pro vozové zkoušky

Odlitky byly lity na modelovém zařízení pro výrobu seriových odlistků z oceli v Transportě Chrudim ve dvou skupinách. První skupina byla omylem nechtěně zpracována výrobou a namontována do sériových rámů.

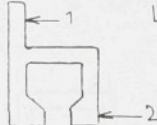
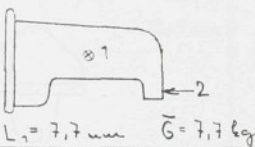
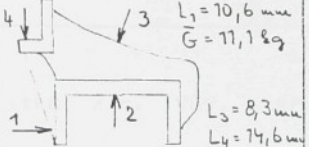
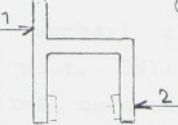
2.5.1. Držáky per odlité v r.1989 - nesledovaná provozní zkouška

Odlitky byly v závodě LIAZ 01 podrobeny 100% kontrole metodou magn. bodového půlu přístrojem REMAG 1 (kontrola "tvrdosti HB" nedestr. metodou).

G...hmotnost [kg]

L...tl. stěn [mm]

tab.č.18.

Model	Místo měření	kusů	M	S _M	HB	S _{HB}
M 1427 310 212	 $L_1 = 11,3 \text{ mm}$	N 51	1) 31,8 ± 3 2) 31,3 ± 2,8 (21,6;37,2)		227 ± 12 226 ± 11 (200;238)	
M 1428 310 209	 $L_1 = 7,7 \text{ mm}$ $\bar{G} = 7,7 \text{ kg}$	23	1) 34,2 ± 3,1 2) 33,8 ± 4,6 (21,1;37,2)		240 (207;249)	
M 1429 3100215	 $L_1 = 10,6 \text{ mm}$ $\bar{G} = 11,1 \text{ kg}$ $L_2 = 8,3 \text{ mm}$ $L_3 = 7,4 \text{ mm}$	10	1) - 2) 28,3 ± 2 3) 32,7 ± 1,2 M2(25;31,5) M3(30,4;34,5)		228 (222;245)	
M 1722 310 213	 $\bar{G} = 3,62 \text{ kg}$	3	1) 33,7 2) 30		229,4 222	

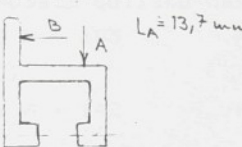
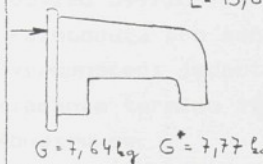
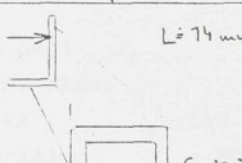
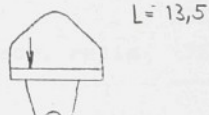
2.5.2. Držáky per odlité v r.1990

Mechanické vlastnosti a chem. složení obsahuje kapitola

2.5.2. Oproti první dávce odlistků, byly tyto z TL legované 0,5% Cu.

Výsledky 100% kontroly odlitrků:

tab.č.19.

Model	Místa měření	kusů	M	Sm	HB	ShB
M 1427 310 212		37	$38,3 \pm 8,4$ (25;56)		252	(201;285)
M 1428 310 209		31 + 7*	$36,9 \pm 9,9$ (24;53,3) $21,8 \pm 1,4$ (20,6;24,8)		248 ± 33 (207;302) 209 (173;217)	
M 1429 310 215		4	$52,6 \pm 10,9$ (42;63,8)		270	(241;305)
M 3622 310 216		28	$25,6 \pm 6$ (203;47,6)			

*...část odlitrků z r. 1989, která nebyla zpracována výrobou do rámů

Odlitky pochází z několika taveb neboť mají velmi rozdílnou tvrdost. Odlitky z hodnotami tvrdosti nad 250 HB byly i obtížně obrabitevné, málo plastické (viz pevnost v ohýbu kap. 2.3.). Proto byly "tvrdé" odlítky přežíhaný na částečný rozpad perlitu. Při nevýrazném snížení pevnosti v ohýbu se podstatně snížila tvrdost (o 50-60 HB) a zvýšila tažnost TL.

Soubor odlitrků pro provozní zkoušky v LIAZ 02 tak obsahuje odlítky s nižší tvrdostí v litém stavu a žíhané

odlitky (viz dop. 062/90/Sk/Zá z 8. 2. 1990 a 464/90/Sk/Zá z 29. 10. 1990), které spolu odpovídají jakostí ČSN 42 2306.

Vysoké hodnoty koeficientu korelace Kz1 dokazují vhodnost použití metody magnetického bodového pólu pro kontrolu tvrdosti odliatků např. M 142S:

$$HB=2,58 \text{ M} + 153 \quad K=0,96 \quad (18)$$

nebo u M 142T

$$HB=2,68 \text{ M} + 142 \quad K=0,985 \quad (19)$$

ve výrobě.

Dle dopisu 399/280/Bá/Šr/ z 15. 11. 1991 konstrukce vozů LIAZ je rozhodnuta pro montáž držáků per z TL na prototypy vozů. Po vyhodnocení jednotlivých vozidel (po 80000km provozu v předpokládaném termínu 1. 1. 1993) lze očekávat konečné vyjádření konstrukce.

I. Náklady na úkol

a) Předběžný plán:

Položka	tis.Kčs
Prímý materiál	50
" mzdy	40
Kooperace	235
Ostatní náklady, režie	75
<hr/>	
Celkem	400

b) Skutečné využité náklady na řešení do 11. 2. 1992

materiál	48,476
Kooperace	260,872
mzdy příme	25,92
režie	105,941
<hr/>	
Celkem	441,2

Hodiny techniků	1479
dělníků	141

Náklady na úkol byly překročeny cca o 10%.

4. Ekonomický rozbor

Hlavní přínos přechodu odliatků držáků per z lité oceli 42 2709.1 na tvárnou litinu 42 2305/6 nutno vidět ve výhodnější ceně odliatků z titulu nižší hmotnosti a výrobních nákladů slévárny.

Nelze vycházet z hmotnosti odliatka z TL pro provozní zkoušky lité na modelovém zařízení pro ocel! Při stejných rozměrech budou odliatky z TL o 8% lehčí.

Lepší obrabiteľnosť TL se projeví až po úpravě obráběcích podmínek a přípravků z oceli na litinu! U držáků per převažuje vrtání děr a frézování dosedacích ploch. Doporučené různé podmínky obsahuje /7/. Obrábění TL o 8-9% tvrdší jak ocel (TL-200 HB, ocel-183 HB) se dosáhne při frézování snížení nákladů o 75% a vrtání o 55% /9/.

tab.č.20.

Držák per	Ocel 42 2709.1 Nm	Mzdy [Kčs]	Teor. úspora o 65% Nm	Mzdy [Kčs]
040	29,16	4,7 → 5,36	18,95	3,48
041	28,94	4,67 5,31	18,81	3,45
042	31,37	5,09 5,77	20,39	3,75
043	22,05	3,6 4,1	14,33	2,66
Celkem			72,48	13,43

Skutečná úspora bude asi nižší (vyšší str. rozdíl tvrdosti 100,5-220 HB).

Cenový vývoj materiálových nákladů (ocel 42 2709.1):

tab.č.21.

Držák	1988	1989	1990	1992	ks/1989	*ks/1992
040	84,94	89	89	160	32500	12000
041	90,0	83,5	94	186	"	"
042	151,24	149	170	250	"	"
043	205,24	203	247	354	"	"
070	-	-	-	209	"	"

Předpokládané materiálové úspory (8%):

Držák	Ocel		Tvrátná lit.		Úspora pro 12000 ks [tis.Kčs]	Potřeba t/r odl.
	hmotnost [kg]	cena [Kčs]	hmotnost [kg]	cena [Kčs]		
040*	4,5	160	4,14	147,2	153,6	50
041	3,93	186	3,62	171,12	178,56	44
042	7,78	250	7,16	230	240,0	86
043	11,3	354	10,4	325,68	339,84	125
070*	5,5	209	5,06	192,28	-	50
Celkem					912	305

*....na vozy se používá držák 040 nebo 070 !

Teoret. max. úspory mezd (dle tab.č.20.): 160 tis.Kčs

Podle sdělení 201.5/9/92 z 15. 1. 92 slévárny Transporty Chrudim lze očekávat stejné kilogramové ceny lité oceli i tvárné litiny u držáků per LIAZ.

Za předpokladu max. úspory 1072 tis.Kčs vyplývající z přechodu odlitků držáků per z lité oceli na TL bude návratnost nákladů vynaložených na řešení úkolu RTV necelá polovina roku.

5. Předmět výstupu úkolu

5.1. Návrhy změn

Nezbytným předpokladem změny materiálu a změn na výkresu je přijetí a vyřízení návrhů změn. Tyto byly jako součást výstupu úkolu vydány - viz tab.č.23.

18.1.1991 - datum vydání změn

tab.č.23.

č. výkresu	č.změny
442 2 3061 040 5	NZ 01-0525/91
" 041	" 0526/91
" 042	" 0527/91
" 043	" 0528/91
" 070	" 0529/91

Pro konečné vyřízení změn jsou pro konstrukci vozu rozhodující výsledky provozních zkoušek, které dle dopisu 399/280/Bá/Šr z 15.11. 91 budou k dispozici v lednu 1993.

Do návrhu změn se musí promítnout i návrhy tvarových a rozměrových úprav, které souvisí se změnou materiálu. Nové výkresy odliatků a obrobků musí v údajích souhlasit s přijatými technickými přejímacími podmínkami.

Výkresy držáků per dle současného provedení je třeba doplnit o skutečné hmotnosti odliatků, které byly vážením stanoveny. Výkres č.3061 043 např. uvádí hmotnost 7 kg, zatímco skutečná je 11,3 kg!

5.2. Návrh technických přejímacích podmínek

Návrh TPP vychází z výsledků řešení úkolu RTV. V příloze této zprávy je textová část návrhu. Ta bude doplněna výkresy odliatků (Transporta Chrudim) a kotových držáků per (LIAZ-konstrukce).

Na výkrese musí být uvedena místa kontroly tvrdosti, příp. struktury, opérné a upínací plochy pro obrábění. Tato místa a plochy uvádějí výkresy v příloze této zprávy.

Hmotnosti odliatků z TL se doplní až po odlití a zvážení vzorků z modelového zařízení vyrobeného speciálně pro odliinky držáků per z TL.

Doporučené mech. vlastnosti odliatu:

Tvrdost HB 200-250 na odliuku

R_{Mo} > 1000 MPa, y_P > 25 v odliuku

Mez kluzu R_{P0,2} > 370 MPa } na zk. bloku Y1

Tažnost A_S > 3% } "

Struktura v odliuku: grafit 0 VI. min.85%, 5-6

perlit max.80%

R_{Mo},y_P se zjistí na pruhu (cca 10mm šířka) materiálu z odliuku

5.3. Další výstupy

Na základě získaných poznatků mohu pro výrobce odliatků a vstupní kontrolu LIAZ vypracovat TP pro nedestruktivní kontrolu odliatků. Při práci na technologických postupech obrábění technolog. odd.můžeme přispět bohatými podklady k optimalizaci řešných podmínek a materiálů.

6. Závěr - hodnocení

Odlitky držáků per vozů LIAZ jsou vhodné pro změnu materiálu z lité oceli 42 2709.1 na tvárnou litinu 42 2305-6.

Max. efekt změny je nezbytně spojen s vývojově aplikacemi pracemi, které doporučují v rámci této zprávy úpravy tvaru a rozměru pro návrh modelového zařízení a výkresů odlitků a obrobek.

Pro výpočtry konstruktérů byly stanoveny mech. vlastnosti lité oceli a tvárné litiny přímo v odlitcích držáků per. Doporučovaná jakost TL vyniká vyšší mezi kluzu R_{p0,2} a pevností R_m jak litá ocel 42 2709.1. Blízké jsou si vlastnosti v ohybu. Naopak rázová houževnatost tvárné litiny je nižší.

Na základě provedení zkoušek bude možno po návrhu vtokové soustavy a vzorkového tělesa (Y₁ nebo Y₂) ve slévárně předvídat mech. vlastnosti přímo ve stěnách odlitků různě silných a s různou průčelností kovu ve formě.

Kontrola mech. vlastností především R_{p0,2}; HB, zejména ve stěnách nad 10mm tloušťky, nedestruktivními metodami je dostatečně spolehlivá a reprodukovatelná. Může zrychlit výrobní tok slévárny a spolehlivost dodávek odlitků držáků per (viz výrazy /16/,/18/,/19/).

Doporučuji používat bateriové přístroje: Struktoskop B1 (Elkos Brno), ultrazvukové tloušťkoměry (LC5 45, UTM 2000).

Soubor několika desítek odlitků držáků per s vyhovujícími vlastnostmi z TL se omylem dostal do nesledované provozní "zkoušky". O případné havárii nebo výměně těchto držáků nebylo nic dosud oznámeno.

Pro oficiální sledovanou zkoušku 80 tis.km v provozu je připraven (od října 1990) soubor několika desítek vyhovujících držáků per. Konečná vyřízení vydaných návrhů změn tak lze očekávat počátkem roku 1993.

Náklady na řešení úkolu T-10-998 překročily plánované o 10%. Celkově však výše předpokládaných úspor plynoucí ze změny materiálu (z tvaru) držáků per vrátí náklady na úkol během půl roku po zavedení změny.

Pro jednání s dodavateli odlitků držáků per z TL byl zpracován návrh TPP.

Úkol byl splněn v časovém i finančním rozsahu. Provozní zkoušky nebyly a nejsou v kompetenci stř.10-250. V oblasti stroj. metalurgie bylo splněno zadání úkolu.

Literatura:

- /1/ Henych Ivo: Technickoekonomické aspekty výroby TL,
Georg Frischer AG Schweiz, 1989
- /2/ Wirtschaftliche Rundschau, Giesserei 1991
- /3/ Velinský J.: Práce na HS 37.6.6040, SVÚM Brno 1990
- /4/ Věchet, Bárta: Únavové vlastnosti lité oceli ČSN 42 2709.1
při zatěžování pulsujícím ohybem, VUT Brno
8/1991
- /5/ Skrbek: Zpráva 38-1-Sk/91, stř.10-250 LIAZ
- /6/ Věchet, Bárta: Únavové vlastnosti TL při zatěžování
pulsujícím ohybem, VUT Brno 10/1990
- /7/ Materiálový katalog TL, SVÚM+1OK+GIL, Krakov 1981
- /8/ Weiss Jan: Kompletní nedestruktivní diagnostika litin s
kompletním grafitem, zpráva Z-90-6350,
SVÚM Brno duben 1991
- /9/ Neset M.: Konstrukční a technologické vlastnosti TL
výzkumní zpráva Z-73-2907, SVÚM Praha

Seznam příloh: Požadavkový a kalkulační list úkolu
Grafické záznamy zkoušek - jen originál
Návrh TPP
Výkresy odliatků držáků

Technické přejímací podmínky pro odlitky držáků per z tvárné litiny vozů LIAZ

1. Všeobecně

1.1. Tyto přejímací podmínky (dál jen TPP) platí pro výrobu, zkoušení a dodávání hrubých odlitků z nelegované TL ČSN 42 2306 a doplňující ČSN 42 1242

1.2. Technické podmínky se vztahují na následující díly:

Přední držák předního pera, č.v.422 2 3061 040

č.modelu M 1427 (LIAZ), 310 212 (Transporta)

Zadní držák zadního pera, č.v.422 2 3061 041

č.modelu M 1722, 310 213

Přední držák zadního pera, č.v.422 2 3061 042

č.modelu M 1428, 310 209

Zadní držák zadního pera, č.v.422 2 3061 043

č.modelu M 1429, 310 215

Přední držák předního pera, č.v.422 2 3061 070

č. modelu M 3622, 310216

1.3. Nedilnou součástí TPP jsou oboustraně schválené slévárenské postupové výkresy.

Do nich odběratel vyznačil:

- upínací, opérné a ustavovací plochy

- místo pro měření tvrdosti

- místo pro kontrolu struktury odlitků

Tyto TPP je možno rozšiřovat o další varianty držáků per (např. 074, 075)

2. Technické požadavky

2.1. Materiál z tavby

Materiálem odlitku je nelegovaná TL ČSN 42 2306 se sníženou horní hranicí tvrdosti

2.2. Hodnoty mech. vlastností a strukturu stanovuje dodavatel na zkušebních tyčích, odebraných a odděleně litých zkušebních kusů typu Y1, které se odličují u každé tavby do pískových forem

2.3. Z každé tavby se stanovují hodnoty mech. vlastností ze zkoušky tahem a ze zkoušky tvrdosti na zkušebních tyčích ve

stavu odlitém bez tepelného zpracování

2.4. Z každé tavy se stanovuje struktura grafitu, struktura základní hmoty a podíl výskytu cementitu na vzorkách odebraných na vzorkách odebraných u zkoušebních kusů Y1 ve stavu odlitém bez tepelného zpracování

2.5. Z každé tavy se stanovuje kontrolní chemický rozbor tavy

2.6. Vlastnosti předepsané pro zkoušební tyče z tavy:

Nejnižší pevnost v tahu Rm	600 MPa
Nejnižší mez kluzu Rp0,2	370 MPa
Nejnižší tažnost A5	3 %
Tvrdost podle Brinella	190-250 HB
Podíl volného cementitu	0 %
Obsah grafitu	min.85 % zrnitého grafitu (etalon G17 obr.2.)
Základní hmota	perliticko-feritická max.obsah perlitu 70% (G10 obr.2.)

K hodnocení struktury jsou použity etalony G17, G20, které tvoří nedílnou součást těchto TPF.

2.7. Vlastnosti předepsané v odliktu - místě vyznačen na výkrese ke kontrole tvrdosti, struktury. Zkouška se provádí ve sporných případech a při reklamacích:

Pevnost v ohybu Rm _o	>1000 MPa
Relativní plast.průhyb yp	>2 /1
Tvrdost podle Brinella	200-260 HB
Podíl cementitu	0 %

3. Vlastnosti odliktů

3.1. Modelové zařízení je vyrobeno a upraveno podle technolog. požadavků dodavatele odliktů a ověřeno vzájemně odsouhlasenou sérií 10ks kontrolních odliktů.

Při změně modelového zařízení je nutná výroba kontrolních odliktů v počtu 10ks. Odběratel odliktů provede mech. obrábění, zkонтroluje odliky a vystaví kontrolní nález, v němž uvede všechny zjištěné závady a požadavky na jejich odstranění zjištěných závad nebo zda vyžaduje výrobu

nových kontrolních odlitrků. Originál zašle dodavateli.

3.2. Odlitky se vyrábějí ve stupni přesnosti dle ČSN 42 4470.3. Pro kontrolu tvaru rozměrů a hmotnosti hrubých odlitrků jsou směrodatně oboustranně schválené slévárenské postupové výkresy.

3.3. Dodavatel zajišťuje 100% kontroly odlitrků na zjevné slévárenské vadu.

3.4. Hrubé odlity nesmějí mít zjevné vady dle ČSN 42 1240 v rozsahu, který by byl na závadu jejich použití a obrábění. Zcela nepřípustné jsou tyto vadu:

- zavaleniny /22/
- trhliny /31/
- praskliny /32/

3.5. S vyloučením vad dle 22,31,32 jsou přípustné všechny zjevné vadu, které budou odstraněny následným obráběním u odběratele. Pokud rozsah těchto vad přesáhne přídavek na obrábění, jsou vyřazeny k tíži dodavatele.

3.6. Nepřípustnými avšak dodavatelem opravitelnými zjevnými vadami vybroušením, osekáním jsou vady rozměrů a vady povrchu odlitrků, které by byly na závadu jejich použití a obrábění v přípravcích.

3.7. Opravy tmelením jsou nepřípustné.

3.8. Hrubé odlity nesmějí mít skryté vadu dle ČSN 42 1240 v rozsahu, který by byl na závadu jejich použití. Díly s vadami odlitrků zjištěné po obrobení budou vyřazeny k tíži dodavatele.

3.9. Na odliticích nesmějí být zatvrdlá místa v místech obrábění.

3.10. Zbytky po nálitcích a vtocích musí být na neobraběných plochách odstraněny do mezi určených mezní úchylkou pro daný rozměr odlity, přičemž okraj zbytku musí být upraveny do plynulého přechodu do okolní plochy.

3.11. Zbytky po nálitcích a vtocích na obráběných plochách musí být odstraněny a upraveny do výšky nepřesahující hodnoty uvedené v tab.č.4. ČSN 42 1242.

3.12. Hrubé odlitky dodávají základované barvou S 2000, odstín 0840 červenohnědá.

3.13. Odítoky musí být označeny číslem modelu, pořadovým číslem modelu a číslem tavby. Výšku písmen a číslic volí dodavatel s podmírkou záruky dobré čitelnosti.

3.14. Specifické požadavky na jednotlivé odlitky. Místa kontroly struktury a tvrdosti platí pro reklamace konkrétních odliček. Na výkrazech jsou kontrolní místa označena písmenem T. Neobroběné plochy měřit metodou HB 10/3000. Obroběné plochy povoleno měřit HB 5/750. Před měřením je třeba odstranit licí káru. Místo kontroly struktury a Rm označuje na výkrese řez M-M. Homogenita odliček odpovídá 4. stupni PN 036301.

Přední držáky per: M 1722 310 213

M 1427 310 212

M 3622 310 216

Místo pro kontrolu tvrdosti a struktury (pevnosti v ohybu) je ve svislé stěně přiléhající k podélníku rámu cca 30mm od horního okraje.

Zadní držáky per: M 1428 310 209

M 1429 310 215

Místo pro kontrolu tvrdosti a struktury (pevnosti v ohybu) je ve svislé stěně přiléhající k podélníku rámu cca 20-25mm od horního okraje.

4. Zkoušení odliček

4.1. Hrubé odličky se zkoušeji a přejímají dle ČSN 42 1242.99

4.2. Zkouška tvrdosti se kontroluje na místě předepsaném slévárenským postupovým výkresem. Z měřeného místa musí být předem odstraněna broušením povrchová vrstva do hloubky min. 1mm.

4.3. Kontrola struktury se provádí namísto předepsaném slévárenským postupovým výkresem. Metalograficky hodnocená plocha odpovídá ploše řezu M-M na výkrese. Pevnost v ohybu se stanový na pruhu materiálu o šířce cca 10mm z řezu M-M. Zkouška se provádí na stejném typu přípravku u odběratele i výrobce.

Seznam norem:

01 3057	04 2021	42 1240
01 4456	42 0310	42 2305
01 4470	42 0371	42 0471
01 4980	42 1210	
PN 03 6301	PN 42 0016	

Seznam příloh: etalony struktur G 17, G 20

postupové výkresy odlitrků držáků per

Platnost od 1. 1. 1993

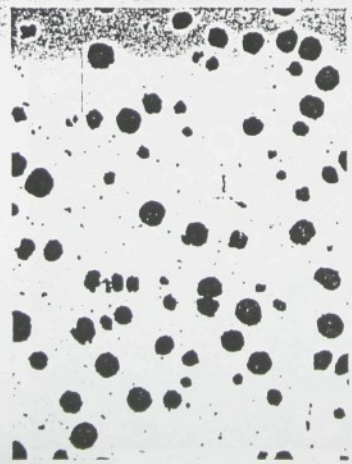
Za LIAZ a.s.

Za dodavatele odlitrků

GGG

Richtreihe für den Kugelgraphitanteil des Graphits

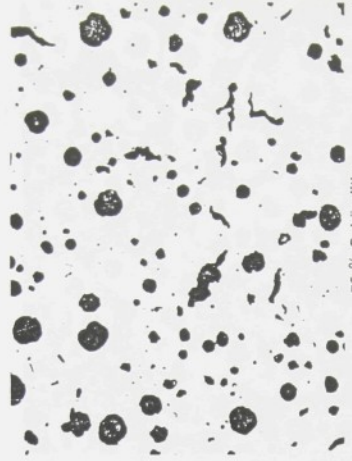
G 17



> 90 % Sphärolithe

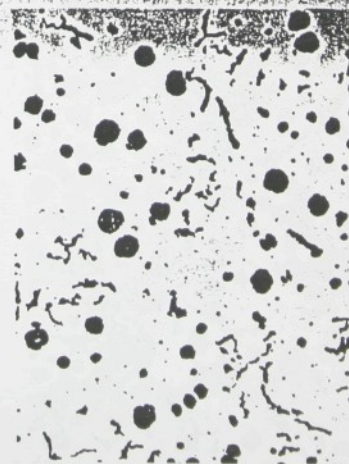


85 % Sphärolithe



2

75 % Sphärolithe

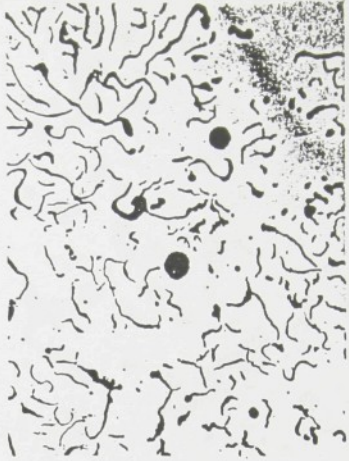


55 % Sphärolithe



4

< 10 % Sphärolithe



6

V - 100



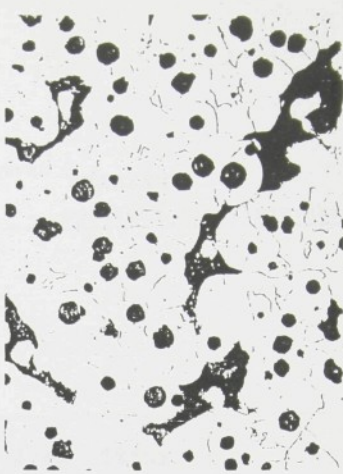
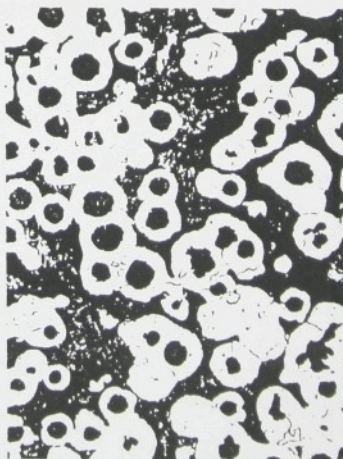
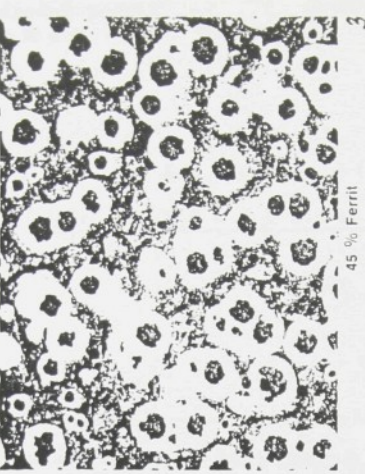
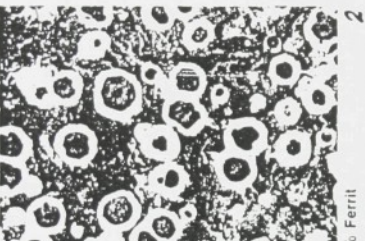
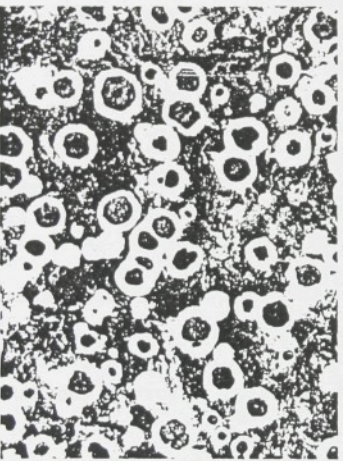
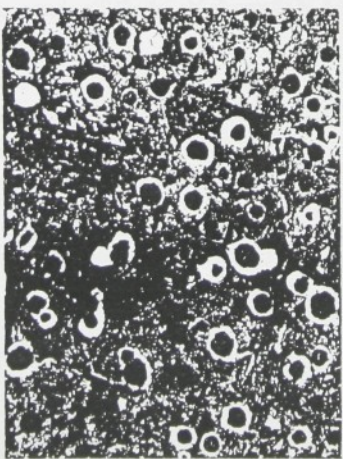
METALLGESELLSCHAFT AG · Abteilung TA Legierungstechnik · 6000 Frankfurt am Main · Reuterweg 14

April 1968

GGG

Richtreihe für Ferrit/Perlit-Anteile des Grundgefüges

G 20



Ätzmittel: 1 %ige alkoholische Salpetersäure

V = 100



METALLGESELLSCHAFT AG · Abteilung TA Legierungstechnik · 6000 Frankfurt am Main · Reuterweg 14

V = 100

Jan. 1968

Liberecké automobilové závody
národní podnik
Jablonec nad Nisou

Závod (útvar) **xxxxxxxx**

Předběžná - výsledná kalkulace úkolu RVT

číslo úkolu v plánu RVT : **Držáky per z tvárné litiny**

záves úkolu v plánu RVT :

záves prototypu (předmětu) :

počet	Kčs
.. Přímý materiál	50
.. Přímé mzdy	40
.. Kooperace	Y235
.. Ostatní přímé náklady	75
.. Provozní režie	

Vlastní náklady provozu (početka 1 - 5)

.. Správní režie

Úplné vlastní náklady výzkumných a vývojových prací
(početka 1 až 6)

- .. Poddodávky
- 3. Vyroběné a zbylé předměty (odečítá se)
- 1. Zisk (ztráta)

Velkoobchodní cena (základní)

- .. Doplňkové složky ceny a doplňkové položky k ceně

Velkoobchodní cena po úpravách

2.12.1988

B.Skrbek

V.Ptáček

datum:

vypracoval:

odpovídá:

Liberecké automobilové závody
národní podnik
Jablonec nad Nisou

Formulář RVT 1

POŽADAVKOVÝ LIST NA ZAŘAŽENÍ ÚKOLU DO PLÁNU RVT

Závod (útvar) :

Název úkolu : Držáky per z tvárné litiny

Předběžné náklady na řešení v tis.Kčs:

400

Základní údaje a cíl: Držáky per pro novou řadu vozů jsou ve čtyřech provedeních na vůz /040+043/. Celkem 8ks/vůz, 1000 t/rok. Cílem úkolu je vyvinout odlišky držáků z tvárné litiny s rovno-cennými užitnými vlastnostmi při snížených nákladech na materiál a mzdy a spolupodílet se při zabezpečování kvality jejich sériové výroby /externí/.

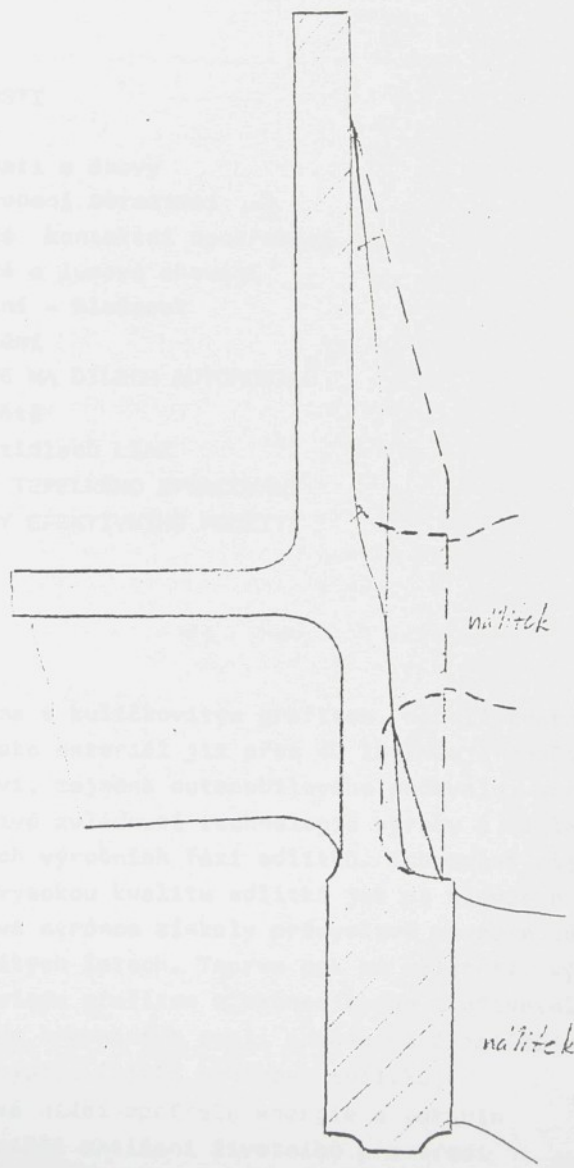
Dosavadní stav a jeho nevýhody: Držáky per se vyrábějí z lité oceli, která je nyní nedostatkovým /METAZ Týnec/ a neperspektivním materiálem /v zahraničí se podobné díly používají z tvárné litiny/. Odlišky jsou poměrně tenkostěnné, s vysokým poměrem plochy povrchu k objemu odlišku.

Předběžný roční ekonomický přínos po zavedení:
Při spotřebě asi 1000 t/r odlišků lze předpokládat 8% kovu. Při ceně oceli asi 16Kčs/kg to je 980tis.Kčs/r úspor. Skutečný přínos bude možno odhadnout po novelizaci cen odlišků po 1.1.1989.

Pro realizaci je třeba zajistit : Bilance na tvárnou litinu.

Návrh dílčích etap úkolu :	Termín		Odpovídá :
	od	do	
Celý úkol	I / 1989	III / 91	Ing.Břetislav Skrbek
Etapy :	T-E rozber-studie	4.89	3.89
1/			
2/	Aplikovaný vývoj tvaru	3.89	12.89
3/	Odlitky pro zkoušky	6.89	6.90
4/	Zkoušky, provoz	1.90	6.91
	Vydání NZ,výroba		9.91
	2.12.89		
Datum :	Vypracoval :	Skrbek	Schválil :
		<i>J. Skrbek</i>	<i>P. Ptáček</i>

Obr. 1: Návrh na úpravu tvaru odlitku "přední držák předního pera"



KUŠEBNÍ PROTOKOL č. 93/25

224-01

Kušební oddělení:
LIAZ Jablonec
stř. 10-291
 pracoval:
 Ing. Skrbek, CSc.

Název zkoušky: **ZÁVĚREČNÁ ZPRÁVA**
Izotermický kalená litina s kuličkovitým grafitem - souhrn vlastností - zkušenosti s aplikacemi na dílech nákladních vozů.

Datum: **18.5.1993**
 Typ:

Obsah protokolu :

- 1.0 ÚVOD
- 2.0 VÝROBA
- 3.0 VLASTNOSTI
 - 3.1 Normy
 - 3.2 Pevnosti a únavy
 - 3.3 Opotřebení abrazivní
 - 3.4 Kluzné kontaktní opotřebení
 - 3.5 Rázové a lomové chování
 - 3.6 Tlumení - hlučnost
 - 3.7 Obrábění
- 4.0 APLIKACE NA DÍLECH AUTOMOBILU
 - 4.1 Ve světě
 - 4.2 Na vozidlech LIAZ
- 5.0 ZPŮSOBY TEPELNÉHO ZPRACOVÁNÍ
- 6.0 PODMÍNKY EFEKTIVNÍHO POUŽITÍ
- 7.0 SHRNUTÍ

1.0 ÚVOD

Litina s kuličkovitým grafitem, neboli tvárná litina, je známé jako materiál již přes 40 let. Její rozšíření do strojírenství, zejména automobilového průmyslu, umožnilo teprve spolehlivé zvládnutí technologie výroby s důslednou kontrolou všech výrobních fází odlitrků. Schopnost zajistit rovnomořnou vysokou kvalitu odlitrků jak po slávárenské, tak po materiálové stránce získaly průmyslově vyspělé západní země v sedmdesátých letech. Teprve pak se uplatnily výhody litiny s kuličkovitým grafitem z ekonomického i uživatelského hlediska:

- ve srovnání s ocelí mnohem méně zatěžuje transportní systém (nižší hmotnost odlitrků)
- má nižší spotřebu energie a surovin
- nižší zatížení životního prostředí
- nižší náklady na zpracování odlitrků (opracování, te-

pevné zpracování).

Proto poměr objemu výroby LKG k lité oceli ne odlitky je ve vyspělých ekonomických více jak 20x vyšší, než v zemích bývalého východního bloku, kde podmínky pro trvalou spolehlivou výrobu tvárné litiny patrně ještě zrají.

Tab. 1

země	poměr LKG/LG
Japonsko	3,7
Německo	3,5
USA	2,9
Francie	5,6
býv. ČSFR	0,15
býv. SSSR	0,1

Z hlediska rozšiřování aplikací LKG je tedy pro nás stále progresivním materiélem.

Na bázi rovnoměrně kvalitní výroby odliatků z LKG se ve vyspělých zemích intenzivně rozšiřují průmyslové aplikace pevnostně nejkvalitnější třídy LKG - izotermicky kalené litiny s kuličkovitým grafitem, označené ADI. Mechanické vlastnosti ADI umožňují aplikace v oblasti namáhaných součástí z tvářených tepelně zpracovaných ocelí.

Cílem této zprávy je seznámit potenciální využivatele ADI -- konstruktéry - s obecnými vlastnostmi tohoto materiálu, s výsledky spolupráce s VUT Brno při výzkumu vlastností ADI a s dosavadními aplikacemi na nákladních vozech. Uvádím také informace o možných způsobech tepelného zpracování a podmínkách efektivní výroby ADI. Předpokládám, že uvedené informace umožní další aplikace ADI s přínosem pro výrobky LIAZ a.s.

2.0 VÝROBA

Kuličkovitý grafit má v kovové matrici litiny nepatrný vrubový účinek. Proto lze využít struktury s vysokou pevností při dostatečných plastických a únavových hodnotách vlastnosti - bainitické a bainitickomartenzitické struktury.

Z hlediska minimalizace strukturálněvrubového účinku musí výrobci odlitek splňovat :

- a) 100% obsah kuličkovitého grafitu (lupínky jsou nepřipustné)
- b) jemný grafit (co nejmenší kuličky)
- c) min. obsah mangani a legujících prvků (Cr,Mo,ap.); Mn a Mo působí mikrosegregaci - vruby; $Mn \leq 0,4\%$
- d) nehomogenity (lunkry, řediny) nesmí vystupovat na obroběný povrch - staly by se iniciátory lomu

Podmínky a) + d) se musí promitnout v TPP.

Výchozí odlitek může mít výchozí kovovou hmotu perlitickou nebo feritickou. Pokud je perlitická, odlitek se špatně obrábí, ale dobře austenitizuje (krátká doba výdrže na teplotě) a po izotermickém kalení má tedy menší deformace. Pokud je feritická, odlitek se velmi dobře obrábí (podstatně výkonnější obrábění než u oceli), ale nutno volit delší austenitizační ohřev. Odlitek je pokud možno obroběn načisto, neboť i tak jsou deformace izotermickým kalením LKG podstatně menší než při kalení do oleje a popouštění (zušlechtění) ocelových součástí.

Izotermická kalení sestává z austenitizace obroběných odlitek na teplotách kolem 900°C a ze zakalení do prostředí (obvykle solné lázně) v rozsahu $250+400^{\circ}\text{C}$. Teploty a výdrže na nich jsou přesně definovány na základě chemického složení a tloušťce stěn odlitků.

Při kalení do 250°C vzniká tzv. dolní bainit. Má vysokou pevnost, tvrdost a nízkou tažnost. Zakalením do lázně 400°C horké vzniká horní bainit. Struktura bainitu se skládá z lamel či jehlic uhlikem přesyceného feritu a zbytkového austenitu (až 40%). Bainitická prokalitelnost nelegované LKG je asi 13 mm. Strukturu horního bainitu lze spolehlivě kontrolovat nedestruktivními metodami.

Existují postupy povrchového bainitického kalení (ozubená kola). Předmětem dalšího výzkumu by měla být řízená sekundární transformace zbytkového austenitu bainitu na martenzit vyvolaná povrchovou plastickou deformací. Strukturní zpevnění -- další možnost zvýšení kontaktní únosnosti, únavy - účinek jako nitridace u oceli.

3.0 VLASTNOSTI

Mechanická a fyzikální vlastnosti hodnotově vycházejí ze zahraničních prací a výsledků spolupráce VUT Brno a LIAZ v

80. letech. Pokud není uvedeno chemické složení jde vždy o nelegovanou LKG.

3.1 Normy

ADI jsou standardizovány v průmyslově vyspělých zemích.
Domácí norma ještě neexistuje.

Tab.2

země	jakost	pevnost R_m [MPa]	mez kluzu $R_{p_{0,2}}$ [MPa]	tažnost A_5 [%]	tvrdošť HV
Anglie	950/6	950	670	6	300+310
	1050/3	1050	780	3	345+355
	1200/1	1200	942	1	390+400
Finsko	K-906	900	730	6	280+310
	K-1003	1000	800	3	300+350
	K-1201	1200	1000	1	380+430
SRN	80-B	800	500	6	250+310
	100-B	1000	700	5	280+340
	120-B	1200	950	2	330+390
	140-B	1400	1200	1	400+450
	150-B	1500	-	-	420+475
USA	GRADE 1	860	550	10	268+321
	GRADE 2	1035	690	7	302+363
	GRADE 3	1205	830	4	363+444
	GRADE 4	1380	965	2	388+477
	GRADE 5	1450	1105	-	418+512
	GRADE 6	1585	1240	-	444+555

3.2 Pevnosti a únavy

Základní představu o vlastnostech statické pevnosti v tahu uvádí dříve vypsané normy. Tyto hodnoty jsou minimální. V praxi dosažené max. hodnoty mechanických vlastností na zkusebních tyčích ze zkusebních bloků Y1 (tl. 12,5 mm) uvádí tabulka 3.

Tab. 3

teplota bainické transformace [°C]	Rm [MPa]	A5 [%]	HV	chemické složení [%]			
				C	Si	Mn	Cu
300	1510	2,9	450	3,29	2,67	0,24	0
350	1270	6,3	370	3,29	2,67	0,24	0
400	1000	12,5	320	3,29	2,67	0,24	0
300	1400	5,7	440	3,47	2,76	0,34	0,74
350	1130	10,0	330	3,47	2,76	0,34	0,74
400	1030	11,3	320	3,47	2,76	0,34	0,74

Mez únavy při namáhání tah-tlak má nejvyšší hodnoty při horním bainitu (obr.1) - tzn. je nepřímo úměrná pevnosti v tahu! Podobně je tomu při míjivém ohýbu. Matematické vyjádření těchto závislostí:

$$\sigma_c = 0,49 R_m - 0,25 \cdot 10^{-3} \cdot R_m^2 \quad /1/$$

$$\sigma_{ohc} = 0,93 R_m - 0,46 \cdot 10^{-3} \cdot R_m^2 \quad /2/$$

Tab. 4

způsob namáhání	mez únavy [MPa]	transformace [°C]
míjivý tah	273	300 DB
tah-tlak	206+190	300 DB
míjivý ohyb	430+360	300 DB
míjivý tah	304	350 SB
tah-tlak	222+208	350 SB
míjivý ohyb	470+445	350 SB
míjivý tah	370	400 HB
tah-tlak	235+225	400 HB
míjivý ohyb	450+470	400 HB

DB ... dolní bainit

SB ... střední bainit

HB ... horní bainit

Výrazy /1/ a /2/ se mohou použít i pro LKG perlitické až feritické.

Pro potřeby náhrad ocelových odlitků z lité manganové oceli 42 27 09.1 tvárnou litinou jsme provedli zkoušky únavy na vzorcích z odlitků držáků per pro vozy LIAZ s těmito výsledky :

Tab.5

materiál	Rm [MPa]	Rp _{0,2} [MPa]	A ₅ [%]	HB	σ_{ohc}	C	S1 [%]	Mn
42 27 09.1	514	288	16	170	520	0,25	0,27	1,24
42 23 05.0	505	316	16,3	180	378	3,46	2,1	0,25
HB	1032	809	7,2	-	508	3,46	2,1	0,25
SB	1203	1036	3,4	-	394	3,46	2,1	0,25
DB	1531	1348	1,1	-	330	3,46	2,1	0,25

vzorky - trámečky 10 x 10 x 55 mm

Přítomnost ředin má výrazný negativní vliv na únavové vlastnosti oceli 42 27 09.1. Jejich přítomnost na povrchu snižuje podstatně životnost a mezi únavy o 40% ($\sigma_{ohc} = 320$ MPa).

3.3 Opotřebení abrazivní

Odolnost proti opotřebení je v relaci s tvrdostí. Podstatný vliv na abrzi má obsah Mn. Odolnost u spodního bainitu je vyšší než u horního bainitu u všech zkoušených typů.

Zkouška odpovídala ČSN 01 50 84. Jako etalonový materiál byla použita ocel 12050.1. Abrazivní prostředek - brusný papír o zrnitosti 120. Poměrná odolnost :

$$\Psi_{abr} = \frac{\Delta \square_{etalon}}{\Delta \square_{vzorku}}$$

Tab.6

hodnoty Ψ_{abr}						
tavba			stav			
C	S1	Mn	litý stav	HB 400°C	DB 300°C	
3,29	2,67	0,24	0,86 (55% F)	1,33	1,43	
3,43	2,46	0,97	1,04 (20% F)	1,83	1,84	

3.4 Kluzné kontaktní opotřebení

Použité zkušební zařízení - TRIBOTESTOR - umožňuje nastavit široký rozsah provozních parametrů. Zkoušená pouzdra a čepy mají standardní rozměry uložení ϕ 20H7/j3 - 20.

Tab. 7

Zkoušené dvojice materiálů

varianta	čep	pouzdro	mezání
a	LKG-DB	12 061.2	M6 ADS III
b	LKG-DB	12 061.5	M6 ADS III
c	LKG-DB	42 31 23	M6 ADS III
d	11 600,0	42 24 56	J2

Tlak oleje 50 kPa; povrch broušen - $R_a = 0,8 \mu\text{m}$.

Rozsah provozního režimu zkoušek :

zatěžovací tlak $p = \langle 0,35; 20 \rangle \text{ MPa}$
 kluzná rychlosť $c = \langle 0,4; 2,1 \rangle \text{ m.s}^{-1}$
 vôle $h = \langle -0,002; 0,023 \rangle \text{ mm}$
 relativní ležiskové vôle $0,0143\%$
 teplota oleje $T = \langle 20; 185 \rangle ^\circ\text{C}$

Tab. 8

Mechanické vlastnosti a chemické složení materiálů

materiál	chemické složení [%]	tvrdost
LKG-DB	C $\langle 3,05; 3,3 \rangle$; Si $\langle 2,07; 2,65 \rangle$; Mn $\langle 0,35; 0,7 \rangle$	42 HRC
412061.2	C 0,59; Si 0,27; Mn 0,74; Cr 0,21	233 HB
412061.6	C 0,59; Si 0,27; Mn 0,74; Cr 0,21	27 HRC
423123	Cu 87; Sn 11,5	110 HB

Zhodnocení zkoušek :

Nejnižší hodnot součinitele tření dosáhla dvojice c, která v celém rozsahu zatížení, rychlosti a teploty běžela bez zadirání. Na druhé místo lze zařadit dvojici a, která dosahovala vyšších hodnot součinitele tření $\geq 0,032$, avšak v rozsahu očekávaných zatížení ve skutečném stroji je dosatečně nízký; zadirání nastává až při dvojnásobném zatížení.

Nejvyšší hodnoty součinitele tření vykazuje dvojice b a d. K zadírání dochází již v oblasti očekávaných zatížení stroje (t.j. rozvodu motoru). Jako předpokládané zatížení stroje byly zadány parametry kluzného uložení kol rozvodu motoru M3 :

rozměry $\phi 90H7/f6 - 30$ mm
zatížení $0,5+15$ kN
otáčky stř. 1430 min^{-1}
mazivo M6 ADS III
tlak maziva $0,2+0,5$ MPa

Na díly rozvodu M3 měla být aplikována bainitická litina s kuličkovitým grafitem.

3.5 Rázové a lomové chování

3.5.1 Rázová houževnatost KCO

Zkouška rázové houževnatosti se u litin provádí obvykle na vzorcích $10 \times 10 \times 55$ mm bez vrubu. Podobně jako u oceli oblast teplot plastického a křehkého porušení dělí tranzitní teplota T_T . Závislost T_T na struktuře LKG předkládá tabulka 9 (pro nelegovanou LKG) :

Tab. 9

matrice	T_T [°C]	KCO [J/cm^2]
DB	-55 ± 10	40
SB	-80 ± 10	100
HB	0 ± 15	150
perlit	-45 ± 5	20 ± 10
ferrit	-	110 ± 30
sorbit (zušlechtěno)	-	30 ± 50

HB obsahuje hodně austenitu (40%), který při nízkých teplotách transformuje na křehký martenzit - proto má vysokou T_T .

3.5.2 Lomové houževnatost KC

V průběhu zkoušení litin se zjistilo, že k dolezení vzorků (a nacyklovanou trhlinou) nedochází náhle křehkým lomem, ale postupným rozvěřiráním trhliny - jde o 4 typ zátěžového diagramu. Zejména u šedé litiny perlitické se to neztekávalo.

Vzorky ve tvaru hranolu 22x50x210 mm dle ČSN 42 03 47.
 S překvapením jsme zjistili, že vady na lomové ploše
 vzorků z litiny s kuličkovitým grafitem (LKG) se výrazně
 neprojevily na hodnotách lomové houževnatosti K_c .

Tab. 1C

Hodnoty K_c pro základní litiny při 20°C

litina	složení [%]			struktura grafit kov	Rm [MPa]	K_c [MPa/ $m^{1/2}$]	tvrdost HB
	C	Mn	Si				
422425	3,48	0,88	1,87	GI, P100	280	34	218
LČG	3,69	0,23	3,14	GIII, P20	500	52	186
422306	3,61	0,5	2,27	GVI, P70	650	64	218
horní bř.	-			GVI, BH	900	96	290
dolní bř.	-			GVI, BD	1400	66	400

3.6 Tlumení - hlučnost

Grafit v litině zvyšuje její tlumící schopnosti ve srovnání s ocelí. Obecně útlumové vlastnosti vyjadřuje koeficient α útlumu. Konkrétní hodnoty α pro jednotlivé jakostní třídy litin nebyly v LIAZ měřeny ani publikovány v dostupném odborném tisku.

Hlučnost hypoidního soukoli (taliř, pastorek BMW) byla publikována firmou G+F [1] s tímto výsledkem :

Tab. 11

Hlučnost soukoli v dB

materiál		otáčky [min^{-1}]		
taliř	pastorek	1000	2000	3000
ocel	ocel	53,5	57,5	62,5
ADI	ocel	49,5	53,0	55,0
ADI	ADI	48,0	51,0	53,0

3.7 Obrábění

Všeobecně musíme mít snahu použít obrábění ADI jen v nevyhnutelných případech.

3.7.1 Soustružení

doporučené řezné materiály pro ADI	hloubka třísky
slinutý karbid SK K10	2 mm
řezná keramika DISAL 320	1,5 mm

Výzkum obrabitevnosti ADI ukázal, že je srovnatelná s obrabitevností oceli podobných pevností v tahu. Kritériem opotřebení při soustružení bylo hřbetní opotřebení VB_B a zářezové hřbetní opotřebení VB_N .

Vlastnosti obráběných litin ADI (horní bainit) :

R_m [MPa] 955±1027

A [%] 648,3

KCO [J/cm^2] 82±121

Hodnoty VB_B vykazovaly po určité době soustružení stagnaci, zatímco hodnoty VB_N vykazovaly vždy rozvoj až do konečného porušení destičky. Lépe se obrábí nelegované litiny. Postup by neměl překročit 0,294 mm. Drenost povrchu obráběného keramikou byla vždy velmi dobrá - $R_a < 1,2; 1,8 \rangle \mu m$.

$$VB_N = \frac{0,082}{1/C + 0,192}$$

$$\text{C} \dots \text{čas [min]} \quad v = 100 \text{ m} \cdot \text{min}^{-1}$$

Celková trvanlivost se pohybuje mezi 15-20 minutami. Při obrábění slinutým karbidem bylo možno použít max. obráběcí rychlosť $v = 40 \text{ m} \cdot \text{min}^{-1}$. Drenost získaného povrchu byla podstatně horší, jak u keramiky - $R_a < 6,3; 12,5 \mu m$. Maximální dosažená trvanlivost je 10-15 minut. Keramikou DISAL 100 a 210 bylo dosaženo drenosti povrchu $R_a < 3,2; 6,3 \rangle \mu m$. Oxidická keramika Ti2iT, TSI 20 se ukázala nevhodná.

Geometrie použitých řezných destiček :

$$\alpha_0 = -6^\circ; \quad \beta_0 = +6^\circ$$

$$\gamma_r = 93^\circ; \quad \delta_s = -7^\circ$$

Metodika měření obrobitevnosti vycházela z ISO 3685. Třída obrobitevnosti 10b.

3.7.2 Broušení - doporučené podmínky

hrubé broušení : brusný kotouč A9S 40J 9V; úběr $480\text{mm}^3/\text{mi}$
 $\text{Ra} = 0,3 \mu\text{m}$

jemné broušení : brusný kotouč C49 25K 9V; úběr $240\text{mm}^3/\text{mi}$
 $\text{Ra} = 0,4 \mu\text{m}$

4.0 APLIKACE NA DÍLECH AUTOMOBILU⁹**4.1 Ve světě**

UplatněníADI v průmyslově vysoce vyspělých zemích je poznamenáno výhodným poměrem cen odliatků vzhledem k výkovkám a vyšším poměrem ceny vložené práce k materiálovým nákladům jednotlivých součástí (vzhledem k poměru v ČR).

Proto nejrozšířenější využití nalézáADI pro ozubená kola vzhledem k těmto užitným vlastnostem :

- a) menší hluč soukoli
- b) větší odolnost vůči přetížení (rozložení zatížení na větší plochu)
- c) výborné kluzné vlastnosti boků zubů
- d) menší sárná hmotnost ($\rho = 6,95 \text{ kg/dm}^3$)

V práci [4] se uvádí použitíADI pro kuželová kola $m = 4,5$ s předlitými zuby pro nákladní auta, planetová kola, držáky per náprav, klikové hřidele, kola kolejových vozidel, rolny. Nejvyšších hodnot mechanických vlastností při statickém namáhání dosahuje dolní bainit. Nejvyšších hodnot při cyklickém zatěžování ale dosahuje horní bainit. Při šíření únavové trhliny v horním bainitu (obsahuje až 40% austenitu) dochází na jejím čele vlivem plastické deformace k účinnému zpomalování jejího šíření.

Proto izotermicky kalená součást z LKG na horní bainit, obroběná řezováním, má o 20% vyšší mez únavy, jak součást obráběná před izotermickým zpracováním (zpevnění přeměnou

A → M - obr.2) a součást s řízeně kuličkováným povrchem má únavovou pevnost vyšší o 50%. Tento poznatek je využit u nejnovějších aplikací ADI na ozubená kola klikového hřidele [5]. Na obr.4 uvádím v tabulkách hodnoty důležité pro porovnání litin a oceli na ozubená kola. Obr.5 ukazuje na rovnocennou pevnost v ohybu oz.kol ocelových cementovaných a povrchově zpevňovaných z ADI. Nejvyšších hodnot ale dosahuje zuby cementované a ještě povrchově zpevněné. Porovnání Hertzových tlaků a zejména jejich pokles cca o 150 MPa při záběru kól z ADI ve srovnání s ocelovými koly je na obr.6.

Obrázky jednotlivých součástí automobilů vyráběných z ADI obsahuje příloha této zprávy.

4.2 Na vozidlech LIAZ

Při vývoji motorů řady M2 byly v r.1980 zkoušeny kladíčky vahadel a vahadla ventila M2.1 z ADI s vlastnostech $R_m = 1000+1245$ MPa a $A = 10+13\%$. Čep vahadel byl povrchově kalený z oceli 12051. Zkoušeli jsme různé varianty legování litiny [8]. Nejvyšší životnost prokázala ADI s obsahem Mo = 0,18% se strukturou středního bainitu. Z pohledu dnešních zkušeností bychom volili ADI nelegovanou z dolního bainitu proti tepelně nezpracovanému ocelovému čepu.

Úkolem rozvoje techniky M7-G-79 "Využití progressivních metod TZ na ozubená kola ... ", byly krosy nitridovaných a povrchově kalených ozubených kol rozvodu M 638 připravena vložená kola a kolo náhonu olejového čerpadla z ADI (dolní bainit). V provozu však běželo jen jedno kolo náhonu olejového čerpadla. Bylo přesazeno se spolužabírajícím vloženým kolem. Plastická deformace a opotřebení bylo výrazně nižší ve srovnání s kolem jen z perlitické tvárné litiny.

Nejdále došlo uplatnění ADI na díly kardanů vozů LIAZ (změnové řízení). Návrhy aplikace ADI na náboje kardanů vyplynuly z projektu HA. V československých podmínkách totiž ekonomicky efektivně vycházely jen nahradby výkovků spojené s výraznějšími materiálovými úsporami, tzn. u součásti nábojovitých. Náboje se kovou jako plné. Obráběním se odstraní až 2/3 hmotnosti výkovku! Příklad kalkulace z r.1989:

Tab. 12

název	č.v.	hmotnost [kg]		mat. , původní	úspora Kč/ks
		ocel	LKG*		
posuvný náboj kloubu	442 2 1857 006	11,2	8,2	12050,9	8,-
náboj s přírubou	442 2 1851 033	5,5	4,8	12060,6	-5,-
náboj hřidele kola	442 2 2301 010	18,5	8,5	13240,6	22,-

* ... odlitek ve 3.st. homogenity

Z tabulky 12 vyplývá, že v československých podmínkách bylo nutno ušetřit alespoň 1/3 hmotnosti, aby se přechod na nový materiál vyplatil (náklady na TZ a mzdy započítány).

Náboje z LKG byly odlity se strukturou feritickoperlitickou s max. obrobitevností. Pak byly izotermicky kaleny na horní bainit $R_m = 850$ MPa.

Nejprve se náboje z oceli s ADI porovnávaly na torzní mějivé namáhání v SVUM Běchovice na hladinách 3, 5, 8 kNm -- obr.7. Nejslabším dílem kardanu byly křížové čepy, které často musely být vyměňovány a drážkové hřidele, které byly posléze vyrobeny ze speciální oceli. ADI z nelegované LKG výšla ze zkoušek jako rovnocenný materiál zušlechtěné oceli [11] na stejnou hodnotu R_m . Poté bylo 10 nábojů z ADI dáno do sledovaných provozních zkoušek v záv.02. Již tři roky jezdí bez poruchy ve vozidlech LIAZ, přestože obehuji výrazné stažení v partiích mazacích otvorů (pos. náboje kloubů) a ovládá ok $\phi 52H7$ patrně překračuje povolenou toleranci. Izotermickým kalením totiž dochází k ovalitě cca 0,14 mm. Tento rozdíl by měl být (jako jediná operace) obroběn po tepelném zprocování. Kontrolní rozdíl přes drátky $\phi 46,219$ mm evolventního drážkování $55x2,5$ D10 byl vždy po TZ v toleranci (měřeno vždy na 4 místech). Technologie TZ byla pro záv. Velký Krtíš vyvinuta v ZTS Dubnica. Po provedení vývoje kardanů do záv.08 závisí realizace pro sériovou výrobu na přistupu slovenských kolegů.

Na současně provedení motoru M1.2C je z ADI-DB vyráběn axiální kroužek vačkového hřidele (vysoká pevnost v ohybu a výborné kluzné vlastnosti). TZ i pro sérii zajištěno na VUT Brno.

5.0 ZPŮSOBY TEPELNÉHO ZPRACOVÁNÍ

Klasický postup izotermického kalení spočívá v austenitizačním ohřevu na cca 900°C v ochranné atmosféře nebo v solné lázně. Zakalení se provádí do solné lázně (AS 140) horké $250+400^{\circ}$ podle požadované struktury. Nutno volit optimální polohu součásti (deformace) a pohybovat s ní v lázni. Existují dva náhradní postupy :

- Lomové kalení podle Georg Fischera. Lze provádět v běžných víceúčelových pecích bez solných lázní. Po austenitizaci se součásti zakali ve speciálním vysokoteplotním oleji (Shell-Voluta 71-M) při $220+240^{\circ}\text{C}$ a ihned (po 1 minutě) se přenesou do popouštěcí pece ($300+400^{\circ}\text{C}$) s plynnou atmosférou. Horní bainit ADI takto vzniklý má poloviční hodnoty tažnosti A a houževnatosti K_c [12].
- Izotermické kalení ve fluidní vrstvě [13]. Tento způsob TZ nelze použít pro přeměny nad 300°C , neboť nedochází k plnému vývinu bainitu.

Náhradní postupy izotermického kalení lze využít jen pro součásti z ADI, u kterých je vyžadován dolní bainit (DB).

Kapacity izotermického tepelného zpracování v ČR existují. Zpracování drobných dílů ve větších sériích a kusové zakázky realizuje VUT Brno při katedře materiálového inženýrství. Tepelné zpracování ve větších solných lázních provádí Poličské strojírny. Vlastní technologie TZ připravují MŽ Olomouc a ČKD Praha. Pro záv.08 jsem nechal vypracovat nabídku technologie od fy AICHELIN. V nové kalírně TECHNOMETRA Semily je možno izotermické kalení provádět v solných lázních ($\varnothing 600 \times 1600$) pro potřeby sériové výroby.

6.0 PODMÍNKY EFEKTIVNÍHO VYUŽITÍ [7]

chemické složení :

[%]	C	Si	Mn	Mo	Ni	Cu	P
min.	3,6	2,4	0	0	0	0	0
max.	3,8	2,8	0,3	0,2	1,5	0,8	0,03

výrobní postup :

odlití - feritická struktura + obrábění načisto + austenitizace + izotermické kalení - dokončení vybraných operací = finální povrchová úprava (peening, gentrahlit)

technicko-materiálové podmínky :

- nodularita > 80% (obsah kuličkovitého grafitu)
- hustota kuliček grafitu > 100/mm²
- rovnoměrné rozložení kuliček
- nulový obsah volných karbidů
- porezita nesmí vystupovat na povrch součásti
- minimum inkluze (vměstků)
- výstupní strukturní kontrola (dle mých zkušeností nestačí pouhé měření tvrdosti bainitu, nutno kombinovat s nedestrukтивní metodou)
- optimalizace teplot a výdrží při austenitizaci a izotermickém kalení

7.0 SHRNUTÍ

Z citovaných výsledků výzkumu a aplikací v zahraničí vyplývá, že ADI je i pro nás, výrobce vozů a motorů LIAZ, perspektivně použitelný materiál nejen z pohledu ekonomických náhrad oceli, ale i díky svým specifickým vlastnostem. Vlastní zvládnutí technologie výroby ADI a informační banka vlastností ADI v ČR jsou dostatečné až na finální operaci - povrchové zpevnování. Zvládnutí technologie zpevnování ADI nám umožní další generaci aplikací. TECHNOMETRA Semily je podnik s bohatými zkušenostmi a s výrobním zařízením, které tuto technologii umožňuje provádět.

Poznámka :

Rád bych proto touto zprávou inicioval (finančně minimalizovanou) spolupráci mezi ČKD Slévárny, LIAZ a.s. vývoj motorů, TECHNOMETRA Semily a VUT Brno katedra materiálového inženýrství za účelem poznání vlivu zpevnování a optimalizace technologie zpevnování při zvyšování meze únavy ADI. Spolupráce je předběžně dohodnutá. LIAZ a.s. zabezpečí výrobu zkušebních tyčí a vzorků z odlitrů, které zdarma poskytla slévárna ČKD (ing Sýkora). Izotermické kalení a únavové zkoušky v rámci DP provede VUT Brno.

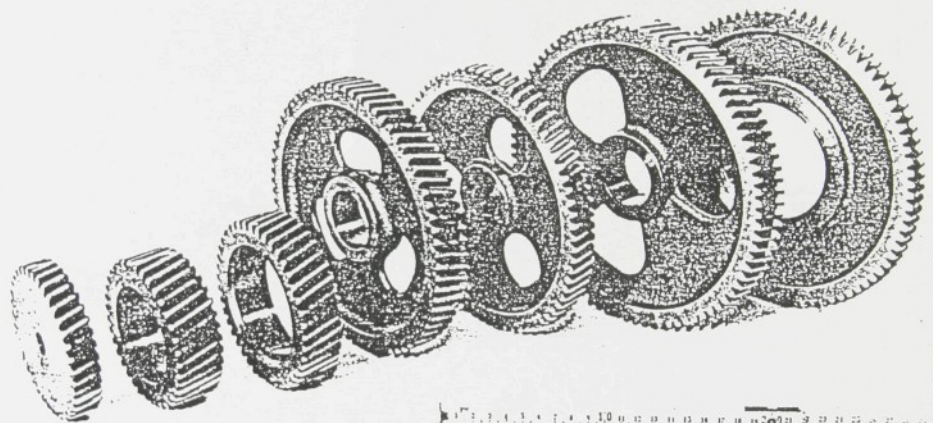
Vypracoval : Ing. Břetislav Skrbek, CSc.

Ing. František Vaněk

ved.výv. a zkuš.odd.
a výv.dílen

LITERATURA

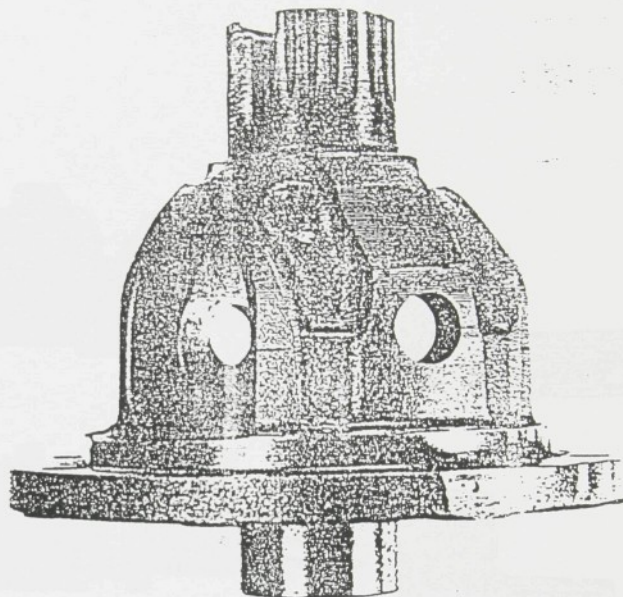
- [1] Georg Fischer : Austempered ductile iron, publikace 1984.
- [2] Weiss Jan : Obrobiteľnosť bainitické tvárné litiny s ostriu-žením a broušením. Zpráva Z-89-5985. SVÚM Brno.
- [3] Mayer H. : ADI - Eigenschaften und Anwendungen, VDI Bericht te NR. 670, 1988.
- [4] Röhrig K. : Isotermisches Umwandeln von Gußeisen mit Kugelgraphit in der Bainitstufe, HTM, 2/1984.
- [5] Mannes, Horning, Rettig : Erprobung von Zahnradern aus bainitischen Gußeisen mit Kugelgraphit - Erfahrungen mit unlegierten Kugelgraphit Gußqualitäten, Mitteilung aus dem Ressort Forschung, G+F CH-8200 Schafthausen.
- [6] Věchet St. : Chování tvárné litiny v podmírkách únavového zatežování, kandidátská disertační práce VUT Brno, 1989.
- [7] QIT - Fer et Titane Inc. : Ductile Iron Data for Design Engineers.
- [8] Skrbek, Bárta : Využití bainitické tvárné litiny na díly motoru, Hutnické listy 1983/10, s. 722-5.
- [9] Skrbek : podnikový úkol M7-6-79, závěrečná zpráva, LIAZ Jablonec n.N., leden 1983.
- [10] Skrbek : Kola rozvodu z tvárné litiny - vyhodnocení běhových zkoušek, zpráva 274-7-83 LIAZ.
- [11] Skrbek, Habětinek, Linhart, Bárta : Náboje kardanů z bainitické tvárné litiny, CONMET '92 - mezinárodní konference při MBV 92.
- [12] Bárta : Mechanické vlastnosti ADI bez použití solné lázně, práce dle HS 304000, VUT Brno 7. 1990.
- [13] Pechmanová : Porovnání strukturních vlastností ADI po izotermickém zakalení ve fluidní vrstvě a soli AS 140, zpráva dle HS 32.60234 SVÚM Praha 4. 1991.



235°C 460°F

Steuerräder

Timing Gears



Ausgang : Output

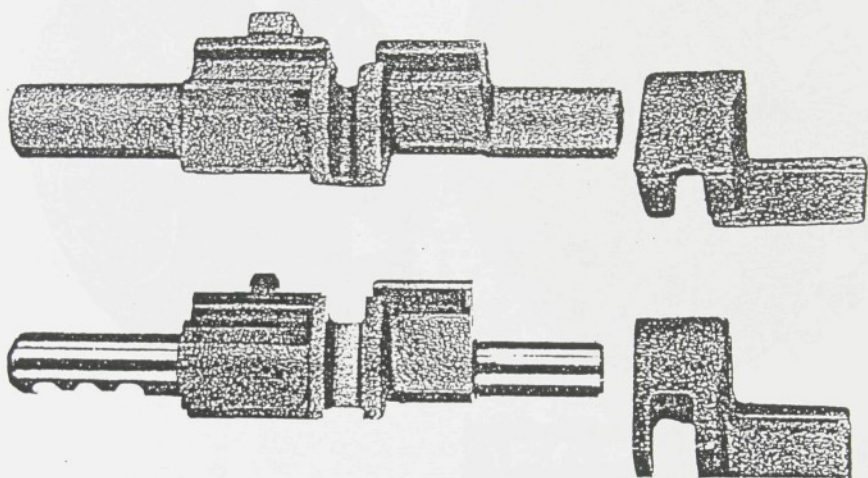
235°C induktiv 460°F inductive

Differentialgehäuse

Sperrdifferential

Differential House

Limited Slip Differential

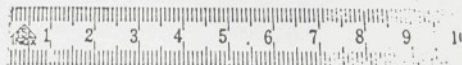
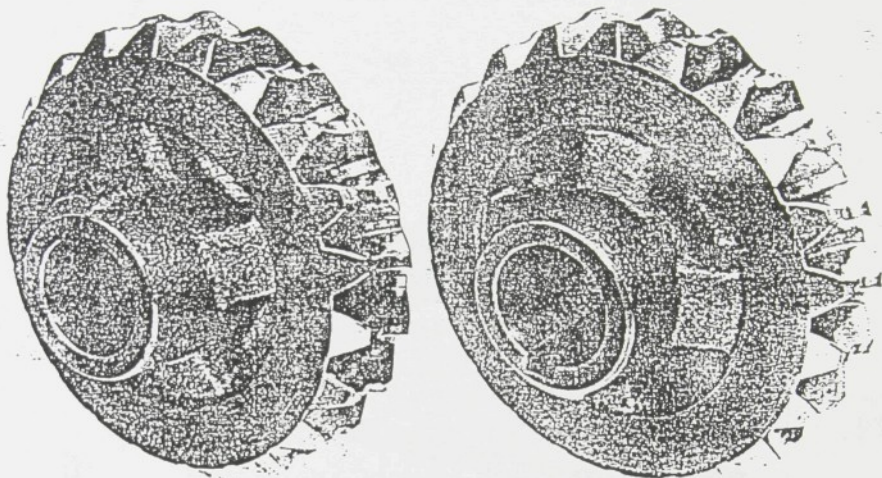


Schaltarm , Wählbock

PKW Getriebe

Bellcrank

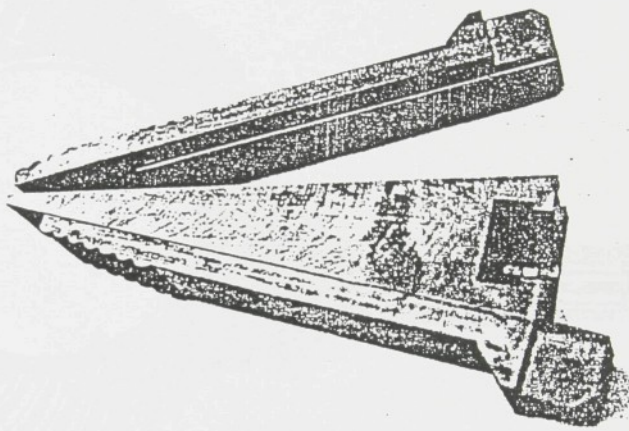
Car Transmission



235°C 460°F

Schneckenräder

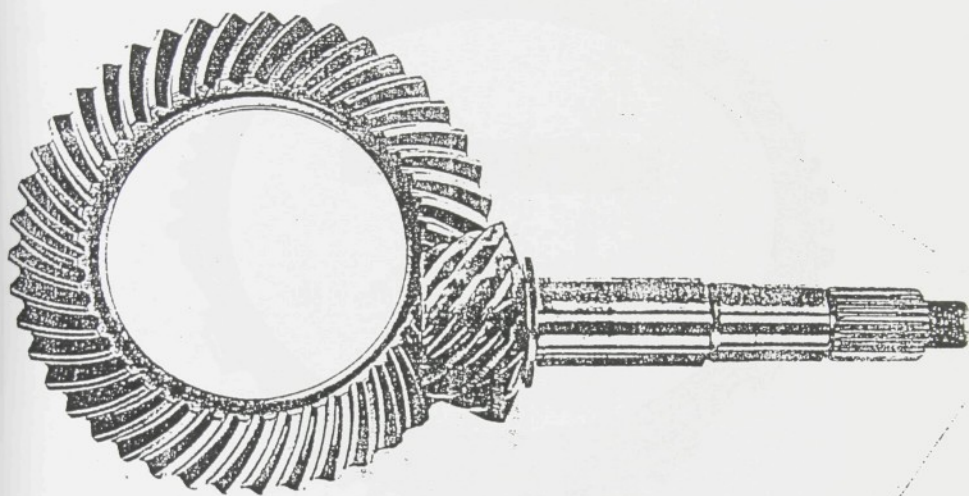
Worm Gears



280°C 520°F

Spreitzerzangen
für Abtrennen
von Speisern

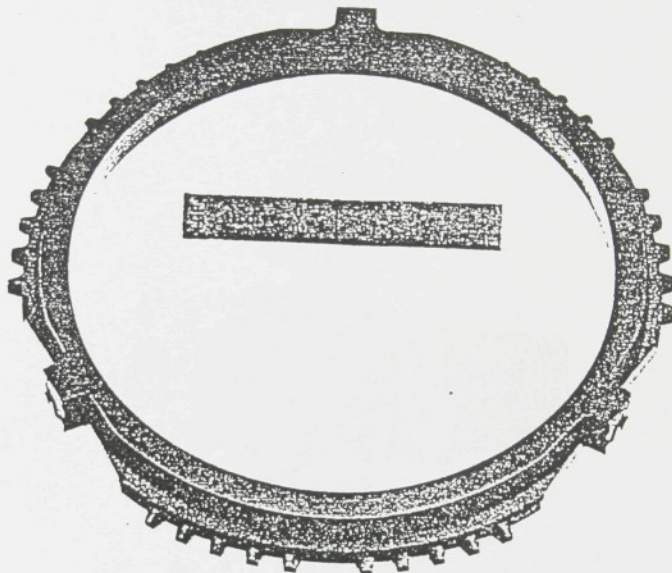
Arms of a wetch
for removing
ingates on Ductile Iron



260°C 500°F

Antriebsrad
Differential

Crown Gear
Differential



290°C 550°F

Synchronring
LKW Getriebe

Synchronizer
Truck Transmission



1 2 3 4 5 6 7 8 9 10 11 12 13 14 15



1 2 3 4 5 6 7 8 9 10 11 12 13 14 15

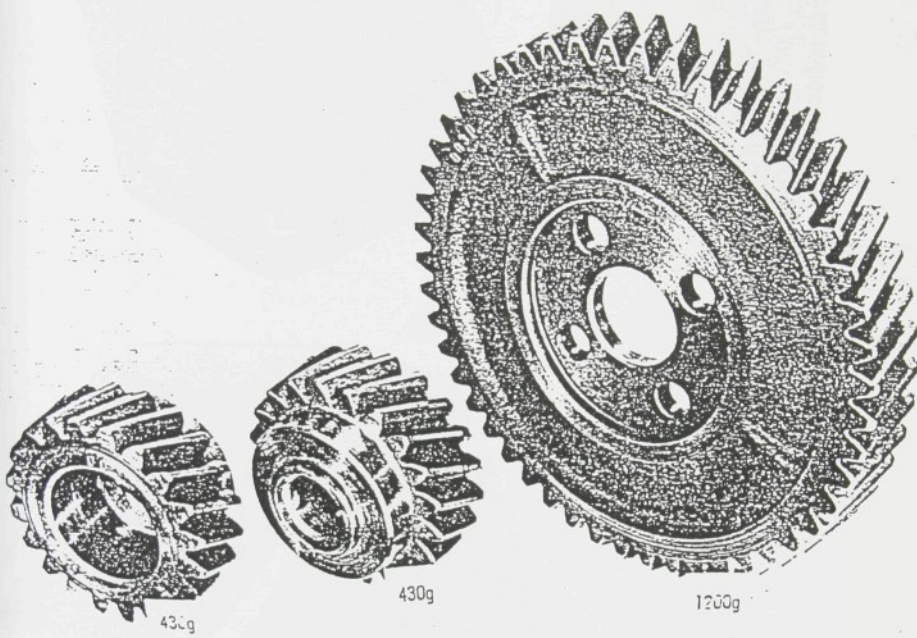
235°C 460°F

Kettenräder

Umlenkgetriebe

Sprocket

Transmission



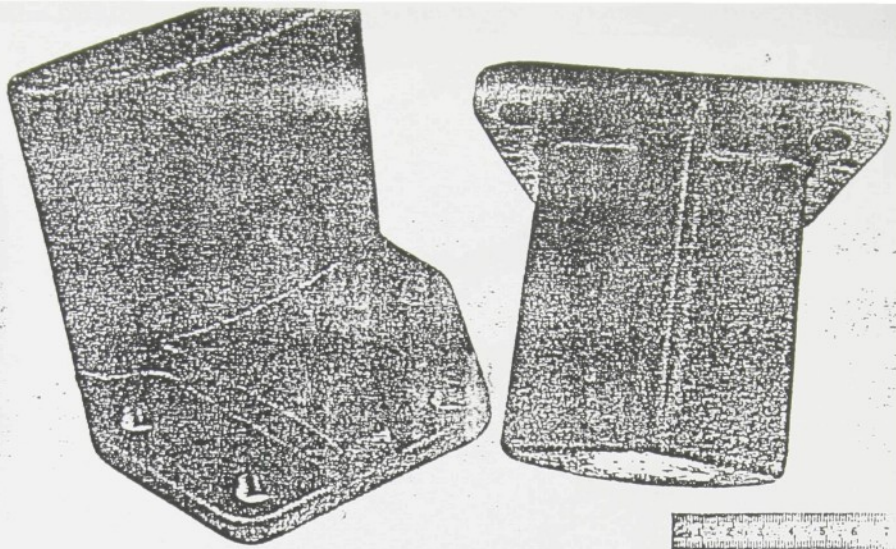
235 / 275°C 450 / 500°F

Antriebsräder

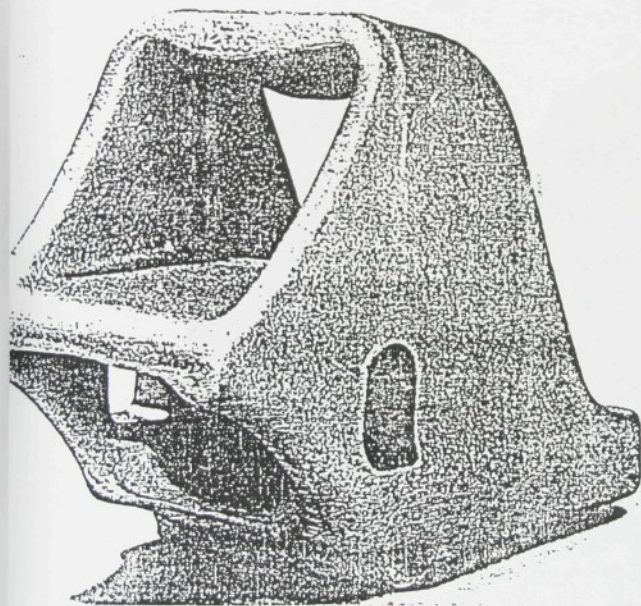
Luftkompressor

Gears

Air Compressor



0 1 2 3 4 5 6 7



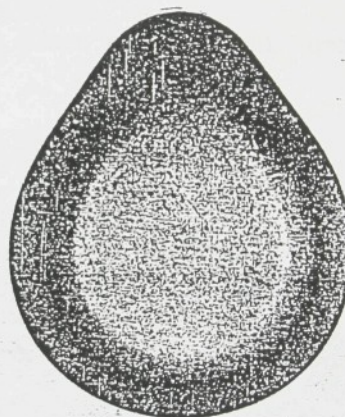
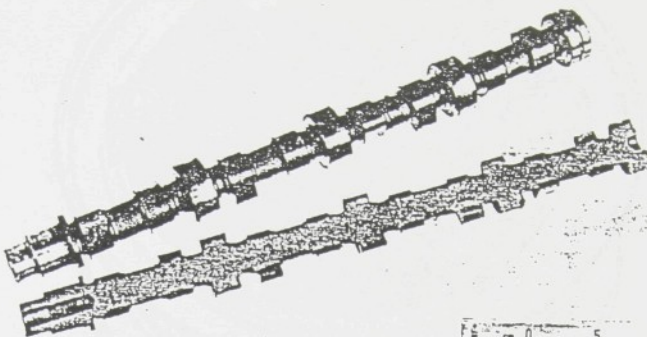
380°C 720°F

Federauflagen

LKW

Spring Suspension

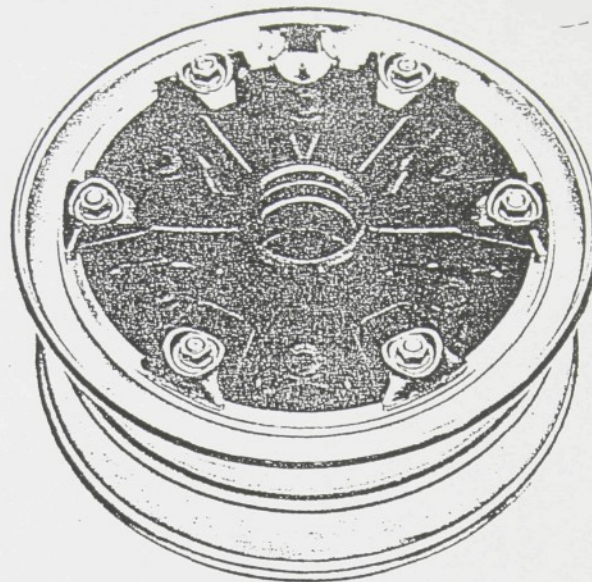
Truck



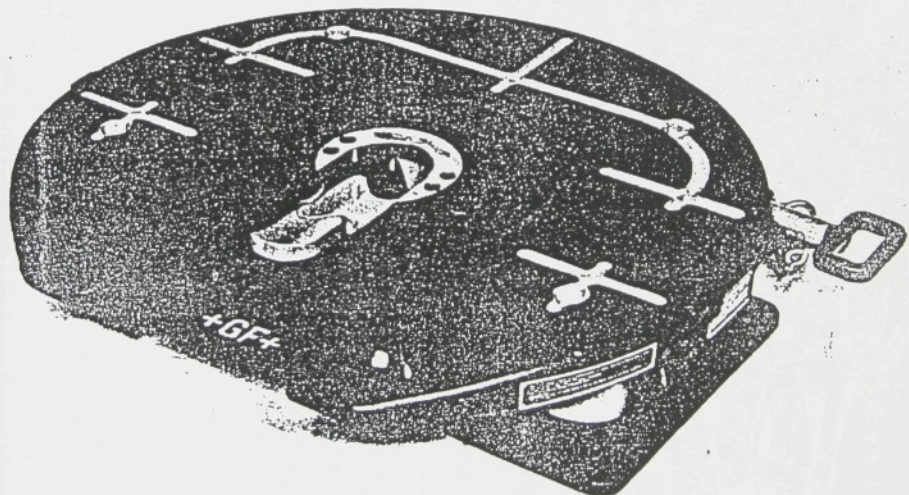
GTS / Malleable
 235°C 460°F inductive

Nockenwelle

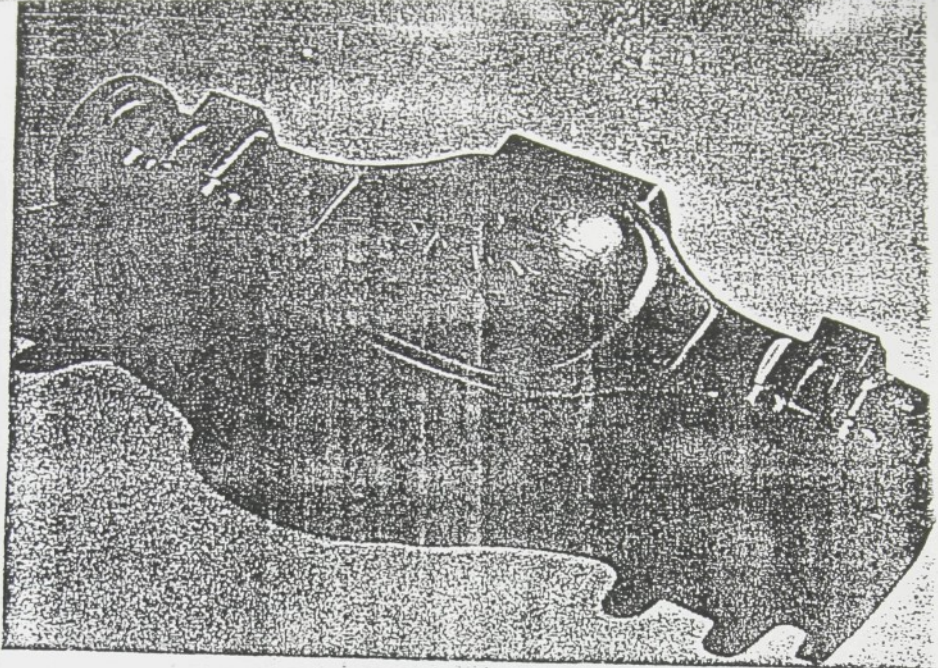
Camshaft



Obr.8 BEZDUŠOVÝ RÁPEK S NÁBOU PRO NÁKLADNÍ AUTOMOBILY

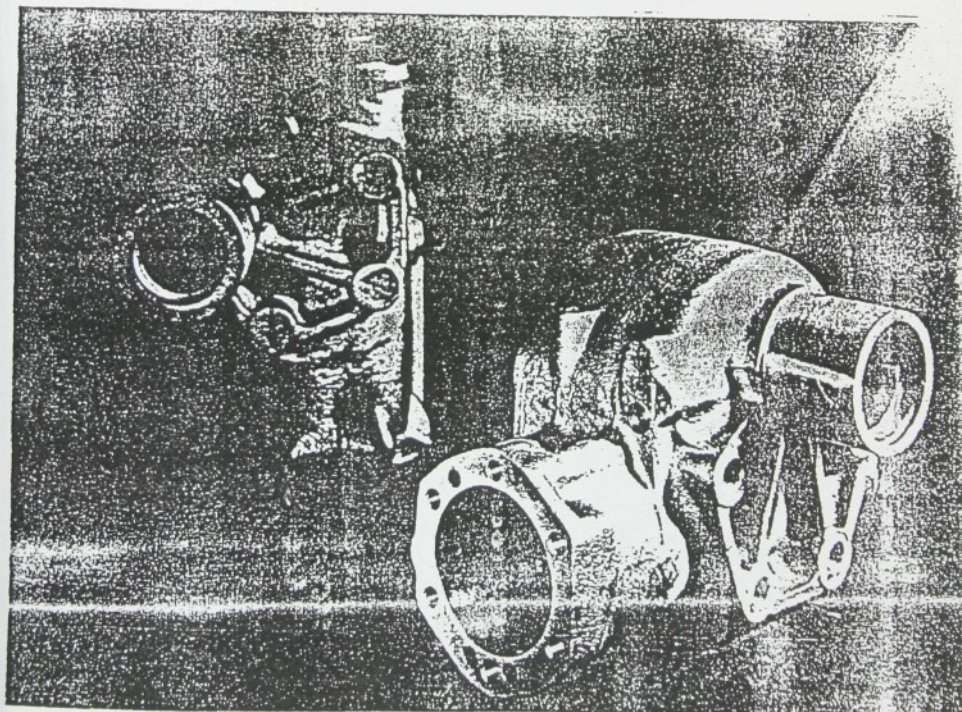


OBR.9 SEDLOVÁ SPOJKA



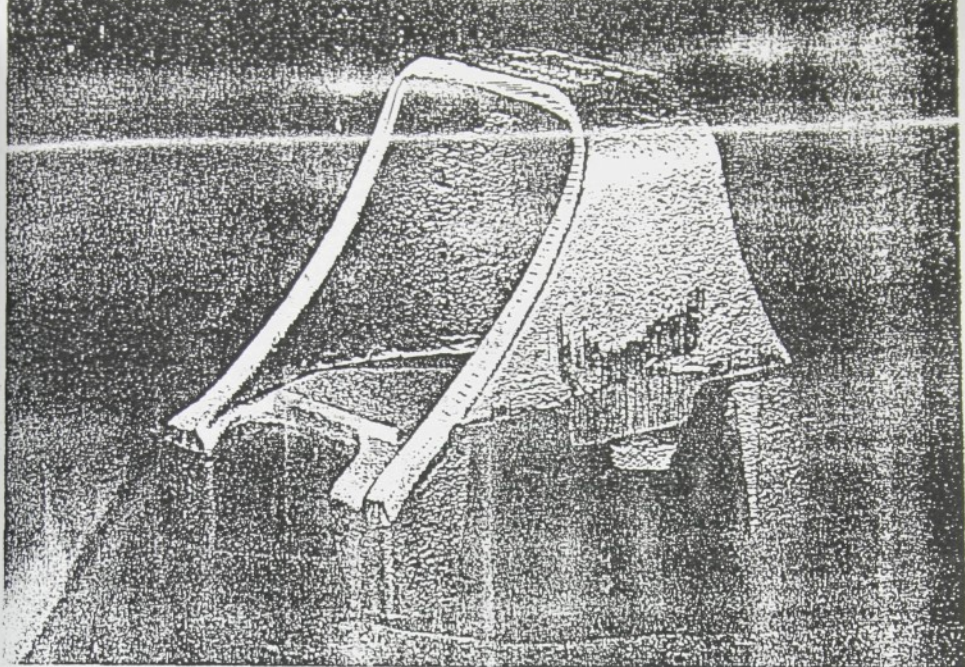
Obr.10

MOST ZADNÍ NÁPRAVY

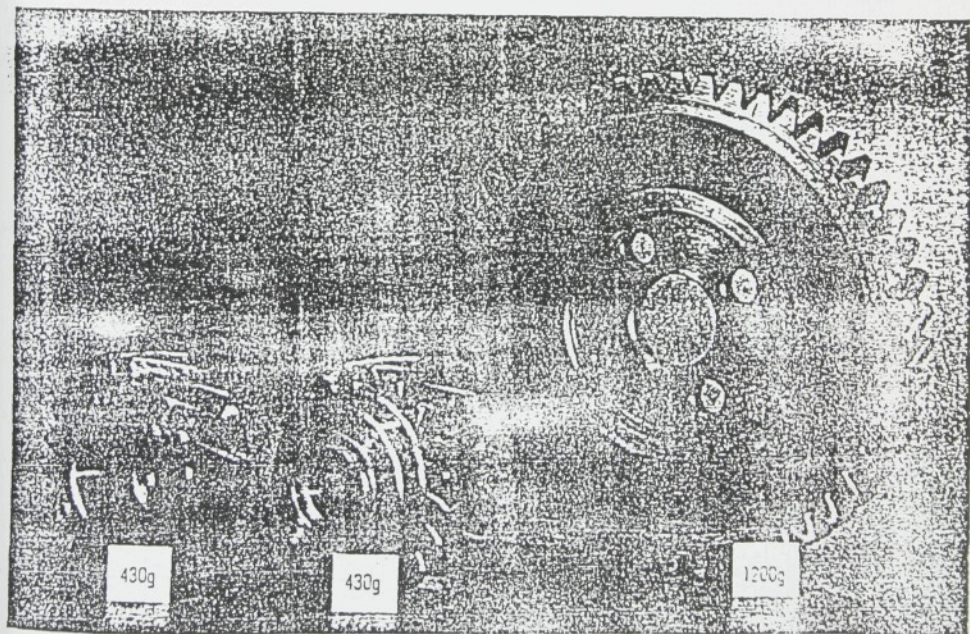


Obr.11

SKŘÍŇ HYDRAULICKÉHO ŘÍZENÍ - VERMICULÁRNÍ LITINA



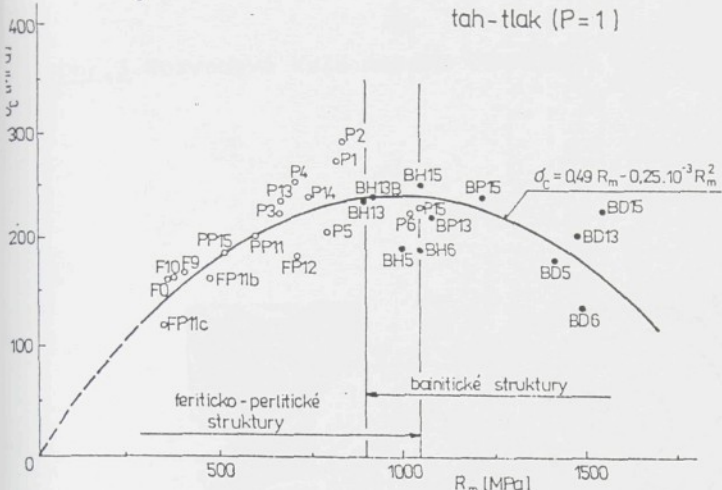
Obr.12 ZÁVĚS PER PRO NÁKLADNÍ AUTOMOBIL Š BAINITICKÁ LITINA



Obr.13

OZUBENÁ KOLA - BAINITICKÁ TVÁRNÁ LITINA (ADI)

Obr.1 Závislost meze únavy $\tilde{\sigma}_c$ při zatěžování symetrickým cyklem tah-tlak na pevnosti R_m litiny s kuličkovitým grafitem



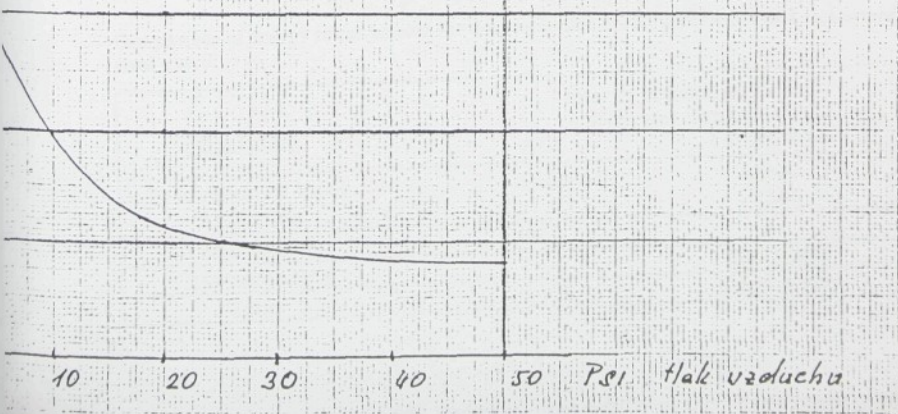
Obr.2 Závislost přeměny zbytkového austenitu na plastické deformaci

Přeměna zbytkového austenitu A na martensit
plastickou deformačí u isotermicky kalené tvárné
litiny (ADI).

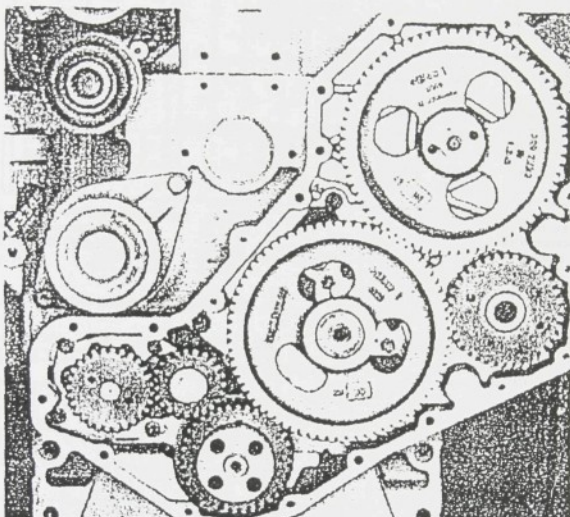
ADI 3,42% C 2,89% S 0,487% Mn
„horní bainit“

VACU BLAST

C170 (φ 0,4; 500 HV)
Vzdáл. trysky 350 mm
pasuv trysky 200 mm/m²



Obr. 3 Rozvodová kola motoru CUMMINS B z ADI



ADI Timing Gears for Cummins B-Series diesel engines. Replaced forged and case carburised 1022 steel with 30% cost saving.

Comparison of energy requirements for the production of ADI and forged and carburized steel gears.

Operation	Energy consumption kWh per Tonne	
	ADI	Forged steel
Production of blank	2,500	4,500
Annealing		500
Austempering	600	—
Case-hardening	—	800-1,200
Total	3,100	5,800-6,200

Obr. 4 Vypočtené hodnoty napětí ozubených kol z oceli a litin

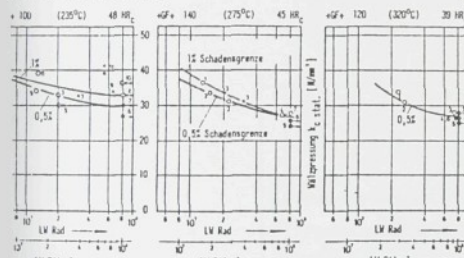
Kurz- zeichnung Sorte	Werkstoff	Zahnflanke			Oberfläche	Zahnfuß		Kern
		Gefüge Oberflächen Behandlg.	Härte HB (HR _C)	Walzf. k _D N/mm ²		Schlag- Kraft [N] P_{dyn}	Festigkeit [N/mm ²] σ_{VD}^{stat} σ_{VB}^{stat}	
G 25	Perlit		~ 200	3,3	↑	—	67 330	250
TS 35	Ferrit		~ 145	1,8	↑	—	225 1000	350
3G 40	Ferrit		~ 170	2,4	↑	—	286 206 286	990 1290 1300
50	Ferrit/Perlit		~ 210	3,3	↑	—	286	500
60	Perlit/Ferrit		~ 230	4,4	↑	—	286	600
60	Perlit/Ind.H.2)	(55)	35	—	↑	—	286	600
70	Perlit		~ 250	8,5	↑	—	255	1320
80	Vergütet		280	21	↑	—	291 480	1400 800
1G 80			290	—	↑	—	291 480	1400 800
90			260-310	—	↑	35 000	525 400 50 000 40 000 35 000 25 000 50 000 40 000	1520 1280 1940 1940 1520 1280 1940 1940
100			(46-51)	40	↑	—	270	520
120			350-390	35	↑	—	230	650
140			(43-47)	36	↑	—	315	900
90			260-310	—	↑	—	440	900
100			(46-51)	40	↑	—	—	—
120			350-390	35	↑	—	—	—
140			(43-47)	36	↑	—	—	—
9805			290-350	36	↑	—	—	—
52			150	2,0	↑	b)	—	—
45			185	6,0	↑	a)	—	—
CrMo4	vergütet		265	8,0	↑	1 % Schadensfläche geschliffen a)	—	—
CrMo4	nitriert		640	32	↑	geschliffen b)	—	—
MnCr5	0,35mmA ₂		(58-63)	~ 50	↑	0,5 % Schadensfläche geschliffen a)	49 000	630 525
MnCr5			(58-63)	~ 50	↓	—	49 000	1500 1500
CrNiMn6		Einsatz	720	50	↓	0,5 % Schadensfläche geschliffen b)	54 000	470
								2000

nach Niemann, geprüfte Werte (10 % Ausfallwahrscheinlichkeit)

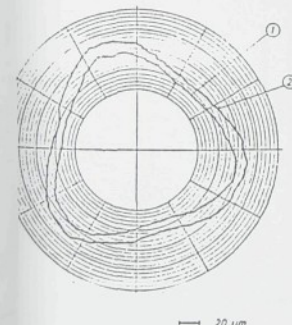
Einzelzahn Randschichthärtung auf Martensit

Hertzische Pressung $P_H = 1490$ bis 1560 N/mm²

$$k = 2,86 \cdot P_H^2 / E$$

Dauerwälzfestigkeit k_c stat. für die GGG-Bainit-Varianten +GF+ 100, GF+ 140 und +GF+ 120

Statistische Auswertung des gesamten Stichprobenumfangs eines ▶ Pünktches am Antriebskegelrad



◀ 11: Wachstum des Tellerrad-Innendurchmessers
(1) – vor der Wärmebehandlung (2) – nach der Wärmebehandlung

12: Mehrstuvenversuche an Radsätzen aus ▶ GGG-Bainit am FZG-Hypoid-Verspannungs-prüfstand

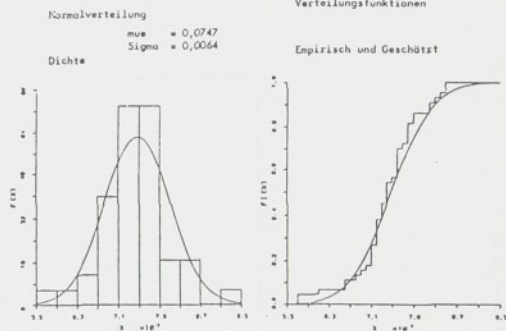
◀ Tabelle 2: Zahnradkennwerte von Guß- und Stahlwerkstoffen, geprüfte Werte und Literaturwerte

Arbeitsspannungen Schwellfestigkeit σ_{sd} [kg/mm ²]	Fresslastdrehmoment M_{test} [Nm]	
	0,6	0,8
0,6	372,6	534,5
0,7	322,1	515,1
0,8	282,1	500,1
0,9	252,1	480,1
1,0	232,1	450,1
1,1	212,1	420,1
1,2	192,1	390,1
1,3	172,1	360,1
1,4	152,1	330,1
1,5	132,1	300,1
1,6	112,1	270,1
1,7	92,1	240,1
1,8	72,1	210,1
1,9	52,1	180,1
2,0	32,1	150,1

Paarung: 1 Gussrillen / Gussrad
2 Gussrillen / Stahlrad (Einzalz 1040Gr5)

* max. zulässig nach DIN 51 354 Blatt 2

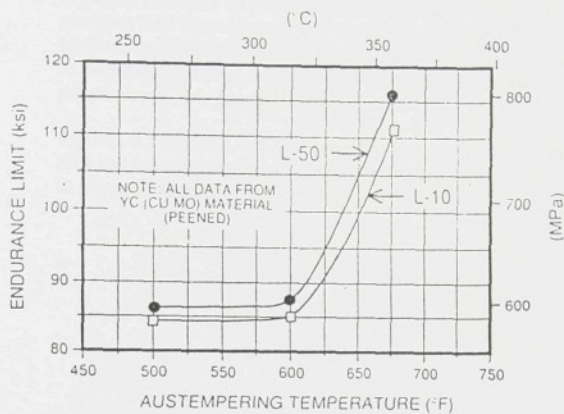
9: Werkstoffpaarung, Hypoid-Ölsorten sowie Ergebnisse der Verschleißuntersuchungen im FZG-Zahnradkurztest nach DIN 51 354, Blatt 2



Variante	Ausfall			2000 (min ⁻¹)
	schw.	schw.	schw.	
1	✓	✓	✓	140
2	✓	✓	✓	160
3	✓	✓	✓	175
4	✓	✓	✓	190
5	✓	✓	✓	210
6	✓	✓	✓	230
7	✓	✓	✓	250
8	✓	✓	✓	270
9	✓	✓	✓	290
10	✓	✓	✓	310
11	✓	✓	✓	330
12	✓	✓	✓	350
13	✓	✓	✓	370
14	✓	✓	✓	390
15	✓	✓	✓	410
16	✓	✓	✓	430
17	✓	✓	✓	450
18	✓	✓	✓	470
19	✓	✓	✓	490
20	✓	✓	✓	510
21	✓	✓	✓	530
22	✓	✓	✓	550
23	✓	✓	✓	570
24	✓	✓	✓	590
25	✓	✓	✓	610
26	✓	✓	✓	630
27	✓	✓	✓	650
28	✓	✓	✓	670
29	✓	✓	✓	690
30	✓	✓	✓	710
31	✓	✓	✓	730
32	✓	✓	✓	750
33	✓	✓	✓	770
34	✓	✓	✓	790
35	✓	✓	✓	810
36	✓	✓	✓	830
37	✓	✓	✓	850
38	✓	✓	✓	870
39	✓	✓	✓	890
40	✓	✓	✓	910
41	✓	✓	✓	930
42	✓	✓	✓	950
43	✓	✓	✓	970
44	✓	✓	✓	990
45	✓	✓	✓	1010
46	✓	✓	✓	1030
47	✓	✓	✓	1050
48	✓	✓	✓	1070
49	✓	✓	✓	1090
50	✓	✓	✓	1110
51	✓	✓	✓	1130
52	✓	✓	✓	1150
53	✓	✓	✓	1170
54	✓	✓	✓	1190
55	✓	✓	✓	1210
56	✓	✓	✓	1230
57	✓	✓	✓	1250
58	✓	✓	✓	1270
59	✓	✓	✓	1290
60	✓	✓	✓	1310
61	✓	✓	✓	1330
62	✓	✓	✓	1350
63	✓	✓	✓	1370
64	✓	✓	✓	1390
65	✓	✓	✓	1410
66	✓	✓	✓	1430
67	✓	✓	✓	1450
68	✓	✓	✓	1470
69	✓	✓	✓	1490
70	✓	✓	✓	1510
71	✓	✓	✓	1530
72	✓	✓	✓	1550
73	✓	✓	✓	1570
74	✓	✓	✓	1590
75	✓	✓	✓	1610
76	✓	✓	✓	1630
77	✓	✓	✓	1650
78	✓	✓	✓	1670
79	✓	✓	✓	1690
80	✓	✓	✓	1710
81	✓	✓	✓	1730
82	✓	✓	✓	1750
83	✓	✓	✓	1770
84	✓	✓	✓	1790
85	✓	✓	✓	1810
86	✓	✓	✓	1830
87	✓	✓	✓	1850
88	✓	✓	✓	1870
89	✓	✓	✓	1890
90	✓	✓	✓	1910
91	✓	✓	✓	1930
92	✓	✓	✓	1950
93	✓	✓	✓	1970
94	✓	✓	✓	1990
95	✓	✓	✓	2010
96	✓	✓	✓	2030
97	✓	✓	✓	2050
98	✓	✓	✓	2070
99	✓	✓	✓	2090
100	✓	✓	✓	2110
101	✓	✓	✓	2130
102	✓	✓	✓	2150
103	✓	✓	✓	2170
104	✓	✓	✓	2190
105	✓	✓	✓	2210
106	✓	✓	✓	2230
107	✓	✓	✓	2250
108	✓	✓	✓	2270
109	✓	✓	✓	2290
110	✓	✓	✓	2310
111	✓	✓	✓	2330
112	✓	✓	✓	2350
113	✓	✓	✓	2370
114	✓	✓	✓	2390
115	✓	✓	✓	2410
116	✓	✓	✓	2430
117	✓	✓	✓	2450
118	✓	✓	✓	2470
119	✓	✓	✓	2490
120	✓	✓	✓	2510
121	✓	✓	✓	2530
122	✓	✓	✓	2550
123	✓	✓	✓	2570
124	✓	✓	✓	2590
125	✓	✓	✓	2610
126	✓	✓	✓	2630
127	✓	✓	✓	2650
128	✓	✓	✓	2670
129	✓	✓	✓	2690
130	✓	✓	✓	2710
131	✓	✓	✓	2730
132	✓	✓	✓	2750
133	✓	✓	✓	2770
134	✓	✓	✓	2790
135	✓	✓	✓	2810
136	✓	✓	✓	2830
137	✓	✓	✓	2850
138	✓	✓	✓	2870
139	✓	✓	✓	2890
140	✓	✓	✓	2910
141	✓	✓	✓	2930
142	✓	✓	✓	2950
143	✓	✓	✓	2970
144	✓	✓	✓	2990
145	✓	✓	✓	3010
146	✓	✓	✓	3030
147	✓	✓	✓	3050
148	✓	✓	✓	3070
149	✓	✓	✓	3090
150	✓	✓	✓	3110
151	✓	✓	✓	3130
152	✓	✓	✓	3150
153	✓	✓	✓	3170
154	✓	✓	✓	3190
155	✓	✓	✓	3210
156	✓	✓	✓	3230
157	✓	✓	✓	3250
158	✓	✓	✓	3270
159	✓	✓	✓	3290
160	✓	✓	✓	3310
161	✓	✓	✓	3330
162	✓	✓	✓	3350
163	✓	✓	✓	3370
164	✓	✓	✓	3390
165	✓	✓	✓	3410
166	✓	✓	✓	3430
167	✓	✓	✓	3450
168	✓	✓	✓	3470
169	✓	✓	✓	3490
170	✓	✓	✓	3510
171	✓	✓	✓	3530
172	✓	✓	✓	3550
173	✓	✓	✓	3570
174	✓	✓	✓	3590
175	✓	✓	✓	3610
176	✓	✓	✓	3630
177	✓	✓	✓	3650
178	✓	✓	✓	3670
179	✓	✓	✓	3690
180	✓	✓	✓	3710
181	✓	✓	✓	3730
182	✓	✓	✓	3750
183	✓	✓	✓	3770
184	✓	✓	✓	3790
185	✓	✓	✓	3810
186	✓	✓	✓	3830
187	✓	✓	✓	3850
188	✓	✓	✓	3870
189	✓	✓	✓	3890
190	✓			

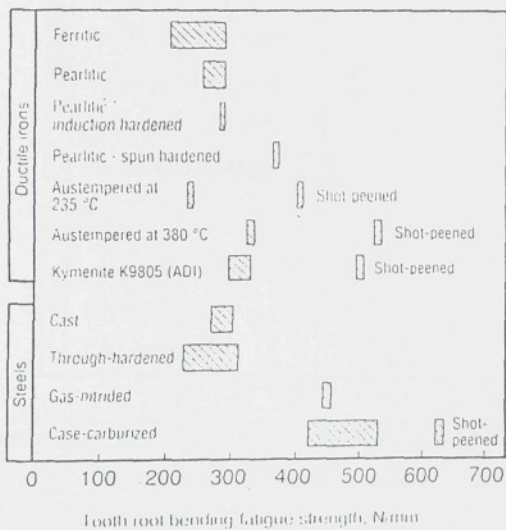
Obr. 5 Mez únavy v ohybu materiálů na ozubená kola

Figure 4.13



Relationship between fatigue endurance limit of peened ADI and austempering temperature.

Figure 4.14a



Comparison of bending-fatigue strength of ADI with those of conventional Ductile Iron and steels used for gear applications.

Obr. 6 Porovnání Hertzových tlaků při záběru kol z ADI,
ocelových nitridovaných, kaledých a cementovaných

Figure 4.13 shows an important relationship between austempering temperature and the endurance limit of peened ADI. The dramatic rise in endurance limit above 600°F (315°C) is related to the increased response to peening resulting from the higher austenite content in ADI austempered above this temperature.

Figures 4.14a and 4.14b indicate that for gear applications, shot peened ADI has bending and contact fatigue properties equivalent to or superior to through-hardened and gas-nitrided steels.

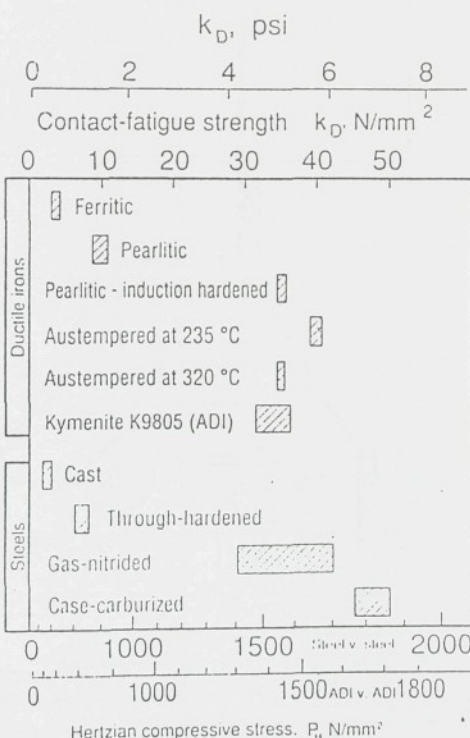
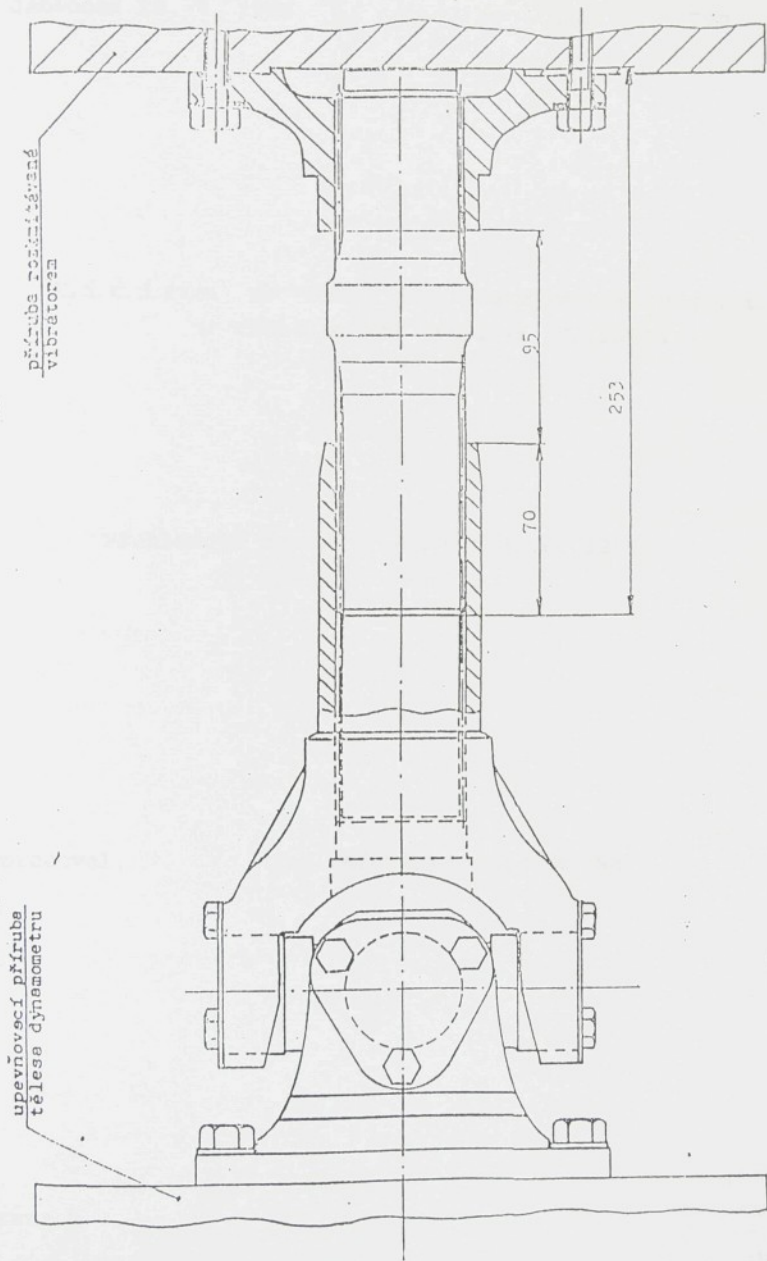


Figure 4.14b

Comparison of contact fatigue strengths of ADI with those of conventional Ductile Iron and steels used for gear applications.

Obr.7 Únavové zkoušky posuvného náboje a náboje s přírubou
kardanů vozů LIAZ



v Jablonci 20. 7. 1995

LIAZ 18 - 790

**Litina s kuličkovým grafitem
v dílech vozů LIAZ**

Přehledová zpráva o stavu k 30.6. 1995.

Zpráva č.: 950703

Vzpracoval: Ing. Břetislav Skrbek, CSc.

Stran: 5

1. Úvod

Tato zpráva velmi stručně informuje o stavu aplikací litiny s kuličkovým grafitem na součástech motorů a vozů automobilky LIAZ a. s. Navazuje vlastně na práci [1], která shrnuje výsledky aplikací a vývoje za období 1972 až 1985.

Podrobnosti uvádí dílčí zprávy z let 1985 až 1993. V současnosti nejsou prostředky na aplikační vývoj v oblastech, které uvádím na závěr.

Informace popisují v členění podle konstrukčních skupin a nikoliv jakostí materiálu či doby, i když na voze byly aplikace prováděny postupně v jednotlivých konstrukčních skupinách najednou obvykle týmovou spoluprací s konstrukcí a technologií.

2. V konstrukci vozu LIAZ

K aplikaci na základních dílech konstrukčních skupin jsem přistupoval v rámci úkolů rozvoje nebo hodnotové analýzy v týmech. Tím jsem zavedl potřebnou osvětu informací o litině s kuličkovým grafitem (dále LKG, neboli postaru tvárná litina) mezi techniky tak, že nyní se aplikace provádí na nových dálech automaticky, bez má přímé asistence.

Záměrně neuvádím čísla o spotřebovaných tunách litinových dílů za určité roky, neboť mírný nárůst výroby do r. 1989 vystřídal proměnlivý vývoj spotřeby až na desetinová množství těžko zpětně zmapovatelná.

2.1. Zadní náprava

V této skupině se realizovaly první součásti z "tvářené litiny" pro sériovou výrobu. Realizace však byla v Bulharsku díky výrobní krizi v ČSSR první poloviny 80.let

Hlava kola	50kg	2ks/vůz
čelist brzdy	10,3	4
skříň difer. levá	7,1	1
pravá	21	1
celkem		cca 150kg

Snížila se hmotnost vozu o cca 30kg.

2.2. Přední náprava

Hodnotová analýza [3] a studie vlastní slévárny [4].

Čelisti brzd	7,5kg	4ks/v
Držáky č.	11.2	2
Hlava kola	26,5	2

celkem	101kg
--------	-------

snížení cca o 30kg (vhodnější řešení).

2.3. Rám

Držáky per [8] po 2ks/vůz.	42 2306
Přední předního pera	4,8kg
Zadní	3,6
Přední zadního p.	6,8
Z. d. z. p.	7

Při zkouškách odl. LKG litých na model pro ocel úspora jen 6kg. Na nové vozy řady 300 již optimální konstrukce.

Dodavatel odl. byla hlavně Transporta a ROSS.

Další díly:	Kluzná deska	3kg	2ks
42 2305	Válec	7,7	1
	Drž. stab.	5,3	2

2.4. Točna a budka

Točnu- 120kg odlitek bylo nutno spojit s deskou čepů 7,5kg v jeden odlitek (odstr. svar) a pak homologovat. Po r 1991 však i přes konstr. vyřešení vlivem nedostatku prostředků k vývoji nedošlo (ROSS Roudnice). 42 2304 za 42

2709.1

Nyní se nakupují točny cizí z GGG40 DIN1693 B1.1. (ROCKINGER ap.).

Budka:	Závěs	4,1kg	2ks	42 2305
	podložka	2,1kg	2	04

2.5. Kardan [6], [7]

Spolupráce s VUT Brno, mohu uvést řadu prací.

Nábojovité díly-velká úspora hmotnosti, ale jen LKG ADI.

TZ osvojeno v ZTS Dubnica. 6 let jezdí 5 vozů s osazením kardanu náboji z ADI, přesto přístup LIAZ V. Krtíš je lhostejný k osvojení výsledku vývoje. Výkovky 12 060.7

Posuvný náboj	6,5kg	1ks
---------------	-------	-----

Náboj s přírubou	5,5kg	1ks
------------------	-------	-----

Náb. hřídele	6	1
--------------	---	---

Snížení hmotnosti o 50-150%.

2.5. Motor

Ozubená kola rozvodu nitridovaná LKG jen zkoušena [5].

Na motory EURO 3 (1996) cca 3 kola z ADI D po 2kg- odl. z AGROZET Jičín. Izotermické kal.od r.1997 ve vlastní kalírně.

Ostatní díly zavedené

Pouzdro náhonu vstřík.

čerpadla z ADI S	1 kg	1ks
------------------	------	-----

Kroužek ax. ADI D	0,2kg	1ks
-------------------	-------	-----

Mezikus	1,2	1	42 23 05
---------	-----	---	----------

Náboj vent.	4,5	1	"
-------------	-----	---	---

Konzola	2	1	"
---------	---	---	---

Řemenice	5,1	1	42 2306
----------	-----	---	---------

Potr. výfuková	8,7	1	42 24304
----------------	-----	---	----------

"	5,1	1	"
---	-----	---	---

Držáky	3	2	"
--------	---	---	---

Výše uvedené díly mají varianty.

3. Závěr.

Kromě rutinních aplikací LKG považuji za nezbytné vyvíjet ADI se zvýšenou odolností vůči únavě (sek. transf. zb. austenitu plast def.).

Použitá literatura:

- [1] Aplikace tvárné litiny v n. p. LIAZ, zpráva pro materiálovou komisi při GŘ ČAZ, 1. 7. 1985.
- [2] Vývoj tvárné litiny jako konstr. materiálu pro dynamicky namáhané díly zadní nápravy, podnikový úkol rozvoje M7-4-74. Jablonec 1980.
- [3] Využití tvárné litiny na díly výrobků LIAZ, závěrečná zpráva projektu č.23 hodnotové analýzy, 1980.
- [4] Studie krytí potřeb tvárné litiny n.p. LIAZ, souhrnná zpráva k úkolu M7-4-81.
- [5] Využití progresivních metod tepel. zprac. na ozubená kola z tvárné litiny, zpráva z r. 1983.
- [6] Uplatnění tvárné litiny místo ocelových výkovků, závěrečná zpráva úkolu rozvoje H05-124-687,5/1989.
- [7] Optimalizace podmínek bainitického zušlechtování tvárných litin, zpr. 229-6-Sk/91.6/1991.
- [8] Držáky per z tvárné litiny, zpráva č. 027-01-B/91 úkolu rozvoje T-10-998.
- [9] Izotermicky kalená litina s kuličkovám grafitem..- zkušenosti s aplikacemi na nákladních vozech a motorech, souhrnná zpráva 5/1993.
- [10] Recenze výkresové dokumentace motoru M1.2C - litiny, informační báze, souhrn doplňků a námětů. Vypracováno 16.11.1993.

Autor výše uvedených prací Ing. Břetislav Skrbek, CSc.

2. 9. 1996
Ing.B.Skrbek
Zpr.960901L3

Hlava předního kola - dokumentace vad

ŠKODA LIAZ
10 - 223
Jablonec n.Nisou

Předmětem této zprávy je hlava předního kola výr. č. 1076 z ROSS Roudnice n.L. ozn. 13 vyřazená na vady odhalené obráběním v koutě ložiskové plochy náboje.

Materiál hlav je litina s kuličkovým grafitem 42 2305. Hlava byla nejprve proměřena ultrazvukem a posléze byl stáčen na soustruhu náboj po min. 2mm vrstvách. Postupně odhalované vnitřní vady byly fotografovány.

Tato zpráva se předkládá graficky zpracovanou fotodokumentaci. Tím se získala přibližná představa o prostorovém uspořádání slévárenských vad a jejich nebezpečí pro funkčnost hlavy.

U fotografií je udána hloubka řezu od čela náboje a zmenšení. Čísla napsaná fixem na hlavách slouží k orientaci ech UZ kontroly. Fotografie 1-13 přísluší zprávě dokumentující vadu hlavy jiného dodavatele.

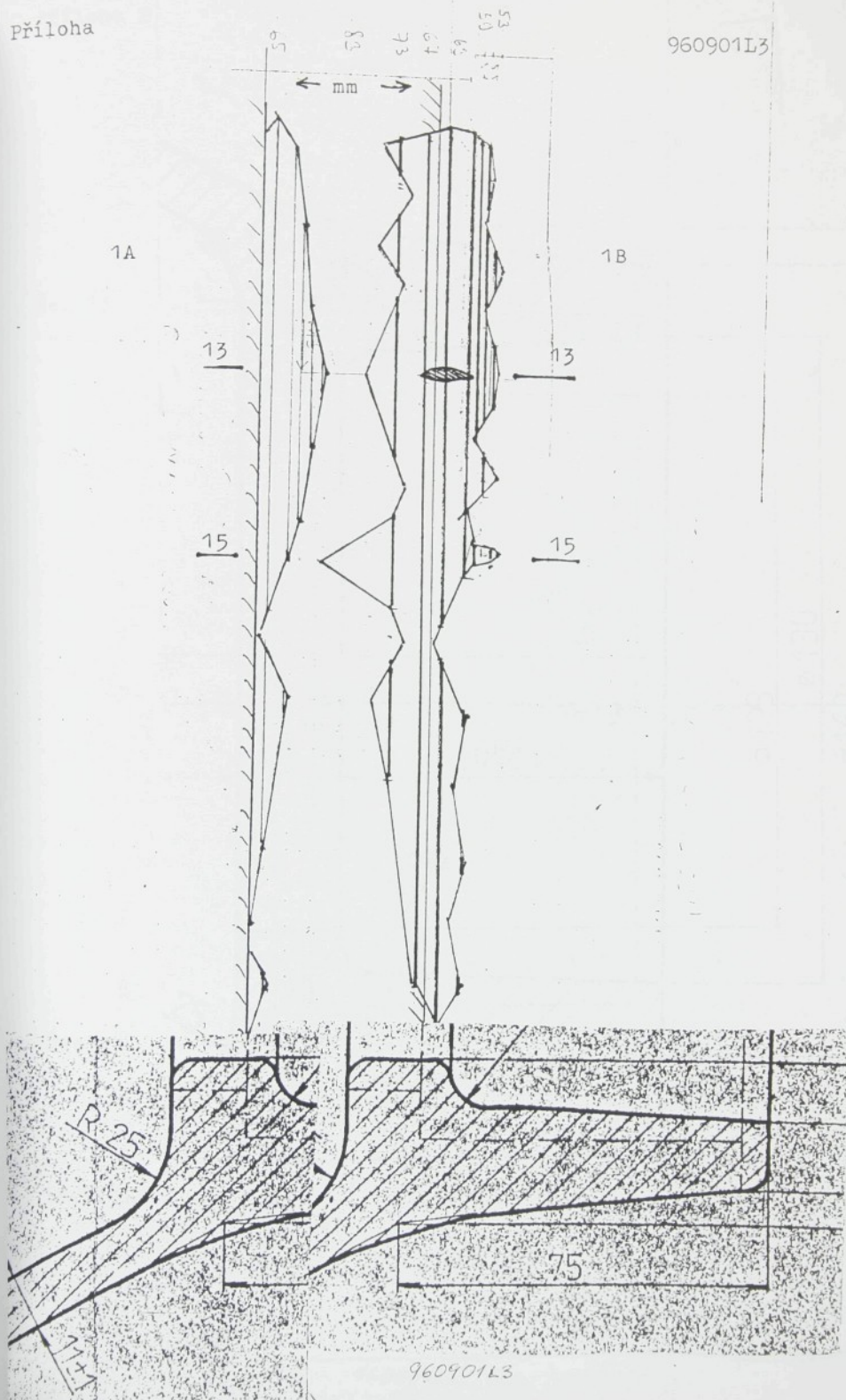
Kromě ojedinělých vícemístků dominuje v hlavě 1076 výskyt pásem ředin. Magistrální pásmo ředin (zasahuje cca 120° obvodu) se v koutě obrobenej ložiskové plochy odhalilo v ploše, kterou v rovině podobě ukazuje příloha 1B. Max. výška odhaleného pásmá je asi V=13mm v místě ozn.13. Řez v ose pásmá ukazuje příloha 1A. Souvislá největší staženina se nachází v místě 13 a o její velikosti dává představu příloha 1A a 2. Nevystupuje na obrobenej povrch. Drobnější staženinky jsem neznázorňoval.

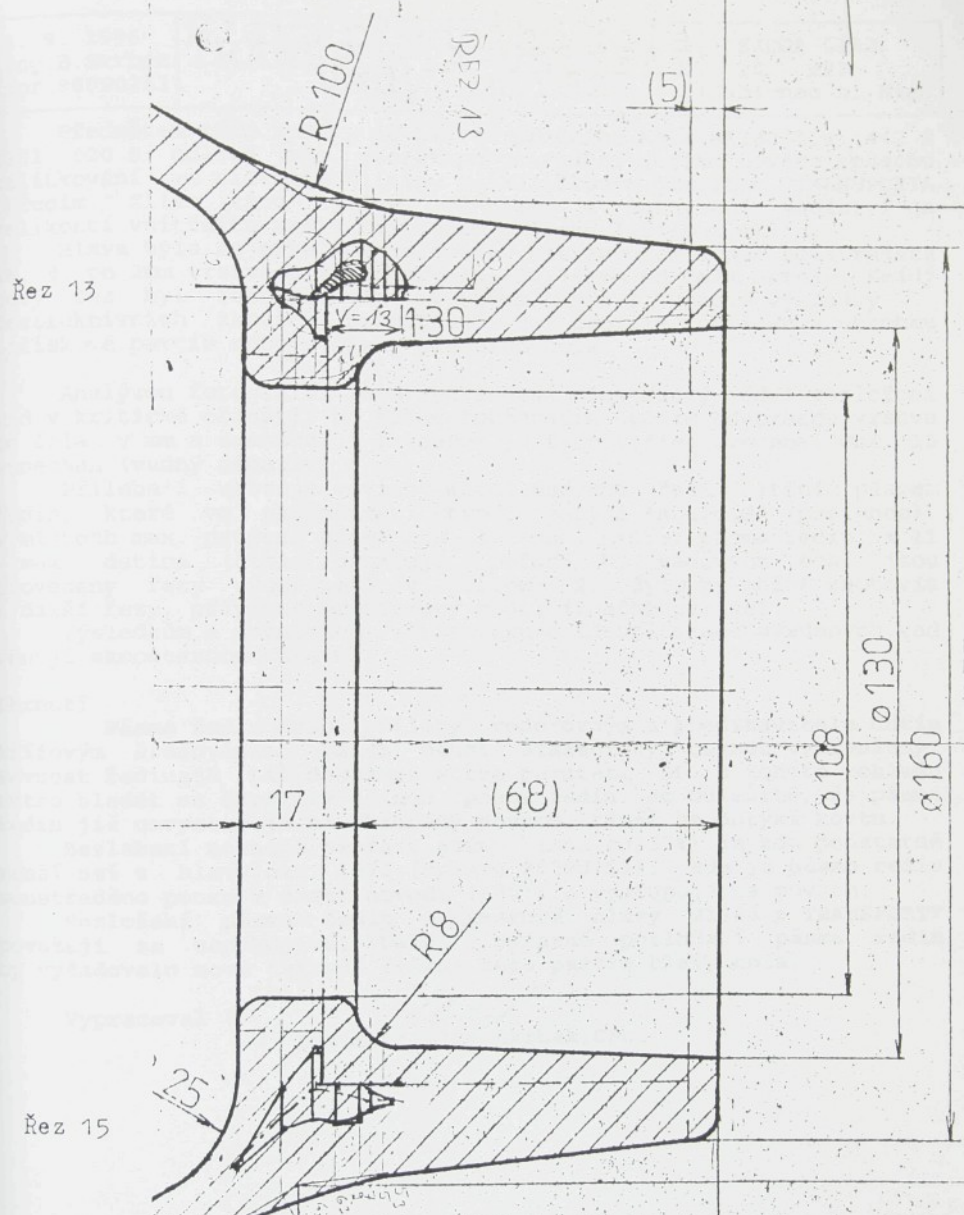
V příloze 2 řez 13 přísluší nejširšímu místu pásmá ředin. Stěnu zde silnou asi 17mm zeslabuje na 6,5mm. Pevnost ředinatého pásmá dosahuje sotva hodnot pevnosti šedé litiny. Řez 15 ukazuje místo s největší osovou výškou pásmá (asi 35mm). Dalšími řezy by bylo možno prostorově ztvárnit celé pásmo ředin.

Z rozboru jedné hlavy nelze usuzovat na obecný vztah objemu vadového pásmá (a zeslabení stěny) k velikosti plochy vad odhalené obráběním.

Vypracoval


Ing. Břetislav Skrbek, CSc.





960901L3

960901L3

4. 9. 1996
Ing.B.Skrbek
zpr.960902L3

Hlava předního kola
TRANSPORTA-vnitřní
vady, nález

ŠKODA LIAZ
10 - 223
Jablonec n. Nis.

Předmětem této zprávy je hlava předního kola M1388 č.v. 442 2 2301 020 5 odlitá jako vzorek po zavedení jejího nového způsobu nálitkování ve slévárně litiny s kuličkovým grafitem TRANSPORTA Chrudim. Cílem této zprávy je nález a zachycení množství a velikosti vnitřních vad v kritickém průřezu (Příloha 2).

Hlava byla nejprve kontrolována ultrazvukem a pak soustružena 16. 8. po 2mm vrstvách v intervalu <50;76>mm od čela náboje. Každý nový řez byl fotografován. V této zprávě uvádím výsledky destruktivních zkoušek promítnuté do profilu odlitku a obrobku ložiskové partie náboje hlavy předního kola.

Analýzou fotografií jsem vypracoval prostorový model rozložení vad v kritické oblasti. U každé fotografie uvádím odebranou vrstvu od čela v mm a zmenšení, v kterém je fotografie uvedena. Obr. 10 vynechán (vadný negativ).

Příloha 1 ukazuje rovinný model osového řezu vnitřním pásmem ředin, které ve skutečnosti tvoří jadysi "anuloid" (prstenec). V místech max. průřezu pásma ozn. 3 -max. průřez pásma ředin, a 11 - max. dutina (čísla označují pořadí UZ vadových ech) jsou provedeny řezy vyobrazené v příloze 2. Bylo by možné zhotovit i další řezy, případně prostorový model (značně pracné).

Výsledkům a možnostem ultrazvukové identifikace uvedených vad věnuji samostatnou zprávu.

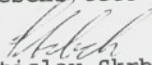
Shrnutí

Pásma ředin uvádí přílohy vodorovným a představitele dutin křížovým šrafováním. Další menší staženinky nejsou vykresleny. Pevnost ředinaté LKG dosahuje sotva pevnosti ŠL, z tohoto pohledu nutno hledět na škodlivý účinek pásma ředin. Je důležité, že pásmo ředin již nevystupuje na obrobený povrch, téměř se dotýká koutu.

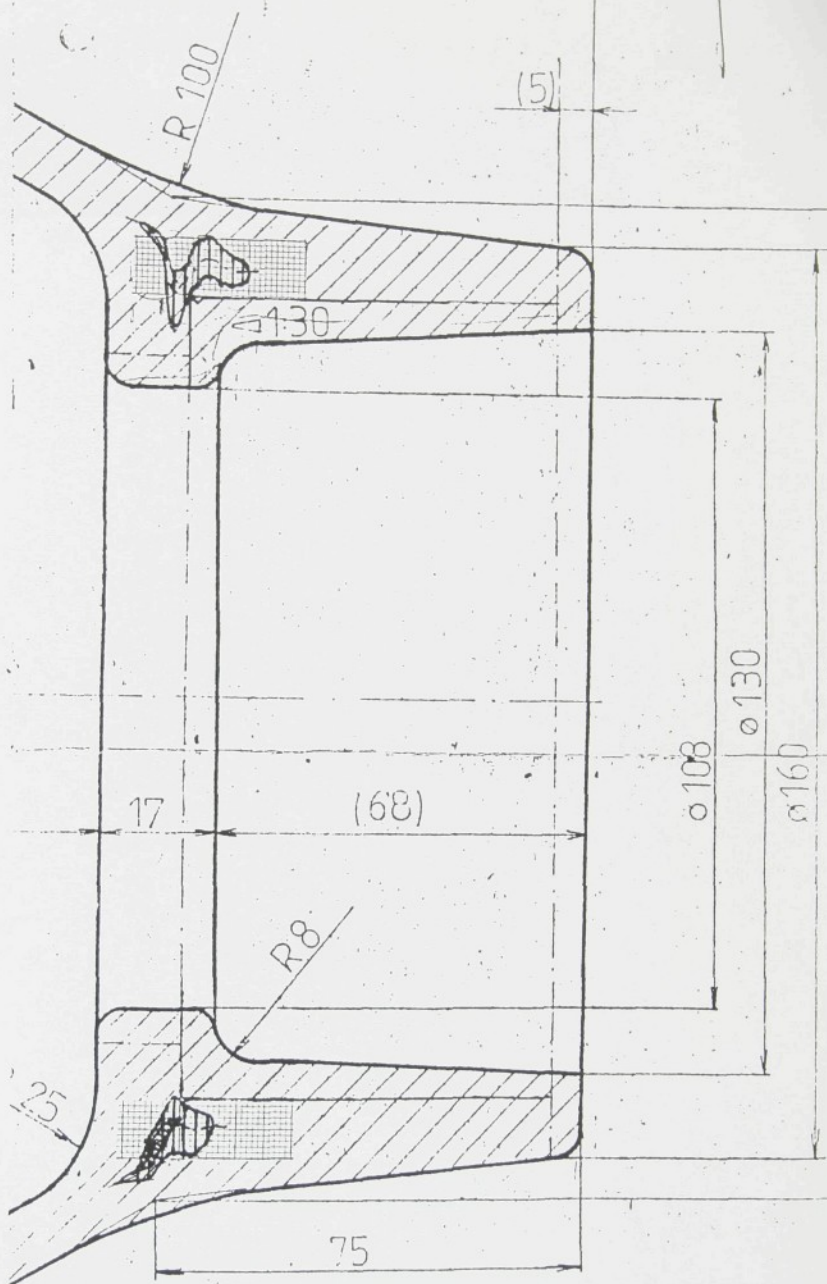
Zeslabení nosného průřezu stěny (max.cca25%) je zde podstatně menší než u hlavy ozn. 1076 (zpráva 960901L3), kde je pásmo ředin soustředěno pouze v části obvodu (120⁰) a vystupuje na povrch.

Rozložení pásma ředin u vzorové hlavy M1388 z TRANSPORTY považuji za uspokojivé. Další výrazné potlačení pásm ředin by vyžadovalo nové tvarové řešení této partie hlavy kola.

Vypracoval

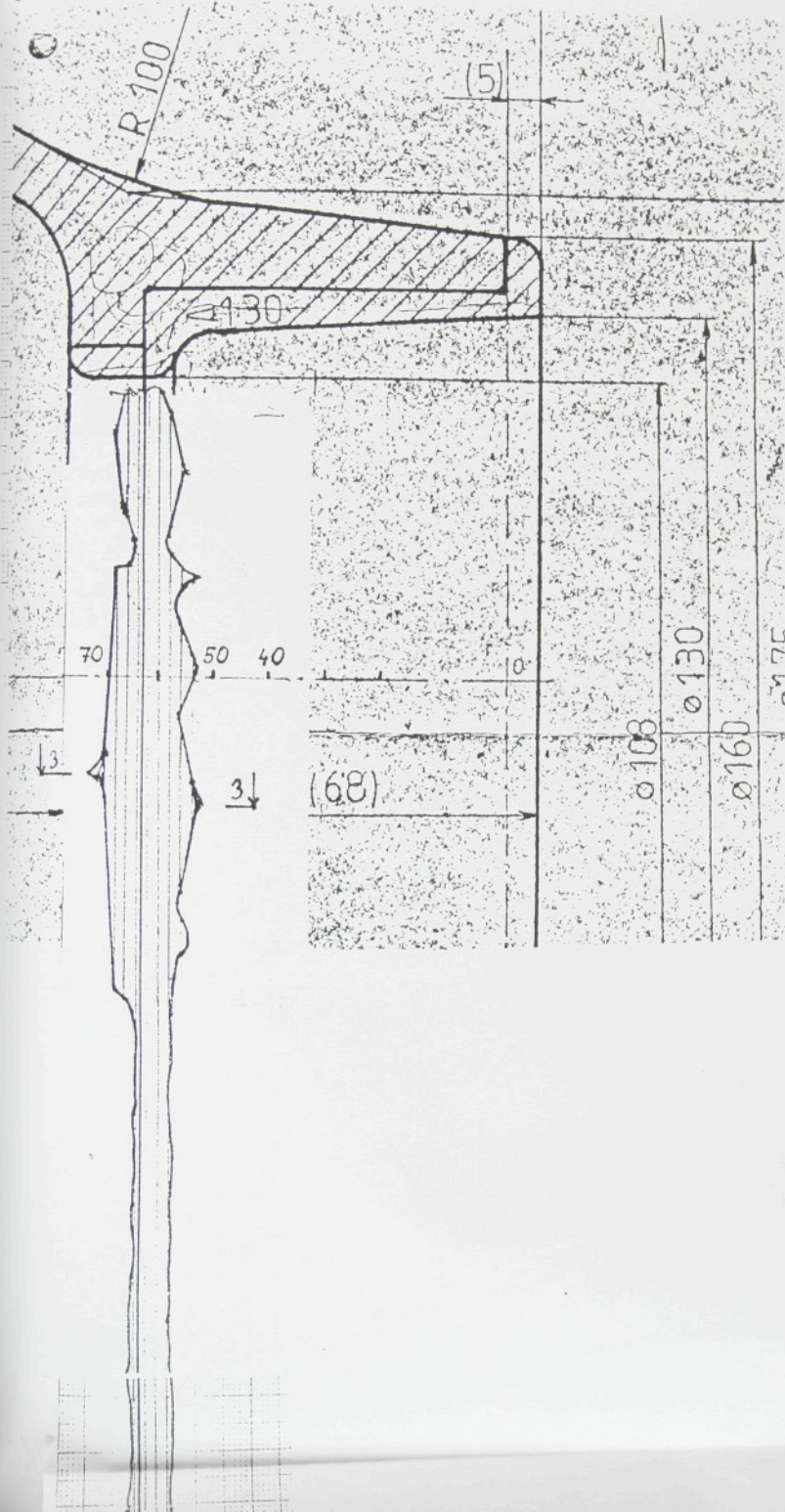

Ing. Břetislav Skrbek, CSc.

2A... ŘEZ 3



2B... ŘEZ 11

Příloha 1



SKODA

sag 03

Příloha

$$\mathcal{L} = n \cdot \omega = \pi r^2 \cdot \pi D = \pi^2 r^2 D$$

obvod měří v metrích

TR

$\phi 146^\circ, \bar{n} = 45^\circ$

CELO NÁBOJE

VELÍČINA

vnější znak

VV

mm

0

50

60

70

80

90

IA

IA

B

0

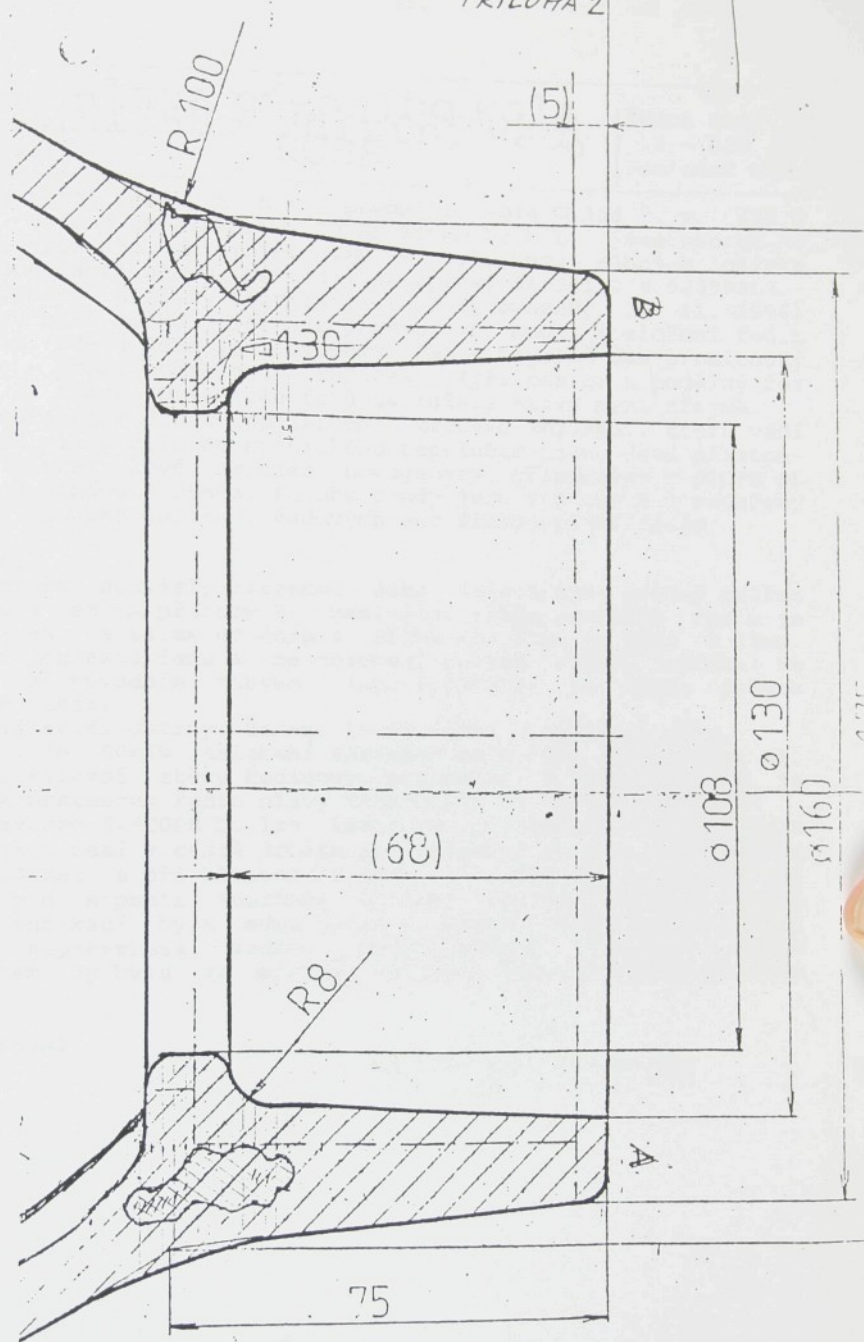
200

400

600

800

1000



26.11.1996
Ing.B.Skrbek
zpr.961103L3

Hlava předního kola
M1388 vnitřní vadová
ROSS

ŠKODA LIAZ
12 - 230
Jablonec n.N.

Předmětem této zprávy je hlava předního kola M1388 č. v. 422 2 2301 060 dodaná ze slévárny ROPSS Roudnice n.L. jako vzorek ke stanovení rozsahu vnitřních vad v uzlu mezi nábojem ložiska a kuželovou částí hlavy. Navazuji na zprávy 960901L3 a 960902L3.

Z provedené analýzy fotografií řezů (provedeny 15. 11. 1996) náboje by bylo možno sestrojit prostorový model rozložení ředin a staženin. Zde uvádím jen obvodový řez v tepelné ose promítnutý do roviny - proti směru hod. ručiček - (příloha 1) a podélný řez (příloha 2) A a B. Orientace řezů na kuželi hlavy není zřejmá.

Před obrobením drážky pojistného kroužku ložiska, která vadí průniku UZ vln z čela do kritického tepelného uzlu, jsme přistoupili k ultrazvukové zkoušce homogenity přístrojem T-SCOPE DL s dvojitou sondou 2.25MHz. Polohy sondy jsou v příloze 2 označeny šípkami a hloubka indikací vadových ech šíkmým překřížením.

Shrnutí

Řediny tvoří souvislý prstenec. Jeho nejsilnější příčný průřez představuje řez A přílohy 2. Maximální výška prstence ředin je 26mm mezi 55. a 81.mm od čela a šířka cca 12mm, v řezu B 13mm. Proniká v oblasti řezu A na obrobený povrch sezení ložiska! Ve srovnání s původním stavem (zpr.960901L3) je tento průnik podstatně menší.

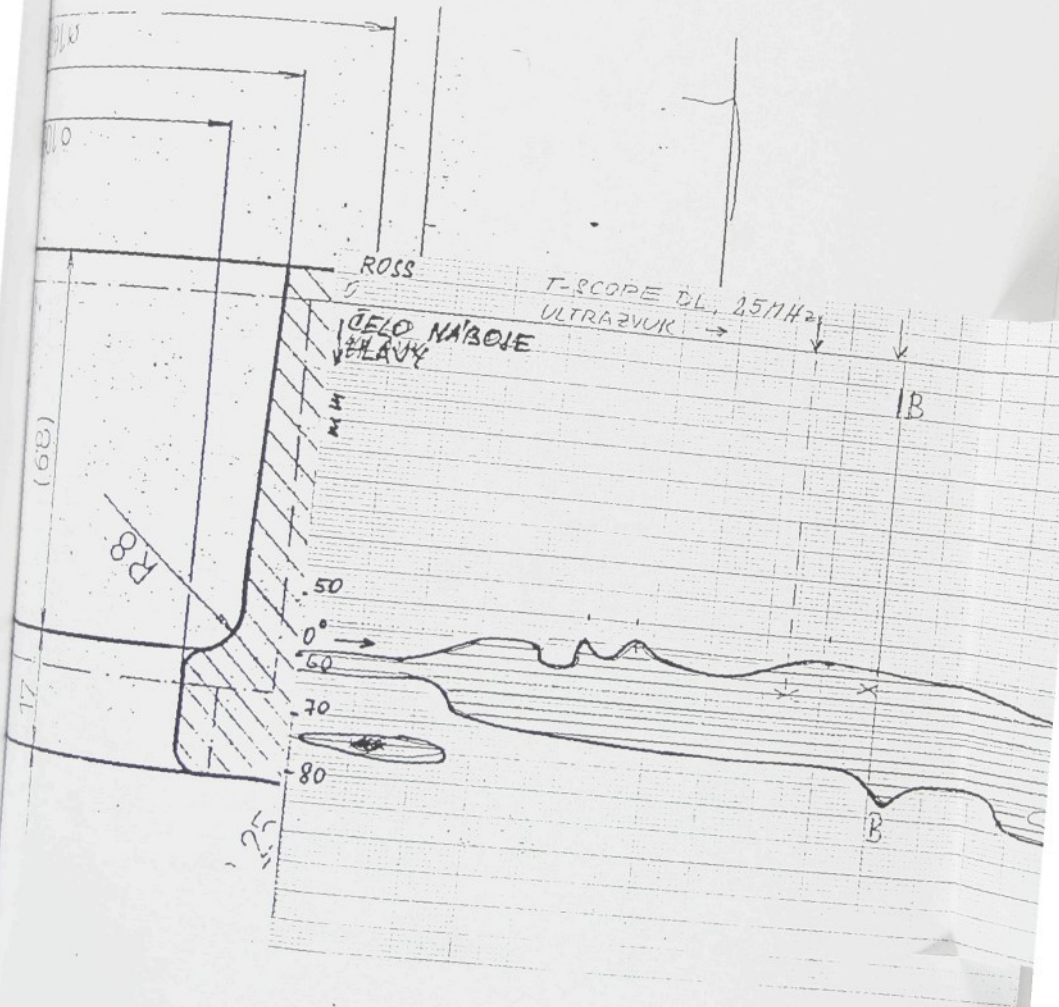
Neobsahuje větší dutiny. Ředinu tvoří jemně rozptýlené póry.

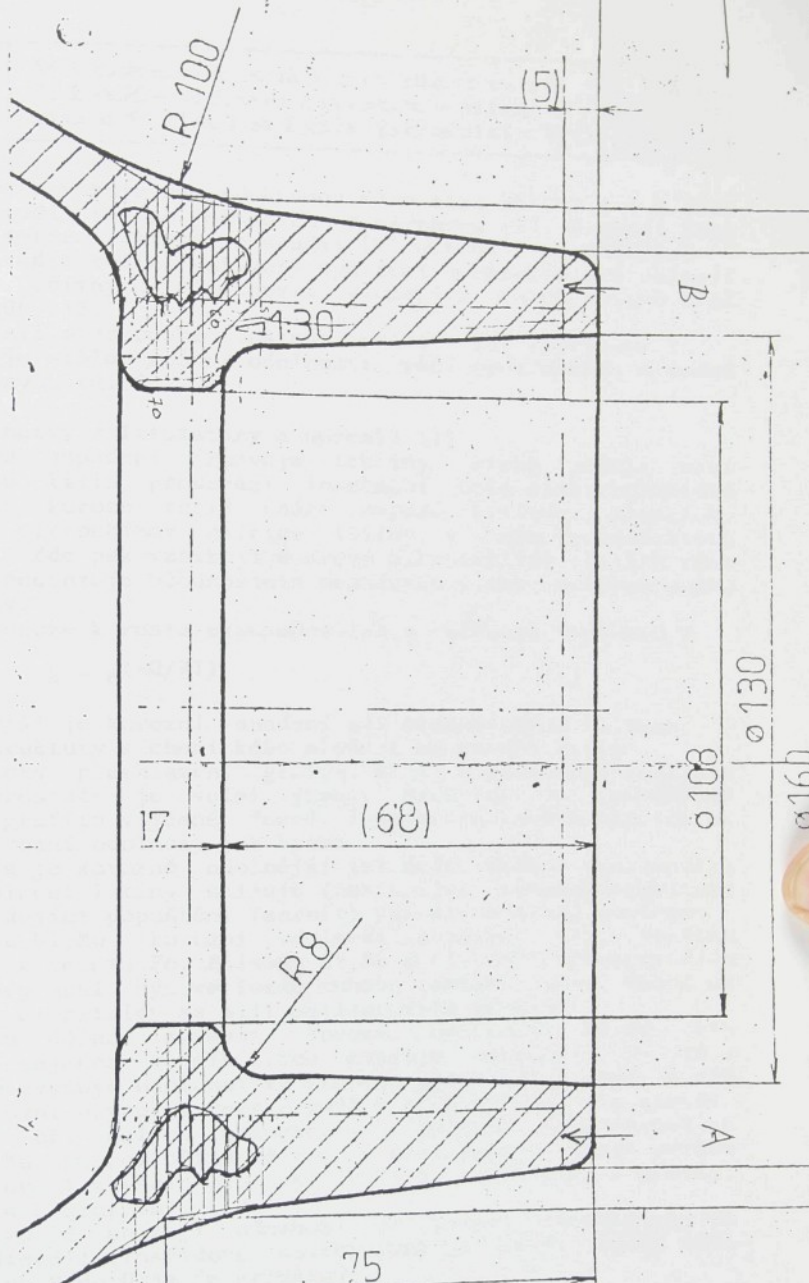
Největší je 60ti% zeslabení zdravého materiálu stěny (řez A). Celkové zeslabení stěny ředinovým prstencem v tomto případě je větší jak prstemcem ředin hlavy TRANSPORTA ze zprávy 950902L3

Ultrazvukem T-SCOPE DL lze indikovat přítomnost řediny z čela náboje pokud není v cestě drážka pro pojistný kroužek. S dvojitou sondou 2.25MHz a při hloubce 55-65mm je nastavena citlivost 106 až 107 pro sepnutí indikace hloubky vadového echo. Z deseti vadových indikací byla jedna mylná z hloubky 82mm (zadní odraz) a jedna nepotvrzena vadou. Nejcitlivější indikace ředin ultrazvukem by byla ze strany vnějšího pláště náboje úhlovou sondou.

Vypracoval

B. Skrbek
Ing.Břetislav Skrbek,CSc.





9644043

13.3.1996 ing.B.Skrbek zpr.96030206	Vložené válce motorů LIAZ-životnost-shr- nutí dalších poznatků	LIAZ 10 - 223 Jablonec
---	--	------------------------------

Úvod

Tato zpráva navazuje na souhrnnou expertizu 951205 z 4.1.1996 a externí studii [1] po jednáních s výrobcem [2]. Provedl jsem materiálová šetření, která ve studii [1] navrhl Prof. Růžička.

Na závěr uvádím reálné varianty opatření v materiálové oblasti ke zlepšení užitných vlastností vložených válců motorů LIAZ č.v.442 1 1006 013.

V současnosti předepsané vlastnosti uvádějí TPP v příloze 1. Dominující je stále řešení odolnosti vůči opotřebení z vodní strany vložených válců

1.Obecné poznatky z literatury a norem[3-11].

Kavitačnímu napadení (rozvoje trhliny, která oddělí část materiálu) u litin předchází inkubační doba elektrochemické koroze. Tato koroze totiž snáze napadá kavitací plasticky deformované mikroobjemy matrice litiny v čele koncentrátorů mech. napětí. Zde pak vznikají únavové mikrotrhliny. Jejich růst koroze dále podporuje přednostním napadením plast. deformovaného čela trhlinky.

Rychlosť koroze k roste exponenciálně s rostoucí teplotou T

$$k = e^{(-Q/RT)} \quad (1)$$

Intenzivnější je korozní napadení při mechanických vlivech.

1.1. Vliv struktury a chemického složení na korozi litin Mezidendritický přechlazený grafit E a D podstatně zesiluje napadení, přestože je velmi jemný. Nezbytné je rovnoměrné vyloučení A grafitu v jemné formě. Jemnozrnná kovová matrice má ale nižší korozní odolnost jak hrubá.

Bilá litina je korozně odolnější jak šedá. Kalení (martenzit) korozní odolnost litiny snižuje (nestabilní vysokoenergetický stav)! Následující popuštění (sorbit) pak mírně zvýší odolnost.

Přísady Cu,Ni,Mo korozní odolnost zvyšuje díky vyššímu potenciálu jak železo Fe. Přísady Cr,Si a Al tvoří ochranný film oxidů. Přísady musí být ve formě tuhého roztoku s Fe. Vazba na karbidy (Ti) či nitridy se míjí antikorozním účinkem.

Obsahy pro účinné zvýšení korozní odolnosti Si>3%; Ni>jednotky % zejména v alkáliích zvyšuje odolnost; Cr již v desetinách % zvyšuje odolnost ve slabých prostředích-např. 0,25% Cr sniží korozní úbytek v mořské vodě z 8 na 4ug/cm²; Cu působí příznivě i při malých obsazích v běžných atmosférických podmínkách; Mo působí příznivě jen v kombinaci s jiným prvkem (od 3%), očkování zvyšuje odolnost vůči korozi (jemný A grafit, potlačení D a E grafitu).

Obsahy Mn>0,7% snižují odolnost ke korozi (sorbitizující matrice). Steadit (fosfidové eutektikum) je velmi odolné vůči korozi - obsah P do 0,5% je příznivý.

1.2. Vlastnosti antikorozních vrstev na litinách

Ni galvanické povlaky chrání až od 22um síly - jsou porovitě, běžná tvrdost 250HV, špatné kluzné vlastnosti. Cr povlaky - nutné rovněž tloušťky přes 20um, mléčný Cr je měkčí a houževnatější jak tvrdochrom. Zn chrání již od 1um tloušťky. Kavitační

poškození oddáli jen silné vrstvy

1.3. Statická a únavová pevnost šedé litiny

S růstem meze únavy (namáhání tah-tlak) roste odolnost vůči čisté kavitaci.

Poměr pevnosti R_m k mezi únavy R_E v míjivém tahu závisí na kvalitě očkování litiny
a) pro nelegovanou

$$R_E = <0,22; 0,32> \cdot R_m \quad (2)$$

b) pro nízkolegovanou dobré očkovanou

$$R_E = <0,32; 0,36> \cdot R_m \quad (3)$$

Zjemňování grafitu G1A působí příznivě na růst R_m . Kromě očkování zde působí způsob formování (do písku, skořepin či kokil). Pro litinu se stupněm eutektičnosti $Sc = 0,789$ byl uveden tento příklad:

$$R_m = 7,1 \cdot L^{-0,305} \quad (\text{MPa}) \quad (4)$$

velikost grafitu G1A	číslo dle ČSN 42 0461	2	3	4	5	6	7
	max. délka L lupinků um	1000	490	240	110	50	25
	Rm MPa	147	182	227	288	367	453

Grafit mezidendritický G1D, E vel.7 ... Rm 170MPa
rovnoramerný G1A vel.7 ... Rm 450MPa!

Obecně lze konstatovat, že kapalná korozní prostředí působí rychlejší šíření únavové trhliny jak plynná; nejpomalejší šíření nastává v inertním plynu. S růstem rychlosti šíření lomu klesá podpůrný vliv korozního prostředí. Při malé rychlosti snáze dochází k anodickému rozpouštění plastické (brzdné) zony čela mikrotrhliny. Obdélníkový cyklus zatěžování z tohoto pohledu vede k intenzivnější podpoře koroze šíření jak sinusový průběh.

Přímá závislost mezi hodnotami pevnosti R_m a mezi únavy R_E platí pro perlitickou litinu. Izotermickým kalením dále R_m roste s klesající teplotou přeměny, ale v oblasti dolního "bainitu" (lépe řečeno ADI struktury) a martenzitu mezi únavy klesá s růstem statické hodnoty R_m .

1.4. Poznámky k tepelnému zpracování

Kalení litiny s lupínkovým grafitem do vody i oleje působí vznik mikrotrhlin na koncích lupinek grafitu. Při kalení izotermickém do solné lázně, již trhlinky obvykle nevznikají.

Nelegovanou litinu z hlediska vhodnosti pro tepelné zpracování si můžeme představit jako eutektoidní ocel (0,75% C) legovanou Si (2%) a Mn (0,7%) - např. 13 270.

Legující prvky Cr,Cu,Ni a Mo se tedy nepřidávají k zvýšení tvrdosti nebo pevnosti u litiny, ale podpoře zpracovatelnosti silných průřezů (nad 13mm). Nepůsobí na slevatelnost a výskyt slévárenských vad odlitků. Tenké průřezy lze spolehlivě izotermicky kalit za vzniku struktury ADI bez legování.

Dobré očkování a větší počet jemných rovnoramerně rozložených útvarů grafitu pak způsobí zvětšení pevnosti izotermicky kalené litiny.

Prvky jako Sb, Sn a Cu segregují na hranici grafit/kov a tvoří bariéru pro difuzi uhlíku při nasycování austenitu (tentot jev se uplatní při částečně feritické výchozí litině).

Austenitizační teplota pro dosažení max. meze únavy musí být co nejnižší, ale taková, aby již nezůstával proeutektický ferit.

Struktura izotermicky kalené litiny nesmí být pro dosažení max. meze únavy klasicky "bainitická" (směs jehlicovitého feritu a cementitu) jako u ocelí, ale z jehlicovitého feritu a stabilního austenitu (označuje se jako ADI, jinak řečeno "ausferit"). V praxi při výdrži na teplotě (250-420°C) izotermického kalení nejdříve vzniká jehlicovitý ferit s austenitem (díky vysokému obsahu Si), který se posléze rozpadá ne cementit a ferit.

Jednou z význačných vlastností ADI je odolnost proti opotřebení, která je podstatně vyšší než u oceli stejné tvrdosti. Dochází k vytvrzování povrchu ADI sekundárním rozpadem austenitu na martenzit, který je iniciován kontaktním namáháním.

2. Doporučení studie [1]

Základní mechanizmus opotřebení vodních ploch vložených válců motorů ŠKODA LIAZ je přisuzován koroznímu poškození aktivovanému únavou materiálu od provozního zatížení. Z tohoto hlediska jsou doporučeny způsoby tepelného zpracování současné litiny k dosažení vyšší meze únavy pomocí jemného perlitu, bainitu a sorbitu:

- 1) Normalizačně žíhat stávající materiál k zjemnění struktury s dvojí austenitizaci
- 2) Izotermicky žíhat na 600°C
- 3) Izotermicky kalit na 250-300°C či termálně kalit..
- 4) Termální kalení a popuštění na 400°C.

Je doporučeno legování litiny Mo při snížení obsahu P do 0,17% a získat strukturu vlož. válců označených D (Detroit Diesel).

Studie uvádí za vhodné použití acikulární litiny (1%Mo, 1,4%Ni) s bainitickou strukturou v litém stavu, která dosahuje po nízkoteplotním žíhání nejvyšších hodnot, až $R_m=600\text{ MPa}$.

Vodní povrch obrábět s min. drsností k potlačení povrchových prutí, vrubů a trhlinek.

Očkovat litinu, aby byl dosažen stav struktury vzorku S z r. 1987

Použít účinnější inhibitor v chladící směsi než dosud používaný.

Je třeba dodatečně:

- provést analýzu Mo válce D a definovat strukturu
 - ověřit přítomnost trhlin u vzorku S.
- Prověřit možnosti uvedených tepelných zpracování na vzorcích a v. válcích.

Tyto výsledky uvádí následující statě.

3. Stanovení Mo a struktury

Spektrální analýzou byly ve vzorku vloženého válce "D" zjištěny v laboratoři ŠKODA LIAZ 01 pouze stopy Mo (<0,05%) a struktura se blíží patrně více dolnímu ADI či bainitu než martenzitu. K přesné identifikaci strukturních složek by bylo nutno zadat Rtg. fázovou analýzu např. na VUT Brno.

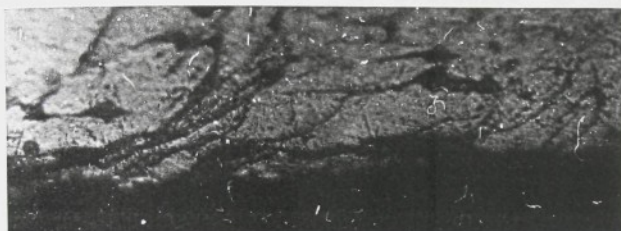
Ověření přítomnosti trhlin jsem provedl pozorováním při zvětšení 1000x na všech vzorcích vložených válců, které jsou předmětem zprávy 951205. Uvnitř stěny se nevyskytují mikrotrhlinky, ale povrch vodního prostoru je plasticky u vzorku "D" de-

formován se smykovým posunem a uzavíráním konců lupínek grafitu. V této cca 15um silné vrstvičce se proto často vyskytuje i mikrotrhlinky - viz. obr.1. Směřují obvykle kolmo k povrchu.

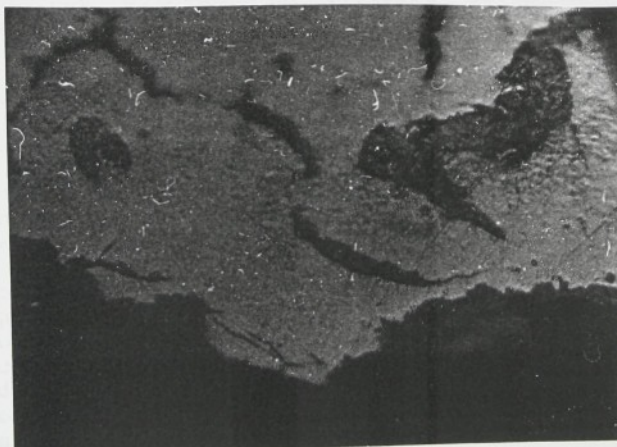
U válce S trhlinky byly zjištěny pouze u cca 2% lupínek v povrchové partii.

Výskyt trhlinek u vzorků T a L je pouze těsně pod povrchem (do 10um) v oblastech při selektivním důlkovém napadení. Jejich orientace je obvykle rovnoběžná a nemusí být iniciována jen konci lupínek grafitu - viz. obr. 2.

Vzorek S obsahuje poměrně tlusté lupinky grafitu 7,5um bez ostrého zakončení - menší vrubový účinek, naopak nový odlitek N má tenké lupinky grafitu - 2,5um, takže jejich ostré ukončení splývá s identifikací trhlinek. Vzorek z válce D obsahuje rovněž tenké lupinky 2,5um; vzorky T a L 4-6um.



Obr.1. Obroběný povrch vloženého válce Detroit Diesel, 1000x zv.



Obr.2. Opotřebovávaný povrch vloženého válce T. 1000x zv. NELEPT.

4. Záměry Agrostroje Jičín

Ve snaze přiblížit se zahraničním výrobním technologiím a kvalitě vložených válců a tím posílit konkurenčeschopnost svých výrobků přistupuje Agrostroj a. s. k následujícím perspektivním opatřením.

Za optimální považuje Agrostroj z tohoto pohledu tyto materiálové parametry:

-Grafit G1A o velikosti 30-250um

-ferit do 5%, lamelární perlit, volný cementit 0%, steadit v souvislém síťoví

-tvrdost >220HB.

Statisticky deklarovaný současný stav:

-G1A/B, velikost do 250, ojediněle přes 250um na pracovní ploše a na vodní ploše G1A/B místy D6, převažuje vel. 60-120um, místy 250um

-perlit 100% lamelární velmi jemný 0,3um

-steadit v nesouvislém až souvislém síťoví o vel. max. 750um a útvarech max. 10 000um²

-tvrdost na vodní ploše 240-270HB, pracovní 230-250HB

-Rm na přilitých tyčích formovaných do písku 260-300MPa

-složení v %: C 3,05-3,2; Si 1,75-1,85; Mn 0,65-0,7; P 0,35-0,4; Ni 0,25-0,3; Cr 0,35-0,4; s max. 0,04.

Tvrdost a složení válců současných renomovaných evropských dodavatelů vložených válců WIZEMANN, PLEUCO a JOHN DEER se až na výjimky neliší od produkce Agrostroje. Odlévají válce jak do kokil tak na výstelku. Tabulky se složením a strukturními parametry uvádím v příloze 2 a 3.

Zamezit výskytu grafitu vel. 3 (250-500um) Agrostroj chce nyní:

1.Změnou ostřiva o vyšší tepelné vodivosti.

2.Změnou chemického složení náhradou Ni mědi, použití očkovadla s prvky KVZ (Ce,Yt ap.) k zjemnění grafitu.

3.Změnou odlévání na výstelku litím do kokil. Od února 96 zkušební lití.

Perspektivně: Dodávky kokilově litých vožených válců pro ŠKODA LIAZ od konce roku 1996.

5. Shrnutí

Opotřebení vložených válců motorů LIAZ na vodním povrchu tvorí shluhy hlubokých důlků na opakujících se lokalitách geometrie povrchu pod nákrusíkem či nad těsnicími kroužky. Toto opotřebení je dlouhodobý proces.

Dominujícím procesem opotřebení je koroze. Podle studie [1] podporovaná únavovým napětím z provozního zatížení (tlaky v spalovacím prostoru), které má tečný směr vzhledem k vodnímu povrchu, po obvodu má stejnou velikost a klesá směrem od podnákrusíkové oblasti k partii těsnících kroužků. Mikrotrhliny od tohoto napětí ve směru kolmém k povrchu však nejsou obvyklé. Dodatečná expertiza upozornila na výskyt mikrotrhlin (do 15um délky) rovnoběžných s opotřebovaným povrchem v místech momentálně bez vrstvy korozních splodin nebo vycházejících z konců lupínek grafitu, které jsou paralelní s povrchem (obr.2). Tyto trhlinky svědčí o kavitačním namáhání jako hlavním podpůrném mechanizmu koroze. Touto nyní doloženou skutečností lze vysvětlit i lokální charakter napadení vložených válců

v místech, která vlivem rychlosti, tlaku a teploty mají k tvorbě kavitačních bublinek nejvhodnější podmínky.

Současné provozní namáhání vložených válců není za mezním stavem použité litiny, který již iniciuje vznik trhlinek. Motory M1.2C pracují se sníženými špičkami tlaku ve spalovacím prostoru a přesto napadení vložených válců předmětným důlkovým opotřebením je intenzivnější jak u motorů M1.2A,B. Opatření ke zvýšení meze únavy matrice a změně chemického složení litiny by měly sloužit především ke zvýšení odolnosti vůči kavitační únavě a koroznímu napadení. Můžeme zvýšit pevnost matrice, jak např. doporučuje [1], což se pojí s výrobními i cenovými problémy, nebo vyžadovat od výrobce vložených válců taková metalurgická opatření, aby litina při přibližně stejně nákladném chemickém složení obsahovala jemný rovnoměrně rozložený grafit, který (jak dokládám v 1. kapitole) svojí velikostí ovlivňuje výslednou hodnotu pevnosti litiny stejně jako kovová matrice.

Nejvyšších užitých vlastností vložených válců bychom samozřejmě dosáhli získáním matrice s max. mezi únavy při jemném rovnoměrně vyloučeném grafitu se zaoblenými konci lupínek (menší vrubový účinek). Nabízí se proto i perspektivní vyzkoušení litiny s červíkovitým grafitem pro vložené válce. Její kluzné vlastnosti se bliží litině s lupíkovým grafitem (šedé litině) a nikoliv litině s kuličkovým grafitem (tvárné litině), která pro dlouhoživotnostní vložené válce není doporučována podobně jako ocel.

Západoevropští výrobci (viz přílohy 2, 3 a [12]) vložených válců jdou cestou bez tepelného zpracování s matricí litiny s legováním 0,3-0,4%Cr nejjemnějším perlitem Pd0,3 a vyšším obsahy P 0,25-0,6%. Grafit je jemný 4-6 rovnoměrně vyloučený. Přísady Ni, Cu a Mo nejsou jednotné. Podle rozboru vl.válců Agrostroje (tedy v dodávkách vl. válců pro ŠKODA LIAZ) tyto parametry jsou běžně dodržovány. Musíme je přenést do přejímacích podmínek.

U ostatních výrobců, pokud používají tepelné zpracování, patrně nejčastěji se vyskytuje izotermické kalení, jehož cílem by měla být ADI struktura matrice litiny. Vzorový vložený válec "D" obsahuje především legury Cr a Cu k zvýšení korozi-vzdornosti. Obsah Mo není pro získání "bainitu" v těchto tloušťkách stěn izotermickým kalením nutný. Vodní povrch je poměrně hrubě obrobén.

Při srovnání nákladovosti navržených postupů tepelného zpracování dle [1] a dosažených pevností litiny je nejvhodnější izotermické kalení.

Agrostroj jako slévárna i dodavatel hotových vložených válců nemá možnost provádět velkoseriové tepelné zpracování odlíků. Bylo by zde možno snáze realizovat jemné opracování vodního povrchu.

Z uvedených poznatků plyne, že pevnost a odolnost vůči korozi lze za daných podmínek zvyšovat zjemněním grafitu (rovnoměrně vyloučený) a vhodným legováním Cu.

Opatření 1 a 2 Agrostroje jsou v tomto směru operativní a nyní zaváděná. Musíme je z pozice odběratele podporovat a urychlovat jejich zavedení do výroby. Očkování s přísadou KVZ povede i k zaoblování konců lupínek grafitu - snižování jejich vrubového vlivu.

Izotermické kalení by vyžadovalo jej provádět jako externí mezioperaci např. v TESET Semily a. s. Vysoký obsah P by bylo nut-

no snížit na <0,07%. Vlastní postup TZ je však třeba optimalizovat řadou zkoušek. Zkoušky lití acikulární litiny (nutno porovnat náklady na izotermické kalení a legování 1%Mo) by bylo vhodné provádět až po zavedení kokilového lití. Nutno upozornit, že veškeré změny chemického složení mimo rámec běžné výroby (Agrostroj dodává vl. válce i ostatním výrobcům motorů) slévárna velmi nerada přijímá.

6. Opatření

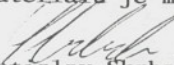
Operativní zvýšení životnosti vložených válců dosahneme

1. Snížením velikosti grafitu litiny o jeden stupeň na vodním a pracovním povrchu (G1A 5, ojediněle 4 na vodním povrchu).
2. Matricí litiny s jemným perlitem Pd0,3.
3. Legováním Cu místo Ni.

Tyto parametry neprodleně promítнout do TPP, neboť dodavatel vložených válců nyní k splnění těchto opatření realizuje změny ve výrobní technologii.

Perspektivně vyvinout variantu litiny s ADI matricí a grafitem se zaoblenými konci, která poskytne pravděpodobně podstatně vyšší životnost. Se vzorkovými zkouškami tepelného zpracování na vloženém válci "D" a stávajícím materiálu je možno začít ihned.

Vypracoval


Ing. Břetislav Skrbek, CSc.

Literatura:

- [1] Růžička Dalibor: Možnost zvýšení životnosti vložek spalovacího motoru ŠKODA LIAZ, studie Brno 2/1996.
- [2] Kracík Miloš: Výroba vložených válců v Agrostroji Jičín a.s., zpráva o stávající situaci a aktivitách k zvýšení konkurenční schopnosti, Jičín 19.1.96
- [3] Exner J.: On Some Physical Properties Of Dynamically Stressed Automobile Gray Iron Castings, 49. International Foundry Congress Chicago 1982.
- [4] Giršovič N. G.: Šedá litina, SNTL Praha 1955.
- [5] Klesnil, Lukáš: Únavu kovových materiálů při mechanickém namáhání, ACADEMIA 1975.
- [6] Exner, Čech: Hodnocení vlastností litin podle tahových deformačních charakteristik, Slévárenská roženka 1993.
- [7] Skrbek B.: Oběžná kola 002 a 005 - materiálové zkoušky, zpráva LIAZ 931001.
- [8] Kovacs Bela: Austempered Ductile Iron: Fact and Fiction, MODERN CASTING 1990, American Foundrymen's Society.
- [9] Bárta B.: Šedá litina a její únavové vlastnosti, Slévárenství 3/1984.

[10] Vetiška A.: Teoretické základy slévárenské technologie, SNTL 1972.

[11] Sedláček: Neželezné kovy a slitiny, SNTL 1972.

[12] Skrbek B.: Vložené válce diesel. motorů - materiály, zpráva č. 96010206 vývoje motorů ŠKODA LIAZ, 1/96.

Agrostroj Jičín

Materiálový list č. 345/5

Název odliatu: vložený válec, odstředivě litý do výstelky

Číslo výkresu odliatu: 345/3-10

442 i 1006 - 015.5
Číslo výkresu součásti: - 013.5
- 011.5

Skupina:

Odběratel: LIAZ a.s.

Materiál: 422425 legovaná

Chemické složení:

C	Si	Mn	S	P	Ni	Cr	Ni + Cu
3,10-3,40	1,70-2,00	0,65-0,75	max. 0,04	0,35-0,50	0,20-0,35	0,35-0,45	max. 0,50

Pevnost v tahu:	260 MPa	zkušební tyče podle ČSN 4203 30 z těles Ø 30 mm odděleně litých do pískové formy
-----------------	---------	--

Tvrdoost v HB:	230-270	Brinellova zkouška 10/3000/30 podle ČSN 420371 na těle odliatu v oblasti prac. části vložky na 3 místech v jedné rovině po 120 stup.
----------------	---------	--

Vyhodnocení struktury podle ČSN 420461

Struktura pracovní plochy po honování do hloubky 2 % průměru /u průměru menších než 100 mm minimálně 2 mm/

Místo pro odběr vzorku je určeno na výkresu č. 345/3-10

Grafit	lupínkový.. I A,B	velikost (3 4,5 objediněle)
Perlit	lamelární P 1	Pd 0,5 Pd 0,3 přípustné
Steadit	tvoří nesouvislé až souvislé síťové Fr 2 - Fr 3	Pd 1,-
Ferit	Povolen do 5 %	
Cementit	nesmí být volně přítomen	
Hepropustnost	Vložené válce musejí být naprostě nepropustné při zkoušce tlakem po celé délce vložky 11-13 MPa po dobu 5 min. petrolejem.	

Poznámka: Pro odlitek vloženého válce platí ČSN 093131 včetně norem v ní uvedených.

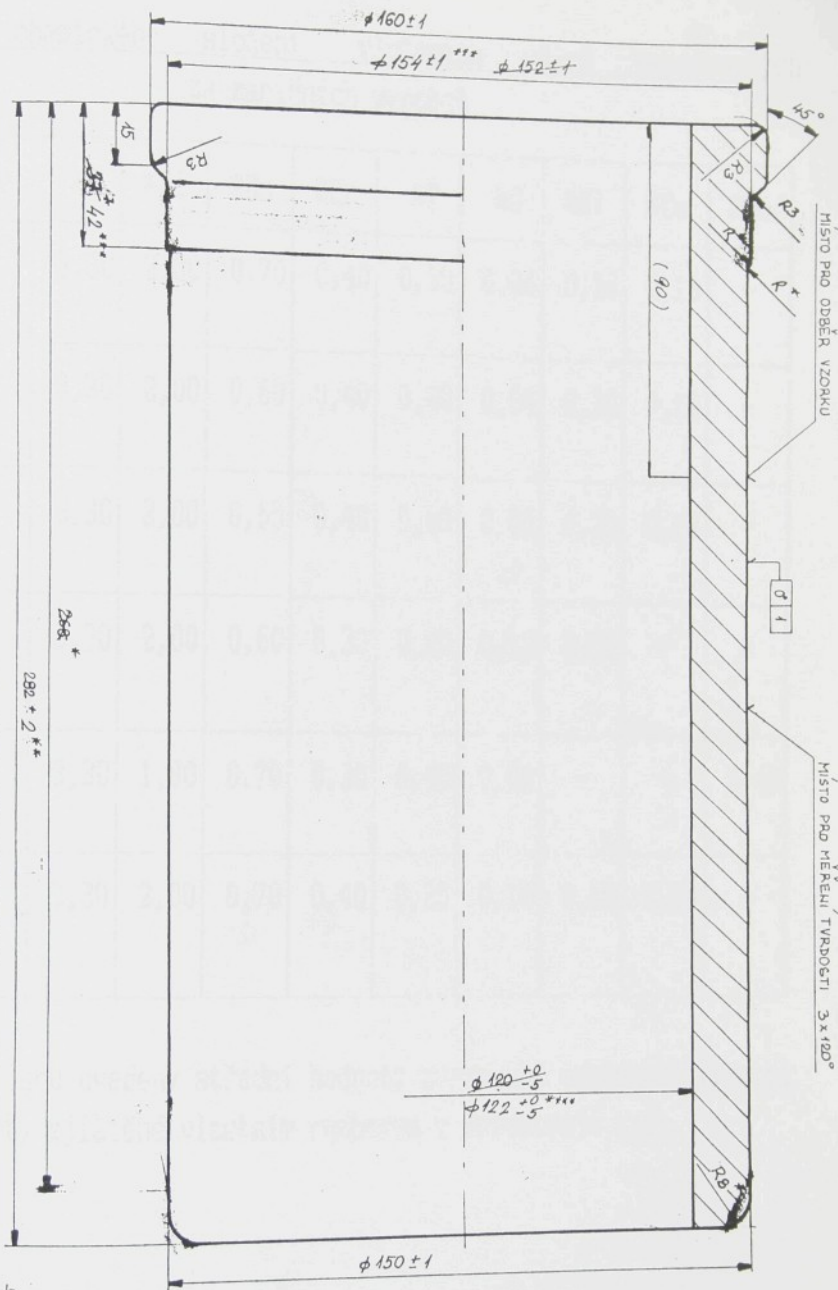
Soulas odběratele:

B. Z. Š. Šlepa

G. H.

D. datum:

AGROSTROJ JIČÍN
divize stěváren
technický oddíl
Likra, říjen 1961



PRO VLOZENÝ VALEC PLATÍ ČSN 09 3131 JOCETNĚ NOREM VNI UVEDENÝM
POVRCHOVÝM UPRAVYAT ZAVAROVÁNÍM
MATERIAŁOVÝM LIST JE SOUTĚŽNÍM TOHOTO VÝKRESU

STUPEN PRESTOÑI ČSN 04 4470-2
NEPROPUSTNOST ZARUŽENA
ΦΥΛΑΞΩΡ ΕΛΛΗΝΙΚΗ ΡΕ

ODSTŘEDEČNÍ LTO DO VÝSTELKY

1. Sept. 1995

Přehled chemického složení vložených válců renomovaných zahraničních výrobců

Výrobce	%C	%Si	%Mn	%Cr	%P	%S	%Ni	%Cu	%Mo
DAF	3,30	2,00	0,70	0,40	0,50	0,06	0,10	0,15	-
SCANIA	3,30	2,00	0,60	0,40	0,40	0,04	0,30	0,12	-
VOLVO	3,30	2,00	0,65	0,40	0,60	0,05	0,25	0,18	-
KOLBEN SCHMIDT	3,30	2,00	0,60	0,30	0,30	0,12	0,50	-	-
MERCEDES	3,30	1,80	0,70	0,30	0,40	0,08	-	-	0,40
JOHN DEERE	3,30	2,00	0,70	0,40	0,25	0,10	0,15	0,60	-

V tabulce jsou uvedeny střední hodnoty z rozsahu uvedených výrobců nebo hodnoty zjištěné vlastním rozborem v Agrostroji a.s.

Hodnocení metalografické struktury vložených válců vybraných zahraničních výrobců

Výrobce	Grafit	Ferit	Steadit	Perlit	Buňek
JOHN DEERE	I A,B m.E A:B 50:50 4,5,6	Fe0	Fv 2000 F1,2,Fr2,3 Fd 400	P1 Pd 0,3	348- 388
WIZEMANN	I A,B A:B 70:30 4,5,6	Fe0	Fv 2000 F1,Fr2,3 Fd 250,400	P1 Pd 0,3	428- 468
PLEUCO	I B,A,m.D,E B:A 60:40 5,6,7	Fe0	Fv 2000,6000 F1,2,Fr2,3 Fd 250	P1 Pd 0,3	972- 1012
VANDERVELL	I A,B A:B 60:40 4,5,6	Fe4	Fv 2000,6000 F2,Fr2,3 Fd 250,400	P1 Pd 0,3	908- 948

19.1.1996
Ing.B.Skrbek
96010206

**Vložené válce diesel.
motorů - materiály.**

LIAZ
10 - 233
Jablonec

Přehled je získán z literárních podkladů a vlastních rozborů LIAZ. Představuje období let 1980-1995. Všechny vložené válce jsou ze žedé liotiny!

Uživatel/dodavatel		Chemické složení v %								
ozn.	spec. leg.	C	Mn	Si	Cr	Ni	Cu	P	S	
	Mo									
Caterpillar	1	0,13 0,25	3,1 3,45	0,64 0,63	2,1 2,0	0,24 0,25	0,08 0,17	0,35 /	0,04 0,03	0,06 /
	V									
ELCO	2	0,08	3,2	0,58	2,1	0,3	0,16	/	0,5	0,09
	B									
STEYR	3	-	3,38	0,6	1,81	0,29	0,34	/	0,65	0,06
	B									
NIPPON A	4	0,05	3	0,5	1,5	-	-	-	0,2	0,12
PISTON LTD		0,1	3,7	1	2,5				0,5	MAX.
	B	-	2,9 3,5	0,5 1	1,2 2,2	-	-	0,2 0,5	0,1 0,5	"
Detroit D	5		3,4	0,5	1,9	0,3	0,15	0,6	0,05	0,07
VOLVO		-	3,22	0,72	2,32	0,74	0,33	/	0,25	0,05
	Mo									
SCANIA OS14	6	0,12	3,1	0,58	2,36	0,67	-	/	0,76	0,03
	7									
GEHRING		-	3,39	0,73	1,8	0,23	0,11	/	0,22	0,03
	8									
PLEUCO	9	-	3,2 3,5	0,6 0,8	1,8 2,2	0,15 0,4	-	-	0,4 0,6	0,1 MAX.
	10	-	3 3,5	0,6 0,9	1,6 2,4	0,25 0,5	0,2 0,4	0,1	0,3 0,5	0,08 MAX.

.... neanalyzováno
V...vodní povrch

.... ve stopovém množství
P...pístový povrch

Ozn. uživatele	Struktura				tvrdost
	Grafit		matrice	úprava	
1	G1A velikost 4,5 (max.250um) (Cr vrstva někdy)	P...Mart.bainit	Kal.povrch	47-49HRc	
		V...perlit	litý stav	230-250HB	
2	G1A "	5-7 perlit, steadit	"	244HB	

		(max. 120um)				
3 4A	G1A " " G1A 4, 5	4,5	perlit,<5%F,Stead. PERLIT,STADIT	" CEMENTIT	LIT. STAV	211-224HB 93-103Hrb Rm>270MPa 183-235HB
4B	"		"	"		
5	G1A,B 4,5		martenzit,bainit	celokaleno		393-404HB
6	G1(IV)A,B, 4(5)		perlit,steadit	lit.stav		272-285HB
7	G1A, max.70um,6		perlit,stadit	lit.stav		262-292HB
8	G1A,C 3-5		PERLIT.	"		234-260HB
9	G1A,B 4-6		P100,<5%F,STEADIT	"		220-260HB 220-260Rm Eo=105GPa
LAYSTALL	G1A 5		P100 STEDIT	"		244-260HB
10	G1A,B,C 4,5 (3)		P100 F<5 STEADIT	"		220-260HB

Komentář

Až na vyjimku jsou citované vložené válce strukturou zaměřeny na max. odolnost proti opotřebení (případně proti kavitaci) a jen nepřímo proti korozi (jemným grafitem). Vždy se používá šedá litina.

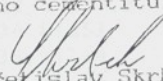
V zásadě existují dva směry jak toho lze dosáhnout. Mater.válčů 2,3,4 a 7 dále 9,10 vlivem vysokého obsahu P krystalizují s tvrdou sítí tvrdého, ale křehkého fosfidického eutektuika při 100% obsahu perlitu - nosné kostry proti opotřebení.

Mater. válčů 1, 5, řeší odolnost kalením litiny s nízkým obsahem P.

Válce 6,8 mají střední obsah P a nekalí se. Válec 8 má asi proto nejnižší odolnost k opotřebení. VOLVO (6) řeší odolnost vysokým obsahem karbidotvorného Cr.

Japonci (4) řeší opotřebení velmi úsporným legováním (B) při zvýšeném obsahu P (4A), nebo (Cu) při sníženém obsahu C a Si a tím s podílem volného tvrdého cementitu ve struktuře.

Vypracoval


Ing. Břetislav Skrbek, CSc.

3. 4. 1996
Ing.B.Skrbek
z,č, 96040515

Sedla ventilů výf. - opotřeběna

ŠKODA LIAZ
10 - 223
Jablonec n. N.

Předmětem této zprávy jsou sedla ventilů výfuková z plynového motoru "B" M636 M1.2B č.LA1 5001 646s různým stupněm opotřebení sedlové ventilové plochy.

Cílem materiálového šetření je nalézt případné souvislosti kvality materiálu a opotřebení.

1. Předpis

Výkres 442 1 1215 011

model M1707

Materiál: legovaná šedá litina BX, tvrdost HRC 33-44.

C	Si	Mn	P	S	Cr	Ni+Cu	Mo
3,5/3,9	2,2/3,5	0,5/0,8	0,3/0,6	<0,08	1,1/1,6	<0,35	1,1/1,6

2. Výsledky

Dvě výfuková sedla z 1. a 5. válce jsou opotřebena značně, ale sedla 2. a 6. méně. Propad B sedel měřen na jejich řezech.

2.1. Popis opotřebení.

Řezy sedly předkládá obr.1 . Na rozměrech A,B, C v mm specifikuj velikost opotřebení:

tab.1.	sedlo	A	B	C	celk.výška	
					sedla	
	1	2,1	4,5	0,85		11,1
	2	0,46	0,86	4,17		11,1
	5	0,96	2,25	2,78		11
	6	0,3	0,64	4,52		11,1

Sedlové plochy:

- 1 - lesklá s reliéfem eutektických buněk struktury litiny
- 2 - hladká se soustřednými ryskami a místními mělkými otlaky
- 5 - lesklá se slabým reliéfem EB
- 6 - lesklý povrch je modulován jemným zvlněním

Vně sedlových ploch se opět usadily "keramické" nánosy splodin spalovacího procesu.

2.2. Mechanické vlastnosti

Tvrdoost HB2,5/187,5 měřena na řezu sedla a HRC na čelní dosedací ploše. Modul pružnosti Eo změřen ultrazvukem .

	.HB	HRC				Eo GPa	Grafit	matrice
		ϕ						
1	341	33	30,8	28,5	30,8	130,9	G1A5	Fr3,Fv12000,FO
2	365	34	34	36,5	34,8	151	G1A5	Fr3,Fv20000,FO
5	322	30,8	35	36	33,9	144	"	"
6	325	28,5	37,3	36,2	34	156,7	"	"

Závěr

Sledovaná sedla (mater.BX) ventilů strukturou a hodnotami tvrdosti, až na sedlo 1 vyhovují materiálovým předpisům. Opotřebení sedla 1 je nejvýraznější. Číselně vyjádřená souvislost mezi velikostí propadu sedel (A) a materiálovými parametry matrice (HRC) a grafitu (Eo) je u měřených sedel velice těsná.

$$A = 7,62 - 1,3675 \times HRC \times Eo \times 10^{-3} \text{ mm} \quad K = -0,9995!$$

Například pro nulově opotřebení $A=0$ by při platnosti uvedeného vztahu stačilo montovat sedla s tvrdostí $HRc>37$ při $Eo=150\text{GPa}$. Souvislost mezi opotřebením sedel BX a parametry materiálu doporučují proto ověřit na více plynových motorech.

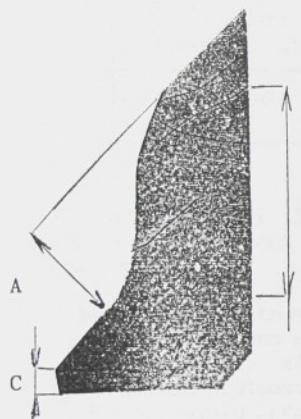
Podobně jako v předešlých případech (zprávy 951208, 96020115) byly pozorovány vně sedlových ploch abrazivní úsady splodin, které patrně opotřebení působí.
Doporučuji zadat fázovou a chemickou analýzu těchto splodin, aby jsme mohli opotřebení ovlivnit přímo.

Vypracoval

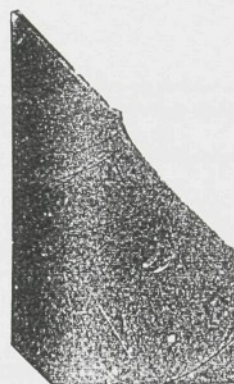
Ing. Břetislav Skrbek, CSc.

1

2



B



5

Obr.1. Profily sedel v řezech.

6



ŠKODA LIAZ 10-223 Ing. B. Skrbek, CSc. 96040515 zadal p. Houska zkušebna

04.12.1996 Ing.B.Skrbek zpr.96120315	Sedla ventilů pro plynové motory BY-nález	ŠKODA LIAZ 12 - 230 Jablonec n.N.
--	---	---

Úvod

Předmětem kontrolního materiálového nálezu jsou sedla ventilů odlitá z materiálu BY pro plynové motory ŠKODA LIAZ v Buzuluk Komárov a.s. 16. 10. 1996.

Provedl jsem měření tvrdosti HRc a modulu pružnosti Eo po obvodu sedel a hodnocení struktury ve vybraných řezech.

Sedla byla hodnocena jednak v litém stavu (ozn.1 a 2) a pak po zušlechtění (ozn.3 a 4).

2. Předpis

Dle předpisu KOMA 42 0072 platí pro litinu BY:

stav	tvrdost	struktura
------	---------	-----------

litý	33 - 48	G1A mírně přechlazený, martenzit, bainit až sorbit karbidy rovnoměrně rozloženy v síťoví
TZ	31 - 40	"

Hodnoty tvrdosti jsou shodné s materiálem BX (materiál pro běžnou výrobu motorů ŠKODA LIAZ), od kterého se liší BY jen chemickým složením.

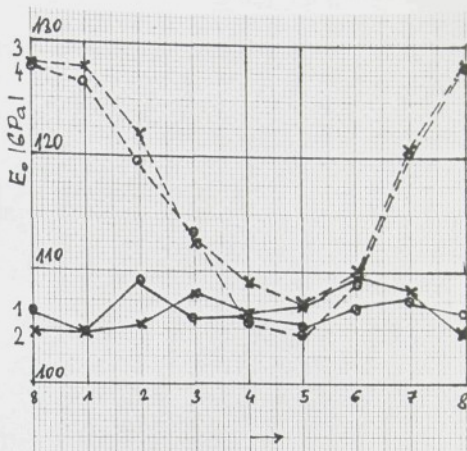
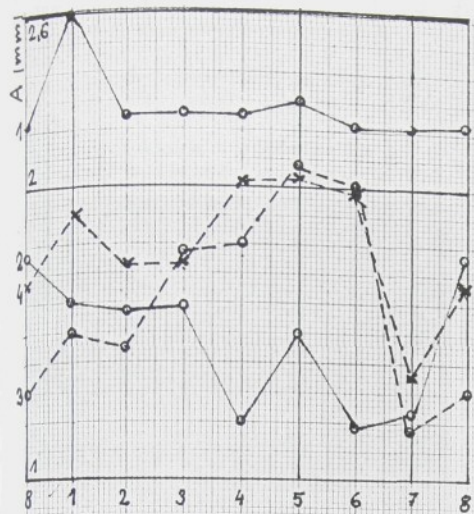
3. Mechanické vlastnosti

Měření prováděno na osmi místech obvodu odliatu ve směru hodinových ručiček. 1. měření odpovídá vtoku. Průběhy veličin tvrdosti HRc, modulu pružnosti Eo a hodnoty A charakterizující opotřebení litiny ve smyslu zprávy 96040515 jsou vyneseny do grafů na obr. 1-3. Eo měřen ultrazvukem - nezávisle dvěma UZ tloušťkoměry. Do výpočtu uvedena střední hodnota obou měření jednoho průřezu sedla.

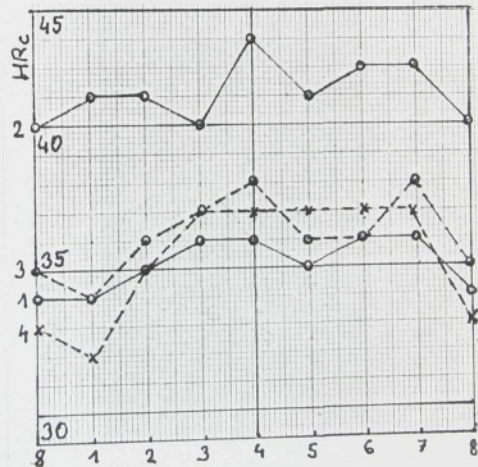
Tabulka uvádí statistiku výsledků:

sedlo	HRc				Eo GPa				A mm				litý stav
	Σ	s	min	max	Σ	s	min	max	Σ	s	min	max	
1. sací	36,5	0,8	35	37	106,55	1,4	104,8	109,2	2,31	0,13	2,13	2,6	
2. výf.	42,3	1	41	44	106,8	1,9	104,5	109,6	1,45	0,22	1,18	1,76	
3. výf.	37,2	1,4	35	39	117,3	8,5	107,3	128,2	1,66	0,36	1,3	2,19	
4. výf.	36,6	2,1	33	38	115,9	9	104,4	128	1,83	0,27	1,36	2,19	TZ

Obr. 1. Průběh parametru A zahrnujícího veličiny E_0 a tvrdost HRC po obvodu sedel.



Obr. 2. Průběh modulu pružn. E_0 .

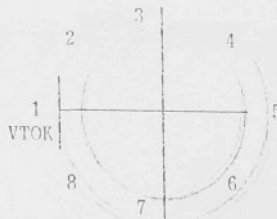
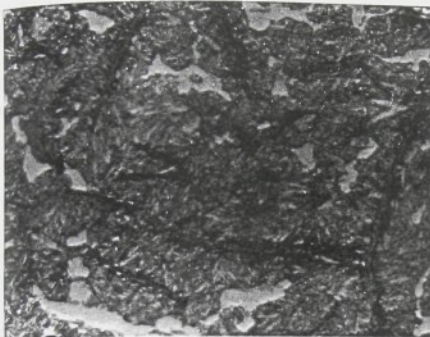


Obr. 3. Tvrdost na sedlech 1-4.

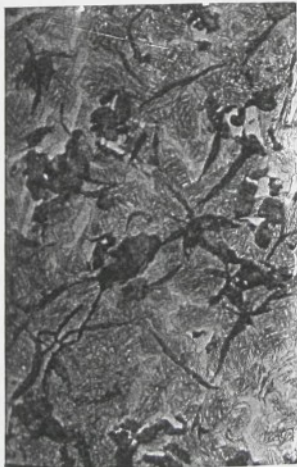
4. Struktura

K rozboru struktury jsem odebral 4 vzorky :

sedlo	1	2	3	4	Řez 1-1 odpovídá materiálu s největším předpokládaným oplotěbením z 4 zkoumaných sedel.
místo	1	3	1	5	- třebením z 4 zkoumaných sedel.
Řez 3-1 a 3-5	přísluší velkému rozdílu vlastností na jednom sedle, že sedlo 4 nebyl výběr učiněn. Struktury matric dokumentují obr.4-6.				
Obr.4. Struktura v jádře sedla 1 v místě 1 (řez 1-1). 400zv. NITAL.					Místa měření na sedlech:



1 - 1 Strukturu tvoří poměrně hrubý lupínkový grafit G1A4 a matrice z jemného lamelárního perlitu Pd0,5, ojedinělých zrn bainitu (5%) a pole mezidendritických karbidů (10-15%, bez výraznějšího síťového).



Obr.5. Struktura sedla 2 v místě 3. Obr.6. Struktura sedla 3 místa 5.
zv.400x NITAL.

2 - 3 Povrch G1 a 2 lupínkový o velikosti 5/6
Jádro G1A4.

Matrice-sloupcovitý bainit a zrna perlitu (25%), karbidy v jemných útvarech bez výrazného síťoví (6-10%).

3 - 1 Matrice je sorbitická; karbidy tvoří nevýrazné síťoví.
Povrch - přechlaz. grafit.

Jádro - grafit lupínkový a pavoučkovitý (G1,2) vel. 5/4.
Na řezu je dutina 0,56x0,85mm a v ose ostře ohrazený členitý vnitřek 1,12x1,22mm. Jejich tvar a polohu dává obr.7.:

Vměstek je obklopen pory a
tvoří ho lupínkový grafit G1A4
v tříšložkové světlé matrici o
trdosti 125-155 HV5 (sorbit v
okolí 310-320HV5).

3 - 5 Řez je bez vad. Větší
podíl mezidendritických karbidů.
Sorbit, grafit shodný s 3 - 1.

5. Shrnutí

Všechna sledovaná sedla vyhoví
širokým tolerancím mech. vlastností
příslušného materiálu nejen v středních ale i v
extrémních hodnotách.

V litém stavu vlivem rozdílných
podmínek ochlazování po odliště se mohou jednotlivá sedla výrazně lišit
v matrici, při shodném typu grafita,
který je méně teplotně stabilní
jak perlit. Nízké hodnoty Eo sedel
v litém stavu souvisí i s vysokou
hladinou jejich vnitřních pnutí.

Tepelné zpracování sice sjednotí
matrice a potlačí hladinu pnutí
(nárušt. hodnot Eo), avšak rozdíly
v hmotnosti jednotlivých průřezů je-
doch sedla mohou být značné! Pro
znázornění hodnoty Eo běžných
jako šedé litiny:

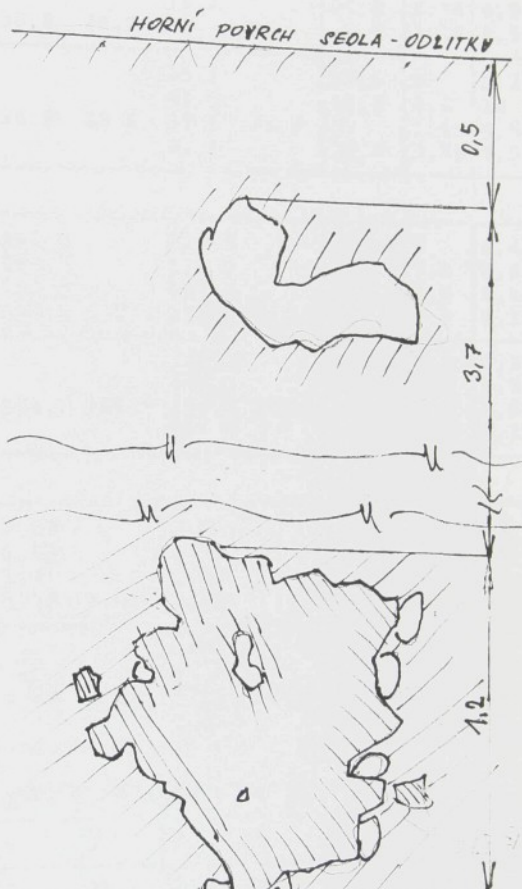
CSN 42 2415	97 GPa
42 2420	110
42 2425	125
42 2430	144

Souvislost hodnot Eo resp. jejich
rozdílů se stabilitou či životností
sedel v motoru nebyla zatím zkoumá-
na.

Nepřípustný je výskyt dutin,
 které obrovstěním vystoupí na povrch
 a makroměstsků, jako v případě sedla
 obr.3. Vměstek je patrně nerozpuštěná
 metalurgická přísada. Jejich odhad-
 ní bylo možné RTG prozářením
 nebo mechanizovanou UV kontrolou.

Wpracoval

Ing. Břetislav Skrbek, CSc.



Sedla BY před montáží

Ozn.	HRC								X	S	V%
	1	2	3	4	5	6	7	8			
1V	40,3			38,9			35,2		38,1	2,6	6,8
2V	37			32,8			37,6		35,8	2,6	7,2
3V	33,6			37			36,1		35,6	1,76	4,9
4V	37	32,5	37,5	37	36,8	36,2	34	35	35,8	1,76	4,9
1S	37,5			39,5			35,5		37,5	2	5,3
2S	34			42,5			41,5		39,3	4,6	12
3S	36,3	36,5	33,6	38	38,5	38,8	37,5	36,8	37	1,65	4,5
4S	35,5			42,2			41,8		39,8	3,76	9,5
Eo GPa											
1V	108,7		109,5		119,2		115,3		113,2	5	4,4
2V	122,7		125,6		108,9		113,7		117,7	7,8	6,6
3V	122,7		115,3		112,9		112,4		115,8	4,8	4,1
4V	117,4	112,4	114,2	116,1	117,2	127,7	131,8	127,7	120,6	7,3	6,1
1S			124				110,8		117,4	9,3	7,9
2S			116,3				107,1		111,7	6,5	5,8
3S	105,5	111,4	120,7	119,6	104,1	102,7	104,8	106,9	109,5	7,1	6,5
4S			108,4				107,6		108	0,6	0,1
A											
1V	1,63		1,795		1,28		2,06		1,69	0,33	19
2V	1,41		1,99		2,73		1,77		1,98	0,56	28
3V	1,98		1,79		1,4		1,58		1,69	0,25	15
4V	1,68	2,62	2,37	1,75	1,72	1,29	1,49		1,85	0,48	26
1S			1,09				1,94		1,52	0,6	39
2S			1,53				1,46		1,5	0,1	6,7
3S	2,38	2,06	2,07	1,4	2,14	2,17	2,25	2,24	2,09	0,3	14
4S			1,69				1,47		1,58	0,16	10

Sedla BX z různých let běžné výroby, L...odlitky, O...hotová

Výfuková	2	3	4	5	6	7	8	X	S	V	
HRC-											
095A	32,5	33	34,5	36,2	35,0	36,1	35,6	35,5	34,8	1,4	4
095B	40,2	40	39,8	36,8	34	35,5	37,8	38,8	37,9	2,3	6
096A	30,8	32,1	33,2	34,7	34,3	35,5	34	33	33,5	1,5	4,4
096B	34	35,5	37,2	36,8	37	36,5	37,5	35	36,5	0,9	2,5
L92A	37,5	40,6	41,2	43,7	44	43,3	44,2	42,5	41,7	2,5	6
L92B	39,8	41	41,1	44,1	43	43,5	42,8	39,2	41,4	1,7	4
L92C	40	42,8	41	43,5	42	42,2	40,1	39	41,3	1,6	3,8
Eo											

ŠKODA LIAZ 10-223 Ing.B.Skrbek,CSC. 96040515 zadal p.Houska zkušebna

095A	145,3	144,9	144,9	145,3	149	150,9	148,8	146,6	147	2,3	1,6
095B	141,2	143,8	143	142,2	145,3	145,3	143	140,7	143,1	1,7	1,2
096A	142,9	140,6	141,8	144,1	144,7	147,1	145,8	142,7	143,7	2,1	1,5
096B	152,8	155,7	152,6	151,3	152,6	152,2	155,3	156,7	153,7	2	1,3
L92A	156,1	160,7	157,8	158	157,1	158,2	160,3	164,2	159	2,6	1,6
L92B	154,7	152,5	157,6	153,3	151,9	148,1	154,7	156,6	153,7	3	1,9
L92C	141,4	141,6	139,9	137,5	136,5	137,6	137,6	139,2	138,9	1,9	1,4
A											
095A	1,16	1,08	0,78	0,43	0,49	0,18	0,38	0,5	0,625	0,35	
095B	-0,14	-0,25	-0,16	0,46	0,86	0,57	0,23	0,15	0,215	0,39	
096A	1,6	1,45	1,18	0,78	0,83	0,48	0,84	1,17	1,04	0,37	
096B	0,52	0,06	-0,14	0,006	-0,1	0,023	-0,34	0,12	0,02	0,25	
L92A	-0,38	-1,3	-1,27	-1,82	-1,83	-1,75	-2,06	-1,92	-1,54	0,55	
L92B	-0,8	-0,93	-1,24	-1,63	-1,31	-1,19	-1,43	-0,77	-1,16	0,31	
L92C	-0,11	-0,67	-0,22	-0,56	-0,21	-0,32	0,07	0,2	-0,23	0,29	

Sací

HRC											
095	47	45,8	36,8	41	45,6	47,5	48	45,8	44,7	3,8	8,6
092	37	37,1	37	36	35,8	34	32,6	34,5	35,5	1,6	4,5
096	30,8	35,5	36	36,8	37,1	37,2	37	35,2	35,7	2,1	5,9
L92A	49,5	50	48,8	49	50,5	49,1	49,8	48,5	49,4	0,7	1,4
L92B	40,8	41,5	45,8	44,8	45	47,2	43	43,2	43,9	2,2	5
L92C	35,5	37,3	40	46	41,2	40,8	38,8	33,8	39,2	3,8	9,6
EO-											
095	150,3	153	146,6	145	145	146	145,9	150,3	148,2	3	2
092	150,8	157	157,3	162	163,5	158,8	155,8	153,3	157,3	4,2	2,7
096	149,5	148,2	148,7	146,9	147,4	151,9	150	147,4	148,7	1,8	1,2
L92A	149,2	149,3	148,2	146	142,9	142	146,6	149,3	146,7	2,9	2
L92B	150,1	147,9	146,2	148,8	150,3	150,7	150,2	149,2	147,7	2	1,3
L92C	150,3	149,7	148,4	147,2	143,8	146,4	148,7	147,6	147,8	2	1,4
A											
095	-2,04	-1,96	0,24	-0,51	-1,42	-1,86	-1,96	-1,75	-1,4	0,83	
092	-0,01	-0,35	-0,34	-0,36	-0,38	0,24	0,68	0,39	-0,02	0,41	
096	1,32	0,43	0,3	0,23	0,14	-0,11	0,03	0,52	0,36	0,44	
L92A	-2,48	-2,6	-2,27	-2,16	-2,25	-1,91	-2,36	-2,28	-2,25	0,23	
L92B	-0,75	-0,77	-1,54	-1,5	-1,63	-2,11	-1,21	-1,19	-1,34	0,46	
L92C	0,32	-0,02	-0,5	-1,64	-0,48	-0,55	-0,27	0,8	-0,29	0,721	

Sedla po provozu

	1	2	3	4	5	6	7	8	x	s	v%
HRC											
96020115 BY											
saci	41	36,5	37,1	38,6	36	36	40	40,8	38,3	2,1	5,6
zlom	38,8	35,5							37,2	1,6	4,4
vyf.	41	39,8	38,7	38,8	34,8	33,5	34,8	38,8	37,5	2,6	6,8
951208	—19	436									
3V		48,3	48,2	49,5	48,8		48,8	49	48,8	0,5	1
6V	47,3		49	49,1	49,2	49,2	49	48,9	48,8	0,7	1,3
10V	50		49	48,7	49,1	49	49,5	49,8	49,3	0,5	1
96040515 BX											
1V	35	35,8	34,3	33,7	33,5	30,8	35,7	34,1	1,7	5	
2V	37,3	37,1	37	35,1	30,2	37,1	38,2	36	2,8	7,6	

ŠKODA LIAZ 10-223 Ing.B.Skrbek,CSc. 96040515 zadal p.Houska zkušebna

095A	145, 3	144, 9	144, 9	145, 3	149	150, 9	148, 8	146, 6	147	2, 3	1, 6
095B	141, 2	143, 8	143	142, 2	145, 3	145, 3	143	140, 7	143, 1	1, 7	1, 2
096A	142, 9	140, 6	141, 8	144, 1	144, 7	147, 1	145, 8	142, 7	143, 7	2, 1	1, 5
096B	152, 8	155, 7	152, 6	151, 3	152, 6	152, 2	155, 3	156, 7	153, 7	2	1, 3
L92A	156, 1	160, 7	157, 8	158	157, 1	158, 2	160, 3	164, 2	159	2, 6	1, 6
L92B	154, 7	152, 5	157, 6	153, 3	151, 9	148, 1	154, 7	156, 6	153, 7	3	1, 9
L92C	141, 4	141, 6	139, 9	137, 5	136, 5	137, 6	137, 6	139, 2	138, 9	1, 9	1, 4
A											
095A	1, 16	1, 08	0, 78	0, 43	0, 49	0, 18	0, 38	0, 5	0, 625	0, 35	
095B	-0, 14	-0, 25	-0, 16	0, 46	0, 86	0, 57	0, 23	0, 15	0, 215	0, 39	
096A	1, 6	1, 45	1, 18	0, 78	0, 83	0, 48	0, 84	1, 17	1, 04	0, 37	
096B	0, 52	0, 06	-0, 14	0, 006	-0, 1	0, 023	-0, 34	0, 12	0, 02	0, 25	
L92A	-0, 38	-1, 3	-1, 27	-1, 82	-1, 83	-1, 75	-2, 06	-1, 92	-1, 54	0, 55	
L92B	-0, 8	-0, 93	-1, 24	-1, 63	-1, 31	-1, 19	-1, 43	-0, 77	-1, 16	0, 31	
L92C	-0, 11	-0, 67	-0, 22	-0, 56	-0, 21	-0, 32	0, 07	0, 2	-0, 23	0, 29	

Saci

HRC											
095	47	45, 8	36, 8	41	45, 6	47, 5	48	45, 8	44, 7	3, 8	8, 6
092	37	37, 1	37	36	35, 8	34	32, 6	34, 5	35, 5	1, 6	4, 5
096	30, 8	35, 5	36	36, 8	37, 1	37, 2	37	35, 2	35, 7	2, 1	5, 9
L92A	49, 5	50	48, 8	49	50, 5	49, 1	49, 8	48, 5	49, 4	0, 7	1, 4
L92B	40, 8	41, 5	45, 8	44, 8	45	47, 2	43	43, 2	43, 9	2, 2	5
L92C	35, 5	37, 3	40	46	41, 2	40, 8	38, 8	33, 8	39, 2	3, 8	9, 6
EO											
095	150, 3	153	146, 6	145	145	146	145, 9	150, 3	148, 2	3	2
092	150, 8	157	157, 3	162	163, 5	158, 8	155, 8	153, 3	157, 3	4, 2	2, 7
096	149, 5	148, 2	148, 7	146, 9	147, 4	151, 9	150	147, 4	148, 7	1, 8	1, 2
L92A	149, 2	149, 3	148, 2	146	142, 9	142	146, 6	149, 3	146, 7	2, 9	2
L92B	150, 1	147, 9	146, 2	148, 8	150, 3	150, 7	150, 2	149, 2	147, 7	2	1, 3
L92C	150, 3	149, 7	148, 4	147, 2	143, 8	146, 4	148, 7	147, 6	147, 8	2	1, 4
A											
095	-2, 04	-1, 96	0, 24	-0, 51	-1, 42	-1, 86	-1, 96	-1, 75	-1, 4	0, 83	
092	-0, 01	-0, 35	-0, 34	-0, 36	-0, 38	0, 24	0, 68	0, 39	-0, 02	0, 41	
096	1, 32	0, 43	0, 3	0, 23	0, 14	-0, 11	0, 03	0, 52	0, 36	0, 44	
L92A	-2, 48	-2, 6	-2, 27	-2, 16	-2, 25	-1, 91	-2, 36	-2, 28	-2, 25	0, 23	
L92B	-0, 75	-0, 77	-1, 54	-1, 5	-1, 63	-2, 11	-1, 21	-1, 19	-1, 34	0, 46	
L92C	0, 32	-0, 02	-0, 5	-1, 64	-0, 48	-0, 55	-0, 27	0, 8	-0, 29	0, 721	

Seda po provozu											
	1	2	3	4	5	6	7	8	x	s	v%
HRC											
96020115 BY											
saci	41	36, 5	37, 1	38, 6	36	36	40	40, 8	38, 3	2, 1	5, 6
zlom	38, 8	35, 5	38, 7	38, 8	34, 8	33, 5	34, 8	38, 8	37, 2	1, 6	4, 4
wyf.	41	39, 8							37, 5	2, 6	6, 8
951208	—	19 436									
3V		48, 3	48, 2	49, 5	48, 8		48, 8	49	48, 8	0, 5	1
6V	47, 3		49	49, 1	49, 2	49, 2	49	48, 9	48, 8	0, 7	1, 3
10V	50		49	48, 7	49, 1	49	49, 5	49, 8	49, 3	0, 5	1
96040515 BX											
IV	35	35, 8	34, 3	33, 7	33, 5	30, 8	35, 7	34, 1	1, 7	5	
2V	37, 3	37, 1	37	35, 1	30, 2	37, 1	38, 2	36	2, 8	7, 6	

ŠKODA LIAZ 10-223 Ing.B.Skrbek,CSC.96040515 zadal p.Houska zkušebna

5V	32,8	33,	33,2	35,7	36,7	35,7	36,7	34,8	1,8	5,1
6V	35,2	36,7	38,5	38	39	38,5	38,8	37,8	1,4	3,7
<hr/>										
80	BY GPa									
saci	106.6	106.4	113.4	125	126.9	128.9	116.1	112.3	117	8.4 0.7
zлом	110	110							110	- -
výf.		109.1	119.1	127.3	127.3	129.4		133	124.2	7.9 0.6
	19	436								
3V	206		211		208.5		207.3	207.3	1	0.05
6V	208.5		208.6		208.5		209.6	208.8	0.5	0.02
10V	205.4		204.3		207.8		208.4	206.5	1.7	0.08
<hr/>										
1V	145.9	139.7	139.9	140.3	154.5	155.5	135.4	144.5	7.2	0.5
2V	140.7	145.7	147.3	141	149.7	145.7	147.3	145.5	3.2	0.22
5V	141.8	146	150.5	146.4	152.9	150.3	145.2	147.6	3.5	0.24
6V	147	148.2	147.4	148.3	147.6	149.6	151.9	148.6	1.6	0,1
<hr/>										
BY										
saci	1.64	2.31	1.87	1.02	1.37	1.27	1.27	1.35		
zлом	1.78	2.28								
výf.		1.68	1.32	0.87	1.56	1.69		0.56		
	190436									
3V		-6		-6.7				-6.3		
6V				-6.4		-6.4		-6.4		
10V				-6		-6.3		-6.6		
<hr/>										
BX										
1V	0.64	0.78	1.1	1.1	0.54	1.1	1			
2V	0.44	0.23	0.17	0.73	1.3	0.23	0			
5V	1.26	1.03	0.79	0.47	0	0.28	0.33			
6V	0.54	0.18	-0.14	-0.08	-0.25	-0.25	-0.44			

14.01.1997 Ing. Skrbek zpr. 970103	Sedlo motoru pro plyn nový motor WAUKESHA - analýza	ŠKODA LIAZ 12 - 230 Jablonec n/N.
--	---	---

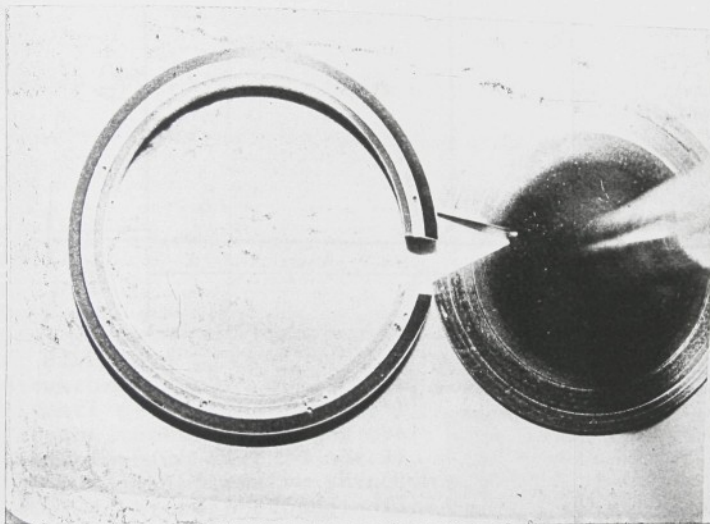
1. Úvod

Předmětem této zprávy je sedlo ventilů z motoru na plyn WAUKESHA (dále jej označuji jen V). Firma se specializuje na plynové motory. Z provedené analýzy materiálu odvozuji možný způsob výroby těchto sedel.

2. Výsledky

Před destrukcí sedla pro určení struktury a chemického složení jsem změřil jeho rozměry, tvrdost a rychlosť zvuku.
Výrobní znak na sedle 304010K.

Celkový pohled na sedlo a ventil po odběru vzorků je na obr.1.



2.1. Tvrdost a rychlosť zvuku

Měřena byla užší čelní plocha na osmi místech s počátkem u výrobního znaku - tab.1:

Místo	1	2	3	4	5	6	7	8	průměr
v _L m/s	6196	6274	6212	6080	6110	6214	6193	6196	6184±61
HRc	39	39	39,5	38,5	38,5	38	39	39	38,8±0,5

Ocel standartní v_L=5930 m/s.

2.2. Chemické složení

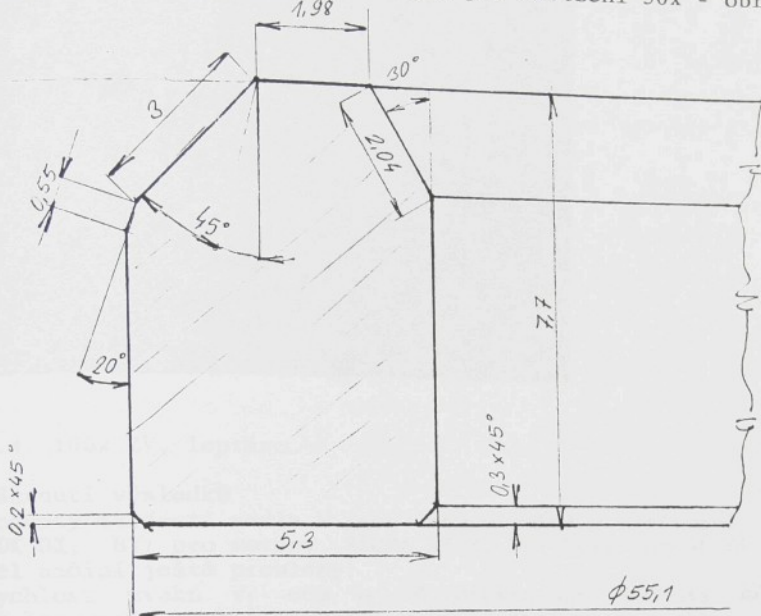
Analýza provedena na kvantometru ve Slévárně Liberec - tab.2:										
% C	Si	Mn	P	S	Cr	Ni	Mo	Ti	V	
1,665	0,608	0,383	0,035	0,04	3,48	0,44	5,65	1*	1,6	2,6

ŠKODA LIAZ Ing. B. Skrbek, CSc, 97010315 zadal Ing. K. Havlík

As	Sb	Sn	Cu	Mg	Al	Pb	Bi	Fe
0,123	0,58	0,226	0,091	0,017	0,054	0,096	0,028	93,73
...jen kvalitativní analýza.								

2.3. Rozměry

Stanoveny na řezu pod mikroskopem při zvětšení 50x - obr. 2.:



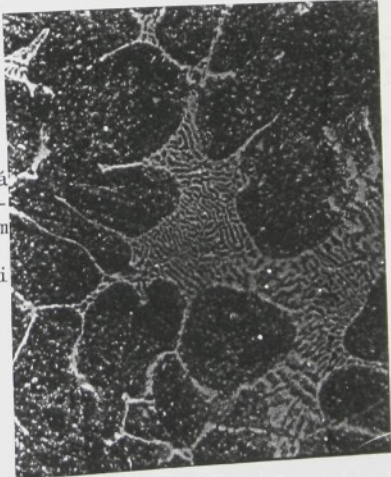
2.4. Struktura

Strukturu tvoří oblá zrna popuštěné struktury (sorbitu) o velikosti 6-7 (jemné "zrnění") obklopená tenkou souvislou obálkou komplexních karbirů (obr. 3).

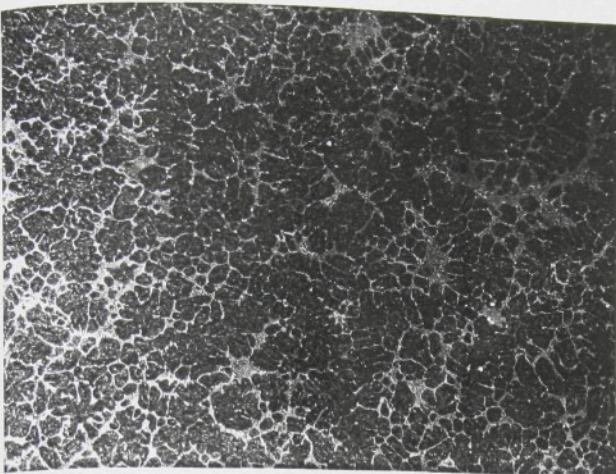
Zrna jsou vyloučena ve shlučích o vel. 3-4, které obklopují silná nepravidelná pole komplexních eutektických karbidů (obr. 4).

Karbidy netvoří jednotlivá ostrohranná zrna jak to bývá zvykem u legovaných ocelí s podobným obsahem uhlíku.

Karbidy mají lamelární morfologii.



Obr. 3. 1000xZV, leptáno.



Obr.4. 100x ZV, leptáno.

3. Shrnutí výsledků

Hodnoty tvrdosti sedla V jsou srovnatelné s tvrdostmi sedel BU-ZULUK BX, BY1 pro motory ŠKODA LIAZ. Třískové obrábění takových sedel nečiní ještě problémy.

Rychlosť zvuku v_L cca o 5% překračuje hodnoty běžné pro nízkolegované oceli. Při vyšší měrné hmotnosti pak lze předpokládat i výrazně vyšší hodnotu modulu pružnosti E_0 materiálu sedel V ($E_0 > 240 \text{ GPa}$). Sedla LIAZ z mater. BX mají E_0 asi 140GPa a BY jen do 120GPa.

Poďle chemického složení materiál V se blíží komplexně legované nadeutektoidní oceli. Důraz není dáván na velmi vysoký obsah Cr (jako u ocelí POLDI 2002 ap.), jak se původně očekávalo, ale na vyšší obsahy standartních karbidotvorných legúr Mo, Cr, V, Ti a W. Zcela nekonvenční legování kovy As, Sb, Sn. Jde o komplex prvků se stabilizačními účinky na strukturu.

Struktura odpovídá litému stavu. Při tuhnutí se však nevytvorila vlivem pomalého ochlazování dendritická a jehlicovitá struktura orientovaná směrem toku tepla, nýbrž neorientovaná mozaika oblých zrn matrice se souvislou karbidickou obálkou. Takový tvar struktury se chová příznivě z hlediska adhezního opotřebení vůči protikusu - sedlové ploše ventilu.

Lití bylo provedeno do předehráté formy. Přitom dosažená vysoká jemnozrnnost a tvar struktury mohl být podporován očkováním.

Konečná struktura byla získána zušlechtěním. Kalení v proužicím vzduchu, popouštěcí teplotu a dobu by bylo nutno stanovit experimentálně.

Vhodná je metoda přesného lití na vytavitevní model. Pro ověření materiálu není nutné dodržení přesných rozměrů, ale odlití do předehráté keramické formy ($T \text{ cca } 900^\circ\text{C}$) a obstarání surovin.

Vypracoval

Ing. Bratišlav Skrbek, CSc.

ŠKODA LIAZ Ing. B. Skrbek, CSc, 97010315 zadal Ing. K. Havlín

Jablonec	Oběžná kola	LIAZ 10-290
	002 a 005	Ing.B.Skrbek,CSc.
11.10.93	mater.- zkoušky	01 10 93

1. Úvod

V současnosti probíhá změnové řízení NZ 01 0632/93 k oběžným kolům vodních čerpadel 1 1216 002 a 005. Cílem NZ je, aby materiál byl jednotný a skutečně odpovídal jakosti litiny ČSN 42 2420 při dostatečné obrobitevnosti.

Výkres 1216 002 z r.1968 vlastně povoluje mat.ČSN 42 2410 a 15. Tj. max tvrdost 180HB. Přitom kontrolu na kuželi náboje nelze udělat. Výkres 1216 005 předepisuje na náboji 180 až 240 HB, což odpovídá jakosti 42 2420 až 25. Tvar náboje kontrolu umožňuje.

Cílem této zprávy je posouzení jakosti odlitků ob. kol ze sléváren Stráž a Cinobaňa, které byly v srpnu v LIAZ 01. Byla ověřena možnost tep. zprac. těchto kol. Byly upřesněny podmínky pro dosažení vyhovujících vlastností šedé litiny.

2.0. Materiál a zp. měření

Všechna kola byla změřena tvrdoměrem a ultrazvukem pro výpočty Eo a Rm - viz. zprávy 93-28.

Tabulka 1 vlastnosti šedé litiny

Tl. stěny L mm		4-8	8-15	15-30	
	Eo GPa	97,3	93,8	88,9	
42 2410	HB	150-210	130-190	120-180	
	min. Rm MPa	150	130	100	
	Eo GPa	110	106	97,3	
42 2415	HB	170-230	150-210	140-200	
	min. Rm MPa	200	180	150	
	Eo GPa	125	119,8	110	
42 2420	HB	200-260	180-240	160-220	
	min. Rm MPa	250	230	200	

D

N

Hodnoty Eo jsou orientační, nebot ve spojení s hodnotami HB

musí zaručit Rm. Tedy odlitek s dolní mezní tvrdostí musí mít vysokou tuhost-vysoký modul pružnosti E_0 a naopak.

2.1. Odlitky zhotovené a v litém stavu

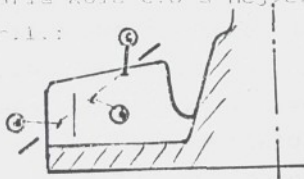
Měřeno 12.8.93. Namátkový výběr z beden. Zbytek odl.v září.
1.1.1. Odlitky M1674 ze Straže

Dávka cca 1500ks odl. 002 - výsledky jsou v tab. 2

0ZN.odl.	1	2	3	4	5	6	7	8	9	10
Náboj	—									
Eo GPa	83,9	85,2	112,8	79	106,6	116,1	87,7	89,1	115,9	127
Deska	—									
Eo GPa	84,3	82,4	102,4	87,2	96,5	108,7	84,1	95	106	122
Rm MPa	135	138	201	151	180	215	151	163	195	255
HB	164	175	207	180	195	207	187	167	182	218
L mm	6,5	5,9	5,7	5,8	5,6	5,8	5,8	6	6,1	5,9

Vnější ostře ukončený lopatek mělo v partii při vtokích vždy menší nebo větší závalemovitou studenou spoj.

Holografie kola d.o. s největší řadou na základu na řezu
lepatickou obr. 1.:



- a) ledeburit do hl.1mm 50%,40%FERITU,bodový grafit.Studený spoj rozděluje oblast s 25 a 55%perlitu spojitě, dvě bublinky 0,25mm 0,3mm pod povrchem.
 - b) GIA6, P vrstva 0,1mm,jádro 70%F,perlitP po hranicích eut. bunek s bodovým grafitem D,E.
 - c) hřava lopatky neobsahuje cementit.

Kolo 10 vybráno později - vráceno z LIAZ V.Krtiš kvůli nedostatečné pevnosti - cementit převážně i v hlavě lopatek.

odstíky pak byly vyzářeny ve vozové peci 23.9.93-tab.3:

13	5,5	105,9	182	184	217	190	21,2	118,1
14	5,4	94,2	157	211	195	149	21,1	94,8

Žíháním došlo k snížení Rm asi o 30MPa.

2.1.2. Slevárná Cinobaňa-kola M3880

Dodavka cca 800ks. z LIAZ Krtíš, údajně se záklalkami a kolo tříhaná s pomalým ochl. v peci. Výchozí stav-tab.4:

Kolo	cze.	C1	C2	C3	C4	
RÁBOJ	HB	146	155	173	198	
	Eo GPa	80,2	78,9	86,1	93,9	
	Rm MPa	117	120	144	174	
DESKA	HB	168	157	173	224	
	L mm	5,75	5,85	6,6	5,8	
	Eo GPa	127,4	108,5	110,3	121	
	Rm MPa	218	169	192	258	

Hodnoty Eo a Rm je třeba upřesnit skutečnými hodnotami z pevnostních zkoušek na zkušebních tyčích pro litinu sl.Cinobaňa. Kolo C4 má v hlavách lopatek záklalky.

Po žíhání v kalibrně LIAZ01 v šachtových pecích vytaženy přípravky s koly na teplotu dílny. Tab.5: Kola C01,02 jsou ohrubována. Tímto žíháním se snížila Rm jen o asi 30MPa.

Kolo		C1	C2	C3	C4	C01	C02
R	HB10/3000	165	135	131	170	135	138
	Eo GPa	77,1	76,7	77,3	90,7	80	92,2
	Rm MPa	120,3	105	103	151	108	148
D	L mm	5,5	5,5	6,2	4,9	3,4	2,4
	HB5/750	168	158	173	198	145	180
	Eo GPa	127,4	108,5	110,3	121	92,2†	72,5†
	Rm MPa	182	159	159	222	137	-

+...litina rozrušena trhilinami. Deska kola C01 jednou magistrální a C02 celým vejírem mezi každou lopatkou obr.3

Statist. kontrola 21 odlitků-tab.6:

místo	N	D					
Vlastnost	HB10/3000 Eo GPa	L mm	Eo GPa	Rm MPa	HBS/750		
průměr X	155	79,2	5,17	99,2	164	166	
sm.od. s	18,4	8,3	0,44	14,9	36,6	25,2	
max.	192	97	6,2	126,7	231	222	
min.	131	65	4,4	62	90	138	

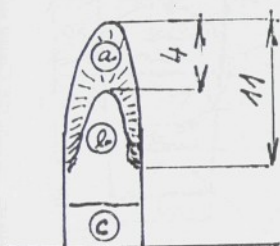
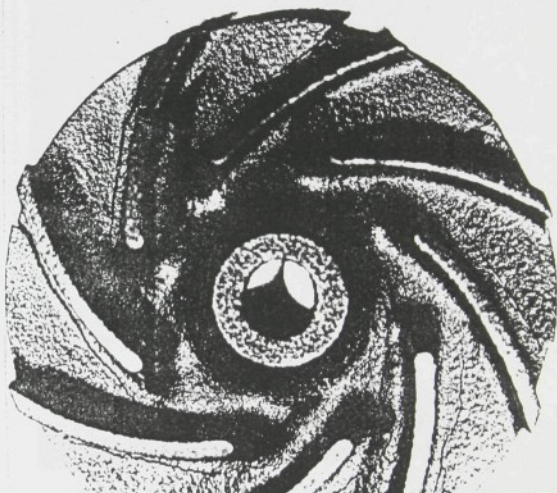


Diagram kola 10-
poz. u kola C4.



Obr.3 Kolo M3880 č.002 po
zpracování.

Ve srovnání s odlity 002 ze stráže, kde deska je $XL=5,8\text{mm}$
 $s=0,28\text{mm}$ silná, mají odlitky Cinobana velký rozptyl tloušťky
desky.

Metalografie lopatky kola C4 dle obr.2.:

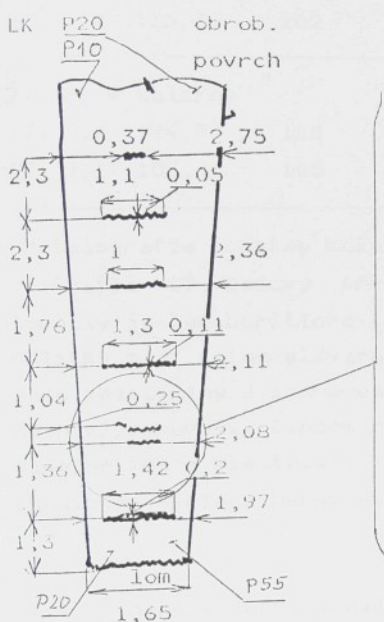
- a) GV-Temperovy, u povrchu velmi jemny, 30 až 70% cementitu, v okolí grafitu ferit
- b) GIA6-tvori síťoví EB, v kterých je grafit G bodový. Perlit vrstva 0,1mm a hranice EB-eutektických buněk. 70%feritu F
- c) GIAS(D,E) v patě.

Metalografie desky kola C02 dle obr.4:

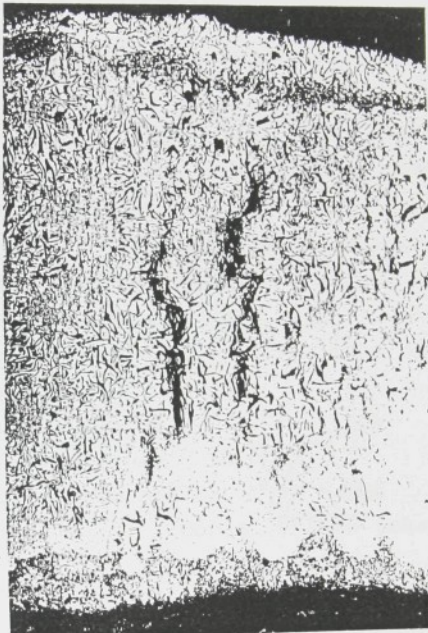
Ze strany obrob. povrchu vrstva 0,09mm perlitu a 0,096PS0+F50
vrstva chybí v místech bodového grafitu na povrchu. Jádro

tvoří GIA v růžicích, EB 0,2mm s bod. grafitem, hranice EB GIA6 max.100um v tlustší stěně až 230um dlouhé lupínky gr.Ze strany licí kůry vrstva 0,15mm s 70%. GI tenký smíšený. Rozložení perlitu- obr.4.

Polohu vnitřních trhlin ukazuje rovněž obr.4 v řezu A z obr.3. Na obr. 5 je trojité trhliny z obr.4



Obr.4 Geometrie vnitřních
trhlin desky kola CO2



Obr.5 Vnitřní trhliny trojité
ZV50X NITAL

Průběh lomové plochy se neorientuje k EB. Trhlinou uvolněná část desky B (obr.3) je vyhnuta k lopatkám.

Telefonicky nahlášené výsledky kontroly tvrdosti v LIAZ V. Krtíš na kolech 005 dodatečně odlitych bez zákalek v září 93

v Cincibani :	HB
průměr x	176,5
smer. odch. s	5,2
přes 179 HB	23%
170 až 179	68%

2.1.5. Odlišky M3880 z Týniště nad Orlicí
Jde o zkušební dávku z (konce září 93) několika ks.-TAB.7:

	D	N							
	Lmm	Eo GPa	HBS/750	HB2,5/187	Rm MPa		HBS/	Eo GPa	Rm MPa
1T	5,4	120,8	200	-	237	207	105,2	207	
2T	5,5	129,1	184	207	245	196	108,6	206	
3T	5,2	113,7	202	198	226	207	104	205	

ZÍHÁNO v kalírně

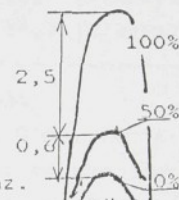
1T	5,4	124,8	185	-	235	167	100	166
2T	5,1	108,4	168	-	182	171	104,5	178

Metalografie lopatky kola 2T při vnitřním průměru dle obr.6:

Grafit GI bodový přechlazený v středu lopatky, HLAVA lopatky je ledeburitická-100% cementitu.

Odlitky mají četné slávárenské vady, jako zavaleňiny a zadrobeniny.

Mech.vl.vyhovují. Žíhání působí nepřevidelné změny vlastností i při vhodném chemickém složení-nerovnoměrné podm.ochlaz.



Obr.6. Průběh žádkalky v lopatce kola 2T.

2.2. Žíháno s dochlazením na preudiciím vzduchu

v laboratorní písce, ochlaz. fénem. Všechny popisované žíhací cykly mají austenitizaci při 900+20 st.C.Výdrž žih. Tab.8.:

M3380	N	D	+ HBN	+ HBD					
	HBS/750	Eo	Rm	HBS/750	Eo	Rm	L		
C01	179	65,7	109	198	64,2	114	3,3	44	53
C4	158	94,3	150	179	113,4	211	5,3	-12	1
C2	143	71,5	101	176	106,8	175	5,6	8	15
01017									
100%		100,5		175	99	170	6,1		9

Při žíhání v kalírně došlo k kolo C01 vystavené doslatčeně. Při žíhání v kalírně došlo k kolo C01 vystavené doslatčeně. Při žíhání v kalírně došlo k kolo C01 vystavené doslatčeně. Při žíhání v kalírně došlo k kolo C01 vystavené doslatčeně. Při žíhání v kalírně došlo k kolo C01 vystavené doslatčeně.

robiního procesu žíhání v šachových pecích.

2.3. Kalení a popuštění - mezní možnost k zvýšení tvrdosti.

2.3.1. Kalení do oleje 900/20

Provedeno na čtyřech vybraných odlitcích-tab.9.:

Kolo	kaleno olej 20stC				Popuštěno 620/1h				
	N		D		N		D		
	HRc	Eo	HRc	Eo	L	HBS/750	Eo	HBS/750	Eo
C2	28	62,2	28	102,2	5,8	158	75,7	149/169	101
C1	29	55	37/48	92	5,5	191	60	217	91/112
M1647									
8		96,6	40/53	66	6,1		85,7	174/177	81/120
10		84,9	41	97,8	5,8		64,7	210/217	97/101

Metalografie-kolo C2-nekalitelné v oleji:

lopatka-grafit bodový, v desce EB 0,4mm GIA5, ferit vrstva 0,15mm, hranice E8 jemná zrna F a rozpadlého martenzitu M, uvnitř EB řídce rozptýlený glob. cementit perliticky. Místy konce lupínků spojeny prasklinami. V hlavě lopatky není temp. grafit- v litém stavu zde nebyla zákalka.

2.3.2. Kaleno do vody - tab.10:

Kolo	kaleno				pop.550				pop.600/1h			
	N		D		H		D		N		D	
	Eo	HRc	Eo	HRc	L	HRc	Eo	HBS	Eo	HRc	Eo	HBS
M1647	9	81	95	50	6,2	80	91	304	75	83	285	
0B+	96		106	52	5,4	97	325	109	321	85	321	103 317
M3880		40					112	292				202
C6	60	22	96	43	5,1	64	285	96	230	60	260	81 278
C3	65	23	95	42	6,1	67	282	100	285	63	239	99 275
		32		23					229			239

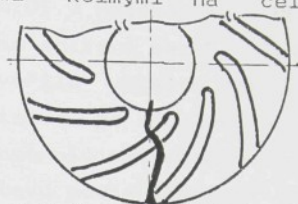
+...oběžné kolo uvedené ve zprávě 93/28.

Metalografie kola 0B:

lopatka - temperový grafit GV, ve stěně GIA6, na povrchu 0,17mmF a uvnitř homogenní sorbit (popuštený martenzit).

Deska je prasklá. Lomová plocha prochází EB, řada vedlejších prasklin přes lupinky grafitu. I mimo oblast lomu některé lupinky propojeny mikroprasklinami kolmými na celkové strukturní napětí v kole.

Prasklina začíná na obvodě ve studeném spoji-zavalenině a vede k ose kola přes lopatku.



Obr.7. Průběh lomu ob.kolem OB.

3.0. Chemické složení

Provedeno na kvantometru ve slévárně Ostašov Liberec,
tab.11: SE...stupeň eutektičnosti

Kolo	Prvek	C	Mn	Si	S	Cr	SE	c/si
04	%	3,75	0,32	1,35	0,108	0,06	0,98	2,78
001		3,58	0,5	1,84	0,153	0,04	0,97	1,95
6		3,56	0,67	1,93	0,075	0,08	0,972	1,84
8		3,77	0,65	1,86	0,065	0,15	1,02	2,03
21		3,5	0,3	1,75				

4. Shrnutí výsledků

Podle přísného kritéria z tab.1 z deseti obecných kol 002 sl. Stráž lze sestavit tab.12:

ks odl.002	Rim	2	4	2	1	HB	2	5	3
CSN 42 24	pod 10	10	15	20		10	15	20	
vyhovuje		10%				30%			

Návrh změny doporučuje tedy kompromisní toleranci tvrdosti desky 180-240HB, do které se vešlo 70% měřených kol davky(až konci lopatek zavaleniny v partii vtoku). Pokud mají jen povrchový char., nepřesabí rušivé. Jinak působí jako iniciátory lomů při normálním - viz. kalene kolo 08.

Ústřední zákoněření lopatek budou vždy s nejakou základkou. Při tomto je rovněž kritický výskyt základek na hlavách lopatek

při vnitřním průměru desky. Na odlitku proto doporučuji zaoblit vnější hranu lopatek a kontrolovat základku na vnitřním rohu lopatek. Toto by mělo platit pro kola M1647 i M3880.

Dávka kol M1647 ze Stráže obsahovala i tavbu se základkami, což namátková kontrola v LIAZ01 neodhalila. Hromadné přežíhání pak vedlo k nepřípustnému snížení mecc. vlastnosti kol původně bez zákalék, která tvořila většinu dávky. Pokud nebudou odlitky přejímány s atestem a po oddělených tavbách bude nutno provádět jejich 100% kontrolu pilníkem na základku.

Ze 4 kol M3880 ve výchozím stavu pouze jedno C4 bylo se základkami a vyhovující tvrdostí. Některá kola neobsahovala původně základky - C2. Po žíhání s ochlaz. na vzduchu dílny je rozložení jakosti 21 kontrolovaných odlik :

42	24	pod10	10	15	20	Těžiště hodnot HB bylo v roz-
HB5	5		6	9	0	sahu 178-180HB, 62%. Kontrola
Rm	7		10	4	0	v LIAZ Krtíš po 100% přeměření

přijala (HB přes 179) jen 1/6 odlik z celé dávky.

Částečně obrobena kola žíháním se potrhala. Lomy vedly vždy mezi lopatkami. Příčinou destrukce jsou napětí vyvolaná brzděným smršťováním velmi tenké desky vůči lopatkám. Velmi měkké kolo C01 s deskou L=3,4mm mělo 1 trhlinu a C02 s HB180 a L=2,4mm mezi každou lopatkou.

Vnitřní trhliny svědčí o tahovém napětí uvnitř stěn a tlakovém u povrchu. Lící kúra je pevnější jak obroběný povrch proto lomem uvolněná část desky kola C02 se vyhnula k lopatkám. Tento příčný gradient napětí vzniká při brzděném smršťování jádra stěny z nepevné litiny vůči oduhličenému a tedy pevnějšímu rychleji chladnoucímu povrchu. Tyto vnitřní lomy jsou uspořádány v rovinách, které prochází osou oběžného kola - paprskovité. Magistrální lom deskou pak nastal v místě superpozice tahových makro a mikropnutí - nejde o nejtenčí místa desky. Tloušťka desky by neměla být tedy příliš nízká.

Velmi rozdílné hodnoty modulu E0 mezi náboji a deskou týchž odliků a celkově nízké hodnoty E0 v nábojích kol M3880 svědčí o málo účinném očkování litiny.

Základová dávka odliků M3880 měla 2/3 hodnot tvrdosti v rozmezí 170 až 179HB, který není v rozporu s ČSN 42 2420 pro pouze 11 náboje L=20mm, bylo proto povoleno zpracování odliků s tvrdostí od 170HB.

Laboratorní žíhání s ochl. proudem vzduchu a žíhaní v kalírně nerozložilo cementit lopatek kola C4. Podst. se zvýšila HB kola C01-viz.tab. Z rozboru plyně, že žíhání dle NZ je účinnější pro kola s nižším obsahem C a se zákalou. Kolo C4 má extrémě vysoký poměr C/Si, který zaručuje stabilitu zákalky i při vysokém obsahu C a žíhání, ačkoliv tvrdostí nejsou vysoké.

Ani klasické zušlechťení nepřineslo zcela (dostatečně) vyhovující vlastnosti odlitků oběžných kol. Po kalení do oleje se podařilo zvýšit HB kola B, kde žíhání nepomohlo, ale kola C1 a C2 s ještě asi vyšším obsahem C či SE dle Eo se dostatečně nezakalila. Kalení do vody zakalí kola i s nepříznivým chem. složením. Konečná tvrdost je vysoká. Lze ji řídit teplotou popuštění. Vysoká strukturní prutí však u kol s nízkým SE vedou k praskání - kolo OB. Mikrotrhliny propojující konce lupínek grafitu byly zjištěny jak u kol kalených do vody tak do oleje a měkkých. Tuto vnitřní degradaci litiny citlivě popisují záporné změny hodnot modulu pružnosti Eo. Mikopraskliny usnadňují vylamování mikroobjemu mater. při kavilaci, proto zušlechťování oběžných kol nedoporučuji. Y tohoto hlediska by mohlo nadějně výsledky přinést isotermické kalení na bainit, neboť kalením do 400 st. teplé solné lázně přivedí podstatně menší prutí do odlitku.

Desky kol nutno hlavně po žíhání měřit metodou HBS/750. Metoda HB2,5/187,5 vede k chybám výsledků.

Kola z Tyniště n. O. vynikají mech. vlastnostmi, ale mají nepřípustné zákalky a slév. vadu. Změny mech.vlast. žíháním byly neocynoměrné. Bude nutno pečlivě sledovat kvalitu litiny množství dodavatele i způsob žíhání. Slévárny Straž n. M. a Cinobana se snažily předejít vyloučení zákalek litím kol o nízké jakosti-neopravitelné žíhaní nebo laborováním s chem. složením a nikoliv učinným grafitizačním očkováním očkovadly např. f. ELKEM do lici pánevne nebo lépe ve formě. Při ceně žíhání v hromadě na vozové peci 2Kč/kg a množství 1,5% očkovadla při 70% využití tekutého kovu si slévárna může dovolit cenu očkovadla do 100Kč/kg bez správy ceny odlitku.

Závěry

a) Soubory odlitků ze Stráže i Cinobani obsahovaly různé

tavby s takovým rozptylem vlastností, že je bez předchozího 100% rozřídění nelze bezesbytku dobře obrobit ani využívat na výh. mech. vlastnosti.

b) Oběžná kola je třeba dodávat oddělené po těvbách s testem chem.slož C,Si,Mn,Cr a výšky zákalky na klínku (nejběžnější slévárenská zkouška materiálu). Smíšené dávky je třeba 100% rozřídit na výskyt zákalky na vnitřním konci lopatek.

c) Zaoblit vnější konce lopatek, aby netvořily ostré cementitické hrany náchylné na odlamování a zavaleniny. Po obrobení musí vyjít tyto konce ale s ostrými hranami.

d) Odlitky s nízkými hodnotami tvrdosti v litém stavu nelze zíháním opravit.

e) Měření tvrdosti na deskách kol pouze metodou HB5/750.

f) Při měření tvrdosti na nábojích kol lze tolerovat rozsah tvrdosti 170-230HB. Neodporuje ČSN 42 2420.

g) Pokud slévárna dodáva smíšené tavby a odlitky s nízkými mech. vlast. v litém stavu, je z hlediska užitých vlastností vhodnéji dodávat odlitky s vysokými hodnotami mech. vlast. vhodné pro opravné zíhání (účel slévárny).

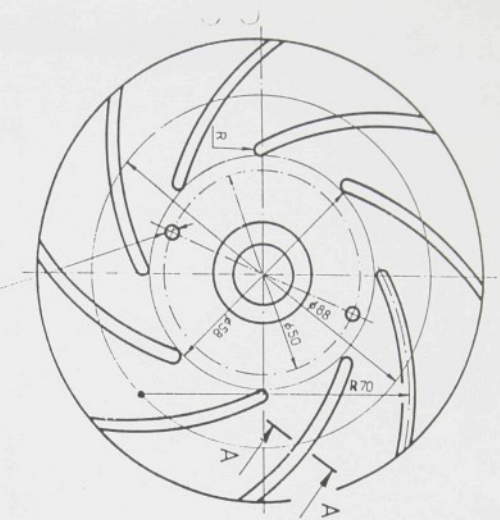
Vypracoval

Ing. Břetislav Skrbek, CSc

Ullrich

3.5

MAX. HLOUŠKA ZAKÁVKY V PRÍDAVKU 03

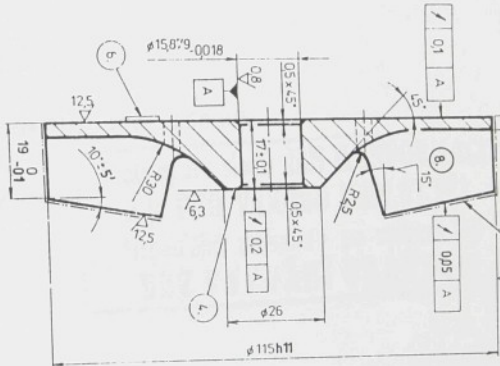


OTWORY MEZI LOPATKAMI

A-A

7. TŘÍDA OBODU DLE ČSN 42 0030
6. MÍSTO PRO ZNAČENÍ
5. HRAUBA HMOŽNOST CDHADEM
(4) MÍSTO PRO NĚKTERÝ VÝROSTI
3. PRÁSOST DLE ČSN 01 4703

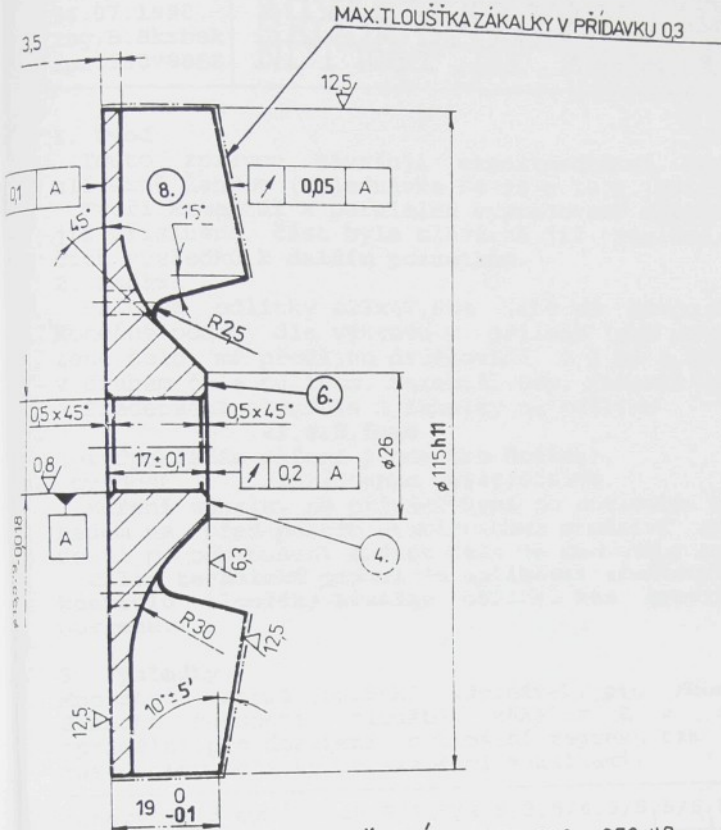
18293



Tato výroba dle zákona o jemkém řezání a je klasifikována do skupiny nebezpečných životního prostředí - po výrobě je ukládána do kontejnerů.

ODDERDELSSEN (2411)	
INDEX	
ZWAAN	
ZWANEN 24	01 - 6621/06
24699	DATUM
659	PODIJS
1459	bed
7	(7) DÜ
1459	90
4421,707012728	5
11-01-26	3
MOM 12	1
	1/12

LIAZ



MAX.TLOUŠTKA ZÁKALKY V PŘÍDAVKU 0,3

✓✓✓

8. IZOTERMICKÝ KALIT NA STŘEDNÍ BAINIT 200 - 250 HB

- ⑦ TŘÍDA ODPADU DLE ČSN 420030
- ⑥ ZNAČIT DLE PŘEPISU 61-0-0267
- ⑤ HRUBÁ HMOTNOST CDOHDEM
- ④ MÍSTO PRO MĚRÉNÍ TVRDOSTI

3. TVRDOST 140 ± 200 HB

2. PŘESNOST DLE ČSN 014470,3

1. ODLITEK DLE ČSN 42 1241.11

0,5x	01 - 0512 / 98	3.11.98	PODPIS
ZAMĚR	01 - 0574 / 97	2.6.98	Kopie číslo
ZAVEDEN ZH.	01 - 0621 / 96	24.6.97	Kd.

42 2415 b1

M4559

MAZANÉ

PŘEV.

TECHN. LOG

NÁZEV

KOLO OBĚŽNÉ
VODNÍHO ČERPADLA

Tento výkres slouží JEN K INFORMACI!
a je PRO VÝROBU NEPLATNÝ!
Nepodléhá změnám - po využití jej
BEZ VYZVÁNÍ VRAŤTE!

23. února 1998

LIAZ	MEXICO	1
4421 7070 127,1285	OSICE	3
MML12	1/32	LIST
4421 1216 009	5	

14.07.1998
Ing.B.Skrbek
zpr.980788SZ

**zdvihátko ventilů
SKODA pro OS VOZV
NDT měr.hl.zákalky .**

ŠKODA MOTORY
22 - 242
Jablonec n. N.

1. Úvod

Tento zprávou završuji experimentální část technické pomoci slévárně Žandov (objednávka 64/98 z 18.2.1998).

Tvoří komentář k paralelně vypracované diplomové práce [1], jejíž příslušná část byla slévárně již zaslána, s rozvedením dílčích výsledků k dalším poznatkům.

2. Zadání

Válcové odlitky $\phi 23 \times 47,5\text{mm}$ lité na kovou desku se obrábí do konečné podoby dle výkresu v příloze (pro motory f. VW). Zachlaněné čelo má předlito drážkování 0,3 až 0,5mm. Vtok $\phi 11\text{mm}$ ústí v druhém čele odlitku. Materiál odp. jakosti ČSN 42 2420.

Předepsaná tloušťka Z zákalky na odlitku

$<3,5; 5,5;\text{mm}$

(předpokládám měření Z ode dna drážek),
tvrdost $<51,55>\text{HRC} <548;626>\text{HV}$.

Měření zákalky se provádí **nyní** po rozložení válce vizuelním odhadem na předepsaném statistickém množství odlitků. Měření tvrdosti po odbroušení drážek čela se provede v ose.

Cílem technické pomoci je aplikovat efektivnější nedestruktivní kontrolu tloušťky zákalky odlitků bez speciální úpravy jejich povrchu.

3. Výsledky

Množství vzorků (odlitků zdvihátek) pro zkoušky je dostatečné. Skladba četnosti tloušťek zákalek Z v souboru však není optimální; pro dosažení optimální regrese tak nebyly dostatečně zastoupeny odlitky se slabšími zákalkami:

intervaly Z mm	<0,5/1,5/2,5/3,5/4,5/5,5/6,5/7,5/8,5 >8,6									
četnost N ks	0	2	0	1	1	4	5	3	5	3

Tabulky magnetických hodnot M měřených přístrojem DOMENA (M_{*L} režim krátké a M_{*LL} dlouhé magnetizace) a modulu pružnosti E_0 měřených ultrazvukem, chemického složení jsou v příloze.

Pro magnetické stanovení Z platí optimální vztah

$$z_M = 0,0654xM_{*L} + 6 \quad K = 0,9 \quad (1)$$

Pro ultrazvukové stanovení (není uvažován vzorek 19)

$$z_U = 0,10607xE_0 - 13,8 \quad K = 0,906 \quad (2)$$

kde počáteční modul pružnosti v MPa

$$E_0 = (437,8xL/Lu)^2 \quad (3)$$

3. Porovnání přesnosti měření tl. zákalky.

Za objektivně nejpřesnější určení hloubky zákalky Z musíme po-važovat metalografické, neboť respektuje podmínky normy pro zdvi-hátku [2]. Její definice respektuje požadavek max. kontaktní odolnosti.

Tabulka 1 obsahuje tloušťky zákalek stanovené různými postupy kontroly. Výstupní kontrolor slévárny z_{d1} a vstupní TK obrobny z_{d2} . Tvrdost je měřena na řezu v ose zdvihátek a svými maximálními hodnotami většinou přesahuje doporučenou toleranci. Tloušťka

z_T měřena na hladině 540HV10. V oblasti výskytu grafitových ok a přechodové zóny je měření HV zatíženo velkým rozptylem hodnot.

Tab.1

vzorek	z mm	z tvrdosti HVmax	z_T	nedestruktivně	vizuelně		
			z_M	z_U	z_{d1}	z_{d2}	
1	8,8	723	6,5	6,1	8	9,5	9,8
2	7,9	730	7,5	6,6	7,5	7,5	5,0
3	6,3	686	5,9	6,5	5,9	8	5,8
4	5,7	686	3,7	7,4	6,1	6	4,9
5	5,6	764	4,5	7,1	5,4	5,5	4
6	4,6	730	4,8	4,7	5,13	5,5	3,8
7	7,3	720	6,5	7	6,6	8	4
8	7,6	740	5,5	6,4	6,7	8,5	6,5
9	8,6	764	5,5	8,8	8	10	6,7
10	5,6	668	5,2	5,8	5,4	6	4,5
11	4,7	705	4,3	5,7	5,6	5,5	3,5
12	6,3	720	5,5	6,2	5,4	6	4,6
13	5,7	723	4	5,2	5,7	4	2,7
14	7,6	530	5	6,7	7	9,5	5,1
15	7,5	667	7,5	3,9	7,7	8	4,3
16	2,6	676	2,2	2,2	3,6	3,5	2,8
17	0,8	506	0,5	0,8	0,9	1,5	1
18	1,2	635	0,8	1,1	1,8	2	1,9
19	7,4	730	7	6,2	3,3	4,5	3,3
20	7,7	704	7,2	8	6,2	9	4,4
21	5,5	743	5	8,7	6,4	8,5	6
22	0,5	627	>8	8,6	12,4	10	10,4
23	8	780	7,5	7,5	5,9	8	5,3
24	3,6	743	3,8	5,4	4,9	3,5	3,1
25	5	705	5,7	7,6	5,7	5,5	4,1
26	4,9	786	3,8	7	6	6	3

Hodnocení tloušťky zákalky z průběhu tvrdosti proto není vhodné ani jako destruktivní metoda.

Střední \bar{z} a maximální δz_{\max} chyby stanovení z jednotlivými metodami doplňuje v tab.2 odhad t času na kontrolu jednoho odlitku.

Tab.2.

mm	tvrdost	magneticky	ultrazvuk	vizuelně 1.	vizuelně 2.
δz	0,9	1,1	0,92	1,0	1,7
δz_{\max}	3,1	3,6	4,1	3	4,3
t [s]	1800 D	6	24 (6)	15 D	15 D

tab.3	$<z_{\min}$	$>z_{\max}$			
	0	0	2	1	8 !
	3	1	1	1	0

D...destruktivní metoda.

Tab. 3 ukazuje kolik odlitků s výrazně vyšší zákalkou ($>z_{\max}$) a s nedostatečnou tloušťkou zákalky ($<z_{\min}$) daná metoda v rámci provedeného experimentu na 26 odlitcích neodhalila. Naprostě výhovující v tabulce 3 je tedy údaj rovnající se nule.

4. Shrnutí

Všechny metody jsou zatíženy přibližně milimetrovou chybou v odhadu tloušťky zákalky!

Z tabulek 2 a 3, pokud bereme za prioritní kriterium odhalení příliš silných zákalek (předcházení ztrát na nástrojích při obrábění) a kadenci kontroly, vychází nejlépe magnetická kontrola přístrojem DOMENA. Přístroj po zadání výrazu (1) do paměti přímo ukazuje hodnotu Z. Této metodě může spolehlivostí (nikoliv kadencí) konkurovat dobré zacvičený kontrolor vizuálním odhadem, ale s vyšším rizikem neodhalení příliš tenké zákalky.

Ultrazvuková kontrola je méně spolehlivá při odhadu tenkých zákalek. Nutno měřit ultrazvukem fiktivní délku Lu odlitku a skutečnou L posuvným měřítkem. Z u se pak stanoví výpočtem. Pro dodržení vysoké kadence měření 6s se měří jen ultrazvukem a zanedbává se rozptyl délky odlitku (počítá se střední délka $L_{str} = 47,8$). Tímto postupem se však zvýší pravděpodobná chyba určení Z o dalších 0,5mm s rizikem max. přírůstku chyby o 1,3mm. Jiné spolehlivé využití ultrazvuku spočívá (ve spojení s měřením tvrdosti) v určení pevnosti v tahu Rm dříku či jiných částí odlitků z grafitických litin.

Vizuální kontrola zákalek je velmi subjektivní metodou. Vzájemné odhady tloušťky zákalky různými kontrolory se mohou lišit v průměru o 2mm a max. až o 4,6mm!

Další zpřesnění odhadu Z i magnetickou metodou vyžaduje zahrnutí stupně eutektičnosti SE nebo hodnot M5Ld z dříku do výpočtu. Výraz dle DP však doporučuje revidovat s ohledem na určení chemického složení všech zdvihátek (příloha).

$$Z = f(M5L, SE) \quad Z = f(M5L, M5Ld)$$

Zvětší se však jednotkový čas min. na 15s, neboť výpočet Z bude třeba provést na kalkulačce.

Přístroj DOMENA STRUKTUROSKOP B2 navíc spolehlivě měří množství perlitu a tím i tvrdost odlitků z grafitických litin a ocelí.

5. Závěr

Pro kontrolu tloušťek zákalek na odlitcích válcových zdvihátek je optimální aplikovat metodu magnetického bodového pólu přístrojem DOMENA B3. Po dodání přístroje od firmy ELKOSO Brno provedu ve slévárně Žandov přenos výrazu (1) do jeho paměti a seřízení totožnosti hodnot M podle dodaného litinovém etalonu. Bude zaškolena obsluha dle kontrolní návodky. Další zpřesňování metody doporučují provádět metalografickým stanovením [2] z odlitků s extrémními hodnotami M5L.

Ing. Břetislav Skrbek, CSc.

Literatura:

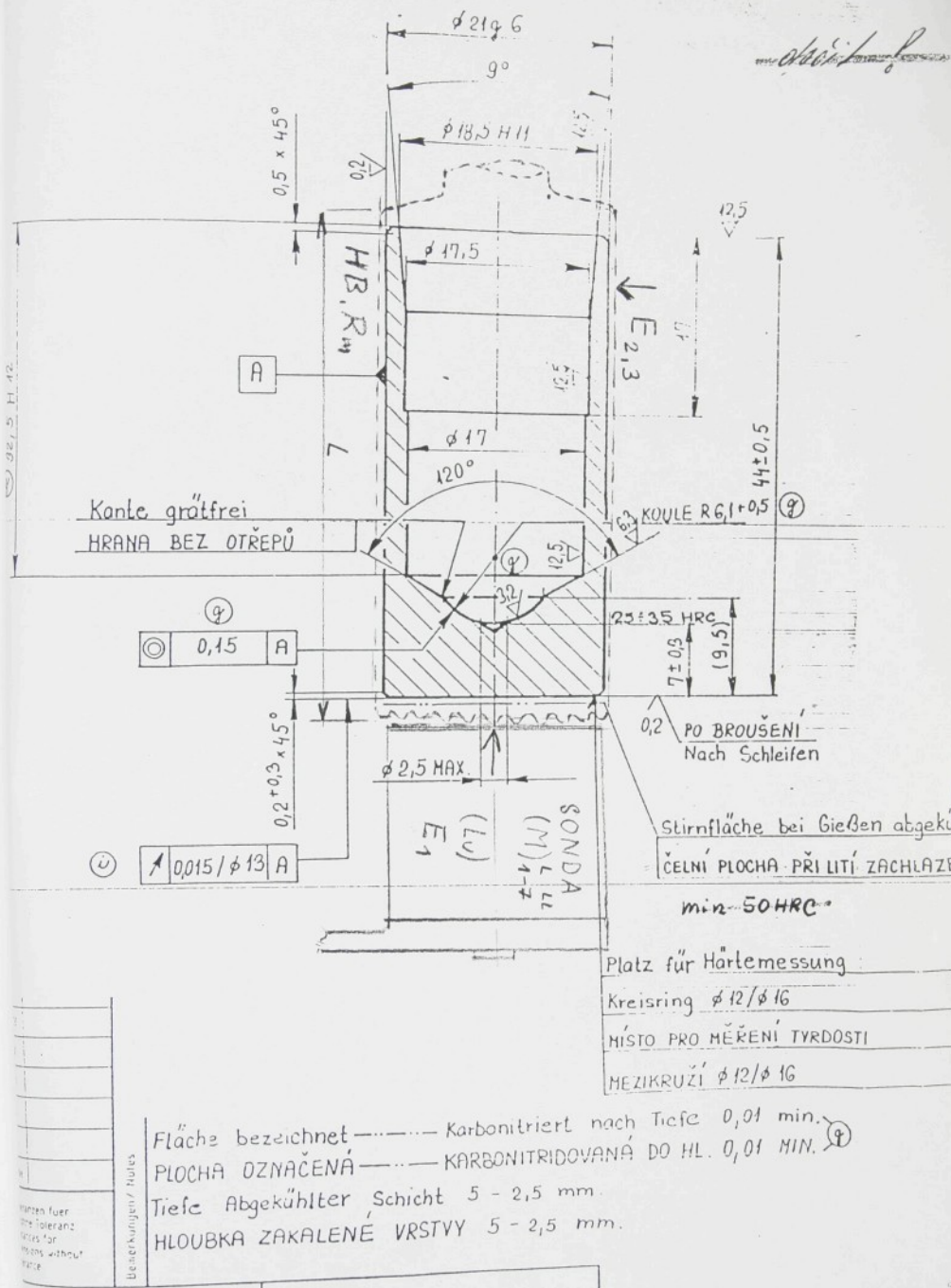
[1] Fiala Stanislav. Nedestruktivní materiálová diagnostika tvrzené vrstvy zdvihátek ventilů. Diplomová práce, KM TU Liberec 1998.

[2] ČSN 30 2205. Zdvihátko ventilů.

Ozn.	SE $\times 10^{-3}$	C/Si	C	Si	P	Mn	S
1	969	1,92	3,48	1,81	0,32		
2	1016	1,98	3,66	1,85	0,24	0,51	
3	952	1,9	3,44	1,8	0,26	0,63	
4	1023	1,88	3,62	1,93	0,34		
5	1022	1,94	3,65	1,88	0,3		
6	1022	1,79	3,61	2,02	0,31	0,72	0,075
7	914	1,73	3,22	1,87	0,47		
8	906	1,72	3,24	1,88	0,3		
9	906	1,83	3,25	1,78	0,34		
10	1009	2,1	3,65	1,74	0,28		
11	1005	1,775	3,55	2	0,43		
12	1049	1,76	3,66	2,08	0,42		
13	985	1,82	3,5	1,92	0,33		
14	1006	1,9	3,61	1,9	0,24	0,53	
15	935	1,83	3,33	1,97	0,26	0,66	0,086
16	1054	1,49	3,66	2,46	0,07		
17	1088	1,57	3,76	2,39	0,19		
18	1075	1,59	3,73	2,35	0,18		
19	988	1,79	3,52	1,97	0,26	0,66	0,086
20	1020	1,93	3,67	1,9	0,21		
21	1000	1,88	3,59	1,9	0,23		
22	846	1,92	3,11	1,62	0,22		
23	989	2	3,62	1,72	0,18	0,72	0,075
24	1047	1,87	3,73	2	0,22		
25	1007	1,84	3,55	1,93	0,42	0,86	0,075
26	1029	1,95	3,68	1,89	0,28		

Měření zdvihátek Žandov.
 tabulka naměřených a interpolovaných hodnot

M7L	M4LL	M1LL	M2L	M3L	M4L	M5L	M7L	M7LL	M4L	E1	E2	E3	HB	Rm	
1	266	157	84	106	129	169	184	353	342	244	195,1	136,0	132,1	214	275,7
2	281	171	89	110	137	174	192	350	363	240	189,3	130,5	129	203	257,7
3	276	175	85	105	137	171	191	340	366	221	174,4	129,4	105,1	250	239,0
4	289	182	97	119	147	175	205	366	387	257	160,2	124,0	125,8	211	257,9
5	285	172	94	117	143	160	200	367	395	259	157,9	119,9	122,2	207	246,0
6	247	145	78	89	120	142	163	361	380	256	159,4	117,9	119,7	230	260,2
7	285	180	94	115	135	170	198	339	334	212	179,9	127,2	129,3	234	287,9
8	276	165	85	104	132	165	189	337	339	223	171,5	127,5	116,5	224	247,2
9	314	189	102	122	160	191	227	362	341	238	190,0	135,9	137,5	245	319,5
10	253	158	86	103	126	157	181	387	378	244	160,0	119,7	119,7	215	247,3
11	256	152	82	105	127	153	179	375	369	249	158,0	121,0	124,5	224	266,8
12	278	166	88	109	135	157	186	355	338	223	172,9	119,8	117,3	202	230,4
13	245	147	79	98	123	150	171	370	374	253	166,4	121,6	128,6	229	281,5
14	287	175	88	113	141	173	194	348	352	216	178,9	129,8	129,5	219	274,1
15	225	136	75	86	110	133	151	344	355	224	190,8	133,8	135,6	228	298,1
16	204	106	65	70	92	105	124	305	289	212	139,4	108,5	108,5	170	185,1
17	185	86	53	60	74	91	104	332	348	240	111,2	91,7	94,7	177	163,3
18	187	92	56	61	79	96	108	354	327	226	109,1	97,3	97,2	184	173,3
19	279	164	89	103	132	159	186	496	429	267	159,3	106,7	102,7	306	271,5
20	318	185	99	120	151	191	213	370	374	254	190,7	124,4	126,4	236	282,4
21	346	191	105	128	158	198	224	368	388	309	170,7	125,8	127,1	229	277,7
22	339	185	98	115	153	191	222	311	333	240	20 _{0B}	162,8	151,9	285	401,5
23	303	180	94	113	146	178	206	602	469	339	122,7	86	450	297	
24	280	153	82	97	134	148	174	380	371	277	130,6	116,4	118,7	211	241,3
25	322	176	91	110	140	174	207	409	425	285	153,3	121,5	127	210	259,9
26	324	195	94	112	145	177	198	433	397	287	161,2	123,5	121,1	234	267,1



Mit der Fertigung einschließlich metallischen Oberflächenschutzes
 With the finished product including metallic surface protection

791